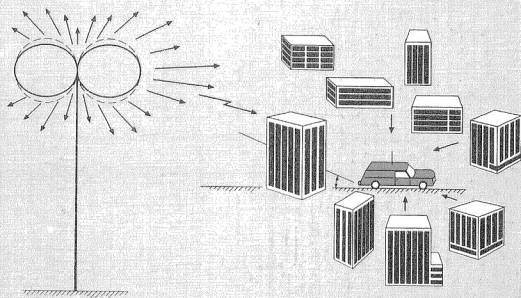




الاتصالات الراديوية المتنقلة أسس التصميم



مراجعة وتدقيق
المهندس أحمد مرسى نفاخ

ترجمة
الدكتور المهندس
زياد سيد سليمان



الاتصالات الراديوية المتنقلة
أسس التصميم



﴿ قل هل يستوي الذين يعلمون والذين لا يعلمون ﴾

الاتصالات الراديوية المنقلة أسس التصميم

وليم . لي

مراجعة وتدقيق
المهندس أحمد مرسى نفاخ

ترجمة
الدكتور المهندس
زياد سيد سليمان

Mobile Communications Design Fundamentals

William C. Y. Lee

هذا الكتاب هو ترجمة للأصل الانكليزي المبين أعلاه بإذن رسمي من الناشر صاحب الحق :
JOHN WILEY & SONS, INC.

حقوق الترجمة العربية هي للمركز العربي للتعريب والترجمة والتأليف والنشر - دمشق - ص.ب: 3752

Arabic copyright © 1993 by Arab Center for Arabization, Translation. Authorship
& Publication (ACATAP branch of ALECSO), P.O.Box 3752, Damascus /SYRIA.

Original English second edition Copyright © 1993 by JOHN WILEY & SONS, INC.
All Rights are reserved.

Published in Arabic by Agreement with the original publisher.

الاتصالات الراديوية المتقلة - أسس التصميم
المترجم : الدكتور المهندس زياد سيد سليمان
المركز العربي للتعريب والترجمة والتأليف والنشر بدمشق.
دمشق - ص.ب: 3752 ج.ع.س .
ع 1/11/1993

التضيد والانعراج : قسم التوثيق والنشر في المركز العربي للتعريب بدمشق.
بلاكات وتنفيذ : يوسف أيوبية - دمشق - هاتف 3338927-3332586

تقديم

يصدر المركز العربي للتعريب والترجمة والنشر - وبفخر واعتزاز الترجمة العربية لكتاب "أسس تصميم الاتصالات الراديوية المتنقلة" الطبعة الثانية - عام 1993 لمؤلفه الاستاذ الدكتور وليام سي - واي - لي أحد العلماء البارزين في هذا الاختصاص من هندسة الاتصالات ، وهذا النوع من الاتصالات المتنقلة والمسمى الاتصالات الخلوية هو الآن المشروع الهام الذي توليه مجموعة الدول الأوروبية أهمية كبيرة ، اذ ستوحد شبكات هذا النوع من الاتصالات وتتكامل لتشمل دول أوروبا بدءاً من الدول الإسكندنافية شمالاً وحتى البرتغال جنوباً .

ويضم الكتاب أحد عشر فصلاً :

الفصل الأول : وهو بعنوان "بيئة الراديو المتنقل" وفيه يشرح المؤلف الاشارات الراديوية وطرائق تمثيلها وخسارة مسار الانتشار ومسبباتها والخفوت السريع والبطيء ومسبباتهما وتصنيف القنوات وأثر الطقس وتعريف المصطلحات واستعمالاتها .

الفصل الثاني : وفيه يشرح المؤلف التنبؤ بخسارة الانتشار وفلسفته وكيفية الحصول على معطيات الانتشار المفيدة من القياسات وتنبؤ الانتشار فوق أرض منبسطة ثم خسارة الانتشار فوق أرض هضبية ويتعرض الفصل الى نموذج التنبؤ للخلية الصغيرة Micro Cell .

الفصل الثالث : ويعالج الخفوتات وحساباتها وطرائق تقليلها ويستعرض الخفوت المطالي والتعديل الطوري والتعديل الترددي PM و FM والخفوت الانتقائي والتعديل الترددي العشوائي . كما يشرح طرائق التنوع Diversity وتقنيات جمع فروع التنوع، ومعدل خطأ البتات ومعدل خطأ الكلمات في بيئة خفوت وحساب شدة الإشارة فوق سوية معينة لوحدة متنقلة مستقرة في الخلية والتعديل وحيد الجانب SSB .

الفصل الرابع : يعالج موضوع التداخل في الاتصالات الراديوية المتنقلة ويتطرق المؤلف الى موضوع تداخل القناة المشتركة والقناة المجاورة وموضوع التعديل البيسي I.M. وموضوع النواثر المحلية وأقطارها وأثرها على الاتصال والمواضيع الأخرى ذات الصلة.

الفصل الخامس : ويشرح خطط الترددات ومخططاتها المرافقة ويبحث موضوع تعدد القنوات بالتقسيم الترددي والتقسيم الزمني ونشر الطيف والقفز الترددي وإعادة استعمال التردد .

الفصل السادس والسابع : يبحث المؤلف في هذين الفصلين معلمات التصميم وعناصره الأساسية مثل مواقع الهوائيات والمباعدة بينها وضجيج المحيط وسوى ذلك.

الفصل الثامن : يعالج موضوع التشوير وبلوغ القناة ومعايير تصميم التشوير وتخصيص القنوات وسعة التبديل .

الفصل التاسع : ويبحث تقنية تعدد المنافذ بالتقسيم المرمز (الشفري) في النظام الخلوي CDMA ولماذا نستخدمها ويتطرق الى العناصر الرئيسة في التصميم الخلوي والى تقنيات النشر في التعديل .

الفصل العاشر : ويشرح أنظمة الخلايا الصغيرة Micro Cell وأنواعها وسعاتها وجودة الصوت فيها .

الفصل الحادي عشر : ويستعرض نظم الاتصالات المختلفة ذات العلاقة كخدمة الاتصالات الشخصية P.C.S. ونظم الهاتف المحمول والاتصالات من الجو الى الأرض ونظام الاتصالات المتنقلة الأرضية بواسطة السوائل (التوابع الصناعية) .

من خلال فصول هذا الكتاب يتبين لكل مختص شمولية ودقة وسلاسة هذا الموضوع وأهميته بالنسبة لاقطار الوطن العربي بخاصة .

وللأستاذ ويليام لي مؤلفات عدة بهذا الموضوع ، إلا أن المركز العربي للتعريب اختار هذا الكتاب الحديث لأنه تطبيق عملي واستخدام مباشر للرياضيات ونظريات الاحتمالات والتوزيعات الرياضية بأسلوب شيق.

إن أكثر من نصف محتويات هذا الكتاب جاء من أبحاث المؤلف نفسه .

إن هذا الكتاب يضع بين أيدي المصممين والباحثين وطلاب الدراسات العليا في هندسة الاتصالات أحدث ماتم التوصل اليه في هذا الموضوع الشيق ذي التطبيق المباشر الحقل ، يمكن استخدام الكتاب ككتاب منهجي لطلاب الدراسات العليا ، ومرجع للمهندسي ومصممي نظم هذا النوع من الاتصالات الراديوية.

وقد عهدنا ترجمة هذا الكتاب ومراجعته وتدقيقه الى اثنين من كبار الممارسين والمتمرسين في علوم الاتصالات وهما : السيد اللواء الدكتور المهندس زياد سيد سليمان، والاستاذ المهندس أحمد مرسي النفاخ . فاليهما الشكر والتقدير والعرفان على الجهود المبذولة من كل منهما ترجمة ومراجعة وتدقيقاً وتعريفاً واختياراً أمثل للمصطلحات العلمية العربية وإضافة ثبت لهذه المصطلحات في نهاية الكتاب .

كما يتوجه المركز العربي للتعريب والترجمة والتأليف والنشر بالشكر الى كل من الاستاذ ماهر أبو الذهب ودار النشر الامريكية جون وايلي للسعي والسماح لنا باذن خطي بترجمة هذا الكتاب الى اللغة العربية .

إن هذا الكتاب يضيف لبنة جديدة ورائدة الى مكتبتنا العربية ويؤودها بأحدث ماتوصلت اليه علوم الاتصالات الراديوية المتنقلة حتى الآن .

والله نسأله أن يوفق جميع المخلصين والمهتمين في تعريب العلوم والتقانات والتقنيات الحديثة وخاصة في مجالات التعليم العالي الجامعي الى ما فيه خير هذه الأمة فهو الموفق وهو من وراء القصد .

الأستاذ الدكتور المهندس **أحمد مرسي**

مدير المركز العربي
للتعريب والترجمة والتأليف والنشر

مقدمة

منذ قرن من الزمان فشل الكسندر جراهم بيل بالحصول على التمويل اللازم لإنتاج اختراعه الجديد ألا وهو الهاتف طرفية الاتصالات على الرغم من دهشة زوار معرض أونتاريو آنذاك بهذا الاختراع ، حتى أن امبراطور البرازيل صاح من دهشته قائلاً "يا إلهي إنه يتكلم" . وخلال قرن لم يكتف المستثمرون بخدمات الهاتف البسيطة بل ازدادت طلباتهم واحتياجاتهم لإمكانيات إضافية كبيرة لم تتوقف عند حد ، ومنها تحرر جهاز الهاتف من ثبات مكانه على جدار المكتب أو البيت حيث يتصل مع سلكي دارته وقد ذلك على مراحل فنشأ أولاً نظام الاستدعاء وهو نظام النداء الشخصي الانتقائي باتجاه واحد أي باتجاه المطلوب ، وقد تطور هذا النظام ليحمل رسالة محددة جداً بأرقام وحروف ضمن فترة إرسال 10 ثوان فقط لاستدلال المطلوب، ولما كانت هذه الإمكانيات لا تلبي الحاجات المتزايدة للمستثمرين فقد نشأ نظام النقاط الهاتفية الذي يؤمن الاتصال باتجاهين ضمن منطقة محددة جداً لاتتعدى مئات الأمتار عن طريق مبدلة فرعية خاصة وكان من سمات هذا النظام كبر حجم الأجهزة الانتهازية وثقل وزنها ولما حُلَّت هذه المعضلة تطور هذا النظام الى الهاتف اللاسلكي حيث ازدادت سعة المبدلة (محطة القاعدة) الى 40 قناة راديوية تنتقى القناة الراديوية الخالية من التداخل لتخصص للمستخدم الطالب ويمكن تبديلها إذا اعترضها تداخل قوي ، غير أن الطالب يجب أن يتواجد ضمن منطقة عمل محطة القاعدة لهذا - يتم التحرر كلياً من مكانية الجهاز الهاتفي ، وفي خطوة التطور التالية نشأ نظام الهاتف الخليوي الذي يؤمن الاتصال بالاتجاهين في مناطق عمل واسعة تزداد اتساعاً حتى لتشتمل قارة بأكملها مثل نظام المجموعة الخاصة المتنقلة GSM الذي سيعم القارة الأوروبية ، ويتواجد من هذا النظام عدة أنظمة عاملة في العلم وقد ساعدت التقنيات الحديثة لأن يكون وزن الجهاز وحجمه وكلفته كلها معقولة ومقبولة جداً. يؤمن هذا النظام الاتصال ببعدين حتى الآن ويتنظر ادخال البعد الثالث (الارتفاع) في القريب العاجل بعد السيطرة الكاملة على جميع مشاكل الاتصالات الأرضية .

يبحث هذا الكتاب في أسس تصميم الاتصالات الراديوية المتنقلة والعوامل الأكثر أهمية التي تؤثر على سيرا الاتصالات من توصيف للأقنية الراديوية التناثرية والخافتة وطرائق تقليلها وحساب القدرات اللازمة لتأمين الاتصالات في مختلف البيئات وتأثير التداخل على تصميم النظام والاستخدام الأمثل للطيف الراديوي ، وقد بين ذلك رياضياً وتجريبياً وقُورنت النتائج التجريبية مع الحلول الرياضية ووضّحت الفوارق إن وجدت .

سيكون هذا الكتاب أحد المراجع العربية القليلة جداً في هذا المضمار وسيحتاجه المهندسون الدارسون لثل هذه النظم والمصممون والموصفون لها إذا ما أريد ادخالها في الأقطار العربية . إضافة لهذا فإن مافيه من معلومات حول التقنيات الواجب توفرها في النظم العاملة لحل مشاكل الاتصالات المتنقلة تغني معلومات المهتمين في مجال الاتصالات وتوسعها بصورة عامة .

أود أن أذكر بمزيد من الشكر والعرفان الذين ساهموا بإخراج هذا الكتاب الى حيز الوجود بشكله الحالي وهم :

- المركز العربي للتعريب والترجمة والتأليف والنشر حيث قدم جميع التسهيلات الممكنة لإصدار الكتاب وتابع طباعته وتنقيحه وأشرف على إصداره .
- الدكتور المهندس أحمد عمر يوسف مدير المركز الذي تابع إصدار الكتاب بخطوة فخطوة وكان المرجع الفصل في كل ما اختلف فيه .
- المهندس أحمد مرسى نفاخ الذي قام مشكوراً بتدقيق الترجمة علمياً ولغوياً وصحح كثيراً من المصطلحات الواردة فيه وراعى بذلك المصطلحات والتعابير السائدة في معظم الأقطار العربية معتمداً الاسناد العربي الصحيح والاشتقاق الفصيح مستعيناً ببحرته الواسعة في هذا المجال .

وكثير من العاملين في المركز ممن تضيق هذه المساحة عن ذكر أسمائهم ، والله ولي التوفيق .

المرّجم

د. م. زياد السيد سليمان

1- محيط الاشارات الراديوية المتنقلة

- 1 - 1 تمثيل الاشارة الراديوية المتنقلة
- 1 - 2 أسباب الخسارة في الانتشار
- 1 - 3 أسباب الخفوت
- 1 - 4 مبدأ التعاكسية
- 1 - 5 تعريف بالمصطلحات الضرورية وتطبيقاتها

1-1 تمثيل الاشارة الراديوية المتنتلة

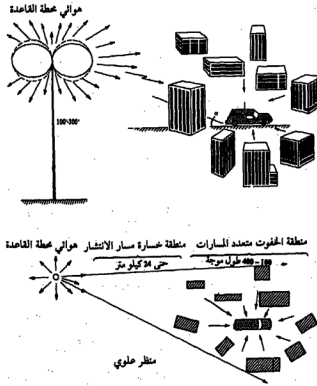
إن الاشارة الراديوية المتنتلة الموصوفة في هذا الكتاب هي بشكل رئيس الاشارة الأرضية المتنتلة. وبما أن الوسط الراديوي الأرضي المتنتل وحيد ومعقد فإن كثيراً من البحوث قد كرسـت لهذا المجال. ولكي نستطيع بناء نموذج نظري للاشارة الراديوية المتنتلة دعنا نحاول أولاً فهم محيط الاشارة الراديوية المتنتلة.

1-1-1 وصف محيط الاشارة الراديوية المتنتلة

تتأثر آلية انتشار الأمواج مباشرة بأطوال أمواج الترددات المنتشرة، وفي المناطق المعمورة تجدد مباني ومنازل باتساع من 18 إلى 30 م وارتفاع من 12 إلى 30 م في المناطق السكنية وتجدد مباني أكثر ضخامة وناطحات سحب في المدن الكبيرة. إذا كانت حجـوم تلك المباني والمنازل مكافئة لعدة أمثال من طول موجة التردد المنتشر فإنها تصبح نواثر طبيعية تخلق أمواجاً منعكسة لذلك التردد. لهذا فإن محيط الاشارة الراديوية المتنتلة المعالجة في هذا الكتاب تفترض أن جميع المباني والمنازل هي نواثر طبيعية ما دام ارتفاع الهوائي في المحطة المتنتلة أقل بكثير من ارتفاع المباني والمنازل. عند أخذ هذه الشروط بعين الاعتبار فإن التردد المنتشر يجب أن يكون أعلى من 30 م. هـ ويشكل انتشاراً متعدد المسارات، إذن فمبدى التردد في محيط الاشارة الراديوية المتنتلة متعددة المسارات هو 30 م. هـ فاعل. يكون طول الوصلة بين محطة القاعدة والمحطة المتنتلة عادة أقل من 24 كم، لذا فإن الأفق الراديوي (الخسارة الناتجة عن كروية الأرض) لا يؤخذ بعين الاعتبار. عندما تأتي اشارة التداخل من مسافة أكثر من 24 كم فإن الأفق الراديوي يضاف إلى خسارة المسار وتصبح اشارة التداخل الفعالة أضعف. يساعد تكور الأرض الطبيعي في تقليل التداخل ويصبح تصميم نظام يتعامل مع التداخل بعيد المدى أسهل.

يكون ارتفاع هوائي محطة القاعدة في محيط الاشارة الراديوية المتنتلة عادة بين 30 و 91 متراً في المناطق السكنية والمدن الصغيرة وأعلى من ذلك في المدن الكبيرة. ويكون ارتفاع هوائي المحطة المتنتلة حوالي 3 م. كما يكون محيط هوائي محطة القاعدة عادة خالياً من النواثر، بينما يكون هوائي المحطة المتنتلة مغروساً بينها. تتحدد خسارة مسار الانتشار الكلي وفقاً لطبيعة التضاريس والمحيط الصناعي الذي يقع على مسار الاتصال بين محطة القاعدة والمحطة المتنتلة.

من خلال وصف هذا المحيط نستطيع أن نتخيل أن الجانب المتنقل سوف يستقبل أمواجاً منعكسة كثيرة وموجة واحدة مباشرة . تستقبل الأمواج المنعكسة عند الجانب المتنقل من زوايا مختلفة من جميع الجهات على حد سواء وعلى مدار 360° كما هو مبين في الشكل 1-1 . كثيراً ما تتواجد موجة مباشرة تستقبل اشارتها القوية نسبياً، وعلى كل حال لا يمكن تصميم نظام الاتصال المتنقل على أساس هذه الحالة من التفاؤل ولكن يبنى على أساس موجة ضعيفة غير مباشرة تحدث في حواف منطقة التداخل. ينتج عن الأمواج المنعكسة المستقبلية عند المحطة المتنقلة اشارة خافتة متعددة المسارات . تدعى الحالة الموصوفة هذه بالنموذج الاحصائي لرايلي. ستوضح الحالات الاحصائية لرايسيان ورايلي في الفقرتين 2-5-1 و 3-5-1 .



الشكل 1-1 وصف محيط الاشارة الراديوية المتنقلة

2-1-1 تمثيل شدة الحقل

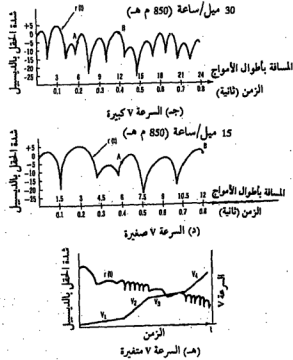
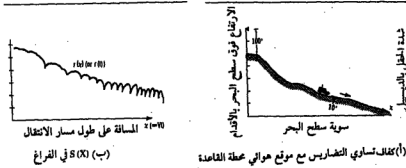
تمثل شدة حقل الإشارة كدالة للمسافة في الفراغ في الاحداثيات الفراغية أو كدالة للزمن في إحداثيات الزمن. عندما يتحدد ارتفاع هوائي إرسال محطة القاعدة (الشكل 2-1 أ) تتحدد معه شدة الحقل كما هو موضح في الشكل 2-1 ب (أي شكل الموجة $r(x)$ للإشارة المستقبلية $s(x)$ في اتجاه المحور x في الفراغ). تقاس شدة الحقل في كل نقطة على طول المحور x بواسطة مستقبل متنقل له هوائي بارتفاع محدد فوق سطح الأرض حوالي 3 م (10 قدم). تري شدة حقل الإشارة المستقبلية على طول المحور x تغيرات حادة عندما تكون المحطة المتنقلة بعيدة عن محطة القاعدة. تدرس شدات الحقول $r(x)$ إما من خلال المواقع الجغرافية أو من خلال المعدل الوسطي لأطوال من معطيات شدة الحقول للحصول على ما يسمى الوسطي المحلي عند كل نقطة (انظر الفقرة 1-3-1). يجب بقاء سرعة المحطة المتنقلة (V) ثابتة طيلة فترة قياس المعطيات. طالما بقيت السرعة ثابتة فإن محور الزمن ($t = x/V$) يمكن قلبه إلى محور بعدي. يبين الشكلان 2-1 ح و 2-1 د شدتي الحقل $r_1(t)$ و $r_2(t)$ بالسرعتين 48 و 24 كم / سا (30 و 15 ميلاً/ساعة) على التوالي. واضح من الشكلين أن تغيرات $r_1(t)$ في الشكل 2-1 ح أسرع بكثير من $r_2(t)$ في الشكل 2-1 د. وعلى كل يمكن للاشارتين أن تقارنا بنفس المحور البعدي المبين في الشكلين.

إذا لم تحافظ المحطة المتنقلة على سرعة ثابتة خلال استقبال الإشارة عندئذٍ يجب تسجيل المعلومات عن تغير السرعة مع الزمن، يبين الشكل 2-1 هـ شدة الحقل مع سرعات مختلفة. يجب تحويل شدة حقل الإشارة $r(t)$ من الشكل 2-1 هـ إلى الشكل 2-1 ب قبل معالجة المعطيات.

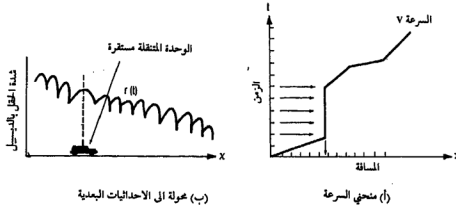
تدعى هذه العملية بتحويل الموازنة للسرعة، يبين الشكل 1-3-3 تقنية هذه العملية. ترقم المعطيات في الاحداثيات الزمنية على فترات متساوية، يستخدم منحني السرعة في الشكل 1-3 أ لتحويل نقاط المعطيات من الاحداثيات الزمنية إلى الاحداثيات البعدية (شكل 1-3 ب).

هناك طريقة أخرى لتحويل شدات الحقل من الاحداثيات الزمنية إلى الاحداثيات البعدية وذلك عن طريق تزامن سرعة عجلات العربة مع سرعة تسجيل شدة الحقل، لا تحتاج هذه الطريقة إلى عملية تحويل الموازنة للسرعة. ويعتبر كلا

التمثيلين لشدة الحقل مفيدتين. يستخدم التمثيل $r(t)$ في الاحداثيات الزمنية لدراسة ظاهرة الخفوت ويستخدم التمثيل $r(x)$ في الاحداثيات البعدية لانشاء منحنيات خسارة مسار الانتشار.



الشكل 2-1 خصائص شدة المجال



الشكل 3-1 تحويل الموازنة للسرعة

3-1-1 تمثيل الإشارة الراديوية المتنقلة

تستقبل الإشارة الراديوية عندما تكون المحطة المتنقلة في حالة حركة. وفي هذه الحالة تراقب شدة حقل الإشارة المستقبلية (وتدعى أيضاً الإشارة الخافتة) بالنسبة للزمن t أو البعد x كما هو مبين في الشكل 2-1. عندما يرتفع التردد العامل تزداد حدة خفوت الإشارة.

يقبل متوسط سوية الإشارة الخافتة $f(x)$ أو $f(t)$ عندما تبتعد المحطة المتنقلة عن مرسل محطة القاعدة، سوف يعرف متوسط سوية الإشارة الخافتة فيما بعد. يدعى انخفاض متوسط سوية الإشارة بخسارة مسار الانتشار.

2-1 أسباب الخسارة في الانتشار

تتعلق خسارة مسار الانتشار في الفراغ الحر بالتردد f والمسافة d فقط وفق العلاقة المبينة في المعادلة 1-2-1.

$$\frac{P_{or}}{P_t} = \frac{1}{(4\pi f d / \lambda)^2} = \frac{1}{\left(4\pi \frac{d}{\lambda}\right)^2} \quad 1-2-1$$

حيث c هو سرعة الضوء و λ هو طول الموجة و P_t هو القدرة المرسلة و P_{or} هو القدرة الملتقطة في الفراغ الحر. وكما هو مبين في المعادلة 1-2-1 فإن الفرق بين قدرتي إشارتين ΔP مستقبليتين من مسافتين مختلفتين يصبح كما يلي:

$$A_p = 10 \log_{10} \left(\frac{P_{or2}}{P_{or1}} \right) = 20 \log_{10} \left(\frac{d_1}{d_2} \right) \text{ (dB)} \quad 2-2-1$$

إذا كانت المسافة d_2 ضعف المسافة d_1 كان الفرق بين قدرتي الاشارتين المستقبلتين هو:

$$\Delta P = 20 \log_{10} (0.5) = -6 \text{ dB}$$

لهذا فإن خسارة مسار الانتشار هي 6 ديسيبل / الضعف أو 20 ديسيبل / العقد. الضعف يعني ضعف المسافة والعقد يعني 10 أمثال المسافة. إن 20 ديسيبل / العقد تعني خسارة مسار انتشار مقدارها 20 ديسيبل عندما تزداد المسافة من 3 كم إلى 30 كم.
مثال 1-1: كم ستكون y بالديسيبل / الضعف عندما نحول إلى x بالديسيبل / العقد؟

$$y = x \cdot \log_{10} 2 \quad 3-2-1$$

إذا كانت $y = 6$ ديسيبل / الضعف فإن $x = 20$ ديسيبل / العقد.
لقد أوضحنا سابقاً في محيط الاشارة الراديوية المتقلة أن خسارة مسار الانتشار لا تتعلق بالتردد والمسافة فقط، بل وبارتفاع الهوائي في كل من محطتي القاعدة والمتقلة وبشكل التضاريس وبالمحيط الصناعي أيضاً. هذه العوامل الاضافية تجعل التنبؤ عن خسارة مسار انتشار الاشارات الراديوية المتقلة أكثر صعوبة. وسوف نتعرض إلى التنبؤ عن خسارة الانتشار في الفصل الثاني.

1-3 أسباب الخفوت

أن شدة الاشارة $r(t)$ أو $r(x)$ المينة في الشكل 1-2 ب هي السوية الحقيقية للاشارة المستقبلية بالديسيبل. وباستخدام معارفنا عن أسباب خفوت الاشارة في الدراسات السابقة، يمكننا تقسيم الاشارة المستقبلية $r(t)$ عملياً إلى قسمين وفق أسباب الخفوت: الخفوت طويل الأجل $m(t)$ والخفوت قصير الأجل $r_0(t)$ على الشكل الآتي:

$$r(t) = m(t) \cdot r_0(t) \quad 1-3-1$$

$$r(x) = m(x) \cdot r_0(x) \quad \text{أو} \quad 2-3-1'$$

1-3-1 الخفوت طويل الأجل ($m(t)$ أو $m(x)$)²

الخفوت طويل الأجل هو متوسط أو غلاف الإشارة الخافتة وهو مبين في المنحني المنقط في الشكل 1-4 أ، ويدعى أيضاً المتوسط المحلي لأن كل قيمة على طول الخفوت طويل الأجل تقابل المعدل المتوسط لشدة الحقل عند كل نقطة محلية. يمكن أن يعبر عن المتوسط المحلي المقدّر $\hat{m}(x_1)$ عند النقطة x_1 على المحور x رياضياً بالمعادلة:

$$\hat{m}(x) = \frac{1}{2L} \int_{x_1-L}^{x_1+L} r(x) dx = \frac{1}{2L} \int_{x_1-L}^{x_1+L} m(x) r_0(x) dx \quad 3-3-1$$

بافتراض أن $m(x_1)$ هو المتوسط المحلي الحقيقي، فعند النقطة x_1 في الشكل 1-4 أ يكون:

$$m(x = x_1) = \hat{m}(x = x_1) \quad x_1 - L < x < x_1 + L \quad 4-3-1$$

عندما يتم اختيار الطول L بشكل مناسب فإن المعادلة 3-3-1 تصبح كما يلي:

$$\hat{m}(x_1) = m(x_1) \cdot \frac{1}{2L} \int_{x_1-L}^{x_1+L} r_0(x) dx \quad 5-3-1$$

لكي تتقارب $\hat{m}(x_1)$ من $m(x_1)$ في المعادلة 5-3-1 يجب أن تتحقق العلاقة

$$\frac{1}{2L} \int_{x_1-L}^{x_1+L} r_0(x) dx \rightarrow 1 \quad \text{التالية:} \quad 6-3-1$$

يتحدد الطول L بعد الفهم الكامل للخصائص الاحصائية للخفوت قصير الأجل $r_0(x)$.

يُحصل خفوت الإشارة طويل الأجل $m(x)$ بسبب أشكال التضاريس والمحيط الصنعي بين محطة القاعدة والمحطة المتقلة. يمكن تصنيف أشكال التضاريس بما يلي:

- المناطق المكشوفة

- التضاريس المنبسطة .

- التضاريس التلالية .

- المناطق الجبلية .

ويصنف المحيط الصناعي بما يلي :

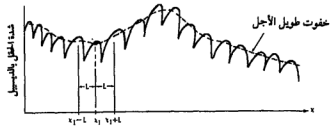
- المناطق الريفية .

- مناطق شبه الضواحي .

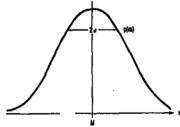
- مناطق الضواحي .

- مناطق المدن .

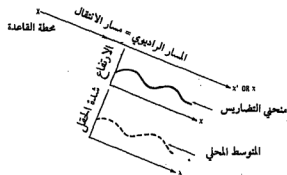
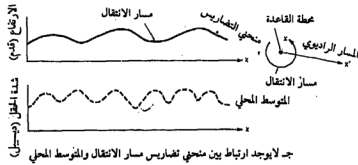
تسبب التضاريس الطبيعية تخامد وتراوح المتوسط المحلي للخفوت طويل الأجل، أما المحيط الصناعي فيسبب تخامد المتوسط المحلي فقط . يسبب المحيط الصناعي أيضاً تراوح الخفوت قصير الأجل في استقبال الإشارة . سيوصف الخفوت قصير الأجل فيما بعد . يمكن أن يشكل تراوح الخفوت طويل الأجل الناتج عن التضاريس الطبيعية تحت ظروف معينة توزيعاً طبيعياً لوغاريتمياً نظراً للطبيعة الاحصائية لهذه التغيرات والمبينة في الشكل 1-4 ب . هنا يجب أن نفرق بين التعبيرين «المسار الراديوي» و«مسار المحطة المتحركة» ، فالمسار الراديوي هو المسار الذي تسير فيه الموجة الراديوية ، ومسار المحطة المتحركة هو المسار الذي تتبعه المحطة المتحركة . هناك حالتان موضحتان في الشكلين 1-4 ح ، د 4-1 أحدهما عندما تدور المحطة المتحركة حول محطة القاعدة والأخرى عندما تتحرك المحطة المتحركة مبتعدة عن محطة القاعدة . في الحالة الأولى تتأثر تغيرات الخفوت طويل الأجل المستقبلية عند المحطة المتحركة بالتضاريس المحيطة بمحيط القاعدة ، وفي هذه الحالة لا يرتبط المسار الراديوي بمسار المحطة المتحركة . وفي الحالة الثانية تتأثر تغيرات الخفوت طويل الأجل المستقبلية عند المحطة المتحركة بالتضاريس القطرية حيث تسير المحطة المتحركة باتجاه معين ، وهنا يتطابق المسار الراديوي مع مسار المحطة المتحركة . في الحالة الأخيرة يوجد رابط قوي بين شكل التضاريس حيث تسير المحطة المتحركة وبين الإشارة المستقبلية كما هو واضح في الشكل 1-4 د ، فالإشارة المستقبلية قوية عندما تكون المحطة المتحركة على رأس التلة وضعيفة عندما تكون في الوادي . يؤثر شكل التضاريس على الانحراف المعياري σ_1 (الانتشار Spread) للمنحنى الطبيعي اللوغاريتمي الذي يمثل المتوسط المحلي للإشارة في تلك المنطقة . تتغير قيمة σ_1 للمتوسط المحلي بقيم مقدرة بالديسيبل وفق شكل التضاريس .



(أ) المتوسط المحلي بحسب من نافذة 1.2



(ب) التوزيع الطبيعي اللوغاريتمي



د - يوجد ارتباط بين منحنى تضاريس مسار الانتقال والمتوسط المحلي

الشكل 1-4. المتوسط المحلي وشكل التضاريس

2-3-1 الخفوت قصير الأجل ($r_0(t)$ أو $r_0(x)$)

يُحصل الخفوت قصير الأجل بسبب انعكاسات المسار المتعدد للموجة المرسلة من قبل النواثر المحلية كالمنازل والأبنية والمنشآت الصناعية الأخرى، أو العوائق الطبيعية كالغابات المحيطة بالمحطة المتحركة، ولا يحصل بسبب المعوقات الطبيعية كالجبال والتلال المتواجدة بين موقع المرسل وموقع المستقبل. لتوضيح أسباب الخفوت قصير الأجل نفترض وجود مرسل محطة قاعدة ومستقبل محطة متنقلة وهناك خمس حالات توضح هذه الظاهرة.

الحالة الأولى: يبقى مستقبل المحطة المتنقلة ثابتاً ومحاط بأشياء متحركة كالجارات (انظر الشكل 5-1 أ). تري الإشارة المستقبلية خفوتاً يعتمد تعداده على حركة سير الجارات والمسافة بين الجارات ومستقبل المحطة المتنقلة.

الحالة الثانية: تتحرك المحطة المتنقلة بسرعة (V) ولا يوجد أي ناثر حولها كما هو مبين في الشكل 5-1 ب، في هذه الحالة تمثل الإشارة المستقبلية بفرض أن الإشارة القادمة تصل بزاوية θ بالنسبة لحركة المحطة المتنقلة وفق المعادلة:

$$s_r = A \exp [j(2\pi f_t t - \beta x \cos \theta)] \quad 7-3-1$$

حيث تدعى B رقم الموجة $B = 2\pi/\lambda$ ، λ هو طول الموجة. ويمثل الحد $j2\pi f_t t$ الأساس العقدي للتردد المرسل f_t المنتشر في الاحداثيات الزمنية و x هو مسافة الانتقال ($x=vt$) و V هي سرعة المستقبل المتحرك و A هو اتساع ثابت و f_t هو تردد الارسل أو ما يدعى تردد الانتشار. يمكن إعادة كتابة المعادلة 7-3-1 كما يلي:

$$s_r = A \exp \left[j2\pi \left(f_t - \frac{V}{\lambda} \cos \theta \right) t \right] \quad 8-3-1$$

وبما أن تردد دوبلر f_D هو:

$$f_D = \frac{V}{\lambda} \cos \theta \quad 9-3-1$$

وأن اتساع الإشارة هو $A = |s_r|$ حيث A ثابت عند النطاق الأساسي فإن التردد المستقبل f_r يختلف عن التردد المرسل f_t بمقدار تردد دوبلر f_D أي أن:

$$f_r = f_i - \frac{V}{\lambda} \cos \theta \quad 10-3-1$$

عندما تتحرك المحطة المتحركة مبتعدة عن المصدر $\theta = 0^\circ$ يصبح التردد المستقبل $f_r = f_i - V/\lambda$ ، وعندما تدور المحطة المتحركة حول المصدر $\theta = 90^\circ$ يصبح $f_r = f_i$ وعندما تتحرك المحطة المتحركة باتجاه المصدر $\theta = 180^\circ$ يصبح $f_r = f_i + V/\lambda$.

الحالة الثالثة: تتحرك المحطة المتحركة بسرعة (V) على طريق بين المرسل وأحد النواثر (انظر الشكل 5-1 حـ). تمثل الاشارة الآتية من المرسل بالمعادلة 3-1-8 وعندما تكون $\theta = 0^\circ$ تصبح كالآتي:

$$A \exp \left[j2\pi \left(f_i - \frac{V}{\lambda} \right) t \right]$$

بافتراض أن الناثر مثالي والموجة المنعكسة عنه من الاتجاه المقابل $\theta = 180^\circ$ هي:

$$-A \exp \left[j2\pi \left(f_i + \frac{V}{\lambda} \right) t \right]$$

والاشارة الناتجة هي حاصل مجموع الموجتين:

$$s_r = (Ae^{-j2\pi \frac{V}{\lambda} t} - Ae^{j2\pi \frac{V}{\lambda} t}) e^{j2\pi f_i t} \quad 11-3-1$$

ويكون غلاف S_r هو $|S_r|$ على شكل موجة مستقرة يعبر عنها بما يلي:

$$|s_r| = 2A \sin \left(2\pi \frac{V}{\lambda} t \right) \quad 12-3-1$$

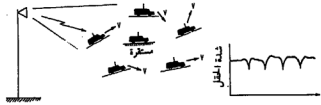
مثال 2-1: أوجد الفرق في رسم أشكال الموجة المستقرة في التدرج الخطي والتدرج بالديسيل.

المعادلة 12-3-1 هي معادلة شكل موجة مستقرة وقد رسمت بكلا التدرجين الخطي واللوغاريتمي (الديسيل) كما هو مبين في الشكلين م 1-1 و م 1-2 على التوالي.

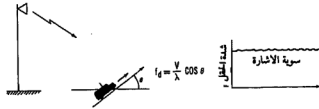
بما أنه في هذه الحالة البسيطة يلاحظ المستقبل نمط موجة مستقرة عوضاً عن اتساع ثابت في النطاق الأساسي فإن ظاهرة الخفوت تفسر من طبيعة الموجة المستقرة، إن الشكل النموذجي للخفوف بوجود N موجة منعكسة (N أكبر بكثير من 2) يمكن أن يشاهد في الشكل م 1-1 جـ وقد شرح في الحالة الخامسة.

مثال 3-1 : تصل موجتان إلى المحطة المتحركة من اتجاهين مختلفين θ_1 و θ_2 .

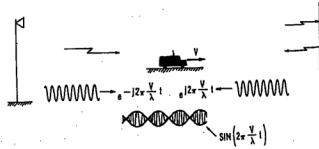
يكون اتساع الإشارة المستقبلية هو: $|s_r| = 2A \cos \left[2\pi \frac{V}{2\lambda} (\cos \theta_1 - \cos \theta_2) \right]$



III. (أ) الحالة ١ : المستقبل المتحرك مستقر



(ب) الحالة ٢ : المستقبل المتحرك متحرك (بدون نوازل)



(ج) الحالة ٣ : حالة موجة مستقرة

الشكل 5-1 ظاهرة الخفوت قصير الأجل

الحالة الرابعة : لنفترض أن الموجتين الواردتين ليستا متعاكستين تماماً، ولكن زاويتا الورد $\theta = 0^\circ$ و $\theta = \theta_1^\circ$ كما هو ظاهر في الشكل 5-1 د، ولنفترض أن هاتين

الموجتين هما موجتان منعكستان باتساعين متساويين .
 باستخدام المعادلة 8-3-1 لتمثيل كل من الموجتين وجمعها يمكن حساب
 تردد الخفوت الملاحظ عند المستقبل المتنقل كما يلي:

$$\begin{aligned} s_r &= Ae^{j2\pi f_d t} (e^{-j\beta x} + e^{-j\beta x \cos \theta_1}) \\ &= Ae^{j2\pi f_d t} \cdot 2e^{-j\frac{\beta x}{2}(1 + \cos \theta_1)} \cdot \cos \left(\frac{\beta x}{2} - \frac{\beta x}{2} \cos \theta_1 \right) \end{aligned} \quad 13-3-1$$

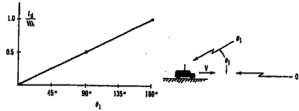
ولتكن $x = Vt$ عندئذ يمكن الحصول على تردد الموجة المستقرة f_d أو الزاوية ω_d
 من المعادلة 13-3-1 كما يلي:

$$\omega_d = 2\pi f_d = \frac{\beta \omega}{2} - \frac{\beta \omega}{2} \cos \theta_1 = 2\pi \frac{V}{2\lambda} \cdot (1 - \cos \theta_1)$$

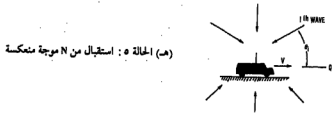
أو

$$f_d = \frac{V}{2\lambda} (1 - \cos \theta_1) \quad 14-3-1$$

إذا كانت $\theta_1 = 0^\circ$ فإن $f_d = 0$ وهذا يعني أن تردد الخفوت هو صفر عندما ترد
 الموجتان من نفس الاتجاه ، ويكون تردد الخفوت مساوياً إلى V/λ عندما ترد الموجتان
 إلى المستقبل المتنقل من اتجاهين متعاكسين . . .
 رسمت المعادلة 14-3-1 في الشكل 5-1 د

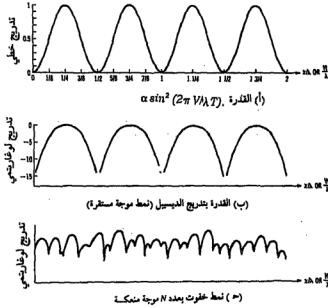


(د) الحالة (4): حالة موجة مستقرة عامة



(هـ) الحالة 5: استقبال من N موجة منعكسة

تابع الشكل 5-1

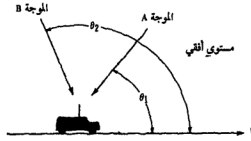


الشكل م 1-1 توضيحات عن الخفوت بتدرجات مختلفة

مثال 4-1 : يمكن الحصول على العلاقة العامة لتردد الخفوت f_d لموجتين واردتين بزاويتين مختلفتين θ_1 و θ_2 بالنسبة لحركة العربة كما هو مبين في الشكل م 2-1 بتبديل الحد $\sin \theta_1$ إلى الحد $\sin \theta_2$ في المعادلة 13-3-1 تكون النتيجة:

$$f_d = \frac{V}{2\lambda} (\cos \theta_2 - \cos \theta_1) \quad 14-3-1$$

إن تردد دوبلر المبين في العلاقة 9-3-1 يختلف بشكل عام عن تردد الخفوت المبين في العلاقة 14-3-1 . ويكون تردد دوبلر هو نفسه تردد الخفوت فقط في حالة $\theta_1 = 180^\circ$ ولهذا يجب الحذر عند استخدام هذين الحدين . يخطئ كثير من الناس في استخدامها عند مناقشة المسائل المتعلقة بالاتصالات المتنقلة .



الشكل م 2-1 موجتان واردتان بزاويتين مختلفتين

الحالة الخامسة: لنفترض أن N موجة منعكسة ترد من N اتجاه غير محدد باحتمالات متساوية وليس فيها موجة مباشرة، عندئذ تكون الإشارة المستقبلية في المستقبل المتنقل هي:

$$s_r = \sum_{i=1}^N A_i e^{j2\pi f_i t} \cdot e^{j\theta_i} \cos \theta_i \quad 15-3-1$$

حيث f_i هو التردد المرسل و V هو سرعة المحطة المتنقلة و θ_i هو اتجاه الموجة رقم i الواردة كما هو مبين في الشكل 5-1 هـ.

عند تمثيل إشارة الخفوت فإن A_i متغير عشوائي معقد متوسطه صفر وتباينه (variance) واحد وكذلك θ_i متغير عشوائي من صفر إلى 360° .

تمثل المعادلة 15-3-1 إشارة خفوت بتضخيم الصورة المبينة في الشكل 5-1 هـ. وإضافة أزواج عديدة من الأمواج المستقرة (كل منها على نفس الشكل المبين في الحالة الرابعة) عندئذ يمكن الحصول على تردد الخفوت الأعظمي من المعادلة 14-3-1 كما يلي:

$$f_{\max} = \frac{V}{\lambda} \quad 16-3-1$$

والذي هو نفس تردد دوبلر الأعظمي f_D المذكور في المعادلة 3-1-9 .

3-3-1 تصنيف الأقية

هناك نوعان من النشر في وسط تشتتي هما نشر دوبلر F ونشر المسارات المتعددة δ . نشر دوبلر F بالتردد ونشر المسارات المتعددة δ بالزمن . في الحالة العامة جميع الأوساط مشتتة ، وعلى كل يمكن تصنيف خصائص وسط ما على أساس فترة تواجد إشارة الموجة العاملة المرسله T وعرض نطاقها W ويمكننا أيضاً معاملة جميع الأوساط نأقية لأن تعريف القناة هو الوصلة التي تصل المرسل مع المستقبل .

الأقية غير المشتتة :

تشكل قناة الخفوت غير المشتتة إذا وافق نوعا النشر F, δ الشروط التالية :

$$F \ll \frac{1}{T} \text{ and } \delta \ll \frac{1}{W}$$

تدعى قناة الخفوت غير المشتتة أيضاً بقناة الخفوت المنتظم غير الانتقائي ، في كثير من الأنظمة العملية يتم اختيار قيم T, W بحيث تتحقق الشروط السابقة ويعمل النظام في قناة غير مشتتة .

الأقية المشتتة بالزمن

هذه الأقية مشتتة بالزمن فقط وليس بالتردد ، لكي تكون القناة مشتتة بالزمن

يجب تحقق الشروط التالية :

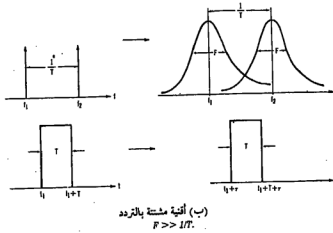
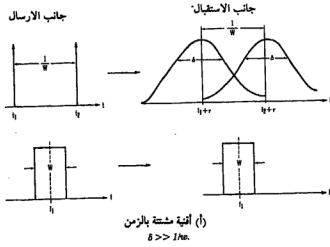
$$\delta \gg \frac{1}{W} \text{ and } \delta \gg T \quad \text{ولكن}$$

مشتتة بالزمن

$$F \ll \frac{1}{T}$$

غير مشتتة بالتردد

يبين الشكل 6-1 توضيحات الأقية المشتتة بالزمن وتدعى كذلك أقية الخفوت الانتقائي بالتردد وذلك لأنه في نفس الوقت يمكن لإشارة بتردد ما أن تخفت وليس من الضروري أن تخفت إشارة بتردد آخر ، وتدعى بعض الأحيان بأقية الخفوت المنتظم زمنياً .



الشكل 6-1 تصنيف الأفقية

الأفقية المشتة بالتردد

هذه الأفقية مشتة بالتردد وليس بالزمن، وتعتبر الشروط التالية عن الأفقية

المشتة بالتردد:

$$F \gg \frac{1}{T} \text{ and } F \gg W$$

مشتة بالتردد

ولكن

$$\text{غير مشتتة بالزمن} \quad 8 < \frac{1}{W}$$

تدعى الألفية المشتتة بالتردد أيضاً الخفوت الانتقائي بالزمن لأن انتقائية القناة تغير اجزاء زمنية معينة من الموجة المرسله ، وتدعى أيضاً الخفوت المنتظم ترددياً لأن جميع المركبات الترددية للموجة المرسله تشكل بنفس الدالة . يوضح الشكل 1-6 القناة المشتتة بالتردد.

الألفية ثنائية التشبيت

تخضع مثل هذه الألفية للخفوت الانتقائي بالزمن وبالتردد معاً والخفوت ليس منتظماً لا بالزمن ولا بالتردد .

1-4-3 تأثير المناخ

يسبب الضباب الأرضي الكثيف أو الهواء البارد جداً على أرض دافئة انكسارات جوية تتغير مع الارتفاع . اذا كان هوائي محطة القاعدة على ارتفاع أقل من 91 م (300 قدم) عن سطح الأرض وكان طول مسار النقل أقل من 23 كم (15 ميلاً) فإن الانكسارات الجوية لا تؤثر في انحناء المسار الراديوي عن الخط المستقيم للمسار .

بما أن الأمواج الراديوية تسير في خط مستقيم على مسار النقل فإن الخفوت الانتقائي بالتردد الناتج عن تداخل موجتين أو أكثر غير ممكن الحدوث .

في نظم الاتصالات المتنقلة يمكن في بعض الأحيان أن تأتي إشارة التداخل من مسافة تزيد عن 32 كم (20 ميلاً) . في مثل هذه الحالة يمكن لمسار إشارة التداخل أن ينحني ويخفت طبقاً لتغيرات الجو . بصورة عامة تزداد خسارة المسار عند انحنائه مما يساعد في تخفيف مشاكل التداخل عند تصميم النظام .

انعكاس الأمواج الميكروية على التضاريس المغطاة بالثلج :

يمكن أن تقاس درجة انعكاس القدرة بمعامل الانعكاس وهو نسبة الموجة المنعكسة إلى الموجة الواردة . يعني معامل الانعكاس 1 موجة منعكسة كلياً ويعني معامل الانعكاس 0 انه لا توجد موجة منعكسة . عندما تكون زاوية التماس α (المبينة

في الشكل (1-1) صغيرة (وهذه هي الحال في ظروف الاتصالات المتنقلة) فإن قيمة معامل الانعكاس لموجة منعكسة عن الأرض يكون دائماً قريباً من الواحد بغض النظر عن خصائص الأرض مبتلة أو جافة، بترية زراعية أو رملية، عليها ثلج أو جليد. يري الجدول 1-1 معطيات عالمية على أمواج ميكروية منعكسة عن ثلوج من أشكال مختلفة عند التردد 4000 م هـ.

الجدول 1-1 قيم معامل الانعكاس على تضاريس مغطاة بالثلج

ثلج حبيبي بطول 64 سم (25)		ثلج مستقر بارتفاع 98 سم (39)		زاوية التناس $\alpha = 2.5^\circ$ $\alpha < 1^\circ$
استقطاب عمودي	استقطاب أفقي	استقطاب عمودي	استقطاب أفقي	
0,743	0,84	0,7	0,764	
1	1	1	1	

يكون معامل الانعكاس قريباً من الواحد بغض النظر عن نوع الثلج والاستقطاب ما دامت زاوية التناس أقل من 1° ذكرت في الفصل الثالث، بعض الملاحظات العامة عن معامل الانعكاس. بما أن الموجة المنعكسة عن الأرض تخضع لتغير صفحة قدره 180° فإن محصلة معامل الانعكاس هي (1-).

التأثير الكهرومغناطيسي الناتج عن تراكم الثلج على الهوائي :

في الحالة العامة تتخامد الأمواج المنتشرة داخل الجليد أو الثلج بمقدار يقل عن 0,95 ديسيبل / م تقريباً. إذا كان الهوائي المستخدم قطع مكافئ فإن التخامد الناتج عن سماكة الثلج على قمع التغذية أو طبق القطع المكافئ، أو كليهما يمكن أن يسبب خسارة كبيرة. بما أن طبق القطع المكافئ يستخدم عادة لترددات تزيد على النطاق C فإنه يمكن أن تجدول الخسارة عند التردد 7000 م هـ. وهوائي قطره 1,2 م (3,9) قدم يؤمن ربحاً قدره 38 ديسيبل عند التردد 7000 م هـ. وقد وضعت قيم الخسارة مع سماكة الجليد في الجدول 2-1.

يمكن أن يرى أن الخسارة الناتجة عن تراكم الثلج على الهوائي تتناسب مع التردد ومساحة الجليد على الجهاز، كما تتأثر أيضاً بحالة الجليد أو الثلج ومكانه على الهوائي .

الجدول 2-1 خسارة التخماد عندما يكون الجليد على الهوائي

جليد/ ثلج متراكم على	خسارة التخماد (ديسيل)
نصف سطح قطع مكافئ 1 ~ 3 سم قمع تغذية بدون الميكانيكا 2 سم قمع التغذية نصف السطح السفلي 2 سم قمع التغذية كامل السطح 0.3 سم	16 ~ 4 (ثلج مجلد) 7 (ثلج رطب) 2.5 (ثلج مجلد) 5 (ثلج مجلد) 6 (ثلج رطب) 4 (ثلج مجلد)

4-1 مبدأ التعاكسية

يفيد مبدأ التعاكسية أن شدة حقل الإشارة المستقبلية عند هوائي محطة القاعدة من المرسل المنقل هي نفسها المستقبلية عند هوائي المحطة المتنقلة من مرسل محطة القاعدة. ينطبق مبدأ التعاكسية في محيط الاتصالات المتنقلة في حالات معينة. يتم تجهيز اختبار ما بعض الأحيان بصورة أسهل بكثير من تجهيز اختبار آخر. يمكن استخدام التعاكسية للتنبؤ عن النتيجة حتى لو كان التجهيز بصورة مغايرة.

يكون هوائي محطة القاعدة دائماً أعلى من معظم ما يحيط به وهوائي المحطة المتنقلة أعلى من الأرض بـ 3 م فقط. وبالرغم من أن الوسط متجانس فإن نسبة الإشارة إلى الضجيج الملتقطة عند المحطة المتنقلة تختلف عن مثلثتها عند محطة القاعدة للسبب التالي:

بما أن الضجيج الصناعي الغالب عليه ضجيج الاشتعال الآلي للعربة (انظر الفصول 4-6 و 6-7) فإن مصدر الضجيج أقرب إلى هوائي العربة منه إلى هوائي محطة

القاعدة ولهذا فإن الضجيج الملتقط في هوائي العربة أعلى من مثيله في هوائي القاعدة، وبالرغم من تساوي شدتي الاشارتين الملتقطتين في كلا الجانبين (القاعدة والمتنقلة) فإنه باتباع مبدأ التعاكسية فإن نسبة الاشارة إلى الضجيج في كلا الجانبين مختلفة .

لذلك فإن مبدأ التعاكسية لنسبة الاشارة إلى الضجيج لا ينطبق في محيط الاتصالات المتنقلة، في كثير من الحالات في محيط الاتصالات المتنقلة لا تكون قيم الخصائص التي حصل عليها عند المحطة المتنقلة هي نفس القيم التي حصل عليها عند محطة القاعدة . وعندما نقول أن مبدأ التعاكسية منطبق فلنأخذ نغني شدة المجال وذلك بافتراض أن الرسائل والواقظ والهوائيات في كلا الجانبين بقيت دون تغيير.

هناك بعض الخصائص الأخرى مثل نسبة الاشارة إلى الضجيج (الفصول 4-6 و6-7) وعلاقات الفصل بين الهوائيات (الفصل 2-6) والهوائيات الموجهة (الفصل 4-7) وتأثير موجات النمط الاشعاعي للهوائي (الفصل 3-6) هي غير تعاكسية . وسندرس هذه المواضيع في فصول قادمة .

1-5 تعريف المصطلحات الضرورية وتطبيقاتها

1-5-1 المتوسطات

عند معالجة المعطيات الحقيقية توجد المتوسطات التالية: متوسط العينات $\bar{x}(t)$ والمتوسط الزمني محدود الفترة $\bar{x}(t)$. أما في الاحصاء فتوجد متوسطات المجموعات $E[x]$ والمتوسطات الزمنية غير محدودة الفترة $\langle x(t) \rangle$.
متوسط العينات (\bar{x}) .
يحسب متوسط العينات كمتوسط حسابي تقليدي .

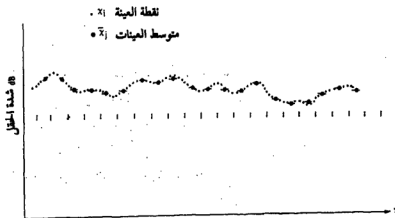
$$\bar{x} = \frac{\sum_{i=1}^N x_i}{N} \quad 1.5.1$$

حيث \bar{x}_i متغير عشوائي ويجب أن تكون N كبيرة لتكون القيمة \bar{x} متوسطاً ذا معنى.

من المعادلة 1-5-1 يمكن معرفة توزيع \bar{x} . لنفترض أنه توجد مجموعة متغيرات M من x_i حيث $M > N$. وبعد حساب المتوسط يوجد M/N رقماً من \bar{x} . كل من \bar{x} و \bar{x}_j

$$\left(\bar{x}_j = \sum_{i=0}^{N-1} x_i / N \right)$$

هو متغير جديد. بغض النظر عن توزيع المتغير العشوائي x_i وما دام الرقم N كبيراً (أكبر من 10) فإن المتغير العشوائي الجديد \bar{x}_j يصبح متغيراً طبيعياً (متغيراً حسب قانون غوس). إذا كانت قيمة x_i بالديسيبل فإن \bar{x}_j متغير طبيعي لوغاريتمي كما هو مبين في الشكل 7-1. سيتم شرح التوزيع الطبيعي اللوغاريتمي في الشكل 2-5-1.



الشكل 7-1 توضيح متوسطات العينات

المتوسط الاحصائي

ويدعى أيضا متوسط المجموعات وهو عندما تقترب N في المعادلة 1-5-1 من اللانهاية .

$$E[x] = \lim_{N \rightarrow \infty} \frac{\sum_{i=1}^N x_i}{N} \quad 2.5.1$$

يمكننا تحديد الرقم N بحيث تقترب قيمة x من $E[x]$ حسب المعادلة

$$(E[x] - \bar{x})^2 < \delta \quad 3.5.1$$

حيث δ خطأ مسموح به ، نفترض في مجال مجموعات العينات أن x_{i+1}, x_i هما متغيران مستقلان أي لا يمكن التنبؤ بقيمة x_{i+1} من قيمة x_i وبذلك يمكن أن تتحدد قيمة N من

$$\left(\frac{\sum_{i=1}^{N+1} x_i}{N+1} - \frac{\sum_{i=1}^N x_i}{N} \right)^2 < \delta \quad 4.5.1$$

المتوسط الزمني محدود الفترة

عندما تسجل حادثة عشوائية $x(t)$ على مقياس زمني، يمكن الحصول على المتوسط بالشكل :

$$\bar{x}(t) = \frac{1}{T} \int_0^T x(t) dt \quad 5.5.1$$

وهذا هو المتوسط الزمني الذي نحصل عليه عند استخدام التكامل .

المتوسط الزمني غير محدود الفترة :

عندما تصبح الفترة الزمنية T في المعادلة 5-5-1 لا نهاية نحصل على المتوسط الزمني غير محدود الفترة :

$$\langle x(t) \rangle = \lim_{T \rightarrow \infty} \frac{1}{T} \int_0^T x(t) dt \quad 6.5.1$$

بما أن T لا يمكن أن تكون لا نهاية في القياسات الحقيقية علينا أن نحدد الفترة T بحيث:

$$\hat{x}(t) \xrightarrow{T \rightarrow \text{large}} \langle x(t) \rangle$$

أو

$$(\langle x(t) \rangle - \hat{x}(t))^2 < \delta$$

حيث δ رقم عشري غير محدود يقرب من الصفر.

نستخدم في الحقيقة العلاقة التالية لتحديد الفترة T .

$$\left(\frac{1}{T} \int_0^T x(t) dt - \frac{1}{T} \int_0^T x(t) dt \right)^2 < \delta \quad 7.5.1$$

العملية الارغودية

إذا كانت قيمة المتوسط الاحصائي التي تم الحصول عليها في مجال المجموعات هي نفس قيمة المتوسط التي تم الحصول عليها في المجال الزمني فإن العملية العشوائية من هذا النوع تدعى بالعملية العشوائية صادقة التمثيل (الارغودية)

$$\begin{aligned} E[x(t)] &= \langle x(t) \rangle \\ E[x^2(t)] &= \langle x^2(t) \rangle \\ E[x^n(t)] &= \langle x^n(t) \rangle \end{aligned} \quad 8.5.1$$

إذا بقي الاتصال المقام بدون تغيير في العملية الارغودية فإن قيم المعطيات الملتقطة في كل مكان ستبقى بدون تغيير أيضا في فترات مختلفة من الزمن. لحسن الحظ يمكن عد اشارة الراديو المتنقل الخافضة عملية ارغودية.

وبما أنه من الأسهل لنا والأكثر فعالية أن نستخلص المتوسط في مجال الزمن منه في مجال المجموعات فإننا سنحسب المتوسط الاحصائي في المجال الزمني . ولتبسيط الرموز أيضا في هذا الكتاب فإننا سنستخدم الرمز \bar{x} ليعني $\langle x \rangle$ ما لم يذكر خلاف ذلك .

2-5-1 دالة الكثافة الاحتمالية (pdf)

يبين الشكل 8-1 أ إشارة نمطية متعددة المسارات خافتة بعدد N من العينات والتدرج العمودي بالديسبيل . نقسم أولاً تدرج الديسبيل إلى أقسام متساوية كل منها بمقدار (1) ديسبيل ثم نعد نقاط العينات في كل قسم ونرسم التعداد مع السويات كما هو مبين في الشكل 8-1 ب .

تحتاج دالة الكثافة الاحتمالية المنشأة من معلومات تجريبية بالديسبيل عادة إلى عامل تصحيح ملائم لوضعها بقيم خطية قبل مقارنتها بالقيم النظرية . لنفترض ان دالة الكثافة الاحتمالية للمتغير x بتدرج الديسبيل هي $p(x)$ وأن دالة الكثافة الاحتمالية للمتغير y في التدرج الخطي هي $p(y)$ عندئذ:

$$p(y) = \left(\frac{20 \log_{10} e}{y} \right) p(x)$$

نحاول عادة أن نحصل على التوزيع الاحتمالي التراكمي تجريبياً بصورة مباشرة (الشكل 8-1 جـ) . عندئذ تكون دالة الكثافة الاحتمالية التجريبية هي مشتق التوزيع الاحتمالي التراكمي والذي سيشرح في الفقرة 3-5-1 .

ان دالة الكثافة الاحتمالية النظرية المعرفة هنا هي ثلاث دوال كثافة احتمالية تستخدم لشرح محيط الإشارة الراديوية المتنقلة .

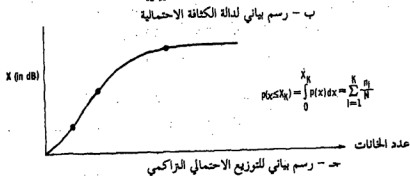
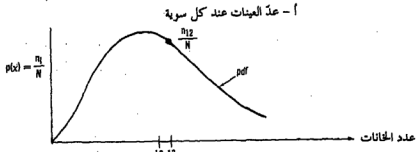
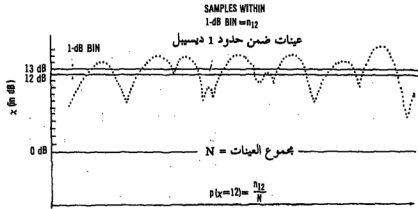
دالة الكثافة الاحتمالية الطبيعية - اللوغاريتمية :

وهي تمثل الحفوت طويل الأجل أو المتوسطات المحلية

$$p(y) = \frac{1}{\sqrt{2\pi}\sigma_y} \exp\left(-\frac{(y-m)^2}{2\sigma_y^2}\right)$$

9.5.1

حيث أن العمليات المذكورة في المعادلة 9-5-1 هي المتغير الطبيعي اللوغاريتمي ووسطه m وانحرافه المعياري σ_y كلها بتدريج الديسيبل. إن دالة الكثافة الاحتمالية الطبيعية اللوغاريتمية متناظرة دوماً بالنسبة لسوية المتوسط. (انظر الشكل 9-1 أ).



الشكل 8-1 الخطوات النمطية للحصول على دالة الكثافة الاحتمالية والتوزيع الاحتمالي التراكمي.

دالة الكثافة الاحتمالية لرايلي :

وهي تمثل الحفوت قصير الأجل أو خفوت المسارات المتعددة

$$p(r) = \frac{r}{\sqrt{r^2}} \exp\left(-\frac{r^2}{r^2}\right) \quad 10.5.1$$

أو

$$p(R) = 2R \exp(-R^2)$$

أو

$$p(\gamma) = \frac{1}{\Gamma} \exp(-\gamma/\Gamma)$$

حيث \bar{r}^2 هو القدرة المتوسطة للحفوت قصير الأجل و $\sqrt{r^2}$ هو جذر متوسط تربيعات القيمة r لا يمكن لقيمة r أن تكون تحت الصفر (سالبة)، وكذلك فإن دالة الكثافة الاحتمالية لرايلي ليست متناظرة (انظر الشكل 9-1 ب).

وإن قيمة رايلي $R = \sqrt{r^2/r^2}$

حيث R هي تغير الاتساع بالنسبة لقيمة جذر متوسط التربيعات له $\sqrt{r^2}$ ، وأن γ هي نسبة الإشارة إلى الضجيج و Γ هي متوسط نسبة الإشارة إلى الضجيج. إن العلاقة بين R, r, γ هي :

$$\frac{\gamma}{\Gamma} = \frac{r^2}{N} \bigg/ \frac{r^2}{N} = R^2$$

وأن الانحراف المعياري σ_r هو:

$$\sigma_r = \frac{\sqrt{4 - \pi}}{2} (\sqrt{r^2}) \quad 11.5.1$$

ومتوسط r هو

$$m = \frac{\sqrt{\pi}}{2} (\sqrt{r^2}) \quad 12.5.1$$

تكون القدرة المتوسطة عند سوية 63% ، وهذا يعني أن 63% من الإشارة يقع تحت سوية القدرة المتوسطة .

دالة الكثافة الاحتمالية لرايسيان :

وهي تمثل موجة مباشرة بالإضافة إلى موجات منعكسة

$$p(r) = \frac{2r}{r^2} \exp\left(-\frac{r^2 + a^2}{r^2}\right) I_0\left(\frac{r}{\sqrt{\frac{r^2}{2}}}, \frac{a}{\sqrt{\frac{r^2}{2}}}\right) \quad 13.5.1$$

حيث r هي غلاف الموجة الخافتة ، $\sqrt{\frac{r^2}{2}}$ هو متوسط الإشارة الخافتة ، a هو اتساع الموجة المباشرة ، $I_0(\cdot)$ هو تابع بسل المعدل من الدرجة صفر والذي يعبر عنه رياضياً بالعلاقة .

$$I_0(x) = \sum_{n=0}^{\infty} \frac{x^{2n}}{2^{2n} n! n!} \quad 14.5.1$$

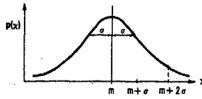
إذا كانت $x \gg 1$ فإن المعادلة 14-5-1 تصبح :

$$I_0(x) = \frac{e^x}{(2\pi x)^{1/2}} \left(1 + \frac{1}{8x} + \frac{9}{128x^2} + \dots\right) \quad 15.5.1$$

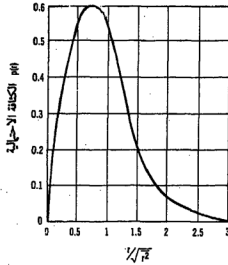
يبين الشكل 9-1 دالة الكثافة الاحتمالية لرايسيان لغلاف خافت r ، بقيم مختلفة $a_0 = \frac{a}{\sqrt{r^2/2}}$ عندما تكون $\sqrt{r^2} \gg ra$ ، وتصبح المعادلة 13-5-1 بالشكل :

$$p(r) = \frac{\sqrt{2}}{\sqrt{r^2}} \left(\frac{r}{2ma}\right)^{1/2} \cdot \exp\left(-\frac{(r-a)^2}{r^2}\right) \quad 16.5.1$$

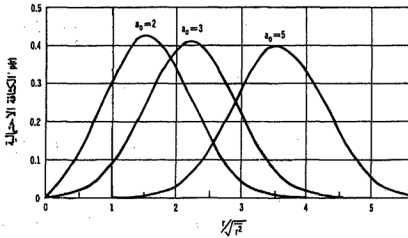
عندما تكون a كبيرة و r قريبة من a تصبح المعادلة 16-5-1 دالة طبيعية تقريباً (توزيع غوص) . عندما لا توجد الموجة المباشرة تصبح a صفراً والمعادلة 13-5-1 دالة رايلي .



(أ) التوزيع الطبيعي لـ pdf



(ب) توزيع رايلي لـ pdf



(ج) توزيع رايسان لـ pdf

الشكل 9-1 التوزيعات المختلفة لدالة الكثافة الاحتمالية

3-5-1 التوزيع الاحتمالي التراكمي (CPD) :

من الإشارة الخافتة ذاتها المبينة في الشكل 8-1 أ نعد N_1 نقطة عينة تحت سوية محددة L_1 ونحصل على النسبة المئوية N_1/N لسوية L_1 حيث N العدد الكلي للعينات . يمكن الحصول على النسب المئوية لنقاط عينات تحت سويات أخرى L_2, L_3, \dots, L_n وذلك بعد نقاط العينات تحت تلك السويات . نرسم تلك النسب مقابل السويات ويدعى الخط البياني هذا بالتوزيع الاحتمالي التراكمي وهو مبين في الشكل 8-1 جـ .

ويمكن أن يرسم أيضاً على ورقة رايلي (لوغاريتمية - خطية) كما في الشكل 10-1 . وتدعى ورقة رايلي بهذا الاسم لأن منحني رايلي قد رسم على تلك الورقة بالذات وكان خطأ مستقيماً . وهو سهل الاستخدام لحساب أي نتيجة بالمقارنة المئوية مع خط رايلي . نوضح العلاقات النظرية للتوزيعات الاحتمالية التراكمية بما يلي :

التوزيع الاحتمالي التراكمي الطبيعي - اللوغاريتمي (غوص) :

لا يوجد حل تحليلي للتوزيع الاحتمالي التراكمي الطبيعي اللوغاريتمي CPD

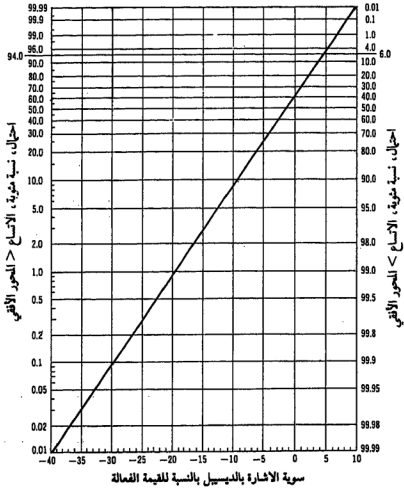
$$P(y \leq L) = \int_{-\infty}^L p(y) dy = \int_{-\infty}^L \frac{1}{\sqrt{2\pi}\sigma_y} \exp\left(-\frac{(y-m)^2}{2\sigma_y^2}\right) dy \quad 17.5.1$$

بادخال العامل التوازني $z = \frac{y-m}{\sigma_y}$ في المعادلة 17-5-1 نحصل على

$$P\left(z \leq Z = \frac{L-m}{\sigma_y}\right) = \frac{1}{2\pi} \int_{-\infty}^Z e^{-\frac{z^2}{2}} dz \quad 18.5.1$$

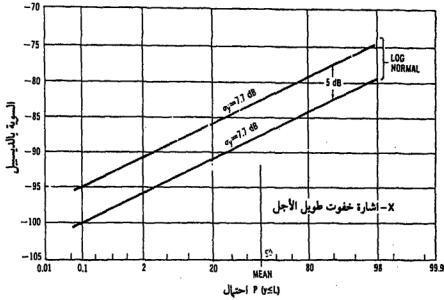
من أجل قيم كبيرة لـ Z تصبح المعادلة 18-5-1 على الشكل :

$$\begin{aligned} P(z \leq Z) &= 1 - \frac{e^{-\frac{z^2}{2}}}{\sqrt{2\pi}Z} \left(1 - \frac{1}{Z^2} + \frac{1 \cdot 3}{Z^4} - \frac{1 \cdot 3 \cdot 5}{Z^6} + \dots\right) \quad 19.5.1 \\ &\approx 1 - \frac{e^{-\frac{z^2}{2}}}{\sqrt{2\pi}Z} \end{aligned}$$



الشكل 10-1 ورقة رايلي

رسمت المعادلة 19-5-1 في الشكل 11-1 بمتوسطين مختلفين - 82,5 ديسيبل ،
و- 87,5 ديسيبل ونفس الانحراف المعياري $\sigma = 7,7$ ديسيبل .



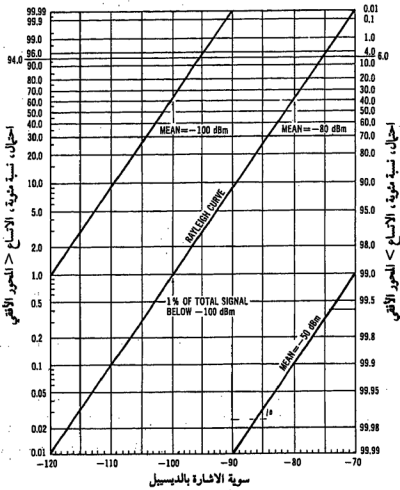
الشكل 11-1 التوزيع الاحتمالي التراكمي للدالة الطبيعية اللوغارتمية

التوزيع الاحتمالي التراكمي لرايلي :

يمكن الحصول عليه بتكامل المعادلة 10-5-1

$$\begin{aligned}
 P(r \leq R) &= \int_0^R p(x) dx & 20.5.1 \\
 &= \int_0^R \frac{r}{R^2} \exp\left(-\frac{r^2}{R^2}\right) dr \\
 &= 1 - \exp\left(-\frac{R^2}{R^2}\right)
 \end{aligned}$$

رسمت المعادلة 20-5-1 في الشكل 12-1 . عند تغيير متوسط سوية القدرة ينزاح المنحني ويبقى ميله ثابتاً، وبكلمات أخرى يمكن إيجاد متوسط سوية القدرة لكل منحني بفحص السوية 63% على الخط البياني .



الشكل 12-1 التوزيع الاحتمالي التراكمي لمنحني رايلي

التوزيع الاحتمالي التراكمي لرايسيان
يمكن الحصول عليه بتكامل المعادلة 13-5-1 .

$$P(r \leq R) = \int_0^R p(r) dr$$

$$= \int_0^{R_0} r_0 \exp\left(-\frac{r_0^2 + a_0^2}{2}\right) J_0(a_0 r_0) dr_0$$

21.5.1

حيث R_0, τ_0, a_0 هي معاملات مقيسة لـ r و R على التوالي :

$$r_0 = r / \sqrt{\frac{r^2}{2}}, a_0 = a / \sqrt{\frac{r^2}{2}}, \text{ and } R_0 = R / \sqrt{\frac{r^2}{2}} \quad (22.5.1)$$

عندما تكون $\sqrt{r} \gg ar$ تعوض سلسلة نشر المعادلة 15-5-1 في المعادلة 21-5-1 وتهمل الحدود بعد π^{-3} ، يكون الحل التقريبي عندئذ لقيم a الكبيرة هو:

$$P(r \leq R) \approx \frac{1}{2} + \frac{1}{2} \operatorname{erf} \left(\frac{R_0 - a_0}{\sqrt{2}} \right) \quad 23.5.1$$

$$- \frac{1}{\sqrt{8\pi a_0}} \left[1 - \frac{R_0 - a_0}{4a_0} + \frac{1 + (R_0 - a_0)^2}{8a_0^2} \right] \exp \left[- \frac{(R_0 - a_0)^2}{2} \right]$$

يبين الشكل 13-1 دالة التوزيع الاحتمالي التراكمي لرايسيان بقيم مختلفة من a_0

4-5-1 معدل تقاطعات المستوى (lcr) ومتوسط دوام الخفوت (adf)

نعد تقاطعات الميول الايجابية عند مستوى A . ويتقسيم العدد الكلي للتقاطعات N على T ثانية طول الفترة من المعطيات التي حصلت خلالها التقاطعات يصبح معدل تقاطعات المستوى:

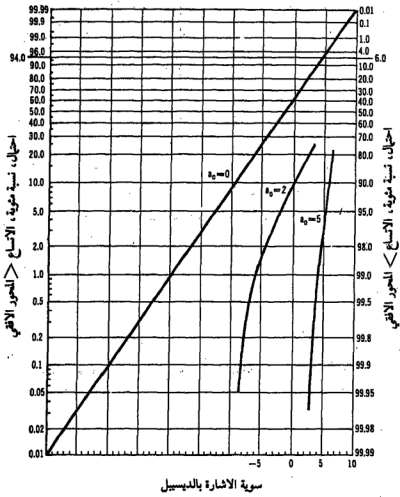
$$n(r - A) = \frac{N}{T} \quad 24-5-1$$

يمكن حساب معدل تقاطع المستوى لاشارة خفوت نمطية وهي مبينة في الشكل 14-1 ، وستشرح المعادلة النظرية لمعدل تقاطع المستوى في الفصل الثالث .

يعرّف متوسط دوام الخفوت بمجموع فترات الخفوت مقسوماً على عدد مرات الخفوت N عند مستوى A :

$$\bar{t}(r - A) = \frac{\sum_{i=1}^N t_i}{N} \quad 25-5-1$$

حيث t_i هو الخفوت الافراي المبين في الشكل 14-1 .



الشكل 13-1 دالة التوزيع الاحتمالي التراكمي لرايسيان

يتكون التوزيع الاحتمالي التراكمي من حاصل جداء المعادلتين 24-5-1 و 25-5-1 كما هو مبين هنا.

$$n(A) \cdot \bar{t}(A) = \frac{N}{T} \cdot \frac{\sum_{i=1}^N t_i}{N} = \frac{\sum_{i=1}^N t_i}{T} \quad 26-5-1$$

$$= P(r \leq A)$$

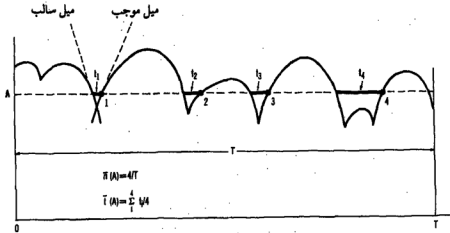
ترتبط المعادلة 26-5-1 بين ثلاث معلمات هي: معدل تقاطع المستوى ومتوسط دوام الخفوت والتوزيع الاحتمالي التراكمي .

معدل تقاطع المستوى \times متوسط دوام الخفوت = التوزيع الاحتمالي التراكمي

$$(Ior) (adf) = CPD$$

27-5-1

بما أن هذه الدوال الزمنية متعلقة بسرعة العرية فإن معدل تقاطع المستوى ومتوسط دوام الخفوت هما دالتان احصائيتان من الدرجة الثانية، أما التوزيع الاحتمالي التراكمي فهو دالة احصائية من الدرجة الأولى أي أنه ليس تابعاً للزمن . وتبين المعادلة 27-5-1 أن جداء الدالتين احصائيتين من الدرجة الثانية يصبح دالة احصائية من الدرجة الأولى .



الشكل 14-1 معدل تقاطع المستوى ومتوسط دوام الخفوت .

5-5-1 الارتباط وطيف القدرة

الارتباط:

هناك نوعان من الارتباط، الارتباط الذاتي والارتباط المتبادل وعلاقتها العامة هي:

دوال الارتباط الذاتي: ليكن المتغيران العشوائيان x_1 و x_2 هما حادثتان عشوائيتان

$x(t_1 + \tau), x(t_1)$ على التالي :

$$\begin{aligned} x_1 &= x(t_1) \\ x_2 &= x(t_2) = x(t_1 + \tau) \end{aligned}$$

نحصل على دالة الارتباط الذاتي من المتوسط الاحصائي لجداء x_1 و x_2 . ان الفرق بين متغير عشوائي x_1 وحادثة عشوائية $x(t_1)$ هو أن الأول لا يحتاج إلى ترتيب تسلسلي من العشوائية، بينما يحتاج الثاني إلى ترتيب تسلسلي من العشوائية في حقل الزمن. ونحصل على دالة الارتباط الذاتي من المتوسط الاحصائي للمتغيرين العشوائيين x_2, x_1 على الشكل التالي :

$$R_x(t_1, t_1 + \tau) = E[x_1 x_2] = \int dx_1 \int dx_2 x_1 x_2 P(x_1, x_2) dx_2 \quad 28-5-1$$

وفي حالة الحادثة الساكنة تصبح :

$$R_x(\tau) = R_x(t_1, t_1 + \tau) \quad 29-5-1$$

يمكن الحصول على دالة الارتباط الذاتي من المتوسط الزمني لجداء الحادثتين العشوائيتين $x(t_1)$ and $x(t_1 + \tau)$ على الشكل التالي :

$$\bar{R}_x(t_1, t_1 + \tau) = \lim_{T \rightarrow \infty} \frac{1}{2T} \int_{-T}^T x(t_1) x(t_1 + \tau) dt_1 = \langle x(t_1) x(t_1 + \tau) \rangle \quad 30-5-1$$

وفي حالة الحادثة الساكنة تصبح :

$$\bar{R}_x(\tau) = \bar{R}_x(t_1, t_1 + \tau) \quad 31-5-1$$

في حالة الحادثة (الارغودية) المطبقة على الوسط الراديوي المتنقل تكون

$$R_x(\tau) = \bar{R}_x(\tau) \quad 32-5-1$$

بما أن الإشارة الراديوية المتنقلة هي حادثة (ارغودية) فإن دالتي الارتباط الذاتي اللتين تم الحصول عليهما من المتوسط الاحصائي والمتوسط الزمني لهما نفس النتائج.

ويمكننا ان نختار للمعالجة أيًا من هذين المتوسطين . من الآن فصاعداً سيستخدم الرمز $R(\tau)$ لكل المتوسطين الزمني والاحصائي للنتائج x_1, x_2 . يمكن الحصول على متوسط القدرة للمتغير x من العلاقة $R(\tau)$ بوضع $\tau = 0$:

$$E[x^2] = \langle x^2 \rangle = R(0) \quad 33-5-1$$

يستخدم الرمز x^2 ليعني $\langle x^2 \rangle$ في معظم فقرات هذا الكتاب وذلك لتبسيط الرموز ما لم يعن استخدام \bar{x}^2 شيئاً آخر مختلفاً، وكذلك $R(0)$ هو القيمة العظمى لـ $R(\tau)$ أي :

$$R(0) \geq R(\tau) \quad 34-5-1$$

معامل الارتباط الذاتي: نحصل على معامل الارتباط الذاتي من دوال الارتباط الذاتي. تستخدم العلاقات التالية مبنية على أشكال الحادثة العشوائية $x_1 = x(t_1)$ بشقيها التائي والرقمي .

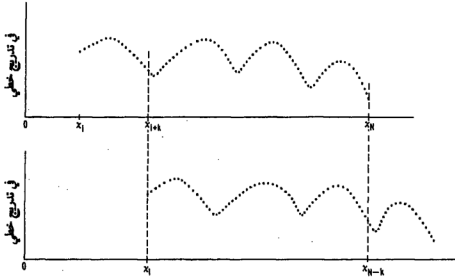
$$\rho_x(\tau) = \frac{R(\tau) - \langle x_1 \rangle^2}{R(0) - \langle x_1 \rangle^2} \quad (\text{للالشارة التائية}) \quad 35-5-1$$

$$\rho_x(k) = \frac{\frac{\sum_{i=1}^{N-k} x_i x_{i+k}}{N-k} - \left(\frac{\sum_{i=1}^N x_i}{N} \right)^2}{\frac{\sum_{i=1}^N x_i^2}{N} - \left(\frac{\sum_{i=1}^N x_i}{N} \right)^2} \quad (\text{للالشارة الرقمية}) \quad 36-5-1$$

يبين الشكل 15-1 كيفية الحصول على المعادلة 36-5-1 . يبلغ مدى $|\rho_x(\tau)|$ أو $|\rho_x(k)|$ الواحد أو أقل منه . تنتهي $|\rho_x(\tau)|$ عادة إلى الصفر عندما تنتهي τ إلى ∞ . اللانهاية اذا كانت الاشارة دالة غير دورية كما في حالة استقبال الاشارة الخافتة المتنقلة . يتكافأ الفاصل الزمني في معالجة $\rho_x(\tau)$ مع الفاصل الفراغي Δd في معالجة $\rho_x(\Delta d)$.

لأن $\tau = \Delta d/v$ حيث v هي سرعة العربة . أحد تطبيقات الفاصل الفراغي Δd هو تحديد الفواصل بين الهوائيات على العربة ، وتحديد قيمة Δd على أساس القيمة المطلوبة للمعامل $\rho_x(\Delta d)$.

عولجت معاملات الارتباط المبينة في أماكن كثيرة من هذا الكتاب من خلال أغلفة الإشارة الخافتة في معظم الأحيان. عندما تقترب قيمة المعامل $\rho_{xy}(dd)$ من الصفر فهذا يعني أن غلافي الاشارتين الخافتين المستقبليتين بهوائيين المسافة الفاصلة بينهما dd هما غير مترابطين. عند تحقق هذا الشرط ويضم الاشارتين الخافتتين يمكن الحصول على إشارة قليلة الخفوت بصورة ملحوظة.



الشكل 15-1 معامل الارتباط الذاتي

دوال الارتباط المتبادل ومعاملاته: ليكن لدينا المتغيران العشوائيان: x و y

$$x_1 = x(t_1)$$

$$y_2 = y(t_2) = y(t_1 + \tau)$$

عندئذ تعطى دالة الارتباط المتبادل بالعلاقة التالية:

— للمتوسط الاحصائي:

$$R_{xy}(\tau) = E[x_1 y_2] = \int_{-\infty}^{\infty} dx_1 \int_{-\infty}^{\infty} x_1 y_2 p(x_1, y_2) dy_2 \quad 37-5-1$$

- للمتوسط الزمني

$$\bar{R}_{xy}(\tau) = \lim_{T \rightarrow \infty} \frac{1}{2T} \int_{-T}^T x(t_1) y(t_1 + \tau) dt_1 \quad 38-5-1$$

بما أن الإشارة العشوائية الخافتة المستقبلية في محيط الإشارة المتحركة هي حادثة (ارغودية) فإن :

$$R_{xy}(\tau) = \bar{R}_{xy}(\tau) \quad 39-5-1$$

وأن العلاقة التالية تنطبق دائماً

$$R_{xy}(\tau) \leq R_x(0)R_y(0)^{1/2} \quad 40-5-1$$

يعطى معامل الارتباط المتبادل بالعلاقة التالية :

للالشارة التفاضلية (نسق تماثلي) :

$$\rho_{xy}(\tau) = \frac{R_{xy}(\tau) - \langle x \rangle \langle y \rangle}{\sqrt{\langle x^2 \rangle - \langle x \rangle^2} \sqrt{\langle y^2 \rangle - \langle y \rangle^2}} \quad 41-5-1$$

وللالشارة الرقمية (نسق رقمي)

$$\rho_{xy}(k) = \frac{\sum_{i=1}^{N-k} \frac{x_i y_{i+k}}{N-k} - \left(\sum_{i=1}^N \frac{x_i}{N} \right) \left(\sum_{i=1}^N \frac{y_i}{N} \right)}{\sqrt{\sum_{i=1}^N \frac{x_i^2}{N} - \left(\sum_{i=1}^N \frac{x_i}{N} \right)^2} \sqrt{\sum_{i=1}^N \frac{y_i^2}{N} - \left(\sum_{i=1}^N \frac{y_i}{N} \right)^2}} \quad 42-5-1$$

المعادلتان 41,5,1 و 42-5-1 تشابهان المعادلتين 35-5-1 و 36-5-1 على التوالي من حيث العلاقة ، يبلغ مدى كل من المعاملين $\rho_{xy}(\tau)$ أو $\rho_{xy}(k)$ الواحد أو الأقل منه ، تعالج معطيات الاشارتين المقيستين المستقبليتين من منبعين أو هوائيين مختلفين باستخدام معامل الارتباط المتبادل $\rho_{xy}(0)$ دائماً . إذا اقترب المعامل $\rho_{xy}(0)$ من الصفر فهذا يعني أن الاشارتين غير متشابهتين عند $\tau = 0$

تقدير قيمة الارتباط الذاتي باستخدام تحويل فورييه السريع :

تمكن اجراءات الاستخدام المزدوج لتحويل فورييه السريع أن تحسب دالة الارتباط بصورة فعالة أكثر من الاجراءات المباشرة الموصوفة سابقاً . يمكن حساب نسبة السرعة بين الاجراءات المباشرة واجراءات تحويل فورييه السريع من العلاقة التالية :

باستخدام الحساب المباشر للمعادلة 5-1-36 لمجموعة N عينة لعدد m من التخلقات يتطلب حوالي Nm عملية جداء وجمع حقيقية .

يتطلب حساب تحويل فورييه السريع حوالي 8NP عملية جداء وجمع حقيقية، حيث P من عوامل $N = 2^p$ وتكون نسبة السرعة هي :

$$\text{Speed ratio} = \frac{\text{number of operations (direct)}}{\text{number of operations (FFT)}} = \frac{Nm}{8Np} = \frac{m}{8p} \quad 43-5-1$$

عندما تكون N كبيرة فإن m دائماً أكبر من 8p. مثال ذلك : $N = 2^{10}$ $m = 204$; $N = 204$; $m = (0.2) \cdot N = 204$; فإن نسبة السرعة هي $(204/80) = 2.5$ ولهذا فإن حساب تحويل فورييه أسرع من الحساب المباشر بمقدار 2,5 مرة. عندما تصبح و N كبيرتين تزداد نسبة السرعة.

طيف القدرة :

يتم الحساب المباشر لطيف القدرة باستخدام طريقة تحويل فورييه :

$$S(f) = \int_{-\infty}^{\infty} R(\tau) e^{-j\omega\tau} d\tau \quad 44-5-1$$

من نظرية تكامل فورييه تكون العلاقة التالية صحيحة :

$$R(\tau) = \int_{-\infty}^{\infty} S(f) e^{+j\omega\tau} df \quad 45-5-1$$

يمكن الحصول على قدرة التيار المستمر من المعادلة 44-5-1 كما يلي :

$$S(0) = \int_{-\infty}^{\infty} R(\tau) d\tau \quad 46-5-1$$

تعد حسابات تحويل فورييه السريع أكثر فعالية من الحساب المباشر. لتقدير طيف القدرة لسجل واحد من الإشارة $x(t)$ خلال فترة زمنية T يتم اختيار فترة الاعتيان $h = \Delta t$

$$h = \frac{1}{2f_s} \leq \frac{1}{2f_d} \quad 47-5-1$$

حيث f_s هي تردد الاعتيان، f_d أعلى تردد متوقع في المعطيات. يمكن الحصول على مكونات فورييه من عينة المعطيات على الشكل التالي :

$$x_k = \sum_{n=0}^{N-1} x_n \exp \left(-j \frac{2\pi kn}{N} \right) \quad 48-5-1$$

حيث

$$N = \frac{T}{h} \quad 49-5-1$$

ويصبح تقدير طيف القدرة :

$$S(f_k) = \frac{2h}{N} |x_k|^2 \quad 50-5-1$$

تبلغ نسبة السرعة بين الحساب المباشر وحساب تحويل فورييه السريع لطيف القدرة ما يلي :

$$\text{Speed ratio} = \frac{\text{number of computations (direct)}}{\text{number of computations (FFT)}} = \frac{Nm}{4Np} = \frac{m}{4p} \quad 51-5-1$$

عند مقارنة المعادلة 43-5-1 مع المعادلة 51-5-1 يظهر أن طيف القدرة يحسب بسرعة اكبر بمرتين عند استخدام تحويل فورييه السريع .

6-5-1 نشر التأخير، عرض نطاق التهاكسك، التداخل بين الرموز

تفسر المعلومات الثلاث: نشر التأخير وعرض نطاق التهاكسك، والتداخل بين الرموز كما يلي:

نشر التأخير: نتيجة لوسط التشتت الزمني فإن التأخير النمطي لغلاف الاستجابة النبضية $e(t)$ عند الاستقبال مبدى فى الشكل 16-1، ويمكن حساب متوسط التأخير الزمني T_d ونشر التأخير Δ كما يلي:

$$T_d = \int_0^{\infty} t \cdot e(t) dt \quad 52-5-1$$

و

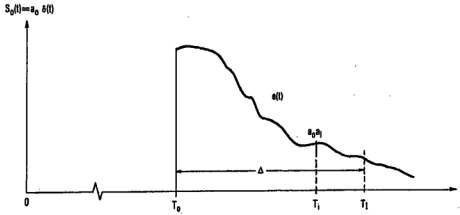
$$\Delta^2 = \int_0^{\infty} t^2 \cdot e(t) dt - T_d^2 \quad 53-5-1$$

حيث $e(t)$ هي ناتج الاشارة النبضية المستقبلية من اشارة نبضية $s_0(t) = a_0 \cdot \delta(t)$

$$e(t) = \left[a_0 \sum_{i=1}^N \alpha_i \cdot \delta(t - T_i) \right] e^{-j\omega t} = E(t) e^{j\omega T} \quad 54-5-1$$

حيث T_i التأخير الزمني و α_i معامل انعكاس المسار رقم i ، و $\delta(t)$ الدالة النبضية المبينة فى الشكل 16-1. نورد المعطيات التالية لمتوسط نشر التأخير كمساعدة للقارىء:

نوع البيئة	انتشار التأخير Δ
في المباني	$> 0,1$ ميكرو ثانية
منطقة مكشوفة	$> 0,2$
منطقة ريفية	$0,5$ ميكرو ثانية
منطقة مدن	3 ميكرو ثانية

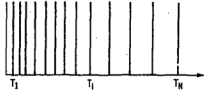


الشكل 16-1 نشر التأخير

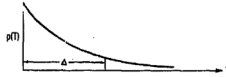
لا تتغير القيم السابقة لأي تردد عامل أعلى من 30 م هـ لأن أطوال الأمواج فوق 30 م هـ أقل دائماً من أبعاد المنشآت الصناعية. يمكن التعامل مع المنشآت الصناعية كلها كعواكس لأي تردد عامل. إذا لم يتغير عدد العواكس لأي تردد عامل وبما أن الأمواج الكهرومغناطيسية تنتقل بسرعة الضوء فإن نشر التأخير يبقى كما هو. يمكن التعبير عن نموذج نشر التأخير بالعلاقة التالية:

$$p(T_1) = \frac{1}{\Delta} \exp\left(-\frac{T_1}{\Delta}\right) \quad 55-5-1$$

حيث T_i هو التأخير الزمني. يفترض هذا النموذج وجود N موجة منعكسة متساوية الاتساعات يصل معظمها مبكراً ومتقارباً وقليل جداً منها يصل متأخراً كما هو مبين في الشكل 17-1 أ. يبين الشكل 17-1 ب توزيع نشر التأخير $p(T_i)$. هناك نموذج آخر يستخدم الاتساعات الأسية عند فترات زمنية متساوية. كلا النموذجين متكافئان ولكن نموذج المعادلة 55-5-1 أسهل في الاستخدام للمعالجة الحسابية.



(أ) معظمها يصل قريباً من T_1 .



(ب) نشر التأخير $p(T_i)$

الشكل 17-1 توزيع نشر التأخير

عرض نطاق التماسك :

في وسط التشعيت الزمني يتطابق زمنياً خفوتاً غلافين مستقبلين إذا كان التردد الفاصل بينهما Δf صغيراً بشكل كاف. وهذا يعني ان الفاصل Δf يقع ضمن عرض نطاق التماسك، إذا كان المستطاع إيجاد عرض نطاق التماسك وتم اختيار ترددتين بعديدين عنه فإن الاشارتين المستقبلتين سوف يصيبهما الخفوت بصورة مستقلة عن بعضهما. يشتق عرض نطاق التماسك من دالة الارتباط $R(\Delta f)$ لغلافين اشارتين خافتيتين عند التردددين f_1 و f_2 على التوالي:

$$R(\Delta f) = \langle s(f_1) \cdot s(f_2) \rangle \quad \Delta f = |f_1 - f_2| \quad (56-5-1)$$

المعامل $\rho(4f)$ هو معامل الارتباط بعد تقييس $R(4f)$ واستخدام المعادلة 35-5-1 واستبدال $4f$ بالقيمة τ . لنفرض $\rho(4f_1) \leq 0.5$ هو الحد الموافق لقيمة $4f_1$ الذي ندعوه بعرض نطاق التماسك (B_e)

$$B_e = 4f_1 \quad \text{for } \rho(4f_1) = 0.5 \quad 57-5-1$$

يمكننا أيضاً إيجاد معامل ارتباط من طورين عشوائيين لشارتين خافتين باتباع نفس الخطوات كما هو مبين في المعادلة 56-5-1 . لكي نحصل على اتساعين خافتين يتغيران بدون ارتباط يجب أن يكون الفاصل الترددي بينها أكبر من عرض نطاق التماسك .

$$4f > B_e = \frac{1}{2\pi\Delta} \quad 58-5-1$$

لكي نحصل على طورين عشوائيين يتغيران بدون ارتباط يجب أن يكون الفاصل الترددي أكبر من عرض نطاق تماسك آخر B'_e :

$$4f > B'_e = \frac{1}{4\pi\Delta} \quad 59-5-1$$

تحتوي المعادلتان 58,5,1 و 59-5-1 نشر التأخير.

التداخل بين الرموز:

في وسط التشعيت الزمني ونتيجة لظاهرة نشر التأخير فإن معدل الارسل R_b في الارسل الرقمي محدود بانتشار التأخير. وبما أن Δ متوسط انتشار التأخير فإن معدل الارسل يجب أن يبنى على أساس انتشار التأخير الاعظمي والذي يمكن أن يكون 2Δ إذا كان الأمر يتطلب أداء بمعدل خطأ صغير في البتات .

$$R_b < \frac{1}{2\Delta} \quad 60-5-1$$

في الحالات الحقيقية تحدد قيمة R_0 على أساس معدل الخطأ المطلوب في البتات وهذا بدوره يبنى على أساس انتشار التأخير (انظر الفصل 6-3).

7-5-1 فترة الثقة

إن حدي الفترة اللذين يمكن أن تتحدد خلالهما درجة التأكد (بالنسبة المثوية) بين القيمة الحقيقية والقيمة المقدرة مثل المتوسط الحقيقي ومتوسط العينات تسمى فترة الثقة. إذا كان متوسط العينات عند القيمة الخطية للتوزيع الطبيعي عندئذ يمكن الحصول على فترة الثقة، إذا كان متوسط العينات عند القيمة اللوغاريتمية يمكن الحصول على فترة الثقة بالاستناد إلى التوزيع الطبيعي.

إذا كانت x موزعة توزيعاً طبيعياً - لوغاريتمياً عندئذ وبحسب المعادلة 17-5-1 يمكن كتابة التوزيع الاحتمالي التراكمي لها كما يلي:

$$P(x \leq x) = \int_{-\infty}^x \frac{1}{\sqrt{2\pi}\sigma} \exp\left(-\frac{(x-m)^2}{2\sigma^2}\right) dx \quad 61-5-1$$

ويتطبق المعادلة 18-5-1 بالحدود (x_1, x_2) تصبح:

$$P(-x_1 \leq x \leq x_2) = \int_{-x_1}^{x_2} \frac{1}{\sqrt{2\pi}} \exp\left(-\frac{x^2}{2}\right) dx \quad 62-5-1$$

حيث

$$x = \frac{x - m}{\sigma} \quad 63-5-1$$

يبين الجدول 3-1 قيم x_1 في فترات مختلفة من الثقة. طريقة أخرى للتعبير عن فترات الثقة هي:

$$P(m - 2\sigma_1 \leq x \leq m + 2\sigma_1) = P(x_1) = 95.46\%$$

$$P(m - \sigma_1 \leq x \leq m + \sigma_1) = P(x_1) = 68\%$$

مثال: إذا كانت $\sigma = 1$ dB و $m = 5$ dB عندئذ تقع x بين القيمتين 6-4
ديسيبل على أساس فترة 1σ بثقة 68% وتقع x بين 7-3 على أساس فترة 2σ بثقة 95,46% .

الجدول 3-1 قيمة x_1 لفترات ثقة مختلفة

مكافئ لعدد من فترات σ	$P(x_1) = P(-x_1 \leq x \leq x_1)$	$x_1 = \frac{x_1 - m}{\sigma}$
2.58	99%	2.58
2	95.46%	2
1.65	90%	1.65
1.28	80%	1.28
1	68%	1
0.5	38%	0.5

8-5-1 معدل الانذار الكاذب ومعدل خطأ الكلمات

يستخدم التشوير لوصف وصلة اتصالات بين طرفين، يؤثر نسق التشوير على معدل الانذار الكاذب ومعدل خطأ الكلمات. معدل الانذار الكاذب هو معدل حدوث كلمات خاطئة مميزة يمكن أن يسبب وظيفة خاطئة في النظام. يعتمد تقليل معدل الانذار الكاذب على نسق التشوير. إذا كان طول كلمتين مشفرتين L بته وكانتا مختلفتين عن بعضهما بمقدار d بته نقول أن مسافة التباين (هامنغ) هي d بته لطول كلي L بته.

عند توفر L و d تعطى علاقة معدل الانذار الكاذب P_f على الشكل:

$$P_f = \text{false-alarm rate} = P_e^d (1 - P_e)^{L-d} \quad 64-5-1$$

حيث P_e هو معدل خطأ البتات في عيظ الاتصال الراديوي المتنقل وهو موصوف في الفصل 6-3 .

بصورة عامة كلما كبرت قيمة d تصبح قيمة معدل الانذار الكاذب أصغر.
يجب تصميم أنساق التشوير والعنوان على أساس معدل الانذار الكاذب المطلوب ووسط الخفوت، وخصوصاً في وسط الخفوت متعدد المسارات في محيط الاتصالات الراديوية المتنقلة، وصفت تفاصيل معدل الانذار الكاذب في الفصل 2-8

يمكن الحصول على معدل خطأ الكلمات باعتبار أنه لا يمكن كشف كلمة نظراً لأن خطأ قد طرأ عليها عن طريق الوسط.

في بيئة ضجيج غوص يتعلق معدل خطأ الكلمات مباشرة بمعدل خطأ البتات. يمكن كتابة العلاقة لمعدل خطأ الكلمات P_w لكلمة طولها L بتة كما يلي:

$$P_w = 1 - (1 - P_e)^L \quad 65-5-1$$

حيث L عدد بتات المعلومات و P_e معدل خطأ البتات.

المعادلة 65-5-1 صحيحة ما دامت بتات الكلمة غير مترابطة في أخطاء الخفوت، في محيط خفوت رايلي يسبب هذا الخفوت خطأ إضافياً لأن متوسط دوام الخفوت متعلق بسرعة العرية ولا توجد علاقة مباشرة بين معدل خطأ الكلمات ومعدل خطأ البتات. عندما تكون سرعة العرية بطيئة فإن البتات المتجاورة تبقى مترابطة بأخطاء الخفوت.

وستشرح الحالات هذه في الفصل 3-8.

إذا كانت الكلمة مؤلفة من L بتة وتدخل g بتة لكي تصحح، بتة خاطئة عندئذ يعطى معدل خطأ الكلمة للطول الجديد N بتة $(L + g)$ بالعلاقة التالية:

$$P_{oe} = 1 - \sum_{k=0}^L C_k^N P_e^k (1 - P_e)^{N-k} \quad 66-5-1$$

حيث

$$C_k^N = \frac{N!}{(N-k)!k!} \quad 67-5-1$$

وتكون انتاجية الكلمة المشفرة هي :

$$\text{throughput} = \frac{L}{L + g} \quad 68-5-1$$

إن معدل خطأ الكلمة المشفرة P_{ce} هو أخفض دوماً من معدل خطأ الكلمة P_{e} . وسيئة النظام المشفر هي انتاجيته البطيئة. في الفصول اللاحقة، سوف ندخل تقنيات أخرى غير أنظمة التشفير للتقليل من الخفوت.

المراجع

1. Lee, W. C. Y. *Mobile Communications Engineering* (McGraw Hill Book Co., 1982), chapter 6.
2. Lee, W. C. Y. and Y. S. Yeh, "On the Estimation of the Second-Order Statistics of Log-Normal Fading in Mobile Radio Environment," *IEEE Trans. on Communications* Com-22 (June 1974): 869-73.
3. Kennedy, R. S. *Fading Dispersive Communication Channels* (Wiley-Interscience, 1969), chapter 3.
4. Asami, Y. *Microwave Propagation in Snowy Districts* (Sapporo, Japan: The Research Institute of Applied Electricity, Hokkaido University, 1958): 73-107.
5. Davenport, W. B. and W. L. Root, *Random Signals and Noise* (McGraw Hill Book Co., 1958), 68.
6. Rice, S. O. "Properties of Sine Wave Plus Random Noise," *Bell System Technical Journal* 27 (Jan. 1948): 109-157.
7. Lee, W. C. Y. "Statistical Analysis of the Level Crossings and Duration of Fades of the Signal from an Energy Density Mobile Radio Antenna," *Bell System Technical Journal* 46 (Feb. 1967): 417-448. This article is the first time that the level crossing rates and average duration of fading of a mobile radio signal were introduced.
8. Bendat, J. S. and A. G. Piersol, *Random Data—Analysis and Measurement Procedures* (Wiley-Interscience, 1971), 312.
9. Cox, D. O. "Delay-Doppler Characteristics of Multipath Propagation at 910 MHz in a Suburban Mobile Radio Environment," *IEEE Trans. on Antenna Propagation* 20 (Sept. 1972): 625-635.
10. Cox, D. O. and R. P. Leck, "Distribution of Multipath Delay Spread and Average Excess Delay for 910 MHz Urban Mobile Radio Path," *IEEE Trans. on Antenna Propagation* 23 (March 1975): 206-213.
11. Lee, W. C. Y. *Mobile Communications Engineering*, 144.
12. Ibid., 198
13. Ibid., 219

2- التنبؤ بخسارة الانتشار

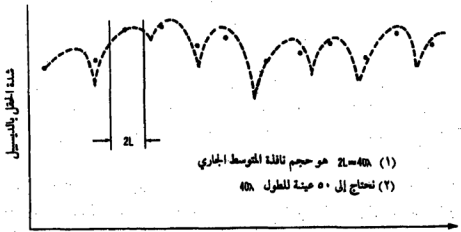
- 2 - 1 فلسفة التنبؤ بخسارة الانتشار
- 2 - 2 الحصول على معطيات مفيدة لخسارة الانتشار من القياسات
- 2 - 3 التنبؤ فوق أرض منبسطة
- 2 - 4 التنبؤ من نقطة إلى نقطة (التنبؤ بخسارة المسار فوق أرض تلال)
- 2 - 5 العوامل الأخرى
- 2 - 6 فائدة التنبؤ من نقطة إلى نقطة

2 - 1 فلسفة التنبؤ بخسارة الانتشار .

في بيئة الراديو المتنقل حيث التضاريس الطبيعية غير المنتظمة والمنشآت الصناعية مختلفة الأشكال وتغيرات المناخ وتبدلات حالة النباتات تجعل التنبؤ بخسارة الانتشار أمراً صعباً جداً . إضافة لذلك فإن الإشارة تستقبل عندما تكون المحطة المتنقلة أثناء الحركة ولا يوجد حل تحليلي سهل لهذه المسألة إلا أن دمج النظريتين الستاتيكية والكهرمغناطيسية يساعد على التنبؤ بخسارة الانتشار بدقة أكبر .

2 - 2 الحصول على معطيات مفيدة لخسارة الانتشار من القياسات .

ذكرنا في الفصل 3-1 أنه يمكن الحصول على المتوسط المحلي بأخذ متوسط معطيات طول مناسب L من صف المعطيات كما هو مبين في الشكل 1-2 . كما يمكن معاملة الطول L كثافة متوسطة على القطعة الطويلة من صف المعطيات . إذا كان الطول L قصيراً جداً فإن التغيرات قصيرة الأجل لا يمكن تمثيلها وسوف تؤثر على المتوسط المحلي . وإذا كان الطول L طويلاً جداً فإن الخرج المتوسط لا يمكن أن يمثل المتوسط المحلي لأنه يحذف تفاصيل تغيرات الإشارة الناتجة عن تغير التضاريس ، لهذا فإن تحديد الطول المناسب L مهم ورئيس .



الشكل 1-2 الحصول على المتوسط المحلي

1-2-2 تحديد الطول L

ليكن الخفوت قصير الأجل r_n خفوت رايلي المئين في المعادلة (10-5-1) وبداخله في المعادلة 1-3-5 نحصل على

$$\langle m(x) \rangle = \sqrt{\frac{\pi}{2}} \sqrt{\frac{r^2}{2}} \quad 1-2-2$$

المعادلة 1-2-2 هي نفس المعادلة 12-5-1 وهذا يعني أن المتوسط الحقيقي يساوي

متوسط متوسطات العينات $m(x) = \langle m(x) \rangle$

$$\sigma_m^2 = \langle m^2(x) \rangle - \langle m(x) \rangle^2 = \frac{d}{4L} \int_0^{2L} \left(1 - \frac{y}{2L}\right) J_0^2(\beta y) dy \quad 2-2-2$$

يعرف الانتشار $1 \sigma_m$ بالعلاقة التالية:

$$1 \sigma_m \text{ spread} = 10 \log \frac{1 + \sigma_m}{1 - \sigma_m} (\text{dB}) \quad 3-2-2$$

حسبت قيم المعادلتين 2-2-2 و 3-2-2 وأدرجت النتائج في الجدول 1-2

الجدول 1-2 تغير σ_m مقابل $2L$

σ_m بالديسيبل	σ_m	$2L$
3	0,165	05
2,10	0,122	10
1,56	0,090	20
1	0,060	40

من الجدول 1-2 نرى أن طول $2L=40\lambda$ مرغوب لأن انتشار $1\sigma_m$ للطول 40λ يقترب من 1 ديسيبل. يعد الطول 40λ طولاً مناسباً لتمليس خفوت رايلي. إذا كان الطول $2L$ أقصر من 40λ فإن الخرج المتوسط سيقع على الجزء الأضعف من خفوت رايلي، وإذا كان الطول $2L$ أكبر من 40λ فإن الطول الزائد عن الطول المطلوب للمتوسط سيمس أيضاً معلومات المتوسط المحلي التي يفترض وجود تفاصيلها وعدم تمليسيها ولهذا يعد الطول $2L=40\lambda$ طولاً مناسباً. ومع ذلك تؤخذ L عملياً ما بين 20λ و 40λ وتعد مقبولة.

2-2-2 تحديد عدد العينات المطلوبة للطول 40λ

بما أن معظم المعطيات تعالج رقمياً فما هو العدد المناسب للعينات المطلوبة لجزء من المعطيات التثائية ؟ - أظهر الارتباط الذاتي التجريبي أن فاصلاً مقداره 0.8λ مطلوب لتأمين معامل ارتباط أقل من 0.2 بين عيتين متجاورتين وذلك نحتاج إلى 50 عينة ضعيفة الارتباط فيما بينها لتمثيل طول 40λ في الصيغة الرقمية . يجب أن يقرر فيما إذا كانت 50 عينة كافية للحصول على قيمة متوسط الطول 40λ بثقة أكبر أم لا . في القسم 1-5-1 بينت العلاقة الرياضية متوسط العينات r_j لمجموعة N من متغيرات r_i لقطعة M عينة معطيات على الشكل :

$$\bar{r}_j = \frac{\sum_{i=1}^{jN} r_i}{N} \quad \left(1 \leq j \leq \frac{M}{N} \right) \quad 4-2-2$$

تعرف m و σ بأنها المتوسط والانحراف المعياري لـ \bar{r}_j على التالي .
ذكر في الفصل 1-5-1 أن r_j متغير طبيعي (غوسي) دائماً إذا كانت جميع الـ N من متغيرات r_i تضاف في تدرج خطي .
بما أن r_j نفسها هي متغير رايلي بمتوسط m وانحراف معياري σ_r عبر عنها بقيم خطية يمكننا أن نبين ما يلي :

$$m = \langle \bar{r}_j \rangle = m \quad 5-2-2$$

$$\sigma = (\langle \bar{r}_j^2 \rangle - \langle \bar{r}_j \rangle^2)^{1/2} = \frac{\sigma_r}{\sqrt{N}} \quad 6-2-2$$

بتطبيق فترة الثقة 90% في المعادلة 2-5-1 6 نحصل على

$$P\left(-1.65 \leq \frac{\bar{r}_j - m}{\sigma} \leq 1.65\right) = 90\% \quad 7-2-2$$

يمكن اعادة كتابة المعادلة 7-2-2 بالشكل الآتي :

$$P(\bar{m} - 1.65\sigma \leq \bar{r}_j \leq \bar{m} + 1.65\sigma) = 90\%$$

8-2-2

تبين المعادلة 7-2-2 أن فترة الثقة 90% لـ \bar{r}_j تقع ضمن $\bar{m} \pm 1.65\sigma$ وأن \bar{r}_j تقرب من \bar{m} إذا أصبحت σ أصغر.

بادخال المعادلتين 5-2-2 و 6-2-2 في المعادلة 8-2-2 نحصل على :

$$P\left(m - 1.65 \frac{\sigma_r}{\sqrt{N}} \leq \bar{r}_j \leq m + 1.65 \frac{\sigma_r}{\sqrt{N}}\right) = 90\%$$

أو

$$P\left(\left(1 - \frac{1.65}{\sqrt{N}} \cdot \frac{\sigma_r}{m}\right)m \leq \bar{r}_j \leq \left(1 + \frac{1.65}{\sqrt{N}} \cdot \frac{\sigma_r}{m}\right)m\right) = 90\% \quad 9-2-2$$

بادخال قيم m و σ_r من المعادلتين 11-5-1 و 12-5-1 على التوالي في المعادلة 9-2-2

نحصل على :

$$P\left(\left(1 - \frac{1.65}{\sqrt{N}} \cdot \sqrt{\frac{4 - \pi}{\pi}}\right)m \leq \bar{r}_j \leq \left(1 + \frac{1.65}{\sqrt{N}} \cdot \sqrt{\frac{4 - \pi}{\pi}}\right)m\right) = 90\%$$

وبتبسيط هذه المعادلة نحصل على العلاقة التالية :

$$P\left(\left(1 - \frac{0.8625}{\sqrt{N}}\right)m \leq \bar{r}_j \leq \left(1 + \frac{0.8625}{\sqrt{N}}\right)m\right) = 90\% \quad 10-2-2$$

يعبر عن فترة الثقة (C.I.) 90% بالديسيبل كما يلي :

$$C.I. = 20 \log \left[\frac{\left(1 + \frac{0.8625}{\sqrt{N}}\right)m}{m} \right] = 20 \log \left(1 + \frac{0.8625}{\sqrt{N}}\right) \quad 11-2-2$$

وإذا كانت $N = 50$ فالمعادلة 11-2-2 تصبح

$$90\% \text{ C.I.} = 1 \text{ dB} \quad 12-2-2$$

إذن فالقيمة المقدرة لـ \bar{r}_j إذا كانت $N=50$ والطول $2L=40\lambda$ في فترة ثقة 90% تقع ضمن (1) ديبيبل من متوسط قيمتها الحقيقية.

إذا أنقصت N إلى 36 فإن فترة ثقة 90% ستزداد إلى 1.17 ديبيبل من قيمة متوسطها.

مثال 2 - 1 : أوجد القيمة المقدرة لـ \bar{F}_j بأخذ متوسط 50 عينة في فترة ثقة 99% من الجدول المرافق للمعادلة 1 - 5 - 63 أو من أي جدول رياضيات

$$\frac{\bar{F}_j - m}{\sigma} \leq 2.58$$

وتتحول العلاقة في المعادلة 2-2-7 إلى العلاقة التالية :

$$P \left(-2.58 \leq \frac{\bar{F}_j - m}{\sigma} \leq 2.58 \right) = 99\% \quad \text{م 1-1-2}$$

باتباع الخطوات المذكورة في المعادلات 2-2-8 حتى 2-2-11 نحصل على النتيجة التالية :

$$99\% \text{ G.I.} = 1.5 \text{ dB} \quad \text{م 2-1-2}$$

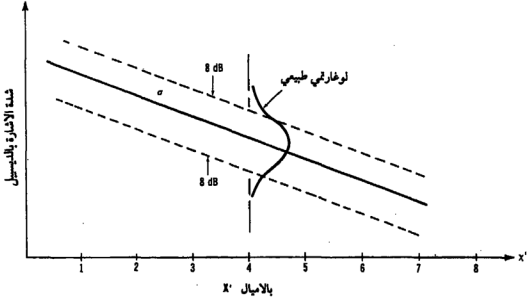
بمقارنة المعادلتين 2-2-12 وم 2-1-2 نجد أن النسبة المئوية لفترة الثقة تزداد كلما ازدادت الفترة التي تقع فيها \bar{F}_j ربما كان استخدام 36 حتى 50 عينة في فترة 40 طول موجة عملية مناسبة للتقدير للحصول على المتوسط المحلي.

هناك طريقة أبسط للحصول على المتوسط المحلي وذلك باستخدام المتوسط الجاري بنافذة 40، في عمليات التردد المنخفض ربما نجبر على أخذ فترة 20 للحصول على المتوسط المحلي وسبب ذلك أن شكل التضاريس قد يتغير عند مسافات تزيد عن 20λ عندما يصبح طول الموجة أكبر.

3-2-2 مسار الوحدة المتحركة والمسار الراديوي

تسجل المتوسطات المحلية بينما تكون الوحدة المتحركة في حالة حركة على الطريق (مسار الوحدة المتحركة) على المحور x. على أية حال يبني كل متوسط محلي على المسار الراديوي x بين محطة القاعدة والمحطة المتحركة (المسار الراديوي) عند نقطة التقابل كما هو مبين في الشكل 2-2.

بما أننا نحسب منحنى خسارة المسار على طول المسار الراديوي على المحور x وليس على مسار الوحدة المتحركة، فإن المتوسط المحلي الذي نحصل عليه من متوسط الإشارة المسجلة على مسار الوحدة المتحركة يجب تحويله من محور مسار الوحدة المتحركة على المحور x إلى محور المسار الراديوي على المحور x المبين في الشكل 3-2 ولما كان علينا أن نجري عدة تحركات (على عدة سيارات متحركة مختلفة) وترسمها على المحور x يمكن رسم منحنى يمر بجميع نقاط معلومات التجربة على المحور x وهذا ما يدعى



الشكل 3-2

توليد ميل منحنى خسارة المسار من المتوسطات المحلية

هذه هي طريقة التنبؤ من منطقة إلى منطقة. يُولّد كل منحنى من معطيات كثيرة انتجت لتضاريس متشابهة. وبما أنها تنبؤ بشكل عام فإن 50% من القيم المقاسة الحقيقية ستكون أعلى و 50% منها أخفض من قيم التنبؤ المأخوذة عن المنحنى. الانتشار σ_x يعني أن القيم المقاسة يمكن أن تنتشر بمقدار 8 ديسيبل أعلى أو أقل من قيمة التنبؤ أو أن القيم المقاسة تقع في مجال عدم التأكد بمقدار $\sigma_x \pm 1$. لهذا إذا وقع 68% من القيم المقاسة في مدى ± 8 ديسيبل فإن منحنى خسارة المسار المتنبأ به يمكن أن يعد جيداً. بالرغم من أن المتوسط المحلي وميل خسارة المسار يتبعان التوزيع الطبيعي اللوغاريتمي، يجب أن نعلم بوضوح أن انتشار المتوسط المحلي σ_x يعتمد على شكل التضاريس التي اخذت المعطيات منها ومع ذلك فإن انتشار معطيات المسار الراديوي σ_x على أي طول مسار هو دائماً 8 ديسيبل وهو الاختلاف بين σ_x و σ_x' . تبقى قيمة انتشار معطيات المسار الراديوي 8 ديسيبل ثابتة. في المسافات القريبة يسببها ما في الوسط المحيط من أشياء إفرادية في منطقة محطة القاعدة

تلك . يقل تأثير الوسط المحيط كلما ازدادت المسافة إلا أن تأثير تغيرات التضاريس تبدأ بالتغلب .

2 - 3 التنبؤ فوق أرض منبسطة

2-3-1 إيجاد نقطة الانعكاس على الأرض

تطابق الموجة المنعكسة قانون سنل دائماً أي

$$N_1 \cos \theta_1 = N_2 \cos \theta_2 = \text{constant} \quad \text{ثابت} \quad 1-3-2$$

حيث ان N_1 و N_2 هما معامل الانكسار لوسطين مختلفين .

بما أن N_1 و N_2 لهما نفس القيمة للموجة المباشرة والموجة المنعكسة في بيئة الراديو المتنقل فإن زاوية التماس θ_1 وزاوية الانعكاس θ_2 متماثلتان كما هو ظاهر في المعادلة 1-3-2

يمكن الحصول على نقطة انعكاس الموجة المنعكسة على أرض منبسطة باحدى طريقتين وكل منهما يتطلب الخطوات الآتية :
أ - أخذ نقطة خيال هوائي محطة القاعدة - الطريقة الأولى .

1- أوجد نقطة الخيال المساوية لارتفاع هوائي محطة القاعدة في جهة الخيال (تحت مستوى الأرض) .

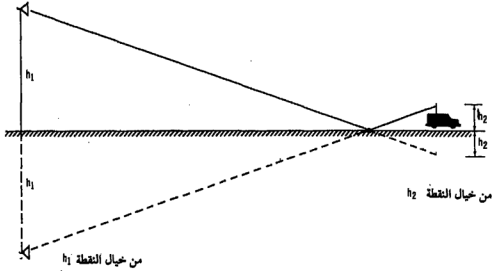
2- صل نقطة الخيال إلى هوائي الوحدة المتنقلة .

3- احصل على نقطة الانعكاس حيث يقطع خط الوصل مستوى الأرض .

ب - اخذ نقطة خيال هوائي الوحدة المتنقلة - الطريقة الثانية .

تتبع نفس الخطوات الموصوفة في الطريقة الأولى وذلك بإيجاد نقطة خيال هوائي الوحدة المتنقلة تحت (مستوى الأرض) وتوصيل نقطة الخيال إلى هوائي محطة القاعدة وتكون نقطة الانعكاس حيث يقطع خط الوصل مستوى الأرض .

يبين الشكل 4-2 كيفية الحصول على نقطة الانعكاس على أرض منبسطة



الشكل 4-2

إيجاد نقطة الانعكاس

2-3-2 تصنيف وعورة الأرض.

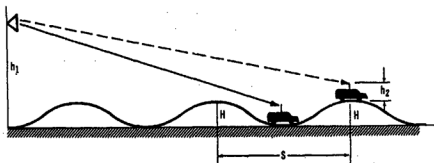
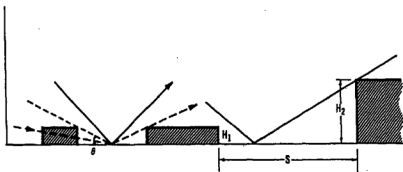
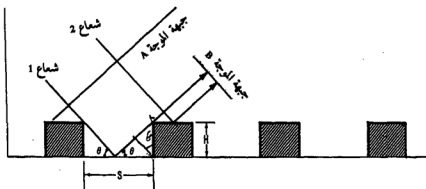
يعبر عن فرق الطور بين الشعاعين المبينين في الشكل 5-2 بالعلاقة التالية:

$$\Delta\psi = \beta \cdot (\Delta d) = \frac{2\pi}{\lambda} \cdot (2H \sin \theta) \quad 2-3-2$$

حيث أن Δd هو الفرق بين طولي المسارين الراديويين للشعاعين من جبهة الموجة A إلى جبهة الموجة B و β هو العدد الموجي $(2\pi/\lambda)$ و H هو ارتفاع عدم الانتظام.

يحدد معيار رايلي لوعورة التضاريس بالعلاقة التالية:

$$\Delta\psi = \frac{\pi}{2} \quad 3-3-2$$



الشكل 5-2
معيّار وعورة السطح

بحسب ارتفاع رايلي H_R والفاصل الأصغري S_R من المعادلة 2-3-2.

$$H_R = \frac{\lambda}{8 \sin \theta}; S_R = \frac{2H_R}{\tan \theta} = \frac{\lambda}{4 \sin \theta \tan \theta} \quad 4-3-2$$

تبسط هذه العلاقة من أجل زوايا تماس (ورد) (θ) صغيرة فتصبح كما يلي :

$$H_R = \frac{\lambda}{8\theta}; S_R = \frac{\lambda}{4\theta^2} \quad 5-3-2$$

إذا كان ارتفاع موجات السطح أكبر من H_R بالرغم من أن الفاصل بين الهضاب الملحوظة أكبر من S_R فإن المنطقة تعد وعرة التضاريس بحسب معيار رايلي. في بيئة الراديو المتنقل، يمكن افتراض معايير مختلفة لأطوال مختلفة لمسار الانتشار وسبب ذلك هو أن هوائي الوحدة المتنقلة يكون عادة قريباً من الأرض بحيث يكون استقبال الأمواج المباشرة والأمواج المنعكسة الأساسية كليهما ضعيفاً. في هذه الحالة وحتى إذا كان فرق الصفحة $\Delta\psi$ بين الموجة المباشرة والموجة المنعكسة الأساسية حوالي $\pi/4$ على مسافة أكبر من 9,7 كم (6 ميل) فإن الأمواج المنعكسة غير المتوقعة غالباً ما تستقبل وتضعف الإشارة الناتجة أكثر. ولهذا تقترح المعايير التالية للأطوال المختلفة لمسار الانتشار.

$$\Delta\psi = \frac{\pi}{2} \text{ (أقل من 3,2 كم)}, H_R = \frac{\lambda}{8\theta}, S_R = \frac{\lambda}{4\theta^2}$$

$$\Delta\psi = \frac{\pi}{3} \text{ (من 3,2 كم حتى 9,6 كم)}, H_R = \frac{\lambda}{12\theta}, S_R = \frac{\lambda}{6\theta^2} \quad 6-3-2$$

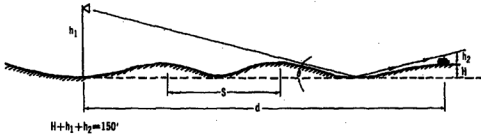
$$\Delta\psi = \frac{\pi}{4} \text{ (أكثر من 9,6 كم)}, H_R = \frac{\lambda}{16\theta}, S_R = \frac{\lambda}{8\theta^2}$$

المعلمتان H_R و S_R المبينتان في المعادلة 6-3-2 هما تابعاان لزاوية التماس θ . يجب أولاً إيجاد زاوية التماس من العلاقة التالية :

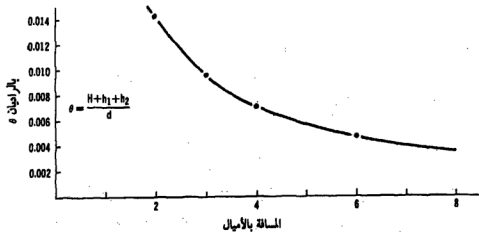
$$\theta = \frac{H + h_1 + h_2}{d}$$

حيث أن h_1 و h_2 هما ارتفاعا هوائي محطة القاعدة والمحطة المتنقلة على التوالي .
 و H هو فرق الارتفاع بين النقاط العالية والنقاط المنخفضة القريبة من المحطة المتنقلة
 يرى في الشكل 6-2 أ جميع المعلمات . تتحدد زاوية الورود من ارتفاع هوائي محطة
 القاعدة h_1 وارتفاع هوائي المحطة المتنقلة h_2 وارتفاع عدم انتظام التضاريس
 H ، $(h_1 + h_2 + H = 45.7 \text{ m (150 ft)})$

وتصبح تابعاً للمسافة كما في الشكل 6-2 ب . تقل الزاوية θ كلما زادت المسافة .
 تتحدد وعورة التضاريس بالتردد وزاوية التماس وارتفاعات التضاريس
 والفواصل في المنطقة المبينة في المعادلة 6-3-2 لهذا يمكن اعتبار السطح وعراً عند تردد
 ما وليس كذلك عند تردد آخر وهذا ينطبق أيضاً على زوايا التماس (الورود) المختلفة .



أ - بيئة راڊيو متنقل



الشكل 6-2

عدم انتظام المنطقة في بيئة الراديو المتنقل

في بيئة الراديو المتنقل يستخدم المعيار التالي لتحديد وعورة المنطقة .
ليكن التغير في الارتفاع H هو الفرق بين ارتفاعي المرتفع والمنخفض

المتجاورين فإذا كان: $H > H_R$

ضمن حدود $\Delta x = 1/2 S_R$ من موقع الوحدة المتنقلة كانت المنطقة وعرة . يمكن تطبيق ذلك بسهولة كما يلي : نحصل على الزاوية θ من ارتفاع هوائي محطة القاعدة h_1 والمسافة بين محطة القاعدة والوحدة المتنقلة d وارتفاع عدم انتظام التضاريس H وارتفاع هوائي الوحدة المتنقلة h_2 . وبالاعتماد على موقع الوحدة المتنقلة إما على المرتفع أو في الوادي فإن زاوية التماس θ تقع ضمن :

$$\frac{h_1 + h_2}{d} \leq \theta \leq \frac{H + h_1 + h_2}{d}$$

عند حساب وعورة التضاريس نستخدم دائماً أعلى قيم θ في المعادلة 6-3-2 .
يكون عادة ارتفاع هوائي محطة القاعدة أعلى من ارتفاع هوائي الوحدة المتنقلة ولهذا تكون نقطة الانعكاس أقرب إلى الوحدة المتنقلة . نحتاج فقط للبحث ضمن المسافة $\Delta x = 0.5 S_R$ من الوحدة المتنقلة باتجاه محطة القاعدة عن تغير في ارتفاع التضاريس فإذا زاد هذا التغير عن H_R أطلق على المنطقة وعرة التضاريس (انظر الشكل 6-2) ، تختلف طرق التنبؤ عن خسارة المسار المستخدمة في المناطق البوذية عن تلك المستخدمة في المناطق المنتظمة وسوف يشرح ذلك في الفصل 5-3-2.

3-3-2 معامل انعكاس الموجة الأرضية

عند أخذ الانعكاسات الأرضية في الحسبان في بيئة الراديو المتنقل فإن زاوية التماس (أو زاوية الانعكاس) تكون صغيرة جداً نظراً لأن ارتفاعي هوائي محطة القاعدة والمحطة المتنقلة صغيران جداً نسبياً (بالأقدام أو بالامتار) إذا قورنا بالمسافة بين الهوائيين (بالأميال أو بالكيلومترات) في هذه الحالة يكون معامل انعكاس الموجة (1-) دائماً بغض النظر عن طبيعة الأرض ومن السهل التحقق من ذلك من معاملات الانعكاس المعقدة التالية :

$$a_h = R_h e^{-j\alpha_h} = \frac{\sin \theta_1 - (\epsilon_0 - \cos^2 \theta_1)^{1/2}}{\sin \theta_1 + (\epsilon_0 - \cos^2 \theta_1)^{1/2}} \quad \text{للوزود الأفقي} \quad 7-3-2$$

$$\alpha_v = R_v e^{-j\theta_0} = \frac{\epsilon_0 \sin \theta_1 - (\epsilon_0 - \cos^2 \theta_1)^{1/2}}{\epsilon_0 \sin \theta_1 + (\epsilon_0 - \cos^2 \theta_1)^{1/2}} \quad \text{للمرود العمودي} \quad 8-3-2$$

حيث ان α_v و α_h هما معاملان انعكاس عقديان اتساعهما R_v و R_h وطوراهما ψ_v و ψ_h . وثابت الساحة النسبي للوسط العازل هو ϵ_0 . تستخدم المعادلتان 7-3-2 ، 8-3-2 في الأوساط غير الحديدية فقط حيث يكون معامل النفاذ المغناطيسي μ_r قريباً من الواحد ويصبح دليل الانكسار في المعادلة 1-3-2 كما يلي:

$$N = \sqrt{\mu_r \epsilon_0} = \sqrt{\epsilon_0} \quad 9-3-2$$

بما ان θ_1 صغيرة جداً يمكن إيجاد α_h و α_v من المعادلتين 7-3-2 و 8-3-2 كما يلي:

$$\alpha_v = \alpha_h = -1 \quad 10-3-2$$

أو

$$R_v = R_h = 1, \psi_v = \psi_h = 180^\circ \quad 11-3-2$$

وذلك بغض النظر عن قيمة ϵ_0 للوسط ويمكن تصور ذلك كصخرة قفزت إلى الماء. إذا كانت زاوية التماس كبيرة فلا تستطيع الصخرة القفز وكلما كانت زاوية التماس أصغر كبر عدد القفزات وهذا يعني أن قدرة أكبر انعكست من سطح الماء.

4-3-2 نماذج للتنبؤ عن خسارة مسار الانتشار

هناك نماذج نظرية قليلة جداً ولكن النماذج التجريبية كثيرة. سنورد نموذجاً نظرياً واحداً ونموذجين تجريبيين في هذا الكتاب استعمل النموذج النظري بسهولة تفسيره وفعاليته من وجوه عدة. استعمل النموذجان التجريبيان لأنهما يميزان بوضوح خسارة المسار المتنبأ بها ليس لأشكال مختلفة من التضاريس فقط بل للمنشآت الصناعية المختلفة أيضاً. هناك نماذج أخرى ذكرت في المراجع للقارئ في آخر الفصل.

5-3-2 النموذج النظري لخسارة المسار

يجب الانتباه إلى أن هذا النموذج صالح لتحليل التنبؤ عن خسارة المسار وليس لخفوت تعدد المسارات. سوف يوصف نموذج التنبؤ عن خفوت تعدد المسارات (الخفوت قصير الأجل) لاحقاً.

نفترض أن خصائص وعورة سطح الأرض عشوائية بطبيعتها وأن نصف قطر

انحناء عدم انتظام السطوح كبير بالنسبة لطول الموجة الواردة، وبذلك يمكن تمثيل الإشارة المستقبلية بحقل منشور E_s يمكن تقريبه بضم موجتين: موجة مباشرة وموجة منعكسة

$$E_s = (1 + \alpha_0 e^{i4\psi})E \quad 12-3-2$$

حيث معامل الانعكاس هو α_0 و $\Delta\psi$ هو فرق الطور بين الموجة المباشرة والموجة المنعكسة والذي يمكن أن يعبر عنه بما يلي:

$$\Delta\psi = \beta \cdot \Delta d = \frac{2\pi}{\lambda} \cdot \Delta d \quad 13-3-2$$

حيث أن β هو الرقم الموجي ($\beta = 2\pi/\lambda$) و Δd هو الفارق بين مسارين راديويين كما هو مبين في الشكل 7-2. إن E في المعادلة 12-3-2 هي الموجة المباشرة المستقبلية عند هوائي المحطة المتحركة.

بتطبيق علاقة خسارة مسار الانتشار في الفراغ الحر فإن القدرة المستقبلية من الموجة المباشرة حسب المعادلة 1-2-1 هي:

$$P_{or} = \frac{|E|^2}{2\eta_0} = P_t \left(\frac{1}{4\pi d/\lambda} \right)^2 \quad 14-3-2$$

حيث أن η_0 هي الممانعة الذاتية للفراغ الحر. قدرة الحقل المنشور E_s المستقبلية هي:

$$P_r = \frac{|E_s|^2}{2\eta_0} \quad 15-3-2$$

حيث يمكن تعويض E_s من المعادلة 12-3-2. وبما أنه في بيئة الراديو المتنقل تكون α_0 في المعادلة 12-3-2 دائماً قريبة من 1 و $\Delta\psi$ أقل بكثير من 1 راديان. فإن المعادلة 15-3-2 تصبح كما يلي:

$$\begin{aligned} P_r &= P_t \left(\frac{1}{4\pi d/\lambda} \right)^2 |1 - \cos \Delta\psi - j \sin \Delta\psi|^2 \\ &\approx P_t \left(\frac{1}{4\pi d/\lambda} \right)^2 (\Delta\psi)^2 \end{aligned} \quad 16-3-2$$

حيث أن :

$$\Delta\psi = \beta(\Delta d) = \beta(\sqrt{(h_1 + h_2)^2 + d^2} - \sqrt{(h_1 - h_2)^2 + d^2}) \quad 17-3-2$$

من أجل $h_1 + h_2 \gg d$ ، يمكن تقريب المعادلة 17-3-2 إلى :

$$\begin{aligned} \Delta\psi &= \beta \left(1 + \frac{(h_1 + h_2)^2}{2d^2} - 1 - \frac{(h_1 - h_2)^2}{2d^2} \right) d = \frac{2\pi}{\lambda} \cdot \frac{2h_1h_2}{d} \\ &= \frac{4\pi h_1h_2}{\lambda d} \end{aligned} \quad 18-3-2$$

بتعويض المعادلة 18-3-2 في المعادلة 16-3-2 نحصل على :

$$P_r = P_t \left(\frac{h_1h_2}{d^2} \right)^2 \quad 19-3-2$$

المعادلة 19-3-2 هي علاقة غير كاملة فهي تشير إلى حقيقتين صحيحتين وكذلك تري نقطتين ضعيفتين :

الحقيقتان الصحيحتان :

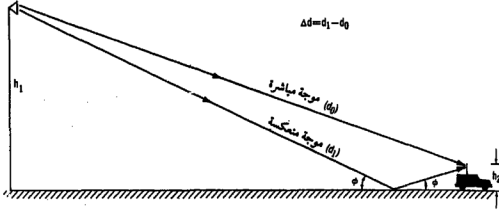
1- تري المعادلة خسارة مسار تعادل 40 ديسيبل / العقد (تناسب مع d^{-4}) أو 12 ديسيبل / الضعف . وقد تحقق هذا في المعطيات التجريبية . وعلى أساس هذه القاعدة يمكن الحصول على خسارة مسار اضافي من المسافة d_1 إلى المسافة d_2

$$\text{Path loss} = 40 \log_{10} \left(\frac{d_2}{d_1} \right) \quad 20-3-2$$

2- تري المعادلة قاعدة للرياح نتيجة ارتفاع الهوائي بمقدار 6 ديسيبل / الضعف (تناسب مع h^{-2}) عند محطة القاعدة ، وقد أكدت التجارب ذلك (في منطقة منبسطة) فعند مضاعفة ارتفاع الهوائي في القاعدة ازداد الريح بمقدار 6 ديسيبل . إذا ازداد (أو نقص) ارتفاع الهوائي h_1 بمقدار غير الضعف فإن : الريح (أو الخسارة) الناتج عن تغيير ارتفاع الهوائي يعطى بالمعادلة التالية :

$$\text{antenna height-gain (loss)} = 20 \log_{10} \frac{h'}{h_1} \quad 21-3-2$$

حيث h' هو الارتفاع الجديد للهوائي .



الشكل 7-2
نموذج نظري مبسط

النقطتان الضعيفتان:

1- فقدان حد التردد في المعادلة 19-3-2 . وقد بينت المعطيات المقيسة أن علاقة خسارة المسار تجريبياً هي تابع للتردد بالشكل:

$$P_r \propto f^{-n} \quad \text{حيث } 2 \leq n \leq 3$$

2- تري المعادلة قاعدة للربح من جراء ارتفاع الهوائي في الوحدة المتقلة (يتناسب مع h^2) بمقدار 6 ديسيبل/الضعف وهذا غير صحيح فإذا كان ارتفاع هوائي الوحدة المتقلة 3 م (10 قدم) وخفض بمقدار النصف فإن النتائج التجريبية تبين خسارة في القدرة بمقدار 3 ديسيبل .

6-3-2 نموذج التنبؤ بخسارة المسار من منطقة إلى منطقة

يتألف هذا النموذج من جزئين: الأول التنبؤ بخسارة المسار من منطقة إلى منطقة الموصوف في هذا الفصل. والجزء الثاني يستخدم التنبؤ بخسارة المسار من منطقة إلى منطقة كقاعدة ويطورها إلى التنبؤ من نقطة إلى نقطة والموصوف في الفصل 7-3-2 .

يستخدم التنبؤ من منطقة إلى منطقة عادة للتنبؤ بخسارة المسار فوق منطقة منبسطة بشكل عام، بدون معرفة شكل المنطقة الخاص حيث تجري خسارة المسار

الحقيقية فوقها. إذا تم الحصول على خسارة المسار الحقيقية في منطقة هضبية علينا أن نتوقع فرقاً أكبر بين القيمة الحقيقية والقيمة المتنبأ بها من منحنى التنبؤ من منطقة إلى منطقة. يتطلب التنبؤ عن خسارة المسار من منطقة إلى منطقة معلمتين هما:

1- القدرة عند نقطة التقاطع (1) ميل P_{ro}

2- ميل منحنى خسارة المسار γ .

يمكن التعبير عن شدة حقل الإشارة المستقبلية P_r كما يلي:

$$P_r = P_{r0} \left(\frac{r}{r_0} \right)^{-\gamma} \left(\frac{f}{f_0} \right)^{-n} \alpha_0 \quad (\text{العلاقة الخطية})$$

22-3-2

$$= P_{r0} - \gamma \log \left(\frac{r}{r_0} \right) - n \log \left(\frac{f}{f_0} \right) + \alpha_0 \quad (\text{العلاقة اللوغاريتمية بالديسيبل})$$

حيث r بالميل أو بالكم و r_0 تساوي (1 ميل أو 1,6 كم).

يمكن التعبير عن γ برقم آسّي في العلاقة الخطية أو بالديسيبل/العقد في العلاقة اللوغاريتمية.

إن سبب أخذ نقطة تقاطع الـ (1) ميل هو أنه ضمن نصف القطر (1) ميل توجد شوارع قليلة جداً. ولهذا يجب تجنب المعطيات المستقاة من عدد محدود من القياسات التي لا تؤمن المتوسط الاحصائي. إن معامل التصحيح هو α_0 . والمعادلة 21-3-2 هي علاقة عامة يمكن استخدامها في مجالات مختلفة من التردد طالما كان التردد أعلى من 30 م. هـ يكون طول الموجة عادة أقل من حجم المنشأة الصناعية (عند التردد الأعلى من 30 م. هـ) بحيث تسود ميكانيكية الانعكاس متعدد المسارات. للتنبؤ عن خسارة المسار يفضل التنبؤ عن الإشارة المستقبلية بسوية قدرتها المطلقة (dBm) لتقارن مباشرة وبسهولة مع المعطيات التجريبية ولهذا السبب نفترض مجموعة الشروط التالية:

التردد $f_0 = 900$ م. هـ.

ارتفاع هوائي محطة القاعدة = 30,48 م (100 قدم)

قدرة محطة القاعدة عند الهوائي = 10 واط

رياح هوائي محطة القاعدة = 6 ديسيبل بالنسبة لرياح الثابتة

ارتفاع هوائي المحطة المتنقلة = 3 م (10 قدم).

ريـح هوائـي المـحطة المـتنقـلة = 0 ديسـيـبل بالنسـبة لريـح الثائـثة
ثم يـستـخدـم مـعـامـل التـصـحـيح لمـجـمـوعـة الشـرـوط المـخـتـلفـة

$$\left(\frac{\text{ارتفاع هوائي محطة القاعدة الجديد (قدم)}^2}{100} \right) = \left(\frac{\text{ارتفاع هوائي محطة القاعدة الجديد (م)}^2}{30,48} \right) = \alpha_1$$

$$\left(\frac{\text{ارتفاع هوائي المحطة المتنقلة الجديد (قدم)}^2}{10} \right) = \left(\frac{\text{ارتفاع هوائي المحطة المتنقلة الجديد (m)}^2}{3} \right) = \alpha_2$$

$$\frac{\text{قدرة المرسل الجديدة}}{10 \text{ واط}} = \alpha_3$$

$$\frac{\text{ريـح هوائـي مـحطة القاعـدة بالنسـبة لثائـثة } \lambda/2}{4} = \alpha_4$$

$$\alpha_5 = \text{معامل تصحيح ربح الهوائي المختلف في المحطة المتنقلة}$$

يـوجـد رـيـح اشارة بمقدار 2 ديسـيـبل من أجـل رـيـح للهوائـي الحقيقـي 4 ديسـيـبل
عند المحطة المتنقلة في مناطق الضواحي وأقل من (1) ديسـيـبل لنفس الهوائـي في مناطق
المدن (انظر الفصل 3). تعطى α_i بالعلاقة التالية:

$$\alpha_0 = \alpha_1 \alpha_2 \alpha_3 \alpha_4 \alpha_5$$

حيث α_i هي علاقة خطية أو α_0 تعطى بالعلاقة اللوغارتمية بالديسيبل.

$$\alpha_0 = \sum_{i=1}^5 \alpha_i \quad \text{dB} \quad 23-3-2$$

حيث تحول كل i إلى تدريج الديسيبل قبل الجمع. يمكن إيجاد المعلمتين γ و P_{r0} من المعطيات التجريبية التالية:

$$\text{في الفراغ الحر: } P_{r0} = 10^{-4.5} \text{ م. واط} = -45 \text{ dBm}$$

$$\gamma = 2 = 20 \text{ ديسـيـبل/العقد}$$

$$\text{في منطقة مكشوفة: } P_{r0} = 10^{-4.9} \text{ م. واط} = -49 \text{ dBm}$$

$$\gamma = 4,35 = 43,5 \text{ ديسـيـبل/العقد}$$

في منطقة ضواحي: تتشابه معظم مناطق الضواحي في الولايات المتحدة.

فهي تتألف من بيوت - مزارع - منازل تقليدية . الخ تنتشر على شكل بلدان صغيرة ذات مباني بطابقين أو ثلاثة . لهذا يمكن استخدام منحني خسارة المسار لمناطق الضواحي في أي من أرياف الولايات المتحدة .

$$P_{r0} = 10^{-6.17} \text{ م. واط} = -61.7 \text{ dBm}$$

$$\gamma = 3.84 = 38.4 \text{ ديسيبل / العقد}$$

$$P_{r0} = 10^{-7} \text{ م. واط} = -70 \text{ dBm}$$

$$\gamma = 3.68 = 36.8 \text{ ديسيبل / العقد}$$

(ريخ هوائي المحطة المتنقلة بطول λ هو $3/4$ (1) ديسيبل في منطقة المدن .

$$P_{r0} = 10^{-6.4} \text{ م. واط} = -64 \text{ dBm}$$

$$\gamma = 4.31 = 43.1 \text{ ديسيبل / العقد}$$

$$P_{r0} = 10^{-8.4} \text{ م. واط} = -84 \text{ dBm}$$

$$\gamma = 3.05 = 30.5 \text{ ديسيبل / العقد}$$

تحديد قيمة n في المعادلة 22-3-2

تحدد قيمة n في المعادلة 22-3-2 من معطيات تجريبية، يقول أوكومورا: $n=30$ ديسيبل / العقد ويقول يونغ أن $n=20$ ديسيبل / العقد، ولهذا فإن :

$$20 \text{ dB/dec} < n < 30 \text{ dB/dec}$$

24-3-2

حيث n صحيحة في مدى التردد من 30 م. هـ إلى 2000 م هـ ومدى البعد 2 كم إلى 30 كم أي حوالي 1,5 ميل إلى 20 ميل . يظهر أن قيمة n تعتمد على الموقع الجغرافي ومدى التردد العامل، ففي منطقة ضواحي أو مكشوفة مع تردد عامل أقل من 450 م هـ ينصح بأخذ $n=20$ ديسيبل / العقد وفي منطقة مدن مع تردد عامل أعلى من 450 م هـ ينصح بأخذ $n=30$ ديسيبل / العقد .

تحديد القيمة الأسية v في معامل التصحيح α_2^{10} .

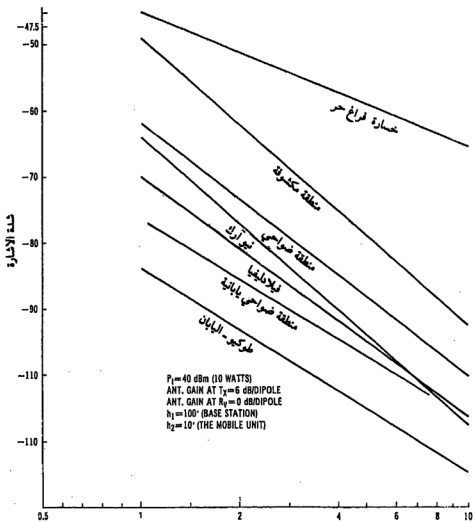
يمكن إيجاد قيمة v من المعطيات التجريبية أيضاً .

$$v = 2 \text{ هوائي محطة متنقلة بارتفاع جديد أكثر من } 10 \text{ م (30 قدم) .}$$

$$v = 1 \text{ هوائي محطة متنقلة بارتفاع جديد أقل من } 3 \text{ م (10 قدم) .}$$

25-3-2

يظهر التصحيح الصافي لارتفاع هوائي المحطة المتنقلة في المعادلة 29-3-2



الشكل 8-2 خسارة مسار الانتشار في مناطق مختلفة

العلاقة العامة للنموذج

$$\begin{aligned}
 P_r &= -61.7 - 38.4 \log r - n \log \left(\frac{f}{900} \right) + \alpha_0 \quad \text{dBm} \quad (\text{منطقة ضواحي}) \\
 &= -70 - 36.8 \log r - n \log \left(\frac{f}{900} \right) + \alpha_0 \quad \text{dBm} \quad (\text{فيلا دلفيا}) \quad 26-3-2 \\
 &= -64 - 43.1 \log r - n \log \left(\frac{f}{900} \right) + \alpha_0 \quad \text{dBm} \quad (\text{نيوآرك}) \\
 \alpha_0 &= 20 \log \left(\frac{h_1}{100'} \right) + 10 \log \left(\frac{P_t}{10 \text{ W}} \right) + (g_1 - 4) + g_2 + 10 \log \frac{h_2}{10'} \\
 &= 20 \log h_1 + 10 \log P_t + g_1 + g_2 + 10 \log h_2 - 64 \quad 27-3-2
 \end{aligned}$$

حيث تقدر القيم الجديدة P_r بالواط وارتفاعا هوائيا محطة القاعدة h_1 والوحدة المتنقلة h_2 بالأقدام ، وربما هوائى محطة القاعدة g_1 والوحدة المتنقلة g_2 بالديسيبل و r بالميل و f بالمگاهرتز. يمكن الحصول على قيمة α_0 الواردة في المعادلة 27-3-2 بوضع قيم g_2 ، g_1 ، h_2 ، h_1 ، P_t فيها .

حيث r بالميل و f بالمگاهرتز . بينت المعادلات الثلاث في الشكل 8-2 مع $\alpha_0 = 0$ ديسيبل . α_0 هو معامل تصحيح يتألف من خمسة معاملات تصحيح جزئية ذكرت سابقاً . تؤمن المعادلة 26-3-2 خطأً وسطاً ويكون الانحراف المعياري للمعطيات المتنبأ بها هو 8 ديسيبل فوق أو تحت خط الوسط .

يمكن إيجاد نقطة تقاطع الميل الواحد P_{r0} وخط الميل γ بسهولة وذلك بأخذ عدة نقاط ميدانية عند نصف القطر 1 ميل ونصف القطر 10 ميل وبما أننا نبدأ القياس على مسافة 1 ميل من مرسل محطة القاعدة في منطقة ذات انشاءات صناعية متشابهة فإن المواقع المختلفة لهوائيات محطة القاعدة سوف لن تؤثر على منحني خسارة المسار التجريبي .

لهذا إذا انتقيت نقطتان وسطيتان من مجموعة المعطيات المقيسة عند مسافتين مختلفتين (1 ميل و 10 ميل) ووصلنا بينهما بخط يتم الحصول عندئذ على نقطة تقاطع الميل الواحد $P_{r,1}$ وخط الميل γ .
إذا كانت التضاريس مختلفة في الاتجاهات المختلفة من محطة القاعدة عندئذ يمكن أن نحتاج إلى نقطة مختلفة لتقاطع الميل الواحد وخط ميل γ مختلف في كل اتجاه .

معدل انخفاض سوية الاستقبال عند الحدود .

يمكننا أن نحاول تقدير سوية الاستقبال من مقدار الانخفاض بالديسيبل عندما تتحرك المحطة المتنقلة بالسرعة الاعتيادية بدءاً من حدود تغطيتها الخاصة والتي تدعى خلية - لنفترض أن محطة تتحرك بسرعة 15 ميل / ساعة في خلية 2 ميل وسرعة 60 ميل / ساعة في خلية 8 ميل وهذا افتراض معقول لأن الخلية الأصغر تشير إلى ازدحام أكبر وسرعات أبطأ .

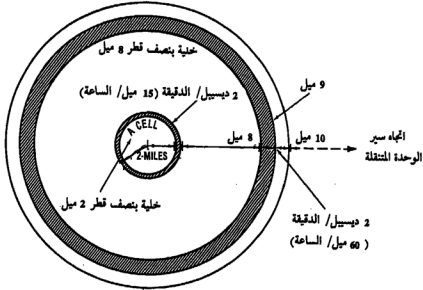
في الحالة الأولى تسير المحطة من حدود الخلية 2 ميل إلى بعد 2,25 ميل عن محطة القاعدة في دقيقة . يمكن إيجاد الفارق في سويي الاستقبال من 2 ميل إلى 2,25 ميل (بعد دقيقة واحدة) من المعادلة 2-3-26 . باستخدام معدلات التنبؤ لمناطق الضواحي فإن انخفاض الإشارة في الدقيقة يعبر عنه كما يلي :

$$\Delta P = -38.4 (\log_2 - \log_{2.25}) = 1.9 \sim 2 \text{ dB/min} \quad 2-3-28$$

في الحالة الثانية إذا كانت المحطة تسير من حدود الخلية 8 ميل إلى البعد 9 ميل عن محطة القاعدة في دقيقة (المكافئة لسرعة 60 ميل / ساعة) يكون انخفاض الإشارة في الدقيقة كمايلي :

$$\Delta P = -38.4 (\log_8 - \log_9) = 1.9 \sim 2 \text{ dB/min} \quad 2-3-28$$

بمقارنة المعادلتين 2-3-28 و 2-3-28 يمكن القول أن سوية شدة المجال تنخفض بمعدل 2 ديسيبل / الدقيقة كما هو واضح في الشكل 2-9 . يمكن أن يكون هذا هو الخط المرشد للأجراء المتخذ في عملية تبديل القناة (رفع اليد) التي ستشرح في الفصل 5 .



الشكل 9-2

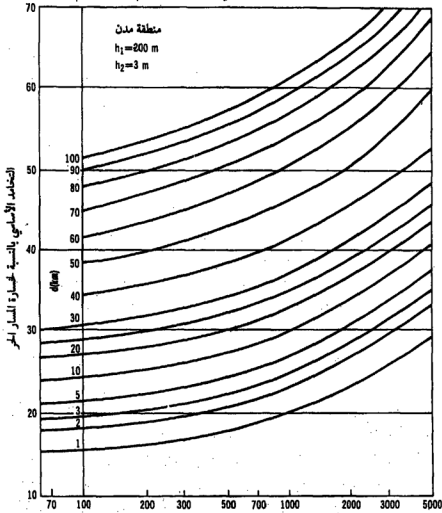
قاعدة معدل انخفاض شدة الإشارة 2 ديسيبل / الدقيقة

تعليق على انتقاء نموذج لخسارة مسار الراديو المتنقل.

يتوجب في النموذج الجيد للتنبؤ عن خسارة انتشار الراديو المتنقل أن يميز بين المناطق المكشوفة والضواحي والمدن. للنموذج الموصوف في هذا الفصل تلك الميزات. يفرد كل من مناطق المدن مثل منطقة سان فرانسيسكو المضيق ومنطقة شيكاغو المنبسطة بتضاريسها وأبنيتها وهياكل شوارعها. أن النموذج الموصوف في هذا الفصل يفرق بين مناطق المدن المختلفة. إن نموذج التنبؤ الجيد يجب أن يتبع نفس خطوط الارشاد بدون غموض بحيث يحصل كل مستثمر على نفس الاجابة لشروط محددة.

2-3-7 نموذج أوكونومورا وغيره (Okumura et al.)

صدرت نماذج كثيرة في الماضي، نختار منها نموذجاً واحداً فقط إضافة للنموذج الموصوف في الفصل السابق. يستطيع هذا النموذج (نموذج أوكونومورا وغيره) أن يميز المنشآت الصناعية ويولد مجموعة كاملة من المعطيات التجريبية. بني نموذج أوكونومورا على أساس المعطيات المجمعة في منطقة طوكيو ويستخدم النموذج معطيات طوكيو الحديثة كمتنبىء أساسي لمناطق المدن. يري الشكل 10-2 مجموعة من المنحنيات لمحطة قاعدة بهوائي ارتفاعه 200 م (656 قدم) ومحطة متنقلة



الشكل 10-2

منحني التنبؤ للتخامد الوسطي الأساسي فوق منطقة منبسطة في منطقة مدن

هوائي ارتفاعه 3 م (10 قدم). إن معاملات التصحيح لارتفاعات الهوائي المختلفة هي:

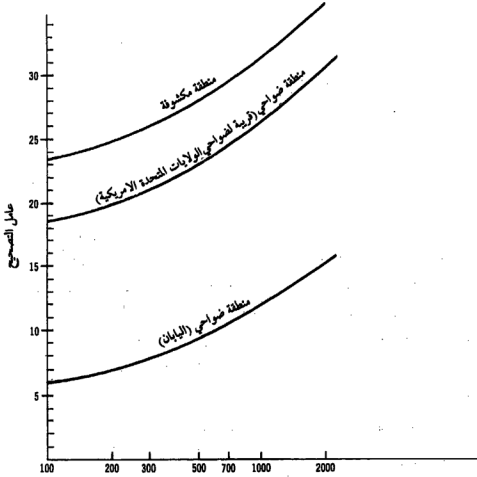
$$\begin{aligned} \text{تصحيح ارتفاع هوائي محطة القاعدة} = 20 \text{ لغ } \left(\frac{h_1}{200 \text{ m}} \right) \quad & 10 < h_1 \text{ م} \\ \text{تصحيح ارتفاع هوائي المحطة المتنقلة} = 20 \text{ لغ } \left(\frac{h_2}{3 \text{ m}} \right) \quad & 3 > h_2 \text{ م} \\ \text{تصحيح ارتفاع هوائي المحطة المتنقلة} = & \\ 2 \times h_2 \times \text{لغ} \left(\frac{h_2}{3 \text{ m}} \right) \quad & 3 \text{ م} > h_2 > 10 \text{ م} \end{aligned}$$

لانتطابق معاملات التصحيح في المناطق الريفية اليابانية مع تلك في المناطق الريفية في الولايات المتحدة بشكل جيد. وتبدي الأخيرة توافقاً أفضل مع منحني التصحيح في منطقة مكشوفة في اليابان. يمكن أن يكون سبب ذلك أن البيوت في اليابان في المنطقة الريفية مكتظة أكثر من المناطق الريفية في الولايات المتحدة.

يري الشكل 11-2 معاملات التصحيح للمناطق المكشوفة والمناطق الريفية في الولايات المتحدة والمناطق الريفية اليابانية. تتطابق نتائج المناطق الريفية في الولايات المتحدة بشكل إجمالي مع التنبؤات المأخوذة من النموذج الجديد في القسم 6-3-2.

يمكن تحويل المعطيات التي تم الحصول عليها من نموذج أوكومورا إلى ميول منحني خسارة مسار الانتشار. وقد يبين ذلك في الشكل 8-2. لكل مدينة ميل منحنيها الخاص - ميل منحني طوكيو مستوي تقريباً 30 ديسيبل / العقد فقط، لكن تقاطع الميل الواحد انخفض بـ 21,5 ديسيبل منه في المناطق الريفية في الولايات المتحدة، وهذا يؤكد حاجتنا لمعلمتين: نقطة تقاطع الميل الواحد وميل منحني خسارة المسار لوصف منطقة بشكل عام.

يدل النموذج النظري لخسارة المسار المبين في القسم 5-3-2 أن خسارة المسار في بيئة الراديو المتنقل هي 40 ديسيبل / العقد، وإن ميول خسارة المسار في مناطق مكشوفة وريفية وفي نيوارك (منطقة مدن مأهولة) تكون حوالي 40 ديسيبل / العقد. وهذا بسبب خلل المناطق المحيطة بهوائيات محطات القاعدة بحيث تطبق التنبؤات النظرية للمعادلة 20-3-2. أما في فيلادلفيا وطوكيو فإن هوائيات محطة القاعدة ليست مكشوفة وإن ما يحيط بها ليس خالياً ولهذا فإن تقاطع الميل الواحد أخفض نتيجة للوسط المحيط. إضافة لذلك فإن خسارة المسار لا تتأثر كثيراً عند المسافة 16 كم (10 ميل) بما يحيط بمحطة القاعدة مما ينتج أن ميول خسارة المسار لفيلادلفيا وطوكيو أكثر استواء.



الشكل 11-2

معامل التصحيح لنموذج أوكومورا

8-3-2 العلاقة العامة لخسارة المسار في بيئات مختلفة:

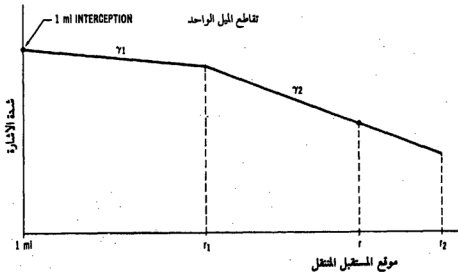
غالباً ما يكون الانتشار على المسار الراديوي بين محطة القاعدة والمحطة المتنقلة فوق أكثر من نوع من البيئة، ربما ترسل الإشارة فوق منطقة ريفية حيث توجد محطة القاعدة ثم تنتشر فوق منطقة مدن حيث تسير المحطة المتنقلة. يختلف الميل γ في كل

بيئة. يمكن للنموذج الجديد الموصوف في القسم 6-3-2 أن يوسع ليغطي هذه الحالة.

إذا كان ميل خسارة المسار γ_1 المتنبأ به في المنطقة أ (الريفية) و γ_2 في المنطقة ب (المدن) فإن سوية القدرة P_r المتنبأ بها والمستقبل في المنطقة ب على بعد r من محطة القاعدة هي:

$$P_r = P_{r_0} \left(\frac{r_1}{r} \right)^{-\gamma_1} \left(\frac{r}{r_1} \right)^{-\gamma_2} \alpha_0 \quad r_1 \leq r \leq r_2 \quad 30-3-2$$

حيث تقع r_1 على حد المنطقة أ و r_2 ضمن حدود المنطقة ب، P_{r_0} القدرة عند نقطة تقاطع الميل الواحد. وضحت المعادلة 30-3-2 في الشكل 12-2. إن مبدأ التعاكسية صحيح دوماً. سيتواجد نفس سوية الاستقبال المتنبأ بها عند محطة القاعدة إذا أرسلت المحطة المتقلة، على كل حال إذا تبادلت محطة القاعدة والمحطة المتقلة الأماكن بين المنطقة أ والمنطقة ب تبقى النتيجة واحدة ما دامت المناطق منبسطة — هذه النتيجة ليست صحيحة في المنطقة الهضبية الموصوفة في القسم 5-2.



الشكل 12-2
الانتشار عبر بيئتين مختلفتين

العلاقة العامة للانتشار عبر عدد N من البيئات المختلفة :
تستنتج سوية الإشارة المستقبلية لموجة ثمر عبر N بيئة مختلفة من المعادلة 30-3-2:

$$P_r = P_{r0} \alpha_0 \cdot (r_1)^{-\gamma_1} \left(\frac{r_2}{r_1}\right)^{-\gamma_2} \left(\frac{r_3}{r_2}\right)^{-\gamma_3} \dots \left(\frac{r}{r_{N-1}}\right)^{-\gamma_N} \quad 31-3-2$$

حيث $r_{N-1} < r < r_N$

تعرف خسارة المسار \mathcal{L} بالعلاقة التالية :

$$\mathcal{L} = \frac{P_r}{P_t} = \frac{P_{r0}}{P_t} \alpha_0 (r_1)^{-\gamma_1+\gamma_2} (r_2)^{-\gamma_2+\gamma_3} \dots (r_{N-1})^{-\gamma_{N-1}+\gamma_N} \cdot (r)^{-\gamma_N} \quad 32-3-2$$

حيث ان P_t هي القدرة المقدمة إلى هوائي محطة القاعدة و P_{r0} هي القدرة عند نقطة تقاطع الميل الواحد الممين في المعادلة 31-3-2، α_0 هو معامل التصحيح .

4-2 التنبؤ من نقطة إلى نقطة (تنبؤ خسارة المسار فوق منطقة هضبية)

هناك حالتان في المنطقة الهضبية : واحدة غير معيقة للاستقبال بسبب انبساط المنطقة والأخرى معيقة للاستقبال بسبب الهضاب في المنطقة .
4-2-1 التنبؤ من نقطة إلى نقطة في شروط غير معيقة .

في هذه الحالة لا توجد عوائق بين محطة القاعدة والمحطة المتقلة . تتكون الإشارة المستقبلية من نوعين من الأمواج ، موجة مباشرة وموجة منعكسة عندما يكون طول المسار الحقيقي فوق الأفق الراديوي . عندما يزداد طول المسار في بيئة الراديو المتقل تصبح زاوية التماس أصغر أي أن ارتفاع الهوائيين في كلا الجانبين (محطة القاعدة والمحطة المتقلة) أقل بكثير من طول مسار الانتشار . عندما تزيد المسافة عن مسافة الأفق الراديوي هناك خسارة اضافية في هذه الحالة فقط . ولهذا السبب يستخدم التنبؤ هنا لطول مسار انتشار فوق الأفق الراديوي .

تبنى التغطية المعظمى لمحطة القاعدة على مسافة الأفق الراديوي والذي يدعى أيضاً نصف قطر التغطية .

$$\text{نصف قطر التغطية} \leq \sqrt{2h} \text{ miles} \quad 1-4-2$$

$$\leq 2.9\sqrt{2h} \text{ km}$$

حيث h هو ارتفاع هوائي محطة القاعدة بالقدم و h' بالامتار .

يكون تخامد (توهين) الإشارة خلف الأفق الراديوي أكبر منه فوق الأفق الراديوي ويختلف باختلاف التردد حيث يكون :

22 ديسيبيل/العقد عند 43 م هـ

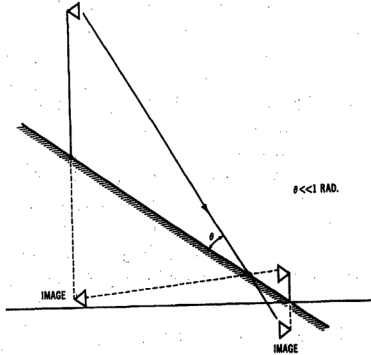
66 ديسيبيل/العقد عند 430 م هـ

79 ديسيبيل/العقد عند 850 م هـ

160 ديسيبيل/العقد عند 3.4 جـ هـ

نقاط الانعكاس في منطقة هضبية :

بما أن زاوية التماس على الأرض التي تسبب موجة منعكسة إلى المحطة المتنقلة صغيرة عادة، تستخدم طريقة تقريبية لإيجاد نقطة الانعكاس في منطقة هضبية كما هو مبين في الشكل 13-2 وتتبع نفس الخطوات المبينة في الشكل 4-2 . هناك نوعان من وصلات الارسل بينا في الشكل 14-2 وينبأ على المواقع المختلفة لنقاط الانعكاس، في النوع أ توضع محطة القاعدة على أرض منبسطة وسارت المحطة المتنقلة على ميل هضبي وفي النوع ب توضع محطة القاعدة على رأس الهضبة وتحركت المحطة المتنقلة على أرض منبسطة .



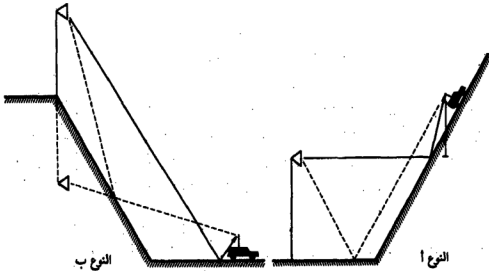
الشكل 13-2

نقطة الانعكاس على أرض مائلة

يوجد لكل من هذين النوعين صنفان من الأمواج المنعكسة أحدهما يدعى الموجة المنعكسة مرأوياً والآخر يدعى الموجة المنعكسة المنتشرة .
تحتفظ الموجة المنعكسة مرأوياً بالجزء الأكبر من الطاقة المنعكسة .
ويمكن تمييزها بسهولة لأن نقطة انعكاسها دائماً أقرب إلى المحطة المتحركة من باقي نقاط الانعكاس ، وتصبح الإشارة المستقبلية كما يلي :

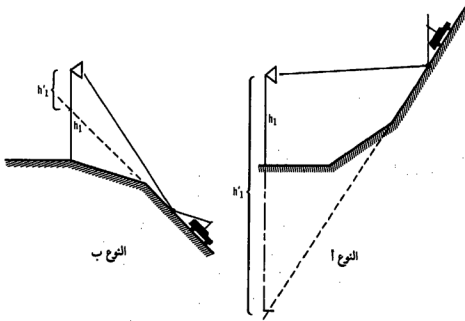
$$P_r = P_t \left(\frac{h_1 h_2}{r^2} \right)^2 \quad 2-4-2$$

حيث ارتفاع هوائي محطة القاعدة هو h_1 وهو الارتفاع الفعال للهوائي .
يقاس الارتفاع الفعال للهوائي كما يلي : حدد مستوي المنحدر الأرضي الذي تقع عليه نقطة الانعكاس المرآوي باتجاه موقع محطة القاعدة وقس ارتفاع الهوائي من الهوائي إلى امتداد مستوي المنحدر الأرضي كما هو ظاهر في الشكل 15-2 . يعرض الشكل 15-2 أ حالة ارتفاع فعال للهوائي أكبر من الارتفاع الحقيقي للهوائي ويعرض الشكل 15-2 ب حالة ارتفاع فعال للهوائي أقل من الارتفاع الحقيقي للهوائي . في الحقيقة إن لمستوي انحدار الأرض زاوية صعود صغيرة جداً دائماً .



الشكل 14-2 نوعان من وصلات الارسلات

لكي نري ظاهرة الانعكاس نكبر المحور الرأسى (y) بحيث يكون المقياسان على المحورين x, y مختلفين ، أحدهما بالأقدام (أو الأمتار) والآخر بالأميال (أو الكم) .



الشكل 15-2

ثلاثة مستويات من الانحدار الأرضي

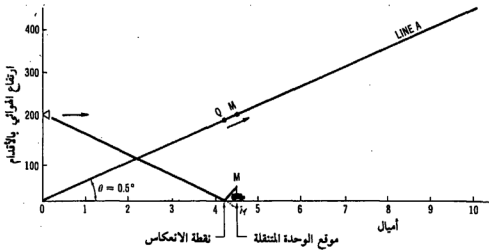
يقاس ارتفاع هوائي محطة القاعدة (الحقيقي أو الفعال) شاقولياً الى أعلى دوماً (على المحور y) وليس عمودياً على مستوى المنحدر الأرضي (الذي هو في الحقيقة يميل بزاوية صغيرة جداً إذا طبق نفس المقياس على المحورين x, y) . ارتفاع هوائي المحطة المتحركة h هو الارتفاع الحقيقي له دائماً لا يوجد ارتفاع فعال لهوائي المحطة المتحركة .

اعتباران خاصان في المنطقة الهضبية

أ - تحويل المقياس إن رسم مسار الانتشار على الورق بمقياسين مختلفين على المحورين x, y يتطلب قدراً من الحذر .

لنفترض أن مقياس 100 قدم : 1 ميل استخدم للمحورين x, y كما هو ظاهر في

الشكل 16-2 . هذا يعني أن نفس الطول لـ 100 قدم على المحور y يساوي 1 ميل على المحور x فإذا كانت زاوية التماس الفعلية 0.5° فإن الزاوية المرسومة على الورق تكون 26.4° ($= 0.5^\circ \times 5280/100$) كما هو مبين في الشكل . تستخدم الزاوية هذه على الخط A لرسم وإظهار مسار الانتشار بسهولة أكثر.



الشكل 16-2
تحويل المقاييس والزوايا ونقاط الانعكاس

مثال 2 - 2 : لنفترض أن ارتفاع هوائي محطة القاعدة هو 200 قدم وارتفاع هوائي المحطة المتنقلة هو 10 قدم وزاوية التماس هي 0.5° . أوجد موقع المحطة المتنقلة ونقطة الانعكاس على الشكل (انظر الشكل 16 - 2) . حول الزاوية 0.5° إلى 26.4° في الشكل 16-2 وارسم الخط A بالزاوية الجديدة . استخدم ارتفاع هوائي محطة القاعدة 200 قدم على المحور y وسر أفقياً إلى نقطة التقاطع مع الخط A . موقع نقطة الانعكاس هو نفس النقطة Q على المحور x . من النقطة Q . اتبع الخط A لارتفاع 10 قدم إلى النقطة M . وموقع المحطة المتنقلة هو نفس النقطة M على المحور x .
ب) استخدم الارتفاع الفعال لهوائي محطة القاعدة : أوجد الارتفاع الفعال لهوائي محطة القاعدة والمسافة بين نقطة الانعكاس المرآوي والمحطة المتنقلة للنوعين :

- بما أن مقياسي المحورين x و y مختلفان عندما نعبر عن منطقة هضبية فإن قياس مسافة على منحدر أرضي مبنياً على مقياس المحور x ليس مناسباً إذا استخدم نفس المقياس للمحورين x و y عندئذ يكون الخطأ بين المسافة الحقيقية المقيسة على المنحدر الأرضي والمسافة المقيسة على المحور x مهملاً، ولهذا تقاس المسافة بين محطة القاعدة والمحطة المتقلة على المحور x (وليس على المنحدر الأرضي). لتبسيط العملية نقول، لتكن R المسافة بين محطة القاعدة وأسفل الهضبة و r المسافة بين محطة القاعدة والمحطة المتقلة، r_1 المسافة بين نقطة الانعكاس والمحطة المتقلة. هذه المعلومات مبينة على الشكل 2-17. ومنها:

للنوع أ

$$h_{e1} = h_1 + \frac{HR}{r - R} = h_1 + h_{11} \quad 3-4-2$$

$$r_1 = \frac{h_2 r}{h_{e1} + h_2} \quad 4-4-2$$

للنوع ب

$$h_{e1} = h_1 + H \quad 5-4-2$$

$$r_1 = \frac{h_2 r}{h_{e1} + h_2} \quad 6-4-2$$

من المعادلتين 4-4-2 و 6-4-2 نستطيع أن نبين أن موقع نقطة الانعكاس وكذلك الارتفاع الفعال لهوائي محطة القاعدة يبقيا ثابتين كما هو مبين في الشكل 2-17 بشرط أن تبقى المسافة r وارتفاع هوائي المحطة المتقلة h_2 ثابتين /

النوع أ

$$h_{e1} = h_1 + \frac{HR}{r - R} = A \quad (\text{ثابت}) \quad 7-4-2$$

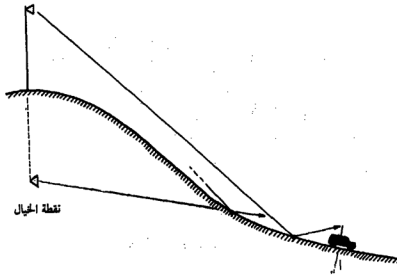
النوع ب

$$h_{e1} = h_1 + H = A \quad (\text{ثابت}) \quad 8-4-2$$

- في النوع أ من التضاريس : لتكن R ثابتة في المعادلة 7-4-2 ولتتغير H و h_1 بين الحالة (1) والحالة (2) كما في الشكل 17-2 ولتكن h_1 ثابتة في المعادلة 8-4-2 ولتتغير H و R بين الحالة (3) والحالة (4) . لتتغير R و H و h_1 بين الحالة (1) والحالة (3) للحالات الأربع كلها نفس القيم r_1 و h_{e1} كما ذكرنا سابقاً .
 - في النوع ب من التضاريس : لتكن $h_1 = A - H$ في المعادلة 8-4-2 يمكن أن تأخذ H أي قيمة ، ما دامت $H < A$ وتحدد h_1 طبقاً لذلك وتبقى قيمة r_1 نفسها .

نقاط الانعكاس على هضاب مدورة

لا تشكل الأرض في الطبيعة خطاً مستقيماً وتكون عادة على شكل هضبة مدورة . لتحديد نقاط الانعكاس على هضبة مدورة بتطبيق طريقة الخيال عند محطة القاعدة وعند الوحدة المنقلة . لانتطبق نقطتا الانعكاس اللتان تم الحصول عليهما من موقعي خيال مختلفين في الأرض الهضبية المدورة (انظر الشكل 18-2) . تعتبر نقطة الانعكاس الأقرب إلى الوحدة المنقلة هي نقطة الانعكاس الفعالة . إن المنطق المستخدم في هذا الانتقاء هو نفسه المستخدم في انتقاء نقطة الانعكاس المرآوية كنقطة فعالة .



الشكل 18-2
نقطة الانعكاس على هضبة مدورة

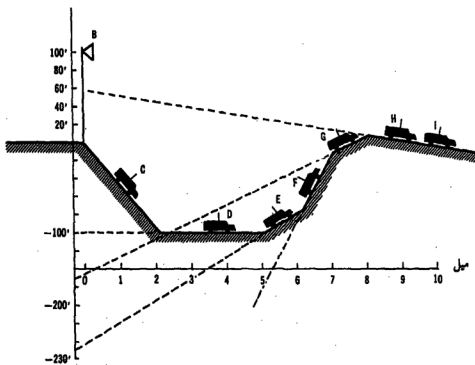
تطبيق على أرض هضبية (تلال)

إن التنبؤ المعروف هنا هو تنبؤ من نقطة إلى نقطة كما هو مشروح في منشورة في (12) ويمكنه أن يتنبأ عن قيمة اشارة الاستقبال بدقة كبيرة جداً. عند تطبيق هذا التنبؤ يمكن تقليل مدى نشر σ المقدر بـ 8 ديسيبل والمشتق من نموذج منطقة إلى منطقة (انظر الفصل 2-3-6) إلى 3 أو 4 ديسيبل. في منشورة في يقع نشر σ طبقاً لنتيجه في مناطق معينة ضمن 1 ديسيبل، إن سبب استعمال التنبؤ من نقطة إلى نقطة يعود إلى مايلي:

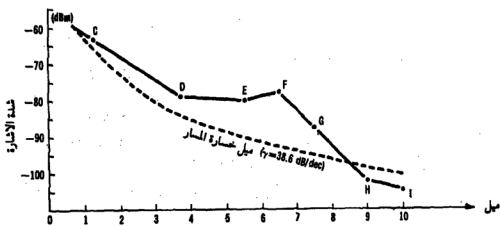
1- يمكن لقيمة النشر 8 ديسيبل التي تم الحصول عليها من نموذج منطقة إلى منطقة والمطبقة فوق أرض منبسطة أن تزداد إذا طبق النموذج على منطقة هضبية، تتغير الاشارة المستقبلية في المنطقة الهضبية وينتج عن ذلك مدى واسع من قيمة النشر σ التي نحصل عليها من منحنى خسارة المسار لتلك المنطقة. عندئذ تصبح القيمة المقروءة من منحنى خسارة المسار ليست بذات معنى لأن الفارق بين القيمة المتنبأ بها والقيمة المقيسة يمكن أن يزيد عن ± 8 ديسيبل أي 16 ديسيبل.

2- لنفترض حدوث تغير شديد في تغير الاشارة في تلك المنطقة، عندئذ وقبل استخدام النقاط الكثيرة للمعطيات المقيسة لانشاء ميل منحنى خسارة المسار يمكن استخدام علاقة ربح الارتفاع الفعال للهوائي لتصحيح صف المعطيات وكأنها استقبلت من أرض منبسطة. يتناقص مدى النشر بعد التصحيح بشدة، هذه هي الطريقة المستخدمة لايجاد الميل المتوسط لخسارة المسار والتنبؤ من منطقة إلى منطقة أولاً ومن ثم تستخدم علاقة ربح ارتفاع الهوائي لتصحيح قيمة خسارة المسار الموافقة لذلك الموقع. وبذلك يتم الحصول على التنبؤ من نقطة إلى نقطة.

لتوضيح التنبؤ عن خسارة المسار في منطقة هضبية، نحصل أولاً على ميل خسارة المسار كما في الشكل 2-19 ب. لنفترض أن المسار الراديوي ومسار الوحدة المتنقلة هما نفس المسار لسهولة الشرح. ولهذا رسمت الارتفاعات على طول المسار الراديوي في الشكل 2-19 أ. وضعت معاملات التصحيح (ربح أو خسارة ناتجة من علاقة ربح الارتفاع الفعال للهوائي) في الجدول 2-2.



(أ) أرض هضبية



(ب) تنبؤ من نقطة إلى نقطة

الشكل 19-2

توضيح تأثير التضاريس على ربح الهوائي الفعال عند كل موضع

جدول 2-2: الريح أو الخسارة الناتجين عن الريح الفعال لارتفاع الهوائي

المواقع	B	C	D	E	F	G	H	I
الهوائي الفعال h_e قدم	100	100	200	330	620	250	60	60
الريح (الخسارة) = $(20 \text{ لغ } h_e/h_i)$ ديسيل	0	0	6	10.37	15.85	8	(4,4-)	(4,4-)
البعد (ميل)	0	1.15	3.75	5.5	6.5	7.5	9	10
خسارة المسار من منطقة إلى منطقة								
ديسيل ميلي وات (dbm) (منطقة ريفية)	46	63-	84-	90-	93-	95-	98-	100-
خسارة المسار من نقطة إلى نقطة ديسيل ميلي وات	46	63-	78-	79,63-	77,15-	87-	102,5-	104,5-

رسمت التنبؤات من نقطة إلى نقطة في الشكل 19-2 ب

تأثيرات وعورة التضاريس والمنشآت الصناعية

علينا أن نخبر وعورة الأرض وانتظامها باتباع المعيار المبين في القسم 2-3-2 (انظر الشكل 5-2) في المنطقة ذات السطح المنبسط والمنظم نسبياً. يمكننا الحصول على خسارة المسار من تنبؤ منطقة إلى منطقة المبين في القسم 3-2-6 في السطح الوعر يجب أن يكون الفاصل بين مرتفعين S_r أعلى من ارتفاع رايلي H_r . في مثل هذه المنطقة نحصل على خسارة المسار من التنبؤ من نقطة إلى نقطة. في البنية الصناعية تطبق القيم الاحصائية المتنبأ بها فقط في البيئة المبنية عشوائياً. إذا وقع بناء شاهق بين الوحدة المتنقلة ومحطة القاعدة ولا توجد عواكس أخرى استحالة استقبال الإشارة في الوحدة المتنقلة. لا تنطبق هذه الحالة على النموذج الاحصائي. مثال ذلك في مدينة نيويورك وبحسب موقع هوائي محطة القاعدة والمنطقة التي تجمع فيها المعطيات عن شدة الإشارة بالوحدة المتنقلة يبلغ الانحراف المعياري أو النشر 1σ مقدار 14 ديسيل.

2-4-2 التنبؤ من نقطة إلى نقطة في بيئة معيقة - خسارة الظل -

تحدد نظرية الانعراج التي تنبأ بها فرنل - كيرشوف مقدار خسارة الظل وقد نشرت هذه النظرية في أواسط القرن التاسع عشر وتطبق على الضوئيات أو تقنيات تتبع الأثر الشعاعي. في بيئة الراديو المتنقل تكون الهضاب والجبال والعوائق الأخرى أكبر بكثير من طول الموجة التي ينطبق عليها حل الانعراج على حد السكين.

في هذه الشروط لا يتدخل ربح الارتفاع الفعال للهوائي ، هناك اربعة معلمات مطلوبة هي :

r_1 - المسافة من حد السكين إلى محطة القاعدة .

r_2 - المسافة من حد السكين إلى الوحدة المتنقلة .

h_p - ارتفاع حد السكين .

λ - طول الموجة .

تستخدم معلمة جديدة ν لرسم خسارة الظل حيث :

$$\nu = -h_p \sqrt{\frac{2}{\lambda} \left(\frac{1}{r_1} + \frac{1}{r_2} \right)} \quad 9-4-2$$

المبينة في الشكل 20-2 عندما تكون $h_p = 0$ و $\nu = 0$ فذلك يدل على شرط خسارة 6ديسيبل . يمكن أن ترى الصورة الفيزيائية في الشكل 21-2 أ مع $h_p = 0$. وقد أشير إلى حالتين خاصتين أيضاً .

1 - إذا كانت $h_p = h_p'$ ، $r_1 + r_2 > r_1' + r_2'$ و $\lambda = \lambda'$ (ظهرت هذه الحالة في الشكل 21-2 ب) فإن خسارة الظل لمسافة انتشار طويلة أقل منها لمسافة انتشار قصيرة وذلك لأن ، كما يرى من المعادلة 9-4-2 .

$$\nu' > \nu, \quad \mathcal{L}_L' > \mathcal{L}_L$$

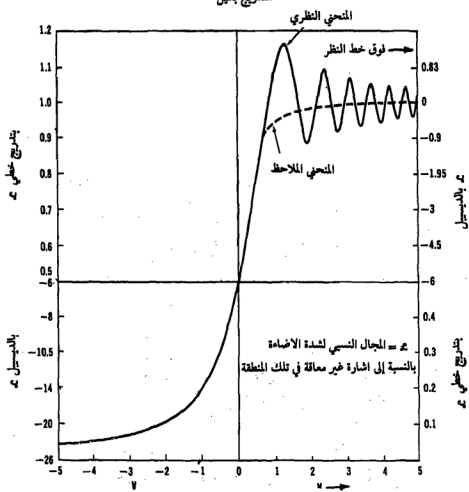
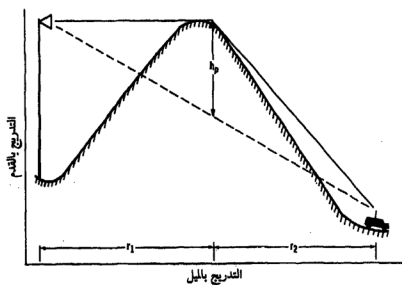
2- إذا كانت $r_1 \ll r_2$ فإن خسارة الظل لا تعتمد على r_1 كما هو مبين في المعادلة 9-4-2 .

$$\nu = -h_p \sqrt{\frac{2}{\lambda r_2}}, \quad \mathcal{L}_L = f(h_p \cdot \lambda r_2)$$

يمكن الحصول على خسارة المسار في حالة الانعراج على حد سكين مزدوج من المرجع (13) .

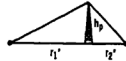
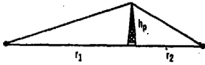
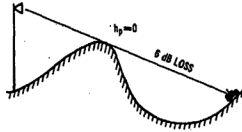
مثال 3-2 :

أوجد خسارة المسار عند النقطة أ عندما تسير الوحدة المتنقلة على الجزيرة المبينة في الشكل 3-2 م وترددها العامل 850 م هـ .



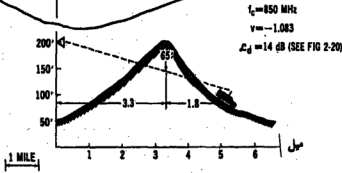
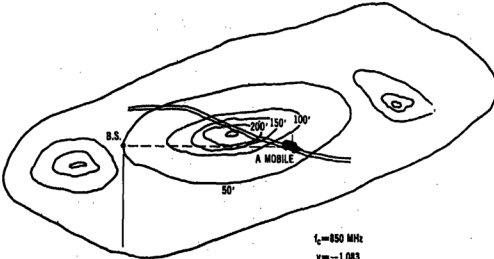
الشكل 20-2 تنبؤ خسارة الظل $(\frac{0.225}{P}) - 20 \log$

أ - الصورة الفيزيائية



ب - مقارنة خسارة الظل

الشكل 2-21 تأثير الظل



الشكل م 3-2 مثال لحساب خسارة الظل

رسمت حدود التضاريس في الشكل م 3-2 والمعلمات الثلاثة h_p, r_1, r_2 هي كما يلي :

$$r_1 = 5,28 \text{ كم } (3,3 \text{ ميل})$$

$$r_2 = 2,88 \text{ كم } (1,8 \text{ ميل})$$

$$h_p = 19,5 \text{ م } (65 \text{ قدم})$$

أعطي التردد العامل $f_c = 850 \text{ م. هـ}$ أي $\lambda = 1,17 \text{ قدم}$ وتكون المعلمة الجديدة v كما يلي :

$$v = -h_p \sqrt{\frac{2}{\lambda} \left(\frac{1}{r_1} + \frac{1}{r_2} \right)} = -1.083$$

اقرأ خسارة الانعراج من الشكل 20-2 ب

$$\mathcal{L}_L = 14\text{dB}$$

2 - 5 العوامل الأخرى .

هناك عوامل أخرى كثيرة يمكنها تغيير سوية الاستقبال ، وأكثر هذه العوامل أهمية هو تأثير النباتات وأقنية الشوارع والأنفاق .
2-5-1 أثر النباتات .

عند معالجة تأثير النباتات هناك اعتباران . ففي نصف الكرة الشمالي تتساقط أوراق الأشجار خلال الشتاء وتنمو ثانية خلال الصيف . وكثيراً ما تسبب أوراق البلوط والسنديان والجوز والأشجار المشابهة خسارة إضافية في الإشارة عند الترددات العاملة 400 م. هـ وأعلى . تعتمد هذه الخسارة الإضافية خلال الصيف على نوع الأوراق والتردد العامل . يمكن إجراء دراسة تأخذ هذه العوامل بعين الاعتبار كتتنوع الأوراق والجذوع والغصون وارتفاع الأشجار وكثافة النبات . تصبح خسارة النبات نفسه موضوع بحث . تستخدم البيانات هنا لأغراض التصميم فقط . تسقط الأوراق في الشتاء وتصبح الإشارة المستقبلية أقوى منها في الصيف .
لاتسقط الأوراق بالقرب من خط الاستواء البته ، وتأخذ أشكال الأوراق

كأوراق شجر النخيل تركيباً ووقتياً مختلفاً بالمقارنة مع أوراق الولايات الشمالية ويختلف تخامد الاشارة الناتج عن أوراق النخيل عن مثيله الناتج عن الأوراق الشمالية .

اجريت تجارب في منطقة الغابات الاستوائية المطيرة عند الترددات من 50 إلى 800 م هـ وعلى مسافات من 40 م إلى 4 كم (131 قدم إلى 2,5 ميل) وكانت جميع أجهزة الارسل والاستقبال محاطة بالغابات وكانت النتائج كما يلي :

1 - تزداد الخسارة خطياً نوعاً ما في التدرج اللوغاريتمي عندما تزداد المسافة . وقد امكن ايجاد قاعدتي الخسارة 40 ديسيبل / العقد عند التردد 800 م هـ و 35 ديسيبل / العقد عند التردد 50 م هـ ولهذا إذا تواجدت خسارة النباتات مع حدوث خسارة الراديو المتنقل عند التردد 800 م هـ فمن المتوقع أن تكون قاعدة خسارة المسار اكبر من 40 ديسيبل / العقد . اضافة لذلك يتغير ميل خسارة المسار الحقيقي وفق الحالة الراهنة .

2 - تزايد الخسارة أسياً مع التردد في التدرج اللوغاريتمي . على مسافة 4 كم (2,5 ميل) يكون الفرق في الخسارة بين 80 م هـ و 800 م هـ هو 20 ديسيبل للاستقطاب العمودي و 35 ديسيبل للاستقطاب الأفقي .

تتوافق خسارة النباتات بالنسبة للتردد في القوة الرابعة (f^4) المكتشفة في تنبؤ تامير النظري مع خسارة الاستقطاب الأفقي .

3 - يبلغ الفرق في الخسارة بين نوعي الاستقطاب 8-15 ديسيبل عند التردد 50 م هـ و 1-2 ديسيبل عند التردد 800 م هـ . تكون خسارة الاستقطاب الأفقي أقل من خسارة الاستقطاب العمودي عادة .

4 - إن معدل تخامد النباتات على مدى الترددات 50-800 م هـ هو كما يلي :

0,005-0,3 ديسيبل / م للاستقطاب الأفقي

0,005-0,51 ديسيبل / م للاستقطاب العمودي

5 - يلاحظ نشر متأخر بمقدار 0,2 ميكروثانية من التجربة الآتية .

يرتفع هوائي الاستقبال 8 م (26 قدم) فوق قمم الاشجار ويتوضع هوائي الارسل بين الاشجار وتكون مسافة الانتشار 160 م . من وجهة نظر تصميمية وفي نصف الكرة الشمالي على الأقل إذا كان في المنطقة غابة كثيفة يجب زيادة 10 ديسيبل سلاح في سوية استقبال الاشارة إلى القيمة التي حصل عليها من نموذج خسارة مسار الانتشار للتعويض عن خسارة النبات الصيفي . ومع هذا فمناطق النباتات الكثيفة نادراً ما توجد في المناطق الريفية والمدن ولهذا لا داعي لاعتبار خسارة النبات في هذه

المناطق . في منطقة الغابات يجب اجراء دراسة خاصة عن حالة النبات واتباع قواعد خسارة المسار المذكورة سابقاً . يجب تقدير تخامد النبات على اشارة الاستقبال في الولايات الجنوبية وفق القواعد المذكورة سابقاً .

2-5-2 اتجاه الشارع والأثر القنوي

عندما تكون الوحدة المتنقلة قريبة من محطة القاعدة ضمن 1,6-3,2 كم (1-2 ميل) مثلاً فإن اشارة الاستقبال تتأثر اكثر بالمنشآت والمباني حول محطة القاعدة وارتفاع هوائيهما . في الحالة العامة يبلغ الفرق بين شدتي اشارتين استقبلت احدهما في شارع على استقامة محطة القاعدة والأخرى في شارع عمودي على محطة القاعدة هو 10 ديسيبل تقريباً تتضاءل هذه الظاهرة على مسافة 8 كم (5 ميل) أو أكثر . عندما تجري تجربة من الأفضل تجنب الشوارع التي تكون على استقامة محطة القاعدة والعمودية عليها أو أخذ عينات متساوية العدد من كل نوعية ضمن نصف قطر 3,2 كم (2 ميل) وذلك لانشاء متوسط غير منحاز لجيل خسارة المسار لاستخدامه في التصميم .

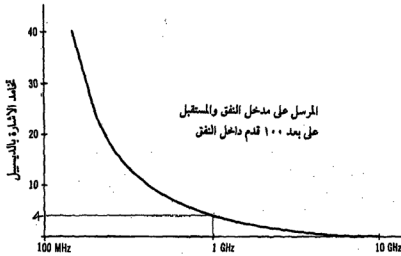
2-5-3 تأثير النفق والممر الأرضي .

تأثير النفق :

تتخامد الاشارة حسب حجم النفق . في احدى التجارب كان ارتفاع النفق حوالي 4,8 م (16 قدم وعرضه 6 م (20 قدم) ووضع المرسل عند مدخله والمستقبل بداخله على بعد 305 م (1000 قدم) وكما هو ظاهر في الشكل 2-22 لوحظت خسارة في داخل النفق قدرها 4 ديسيبل عند التردد 1 جـ. هـ. على بعد 305 م (1000 قدم) داخل النفق .

تأثير الممر الأرضي :

عندما تسير الوحدة المتنقلة عبر ممر أرضي بطول 6-15 م (20-50 قدم) تنخفض الاشارة بمقدار 10-15 ديسيبل . تعتمد فترة تخامد الاشارة على سرعة الوحدة، فعند سرعة 24 كم/سا 15 ميل/ ساعة (22 قدم/ ثانية) تأخذ اثنتين لعبور الممر ولا تتأثر القناة الصوتية عادة . عندما يكون السير مزدحماً وكثير من العربات يقف تحت الممر الأرضي وكانت تلك العربات تجري نداءات هاتفية متنقلة من الممكن جداً أن تفقد الاشارة .

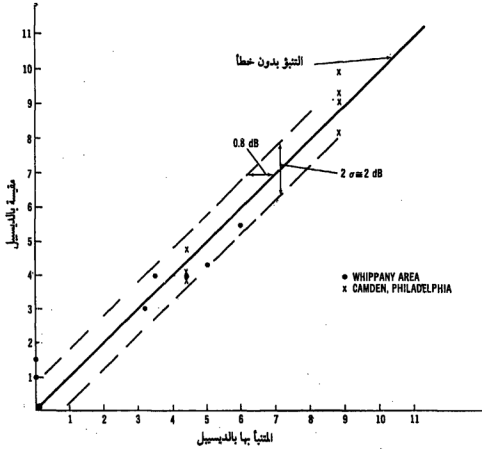


الشكل 22-2 تأثير النفق

2- 6 فائدة التنبؤ من نقطة إلى نقطة .

يؤمن نموذج من منطقة إلى منطقة دقة في التنبؤ عادة ضمن الانحراف المعياري 8 ديسيبل وهذا يعني أن 68% من معطيات خسارة المسار الحقيقية تقع ضمن ± 8 ديسيبل من القيمة المتنبأ بها. إن مدى عدم التأكد كبير. يقلل التنبؤ من نقطة إلى نقطة مدى عدم التأكد هذا بتطبيق المعلومات المفصلة عن التضاريس على تنبؤ خسارة المسار.

اجريت مقارنات بين قيم التنبؤ والقيم المقاسة باستخدام التنبؤ من نقطة إلى نقطة في مناطق كثيرة. قورنت الفروق في وبياني ونيوجرسي وكامدن - فيلادلفيا، رسمت النقاط أولاً بقيم التنبؤ على المحور x والقيم المقاسة على المحور y كما في الشكل 23-2. إن خط الـ 45° هو خط التنبؤ بدون أخطاء. النقاط النقطية هي من منطقة وبياني والنقاط المتصلة من منطقة كامدن - فيلادلفيا وكان معظمها قريباً من خط التنبؤ بدون أخطاء ووقع متوسط جميع البيانات مباشرة على خط التنبؤ بدون أخطاء. وقد انحرفت قيم التنبؤ 0.8 ديسيبل فقط عن القيم المقاسة.



الشكل 2-23 | دلالة الاخطاء في التنبؤ من نقطة إلى نقطة بشروط غير معيقة

وجدت فروق أكبر قليلاً في مناطق أخرى. وعلى كل فأكبر فارق بين قيمة التنبؤ والقيمة المقاسة كانت يحدود 3 ديسيبل ومدى الدقة هذا أفضل بكثير إذا ما قورن مع 8 ديسيبل في نموذج من منطقة إلى منطقة.

إن التنبؤ من نقطة إلى نقطة مفيد جداً في تصميم أنظمة الخلية المتنقلة (انظر الفصل 5-5) حيث يقل نصف قطر كل خلية عن 10 ميل وهو يؤمن المعلومات التي تؤكد تغطية منتظمة وتجنب التداخل بين الاقنية. إضافة لذلك يمكن التنبؤ بحدوث تبديل القناة في نظام الخلية بدقة أكبر.

يمكن الحصول على معلومات أكثر في التنبؤ من نقطة إلى نقطة بشروط غير معيقة في المراجع 28 إلى 30 التي تصف نموذج "Lee"

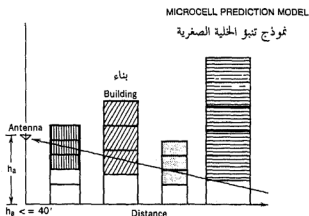
7-2 نموذج تنبؤ الخلية الصغيرة :

عندما يكون حجم الخلية صغيراً "نصف قطرها أقل من 1 كم" فإن اتجاه الشارع وكتل الأبنية الفردية تؤثر على استقبال الإشارة وقد ذكر هذا سابقاً ، وهي لا تؤدي إلى فوارق ملحوظة في الاستقبال عندما تكون الإشارة قد تخمدت كثيراً عند مسافة تزيد عن 1 كم . عند المسافات البعيدة تكون خسارة انتشار الراديو المتنقل الكبيرة نسبياً (40 ديسيبل/العقد) ناتجة عن اقتراب الموجتين المباشرة والمنعكسة من حالة التساوي. أما التواثر المحلية (الأبنية المحيطة بالوحدة المتنقلة) فهي تعكس الإشارة مسببة فقط خفوت تعدد المسارات وليس خسارة المسار عند الوحدة المتنقلة. عندما تكون الخلايا صغيرة فإن الإشارة التي تصل إلى الوحدة المتنقلة تسد بواسطة الأبنية الفردية وهذا يضعف شدة الإشارة ويعتبر جزءاً من خسارة المسار. ولهذا يجب أن نأخذ منحى آخر في التنبؤ وهو ماسيوصف في الفقرة التالية : في الخلايا الصغيرة تحسب الخسارة بناء على أبعاد كتل الأبنية. بما أن زوايا الورد الأرضية للأمواج تكون عادة صغيرة نتيجة لانخفاض ارتفاعات الهوائيات المستخدمة في الخلايا الصغيرة فإن الارتفاعات الحقيقية للأبنية في وسط مسارات الانتشار ليست هامة كما هو مبين في الشكل 2-24 ، لهذا تستخدم المصورات الفوتوغرافية ذات البعدين فقط. وعلى الرغم من أن الإشارة المستقبلية القوية عند الوحدة المتنقلة تأتي من الأمواج المنعكسة المتعددة المسارات وليس من الأمواج النافذة من خلال المباني فإن هناك ترابطاً بين توهين الإشارة وكمية المباني على طول المسار الراديوي. وكلما زاد عدد المباني كان توهين الإشارة أعلى يمكننا استخدام صورة هوائى لحساب الأطوال النسبية لمسارات الأمواج المباشرة التي أوهنتها المباني (انظر الشكل 2-25). عندما لاتسد الموجة من قبل المبنى فهي عندئذ حالة خط نظر مباشر. من معطيات القياس خلال شوارع تتوافر فيها حالة خط نظر مباشر تشكل منحني استقبال إشارة خط النظر P_{LOS} . وأيضاً من الإشارة المقيسة P_{α} خلال شوارع خارج حالة خط النظر المباشر ضمن الخلية . تشكل منحني توهين الإشارة الاضائي α الناتج عن ذلك الجزء من الأبنية الموجودة على طول المسار المباشر وذلك بطرح الإشارة المستقبلية من P_{LOS} لتشكيل علاقة توهين الإشارة الاضائي α تتبع الخطوات التالية :

- 1- احسب طول الانسداد الكلى B باضافة أبعاد الأبنية الفردية. مثال ذلك $B=a+b+c$ عند النقطة A كما هو مبين في الشكل 2-26.

- 2- قس شدة الإشارة P_{los} لحالة خط نظر مباشر.
- 3- قس شدة الإشارة P_{os} لحالة خارج خط نظر مباشر.
- 4- المتوسط المحلي عند النقطة A هو P_{os} . المسافة من محطة القاعدة الى الوحدة المتنقلة هي طول الانسداد B عند النقطة A هو $B = a + b$. عندئذ تحسب قيمة α_B لطول الانسداد B من العلاقة :

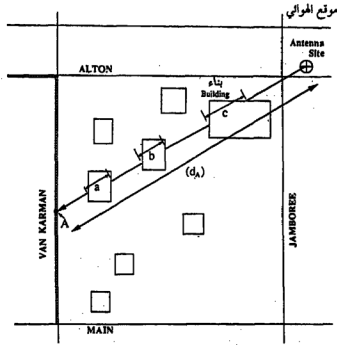
$$\alpha_B(B = a + b + c) = P_{los}(d = d_A) - P_{os} \quad (\text{at } d_A)$$



الشكل 24-2 آلية الانتشار الهوائي منخفض الارتفاع في موقع خلية



الشكل 25-2 عينة لصورة هوائي



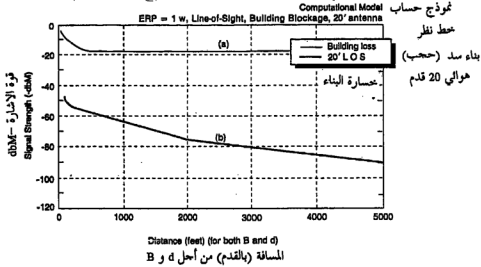
الشكل 26-2 انشغال المسار بالأبنية عند الموقع A ، إذا $B=a+b+c$

بعد ذلك يتم إيجاد منحني توهين الإشارة الإضافي المبني على الانسداد بالأبنية تجريبياً كما هو مبين في الشكل 27-2 . تم الحصول على المنحني α_B في إيرفين - كاليفورنيا . يري المنحني سرعة التوهين الحاصلة عندما كانت B أقل من 500 قدم . عندما تكون B أكثر من 1000 قدم يلاحظ الثبات التقريبي لقيمة التوهين ونفي 20 ديسيبل . ويمكن تفسير ذلك بظاهرة منعطف الشارع كما هو مبين في الشكل 28-2 . لوحظ التوهين السريع على إشارة الوحدة المتقلة خلال الانعطاف من شارع لآخر أي عندما تبدأ B من الصفر وتزداد. بعد أن تصل B إلى 500 قدم تبقى شدة الإشارة المستقبلية P_{rec} أقل بمقدار 18 ديسيبل من P_{tx} مع ازدياد المسافة d . قيست خسارات المسارات في حالة خط نظر مباشر لسلسلة من ارتفاعات الهوائيات وخلال شوارع كثيرة . وقد لوحظ ربح ارتفاع الهوائي بمقدار 9 ديسيبل/الضعف (30 ديسيبل/العقد) عند تغير ارتفاعه في خلية صغيرة وكما هو مبين في الشكل 29-2 وهذا ناتج عن حقيقة أن زوايا الميل في الخلايا الصغيرة تكون عادة أكبر من 10° . في نموذج تنبؤ الخلية الصغيرة نستخدم منحنيين α_B و P_{rec} للتنبؤ عن شدة الإشارة المستقبلية ، ولهذا يمكن تشكيل نموذج الخلية الصغيرة (الخلية الصغيرة) على الشكل التالي :

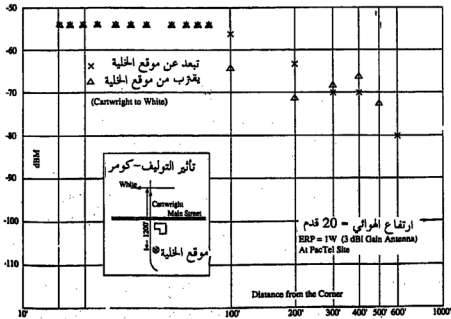
$$P_r = P_{\text{loss}} - \alpha_B$$

1-7-2

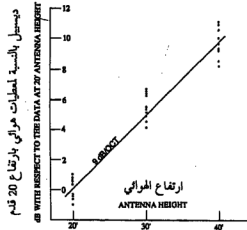
حيث P_{loss} خسارة مسار خط النظر المباشر (المقيسة) α_B الخسارة
الاضافية الناتجة عن طول مجموع كتل الأبنية B على طول المسار. في الشكل 27-2
القدرة المشعة الفعالة عند موقع الخلية هي 1 واط وارتفاع الهوائي 20 قدماً .



الشكل 27-2 معلمات تنبؤ الخلية الصغيرة
أ- خسارة خط النظر المباشر ب- α_B الناتجة عن الانسداد بالأبنية



الشكل 28-2 تأثير المنعطف الحرج في إيرفين-كاليفورنيا .



الشكل 29-2 تأثير ارتفاع الهوائي في انظمة الخلية الصغيرة .

العلاقات الواجب تقييمها هي (من الشكل 27-2) :

$$P_{ms} = P_t - 77 \text{ dBm} - 21.5 \log \frac{d}{100'} + 30 \log \frac{h_1}{20} \quad 100' \leq d < 200'$$

$$= P_t - 83.5 \text{ dBm} - 14 \log \frac{d}{200'} + 30 \log \frac{h_1}{20} \quad 200' \leq d < 1000' \quad 2-7-2$$

$$= P_t - 93.3 \text{ dBm} - 36.5 \log \frac{d}{1000'} + 30 \log \frac{h_1}{20} \quad 1000' \leq d < 5000'$$

استعمل نموذج تنبؤ الخلية الرئيسة من أجل $d < 5000'$

$$\alpha_B = 0$$

$$1' \leq B$$

$$= 1 + 0.5 \log(B/10) \quad 1' \leq B < 25' \quad 3-7-2$$

$$= 1.2 + 12.5 \log(B/25) \quad 25 \leq B < 600'$$

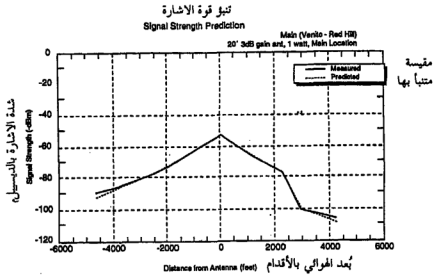
$$= 17.95 + 3 \log(B/600') \quad 600' \leq B < 3000'$$

$$= 20 \text{ dB} \quad 3000' \leq B$$

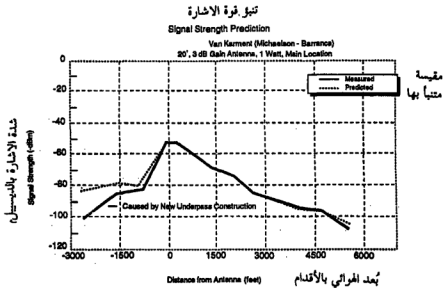
حيث P_r القدرة الفعالة المشعة بالديسيبل م (dBm) و d المسافة الكلية بالأقدام و h ارتفاع الهوائي بالأقدام و B طول الانسداد. بتعويض المعادلة 2-7-2 والمعادلة 3-7-2 في المعادلة 1-7-2 نحصل على الإشارة المستقبلية المتنبأ بها P_r .

$$P_r = P_o + \gamma_o \log \frac{d_1}{d_o} - \gamma_l \log B \quad 4-7-2$$

لقد تم التحقق من نموذج الخلية الصغيرة هذا في منطقتي ايرفين وسان دييغو في كاليفورنيا وكانت النتائج جيدة وهي مبينة في الشكلين 30-2 و 31-2



الشكل 2-30 مقارنة بين المعطيات المقاسة ومنحنى التنبؤ في الشارع الرئيسي في إرفين



الشكل 2-31 مقارنة بين المعطيات المقاسة ومنحنى التنبؤ في فون كارمن في إرفين

عند منطقة هضبية يمكن تعديل المعادلة 2-7-1 بإضافة حد ربح ارتفاع الهوائي الذي تم الحصول عليه من الشكل 2-29 على الشكل :

$$P_r = P_{los} - \alpha_B + 30 \log \frac{h_r}{h_a} \quad . \quad 2-7-5$$

إن التنبؤ من نموذج الخلية الصغيرة ليس صحيحاً كما هو من نموذج الخلية الكبيرة. وهذا ناتج عن حقيقة أننا نستخدم أداة تنبؤ احصائية للتنبؤ عن إشارة هي أقرب لحالة مقررة حيث مسافة الانتشار قصيرة .

REFERENCES

1. Lee, W. C. Y., and Y. S. Yeh, "On the Estimation of the Second-Order Statistics of Log-Normal Fading in Mobile Radio Environment," *IEEE Trans. Commun. Com-22*: 6 (June 1974): 869-873.
2. Lee, W. C. Y., "Estimate of Local Average Power of a Mobile Radio Signal," *IEEE Trans. Veh. Tech.* VT-34: 1 (Feb. 1985): 22-27.
3. Attwood, S. S., ed., "The Propagation of Radio Waves through the Standard Atmosphere," *Summary Technical Report of the Committee on Propagation 3* (Washington, DC: Reports and Documents, 1946): 250.
4. Beckmann, P., and A. Spizzichino, *The Scattering of Electromagnetic Waves from Rough Surfaces* (Macmillan, 1963): 20.
5. Lee, W. C. Y., *Mobile Communications Engineering* (McGraw-Hill, 1982): 107.
6. Bell System Practices *Public Land Mobile and UHF Maritime Systems Estimates of Expected Coverage* (Radio Systems General, July 1963).
7. Kelley, K. K., II, "Flat Suburban Area Propagation of 821 MHz," *IEEE Trans. Veh. Tech.* 27 (Nov. 1978): 198-204.
8. Ott, G. D., and A. Plitkins, "Urban Path-Loss Characteristics at 820 MHz," *IEEE Trans. Veh. Tech.* 27 (Nov. 1978): 189-197.
9. AT&T to FCC, "Advanced Mobile Phone Service—Development System Report," no. 5 (June 5, 1978).
10. Okumura, Y., E. Ohmori, T. Kawano, and K. Fukuda, "Field Strength and Its Variability in VHF and UHF Land Mobile Service," *Rev. Elec. Comm. Lab* 16 (Sept.-Oct. 1968): 825-873; also reprinted in *IEEE*.
11. Young, W. R., "Mobile Radio Transmission Compared at 150 to 3700 MC," *Bell Sys. Tech. J.* 31 (Nov. 1952): 1068-1085.
12. Lee, W. C. Y., "Studies of Base-Station Antenna Height Effects on Mobile Radio," *IEEE Trans. Veh. Tech.* VT-29: 2 (May 1980): 252-260.
13. Lee, W. C. Y., *Mobile Communications Engineering* (McGraw-Hill, 1982): 126.
14. Swarup, S., and R. K. Tewari, "Propagation Characteristics of VHF/UHF Signals in Tropical Moist Deciduous Forest," *J. Instrn. Electronics Telecom. Engr.* 21: 3 (1975): 123-125.
15. Swarup, S., and R. K. Tewari, "Depolarization of Radio Waves in a Jungle Environment," *IEEE Trans. Antenna Propagation* AP-27: 1 (Jan. 1979): 113-116.
16. Vincent, W. R., and G. H. Hagn, "Comments on the Performance of VHF Vehicular Radio Sets in Tropical Forests," *IEEE Trans. Veh. Tech.* VT-18: 2 (Aug. 1969): 61-65.
17. Tamir, T., "On Radio-Wave Propagation in Forest Environments," *IEEE Trans. Antenna Propagation* 15 (Nov. 1967): 806-817.
18. Tamir, T., "On Radio-Wave Propagation along Mixed Paths in Forest Environments," *IEEE Trans. Antenna Propagation* AP-25 (July 1971): 471-477.

19. Sass, P. F., "Propagation Measurements for UHF Spread Spectrum Mobile Communications," *IEEE Trans. Veh. Tech.* 32 (May 1983): 168-176.
20. Hufford, G. A., R. W. Hubbard, L. E. Patt, J. E. Adams, S. J. Paulson, and P. F. Sass, *Wideband Propagation Measurements in the Presence of Forests* (Fort Monmouth, NJ: U.S. Army Communications Electronics Command Jan., 1982): ADA113698.
21. Reudink, D. O., and M. F. Wazzowicz, "Some Propagation Experiments Relating to Foliage and Diffraction Loss at X-band and UHF Frequencies," *IEEE Trans. Commun.* 21 (Nov. 1973): 1198-1206.
22. Basis, A. P., M. E. Johnson, and M. J. Miles, "Analysis of Propagation Measurements over Irregular Terrain in the 96- to 9200-MHz Range," *ESSA Tech. Rep.* (Boulder, CO: U.S. Dept. of Commerce March, 1969): ERL 114-ITS 82.
23. Lee, W. C. Y., *Mobile Communications Engineering*, 134.
24. *Ibid.*, 133.
25. Reudink, D. O., "Mobile Radio Propagation in Tunnels," *IEEE Trans. Veh. Tech.* (Group Conference, San Francisco, CA, Dec. 2-4, 1968).
26. Emslie, A. G., R. L. Lagace, and P. F. Strong, "Theory of the Propagation of UHF Radio Waves in Coal Mine Tunnels," *IEEE Trans. Antenna Propagation* 23 (March 1975): 192-205.
27. Lee, W. C. Y., "Base-Station Antenna Height," 252-260.
28. Lee, W. C. Y., "A New Propagation Path-Loss Prediction Model for Military Mobile Access," *IEEE Milcom.* 85: 2, Boston, MA (Oct. 1985): 19.2.1-19.2.10.
29. IEEE VTS Committee on Radio Propagation "Lee's Model," *IEEE Trans. on Veh. Tech.*, Feb. 1988, pp. 68-70.
30. Lee, W. C. Y., "Lee's Model," *IEEE VTS 42nd Conference Proceedings*, Denver, CO, May 10-13, 1992, pp. 343-348.

ADDITIONAL REFERENCES

1. Bullington, K., "Radio Propagation for Vehicular Communications," *IEEE Trans. Veh. Tech.* VT-26: 4 (Nov. 1977): 295-308.
2. Dadson, Clifford E., "Radio Propagation Terrain Factors; Mobile Radio Field Strength Prediction and Frequency Assignment; Computer Methods," *IEEE Trans. Veh. Tech.* 24 (Feb. 1975): 1-8.
3. Forrest, Robert T., "Land Mobile Radio, Propagation Measurements for System Design," *IEEE Trans. Veh. Tech.* VT-24 (Nov. 1975): 46-53.
4. Hagn, G., "Radio System Performance Model for Predicting Communications Operational Ranges in Irregular Terrain," *Proc. 29th IEEE Vehicular Technology Conference Record* (1979): 322-330.
5. Jensen, Robert, "900 MHz Mobile Radio Propagation in the Copenhagen Area," *IEEE Trans. Veh. Tech.* VT-26 (Nov. 1977).
6. Turin, G. L., "Simulation of Urban Location Systems," *Proc. 21st IEEE Vehicular Technology Conference Record* (1970).
7. Wait, James R., "Radiowave Propagation; Hills and Knife-Edge Obstacles; Diffraction Losses," *IEEE Trans. Antenna Propagation* 15 (Nov. 1968): 700.
8. Nielson, D. L., "Microwave Propagation Measurements for Mobile Digital Radio Applications," *IEEE Trans. Veh. Tech.* VT-27 (Aug. 1978): 117-132.
9. French, R. C., "Radio Propagation in London," *Radio Electronic Engr.* 46 (July 1976): 333-336.
10. Young, W. R., "Comparison of Mobile Radio Transmissions at 150, 450, 900 and 3700 MHz," *Bell Sys. Tech. J.* 31 (Nov. 1952): 1068-1085.
11. Graziano, V., "Propagation Correlations at 900 MHz," *IEEE Trans. Veh. Tech.* VT-27 (Nov. 1978): 182-188.
12. Reudink, D. O., "Properties of Mobile Radio Propagation above 400 MHz," *IEEE Trans. Veh. Tech.* VT-23 (Nov. 1974): 143-160.
13. Hata, M., "Empirical Formula for Propagation Loss in Land Mobile Radio Services," *IEEE Trans. Veh. Tech.* VT-29 (1980): 317-325.
14. Akeyama, A., Nagatsu, T., and Ebine, Y., "Mobile Radio Propagation Characteristics and Radio Zone Design Method in Local Cities," *Rev. Elec. Comm. Lab.* 30: 2 (1982): 308-317.
15. Longley, A. G., and Rice, P. L., "Prediction of Tropospheric Radio Transmission Loss over Irregular Terrain, a Computer Method-1968," *ESSA Tech. Report ERL 79-ITS 67 NTIS 676874* (1968).
16. Barsis, A. P., "Radio Wave Propagation over Irregular Terrain in the 76- to 9200-MHz Frequency Range," *IEEE Trans. Veh. Tech.* VT-20: 2 (1971): 41-62.
17. Durkin, J., "Computer Prediction of Service Areas for VHF and UHF Land Mobile Radio Services," *IEEE Trans. Veh. Tech.* VT-26: 4 (1977): 323-327.

18. Palmer, F. H., "The CRC VHF/UHF Propagation Prediction Program: Description and Comparison with Field Measurements," *AGARD Conference Proc.* 238 (Canada, Nov. 1978): 49-1-49-15.
19. Egli, J. J., "Radio Propagation above 40 MHz over Irregular Terrain," *Proc. IRE* 45 (Oct. 1975): 1382-1391.
20. Murphy, J. P., "Statistical Propagation Model for Irregular Terrain Paths between Transportable and Mobile Antennas," *AGARD Conf. Proc.* 70 (1970): 49-1-49-20.
21. Allsebrook, K., and Parsons, J. D., "Mobile Radio Propagation in British Cities at Frequencies in the VHF and UHF Bands," *IEEE Trans. Veh. Tech.* VT-26: 4 (1977): 313-323.
22. Ibrahim, M. F., and Parsons, J. D., "Urban Mobile Radio Propagation at 900 MHz," *IEEE Elec. Letters* 18: 3 (1982): 113-115.

3 - حساب الخفوتات وطرق تقليلها

- 1-3 خفوت الاتساع .
- 2-3 التعديل الطوري العشوائي والتعديل الترددي العشوائي .
- 3-3 الخفوت الانتقائي والتعديل الترددي العشوائي الانتقائي .
- 4-3 انظمة التنوع .
- 5-3 تقنيات الضم .
- 6-3 معدل خطأ البتات ومعدل خطأ الكلمات في بيئة الخفوت .
- 7-3 حساب شدة الاشارة فوق سوية محددة في (خلية وحدة متنقلة مستقرة) .
- 8-3 تعديل نطاق جانبي وحيد .

1-3 خفوت الاتساع .

ان تابع الكثافة الاحتمالي وتابع التوزيع الاحتمالي التراكمي هما تابعان إحصائيان من الدرجة الأولى . وبالتعريف ، هما ليسا تابعين للزمن .

لقد ذكر تابع الكثافة الاحتمالي والتوزيع الاحتمالي التراكمي لرايلي (المتعلق بمركبات موجة غير مباشرة) وتوزيع رايسيان (المتعلق بموجات غير مباشرة بالاضافة إلى مركبة موجة مباشرة) في الفصلين 2-5-1 و 3-5-1 على التوالي .

يركز هذا الفصل على التوابع الاحصائية من الدرجة الثانية على الخفوت ، ان توابع الدرجة الثانية الإحصائية تابعة للزمن مثل : معدلات تقاطع المستوى ومتوسط فترات الخفوت وتوزيع فترات الخفوت .

وقد ظهرت العلاقة العامة للتوابع الاحصائية من الدرجة الثانية في الفصل 4-5-1 . ان حالة خفوت رايلي بعدم وجود مركبات مباشرة في الاستقبال هو اسوأ أنواع الخفوت في بيئة الراديو المتنقل وستدرس هذه الحالة بإمعان . في حالة الاتصالات الراديوية المتنقلة تتحرك أجهزة الراديو ولهذا تتغير شدة الاشارة المستقبلية وهذا ما يدعى بخفوت الاشارة قصير الأجل .

ان الخفوت قصير الأجل تابع للزمن أو لسرعة العربة ، ولهذا فإن خصائص الخفوت قصير الاجل هي احصائية من الدرجة الثانية . ان معدلات المستوى ومتوسط فترات الخفوت وتوزيع فترات الخفوت في خفوت رايلي كما يلي :

1-1-3 معدلات تقاطع المستوى : (lcr)

ان معدل تقاطع المستوى هو :

$$n(R) = n_0 \cdot n_R \quad 1-1-3$$

حيث n_R لا يعتمد على التردد أو السرعة وهو تابع لاتساع الاشارة فقط ويُعطى بالعلاقات :

$$n_{R_1} = R_1 e^{-R_1^2} \quad (\text{للحقل الكهربائي } E_z) \quad 2-1-3$$

$$n_{R_2} = \sqrt{1 - \frac{1}{2} \cos 2\alpha} \cdot R_2 \cdot \exp(-R_2^2) \quad (\text{للحقل المغناطيسي } H_x) \quad 3-1-3$$

$$n_{R_3} = \sqrt{1 + \frac{1}{2} \cos 2\alpha \cdot R_3 \cdot \exp(-R_3^2)} \quad (\text{للحقل المغناطيسي Hy}) \quad 4-1-3$$

حيث R_1 هي غلاف الحقل الكهربائي بالنسبة لقيمة جذر متوسط التربيع $R_1 = r_1 \sqrt{r_1^2}$ و R_2 غلاف الحقل المغناطيسي Hx بالنسبة لقيمة جذر متوسط التربيع $R_2 = r_2 \sqrt{r_2^2}$ و R_3 غلاف الحقل المغناطيسي Hy بالنسبة لقيمة جذر متوسط التربيع $R_3 = r_3 \sqrt{r_3^2}$ ان العلاقة بين القيم الثلاث لجذر متوسط التربيع هي $r_1^2 = 2r_2^2 = 2r_3^2$ واتجاه سير العربة هو \propto . يري الشكل 1-3-1 احداثيات هذه المعادلات . تتعلق n_R كثيراً بتابع الكثافة الاحتمالي لخفوت رايلي كما تبين المعادلة (10-5-1)

$$n_{R_1} = \frac{1}{2} P(R) \quad 5-1-3$$

يعطى معامل التقييس n_0 في المعادلة 1-1-3 على الشكل :

$$n_0 = \frac{\beta V}{\sqrt{2\pi}} = \sqrt{2\pi} \frac{V}{\lambda} = 2.5 \cdot \frac{V}{\lambda} \quad 6-1-3$$

وهو تابع للتردد وسرعة العربة . رسمت المعادلات السابقة في الشكل 2-3 . يمكن الحصول على معدل تقاطع المستوى بسهولة وهو مطابق تقريباً للقيم التجريبية.

يمكن الحصول على معدلات تقاطع المستوى النظرية لمستويات مختلفة من الشكل 2-3 باعطاء التردد وسرعة العربة . تؤخذ معدلات تقاطع المستوى التجريبية بعدد مرات التقاطع الموضحة في الفصل 4-5-1 . يحدث معدل تقاطع المستوى الاعظمي دائماً عند سوية 3 ديسيبل أقل من متوسط سوية الاستطاعة . يمكن برهنة ذلك بإشتقاق المعادلة 2-1-3 أو المعادلة 5-1-3 بالنسبة لـ R_1 :

$$\frac{d}{dR_1}(n_{R_1}) = 0$$

$$n_0 = 47$$

$$n_{R_1} = 0.284$$

$$n(R_1) = 47 \times 0.284 = 13.35 \text{ هو ثانية / تقاطع}$$

للحصول على معدل تقاطع المستوى التجريبي نحسب متوسط سوية القدرة.

$$(rms)^2 = \frac{\sum_{i=1}^N r_i^2}{N} = \text{القدرة المتوسطة} \quad (7-1-3) \quad (r_i \text{ بالفولط في معطيات رقمية})$$

$$(r \text{ بالفولط في معطيات ثنائية}) = \frac{1}{\tau} \int_0^{\tau} r^2 dr$$

ثم نحسب معدل تقاطع المستوى عند أي سوية قدرة بالنسبة لهذه السوية.

مثال 2-3 : من السهل أحياناً أن تجد سوية القدرة من جزء من المعطيات المقيسة خاصة إذا لم تتوفر إمكانية وجود حاسوب. بافتراض أن المعطيات المقيسة تأتي بتوفر الشروط المشروحة في المثال 1-3 فإن خطوات الحصول على متوسط سوية القدرة لهذا الجزء من المعطيات (المبينة في الشكل 3-3) تكون كما يلي :

1- ارسم أولاً خمسة خطوط بتزايد سوية 2 ديسيبل (بالنسبة لسوية dBm أو أي سوية جديدة) وذلك عبر المعطيات المستقبلية بجوار متوسط سوية القدرة واستخدام الدقة المكبرة كما في الشكل 3-3.

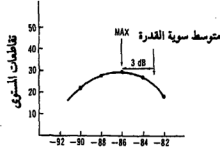
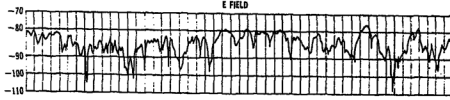
2- عد الميول المرجحة للتقاطعات عند كل مستوى وعلى طول المعطيات. وقسم عدد تقاطع المستوى على طول الزمن ويكون الناتج هو معدل تقاطع المستوى لكل مستوى اتساعي.

3- ارسم معدل تقاطع المستوى مع مستويات الاتساعات.

4- ارسم المنحني المطابق للنقاط الخمسة لمعدلات تقاطع المستوى وخذ الوضع الأعظمي.

5- يكون متوسط سوية القدرة أعلى ب 3 ديسيبل من سوية مستوى العدد الأعظمي للتقاطعات.

وما دام متوسط سوية القدرة قد وجد لذلك الجزء المحدد من المعطيات فإن أية سوية قدرة يمكن تحديدها بناء على متوسط سوية القدرة (أو ما يدعى سوية قيمة جذر متوسط التريبع).



الشكل 3-3

طريقة تقدير متوسط سوية القدرة من جزء من معطيات الصف

مثال 3-3 : قارن معدل تقاطع المستوى التجريبي مع التنبؤ النظري . من معطيات الصف المبينة في الشكل 3-3 أوجد أولاً : السوية الأقل ب : 10. ديسيبيل من سوية متوسط القدرة ثم عد مرات تقاطع المستوى في فترة (5) ثوان وهي (73) ثم حول الى معدل تقاطع المستوى وهو 14,6 وهو قريب جداً من معدل تقاطع المستوى المتوقع 13,35 المحسوب في المثال 1-3

2-1-3 متوسط فترة الخفوت

يعطى متوسط فترة الخفوت $\bar{r}(R)$ بالعلاقة :

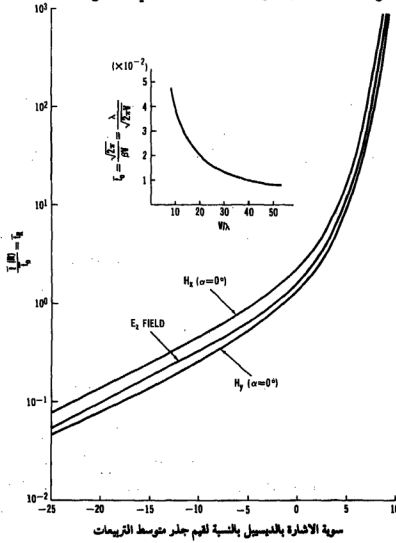
$$\bar{r}(R) = \frac{CPD}{ler} = \frac{P(r \leq R)}{n(R)} = \frac{\text{التوزيع الاحتمالي التراكمي}}{\text{معدل تقاطع المستوى}} \quad 8-1-3$$

أو

$$\bar{r}(R) = \left(\frac{1}{n_0} \right) \frac{P(r \leq R)}{n_R} = \bar{r}_0 \cdot \bar{r}_R$$

9-1-3

(انظر المعادلة 27-5-1) ، رسمت المعادلة 9-1-3 في الشكل 4-3



الشكل 4-3

متوسط فترة الحفوت للحقول H_x ، H_y ، E_z لإشارة الراديو المتنقل

مثال 4-3 : في نفس شروط المثال 1-3 ما هي التنبؤات النظرية \bar{t}_0 و \bar{t}_R لاشارة الحقل E :
الحل :

$$\bar{t}_0 = \frac{1}{47} = 0.0213$$

$$\bar{t}_R = 0.352$$

$$\bar{t}(R) = \bar{t}_0 \cdot \bar{t}_R = 0.00749 \text{ second}$$

مثال 5-3 : من المعطيات المقيسة احسب، دون مساعدة الحاسوب، متوسط فترة الخفوت بنفس شروط المثال 1-3 . من الصعب الحصول على متوسط فترة الخفوت مباشرة. لهذا نحصل على تابع التوزيع الاحتمالي التراكمي ومعدل تقاطع المستوي أولاً ونحسب متوسط فترة الخفوت من المعادلة 8-1-3 .
في بيئة خفوت رايلي يتبع التوزيع الاحتمالي التراكمي منحنى رايلي دائماً والمبين في الشكل 12-1 . عند السوية - 10 ديسيبل يكون : $P(\alpha \leq -10 \text{ dB}) = 0.09$
معدل تقاطع المستوي الذي تم الحصول عليه تجريبياً من المثال 3-3 هو 14,6 . اذاً :
متوسط فترة الخفوت من المعادلة 8-1-3

$$t(R) = \frac{0.09}{14,6} = 0.00612 \text{ second}$$

تتفق نتيجة هذا المثال مع نتيجة المثال 4-3 تقريباً.

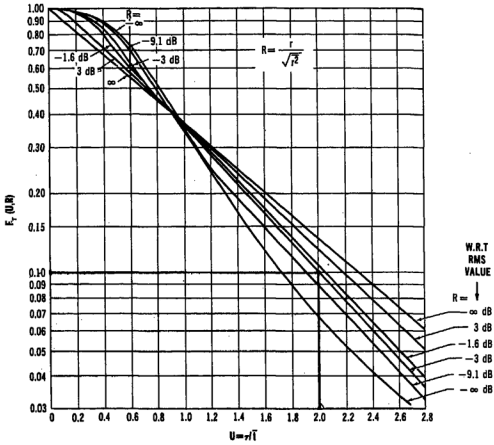
3-1-3 توزيع فترات الخفوت :

إن إستنتاج توزيع فترة الخفوت معقد جداً، غير أنه مفيد جداً عند تعميم نسق التشويش في بيئة الخفوت، حسب رايس توزيع فترة الخفوت $F_T(u, R)$ المبين في الشكل 5-3 حيث :

$$u = \pi/\bar{t}.$$

وقد بين حالة احتمال $R(t) < R$ لفترة تدوم اكثر من τ . متوسط فترة الخفوت هو \bar{t} و R هو الغلاف بالنسبة لقيمة جذر متوسط التريع .

مثال 6-3 : ما هو احتمال حدوث خفوت يدوم لفترة تزيد عن ضعف متوسط فترة الخفوت عند سوية 3 ديسيبل أقل من قيمة جذر متوسط التريبع ؟
من الشكل 5-3 نجد أن احتمال الحدوث هو 10% .



الشكل 5-3

الاحتمال $F_r(u, R)$ حيث $R(t) < R$ لفترة أطول من τ .
غلاف إشارة ضجيج نطاق ضيق طبيعي (غوسي) .

3-4: ارتباط الغلاف بين هوائين قريبين من بعضهما على وحدة متنقلة .
 يمكن التعبير عن معامل الارتباط بين أشارتين مستقبلتين بفواصل ترددي وزمني في وحدة متنقلة تسير بسرعة (v) بإحدى الحالتين:
 أ - بين حقلين E (أو حقلين H)

$$\rho_r(\Delta\omega, \tau) = \frac{J_0^2(\beta V \tau)}{1 + (\Delta\omega)^2 \Delta^2} \quad (10-1-3) \text{ (فاصل ترددي وزماني)}$$

أو

$$\rho_r(\Delta\omega, \Delta d) = \frac{J_0^2(\beta \cdot \Delta d)}{1 + (\Delta\omega)^2 \Delta^2} \quad (11-1-3) \text{ (فاصل ترددي وفراغي)}$$

حيث $J_0(\cdot)$ تابع بسل من النوع الأول والدرجة صفر، سرعة العربة (v) والفواصل الزمني τ ، وهذا يكافئ فاصلاً فراغياً $\Delta d = V \tau$ والفواصل الترددي هو $(\Delta\omega)$ أما Δ فهو نشر التأخير المشروح في الفصل 5-6 .
 ب - بين حقلين E و H : بها أن معامل الارتباط بين E و H هو:

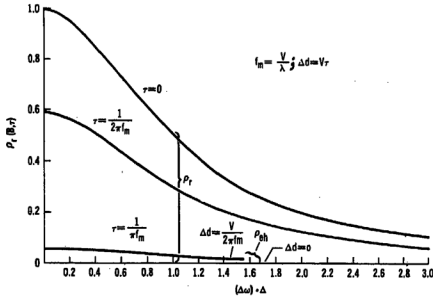
$$\rho_{eh}(\Delta d) = J_1^2(\beta \cdot \Delta d)$$

ويأتبع نفس شكل المعادلة 11-1-3 نحصل على:

$$\rho_{eh}(\Delta\omega, \Delta d) = \frac{J_1^2(\beta \cdot \Delta d)}{1 + (\Delta\omega)^2 \cdot \Delta^2} \quad (12-1-3)$$

حيث $J_1(\cdot)$ هو تابع بسل من النوع الأول والدرجة الأولى
 رسمت المعادلتان 10-1-3 و 12-1-3 في الشكل 6-3 . في حالة $\Delta d = 0$ (أو $\tau = 0$) يمكن القول أن هوائياً واحداً استخدم في الوحدة المتنقلة . وفي حالة $\Delta\omega = 0$ فهذا يعني أن تردداً واحداً استخدم، وفي حالة كون كل من Δd و $\Delta\omega$ لا يساوي الصفر فهذا يعني أن نوعاً من التنوع الترددي والفراغي قد طبقا في نفس الوقت، يمكن أن يدعى نظام التنوع المهجين . في الحالات العملية يستخدم إما التنوع

الفراغي ($\Delta\omega = 0$) أو التنوع الترددي ($\Delta d = 0$). يحافظ النوع الأول على الطيف الترددي ويتطلب الآخر هوائياً واحداً فقط. وفي بعض الاحيان يكون أداء نظام التنوع المهجين أفضل من تنوع رباعي الفروع لأي من النوعين.



الشكل 6-3

منحني غلاف معامل الارتباط مقابل جداء الفاصل الترددي $\Delta\omega = \omega_2 - \omega_1$ ونشر التأخير الزمني Δ .

5-1-3 طيف القدرة:

- عند التردد المتوسط:

- تعطى مكونات الحقول الثلاث لطيف القدرة: $S_{e_0}(f)$, $S_{h_0}(f)$, $S_{h_e}(f)$:
عند التردد المتوسط بالعلاقات التالية:

$$S_{e_0}(f) = \frac{3}{2\pi\sqrt{f_m^2 - f^2}} \quad 13-1-3$$

$$S_{h_e}(f) = \frac{3}{2\pi f_m^2} \sqrt{f_m^2 - f^2} \quad 14-1-3$$

$$S_{hy}(f) = \frac{3f^2}{2\pi f_m^2 \sqrt{f_m^2 - f^2}} \quad 15-1-3$$

رسمت المعادلات الثلاث السابقة في الشكل 7-3 أ. تمثل 13-1-3 طيف قدرة نمطي لاشارة بتعديل ترددي. وتشير المعادلة 14-1-3 ، الى أن الأمواج الواردة من جانبي العربية تكوّن معظم طيف القدرة، وتدل المعادلة 15-1-3 إلى أن الأمواج الأمامية والخلفية تكوّن معظم القدرة.

عند تردد النطاق الأساسي

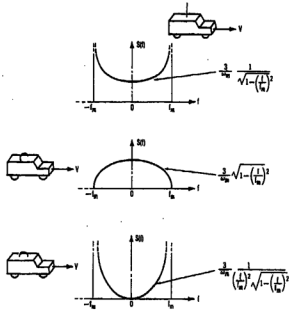
تعطى المكونات الحقلية الثلاث لطيف القدرة $S_{hy}(f)$, $S_{ez}(f)$, $S_{hx}(f)$ عند تردد النطاق الأساسي بالعلاقات التالية:

$$\frac{1}{\sqrt{r_e^2}} \cdot S_{rx}(f) = \frac{\pi}{4} \delta(f) + 2 \left(1 - \frac{\pi}{4} \right) \frac{K(\sqrt{1 - (f/f_0)^2})}{\pi^2 f_0} \quad 16-1-3$$

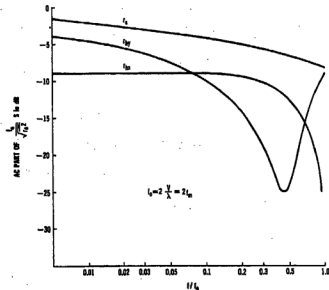
$$\begin{aligned} \frac{1}{\sqrt{r_e^2}} \cdot S_{ry}(f) = & \frac{\pi}{8} \delta(f) + \frac{1}{3\pi f_0} \left\{ \left[1 + \left(\frac{f}{f_0} \right)^2 \right] \cdot E \left[\sqrt{1 - \left(\frac{f}{f_0} \right)^2} \right] \right. \\ & \left. - 2 \left(\frac{f}{f_0} \right)^2 \cdot K \left[\sqrt{1 - \left(\frac{f}{f_0} \right)^2} \right] \right\} \quad 17-1-3 \end{aligned}$$

$$\begin{aligned} \frac{1}{\sqrt{r_e^2}} \cdot S_{ry}(f) = & \frac{\pi}{8} \delta(f) + \frac{1}{4\pi f_0} \left\{ \left[1 + \frac{4}{3} \left(\frac{f}{f_0} \right)^2 \right] K \left[\sqrt{1 + \left(\frac{f}{f_0} \right)^2} \right] \right. \\ & \left. - \frac{8}{3} \left[1 - \frac{1}{2} \left(\frac{f}{f_0} \right)^2 \right] \cdot E \left[\sqrt{1 - \left(\frac{f}{f_0} \right)^2} \right] \right\} \quad 18-1-3 \end{aligned}$$

حيث $\delta(f)$ هو تابع دلتا الذي يمثل قدرة التيار المستمر، و $K(\cdot)$ و $E(\cdot)$ هما التكامل الأهليلجي والتكامل الأهليلجي التام للنوع الأول من التوابع على التوالي. رسمت المعادلات 16-1-3 و 17-1-3 و 18-1-3 في الشكل 7-3 ب. تردد القطع عند النطاق الأساسي f_0 يعادل ضعف تردد الحفوت ($f_0 = 2f_m$)



(أ) توزيع الكثافة الطيفية لقدرة التردد الوسيط لمركبات الحقل المختلفة



(ب) توزيع كثافة أطراف التطاق الاساسي، لاغلفة الحقل

الشكل 7-3

أطراف القدرة لاغلفة المركبات الحقلية الثلاث.

2-3 التعديل الطوري العشوائي والتعديل الترددي العشوائي .

يعبر عن الإشارة $s(t)$ ذات الاتساع الثابت A والطور المتضمن رسالة ما بالعلاقة :

$$s(t) = Ae^{j(\omega t + \psi(t))} \quad 1-2-3$$

حيث ω هي التردد الزاوي، أما الإشارة المستقبلية في الوحدة المنقلة $s_0(t)$

فيعبر عنها :

$$\begin{aligned} s_0(t) &= A \cdot r(t) \cdot e^{j(\psi_r(t) + \psi_r(t))} e^{j\omega t} \\ &= A \cdot m(t) \cdot r_0(t) e^{j(\omega t + \psi_r(t) + \psi_r(t))} \end{aligned} \quad 2-2-3$$

حيث $r(t)$ هو غلاف الإشارة المستقبلية .

ولهذا يمكن تجزئة $r(t)$ عملياً إلى جزئين $m(t)$ و $r_0(t)$ وذلك وفقاً لمفهوم بيئة الراديو المتنقل المشروح في الفصل 3-1 . ادخل حد طوري اضافي هو $\psi_r(t)$ وذلك نتيجة تأثير تعدد المسارات وهو متغير عشوائي أيضاً .

1-2-3 الطور العشوائي $\psi_r(t)$:

عرف الطور العشوائي $\psi_r(t)$ بتوزيعه المنتظم . يمكن أن يكون أي طور بين 0° و 2π باحتمالات متساوية .

$$p(\psi_r) = \begin{cases} \frac{1}{2\pi} & 0 < \psi_r < 2\pi \\ 0 & \text{elsewhere} \end{cases} \quad 3-2-3$$

أوبالاحرى ان احتمال ان تكون ψ_r أقل من طور معين Ψ هو :

$$p(\psi_r \leq \Psi) = \int_0^\Psi p(\psi_r) d\psi_r = \frac{\Psi}{2\pi} \quad 4-2-3$$

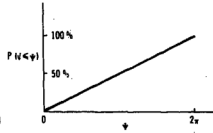
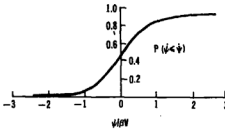
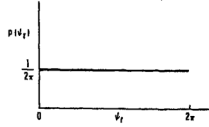
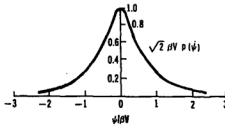
رسمت المعادلتان 3-2-3 و 4-2-3 في الشكل 8-3 أ. ان التوزيع الاحتمالي التراكمي للطور العشوائي ψ_r مستقل عن سرعة العربة.

2-2-3 التعديل الترددي العشوائي $\psi_r(t)$:

عندما نتعامل مع التعديل الترددي يصبح مشتق الطور العشوائي $\psi_r(t)$ متغيراً عشوائياً $\psi_r(t)$ في التعديل الترددي ويدعى التعديل الترددي العشوائي. وقد بينت خصائص تابع الكثافة الاحتمالي والتوزيع الاحتمالي التراكمي لـ $\psi_r(t)$ في الشكل 8-3 ب. وهما تابعان لسرعة العربة (V) أو لتردد الخفوت (V/λ) كما هو واضح في الشكل 8-3 ب. ينتشر التعديل الترددي العشوائي $\psi_r(t)$ عشوائياً ولكنه متناظراً في الترددات حول التردد الحامل. إن تابع التوزيع التراكمي لـ $\psi_r(t)$ هو تابع غير خطي وقد بين في الشكل 8-3 ج إن طيف القدرة $\psi_r(t)$ ذو قطع حاد عندما يتخطى التردد $2V/\lambda$ المبينة في الشكل 8-3 ج.

في بيئة الراديو المتنقل يمكن أن تبلغ سرعة العربة 105 كم/سا (70 ميل/ساعة) يفترض أيضاً أن يكون التردد العامل 1 جـ هـ، أي $\lambda = 0.3$ م (1 قدم) تقريباً. في هذه الشروط يكون تأثير التعديل الترددي العشوائي الفعال طفيفاً إذا كان التردد فوق $2V/\lambda$ أو 176 هـ وذلك نتيجة لميل الانخفاض الحاد للمين في الشكل 8-3 جـ، وهذا يعني انه إذا كان الجزء السفلي من الإشارة المطلوبة قد صمم ليكون أعلى من 176 هـ فإن التعديل الترددي العشوائي لا يؤثر على الإشارة المرغوبة.

وبما أن تردد الصوت البشري أعلى من 300 هـ فإن مرشح النطاق لا يمرر التعديل الترددي العشوائي. وبكلمات أخرى فإن التعديل الترددي العشوائي لا يؤثر على الاتصالات الصوتية للراديو المتنقل.

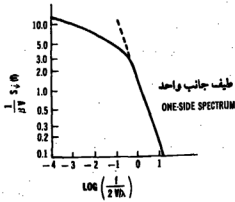


(ب) خصائص $p(\psi_r)$ و $p(\psi \leq \psi_r)$

(B) Characteristics of $p(\psi_r)$ and characteristics of $p(\psi \leq \psi_r)$.

(أ) خصائص $p(\psi_r)$ و $p(\psi \leq \psi_r)$

(A) Characteristics of $p(\psi_r)$ and characteristics of $p(\psi \leq \psi_r)$.



(ج) طيف القدرة للتعديل الترددي العشوائي
(C) Power spectrum of random FM.

الشكل 8-3

خصائص الطور العشوائي والتعديل الترددي العشوائي:

انه لامر مهم ومحرج في اتصالات المعطيات تجنب تركيز الطاقة في مدى التعديل الترددي العشوائي باستخدام شكل موجة التشوير الملائم. يعد تشوير مانشستر تشويراً جيداً لمثل هذا التطبيق لأن القدرة لا تتركز عند التردد صفر.

3-3 الحفوت الانتقائي والتعديل الترددي العشوائي الانتقائي.

1-3-3 الحفوت الإنتقائي:

الحفوت الانتقائي يعني عادة حفوت التردد الانتقائي ، أي أن ترددين مختلفين يفصل بينهما مدى ترددي محدد ويتشران في وسط ما لا يلحظ عليها نفس الحفوت. يتعلق الحفوت الانتقائي بشدة نشر التأخير الزمني Δ ، فإذا كان نشر التأخير الزمني مساوياً للصفر لا يتواجد الحفوت الانتقائي. ومع هذا فإن حفوت تعدد المسارات في بيئة الراديو المتنقل تنتج نشر تأخير كما ذكر في الفصل 1-5-6 والحفوت هنا إنتقائي ويعتمد على عرض نطاق التماسك. يمكن اشتقاق المعادلة 1-5-58 من المعادلة 1-3-11 في حالة هوائي وحيد لتكون $\Delta d = 0$ في المعادلة 1-3-11 وليكن معامل التماسك $\rho = 0.5$ كمعيار لتحديد عرض نطاق التماسك. إذا كان الفاصل الترددي $B = \Delta\omega/2\pi$ كبيراً جداً بحيث كانت $\rho < 0.5$ فالترددان ليسا في نطاق التماسك ($B > B_0$) - إذا كانت $\rho > 0.5$. فالترددان المنفصلان بالفاصل (B) يقعان ضمن نطاق التماسك. باستخدام $\rho_0 = 0.5$. لهذا المعيار تصبح المعادلة 1-3-11 كالتالي:

$$\rho_0 = 0.5 = \frac{1}{1 + (\Delta\omega_0)^2 \cdot \Delta^2}$$

أو:

$$B_0 = \frac{\Delta\omega_0}{2\pi} = \frac{1}{2\pi\Delta} \quad 1-3-3$$

تعرف المعادلة 1-3-3 بمعادلة عرض نطاق التماسك بين اشارتين مختلفتان بالاتساع. بتعريض بيانات نشر التأخير المذكورة في الفصل 1-5-6 فإن عرض نطاق التماسك لمختلف أنواع البيئة الصناعية يصبح كما يلي:

$B_c = 300$ ك هـ عند $\Delta = 0,5$ ميكروثانية في المناطق الريفية (الضواحي).

$B_c = 50$ ك هـ عند $\Delta = 3$ ميكروثانية في مناطق المدن.

$B_c = 0,8$ م هـ عند $\Delta = 0,2$ ميكروثانية في المناطق المكشوفة.

إن عرض نطاق التماسك في المناطق الريفية أكبر منه في مناطق المدن. ينعدم الارتباط بين خفوت الأشارات في مناطق المدن إذا كان الفاصل بين الترددات أكبر من 50 ك هـ، وفي المناطق الريفية فإن فاصل 300 ك هـ يجعل الخفوت غير مترابط وفي المناطق المكشوفة يلزم 800 ك هـ. إذا طبق التباين الترددي في بيئة الراديو المتنقل يجب أن يكون الفاصل الترددي المطلوب 300 ك هـ وقد بين السبب في نظام التباين الترددي في الفصل 2-4-3.

2-3-3 التعديل الترددي العشوائي الانتقائي:

يمكن الحصول على عرض نطاق التماسك لتعديلي ترددتين عشوائيتين مختلفتين. إلا أن اشتقاقه صعب ومطول ونعبر عنه بعلاقته البسيطة كما يلي:

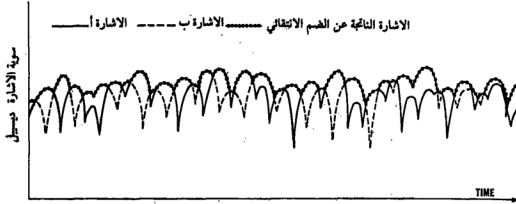
$$B_o' = \frac{1}{4\pi\Delta} \quad 2-3-3$$

وبهذه الحالة يكون عرض نطاق التماسك للتعديل الترددي العشوائي الانتقائي نصف عرض نطاق التماسك للخفوت الانتقائي. في الفصل 5-3 سوف يطبق عرض نطاق التماسك B_c على تصميم النظام.

4-3 أنظمة التنوع

تؤمن أنظمة التنوع مدخلين أو أكثر لجهاز الاستقبال المتنقل بحيث لا يوجد ارتباط بين ظواهر الخفوت لهذه المدخل، يجب الحذر إلى أننا نعني بالارتباط فقط التعامل مع قناتي إشارتين خافتتين. ويجب أن تكون الرسالة المحملة على هاتين القناتين نفسها دائماً.

وفي هذا الفصل سوف نناقش الطرق التي يمكن أن تنشئ أقل ارتباط بين إشارتين خافتتين ويمكن ضمهما بعد الاستقبال وتغليس الخفوت قبل كشف الرسالة. يبين الشكل 9-3 توضيحاً لذلك. هناك نوعان من الخفوت: طويل الأجل وقصير الأجل. لتقليل الخفوت طويل الأجل نحتاج إلى استخدام التنوع الموسع ولتقليل الخفوت قصير الأجل نحتاج إلى استخدام التنوع الدقيق.



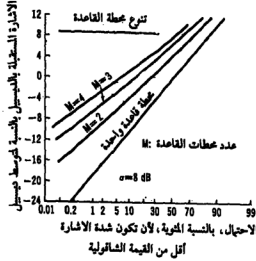
الشكل 9-3

توضيح الفائدة في تقليل الخفوت بضم إشارتين خافتتين .

1-4-3 التنوع الموسع (ينطبق على هوائيات منفصلة)

ينتج تغير المتوسطات المحلية عن تغير مناسيب التضاريس . إذا استخدم هوائي في موقع واحد يمكن أن تكون الوحدة المتنقلة غير قادرة على استقبال الإشارة في موقع جغرافي معين نتيجة لتغير التضاريس ، لذلك يجب استعمال موقعين منفصلين لهوائيين يثان أو يستقبلان إشارتين ومن ثم ضم هاتين الإشارتين لتخفيض الخفوت طويل الأجل . وكما وصف في الفصل 2 - 3 فإن الخفوت طويل الأجل يتبع توزيعاً لوغاريتمياً طبيعياً بانحراف معياري تتعلق قيمته بتغيرات تضاريس الأرض .

يري الشكل 10-3 ضم إشارتين حتى أربع إشارات خافتة خفوتاً طويل الأجل ولها نفس الانحراف المعياري 8 ديسيل . ينصح بتقنية الضم الانتقائي في أنظمة التنوع الموسع ، ويعني الضم الانتقائي إنتقاء الإشارة الأقوى دائماً من الإشارتين الخافتتين في ذلك الوقت .



الشكل 10-3

آداء الضم الانتقائي في التنوع الموسع

2-4-3 التنوع الدقيق (ينطبق على هوائيات متقاربة في نفس الموقع)

في بيئة الخفوت، يعاني المتوسط المحلي للأشارة المستقبلية عند الوحدة المتنقلة من الخفوت مع أزدیاد المسافة، ويتغير أيضاً نتيجة لمناسيب التضاريس على طول المسار الراديوي، يدعى المتوسط المحلي للأشارة بالوسطي المحلي أو إشارة الخفوت طويل الأجل الموصوفة في الفصل 2-2. إن ظاهرة تعدد المسارات تنتج خفوت رايلي الذي يبلغ تغير اتساعه الديناميكي (40) ديسيبل على طول المتوسط المحلي.

وصف سابقاً لتقليل الخفوت طويل الأجل وخفوت رايلي. وقد استخدم في الفصل 1-4-3 التنوع الموسع لتقليل الخفوت طويل الأجل وفي الفصل 2-4-3 ادخلت ستة من أنظمة التنوع الدقيق، وكلها تقلل خفوت رايلي وتتطلب هوائين أو أكثر أو ترددتين على نفس موقع الهوائي (هوائيات متقاربة على نفس الموقع). بعد إنشاء فروع التنوع هناك طرق لضمها جميعاً.

تظهر تقنيات الضم في الفصل 5-3 ونورد فيما يلي أنظمة التنوع الستة:

1 - التنوع الفراغي: يمكن لهوائين مفصولين عن بعضهما بمسافة (d) أن

يؤمنا إشارتين بارتباط ضعيف بين خفوتيهما. يتغير الفاصل d بصورة عامة مع ارتفاع الهوائي h . سيتعين الفاصل في الفصل 6 من أجل إرتفاع هوائي محطة القاعدة، وفي الفصل 7 من أجل المحطة المتحركة.

2 - التنوع الترددي: يمكن لترددين أن يفصلا عن بعضهما بنطاق B_0 بحيث ينعلم الارتباط بين الاشارتين الخافتتين المستقبليتين على هذين الترددين، يمكن أن تحدد قيمة B_0 من الفصل 1-3-3.

تبين المعادلة 1-3-3 وجوب استخدام قيمة لـ B_0 أكبر من 50 ك هـ في مناطق المدن واكبر من 300 ك هـ في مناطق الضواحي. وفي المناطق المكشوفة يجب ان تزيد قيمة B_0 عن 800 ك هـ. لا يلحظ خفوت شديد في المناطق المكشوفة ولهذا لا تتطلب تنوعاً. يؤمن الفاصل الترددي المطلوب لتقليل الخفوت في منطقة الضواحي تقليل الخفوت أيضاً في مناطق المدن. يبقى نطاق التماسك نفسه عند أي تردد حامل ما دام التردد الحامل يراوح بين 30 م هـ و 1 ج هـ.

ولهذا يبقى فاصل التردد هذا ثابتاً. يبقى الفاصل الترددي نفسه أيضاً عند تجهيز التنوع عند الوحدة المتحركة أو محطة القاعدة.

3 - التنوع الاستقطابي: ترسل مكونتان مستقطبتان E_0 و E_0' من هوائيين مستطبيين في محطة القاعدة وتستقبلان بهوائيين مستطبيين عند المحطة المتحركة أو العكس وهذا يمكن أن يؤمن إشارتين خافتتين بدون إرتباط بينهما. وقد برهن على هذا نظرياً وتجريبياً في بيئة الراديو المتنقل. إن السيتة الرئيسة في استخدام التنوع الاستقطابي هو إنخفاض القدرة بمقدار 3 ديسيبل عند الجانب المرسل نتيجة لأنقسام القدرة بين هوائيين مستطبيين استقطاباً مختلفاً.

4 - تنوع مكونات المجال: تبني فكرة استخدام مكونات المجال على النظرية الكهرومغناطيسية فحيثما ينتشر المجال الكهربائي E فإن المجال المغناطيسي H يرافقه دائماً. يحمل كلا المجالين E و H نفس معلومات الرسالة، اذا لم توجد النواثر لا يمكن التمييز بين المكونتين.

لنفترض أن هاتين المكونتين قد قفزتا إلى الخلف وإلى الأمام في بيئة متعددة المسارات عندئذٍ تختلف آليات الانعكاس لـ E و H . مثال بسيط على ذلك، هو أن نبين ان نمط الأمواج المستقرة الناتجة عن انعكاس الموجتين E و H عن ناثر يبعدان عن بعضهما بمقدار 90° في الطور. عندما تكون E عظمى تكون H صغرى. في بيئة

الراديو المتنقل يمكن أن تجمع أزواجاً كثيرة من الأمواج المستقرة في المجالين Hy ' Ex . ويمكن التنبؤ بالنتائج وهي ان جميع هذه المكونات H_y, H_x, E_z لا إرتباط بينها في بيئة الراديو المتنقل ويمكن البرهنة على ذلك أيضاً من الفصل 3-1 . لا يتطلب هذا النظام الفصل الفيزيائي بين الهوائيات. تظهر فائدة استخدام هذا النظام من التنوع في الأنظمة العاملة على الترددات (المنخفضة أقل من 100 م هـ مثلاً. عند العمل على تردد عال حوالي 1 جـ. هـ. يمكن أن يطبق التنوع الفراغي بسهولة وعندها لا تستدعي الحاجة استخدام تنوع مكونات المجال. يفضل كلا النظامين التنوع الفراغي وتنوع مكونات المجال على التنوع الاستقطابي وذلك لأن ليس فيها انخفاض في القدرة بمقدار 3 ديسيبل كالتنوع الاستقطابي.

5 - التنوع الزاوي: عندما يكون التردد العامل 10 جـ هـ أو أكثر يمكن توجيه هوائين موجّهين أو أكثر إلى إتجاهات مختلفة في موقع الاستقبال يعتبر هذا النظام أكثر فعالية عند الوحدة المتنقلة منه عند محطة القاعدة.

6 - التنوع الزمني: يعني التنوع الزمني إرسال رسائل متماثلة في نوافذ زمنية مختلفة تؤدي إلى عدم إرتباط إشارتين خافتتين في جانب الاستقبال. يعتبر التنوع الزمني نظاماً جيداً لتقليل التعديل البيئي في موقع الأقنية المتعددة ولكن في بيئة الراديو المتنقل يمكن أن تكون الوحدة المتنقلة في حالة الثبات في مكان يكون فيه الوسطي المحلي ضعيفاً أو تحت سيطرة خفوت عميق.

في كلا هاتين الحالتين لا يستطيع التنوع الزمني أن يساعد في تقليل الخفوت

3-5 تقنيات الضم.

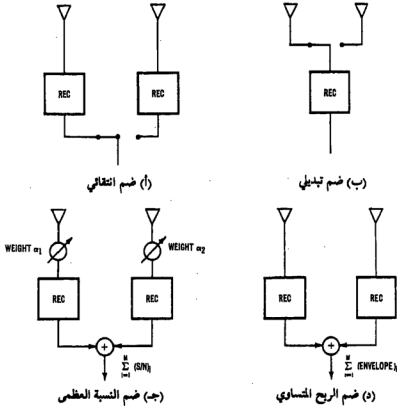
3-5-1 تقنيات الضم في أنظمة التنوع:

توجد أربع تقنيات ضم رئيسة: الانتقائي والتبديلي والنسبة العظمى والريح المتساوي. يمكن أن يطبق كل نظام تنوع على إحدى تقنيات الضم هذه وقد بينت هذه التقنيات في الشكل 3-11 مع مستقبل تنوع بفرعتين.

1 - الضم الانتقائي: ويتنقى الإشارة الأقوى من بين M فرعة تنوع. وقد بين الشكل 3-10 تقليل الخفوت طويل الأجل بالتنوع الموسع بعدد (m) هوائي منفصل الموقع وبين الشكل 3-12 تقليل خفوت رايلي بالتنوع الدقيق بعدد (m) هوائي في موقع واحد.

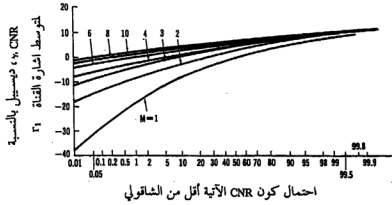
تبين الأشكال أن الحفوت يقل كلما ازدادت (m) . يحتاج مستقبل الضم الانتقائي بفرعتين إلى مقدمتي إستقبال دائماً. واحدة لاستقبال الإشارة العظمى والأخرى لغرض المراقبة.

2 - الضم التبديلي: يختلف الضم التبديلي عن الضم الانتقائي . ففي الضم التبديلي تنتقى إشارتنا التنوع بناءً على سوية العتبة المعروفة في اللاقط . إذا كانت الإشارة (A) أعلى من العتبة (L) فهي تنتقى للاستقبال . ويستمر إستقبالها حتى تقع تحت السوية (L) عندئذ ينتقل المستقبل إلى الإشارة (B) بغض النظر عما إذا كانت الإشارة (B) أعلى من (L) أو تحتها . يجب أن تكون إشارة (B) أعلى من (L) أي إذا كانت أقل فهذا يعتمد على خوارزمية المستقبل للتبديل فيما أن يرجع إلى الإشارة



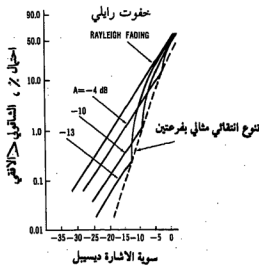
الشكل 11-3

أربع طرق ضم مختلفة للتنوع



الشكل 12-3

منحنيات أداء الضم الانتقائي في نظام التنوع الدقيق لاشارات خفوت رايلي



الشكل 13-3

أداء ضم تبديلي لفرعتي إشارة بسويات عتبة مختلفة.

(A) أو يبقى عند الإشارة (B) حتى ترتفع فوق سوية (L). لا يكون أداء الضم التبديلي (كما هو مبين في الشكل 3-13) دائماً جيداً كما هو الحال في الضم الانتقائي لأن الضم التبديلي يحتاج إلى مستقبل واحد فقط فهو أقل كلفة ويمكن إستخدامه في الوحدات المتنقلة. ومع هذا فالأداء يتأثر بشدة بسوية العتبة وضجيج التبديل. يتطلب تحسين هذا النظام إلى تغيير سوية العتبة (L) ديناميكياً في الوقت ذاته بناءً على ضجيج التبديل الناتج عن نبضات الوصل التبديلي بواسطة كتلة إفراغ وإمساك. لا تزال تقنية الضم هذه بحاجة إلى إجراء بحوث عليها لتبرير كلفة تحسينها على تقنيات الضم الأخرى.

3 - ضم النسبة العظمى: النسبة العظمى تعني النسبة العظمى للإشارة إلى الضجيج. وهذا أفضل تقنية ضم كما برهن عليها رياضياً. يتطلب كل فرع توزيعاً مناسباً كما هو مبين في الشكل 3-11 ج. تكون الإشارة بعد الضم عند النطاق الأساسي هي مجموع نسب الإشارة إلى الضجيج الأنية لكل فرع افرادي

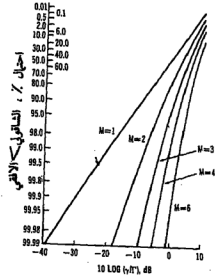
$$\gamma = \sum_{i=1}^M \gamma_i \quad 1-5-3$$

يبين الشكل 3-14 أداء ضم النسبة العظمى حيث r هي متوسط نسبة الإشارة إلى الضجيج في قناة واحدة. تتطلب تقنية الضم هذه لتنوع بفرعتين إلى مستقبلين، والدائرة معقدة جداً.

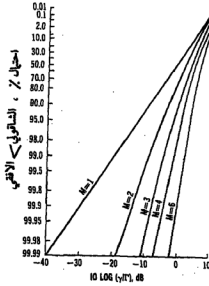
4 - ضم الريح المتساوي: وهذا هو ضم بتوحيد الطور حيث يحضر الأطوار إلى نقطة مشتركة ويضمها. ولهذا تكون الإشارة بعد الضم مجموع أغلفة الحفوت الأنية للفتوات الأفرادية:

$$r = \sum_{i=1}^M r_i \quad 2-5-3$$

يبين الشكل 3-15 أداء ضم الريح المتساوي حيث $\gamma/\gamma = \langle r^2 \rangle / \langle r_1^2 \rangle$ يتخلف ضم الريح المتساوي في النوعية بمقدار (1) ديسيبيل فقط بالمقارنة مع ضم النسبة العظمى. لهذا السبب وببساطة دارته نسبياً يستخدم ضم الريح المتساوي عادة في محطات القاعدة.



الشكل 14-3
منحنيات أداء ضم النسبة العظمى ضمن أفنية مستقلة



الشكل 15-3
التوزيع الاحتمالي التراكمي لفروع ضم الريح المتساوي .

2-5-3 تقنيات الضم لتقليل الطور العشوائي:

تستخدم تقنيات الضم التالية في كل فرع. وغرضها تقليل الطور العشوائي (الموصوف في الفصل 2-3) في كل فرع أثناء استقبال الإشارة.

1 - ضم التغذية الأمامية: يبين الشكل 16-3 أ تقنية لتقليل الطور العشوائي باستخدام مغلطين M_1 و M_2 . يحاول المخرج في (S8) تقليل مكونة الطور العشوائي. إلا أنه بسبب ضم التغذية الأمامية هذا فإن ضجيج الجبهة الأمامية للمستقبل يبقى.

2 - ضم التغذية الراجعة (جرانلاند): ضم التغذية الراجعة يشبه ضم التغذية الأمامية إلا أن له حلقة تغذية راجعة كما هو مبين في الشكل 16-3 ب. يعتبر تقليل الطور العشوائي باستخدام ضم التغذية الراجعة أكثر فعالية دائماً من استخدام ضم التغذية الأمامية. وثمن هذا النوع من الضم هو ضرورة تصميم مرشحات مناسبة. يمكن استخدام كلا نوعي الضم بالتغذية الأمامية والراجعة كضم طوري موحد لعدد (M) من الفرعات.

إن التخلص من الطور العشوائي في كل فرع وضمها مع بعضها يكفيء ضم الرشح المتساوي ولهذا فقد اقترح استخدام الجمع بين ضم التغذية لتقليل الطور العشوائي وضم الرشح المتساوي لتقليل خفوت المسارات المتعددة في مستقبلات محطة القاعدة.

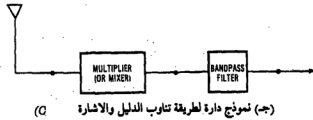
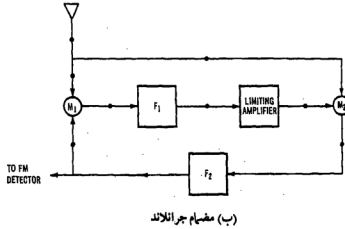
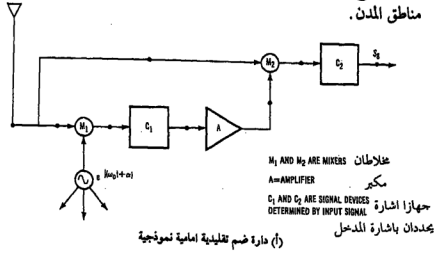
3 - الضم بنغمة دليل: ويتم ذلك بإرسال نغمة دليل قريبة جداً من حامل الإشارة المرغوبة ويمكن ترشيحها بعد الاستقبال. ترسل نغمة الدليل عادة بقدرة صغيرة. في الاستقبال تحمل الإشارة المرغوبة ونغمة الدليل أيضاً معلومات عن الطور العشوائي.

إذا كان الفاصل الترددي بين الأثنين ليس كبيراً فإنهما يحملان نفس الطور العشوائي.

بعد المرور بالمخلاط (انظر الشكل 13-3 ج) يلغى الطور العشوائي. وينفس الوقت تساعد هذه التقنية على تقليل الضجيج الأمامي. سيئة هذه التقنية هي الاستخدام الإضافي للطيف الترددي. تبني متطلبات الفاصل الترددي للحفاظ على نفس الطور العشوائي على المعادلة 2-3-3.

$$B' < B_e' = \frac{1}{4\pi\Delta} \quad 3-5-3$$

في مناطق الضواحي $\Delta = 0.5$ ميكروثانية، عندئذ $B_e' = 150$ ك هـ وفي مناطق المدن $\Delta = 3$ ميكروثانية و $B_e' = 25$ ك هـ. لأن B يجب ان تكون دوماً أقل من B_e' تدع B' تكون أقل من 25 ك هـ لكي تؤمن تقليل الطور العشوائي في مناطق المدن.



الشكل 16-3 تقنيات تقليل التعديل الترددي العشوائي

6-3 معدل خطأ البتات ومعدل خطأ الكلمات في بيئة الخفوت

1-6-3 في بيئة ضجيج غوص:

في بيئة ضجيج غوص يكون معدل خطأ البتات تابعاً لسوية الإشارة. في التعديل الرقمي يركب الشكل الثنائي للموجة على حامل ثم يستخدم عادة التعديل الطوري والتعديل الترددي. ويسبب الطبيعة ثنائية السوية لإشارة التعديل الحاملة يدعى التعديل الطوري بالابراق بزحزة الطور (PSK) ويدعى التعديل الترددي بالابراق بزحزة التردد (FSK). وتدعى إزالة التعديل المتزامنة لإشارة مبرقة مزحزة التردد بـ FSK متماسك وتدعى إزالة التعديل غير المتزامنة للابراق بزحزة التردد بـ FSK غير متماسك. الابرأق بزحزة الطور التفاضلي (DPSK) هو تطوير للابرأق بزحزة الطور لتجنب ضرورة تأمين الحامل المتزامن الذي يتطلب المستقبل لإزالة تعديل إشارة الـ PSK. مثال ذلك أن معدل خطأ البتات للأنواع الأربعة من أنظمة التعديل الرقمي / (1 و 0) يعطى كما يلي:

$$Pe = \frac{1}{2} e^{-\gamma} \quad (\text{DPSK}) \quad 1-6-3$$

الابرأق بزحزة التردد غير المتماسك

$$Pe = \frac{1}{2} e^{-\gamma/2} \quad (\text{noncoherent FSK}) \quad 2-6-3$$

الابرأق بزحزة الطور

$$Pe = \frac{1}{2} \text{erfc}(\sqrt{\gamma}) \quad (\text{PSK}) \quad 3-6-3$$

الابرأق بزحزة التردد المتماسك

$$Pe = \frac{1}{2} \text{erfc}\left(\sqrt{\frac{\gamma}{2}}\right) \quad (\text{coherent FSK}) \quad 4-6-3$$

حيث γ هي نسبة الإشارة إلى الضجيج و $\text{erfc}(\cdot)$ هو متمم تابع الخطأ*. رسمت المعادلات الأربع (1-6-3 إلى 4-6-3) في الشكل 17-3 في بيئة ضجيج غوص

* $\text{erfc}(x) = 1 - \frac{2}{\sqrt{\pi}} \int_0^x e^{-t^2} dt = \frac{2}{\sqrt{\pi}} \int_x^\infty e^{-t^2} dt$

يعتمد معدل خطأ البتات على نسبة الإشارة إلى الضجيج فقط. يمكن الحصول على معدل خطأ الكلمات P_{ew} بافتراض أن الخطأ باعتبار كل بته مستقلة هو نفس الخطأ باعتبار كل بته ضمن البتات المجاورة. إن هذا هو شرط بته مستقلة. يكون معدل خطأ الكلمات لكلمة مؤلفة من N بته بعد تصحيح ؛ بته هو:

$$P_{ew} = 1 - p(N,0) - \sum_{m=1}^N p(N,m) \quad 5-6-3$$

حيث $p(N,m)$ الاحتمال لكلمة معطاة بطول N بته فيها m بته خاطئة ويعطى بالعلاقة:

$$p(N,m) = \frac{N!}{m!(N-m)!} (1 - P_e)^{N-m} P_e^m$$

حيث P_e هو أحد معدلات خطأ البتات المبينة في المعادلات من 1-6-3 إلى 4-6-3 رسم معدل خطأ الكلمات للابراق بزحزة الطور التفاضلي في الشكل 18-3 مع تصحيح t بته. سيوصف بالتفصيل معدل خطأ الكلمات لأطوال كلمات مختلفة. ويبين وسرعات عربات مختلفة في الفصل 8-3

2-6-3 في بيئة خفوت رايلي:

في بيئة خفوت رايلي تتغير نسبة الإشارة الى الضجيج وفقاً لخفوت تعدد المسارات. ولهذا لا يمكن أن يبنى معدل خطأ البتات على سوية واحدة ثابتة من نسبة الإشارة الى الضجيج (γ). ويستخدم لذلك متوسط معدل خطأ البتات في حالة خفوت رايلي.

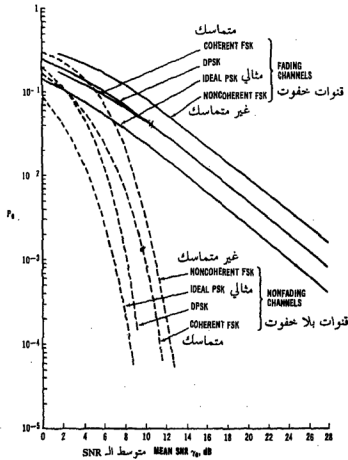
$$\langle P_e \rangle = \int_0^\infty P_e \cdot p(\gamma) d\gamma \quad 6-6-3$$

حيث $p(\gamma)$ هو تابع الكثافة الاحتمالية لخفوت رايلي ويشق من المعادلة 10-5-1 وهو:

$$p(\gamma) = \frac{1}{\bar{\gamma}} \exp\left(-\frac{\gamma}{\bar{\gamma}}\right)$$

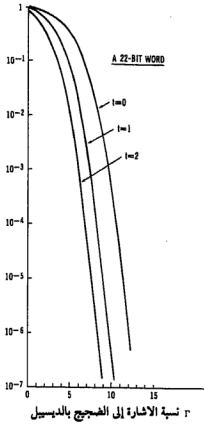
7-6-3

و $\bar{\gamma}$ هي متوسط نسبة الإشارة الى الضجيج لفرعه واحدة (قناة) من المستقبل. بتعويض المعادلات من 1-6-3 الى 4-6-3 في المعادلة 6-6-3 نحصل على:



الشكل 17-3

احتمال الخطأ لأنظمة متعددة من خفوت رايلي



الشكل 18-3
معدل خطأ الكلمات في بيئة ضجيج غوص .

للإبراق بزحزحة الطور التفاضلي

$$\langle Pe \rangle = \frac{1}{2 + 2\Gamma} \quad (\text{DPSK}) \quad 8-6-3$$

للإبراق بزحزحة التردد غير المتناسك

$$\langle Pe \rangle = \frac{1}{2 + \Gamma} \quad (\text{noncoherent FSK}) \quad 9-6-3$$

للإبراق بزحزحة الطور

$$\langle Pe \rangle = \frac{1}{2} \left[1 - \sqrt{\frac{\Gamma}{\Gamma + 1}} \right] \quad (\text{PSK}) \quad 10-6-3$$

للإبراق بزحزحة التردد المتناسك

$$\langle Pe \rangle = \frac{1}{2} \left[1 - \sqrt{\frac{\Gamma}{\Gamma + 2}} \right] \quad (\text{coherent FSK}) \quad 11-6-3$$

رسمت المعادلات الأربع السابقة في الشكل 17-3 . من أجل المقارنة مع

قيم $\langle \Gamma \rangle > 1$. تنطبق قيم $\langle Pe \rangle$ لكل من الاطراق بزحزحة الطور التفاضلي والاطراق بزحزحة التردد المتناسك وتتبع ميل $1/2\Gamma$. وبصورة عامة يكون معدل خطأ البتات في الانظمة الرقمية في بيئة خفوت رايلي كما يلي:

$$\langle Pe \rangle \propto \frac{1}{\Gamma} \quad \text{عندما تكون } \bar{r} \text{ كبيرة}$$

كما يزداد معدل خطأ البتات أيضاً بشدة نتيجة لخفوت رايلي إذا ما قورن مع بيئة غوص ولهذا يجب تقليل خفوت تعدد المسارات في الإشارة المستقبلية بالراديو المتنقل والذي ينتج عنه معدل خطأ بتات اكبر. يناقش في الفصل التالي أنظمة تقليل الخفوت.

3-6-3 تنوع الارسل لتقليل الخطأ:

تستخدم أنظمة التنوع الموصوفة في الفصل 5-3 دائماً لتقليل خفوت الإشارة ومع تقليل الخفوت يقل معدل خطأ البتات . ان متوسط معدلات خطأ البتات لأنظمة مختلفة بضم النسبة العظمى العاملة في بيئة خفوت الراديو المتنقل هو:

للأطراق بزحزحة الطور التفاضلي .

$$\langle Pe \rangle = \frac{1}{2} \left(\frac{1}{\Gamma + 1} \right)^M \quad (\text{DPSK}) \quad 12-6-3$$

للأطراق بزحزحة التردد غير المتناسك

$$\langle Pe \rangle = \frac{1}{2} \left(\frac{1}{\frac{1}{2}\Gamma + 1} \right)^M \quad (\text{noncoherent FSK}) \quad 13-6-3$$

تطبق المتوسطات التالية لمعدلات خطأ البتات على الحالات التي يتوقع بها انخفاض معدلات خطأ البتات $\langle \langle Pe \rangle \rangle < 1$

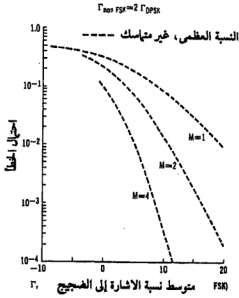
الأطراق بزحزحة الطور

$$\langle Pe \rangle = \frac{1}{2\sqrt{\pi}} \frac{1}{\Gamma^M} \frac{\left(M - \frac{1}{2}\right)!}{M!} \quad \langle \langle Pe \rangle \rangle \ll 1 \quad (\text{PSK}) \quad 14-6-3$$

الابراق بزحزة التردد المتناسك

$$\langle Pe \rangle = \frac{1}{2\sqrt{\pi} \left(\frac{1}{2}\Gamma\right)^M} \cdot \frac{\left(M - \frac{1}{2}\right)!}{M!}$$

$$\langle Pe \rangle \ll 1 \text{ (coherent FSK)} \quad 15-6-3$$

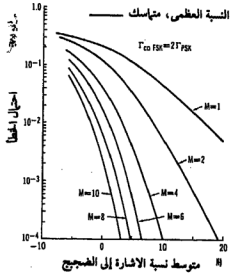


الشكل 19-3

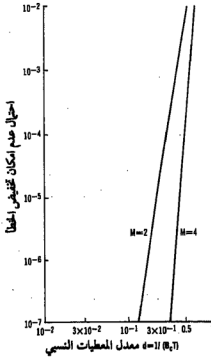
معدلات الخطأ للابراق بزحزة التردد وبضم النسبة العظمى

الشكل 20-3

معدلات الخطأ للابراق بزحزة التردد وبضم النسبة العظمى

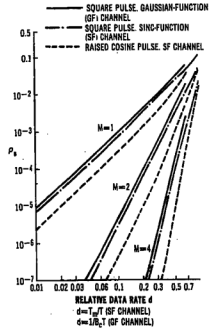


يبين الشكل 19-3 المعادلتين 12-6-3' و 13-6-3 ويبين الشكل 20-3 المعادلتين 14-6-3' و 15-6-3 . ينخفض متوسط معدل خطأ البتات عندما تزداد M وقد بين ذلك على جميع المنحنيات . للحفاظ على نفس متوسط معدل خطأ البتات يحتاج نظام زحزحة التردد بالابراق غير المتماثل الى إشارة أعلى بمقدار 3 ديسيبل من الإشارة المستقبلية بنظام زحزحة التردد بالابراق المتماثل .



الشكل 22-3

احتمال الخطأ الأصغر كتابع لمعدل المعطيات النسبي للابراق بزحزحة التردد.



الشكل 21-3

مقارنة احتمالات الخطأ الأصغر نتيجة لخفوت التردد الانتقائي بضم أفقية الإشارة الثلاث موضوع الدراسة.

4-6-3 معدل خطأ البتات الأصغر (غير القابل للتقليل)

في بيئة الراديو المتنقل يكون معدل خطأ البتات تابعاً لمتوسط سوية الإشارة ولعرض نطاق التماسك المبني على نشر التأخير. يمكن تقليل معدل خطأ البتات كلما ازداد متوسط سوية الإشارة. عندما يصل متوسط سوية الإشارة إلى نقطة معينة يبقى معدل خطأ البتات ثابتاً بينما يتابع متوسط سوية الإشارة ازدياده.

يدعى معدل خطأ البتات هذا معدل خطأ البتات الأصغر غير القابل للانقاص. ويبين الشكل 21-3 معدل خطأ البتات غير القابل للانقاص للابراق بزحزحة الطور التفاضلي DPSK ويبين الشكل 22-3 معدل خطأ البتات لنظام الابراق بزحزحة التردد. يمكن انقاص معدل خطأ البتات الأصغر بزيادة عرض نطاق التماسك أو باستخدام أنظمة التنوع. تشير أنظمة التنوع المستخدمة في الشكلين 22-3 و 21-3 إلى فوائدها بالتخفيض الإضافي لمعدل خطأ البتات الأصغر.

5-6-3 معدل خطأ البتات الأجمالي:

يمكن أن يكون معدل خطأ البتات الكلي حاصل جمع ثلاث معدلات لأخطاء البتات الافرادية المبنية على معدلي إرسال مختلفين R_{Rfm} ، R_d . معدل الأرسال R_{Rfm} هو المعدل الذي تحدث تحته أخطاء التعديل الترددي العشوائية ، R_d هو المعدل الذي يحدث فوقه التداخل بين الرموز.

$$Pe = Pe_1 + Pe_2 + Pe_3$$

حيث Pe_1 هو معدل البتات الناتج عن خفوت رايلي.

Pe_2 هو معدل البتات الناتج عن التعديل الترددي العشوائي .

Pe_3 هو معدل البتات الأصغر الناتج عن خفوت التردد الانتقائي .

يبين الشكل 23-3 منحنيات Pe_1 ، Pe_2 ، Pe_3 حيث R_t هو معدل الأرسال و FA

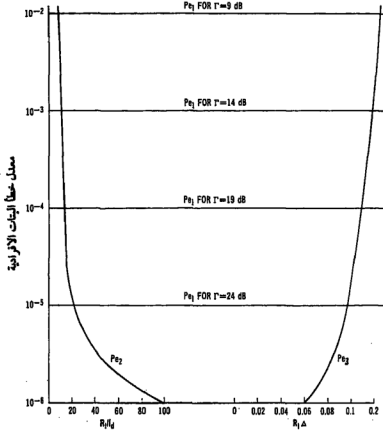
هو تردد الخفوت ، ولزمن نشر التأخير. يكون عادة .

$$Pe = Pe_1 + Pe_2 \quad (عندما يكون معدل الأرسال منخفضاً $R_t < R_{Rfm}$)$$

$$Pe = Pe_1 + Pe_3 \quad (عندما يكون معدل الأرسال عالياً $R_t > R_d$)$$

$$Pe = Pe_1 \quad (عندما يكون معدل الأرسال هو $R_{Rfm} < R_t < R_d$)$$

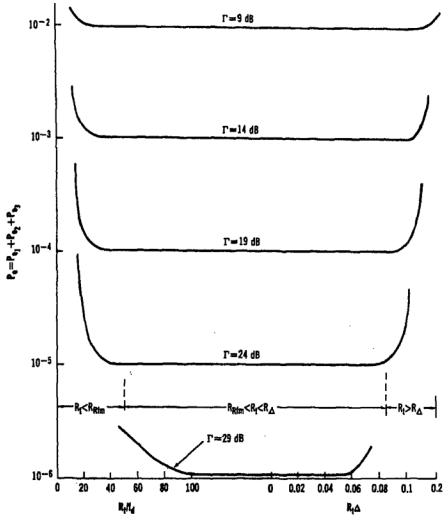
يبين الشكل 23-3 ب معدل خطأ البتات الكلي للابراق بزحزحة الطور التفاضلي لنظام تنوع بضم فوعتين .



(A) Bit-error rate in a two-branch diversity combining DPSK system subject to envelope fading, random FM, and frequency selective fading. (From Ref. 17)

الشكل 3 - 23 أ

معدل خطأ البتات الكلي لنظام تنوع بضم فرعتين من الاطراف بترددية
الطور التفاضلي ويخضع لخفض الغلاف والتعديل الترددي العشوائي وخفض التردد
الانتقائي.



(B) Total BER, $P_e = P_1 + P_2 + P_3$ in a selective Rayleigh fading environment.

معدل خطأ البتات الكلي في بيئة خفوت رايلي الانتقائي

الشكل 3 - 23 ب

7-3 حساب شدة الإشارة فوق سوية محددة في (خلية وحدة متنقلة مستقرة):

إذا كانت الوحدة المتنقلة في حالة الثبات (مستقرة) ضمن خلية، فما هي الفرصة التي تستطيع فيها أن تستقبل إشارة ما موجودة في تلك الخلية؟
 لنفترض أن نصف قطر الخلية هو 16 كم (10 ميل)، والقدرة المتوسطة المستقبلية على بعد 10 ميل هي P_0 ، ونسبة الإشارة إلى الضجيج عند البعد 10 ميل هي 18 ديسيبل. لنضع سوية عتبة تحت القدرة المتوسطة بمقدار 6 ديسيبل أي نسبة إشارة إلى ضجيج تزيد عن (12) ديسيبل تعتبر مقبولة.
 عند حد الخلية يكون الاحتمال لأن تتعدى الإشارة السوية aP_0 ، حيث $0 < a < 1$ هي القدرة المتوسطة، هو:

$$\text{Prob}_{r=10 \text{ miles}}(P > aP_0) = \int_{aP_0}^{\infty} \frac{1}{P_0} e^{-\frac{P}{P_0}} dP \quad 1-7-3$$

$$= \int_a^{\infty} e^{-x} dx = e^{-a}$$

إستناداً إلى الشكل 2-4-3، إذا كانت الوحدة المتنقلة على مسافة r_1 من موقع الأرسال المركزي و $r_1 = 16$ كم (10 ميل) فإن الفرصة لاستقبال ناجح للإشارة لا يزال يعتمد على السوية aP_0 ، ولكن القدرة المتوسطة الآن P_1 أعلى من P_0 ، ولهذا تعدل المعادلة 1-7-3 لتكون على الشكل:

$$\text{Prob}_{r=r_1}(P > aP_0) = \int_{aP_0}^{\infty} \frac{1}{P_1} e^{-\frac{P}{P_1}} dP = e^{-a(\frac{P_0}{P_1})} \quad 2-7-3$$

لنفترض أن خسارة الانتشار عند المسافة r_1 هي:

$$P_1 = kr_1^{-4} \quad 3-7-3$$

حيث K ثابت (أنظر الفصل 5-3-2). عندما تكون $r_1 = 10$ ميل فإن $P_1 = P_0$ وتصبح المعادلة 3-7-3

$$P_0 = k10^{-4} \quad 4-7-3$$

بضم المعادلتين 3-7-3، 4-7-3 وحذف العامل K نحصل على:

$$P_1 = \left(\frac{10}{r_1}\right)^4 P_0 \quad 5-7-3$$

نعرض المعادلة 5-7-3 في المعادلة 2-7-3 نحصل على :

$$\text{Prob}_r = r_1 \left(P > \alpha P_0 \right) = e^{-a \left(\frac{r_1}{10} \right)^4} \quad 6-7-3$$

إذا كانت $a = 0.25$ (سوية العتبة أقل بمقدار 6 ديسيبل من متوسط القدرة فإن المعادلة 6-7-3 يمكن أن تفسر بانها الجزء من المحيط الذي نصف قطره r_1 ونسبة الإشارة إلى الضجيج المستقبلية فيه ≤ 12 ديسيبل .
مساحة الجزء من الخلية الذي يحقق نسبة إشارة إلى ضجيج أكبر من 12 ديسيبل

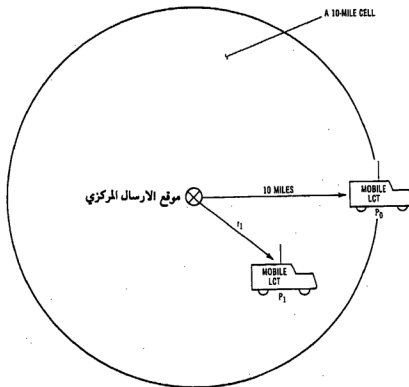
$$A_{\text{SNR} \geq 12 \text{ dB}} = \int_0^{10} e^{-0.25 \left(\frac{r_1}{10} \right)^4} 2\pi r_1 dr_1 \quad 7-7-3$$

لايجاد النسبة المثوية من الخلية التي تكون فيها نسبة الإشارة إلى الضجيج ≤ 12 ديسيبل نقسم مساحة الخلية الكاملة على المقدار $\pi(10)^2 = 100\pi$

$$\frac{A_{\text{SNR} \geq 12 \text{ dB}}}{A_{\text{Total}}} = \frac{2\pi \int_0^{10} e^{-0.25 \left(\frac{r_1}{10} \right)^4} r_1 dr_1}{100\pi} \quad 8-7-3$$

حسبت المعادلة 8-7-3 بالتكامل العددي فوجدت الجزء من مساحة الخلية الذي تكون فيه نسبة الإشارة إلى الضجيج ≤ 12 ديسيبل هو 92,25% وهذا يعني ان الوحدة المتنقلة تستطيع الاتصال بنجاح وهي في حالة الثبات في 92,25% من مساحة الخلية . وفي المساحة المتبقية من الخلية وهي 7,75% فإن أي حركة طفيفة للعبة يمكن أن تحرك هوائي راديو الخلية إلى خارج صفه العميق ليؤمن اتصالاً ناجحاً. إذا لم يكن في الوحدة المتنقلة نسق تشوير مناسب ليقاوم أو يقلل خفوت المسار المتعدد فإن الوحدة لا تستطيع التحرك أثناء النداء نتيجة للخفوت الشديد .

مثال ذلك ، على الوحدة المتنقلة التي ليس لها حماية على أداء تشويرها ضد الخفوت أن تبقى ثابتة أثناء النداء عند موقع إشارة قوية.



الشكل 24-3
احتمال العملية الناجحة في حالة الثبات

8-3 تعديل نطاق جانبي وحيد.

في هذا التعديل يمكن لأنظمة التنوع أن تساعد أيضاً في تقليل خفوت الإشارة. يعتبر تعديل النطاق الجانبي الوحيد جذاباً دائماً من وجهة نظر مردود الطيف. تستخدم القناة بعرض نطاق (5) ك ه لحمل القناة الصوتية في بيته بلا خفوت ومع هذا لا يمكن استخدام تعديل النطاق الجانبي الوحيد لوحدة في بيئة خفوت لأن الإشارة (صوتية أو معطيات) تعدل على إتساع الحامل. وكذلك إشارة الخفوت تظهر أيضاً على إتساع الحامل نتيجة لوسط الإرسال ولهذا تتضاعف الإشارة بالخفوت خاصة إذا كان الخفوت شديداً، يمكن أن لا يكون استخدام نظام التنوع بفرعتين فعالاً في هذا النوع من التعديل.

قدم لوسيفيان عام 1978 نظاماً لاستخدام الضواغط والموسعات للإتساع والتردد كليهما في تعديل النطاق الجانبي الوحيد للاستخدامات المتنقلة - ضواغط وموسعات التردد لتقليل عرض النطاق، وضواغط وموسعات الإتساع لتحسين أداء الإشارة إلى الصوت. لا يمكن لهذا النظام أن يقاوم الخفوت الحاد. يتحرض في الإشارة ضجيج اضافي هو ضجيج ضغط الإشارة. إن الحل الطبيعي لتقليل ضجيج ضغط الإشارة في تعديل النطاق الجانبي الوحيد في بيئة خفوت هو استخدام الدليل كضابط آلي للريح. ومع هذا لا نستطيع إرسال إشارة الدليل مع إشارة التعديل، بحيث يكون الفاصل الترددي بينهما ضمن معايير عرض نطاق التماسك لتقليل خفوت الإتساع بفعالية. (يبيّن في المعادلة 1-3-3).

بما أن معيار عرض نطاق التماسك (انظر المعادلة 1-3-3) قد انحرف عن التعديل الزاوي (التعديل الترددي أو التعديل الطوري) وليس تعديل الإتساع فإن عرض نطاق التماسك لا يحتاج أن يكون ضيقاً. لا يجعل غلafa خفوت الإشارة معلومات عن الإشارة (صوتية أو معطيات). وعلى العكس، في تعديل النطاق الجانبي الوحيد، يتطلب الفاصل الترددي المطلوب بين الدليل والحامل المعدل أن يكون ضيقاً جداً للوصول إلى هدف تقليل الخفوت بفعالية.

إن معامل ارتباط الغلاف المطلوب ρ_r للحصول على نسبة إشارة مخرج إلى ضجيج ضغط الإشارة بمقدار (20) ديسيبل هو 0,9998 هذا الشرط يتحدد دليل الضبط الآلي للريح عند (-30) ديسيبل بالنسبة لمتوسط القدرة. عندما يقترب معامل

الارتباط من الواحد يجب أن يكون تردد إشارة الدليل قريباً جداً من تردد الإشارة المعدلة.

نستطيع إيجاد تردد الدليل المنفصل من المعادلة 3-1-11 إذا افترضنا ان Δd تساوي الصفر وقد إستخدم هوائي واحد فقط.

$$\rho_r = \frac{1}{1 + (\Delta\omega)^2 \Delta^2} \quad 1-8-3$$

عندئذٍ

$$(\Delta\omega) = \frac{1}{\Delta} \sqrt{\frac{1 - \rho_r}{\rho_r}} \quad 2-8-3$$

أو

$$(\Delta f) = \frac{1}{2\pi\Delta} \sqrt{\frac{1 - \rho_r}{\rho_r}} \quad 3-8-3$$

حيث Δf الفاصل الترددي، Δ هو نشر التأخير

و ρ_r هو معامل ارتباط الغلاف

مثال 3-5 : احسب فاصلي التردد المطلوبين لإشارة دليل في مناطق الضواحي ومناطق المدن.

لتكن $\Delta = 0.5$ ميكروثانية كما حصل عليها في منطقة الضواحي و $\Delta = 3$ ميكروثانية في منطقة المدن. ولتكن $\rho_r = 0.9998$ كما ذكر سابقاً، عندئذٍ يمكن الحصول على الفاصل الترددي المطلوب Δf من المعادلة 3-8-3 $\Delta f = 4.5 \text{ kHz}$ لمناطق الضواحي. $\Delta f = 0.75 \text{ kHz}$ لمناطق المدن.

وهذا يعني أن Δf يجب أن تساوي 4,5 ك هـ أو اقل في مناطق الضواحي و 0,75 ك هـ في مناطق المدن.

لاحظ ماك جيهان الحقيقة المبيته في المثال 3-5 وقدم نظاماً لدليل داخل النطاق. فقد فصل النطاق الصوتي فانشأ فجوة في وسط نطاق الصوت حيث وضع فيه الدليل قبل إرسال الإشارة. وفي جانب الاستقبال يضم نطاق الصوت بعد ترشيح الدليل منه. تستخدم إشارة الدليل عندئذٍ كضابط آلي للربح لتقاوم الخفوت بفعالية. أما أداء النظام العملي فهو متروك للمستقبل.

قد يكون هذا النظام أقل فعالية في التغلب على الخفوت السريع في مناطق المدن نتيجة لتأخر الدارة في حذف الخفوت. وبما أن دليل الضبط الآلي للريح يمكن أن يتغير بفعالية في مجال ديناميكي قدره 30 ديسيبل فإنه يجب تصميم نسبة عالية من الحامل المستقبل إلى الضجيج لنقل 30 ديسيبل من أجل هذا النظام. ولهذا إذا كانت نسبة الحامل إلى الضجيج عند المستقبل أقل من 30 ديسيبل فإنه لا يمكن استعادة بعض اجزاء الصوت بسبب سوية الضجيج الصناعي الذي ادخل عند المستقبل. بصورة عامة يمكن استخدام النطاق الجانبي الوحيد للاتصالات من نقطة إلى نقطة للاستفادة من مردود الطيف.

في نظام الخلية المتنقل (الذي سيوصف في الفصل 5-5) يستخدم نظام إعادة استخدام التردد.

وبما أن بعض الترددات سوف ترسل بأن واحد في أكثر من منطقتين مختلفتين فإن التداخل بين الأقنية يصبح مشكلة رئيسة تحتاج إلى حل.

لقد أجري تحليل بمقارنة مردود الطيف بين التعديل الترددي الموجود هذه الأيام وبين النطاق الجانبي الوحيد المثالي في انظمة الخلية المتنقلة بعد افتراض ان النطاق الجانبي الوحيد يمكنه التخلص بشكل كامل من خفوت رايلي.

وكانت النتيجة أن التعديل الترددي يسمح باستخدام خلايا أكبر بينما يتطلب النطاق الجانبي الوحيد خلايا أصغر لتأمين نفس النوعية من الصوت لنفس المنطقة.

ولهذا يتطلب التعديل الترددي في بيئة راديو الخلية المتنقل خلايا أقل وأكبر وفواصل أقل بين خلايا القناة الواحدة ، ويتطلب النطاق الجانبي الوحيد خلايا أكثر وأصغر وفواصل أكبر بين خلايا القناة الواحدة

إن سوية نسبة الحامل إلى الضجيج (18 ديسيبل للتعديل الترددي) المستخدمة في التحليل هي لوضع سوية مرجعية فقط. وستبقى النتيجة نفسها، إذا كانت النسبة الحقيقية للحامل إلى الضجيج غير القيمة 18 ديسيبل.

توجد تفاصيل التحليل في المرجع 21

المراجع

REFERENCES

1. Lee, W. C. Y., "Statistical Analysis of the Level Crossings and Duration of Fades of the Signal from an Energy Density Mobile Radio Antenna," *Bell Sys. Tech. J.* 46 (Feb. 1967): 417-448.
This was the first in the literature to detail derivations of the level-crossing rates and average deviation of fades of a mobile radio signal received by a whip antenna, a loop antenna, and an energy-density antenna.
2. Ibid.
3. Lee, W. C. Y., *Mobile Communication Engineering* (McGraw Hill, 1982): 189.
4. Rice, S. O., "Distribution of the Duration of Fades in Radio Transmission," *Bell Sys. Tech. J.* 37 (May 1958): 581-635.
5. Lee, W. C. Y., *Mobile Communication Engineering*, 198.
6. Gilbert, E. N., "Energy Reception for Mobile Radio," *Bell Sys. Tech. J.* 44 (Oct. 1965): 1779-1803.
7. Gans, M. J., "A Power-Spectral Theory of Propagation in the Mobile Radio Environment," *IEEE Trans. Veh. Tech.* 21: 1 (Feb. 1972): 27-38.
8. Jakes, W. C., *Microwave Mobile Communications* (Wiley): 29.
9. Lee, W. C. Y., "Comparison of an Energy Density Antenna System with Pre-detection Combining Systems for Mobile Radio," *IEEE Trans. Commun.* 17 (April 1969): 277-284.
10. Gans, M. J., "Propagation," 27-38.
11. Lee, W. C. Y., *Mobile Communication Engineering*, 343.
12. Lee, W. C. Y., Ibid., 219.
13. Lee, W. C. Y., "Mobile Radio Signal Correlation versus Antenna Height and Spacing," *IEEE Trans. Veh. Tech.* 25: 4 (Aug. 1977): 290-292.
14. Lee, W. C. Y., and Y. S. Yeh, "Polarization Diversity System for Mobile Radio," *IEEE Trans. Commun. Com-20* (Oct. 1972): 912-923.
15. Lee, W. C. Y., "Level Crossings," 417-448.
16. Gilbert, E. N., "Energy Reception," 1779-1803.
17. Jakes, W. C., *Microwave Mobile Communications*, 530.
18. Wilmott, R. M., and B. B. Lusigman, "Spectrum Efficiency Technology for Voice Communications," *UHF Task Force Report FCC/OPP UTF 78-01 (PB 278340)* FCC (Feb. 1978).
19. Gans, M. J., and Y. S. Yeh, "Modulation, Noise and Interference," *Microwave Mobile Communications*, ed. W. C. Jakes (Wiley, 1974): 206, ch. 4.
20. McGeehan, J. P., and A. J. Bateman, "Theoretical and Experimental Investigation of Feedforward Signal Regeneration as a Means of Combating Multipath Propagation Effects in Pilot-Based SSB Mobile Radio Systems," *IEEE Trans. Veh. Tech.* 32 (Feb. 1983): 106-120.
21. Lee, W. C. Y., "Spectrum Efficiency: A Comparison between FM and SSB in Cellular Mobile Systems" (Presented at Office of Science and Technology, FCC, Aug. 2, 1985. Also in *Telephony*, Nov. 1985).

4 - تداخل الراديو المتنقل

- 1-4 بيئة محدودة الضجيج ومحدودة التداخل .
- 2-4 تداخل القناة الواحدة والقناة المجاورة .
- 3-4 التعديل البيئي .
- 4-4 نسبة إشارة الطرف القريب إلى الطرف البعيد .
- 5-4 التداخل بين الرموز .
- 6-4 تداخل البث بآن واحد .
- 7-4 أنصاف أقطار النواثر المحلية .

1-4 - بيئة محدودة الضجيج ومحدودة التداخل

1-1-4 - بيئة محدودة الضجيج

إذا وجدت وحدتا اتصال ارسال/ استقبال فقط في مجال الاتصال من نقطة إلى نقطة فإن الضجيج الصناعي سوف يغلب على الأداء. لنفترض أنه تحركت إحدى الوحدتين أو كلاهما عندئذ يؤثر خفوت تعدد المسارات على الأداء أيضاً. وقد وصف معدل خطأ البتات لأنظمة التعديل في الفصل 3-6، الأبراق بزحزحة التردد غير المتناسك، الأبراق بزحزحة التردد المتناسك، الأبراق بزحزحة الطور والأبراق بزحزحة الطور التفاضلي. يمكن تقليل متطلبات عرض النطاق لأنظمة التعديل هذه إلى قيمة منخفضة نسبياً بالاستناد إلى القدرة المرسلة أو مجال وصلة الاتصالات لأن خسارة مسار الانتشار هي ما يهنا فقط في بيئة محدودة الضجيج.

1-2-4 - بيئة محدودة التداخل:

تشكل البيئة محدود التداخل فقط عند تواجد وحدات اتصال ارسال/ استقبال كثيرة في المجال عندما يستخدم بعض المستثمرين نفس الأتية بينما يستخدم الآخرون أتية مجاورة «قريبة». لنفترض أن الحالة الموصوفة في البيئة محدودة الضجيج تنطبق على هذه البيئة مع تداخل اضافي ناتج عن اتصالات القناة الواحدة والقناة المجاورة. يعالج هذا الفصل البيئة محدودة التداخل فقط الذي كان دائماً عاملاً في تصميم النظام. أما شروط حركة الاتصالات فهي ذات اهتمام رئيسي في هذه البيئة وسوف تشرح في الفصل الثامن.

2-4 تداخل القناة الواحدة والقناة المجاورة.

1-2-4 تداخل القناة الواحدة

- إن ترتيب القناة الواحدة هو عندما تتعين قناتا اتصال أو أكثر من نفس التردد. وغرض هذا الاجراء هو زيادة استخدام الطيف. في بيئة القناة الواحدة تكون قناتا الاتصال الواحدة أو الأكثر على الهواء، وبالرغم من وجود انحراف كبير في التعديل الطوري أو التعديل الترددي «يعني تعديل نطاق عريض» فهذا لا يساعد في تقليل التداخل في بيئة الراديو المتنقل. لنفترض أن لكل هوائي مجال تغطية اشارة في خليته بنصف قطر R ، وأن المسافة بين خليتي القناة الواحدة D . عندئذ تستخدم النسبة D/R كمعامل في التعامل مع تداخل القناة الواحدة.

$$\alpha = \frac{D}{R}$$

1-2-4

تدعى القيمة α معامل تخفيض القناة الواحدة وتحدد لأي سوية مطلوبة من نسبة الإشارة إلى التداخل. لهذا فإن تشكيل مجموعة هوائي جيدة لمنطقة واسعة يجب أن تبنى على أساس معامل تخفيض القناة الواحدة. تحدد القيمة α من بيئة التداخل للقناة الواحدة حيث تكون نسبة الحامل إلى تداخل القناة الواحدة أكبر من 18 ديسيبل المكافئة للقيمة 63.1 مرة كما يلي:

$$\frac{C}{N_0 + I} = \frac{C}{N_0 + \sum_{i=1}^M I_i} = 63.1 \quad 2-2-4$$

حيث M هي عدد التداخلات. لنفترض أن M تساوي 6 وخسارة المسار هي 40 ديسيبل/العقد (أي الخسارة متناسبة مع R^{-4}) قد استخدما في بيئة الراديو المتنقل كما هو مبين في الشكل 1-4. يبين الشكل 1-4 نسبة الحامل إلى التداخل في موقع مرغوب من الخلية «محطة القاعدة». ويبين الشكل 1-4 ب هذه النسبة عند موقع الوحدة المتنقلة المرغوبة. وبذلك تكون C_b ، C_m سويتي الحاملين N_b ، N_m سويتي الضجيج، وتكون I_i ، I_i' سويتي التداخل، يرمز الحرف b لمحطة القاعدة، والحرف m للوحدة المتنقلة. يجب أن تكون سويتا الحاملين C_m ، C_b متساويتين لتحقيق مبدأ التعاكسية، يمكن أن تختلف سويتا الضجيج N_m ، N_b عن بعضهما بمقدار (1) إلى (2) ديسيبل «انظر الفصل 1-4-6».

بما أنه يوجد فرق بسيط بين الحالة (1) والحالة (2) فلا حاجة للتمييز بين هاتين الحالتين بخصوص نسبي الحامل إلى التداخل. لتبسيط الحساب نفترض أن مسبي التداخل على مسافة متساوية من الخلية المرغوبة. تكون سوية التداخل عادة أعلى بكثير من سوية الضجيج المحلي بحيث يمكن إهمال الضجيج المحلي. تصبح المعادلة 2-2-4 على الشكل التالي:

$$\frac{C}{I} = \frac{C}{\sum_{i=1}^6 I_i} = \frac{R^{-4}}{6D^{-4}} = \frac{\alpha^4}{6} \geq 63.1 \quad 3-2-4$$

ومنه $\alpha \geq 4.4$

لا يعتمد العامل α على القدرة المرسلية ما دامت هذه القدرة أعلى من قيمة صغرى. يتم تحديد القدرة المرسلية الصغرى على أساس نسبة الإشارة إلى الضجيج في بيئة محدودة الضجيج. يعتمد العامل α على عدد مسيبي التداخل. فاصل المسافة المبني على أساس $\alpha=4.4$ يعني أنه عندما يكون نصف قطر الخلية R مساوياً إلى 13 كم (8 ميل) تكون المسافة D مساوية إلى 56 كم (35 ميل) وعندما تكون R مساوية إلى 6 كم (4 ميل) تكون D مساوية إلى 28 كم (17,6 ميل). ما دامت القدرة المرسلية من موقع كل من الخلايا ذات القناة الواحدة هي نفسها، فإنه يمكن استخدام أي قيمة للقدرة المرسلية بدون تغيير نسبة الحامل إلى تداخل القناة الواحدة، وهذه نتيجة مهمة جداً.

يمكن انقاص تداخل القناة الواحدة بوسائل أخرى أيضاً مثل استخدام الهوائيات الموجهة وإمالة اشعاع الهوائيات، وتخفيض ارتفاع الهوائي وانتقاء المكان المناسب... الخ.

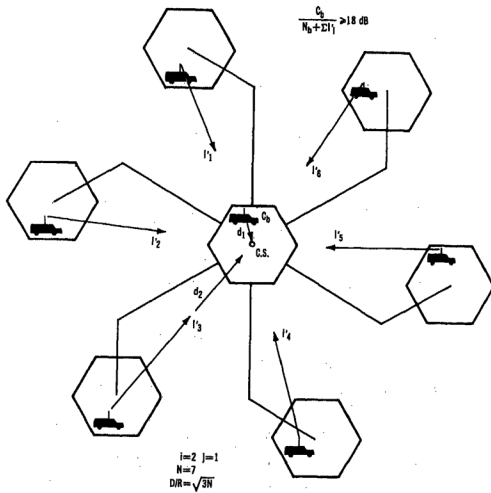
ستشرح الهوائيات الموجهة وإمالة اشعاع الهوائيات في الفصل 3-6

2-2-4 تداخل القناة المجاورة

يتم التحكم بتداخل القناة المجاورة بصورة أفضل قليلاً من تداخل القناة الواحدة. بالإضافة إلى الوسائل الأخرى المشروحة في الفصل 1-2-4 يمكن أن تساعد خواص المرشاح في انقاص التداخل. هناك تداخل القناة المجاورة داخل النطاق وخارج النطاق. يشبه النوع الأول تداخل القناة الواحدة ولا يمكن ترشيحه. تداخل خارج النطاق هو تداخل القناة المجاورة المقصود هنا. لنفترض أن ميل المرشح هو 6 ديسيبل / الضعف وعرض نطاق كل قناة هو 30 ك هـ. يكون تردد حافة القناة على بعد 15 ك هـ من التردد المركزي (التردد الحامل).

بدءاً من حافة القناة يمكن تتبع ميل الخسارة (أو العزل) 6 ديسيبل / الضعف واستمراره على طول المدى الترددي، إذا كان التردد بعيداً 240 ك هـ عن مركز القناة المرغوبة عندئذ يمكن إيجاد الخسارة (أو العزل) بوضع f_1 مساوياً إلى 15 ك هـ، f_2 مساوياً إلى 240 ك هـ و K مساوياً إلى 6 في المعادلة 4-2-4.

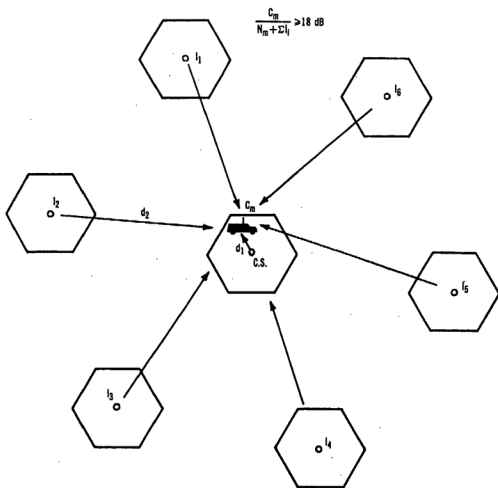
$$\text{Loss} = K \log_2 \left(\frac{f_2}{f_1} \right) = \frac{K}{0.3} \log_{10} \left(\frac{f_2}{f_1} \right) \quad (\text{dB}) \quad 4-2-4$$



١- الحالة 1 : في موقع خلية مرغوبة

الشكل 1-4

تداخل القناة الواحدة في بيئة راديو متنقل لسته من مسببي التداخل.



ب - الحالة 2 : عند الوحدة المتفلة المرغوبة

والنتيجة هي :

$$\text{Loss} = \frac{6}{0.3} \times \log_{10} \frac{240}{15} = 24 \text{ dB}$$

وهذا يعني أن هناك خسارة مقدارها 24 ديسيبل إذا استقبلت القدرة بتردد يبعد 240 ك هـ. من الطبيعي أن تضاف الخسائر الناتجة عن البعد الجغرافي وتوجيه الهوائي إلى الخسارة الناتجة عن الفصل الترددي. في الفصل 2-3-5 بينت المعادلة 2-3-20 الخسارة الإضافية للمسار. إذا كان المنبع المرغوب أبعد عن المستقبل من منبع التداخل عندئذ تكون الخسارة الإضافية للمسار α :

$$\text{Additional path loss} = 40 \log_{10} \left(\frac{d_1}{d_2} \right) \quad 5-2-4$$

حيث d_1 ، d_2 هما بعدا مستقبل محطة القاعدة عن منبعي القناة الواحدة و $d_1 > d_2$ كما هو مبين في الشكل 2-4. لتكن المعادلة 4-2-4 مساوية إلى المعادلة 5-2-4 عندئذ ينتج :

$$\left(\frac{d_1}{d_2} \right)^4 = \left(\frac{f_1}{f_2} \right)^{K/3} \quad \text{أو}$$

$$f_1 = f_2 \left(\frac{d_1}{d_2} \right)^{12/K} \quad 6-2-4$$

رسمت المعادلة 6-2-4 في الشكل 2-4 لقيم مختلفة من K . متى تم تحديد التردد f_2 يمكن إيجاد عدد فواصل القناة (n) من :

$$\text{Channel separation} = \frac{|f_2 - f_1|}{B} \quad 7-2-4$$

حيث B عرض نطاق القناة. تدل المعادلة 6-2-4 إلى إمكانية انقاص التداخل الناتج عن الوضع الجغرافي باستخدام فاصل القناة الترددي. يحتاج تعريف «القناة المجاورة» هنا إلى إيضاح. يوجد عادة تعريفان أحدهما للأقنية المتجاورة بشكل طبيعي والآخر للأقنية المتجاورة بالنظام. الأقنية المتجاورة بشكل طبيعي هي الأقنية التي تلي أحداها الأخرى في الطيف

الترددى . تؤثر الأقية المتجاورة هذه على اعتبارات تصميم النظام بصورة كبيرة جداً ونحاول أن نفصلها عما يدعى بالأقية المتجاورة بالنظام . الأقية المتجاورة بالنظام هي تلك الأقية التي تردداتها هي الأقرب إلى بعضها البعض بين مجموعة من الأقية المنفصلة .

لنفترض أنه توجد 10 أقية لكل منها عرض نطاق 30 ك هـ والفاصل بين القناتين القريبتين (القناتين المتجاورتين) هو 500 ك هـ، إذن يكون عرض نطاق القناة الكلي هو 5 م هـ . الأقية المتجاورة بالنظام هي الأقية التي تحتاج فاصلاً ترددياً لتجنب تداخل القناة المجاورة وبكلمات أخرى يمكن إنقاص تداخل القناة المجاورة بأخذ الحسارات بعين الاعتبار من الشروط التالية المبينة في المعادلة 7-24 :

$$D/R = \text{البعد الجغرافي ،} \\ \Delta f = |f_1 - f_2| \text{ الفاصل الترددي ،}$$

وهناك طرق أخرى لتقليل التداخل باستخدام هوائيات موجهة توجه حزمها الاشعاعية في اتجاهات أفقية مختلفة (الفصل 3-6) وزوايا شاقولية مختلفة ، يعتبر انقاص تداخل القناة المجاورة بنظام التعديل الانتقائي غير فعال ما لم يستخدم نظام الطيف المنشور . ستظهر إيجابيات وسلبيات استخدام الطيف المنشور في الفقرة 4-5 والفصل التاسع .

3-4 التعديل البيني

يحدث التعديل البيني بسبب عملية غير خطية حيث أن إشارة المدخل هي مجموع عدد N من الترددات . بأمراها خلال مضخم قدره أو محدد صلب تنتج مكونات تعديل بيئي .

1-3-4 من خلال مضخم قدرة :

هناك حالتان للدراسة

الحالة (1) ، التأثير على إشارة تعديل زاوي :

لنفترض أن إشارة معدلة زاوياً هي :

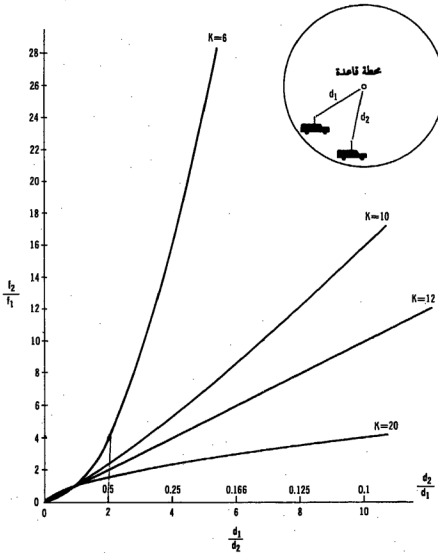
$$e_i = A_e \cos[2\pi f_e t + \phi_e(t)] \quad 1-3-4$$

حيث A_e ، f_e هما الاتساع والتردد على التوالي $\phi_e(t)$ هي الإشارة المرسله . ولنفترض أيضاً أن لمضخم القدرة عملية غير خطية على الشكل :

$$e_0 = \alpha_1 e_i + \alpha_2 e_i^2 + \alpha_3 e_i^3$$

2-3-4

حيث a_1, a_2, a_3 ، ثوابت. بتعويض المعادلة 1-3-4 في المعادلة 2-3-4 نحصل على:



الشكل 2-4 العلاقة بين نسب الترددات والمسافات.

$$e_0 = \frac{1}{2} a_2 A_0^2 + \left(a_1 A_0 + \frac{3}{4} a_3 A_0^3 \right) \cos (2\pi f_c t + \phi_0(t)) \quad 3-3-4$$

+ حدود بمدرجات أعلى .

يمكن استخدام مرشاح لاستخراج الإشارة المعدلة زاوياً المتمركزة عند f_c ، ويكون اتساع مخرج المرشاح e_0 هو:

$$|e_0| = a_1 A_0 + \frac{3}{4} a_3 A_0^3 \quad 4-3-4$$

لم تفعل الخاصية غير الخطية أي شيء أكثر من تعديل الرينج $a_1 A_0$ بالحد الاضافي الموجود في المعادلة 4-3-4 تبقى معلومات الاشارة المستبقة في طور التعديل الزاوي بدون تغيير.

وهذا فارق هام بين استخدام تعديل الاتساع والتعديل الزاوي وسبب رئيسي لاستخدام التعديل الزاوي في أنظمة الراديو المتنقل حيث لا يمكن تجنب استخدام مضخمات القدرة غير الخطية .

الحالة (2) : التأثير على عدد N من اشارات المدخل .

لنفترض أن إشارة المدخل هي مجموع ثلاث اشارات جيبية افردية ($N=3$) من الشكل :

$$e_i = A \cos \alpha t + \beta \cos \beta t + C \cos \gamma t \quad 5-3-4$$

حيث α, β, γ هي الترددات الزاوية .

بتعويض المعادلة 5-3-4 في المعادلة 2-3-4 نحصل على :

$$e_0 = \text{يساوي تيار مستمر (3 حدود) + مدرج أول (3 حدود) مرغوبة بالاضافة إلى 9 حدود غير مرغوبة) + مدرج ثاني (9 حدود تعديل بيئي) + مدرج ثالث (19 حد تعديل بيئي)} \quad 6-3-4$$

وقد أدرج كل مدرج في الجدول 1-4

$$e_0 = a_1 e_1^1 + a_2 e_1^2 + a_3 e_1^3 \text{ المخرج } e_1^3 \text{ النسبية الموجودة في المخرج } e_1^3$$

$$e_1 = A \cos \alpha t + B \cos \beta t + C \cos \gamma t$$

من الاشارة المطبقة

	Term 1	Term 2	Term 3
أول مصد		$1/2 a_2 (A^2 + B^2 + C^2)$	
First order مرتبة اول	$a_1 A \cos \alpha t + a_1 B \cos \beta t + a_1 C \cos \gamma t$		$3/4 a_3 A(A^2 + 2B^2 + 2C^2) \cos \alpha t + 3/4 a_3 B(B^2 + 2C^2 + 2A^2) \cos \beta t + 3/4 a_3 C(C^2 + 2A^2 + 2B^2) \cos \gamma t$
Second order مرتبة ثانية		$1/2 a_2 (A^2 \cos 2\alpha t + B^2 \cos 2\beta t + C^2 \cos 2\gamma t) + a_2 AB [\cos(\alpha + \beta)t + \cos(\alpha - \beta)t] + a_2 BC [\cos(\beta + \gamma)t + \cos(\beta - \gamma)t] + a_2 AC [\cos(\alpha + \gamma)t + \cos(\alpha - \gamma)t]$	
Third order مرتبة ثالثة			$1/4 a_3 (A^3 \cos 3\alpha t + B^3 \cos 3\beta t + C^3 \cos 3\gamma t) + \left\{ \begin{array}{l} A^2 B [\cos(2\alpha + \beta)t + \cos(2\alpha - \beta)t] \\ A^2 C [\cos(2\alpha + \gamma)t + \cos(2\alpha - \gamma)t] \\ B^2 A [\cos(2\beta + \alpha)t + \cos(2\beta - \alpha)t] \\ B^2 C [\cos(2\beta + \gamma)t + \cos(2\beta - \gamma)t] \\ C^2 A [\cos(2\gamma + \alpha)t + \cos(2\gamma - \alpha)t] \\ C^2 B [\cos(2\gamma + \beta)t + \cos(2\gamma - \beta)t] \end{array} \right\} + 3/2 a_3 ABC [\cos(\alpha + \beta + \gamma)t + \cos(\alpha + \beta - \gamma)t + \cos(\alpha - \beta + \gamma)t + \cos(\alpha - \beta - \gamma)t]$

الجدول 1-4

إذا كانت جميع الاتساعات A, B, C متساوية فإن القدرة الموجودة في نواتج $\alpha \pm \beta$ أعلى بمقدار 6 ديسيبل من نواتج 2γ ، أو 2α ، 2β كما هو مبين في الجدول 1-4

$$P_{\alpha \pm \beta} = P_{2\alpha} + 6 \text{ (dBm)} \quad 7-3-4$$

وينفس المنوال :

$$P_{2\alpha \pm \beta} = P_{3\alpha} + 9.6 \text{ (dBm)} \quad 8-3-4$$

$$P_{\alpha \pm \beta \pm \gamma} = P_{3\alpha} + 15.6 \text{ (dBm)} \quad 9-3-4$$

جميع حدود التعديل البيئي الثمانية والعشرين سوف تلوث الوسط عندما ترسل من مضخم القدرة. إذا لم يكن ضغط هذا التلوث بالشكل المناسب فإن سوية الضجيج الصناعي في الوسط سوف يزداد.

بالإضافة إلى اعتبارات تقليل التعديل البيئي فإن الترددات الثلاثة (γ, B, α) يجب أن تتعين بحيث تتحقق العلاقات الثلاثة التالية ويتم تجنب الضجيج الهامشي:

$$\left. \begin{array}{l} \gamma \neq \alpha \pm \beta \\ \gamma \neq 2\alpha \pm \beta \\ 2\gamma \neq \alpha \pm \beta \end{array} \right\} \quad 10-3-4$$

ينشأ الضجيج الهامشي من نواتج التعديل البيئي التي تقع ضمن الترددات

المرغوبة.

2-3-4 من خلال محدد صلب (صارم)

نفترض أن إشارة مدخل e_1 مؤلفة من خمس اشارات معدلة زوايا

$$e_1 = A \cos(\alpha t) + B \cos(\beta t) + C \cos(\sigma t) + D \cos(\sigma t) + E \cos(\eta t) \quad 11-3-4$$

ولندع e_1 تمر خلال محدد صلب (صارم)

$$e_0 = \text{sgn } e_1 = \begin{cases} +1 & e_1 > 0 \\ -1 & e_1 < 0 \end{cases} \quad 12-3-4$$

أُستُخدم الرمز (Sgn) لتمثيل المعادلة 12-3-4 في حالة شرط التحديد وقد أدرج عدد نواتج التعديل البيئي من المدرجات المختلفة في الجدول 2-4

يمكن الحصول على القدرة التقريبية P_m للتعديل البيئي للمدرجات $m \geq 3$ كما أدرجت في الجدول 2-4 بالشكل .

$$P_m \approx \frac{P}{m^2}$$

13-3-4

حيث P قدرة الإشارة المرغوبة .

الجدول 2-4

جدول 2 - 4

عدد نواتج التعديل البيئي IM من مراتب مختلفة لعدد N إشارة دخل جيبيه
(من المرجع رقم 3)

IM Form	Order m	Number of Frequencies L in this IM	Total Number of IM Products of This Form
$2\alpha - \beta$	3	2	$N(N-1)$
* $\alpha + \beta - \gamma$	3	3	$T_3 \triangleq N(N-1)(N-2)/2$
$3\alpha - \beta - \gamma$	5	3	$N(N-1)(N-2)/2$
$\alpha + 2\beta - 2\gamma$	5	3	$N(N-1)(N-2)$
* $\alpha + \beta + \gamma - \sigma - \eta$	5	5	$T_5 \triangleq N(N-1)(N-2)(N-3)(N-4)/12$

† The notation $\alpha, \beta, \gamma, \sigma, \eta$ represents any of the input frequencies but

$\alpha \neq \beta \neq \gamma \neq \sigma \neq \eta$

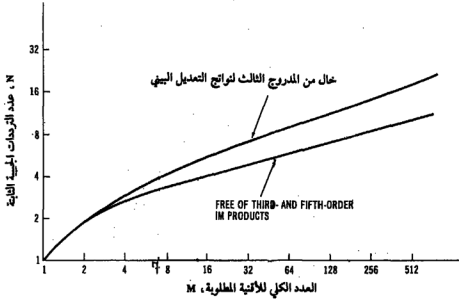
* Indicates the dominant form of the third- and fifth-order cross products.

خال من نواتج التعديل البيئي .

لنفترض أن عدد N من ترددات الألفية الفرعية الجيبية يجب أن تحزم في قناة مجمعة بعرض نطاق MB ، حيث B عرض نطاق القناة الفرعية . M العدد الكلي من الألفية المطلوبة لتفادي التعديل البيئي بين عدد N من الألفية الفرعية .
يمكننا حساب عرض النطاق الأصغري MB المطلوب لتفادي نواتج التعديل

البيني من المدرج الثالث أو المدرجين الثالث والخامس للعدد المعطي N كما هو مبين في الشكل 3-4.

إذا كانت $N=8$ عندئذ $M=48$ أو نحتاج إلى قناة كاملة بعرض نطاق B 48 لتكون خالية من التعديل البيني بالمدرج الثالث فقط بين 8 أفنية ثانوية. إذا كانت $N=8$ فإن $M=150$ أي نحتاج إلى قناة بعرض B 150 لتكون خالية من نواتج التعديل البيني بكلا المدرجين الثالث والخامس بين تلك الأفنية الفرعية الثانية. لكي تكون الأفنية خالية من نواتج التعديل البيني يجب استخدام نطاق واسع من الترددات الراديوية لبضع أفنية فقط.



الشكل 3-4

العدد المطلوب من أفنية الترددات مقابل عدد الترددات المرسل مستجيب غير خطي

خصائص تعيين التردد.

في الجدول 3-4 تم تعيين عدة ترددات أقنية خاصة تحقق مجموعتين من المتطلبات. إما لا توجد نواتج منتشرة من التعديل البيني أو حددت النواتج المنتشرة للتعديل البيني إلى B3.

مثال ذلك محتاج الترددات الحاملة الأربعة المختلفة المستخدمة في حالة نواتج منتشرة من التعديل البيني إلى عرض نطاق B7. واستخدمت نفس الترددات الحاملة الأربعة في حالة عدم وجود نواتج منتشرة من التعديل البيني فاحتاجت إلى عرض نطاق كلي مقداره B15.

ولهذا يجب الموازنة: بين انتشار نواتج التعديل البيني أو أن يضحى بطيف ترددي واسع.

الجدول 3-4

خطط ترددات لتفادي المدرجة الثالثة للتعديل البيني

Signal Channels	N	Total Channels M	Frequencies F_i
IM product spreading	3	4	1, 2, 4
	4	7	1, 2, 5, 7
	5	12	1, 2, 5, 10, 12
	6	18	1, 2, 5, 11, 13, 18
	7	26	1, 2, 5, 11, 19, 24, 26
	8	35	1, 2, 5, 10, 16, 23, 33, 35
	9	46	1, 2, 5, 14, 25, 31, 39, 41, 46
	10	62	1, 2, 8, 12, 27, 46, 48, 57, 60, 62
No IM product spreading	3	7	1, 3, 7
	4	15	1, 3, 7, 15

4-4 نسبة إشارة الطرف القريب إلى الطرف البعيد.

يساعد فاصل البعد الجغرافي دائماً في تقليل تداخل الإشارة ومع هذا لا توجد أية حالة حيث تأذى اتصال الراديو المتنقل بفاصل البعد الجغرافي.

لنفترض أن كل وحدة متنقلة تتحرك ضمن تغطية محطة القاعدة. تكون بعض

الوحدات المتنقلة دائماً أقرب إلى محطة القاعدة من الأخرى. لتصور أن وحدتين متنقلتين ترسلان معاً بأن واحد اشارات إلى محطة القاعدة. تكون الإشارة المستقبلية من الوحدة المتنقلة الأقرب إلى محطة القاعدة أقوى من الإشارة المستقبلية من الوحدة المتنقلة الأبعد. الإشارة المستقبلية الأقوى سوف تحجب الإشارة الأضعف. تعتمد درجة الحجب على فرق المسافتين إلى محطة القاعدة يدعى فرق القدرة الناتج عن خسارة المسارين بين مكان الاستقبال وكل من المرسلين بنسبة تداخل الطرف القريب إلى الطرف البعيد

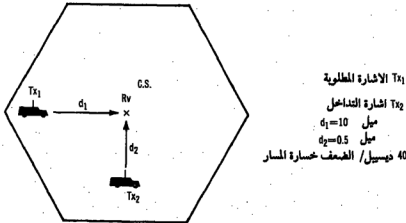
خسارة المسار للمسافة d_2 (طرف قريب)

1-4-4 نسبة إشارة الطرف القريب إلى الطرف البعيد =

خسارة المسار للمسافة d_1 (طرف بعيد)

رسمت جميع التوضيحات في الشكل 4.4. لتكن قدرة الإرسال في كلا الوحدتين المتنقلتين واحدة. ولتكن Tx_1 الإشارة المرغوبة على بعد $d_1 = 16$ كم (10 ميل) من محطة القاعدة ولتكن Tx_2 إشارة التداخل على بعد $d_2 = 0.8$ كم (0.5 ميل) باستخدام قاعدة خسارة المسار بمقدار 40 ديسيبل / العقد، تكون عندئذ نسبة قدرة الطرف القريب إلى الطرف البعيد هي:

$$\begin{aligned} \text{Near-end-to-far-end ratio} &= 40 \log_{10} \frac{d_2}{d_1} \\ &= 40 \log_{20} = 52 \text{ dB} \end{aligned} \quad 2-4-4$$



الشكل 4.4 توضيح حالة نسبة إشارة الطرف القريب إلى الطرف البعيد

تبين المعادلة 2-4-4 أن الإشارة المستقبلية في محطة القاعدة من الوحدة المتنقلة البعيدة أضعف بمقدار 52 ديسيبل من إشارة الوحدة المتنقلة القريبة .
لكي نقل هذه النسبة من تداخل الطرف القريب إلى الطرف البعيد للوحدة المتنقلة T_{α} يجب إرسال ترددين مختلفين بينهما فاصل كاف يعتمد على خصائص شكل استجابة المرشاح .

إذا كانت خاصية المرشاح المستخدم هي 12 ديسيبل / الضعف عندئذ يمكن إيجاد الفاصل الترددي بين الاشارتين للوصول إلى عزل معين بقلب المعادلة 4-2-4 على الشكل :

$$\frac{f_2}{f_1} = 10^n \quad 3-4-4$$

حيث :

$$\eta = \frac{\text{Loss} \times 0.3}{K} \quad 4-4-4$$

شرحت جميع العمليات في المعادلة 4-2-4. يمكن إيجاد الفاصل الترددي على أساس قيمة عزل مقدارها 52 ديسيبل بتطبيق المعادلة 3-4-4. لنفترض أن الخسارة تعادل 52 ديسيبل والعامل K يساوي 12 عندئذ :

$$\frac{f_2}{f_1} = 10^{1.3} = 20 \quad \text{و} \quad \eta = \frac{52 \times 0.3}{12} = 1.3 \quad 5-4-4$$

إذا كان عرض نطاق الإشارة المرغوبة هو 30 ك هـ تكون $f_1 = 15$ ك هـ و $f_2 = 300$ ك هـ. تدل النسبة $f_2/f_1 = 20$ أيضاً أنه يجب تأمين فاصل بمقدار 20 قناة بغض النظر عن عرض النطاق لكل قناة .

يمكن أن توجد نسبة إشارة الطرف القريب إلى الطرف البعيد في نظامين :
من الوحدة المتنقلة إلى القاعدة ومن وحدة متنقلة إلى وحدة متنقلة . تستخدم الأولى دائماً محطة القاعدة كمرسل للاتصال مع وحدة متنقلة أخرى أو مع هوائف سلكية «شرحت هذه الطريقة في الأجزاء الأولى من هذا الفصل» . لا تتضمن الثانية أية محطة قاعدة .

يستخدم هذا النظام عادة من قبل العسكريين . تعد متطلبات الفاصل الترددي لانقاص نسبة إشارة الطرف القريب إلى الطرف البعيد هي نفسها .

5-4 التداخل بين الرموز.

ينتج التداخل بين الرموز عن انتشار التأخير الكبير نسبياً في وسط متعدد المسارات أو عن معدل إرسال بتات عالي نسبياً. لنفترض أن (1) بته في الثانية تتطلب (1) هرتز في نظام ابراق ثنائي بزحزحة الطور، عندئذ يمكن تحديد معدل إرسال البتات R_t من:

$$R_t < \frac{1}{\Delta} \quad 1-5-4$$

من الفصل 6-5-1 إذا كان نشر التأخير Δ في مناطق المدن 3 ميكروثانية فإن R_t

$$R_t < \frac{1}{3 \times 10^{-6}} = 3.33 \times 10^5 \text{ bps}$$

في مناطق المدن لا يمكن أن تتعدى:

يمكن أن تتطلب معايير عرض نطاق التماسك المبين في المعادلة 1-3-3 معلمات أشد. إذا قرئت بتتان متجاورتان في شقي زمن ضمن فاصل زمني قدره $2\pi\Delta$ وكانتا متداخلتين مبدئياً مع بعضهما، وإذا قرئت بتتان في شقي زمن يفصلهما أكثر من $2\pi\Delta$ ولم تكونا متداخلتين مع البتات المجاورة فإن معدل إرسال البتات في وسط خفوت رايلي هو:

$$R_t < \frac{1}{2\pi\Delta} \quad 2-5-4$$

بنيت المعادلة 1-3-3 على أساس معامل ارتباط بين البتات المتتالية ضمن 0,5 كمييار لعرض نطاق التماسك.

يعتمد معدل الإرسال R_t في المعادلة 2-5-4 أيضاً على معيار معدل الإرسال R_f في مناطق المدن وهو:

$$R_t < \frac{1}{2\pi \times 3 \times 10^{-6}} = 5.3 \times 10^4 \text{ bps} \quad 3-5-4$$

يمكن أيضاً تحديد الحد الاعلى لمعدل الإرسال في مناطق المدن بدقة أكبر بوضع معدل خطأ البتات المعين والذي يتأثر بنشر التأخير كما شرح في الفصل 6-3 والشكل 21-3. عندما يحدد معدل خطأ البتات الأصغر بالقيمة 10^{-4} فإن قيمة d تقرأ من المنحني ويكون:

$$d = \frac{R_t}{B_c} = 0.06$$

لنفترض أن منطقة المدن هي المدروسة، عندئذ:

$$R_t = 0.06 B_c = \frac{0.06}{2\pi\Delta} = 3183 \text{ hps}$$

يمكن زيادة قيمة R_t هذه بإضافة التنوع كما هو مبين في الشكل 21-3 والشكل

22-3 بالاختصار تتحدد R_t بالحد الأعلى بنشر التأخير في الوسط وبالحد الأدنى بالتعديل الترددي العشوائي. عندما تتعدى R_t الحد الأعلى يحدث التداخل بين الرموز.

6-4 تداخل البث بأن واحد.

يدعى إرسال المعلومات السمعية على مرسلين أو أكثر يعملان على نفس التردد الراديوي بالبث بأن واحد.

يبين الشكل 5-4 حالتين. في الحالة الأولى مرسلان يحملان نفس الإشارة إلى الوحدة المتنقلة وفي الحالة الثانية ثلاثة مرسلات تحمل نفس الإشارة. إن ميزة استخدام البث بأن واحد في منطقة واسعة التغطية هي تبسيط توزيع الاتصالات أو تبسيط اتصالات المنطقة الواسعة والوحدة المتنقلة إلى الوحدة المتنقلة. يمكن للبث بأن واحد أن يحسن في بعض الأحيان تغطية نظام الراديو المتنقل.

يعد البث بأن واحد منشأ، عن قصد، لمسارات متعددة في الوسط. على المستقبل أن يكشف مجموع الاشارتين المرسلتين من المرسلين على الشكل:

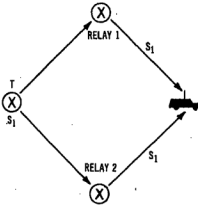
$$s_r = A \sin(\omega_a t + \phi_a) + B \sin(\omega_b t + \phi_b) \quad 1-6-4$$

حيث A ، B هما اتساعا التردد الراديوي، ω_a ، ω_b ترددا الحاملين، ϕ_a ، ϕ_b هما التعديل الزاوي (تعديل ترددي أو تعديل طوري) ويمكن نشر ϕ_a ، ϕ_b على الشكل:

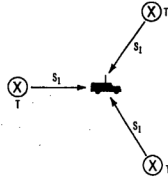
$$\phi_a = \phi_{ma} \sin(\omega_{ma} t + \theta_a) + \phi_{ca} \quad 2-6-4$$

$$\phi_b = \phi_{mb} \sin(\omega_{mb} t + \theta_b) + \phi_{cb} \quad 3-6-4$$

حيث ϕ_{mb} ، ϕ_{ma} هما قمتا الزحزحة ، ω_{mb} ، ω_{ma} ترددات التعديل السمعيان ، θ_b ، θ_a هما تأخيرا الطور السعمي ، ϕ_{ob} ، ϕ_{oa} تأخيرا طور التردد الحامل الراديوي من المرسل A والمرسل B على التوالي. في الحالة المثالية يجب أن تكون المعادلتان 2-6-4 ، 3-6-4 متماثلتين وذلك لكي يحذف تداخل البث بأن واحد شريطة أن تكون $\omega_b = \omega_a$



أ - الحالة 1 : مرحلان يحملان الإشارة نفسها



ب - الحالة 2 : ثلاثة مرسلات تحمل نفس الإشارة

الشكل 5-4 بيئة البث بأن واحد

في بيئة الراديو المتنقل الحقيقية يمكن أن تحدث الحالات التالية :

1- $\omega_b \neq \omega_a$ تسبب هذه الحالة خفقا تدردياً مع مدرجاته نتيجة لكشف التعديل الترددي في المستقبل .

2- $\omega_{mb} \neq \omega_{ma}$: يمكن أن تسبب أسلاك التوصيل السعمية إلى كل مرسل انحرافاً في التردد . وينتج عن ذلك تشويه سعمي .

3- $\phi_{ob} \neq \phi_{oa}$: يسبب فرق الطور هذا بين ترددي الحاملين حدوث أمواج راديوية مستقرة . وبذلك تتغير سوية إتساع التردد الراديوي . تحدث هذه الحالة دائماً في بيئة الراديو المتنقل .

4- $\theta_0 \neq \theta_0$: ينتج عن فرق الطور بين اشارتي التعديل السعيتين مدرجات وخسارة في الإشارة المكشوفة.

5- $\phi_{ma} \neq \phi_{mb}$: ينتج عن اختلاف الاتساع بين اشارتي التعديل السعيتين نفس أنواع الاضطراب الذي يسببه فرق الطور السعيمي.

يعتبر البث بأن واحد تحدياً من الناحية التقنية. والمتطلبات الرئيسية له هي التزامن الجيد والتقليل الكبير في فروق الطور والسوية السعيمي بين المرسلات. في نظام الراديو الهاتفي المتنقل لا ترسل الرسائل الصوتية ورسائل المعطيات على نفس التردد ولكنها تعين لمرسلات مختلفة. ولهذا لا يوجد تداخل البث بأن واحد. ومع هذا يمكن أن يحدث تداخل البث بأن واحد في نظام الاستدعاء عند استخدام معيد واحد أو أكثر في ذلك النظام.

7-4 أنصاف أقطار النواثر المحلية.

تكون هيئة التضاريس عادة هي العنصر الغالب في خسارة مسار الانتشار في تلك المنطقة وتسبب النواثر المحلية المحيطة بالوحدة المتنقلة خفوتاً قصيراً الأجل. الخفوت القصير الأجل هو أحد أنواع التداخل. تسمى النواثر المحلية بهذا الاسم إذا تحقق مطلبان:

(1) حجم النواثر أكبر من طول الموجة العاملة. (2) ارتفاعات النواثر أعلى من ارتفاع هوائي الوحدة المتنقلة.

من الطبيعي أن تكون المنازل والبنايات المحيطة بالوحدة المتنقلة محققة للمطلبين وهي نواثر محلية.

يطرح هنا هذا السؤال. ما هو كبر (اتساع) المنطقة التي تقع فيها النواثر المحلية المحيطة بالوحدة المتنقلة؟

لا يمكن في الحقيقة قياس نصف قطر مجموعة من النواثر المحلية الفعالة. ولكن يمكننا الحصول عليه بصورة غير مباشرة بمقارنة المعطيات المقاسة مع نموذج نظري وصف في المراجع 8

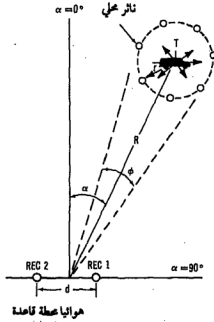
أولاً - بني الاشتقاق النظري على أساس النموذج المبين في الشكل 6-4.

ولنفترض أنه لا يوجد مسار مباشر بين المرسل المتنقل ومستقبل محطة القاعدة. ولكن المسافة بين محطة القاعدة والوحدة المتنقلة R ونصف قطر النواثر المحيطة بالمرسل المتنقل r .

يحدد نصف قطر النواثر r جميع النواثر الفعالة ضمن نصف القطر r . سوف لا

تعتبر الأشياء خارج نصف القطر r كنواثر لأن لقدرتها التناثرية أثر مهم على الإشارة المستقبلية في محطة القاعدة.

يمكن التعبير عن القطاع الزاوي ϕ لوصول الإشارة على الشكل : $\phi = \frac{2r}{R}$

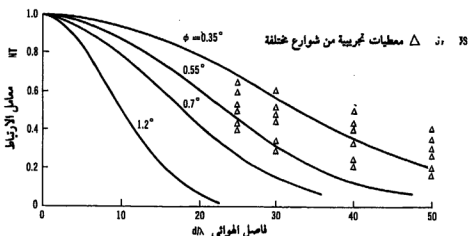


الشكل 6-4 نموذج لتحديد نصف قطر النواثر المحلية

يبين الشكل 7-4 معاملات الارتباط النظرية بين اشارتين استقبلتا بهوائي محطة قاعدة بقيم مختلفة من القطاع الزاوي ϕ وقد رسمت بالنسبة للمفاصل d بين هوائي محطة القاعدة وذلك في حالة α تساوي للصفر.

كما رسمت أيضاً بيانات الارتباط التجريبية التي أخذت على بعد 5 كم (3 ميل) من محطة القاعدة في منطقة ضواحي على الشكل 7-4. وقد تطابقت البيانات التجريبية والمنحنى النظري بمقاربة جيدة عند قطاع زاوي قدره $(0,4^\circ)$ عندئذ يمكن تقدير نصف قطر النواثر المحلية بالتقريب على الشكل :

$$r = \frac{R\phi}{2} = \frac{(3 \text{ miles}) \left(\frac{0.4^\circ}{57.3^\circ} \right)}{2} \doteq 55 \text{ ft} \quad (\text{في منطقة ضواحي})$$



الشكل 7-4 الارتباط المتبادل لغلافي إشارة من هوائي محطة قاعدة:
الترابطان النظري والتجريبي مقابل فاصل الهوائي لحالة انتشار واسع

يمكن تحويل هذا إلى أطوال موجات λ (855 م) عند 850 م هـ. بها أن البيانات التجريبية قد أخذت في منطقة ضواحي حيث المنازل والأبنية والمنشآت الصناعية الأخرى كانت ضمن المسافة 16,5 م (55 قدماً) من المرسل المتنقل فإن نصف قطر النواثر 55 قدماً يدل على أن الأشياء الطبيعية الأقرب إلى المرسل المتنقل هي الفعالة. ويدل أيضاً على أن الانعكاسات الثانوية الناتجة عن المنازل والأبنية الأكثر بعداً من 55 قدماً لا تتداخل مع الإشارة المستقبلية عند محطة القاعدة. وبالرغم من أن نصف قطر النواثر يعتمد بشكل رئيسي على البيئة الصناعية إلا أنه يتأثر أيضاً بطول الموجة. عندما يكون التردد العامل أقل تكون خسارة الانتشار أقل. يجب أن يكون نصف قطر النواثر أكبر قليلاً. ولهذا فإن نصف قطر النواثر في بيئة الراديو المتنقل حوالي 15-30 م (50-100 قدم) لترددات حوالي 850 م هـ.

بما أن فاصل الهوائي d عند محطة القاعدة يقاس بأطوال الموجات لذلك تحول r من طولها الطبيعي إلى أطوال موجات .

$$r = 50\lambda \text{ to } 100\lambda \quad \text{منطقة الضواحي:}$$

لجميع الترددات من 30 م هـ إلى 10 ج هـ.

يختلف نصف قطر النواثر r في طوله الحقيقي مع اختلاف أطوال الموجات .

وهذا هو سبب اعتماد فاصل الهوائي المطلوب على طول الموجة لتأمين معامل ارتباط محدد بين اشارتي محطة قاعدة وليس على البعد الحقيقي .

المراجع

REFERENCES

1. Lee, W. C. Y., *Mobile Communication Engineering* (McGraw-Hill, 1982): 369.
2. Prabhu, V. K., and H. E. Rowe, "Spectral Density Bounds of a PM Wave," *Bell Sys. Tech. J.* 48 (March 1969): 789-811.
3. Spilker, J. J., Jr., *Digital Communicating by Satellite* (Prentice Hall, 1977): 243.
4. Spilker, J. J., Jr., *Digital Communicating*, 252.
5. Lee, W. C. Y., "Elements of Mobile Cellular System," will be published by *IEEE Transactions on Vehicular Tech.*, May 1986.
6. Ade, John E., "Some Aspects of the Theory of Simulcast" (Paper presented at the IEEE 32nd Vehicular Technology Conference, San Diego, CA, May 1982): 133-139.
7. Lee, W. C. Y., "Effects on Correlation between Two Mobile Radio Base-Station Antennas," *IEEE Trans. Commun.* 21 (Nov. 1973): 1214-1224.
8. Lee, W. C. Y., "Antenna Spacing Requirement for a Mobile Radio Base-Station Diversity," *Bell Sys. Tech. J.* 50: 6 (July-Aug. 1971): 1859-1876.

5 - خطط التردد وخططاتها المرافقة

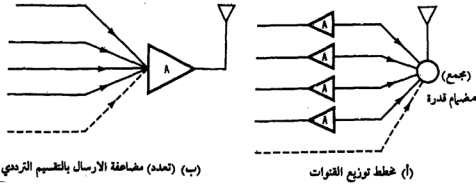
- 1-5 خططات الألفية المخصصة وإعادة استخدام الترددات .
- 2-5 تعدد الارسال بالتقسيم الترددي (FDM) .
- 3-5 تعدد الارسال بالتقسيم الزمني (TDM) .
- 4-5 الطيف المنشور والقفز الترددي .
- 5-5 المفهوم الخلوي .

كما شرح في الفصل الرابع فهناك حاجة إلى خطط ترددية مناسبة لتقليل تداخل الاقنية المتجاورة والتعديل البيئي. يغطي هذا الفصل خطط تردد كثيرة للاستخدام الاعظمي للطيف.

1-5 مخططات الاقنية المخصصة واعادة استخدام الترددات.

1-5-1 - مخططات الاقنية المخصصة

في محطة القاعدة يوجد عدد N من الاقنية تترافق إما مع N مضخم قدرة فرادي أو تشترك معاً بمضخم قدرة واحد كما هو مبين في الشكل (1-5) يدعى النوع الأول بمخطط الاقنية المخصصة ويدعى الثاني بمخطط تعدد الارسال. يغطي هذا الفصل مخطط الاقنية المخصصة بينما سيشرح نظام تعدد الارسال في الفصل التالي.



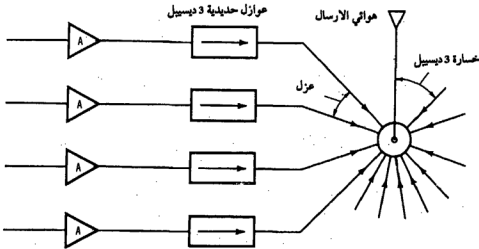
الشكل 1-5

مقارنة بين مخطط الاقنية المخصصة ومخطط تعدد الارسال بالتقسيم الترددي

في نظام الاقنية المخصصة لكل قناة مضخم قدرة خاص بها ولا تنتج نواتج التعديل البيئي بالعملية غير الخطية لأنه يوجد مدخل واحد فقط. إلا أن مضام القدرة يضم جميع الاقنية الافرادية ويرسلها إلى هوائي الارسال. لا يمكن أن يكون مضام القدرة جهاز مواءمة الممانعة الكامل. يمكن للقدرة أن تتسرب عند المضام من مدخل آخر، وأن تحصل تغذية راجعة لمضخم القدرة وتسبب التعديل البيئي.

يحتوي مضامٍ القدرة النمطي عند 1 جـ. هـ 16 تجويفاً طنائاً يعمل كل منها كمرشاح نطاق ضيق وتغذي حملاً مشتركاً هو هوائي الارسل.

يمكن أن يكون لهذا المضمات خسارة عظمى قدرها 3 ديسيبل للقناة وعزل أصغري من قناة إلى قناة قدره 18 ديسيبل. لتحقيق خسارة 3 ديسيبل للقناة يجب أن تكون المباعدة بين الأقنية 630 كـ. هـ أو 21 قناة (30×21 كـ. هـ). يمكن أن يكون حد قطع المرشاح متسع الجوانب لتقليل الخسارات. ولهذا يتم التحكم بالتعديل البيئي بواسطة عوازل حديدية تؤمن خسارة بالطريق العكسي قدرها 30 ديسيبل. يبين الشكل 2-5 شكل هذا المضمات الخاص. عند تحريض قدرة ثلاث أقنية بأن واحد (المباعدة بين الأقنية هي 21B حيث B عرض النطاق الترددي لكل قناة) فإن نواتج التعديل البيئي المقاسة تقل بمقدار (55) ديسيبل على الأقل عن الاشارات المرغوبة. عند الترددات الأقل من 150 مـ. هـ يصبح الحجم الطبيعي لدليل الموجه غير عملي، وعندئذ يمكن أن يصمم المضمات باستخدام الكوابل المحورية أو من دارات بوشية ومكثف (LC) ويبقى الاعتبار الرئيسي هو نفسه.



الشكل 2-5- مضامٍ قدرة خاص

2-1-5 إعادة استخدام الترددات

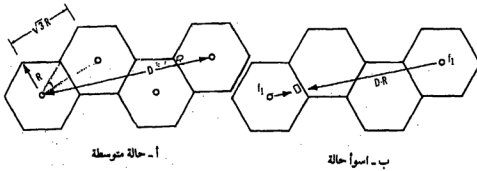
بما أن أنظمة الأقنية يمكنها التحكم بسوية نواتج التعديل البيني فإن القناة نفسها يمكن إعادة استخدامها على مسافة معينة تضبط بعامل تخفيض القناة الواحدة $(\alpha = D/R)$ الفصل 1-2-4

تزداد قيمة α كلما ازداد عدد مواقع القناة الواحدة. ستدرس حالتان لنفس عدد مواقع القناة الواحدة. الحالة المتوسطة والحالة الأسوأ.
لتكن α_1 معامل تخفيض القناة الواحدة لحالة متوسطة (انظر الشكل 3-5 أ).

$$\alpha_1 = \frac{D}{R} \quad 1-1-5$$

عندئذ تعرف المعلمة الجديدة α_1' على الشكل التالي :

$$\begin{aligned} \alpha_1' &= \frac{D-R}{R} & 2-1-5 \\ &= \alpha_1 - 1 \end{aligned}$$



الشكل 3-5 تقدير تداخل القناة الواحدة.

للحالة المتوسطة (شكل 3-5 أ) يبين الفصل 1-2-4 أن قيمة α يجب أن تكون أكبر من 4,4 للحصول على نسبة إشارة إلى ضجيج بقيمة 18 ديسيبل على أساس ستة مسيبي تداخل بقناة واحدة متساوي المسافة. أما إذا اعتبرت الحالة الأسوأ المينة

بالشكل 3-5 ب لخلية واحدة بقناة واحدة فإن المسافة بين موقع خلية القناة الواحدة والوحدة المتنقلة هي $D-R$. بما أنه في الحقيقة، نتيجة لعدم كمال التوضع والظلال الجغرافية، يمكن أن نفترض أن المسافة بين الوحدة المتنقلة وجميع مسيبي تداخل القناة الواحدة هي $D \approx R$ في الحالة الأسوأ. يمكن التعبير عن نسبة الحامل إلى التداخل $(C/I)_w$ بوجود ستة مسيبي تداخل بقناة واحدة على الشكل التالي:

$$\left(\frac{C}{I}\right)_w = \frac{C}{\sum_{i=1}^6 I_i} = \frac{R^{-4}}{6(D-R)^{-4}} = \frac{\alpha'^4}{6} \quad 3-1-5$$

لنفترض أن C/I تساوي 18 ديسيبل أو أكثر أي بقيمة 63 مرة وهذا يعني أن الحامل أقوى بـ 63 مرة من مسبب التداخل. في المعادلة 4-1-5:

$$\left(\frac{C}{I}\right)_w = \frac{\alpha'^4}{6} \geq 63 \quad 4-1-5$$

تكون α' مساوية إلى 4,4. ومعامل تخفيض القناة الواحدة يصبح

$$\alpha_1 = \alpha' + 1 = 5,4$$

مثال: تحتاج خلية 13 كم (8 ميل) إلى مسافة إعادة استخدام $5,4 \times 13$ - أي 69 كم (43,2 ميل).

تستخدم الحالة المتوسطة عادة لتقدير قيم جميع المعلومات. عند تصميم النظام يجب أن تؤخذ قيم جميع المعلومات للحالة الأسوأ للتأكد من أداء النظام. انظر المرجع 2 للدقة الرياضية في بيان الحالة الأسوأ.

2-5 تعدد الارسال بالتقسيم الترددي (FDM).

يقسم نطاق ترددي معين إلى أفنية ترددية كثيرة، تعين كل اشارة لقناة ترددية منفصلة غير مترابطة. تجمع جميع الاشارات خلال مضخم قدرة مشترك. إما أن تقبل نواتج التعديل البيني ضمن مضخم القدرة المشترك أو تقلل بانتقاء

ملائم للترددات و/ أو بانقاص سوية قدرة الدخل حتى تسمح بالعمل في المنطقة شبه الخطية.

تعتمد صيغة تعيين أفضية تعدد الارسل بالتقسيم الترددي على تشوه الاشارة وتداخل القناة المجاورة وتأثير التعديل البيئي . تستخدم عادة نطاقات حماية للأفضية الترددية المجاورة.

1-2-5 - كبت اشارة تعدد الارسل بالتقسيم الترددي:

بواسطة عدم خطية تمرير النطاق «دراسة عامة».

لنفترض أن غلافاً جيبياً ثابتاً باتساع B قد استقبل بواسطة الوحدة المتنقلة مع عدد كبير من الاشارات الجيبية الأخرى التي تشكل تداخلاً غوصياً متغيراً مع الزمن . يكون الغلاف A للتداخل الغوصي المتغير مع الزمن هو رايلي . ويمكن التعبير عن الكثافة الاحتمالية لـ A بالعلاقة:

$$p(A) = \frac{A}{\sigma^2} e^{-\frac{A^2}{\sigma^2}}$$

وقدرتها المتوسطة هي:

$$2\sigma^2 = \int_0^{\infty} A^2 p(A) dA$$

لنبين الآن كبت اشارة الدخل B عندما تمر الاشارة B وبقيّة اشارات التداخل خلال جهاز غير خطي . يكون مجموع الاشارة B والتداخل المركب A عند مدخل الجهاز غير الخطي على الشكل:

$$s_t = Ae^{j\alpha} + Be^{j\beta} \quad 1-2-5$$

حيث α هو طور عشوائي ينتج عن ضم اشارات التداخل و B هو طور الاشارة المرغوبة . لنفترض أن التداخل A أقوى بكثير من الإشارة B . عندئذ تصبح المعادلة 1-2-5 على الشكل:

$$s_t = [A + B \cos (\beta - \alpha)]e^{j\alpha} + jB \sin (\beta - \alpha)e^{j\alpha}$$

لنفترض أيضاً أن الجهاز غير الخطي يسلك سلوكاً جيداً . يمكن تمثيل غلاف خرجه $g(A)$ بسلسلة تايلور حول A إذا كانت $B < A$ على الشكل :

$$g(A + B \cos(\beta - \alpha)) \approx g(A) + Bg'(A) \cos(\beta - \alpha) \quad 2-2-5$$

وبعد اشتقاق طويلة تكون نسبة الإشارة إلى التداخل بعد الجهاز غير الخطي

$$\left(\frac{S}{I}\right)_o = \left(\frac{S}{I}\right)_{in} \times R \quad 3-2-5$$

هي :

حيث :

$$\left(\frac{S}{I}\right)_{in} = \frac{B^2}{2\sigma^2}$$

وتدعى R نسبة كبت الإشارة ويعبر عنها بالعلاقة :

$$R = \frac{\left[\int_0^\infty Ag(A)p(A)dA \right]^2}{\left[\int_0^\infty g^2(A)p(A)dA \right] \left[\int_0^\infty A^2p(A)dA \right]} \quad 4-2-5$$

$$= \frac{\langle Ag \rangle^2}{\langle g^2 \rangle \langle A^2 \rangle}$$

بتطبيق متراجحة شفارتز $\langle g \cdot A \rangle \leq \langle g^2 \rangle^{1/2} \langle A^2 \rangle^{1/2}$ نجد أن قيمة R أقل من الواحد دائماً بغض النظر عن استخدام $g(A)$.
ولذا تصبح المعادلة 3-2-5 كما يلي :

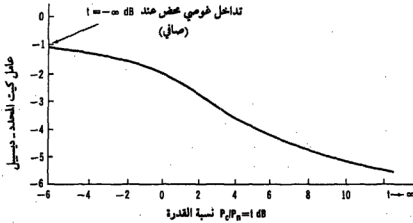
$$\left(\frac{S}{I}\right)_o \leq \left(\frac{S}{I}\right)_{in} \quad 5-2-5$$

لحالة تداخل غوصي قوي . ولهذا لا يمكن زيادة القدرة للإشارة B عبر الجهاز غير الخطي عندما يكون التداخل الغوصي قوياً .

بواسطة الحدود القاسية لتمرير النطاق

لنفترض بيئة مدخل مؤلفة من إشارة مدخل جيبية مع تداخل رايسيان . وقد بين توزيع رايسيان في المعادلة (3-5-1) مع النسبة ϵ/η لغلاف تداخل جيبى ثابت إلى ضجيج غوصي . يبين الشكل 4-5 معامل كبت الإشارة الفعال لإشارة جيبية ضعيفة بوجود تداخل رايسيان قوي عن طريق عنصر غير خطي ذي حدود قاسية لتمرير النطاق .

في الشكل 4-5 عندما تكون ϵ مساوية صفر ينتج تداخلاً غوصياً صرفاً ويكون عامل الكبت (1) ديسيبيل وعندما تكون ϵ لا نهاية ينتج تداخلاً جيبياً صرفاً ويكون عامل الكبت (6) ديسيبيل .



الشكل 4-5 كبت المحدد مع نسبة القدرة لخليط من تداخل غوصي وجيبى

2-2-5 تشوه إشارة تعدد الارسل بالتقسيم الترددي

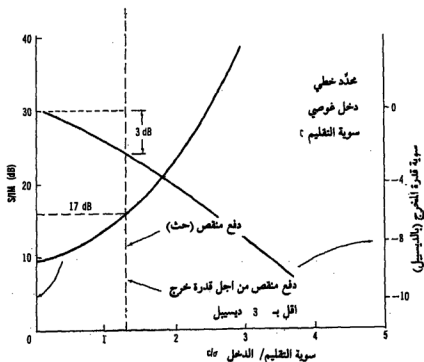
بواسطة عدم خطية الانتعاش:

لا يسبب عدم خطية المضخم كبت الإشارة فقط ، بل تشويهاً أيضاً . تمثل

نسبة الكثافة الطيفية للإشارة إلى كثافة التعديل البيئي النسبة الحقيقية لقدرة الإشارة إلى التشوه.

لفترض أن لإشارة المدخل إلى الجهاز غير الخطي كثافة غوصية لقدرة الطيفية وإن جذر متوسط التربيع لها هو σ . يبين الشكل 5-5 نسبة الإشارة إلى تشويه التعديل البيئي في المخرج S/IM عند التردد المركزي f_0 مع تغير النسبة c/σ حيث c هي سوية القطع.

عندما تتناقص سوية التحديد القاسي c أي $c/\sigma \rightarrow 0$ فإن النسبة S/IM في المخرج تتناقص إلى قيمة صغرى حوالي 9 ديسيبل. يكون سبب الأثر الغالب هو شدة التعديل البيئي للمدروجين الثالث والخامس. من أجل ارجاع قدرة الخرج بمقدار 3 ديسيبل أي تخفيض سواقة قدرة الخرج بمقدار 3 ديسيبل، تزداد النسبة S/IM إلى 17 ديسيبل.



الشكل 5-5 القدرة المقاسة للمخرج ونسبة الكثافة الطيفية للإشارة إلى التعديل البيئي لمحدد خطي بدخل غوصي

بواسطة تأثير التحويل تعديل اتساع / تعديل طور:
تُري معظم أجهزة التضخيم تحويلاً في تعديل الاتساع / التعديل الطوري
نتيجة لخصائصها غير الخطية، يسبب التغير في غلاف الدخل لموجة جيبية مضاعفة
تغيراً في الخرج لكل مركبة إشارة.
ويعرض التحليل التالي هذا التأثير:

يمكن التعبير عن دخل جيبي معدل الاتساع بكمية قليلة بالشكل:

$$x(t) = A_i(t) \cos(\omega_0 t) \quad 6-2-5$$

حيث $A_i(t)$ هو غلاف الدخل ويعبر عنه بالعلاقة:

$$A_i(t) = A(1 + m \cos \omega_m t) \quad 7-2-5$$

و A قيمتها صغيرة. يوضع نموذج التعديل الطوري للخرج.
 $\theta_0(A) = \theta_0(A_i(t))$ متناسباً تقريباً مع مربع الغلاف لسوية دخل صغيرة A_i .

$$\theta_0(A_i(t)) = KA_i^2(t) \quad 8-2-5$$

حيث $\theta_0(A_i(t)) = \theta_0(t)$ اخذت كحد الطور في إشارة المخرج $y(t)$

$$y(t) = KA_i(t) \cos(\omega_0 t + \theta_0(t)) \quad 9-2-5$$

بتعويض المعادلة 7-2-5 في المعادلة 8-2-5 ينتج:

$$\begin{aligned} \theta_0(t) &= KA^2 (1 + 2m \cos \omega_m t + m^2 \cos^2 \omega_m t) \\ &= KA^2 (1 + 2m \cos \omega_m t) \quad m \ll 1 \end{aligned} \quad 10-2-5$$

يكون الانحراف الأعظمي (القمي) عن متوسط الطور هو $\theta_p \approx KA^2 \cdot 2m$ «بالراديان». يمكن التعبير عن خطأ الطور الأعظمي هذا بالراديان / الديسيبل لتعديل الاتساع كما يلي:

$$\begin{aligned} K_p &= \frac{\theta_p}{20 \log_{10} (1 + m)} \quad (\text{radian/dB}) \\ &= \frac{KA^2 \cdot 2m}{8.69 m} = 0.46 KP_s \quad (\text{radian/dB}) \quad 11-2-5 \\ &= 26.38 KP_s \quad (\text{degree/dB}) \end{aligned}$$

حيث $\frac{A^2}{2} \triangleq P_s$ وبهذا تكون K_p متناسبة خطياً مع قدرة الدخل P_s . يعبر عن دخل متعدد بـ n إشارة جيبية على الشكل:

$$x(t) = \sum_{i=1}^N A_i \cos(\omega_0 t + \phi_i(t)) \quad 12-2-5$$

يمكن أن نشير إلى أن التعديل الطوري للخروج $\theta_0(A_i(t)) = \theta_0(A_i)$ لكل موجة جيبية وعندئذ يحوي الخرج $y(t)$ بعد التحويل تعديل الاتساع / تعديل الطور حداً طورياً $\theta(A(t))$ على الشكل:

$$\begin{aligned} y(t) &= \sum_{i=1}^N A_i \cos(\omega_0 t + \phi_i(t) + \theta_0(A_i)) \\ &= \sum_{i=1}^N A_i \cos(\omega_0 t + \phi_i(t)) - \theta_0(A_i) \cdot \sum_{i=1}^N A_i \sin(\omega_0 t + \phi_i(t)) \\ &= \sum_{i=1}^N A_i \cos(\omega_0 t + \phi_i(t)) - \underbrace{\theta_0(A_i) A_i \sin(\omega_0 t + \phi_i(t))}_{\text{distortion term, } \theta(A(t))} \end{aligned} \quad 13-2-5$$

$\theta \ll 1$ حد التشويه

ليكن

$$A(t) = \left[\sum_{i=1}^N A_i \cos \phi_i(t) \right]^2 + \left[\sum_{i=1}^N A_i \sin \phi_i(t) \right]^2 \quad 14-2-5$$

$$\phi(t) = \tan^{-1} \left(- \frac{\sum_{i=1}^N A_i \sin \phi_i(t)}{\sum_{i=1}^N A_i \cos \phi_i(t)} \right) \quad 15-2-5$$

عندئذ يمكن إيجاد $\theta_0(A_i(t))$ من المعادلة 8-2-5 ويصبح حد التشوه

$$\begin{aligned} \theta(A(t)) = \text{distortion term} &= -K^2 A^2(t) A(t) \sin(\omega_0 t + \phi(t)) \quad 16-2-5 \\ &= -K^2 A^3(t) \sin(\omega_0 t + \phi(t)) \end{aligned}$$

تبين المعادلة 16-2-5 أن نواتج تشوه التعديل البيني تحدث عند نفس التردد ولها اتساع مختلف وتنحرف 90° في الطور.

ضم تأثيري التحويل تعديل الاتساع / تعديل الطور وعدم خطية الاتساع:

يؤخذ تأثير التحويل تعديل اتساع / تعديل طور من المعادلة 8-2-5 وتتبع عدم خطية الاتساع قانون التكعيب البسيط

$$y = a_0 + a_3 x^3 \quad 17-2-5$$

حيث x هي الدخل و y هي الخرج . لنضع

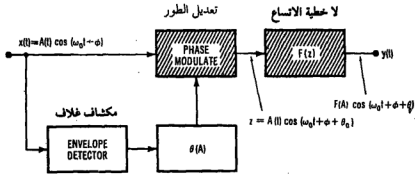
$$x(t) = A(t) \cos(\omega_0 t + \phi) \quad 18-2-5$$

عندئذ يكون الخرج:

$$y(t) = F[A(t)] \cos[\omega_0 t + \theta_0(A) + \phi] \quad (19-2-5)$$

حيث $F[A(t)]$ هو كبت الإشارة و $\theta_0(A)$ هو تحويل تعديل الاتساع / تعديل الطور. يبين الشكل 6-5 نموذجاً لهذين التأثيرين. يسبب التعديل البيني تشويهاً (غير مفهوم) عند ارسال إشارة معدلة التردد. إذا سبق مرشح مضخم القدرة يمكن أن

يتولد لغط مفهوم. تتكون هذه الحادثة في الحقيقة من خطوتين: يتحول التعديل الترددي إلى تعديل اتساع في المرشح، ويتبع ذلك تحويل تعديل اتساع إلى تعديل الطور بعدم خطية المضخم. تسبب الخطوة الثانية تعديلاً في القناة المجاورة وينتج لغطاً مفهوماً.



الشكل 6-5 نموذج تحويل تعديل اتساع / تعديل طور من عدم خطية مضخم القدرة

3-5 تعدد الارسال بالتقسيم الزمني (TDM).

يمكن أن يجعل تعدد الارسال بالتقسيم الزمني استخدام القدرة بكفاءة تساوي 90% أو أكثر بالمقارنة مع الخسارة (3) ديسيبيل أو (6) ديسيبيل في كفاءة القدرة في تعدد الارسال بالتقسيم الترددي. يتطلب تعدد الارسال بالتقسيم الترددي تنقيص 3-6 ديسيبيل من القدرة لتصغير أثر التعديل البيئي إلى الحد الأدنى. يمكن لتعدد الارسال بالتقسيم الزمني أن يصل أيضاً إلى مردود أفضل في استخدام عرض النطاق لأنه لا يتطلب نطاق حزمة ترددي بين الأقنية.

يسمح تعدد الارسال بالتقسيم الزمني عمل مضخم القدرة بالأشباع الكامل وغالباً ما ينتج عن ذلك زيادة ملحوظة في القدرة المفيدة. كما يمكن تجنب سيئات منتجات التعديل البيئي بصورة كبيرة عند ارسال كل اشارة مع زمن حزمة كافٍ بين الشقوق الزمنية ليستوعب الحالات التالية:

1- عدم دقة التوقيت الناتج عن عدم استقرار الساعة.

2- نشر التأخير.

- 3- تأخير زمن الارسال الناتج عن مسافة الانتشار.
4- ذبول الإشارة النبضية في تعدد الارسال بالتقسيم الزمني الناتج عن الاستجابة العابرة.

1-3-5 - مخازن تعدد الارسال بالتقسيم الزمني

بما أن سلسلة البتات القادمة تصل باستمرار إلى معدل الارسال بالتقسيم الزمني في الزمن الحقيقي بينما يعطي خرج معدل تعدد الارسال بالتقسيم الزمني رشقة دورية من الترددات الراديوية لذلك يجب أن يحوي معدل الارسال بالتقسيم الزمني مخزن معطيات. يخزن هذا المخزن بتات المعطيات المستقبلية من رتل إلى الرتل الذي يليه. تكون السعة الكلية M بتة لـ N مدخل من سلسلة البتات بمعدل R_f بتة ودور الرتل τ_f على الشكل :

$$M = \sum_{i=1}^N (R_i \tau_f) \text{ bits} \quad \text{بتة} \quad 1-3-5$$

2-3-5 - زمن الحیطة في تعدد الإرسال بالتقسيم الزمني

تعرف تعابير توقيت الساعة على الشكل :

t : زمن النظام أو الزمن العالمي .

$\tau(t)$: توقيت تتالي النبضات في الوحدة المنقلة .

$\tau_i(t)$: توقيت تتالي النبضات في محطة القاعدة .

$\tau_f(t)$: فترة زمن الرتل عند المرسل .

$\Delta\tau_f(t)$: الخطأ في زمن الرتل نتيجة لعدم استقرار الساعة .

$\tau_p(t)$: زمن الانتشار بدلالة المسافة .

$\Delta\tau_p(t)$: نشر التأخير في المستقبل .

$\tau_d(t)$: زمن تلاشي ذيل الإشارة النبضية .

τ_g : زمن الحیطة

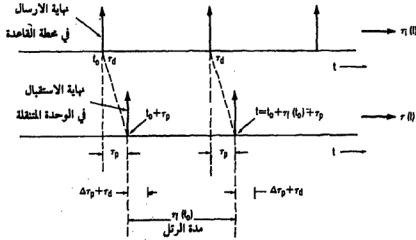
$\Delta\tau_g$: الخطأ في زمن الحیطة .

عندما ترسل محطة القاعدة نبضة إلى الوحدة المنقلة . تتطلب الوحدة المنقلة زمناً كافياً لاستقبال هذه النبضة . يبين الشكل 7-5 توقيت نبضتين متتابعين مع زمن التلاشي τ_d ونشر التأخير $\Delta\tau_p$ والذي نسميه عندئذ زمن الحیطة :

$$\tau_g = \tau_p + \Delta\tau_p + \Delta\tau_g + \tau_d \quad 2-3-5$$

حيث τ_p ليس ثابتاً نتيجة لوضع الوحدات المتنقلة في الحقل . فبعضها قريب من محطة القاعدة بينما الآخر على بعد 10 أميال . بأخذ τ_p على أساس مسافة 10 أميال يكون :

$$\begin{aligned} \tau_p &= 10 \text{ miles} \times 5280 \text{ ft/miles} \times 1 \text{ ns/ft} \\ &= 5.28 \times 10^{-5} \text{ sec} \end{aligned}$$



الشكل 7-5 التوقيت عند محطة القاعدة وعند الوحدة المتنقلة

يبلغ زمن نشر التأخير $\Delta\tau_p$ في مناطق المدن حوالي 3 ميكروثانية. لنفترض أن عدم استقرار الساعة هو جزء بالمليون، تكون عندئذ $\Delta\tau_g$ الخطأ في زمن الحيغة نتيجة لعدم استقرار الساعة . تهمل $\Delta\tau_g$ عادة لأن 1 جزء بالمليون من زمن الحيغة صغير. يعتمد زمن التلاشي τ_d لذيل الإشارة النبضية على استجابة المراشيع للانبعاث والطور. لنفترض τ_d هي 1 ميكروثانية يمكن الحصول على زمن الحيغة τ_g من المعادلة 2-3-5 على الشكل :

$$\tau_g = (52.8 + 3 + 1) = 56.8 \mu\text{s} \quad 3-3-5$$

3-3-5 معدل البتات ومعدل الارتال

يكون الزمن بين البتات τ_b هو:

$$\tau_b = \Delta\tau_p + \tau_d + \Delta\tau_g \quad 4-3-5$$

$$= \Delta\tau_p + \tau_d$$

$$= 3 \mu s + 1 \mu s = 4 \mu s$$

يجب إيجاد معدل البتات بواسطة

$$R_b \leq \frac{1}{\tau_b} = 2.5 \times 10^5 \text{ bps} \quad 5-3-5$$

يعرف معدل الرتل f_f بعدد الارتال / الثانية

$$f_f = \frac{1}{T_f} \quad 6-3-5$$

إذا وجد 10^4 بتة في الرتل وكانت $R_b = 2.5 \times 10^5 \text{ bps}$ فإن f_f تساوي 25 رتلًا في الثانية.

4-3-5 كفاءة نظام تعدد الارسال بالتقسيم الزمني

تعتمد كفاءة القدرة في نظام تعدد الارسال بالتقسيم الزمني للراديو المتنقل على: (1) زمن الحیطة τ_{gt} بين ارسالات كل طرف.

(2) زمن ما قبل وبعد التوصيل (لتأمين العنونة واستعادة الحامل) ويسمى زمن العنونة لكل من طرفي الارسال / الاستقبال τ_{at}

(3) فترة دوام زمن الرتل $T_f (= N\tau_f + N\tau_g)$

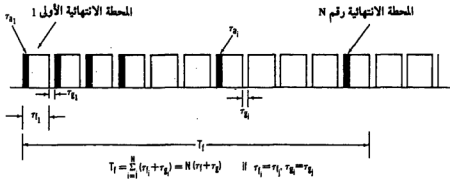
تكون الكفاءة العظمى لجميع الطرفيات التي تشغل الرتل كاملاً هي:

$$\eta_{\max} = \frac{T_f - \sum_{i=1}^N (\tau_{gt} + \tau_{at})}{T_f} \quad 7-3-5$$

حيث i هي مجموع جميع الطرفيات N في الشبكة (انظر الشكل 8-5) . إذا كانت أزمدة الحيغة وأزمدة العنونة لجميع الطرفيات متماثلة وكانت $\tau_g \gg \tau_f$ فإن

$$\eta_{\max} = \frac{T_f - [N(\tau_g + \tau_a)]}{T_f} \doteq \frac{\tau_f - (\tau_g + \tau_a)}{\tau_f}$$

الكفاءة هي :



الشكل 8-5 فترة دوام زمن الرتل T_f وفترة زمن الرتل τ_f لكل طرف

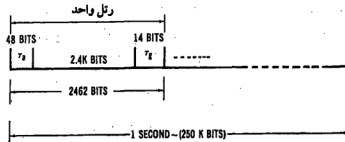
تحسين الكفاءة بزيادة τ_f

مثال 5-1 : لنفترض أن $R_t = 250 \text{ kbps}$ (14 b) $\tau_g = 57 \mu\text{s}$ $\tau_a = 48 \text{ b}$ (انظر الشكل 9-5) . لنفترض أيضاً أن الصوت الرقمي باستخدام الترميز اللوغاريتمي Lpc يتطلب 2,4 ك بته/ ثانية . يمكن حساب طول الرتل على الشكل التالي :

$$2400 + 48 + 14 = 2462 \text{ bits}$$

والكفاءة العظمى هي :

$$\eta_{\max} = \frac{2462 - 62}{2462} = 97\%$$



(الشكل 9-5) بنية الرتل النمطية

4-5 الطيف المنشور والقفز الترددي .

يجب التذكر أنه إذا كان النظام مستخدماً في بيئة محددة الضجيج أمكن استخدام النطاق الجانبي الوحيد (4-3 ك هـ / قناة) لتأمين كفاءة الطيف، أما إذا كان النظام مستخدماً في بيئة محدودة التداخل فإنه يجب استخدام تقنيات النطاق العريض أولاً لكبت التداخل. وفي نفس الوقت يجب تأمين أفضية أكثر. يوجد بشكل عام نوعان من تقنيات النطاق العريض وهما الطيف المنشور والقفز الترددي .

1-4-5 الطيف المنشور

لنفترض أن نطاقاً ترددياً بعرض 10 م هـ يستخدم عادة لعدد N من المشتركين وأن النطاق الأساسي هو 10 ك هـ . استخدم التناهي المباشر لنشر 10 ك هـ على النطاق الترددي 10 م هـ بحيث تمثل كل بئة معلومات بـ (1000 بته) . لنفترض أن:

$$\frac{E_b}{\eta_0} = 15 \text{ dB} \sim 31.6$$

حيث E_b هو القدرة لكل بئة معلومات، η_0 قدرة الضجيج في الهرتز. يمكن التعبير عن نسبة الحامل إلى الضجيج في قناة واحدة عند مرحلة التردد الراديوي أو المتوسط بالشكل:

$$\left(\frac{C}{N}\right) = \frac{E_b \times R_b}{\eta_0 \times B} = \frac{E_b}{\eta_0} \times \frac{10^4}{10^7} \quad 1-4-5$$

$$= 31.6 \times \frac{1}{10^3} = 0.0316 \sim -15 \text{ dB}$$

أي أن نسبة حامل / ضجيج C/N بمقدار -15 ديسيبل يتطلبها المستقبل. تعني هذه النتيجة أنه باستخدام ارسال الطيف المنشور يمكن لسوية الحامل أن تنخفض بمقدار 15 ديسيبل عن سوية الضجيج، فإذا كانت سوية الضجيج هي:

$$kTB = -174 + 70 = -104 \text{ dBm} \quad \text{فإن سوية الحامل هي } -119 \text{ dBm}$$

لنفترض أن M مشتركاً موجوداً في الحقل وأن كلاً من المشتركين M له نسبة C/N عند كل طرف استقبال بقيمة 15 ديسيبل عندئذ يكون الفرق:

$$\frac{C}{I + N} = \frac{10^{10}}{(M - 1) \cdot 10^{10} + 10^{-104/10}} = 10^{-15/10}$$

Then

$$M = 1 + 10^{1.5} - 10^{-10.4 - 2/10}$$

إذا كانت سوية الحامل الجديد لكل مشترك 104- ديسيبل، فإن قيمة M تبلغ 31,6 أو 32 تقريباً وتكون سوية الاستقبال الكلية (C+I+N) المستقبلية عند مدخل كل جهاز استقبال هي 15+104=89- ديسيبل. إذا كانت سوية الحامل الجديد لكل مشترك أعلى بكثير من 104- ديسيبل، فإن قيمة M تصل إلى 32,6 أو 33 تقريباً.

مثال: 2-5 : يدرس هذا المثال حالة نسبة إشارة الطرف القريب إلى الطرف البعيد في نظام الطيف المنشور ويفترض مسافة (10 أميال) لوصلة الطرف البعيد و 3,2 كم (2 ميل) لوصلة الطرف القريب. تستخدم المعطيات من الفصل 2-3-6 لمنحنى منطقة الضواحي وجداول القياس. تحتاج وصلة الـ 10 ميل (100ft) h_1 إلى: $G_1 = 6\text{dB/dipole}$ عند 850 م (هـ) إلى:

قدرة المرسل $Tx_1 = 51\text{dBm}$ لتنتج إشارة مستقبلية -89dBm

تحتاج الوصلة 2 ميل (100ft) $h_1 = 6\text{dB/dipole}$ عند 850 م (هـ) لنفس القدرة المرسلة إلى:

قدرة المرسل $Tx_2 = 51\text{dBm}$ لتنتج إشارة مستقبلية -74dBm .

من المعروف أن محطة القاعدة تستقبل دائماً إشارة أقوى من الوحدة المتنقلة على بعد 3,2 كم (2 ميل) وإشارة أضعف من بعد 16 كم (10 ميل). إذا استقبلت محطة القاعدة الاشارتين بأن واحد فإن الإشارة الأضعف سوف تتأثر بتداخل مع الإشارة الأقوى.

ولهذا لا يمكن تجنب تداخل نسبة إشارة الطرف القريب إلى الطرف البعيد في نظام الطيف المنشور كما هو مبين في الشكل 5-10. عند الأخذ بعين الاعتبار نفس سوية الاستقبال في محطة القاعدة (مبينة أيضاً في الشكل 5-10) يجب أن تكون قدرة المرسل Tx_1 أعلى بمقدار 15 ديسيبل من Tx_2 .

مثال 3-5 : لنفرض إن إشارة التشويش أقوى بمقدار 50 ديسيبل من الإشارة المطلوبة المستقبلية عند جهاز الاستقبال ، ولنفرض أن معدل المعطيات المرسلة من جهاز ارسال المطلوب هو 1 ك بت/ثا فما هو اتساع انتشار عرض النطاق المطلوب بحيث نستقبل معدل المعطيات 1 ك بت/ثا بنسبة $10 \approx E_b/\eta_n$ ديسيبل . نستخدم المعادلة 1-4-5 لحل هذه المسألة. نحن نعلم أن $50 = C/I$ - ديسيبل (=) 10^{-5}

$$R_b = 1 \text{ Kbps}$$

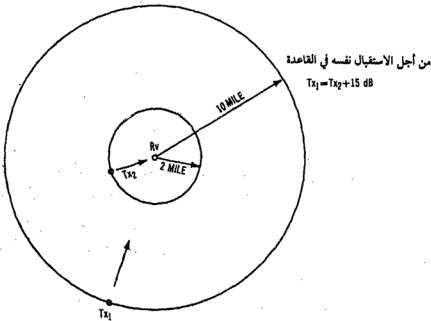
$$E_b/\eta_n = 10 \text{ dB} (=) 10$$

ومنه

$$(C/N)_s = \left(\frac{E_b}{\eta_n} \right) \left(\frac{R_b}{B} \right)$$

و

$$B = 10^5 \times 10 \times 10^3 = 100 \text{ MHz}$$



الشكل 10-5 توضيح تداخل الطرف القريب والطرف البعيد من المثال 2-5

في هذه الحالة يجب أن يكون عرض النطاق 1000 م هـ للتغلب على جهاز التشويش القوي . في الظروف الطبيعية يحتاج ارسال معدل معطيات 1 ك بت/ثا الى عرض نطاق 1 ك هـ . في هذا المثال أصبح عرض النطاق تحت التشويش 1000 م هـ.

يدعى النظام الذي ينتشر فيه عرض النطاق من 1 ك هـ الى 1000 م هـ بنظام الطيف المنشور وقد بينت تطبيقاته في الفصل التاسع.

2-4-5 - أنظمة القفز الترددي

أول من طور نظام القفز الترددي هذا هما كوبر ونتلتون لخدمة أعداد كبيرة من المشتركين في بيئة الراديو المتنقل. وهو نظام قفز ترددي بالابرق بزحزة الطور التفاضلي. كما طور جولدمان أيضاً نظام قفز ترددي بالابرق بزحزة التردد. وهذان شكلان مختلفان لنظام القفز الترددي الأساسي.

انقاص تداخل الطرف القريب إلى الطرف البعيد:
إذا كانت جميع الوحدات المتنقلة متساوية البعد عن محطة القاعدة فلا فائدة عندئذ من استخدام نظام القفز الترددي كما هو مبين في الشكل 5-11. إلا أنه في بيئة الراديو المتنقل تنتشر الوحدات المتنقلة عشوائياً. لا يمكن تجنب تداخل الطرف القريب إلى الطرف البعيد. يمكن انقاص هذا التداخل بوضع خطة لتخصيص الترددات أو باستخدام نظام القفز الترددي هذا. لنفترض أنه يتوفر نطاق بعرض 10 م هـ وأن كل قناة تشغل 30 ك هـ عندئذ توجد 333 قناة. إذا جعلت الترددات تقفز في شقوق زمنية مختلفة فإن نظام القفز الترددي يمكنه أن يخدم 333 مشتركاً. لنأخذ الحالة الأسوأ أي عندما تسير الوحدة المتنقلة بالقرب من المحيط على نصف القطر 16 كم (10 ميل) من محطة القاعدة. إن احتمال أن تقع الوحدة المتنقلة في المنطقة بين 14 إلى 16 كم (9-10 ميل) هو:

$$p_1 = \frac{\pi(10^2 - 9^2)}{\pi(10^2)} = \frac{19}{100} = 0.19$$

إن احتمال وحدة متنقلة تسبب تداخل للآخرى ضمن نصف قطر (0.5 ميل)

هو:

$$p_2 = \frac{\pi(0.5)^2}{\pi(10)^2} = 2.5 \times 10^{-3}$$

إن الفرصة الكلية للوقوع في هذه الحالة هي :

$$p_t = p_1 \times p_2 = 4.75 \times 10^{-4}$$

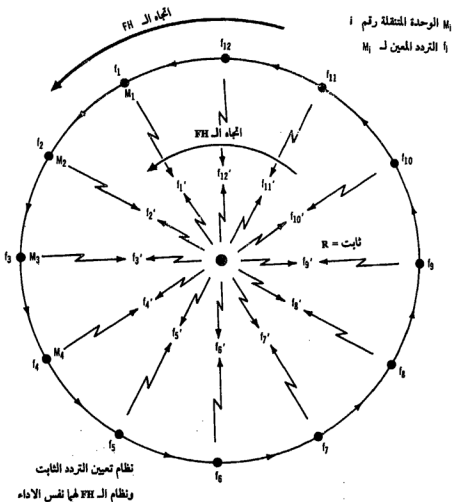
في إحدى الحالات تم الحصول من المعادلة 4-4-5 على الفاصل 20 قناة لتجنب تداخل الطرف القريب إلى الطرف البعيد. لنفترض أن جميع الأقنية مستخدمة في النظام. عندئذ سوف تتداخل 40 قناة (20 من كل من جانبي القناة المرغوبة) مع القناة المرغوبة، ويكون احتمال نشوء أخطاء تزيد عن خطأ محدد $P_e = 10^{-3}$ هو:

$$P_e = \left(1 - \frac{40}{333}\right) P_e + \frac{40}{333} (1 - P_e)$$

2-4-5

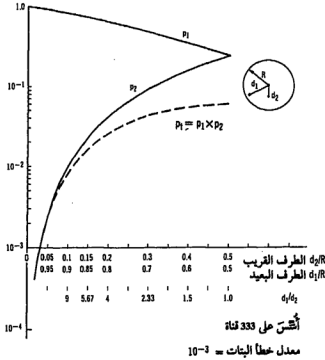
$$= 0.121$$

وبذلك تكون P_e محققة في حالة $p_t = 4.75 \times 10^{-4}$. النتيجة في P_e كبيرة جداً بالرغم من صغر حدوثها، سنبين أن نظام القفز الترددي يقلل تداخل الطرف القريب إلى الطرف البعيد المبين في الشكل 5-12. ويبين الشكل 5-13 معدل خطأ البتات لفواصل ترددية مختلفة. ومع هذا يمكن استخدام جميع الأقنية (333 قناة) في نظام القفز الترددي في خلية



الشكل 5-11 توضيح نظام تخصيص التردد الثابت ونظام القفز الترددي لخلية نصف قطرها R ثابت

إذا استخدم مثلاً الترتيب التبادلي، أي أن جميع الترددات المستخدمة مختلفة عند أي لحظة، يمكن استخدام جميع الترددات (333 قناة) في نفس الوقت وعندئذ يمكن أن نخدم الخلية الواحدة (333 قناة). يتزايد حجم الخلية ويبقى عدد الأقنية نفسه. وهذا يعني أن الخلية 16 كم (10 ميل) تخدم 333 مشتركاً وعند زيادة حجم الخلية تبقى بخدمة 333 مشتركاً فقط. إذا أريد إعادة استخدام نظام القفز الترددي في كل خلية مجاورة كما هو مبين في الشكل 5-14 فإن حساب التداخل المبين لخلية واحدة يمكن أن يتغير لأنه مكون من كلا نسبة إشارة الطرف القريب إلى الطرف البعيد وتداخل الخلية ذات القناة الواحدة. تقرر النسبة المحددة لإشارة الطرف



الشكل 12-5: احتمال وجود وحدتين متنقلتين في حدود نصفين قطريين معينين d_1, d_2

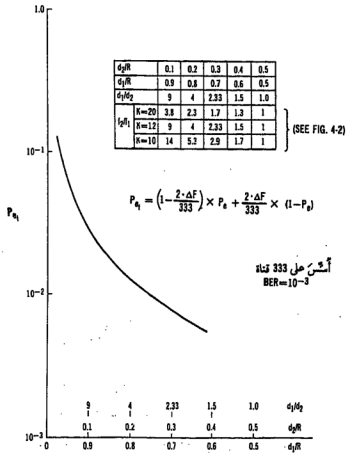
القريب إلى البعيد قيمة العزل المطلوب بالديسيبل. يمكن الوصول إلى هذا العزل باستخدام مرشح ذي خصائص 12 ديسيبل / الضعف مثلاً، وتحديد فاصل ترددي مطلوب بعرض نطاق يتفق مع العزل المطلوب. يقلل تداخل الخلية ذات القناة الواحدة على أساس نسبة الإشارة إلى الضجيج S/I المطلوبة.

لنأخذ تداخل قناة واحدة S/I على أساس عنصر تداخل واحد وليس لنسبة إشارة الطرف القريب إلى الطرف البعيد. لنفترض الحالة الأسوأ: أن الوحدة المتنقلة على بعد 14,8 كم (9,5 ميل) من محطة القاعدة وعلى بعد 16,8 كم (10,5 ميل) من مسبب تداخل القناة الواحدة، عندئذ تكون نسبة الإشارة إلى التداخل عند الوحدة المتنقلة هي:

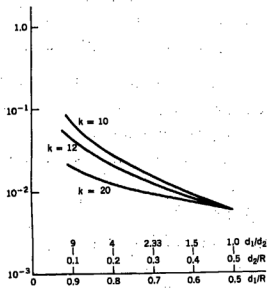
$$\frac{P_s}{P_I} = \left(\frac{d_1}{d_2}\right)^{-4} = \left(\frac{9.5}{10.5}\right)^{-4} = (1.11)^4 = 1.49 \sim 1.74 \text{ dB}$$

وفي حالة 6 مسببي تداخل تصبح نسبة الإشارة إلى التداخل تقريباً:

$$\frac{P_s}{P_I} = \frac{1}{6} \times \left(\frac{d_1}{d_2}\right)^{-4} = \frac{1.49}{6} = 0.25 = -6 \text{ dB}$$



الشكل 13-5 أ- معدل خطأ البتات لنسب معينة ومختلفة من d_1/d_2 .



الشكل 13-5 ب- معدل خطأ البتات لنسب معينة ومختلفة من d_1/d_2 .

من أجل أقنية متساوية القدرة بينى الفاصل على أساس

$$\frac{S}{I} \geq 18 \text{ dB}$$

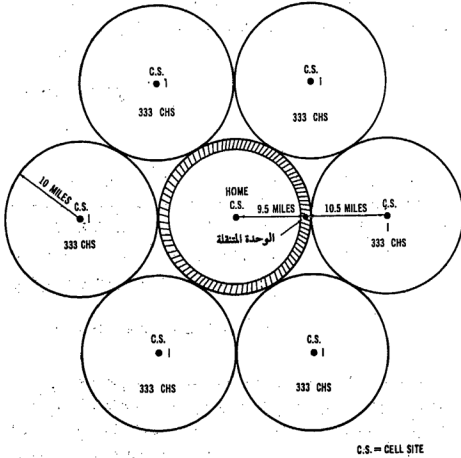
وهذا يعني أنه يجب الأخذ بعين الاعتبار فاصلاً إضافياً بمقدار 24 ديسيبل

(18 + 6). ويكون العزل الكلي في هذه الحالة (عزل كليهما تداخل القناة الواحدة

وتداخل الطرف القريب إلى الطرف البعيد) هو $76 = 52 + 24$ ديسيبل.

يطبق ذلك على المعادلة 3-4.4 :

$$f_2 = f_1 \cdot 10^{\frac{\text{Loss} \times 0.3}{K}}$$



الشكل 14-5 تداخل الطرف القريب والطرف البعيد في نظام قفز ترددي متعدد

يكون الفاصل 40 قناة أو 1191 ك هـ. وقد بني على أساس عرض نطاق القناة (30 ك هـ) ومرشاح بخاصية 12 ديسيبل / الضعيف. أي قناة تقع ضمن الأقفية الـ 40 على جانبي القناة المرغوبة ستسبب تداخلاً. يمكن الحصول على احتمال وجود أخطاء تزيد عن قيمة معينة $P_e = 10^{-3}$ في جميع الأقفية (333) باستخدام معادلة تشبة المعادلة 2-4-5 كما يلي:

$$P_e = \left(1 - \frac{80}{333}\right) P_e + \frac{80}{333}(1 - P_e) = 0.24 \quad 3-4-5$$

بمقارنة نتائج المعادلة 3-4-5 مع المعادلة 2-4-5 نجد أن الخطأ الكلي الناتج عن إعادة استخدام مفهوم التردد قد ازداد مرتين وأثر على أداء نظام القفز الترددي بشكل خطير جداً.

5-5 المفهوم الخلوي.

مقدمة:

يعتبر تحدياً حقيقياً أن نحاول خدمة عدد كبير من المشتركين بكلف ضمن الامكانيات وبمنايع ترددية محدودة فقط. هناك عدة طرق للوصول إلى ذلك. طريقة النطاق الضيق أو النطاق الجانبي الوحيد، وطريقة الطيف المنشور والمفهوم الخلوي. سيغطي المفهوم الخلوي حيث أنه المستخدم في الأنظمة التجارية في جميع أنحاء العالم عند 900 م هـ.

1-5-5 - إعادة استخدام التردد والفاصل الخلوي

سيفي، نظام خلوي وحيد البعد وبسيط بغرض التوضيح أولاً سيستخدم التردد f في خلية نصف قطرها R وسيستخدم نفس التردد في خلية على بعد D . يعتبر الفاصل الخلوي طريقة متميزة لتجنب تداخل القناة الواحدة لأن مستخدمي التردد الواحد يكونون في خليتين مختلفتين في نفس الوقت (انظر الفصل 2-4). ليس بإمكان المرشاح عزل تداخل القناة الواحدة وليس بإمكان أنظمة التعديل أيضاً تقليل تداخل القناة الواحدة بفعالية.

الفاصل الجغرافي فقط يستطيع تقليل التداخل . نسمي عامل تقليل القناة الواحدة α كالتالي:

$$\alpha = \frac{D}{R}$$

تحدد قيمة D من نسبة الإشارة المستقبلية إلى التداخل مثلما شرحت في الفصل 2-4.

لا تعتمد قيمة α على القدرة المرسلة . وهذا يعني أنه ما دامت جميع القدرات المرسلة هي نفسها في جميع الخلايا فإن زيادة القدرة المرسلة بالتساوي في جميع الخلايا لا يزيد تداخل القناة الواحدة . إذا قل الفاصل D تصبح α صغيرة ويزداد تداخل القناة الواحدة . يمكن الحصول على قيمة D من المعادلة 3-2-4 لستة عناصر تداخل قناة واحدة كما يلي:

$$\frac{S}{I} = \frac{S}{\sum_{i=1}^6 I_i} = \frac{R^{-4}}{6D^{-4}} = \frac{\alpha^4}{6} = \frac{D^4}{6R^4} \quad 1-5-5$$

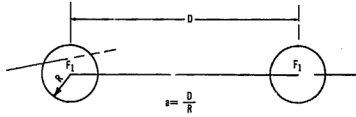
أو

$$D = R \sqrt[4]{6 \left(\frac{S}{I} \right)} \quad 2-5-5$$

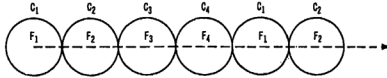
حيث S الإشارة المستقبلية من المرسل المرغوب و I_i تداخل القناة الواحدة من مسبب التداخل رقم i من بين مسببي التداخل «المرسلات» . يفترض أن الضجيج المحلي عند المستقبل مهمل . تكون قدرة التداخل I_i صغيرة عندما تزداد D

تحدد قيمة D ، ثم يجب ملء خلايا كثيرة بنفس الحجم ما بين خليتي القناة الواحدة بترددات مختلفة لكي تتأمن استمرارية التغطية الترددية في الفراغ بحيث تستطيع العربة المتحركة أن تتصل . ملء عدد من الخلايا بين خليتي القناة الواحدة في فراغ كما في الشكل 15-5 لتوضيح المفهوم .

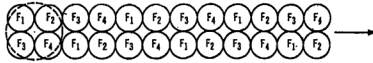
لنفترض أن تردد الخلية الجديدة هو f وعندهذ على خلية أخرى ترددات القناة الواحدة أن تحقق متطلب النسبة D/R



نسبة تنقيص تداخل القناة الواحدة



حدوث التبديل (التصليم)؟



تقسيم الخلية

الشكل 15-5 توضيح نظام خلوي في بعد واحد

2-5-5- تبديل القناة

لنفترض أن وحدة متنقلة تقع في الخلية الأولى R_1 . تسير الوحدة المتنقلة على طول مسار يمر عبر خلايا مختلفة. وفي كل مرة تدخل الوحدة المتنقلة خلية مختلفة بتردد مختلف يحصل تبديل في القناة تبديل القناة هو العملية التي يتحكم بها مكتب التبديل. توصف بعض الاعتبارات لتبديل القناة بما يلي:

1- تبني معايير عملية تبديل القناة على أساس سوية معينة من المتوسط المحلي أو معلومات في مجال الطور أو كليهما. ليست المعلومات في مجال الطور دقيقة لتقدير موقع الوحدة المتنقلة نتيجة لعوائق المنشآت الصناعية.

وبالاستناد إلى ارتفاع هوائي محطة القاعدة يمكن أن تحدث أخطاء حتى

نصف ميل . في الخلايا الكبيرة عادة تتطلب خوارزمية تبديل القناة أن تعتمد إما على سوية المتوسط المحلي أو المعلومات في مجال الطور فقط وليس على كليتيهما. والثاني أكثر كلفة من الأول.

2- يجب أن يسمح النظام بوقت كاف من لحظة طلب تبديل القناة إلى لحظة تبديل القناة الفعلي . على مكتب التبديل أن يقلل عملية تبديل القناة غير الضرورية، وإلا يزداد الحمل على تجهيزات التبديل ويتأثر أداؤها . يمكن أن تساعد المعلومات التالية في اتخاذ قرار حول تبديل القناة :

أ - عندما يكون ميل معطيات المتوسط المحلي خلال فترة زمنية محددة شديد الانحدار يجب أن تجري عملية تبديل القناة بسرعة .

ب - يمكن إيجاد سرعة التحرك (v) من إشارة خافتة قصيرة الأجل، من المعادلة $16-3-1$ ($v = f \lambda$) . يمكن قياس تردد الخفوت f من الإشارة الخافتة، λ هي طول الموجه وبهذا تعرف السرعة (v) فإذا كانت (v) عالية يجب أن تجري عملية تبديل القناة حالاً .

ج - يمكن استخدام المعلومات في مجال الطور لتقدير موقع الوحدة المتنقلة ووفقاً لذلك يتعين التردد المناسب لتجنب تداخل القناة الواحدة .

يجب تأخير عملية تبديل القناة في الحالات التالية :

1- إذا كانت هناك امكانية لزيادة المتوسط المحلي . عندها لا حاجة لعملية تبديل القناة .

2- إذا ازداد احتمال إجراء تبديل قناة إلى خلية صحيحة .

3- إذا كانت الوحدة المتنقلة تسير في نفق من شدة الإشارة ضمن الخلية .

4- إذا لم تتوفر قناة شاغرة خلال ساعة الحركة الشديدة .

ولكن إذا كان التأخير طويلاً جداً فعند زمن إجراء تبديل القناة يمكن أن تكون إشارة التحكم ضعيفة بحيث لا تستطيع الوحدة المتنقلة استقبال أو كشف المعلومات وتضيق المحادثة .

3-5-5 انقسام الخلية وتخفيض القدرة

مفهوم النظام الخلوي هو أن يخدم عدد غير محدود من المشتركين . عندما يصل عدد المشتركين إلى الاشباع في خلية بدئية ولا يمكن تقديم أفضى أكثر عندئذ تنقسم الخلية البدئية .

تنقسم الخلية البدئية أولاً إلى أربع خلايا أصغر وتزداد حركة الاتصال أربع مرات .
إذا حدث الانقسام n مرة فإن حركة الاتصال Tn تصبح :

$$T_n = T_n(4)^n \quad 3-5-5$$

وعندها تنخفض القدرة

$$P_n = P_0 - n(12) \text{ dB} \quad 4-5-5$$

بعد انقسامين تنقسم الخلية إلى ست عشرة خلية أصغر وتقل القدرة في كل خلية بمقدار 24 ديسيبل .

4-5-5 تخفيض نسبة تداخل الطرف القريب إلى الطرف البعيد :

في النظام الخلوي تستخدم خطتان لتخفيض نسبة تداخل الطرف القريب إلى الطرف البعيد : أولاهما خطة التحكم بالقدرة حيث يتم التحكم بقدرة ارسال الوحدة المتنقلة من قبل موقع الخلية بحيث تكون القدرة المستقبلية عند موقع الخلية هي نفسها من أي وحدة متنقلة . والخطة الأخرى هي أن نرسم مخطط ترتيب الردد .
يبين الشكل 16-5 مخططاً مستخدماً في الأنظمة الخلوية الحاضرة . في أي عمود يقرأ من الجدول تعين مجموعة من الأتية الترددية . لا تقترب قناتان تردديتان أكثر من مسافة سبع أتية لتجنب نسبة تداخل الطرف القريب إلى الطرف البعيد .

مقارنة بين نظام القفز الترددي والنظام الخلوي

يبين الشكل 16-5 نظاماً خلوياً بسبع خلايا وله 21 قطاعاً. إذا كان لدينا 333 قناة فإن لكل قطاع 16 قناة .

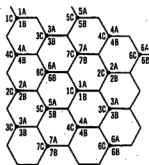
نخطط مواقع وحجوم القطاعات وفقاً لحالة حركة الاتصالات. يجب أن يخطط نظام السبع خلايا متقدماً كثيراً عن الحاجة .
لنفترض أنه في قطاع معين ازدادت الحاجة إلى خلايا أكثر لتواجه شروطاً خاصة من حركة الاتصال . لا يستطيع النظام الخلوي بدون انقسام الخلية أو المشاركة في القناة (كما في الفصل الثامن) أن يخدم أكثر من 16 مشتركاً في قطاع في نفس الوقت .

يستطيع نظام القفز الترددي أن يخدم حتى 333 مشتركاً إلا أن أدائه يضعف بوجود 333 مشتركاً في القطاع منه بوجود 16 مشتركاً في القطاع . وهذا بسبب حدوث

التداخل الشديد في نسبة الطرف القريب إلى الطرف البعيد في نظام القفز الترددي دائماً.

والحل المعقول هو أن نضع نفس الأقفية (333) في كلا النظامين. وعندئذ يحتاج النظام الحلوي بسبع خلايا إلى سبع خلايا بينما يحتاج نظام القفز الترددي إلى خلية واحدة فقط. بالإضافة لذلك فإن إعادة الاستخدام في نظام القفز الترددي كما في الشكل 11-5 يؤدي إلى زيادة التداخل كما ذكر في الفصل 2-4-5.

	1A	2A	3A	4A	5A	6A	7A	1B	2B	3B	4B	5B	6B	7B	1C	2C	3C	4C	5C	6C	7C
1	2	3	4	5	6	7	8	9	10	11	12	13	14	15	16	17	18	19	20	21	
22	23	24	25	26	27	28	29	30	31	32	33	34	35	36	37	38	39	40	41	42	
43	44	45	46	47	48	49	50	51	52	53	54	55	56	57	58	59	60	61	62	63	
64	65	66	67	68	69	70	71	72	73	74	75	76	77	78	79	80	81	82	83	84	
85	86	87	88															103	104	105	
106	107	108	109															124	125	126	
127	128	129	130															145	146	147	
148	149	150	151															166	167	168	
169	170	171	172															187	188	189	
190	191	192	193															208	209	210	
211	212	213	214															225	230	231	
232	233	234	235															250	251	252	
253	254	255	256															271	272	273	
274	275	276	277															292	293	294	
295	296	297	298															313	314	315	
316	317	318	319															334	335	336	
337	338	339	340															355	356	357	
358	359	360	361															376	377	378	
379	380	381	382															397	398	399	
400	401	402	403															418	419	420	
421	422	423	424															439	440	441	
442	443	444	445															460	461	462	
463	464	465	466															481	482	483	
484	485	486	487															502	503	504	
505	506	507	508															523	524	525	
526	527	528	529															544	545	546	
547	548	549	550															565	566	567	
568	569	570	571															586	587	588	
589	590	591	592	593	594	595	596	597	598	599	600	601	602	603	604	605	606	607	608	609	
610	611	612	613	614	615	616	617	618	619	620	621	622	623	624	625	626	627	628	629	630	
631	632	633	634	635	636	637	638	639	640	641	642	643	644	645	646	647	648	649	650	651	
652	653	654	655	656	657	658	659	660	661	662	663	664	665	666							



الشكل 16-5 جدول ترتيب التردد

الترتيب الجديد للترددات (كامل الطيف)

الأرقام الغامقة تشير إلى 21 قناة مراقبة حسب الجدول أ و ب على التالي

New Frequency Management (Full Spectrum)																														
Block A																														
1A	2	3A	4A	5A	6A	7A	1B	2B	3B	4B	5B	6B	7B	1C	2C	3C	4C	5C	6C	7C	1D	2D	3D	4D	5D	6D	7D	1E	2E	
1	2	3	4	5	6	7	8	9	10	11	12	13	14	15	16	17	18	19	20	21	22	23	24	25	26	27	28	29	30	31
32	33	34	35	36	37	38	39	40	41	42	43	44	45	46	47	48	49	50	51	52	53	54	55	56	57	58	59	60	61	62
63	64	65	66	67	68	69	70	71	72	73	74	75	76	77	78	79	80	81	82	83	84	85	86	87	88	89	90	91	92	93
94	95	96	97	98	99	100	101	102	103	104	105	106	107	108	109	110	111	112	113	114	115	116	117	118	119	120	121	122	123	124
126	127	128	129	130	131	132	133	134	135	136	137	138	139	140	141	142	143	144	145	146	147	148	149	150	151	152	153	154	155	156
157	158	159	160	161	162	163	164	165	166	167	168	169	170	171	172	173	174	175	176	177	178	179	180	181	182	183	184	185	186	187
188	189	190	191	192	193	194	195	196	197	198	199	200	201	202	203	204	205	206	207	208	209	210	211	212	213	214	215	216	217	218
219	220	221	222	223	224	225	226	227	228	229	230	231	232	233	234	235	236	237	238	239	240	241	242	243	244	245	246	247	248	249
250	251	252	253	254	255	256	257	258	259	260	261	262	263	264	265	266	267	268	269	270	271	272	273	274	275	276	277	278	279	280
281	282	283	284	285	286	287	288	289	290	291	292	293	294	295	296	297	298	299	300	301	302	303	304	305	306	307	308	309	310	311
312	313	314	315	316	317	318	319	320	321	322	323	324	325	326	327	328	329	330	331	332	333	334	335	336	337	338	339	340	341	342
343	344	345	346	347	348	349	350	351	352	353	354	355	356	357	358	359	360	361	362	363	364	365	366	367	368	369	370	371	372	373
374	375	376	377	378	379	380	381	382	383	384	385	386	387	388	389	390	391	392	393	394	395	396	397	398	399	400	401	402	403	404
405	406	407	408	409	410	411	412	413	414	415	416	417	418	419	420	421	422	423	424	425	426	427	428	429	430	431	432	433	434	435
436	437	438	439	440	441	442	443	444	445	446	447	448	449	450	451	452	453	454	455	456	457	458	459	460	461	462	463	464	465	466
467	468	469	470	471	472	473	474	475	476	477	478	479	480	481	482	483	484	485	486	487	488	489	490	491	492	493	494	495	496	497
498	499	500	501	502	503	504	505	506	507	508	509	510	511	512	513	514	515	516	517	518	519	520	521	522	523	524	525	526	527	528
529	530	531	532	533	534	535	536	537	538	539	540	541	542	543	544	545	546	547	548	549	550	551	552	553	554	555	556	557	558	559
560	561	562	563	564	565	566	567	568	569	570	571	572	573	574	575	576	577	578	579	580	581	582	583	584	585	586	587	588	589	590
591	592	593	594	595	596	597	598	599	600	601	602	603	604	605	606	607	608	609	610	611	612	613	614	615	616	617	618	619	620	621
622	623	624	625	626	627	628	629	630	631	632	633	634	635	636	637	638	639	640	641	642	643	644	645	646	647	648	649	650	651	652
653	654	655	656	657	658	659	660	661	662	663	664	665	666	667	668	669	670	671	672	673	674	675	676	677	678	679	680	681	682	683
684	685	686	687	688	689	690	691	692	693	694	695	696	697	698	699	700	701	702	703	704	705	706	707	708	709	710	711	712	713	714
715	716	717	718	719	720	721	722	723	724	725	726	727	728	729	730	731	732	733	734	735	736	737	738	739	740	741	742	743	744	745
746	747	748	749	750	751	752	753	754	755	756	757	758	759	760	761	762	763	764	765	766	767	768	769	770	771	772	773	774	775	776
777	778	779	780	781	782	783	784	785	786	787	788	789	790	791	792	793	794	795	796	797	798	799	800	801	802	803	804	805	806	807
808	809	810	811	812	813	814	815	816	817	818	819	820	821	822	823	824	825	826	827	828	829	830	831	832	833	834	835	836	837	838
839	840	841	842	843	844	845	846	847	848	849	850	851	852	853	854	855	856	857	858	859	860	861	862	863	864	865	866	867	868	869
870	871	872	873	874	875	876	877	878	879	880	881	882	883	884	885	886	887	888	889	890	891	892	893	894	895	896	897	898	899	900
901	902	903	904	905	906	907	908	909	910	911	912	913	914	915	916	917	918	919	920	921	922	923	924	925	926	927	928	929	930	931
932	933	934	935	936	937	938	939	940	941	942	943	944	945	946	947	948	949	950	951	952	953	954	955	956	957	958	959	960	961	962
963	964	965	966	967	968	969	970	971	972	973	974	975	976	977	978	979	980	981	982	983	984	985	986	987	988	989	990	991	992	993
994	995	996	997	998	999	1000	1001	1002	1003	1004	1005	1006	1007	1008	1009	1010	1011	1012	1013	1014	1015	1016	1017	1018	1019	1020	1021	1022	1023	1024
1025	1026	1027	1028	1029	1030	1031	1032	1033	1034	1035	1036	1037	1038	1039	1040	1041	1042	1043	1044	1045	1046	1047	1048	1049	1050	1051	1052	1053	1054	1055
1056	1057	1058	1059	1060	1061	1062	1063	1064	1065	1066	1067	1068	1069	1070	1071	1072	1073	1074	1075	1076	1077	1078	1079	1080	1081	1082	1083	1084	1085	1086
1087	1088	1089	1090	1091	1092	1093	1094	1095	1096	1097	1098	1099	1100	1101	1102	1103	1104	1105	1106	1107	1108	1109	1110	1111	1112	1113	1114	1115	1116	1117
1118	1119	1120	1121	1122	1123	1124	1125	1126	1127	1128	1129	1130	1131	1132	1133	1134	1135	1136	1137	1138	1139	1140	1141	1142	1143	1144	1145	1146	1147	1148
1149	1150	1151	1152	1153	1154	1155	1156	1157	1158	1159	1160	1161	1162	1163	1164	1165	1166	1167	1168	1169	1170	1171	1172	1173	1174	1175	1176	1177	1178	1179
1180	1181	1182	1183	1184	1185	1186	1187	1188	1189	1190	1191	1192	1193	1194	1195	1196	1197	1198	1199	1200	1201	1202	1203	1204	1205	1206	1207	1208	1209	1210
1211	1212	1213	1214	1215	1216	1217	1218	1219	1220	1221	1222	1223	1224	1225	1226	1227	1228	1229	1230	1231	1232	1233	1234	1235	1236	1237	1238	1239	1240	1241
1242	1243	1244	1245	1246	1247	1248	1249	1250	1251	1252	1253	1254	1255	1256	1257	1258	1259	1260	1261	1262	1263	1264	1265	1266	1267	1268	1269	1270	1271	1272
1273	1274	1275	1276	1277	1278	1279	1280	1281	1282	1283	1284	1285	1286	1287	1288	1289	1290	1291	1292	1293	1294	1295	1296	1297	1298	1299	1300	1301	1302	1303
1304	1305	1306	1307	1308	1309	1310	1311	1312	1313	1314	1315	1316	1317	1318	1319	1320	1321	1322	1323	1324	1325	1326	1327	1328	1329	1330	1331	1332	1333	1334
1335	1336	1337	1338	1339	1340	1341	1342	1343	1344	1345	1346	1347	1348	1349	1350	1351	1352	1353	1354	1355	1356	1357	1358	1359	1360	1361	1362	1363	1364	1365
1366	1367	1368	1369	1370	1371	1372	1373	1374	1375	1376	1377	1378	1379	1380	1381	1382	1383	1384	1385	1386	1387	1388	1389	1390	1391	1392	1393	1394	1395	1396
1397	1398	1399	1400	1401	1402	1403	1404	1405	1406	1407	1408	1409	1410	1411	1412	1413	1414	1415	1416	1417	1418	1419	1420	1421	1422	1423	1424	1425	1426	1427
1428	1429	1430	1431	1432	1433	1434	1435	1436	1437	1438	1439	1440	1441	1442	1443	1444	1445	1446	1447	1448	1449	1450	1451	145						

New Frequency Management (Full Spectrum)																														
Block B																														
1A	2A	3A	4A	5A	6A	7A	1B	2B	3B	4B	5B	6B	7B	1C	2C	3C	4C	5C	6C	7C	1D	2D	3D	4D	5D	6D	7D	1E	2E	
334*	335	336	337	338	339	340	341	342	343	344	345	346	347	348	349	350	351	352	353	354	355	356	357	358	359	360	361	362	363	364
365	366	367	368	369	370	371	372	373	374	375	376	377	378	379	380	381	382	383	384	385	386	387	388	389	390	391	392	393	394	395
396	397	398	399	400	401	402	403	404	405	406	407	408	409	410	411	412	413	414	415	416	417	418	419	420	421	422	423	424	425	426
427	428	429	430	431	432	433	434	435	436	437	438	439	440	441	442	443	444	445	446	447	448	449	450	451	452	453	454	455	456	457
458	459	460	461	462	463	464	465	466	467	468	469	470	471	472	473	474	475	476	477	478	479	480	481	482	483	484	485	486	487	488
489	490	491	492	493	494	495	496	497	498	499	500	501	502	503	504	505	506	507	508	509	510	511	512	513	514	515	516	517	518	519
520	521	522	523	524	525	526	527	528	529	530	531	532	533	534	535	536	537	538	539	540	541	542	543	544	545	546	547	548	549	550
551	552	553	554	555	556	557	558	559	560	561	562	563	564	565	566	567	568	569	570	571	572	573	574	575	576	577	578	579	580	581
582	583	584	585	586	587	588	589	590	591	592	593	594	595	596	597	598	599	600	601	602	603	604	605	606	607	608	609	610	611	612
613	614	615	616	617	618	619	620	621	622	623	624	625	626	627	628	629	630	631	632	633	634	635	636	637	638	639	640	641	642	643
644	645	646	647	648	649	650	651	652	653	654	655	656	657	658	659	660	661	662	663	664	665	666	667	668	669	670	671	672	673	674
675	676	677	678	679	680	681	682	683	684	685	686	687	688	689	690	691	692	693	694	695	696	697	698	699	700	701	702	703	704	705
706	707	708	709	710	711	712	713	714	715	716	717	718	719	720	721	722	723	724	725	726	727	728	729	730	731	732	733	734	735	736
737	738	739	740	741	742	743	744	745	746	747	748	749	750	751	752	753	754	755	756	757	758	759	760	761	762	763	764	765	766	767
768	769	770	771	772	773	774	775	776	777	778	779	780	781	782	783	784	785	786	787	788	789	790	791	792	793	794	795	796	797	798

Bold face numbers indicate 21 control channels for Block A and Block B respectively

16-5-ب جدول ترتيب التردد لكامل الطيف

6-5 المردود الطيفي والخطط الخلوية :

يختلف المردود الطيفي عن مردود القناة. يُعرّف مردود القناة أنه أكبر عدد من الأقنية يمكن تأمينه على نطاق طيفي معين. يعرف المردود الطيفي أنه أكبر عدد من المكالمات يمكن تأمينه في منطقة معينة . يتعلق مردود القناة مباشرة بالمردود الطيفي في معظم الأنظمة. إلا أنه في الأنظمة الخلوية حيث يُعاد استخدام الأقنية مرات عديدة لا يكون المردود الطيفي مساوياً لمردود القناة ، ولهذا يكون المردود الطيفي وليس مردود القناة هو المعلمة التي يؤمل زيادتها في النظام الخلوي. إن تضيق عرض نطاق القناة أو زيادة عدد الأقنية ليس من الضروري أن يزيد المردود الطيفي. يُبنى المردود الطيفي في النظام الخلوي على عدد الأقنية في الخلية. يقدر عدد الأقنية في الأنظمة الخلوية التماثلية بـ 60 قناة تقريباً في الخلية الواحدة لعرض نطاق محدد بـ 25 م هـ بغض النظر عن عرض نطاق الأقنية الفردية التي يمكن أن تكون 30 أو 15 أو 5 ك هـ .

ثبت أن خطط تراكب التغطية والتنوع تعطي مردوداً طيفياً أفضل. نقدم في هذا الفصل خطتين جديديتين لتحسين المردود الطيفي بأكثر من 60 قناة في الخلية . هاتان الخطتان هما أنظمة عرض نطاق القناة المتعدد وأنظمة الانحراف بثلاث القنوات. كما نقتح أيضاً خطة لتكامل الأنظمة الأربعة :

تراكب التغطية ، التنوع ، عرض نطاق القناة المتعدد والانحراف بثلاث القنوات للوصول الى أعلى مردود طيفي.

6-5-1 أنظمة عرض نطاق القناة المتعدد :

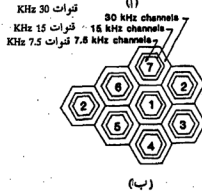
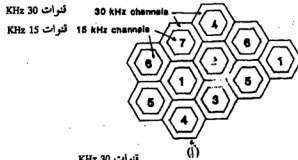
يمكن تنفيذ قيمتين أو ثلاث قيم مختلفة من عرض القناة لتحسين المردود الطيفي. يمكن أن يكون لكل خلية حلقتان أو ثلاث . تخصص الأقنية 30 ك هـ للحلقة الخارجية وتخصص القيم 15 أو 7.5 ك هـ للحلقتين الوسطى و/أو الداخلية.

تُحسب مساحة كل حلقة من نظام الحلقتين بحيث تكون مساحتا الحلقتين متساويتين. يمكن تنظيم مساحة كل حلقة من نظام الحلقات الثلاث بحيث تفي بشروط الاتصال المطلوبة .

ترتكز فكرة تحسين المردود الطيفي باستخدام أنظمة عرض نطاق القناة المتعدد على الحقيقة التي تفيد أنه للوصول الى نفس نوعية الصوت تحتاج أنظمة عرض نطاق القناة 30 ك هـ الى نسبة حامل/تداخل أقل مما تحتاجه أنظمة عرض نطاق القناة 15 ك هـ . لنفرض أن القدرة المرسلة من موقع الخلية تبقى ثابتة دائماً ، عندئذ يمكن لعرض نطاق قناة 30 ك هـ أن يخدم خلية أكبر ، أما عرض نطاق

قناة 15 ك هـ فيمكن أن يخدم خلية أصغر نسبياً . بما أن عرض نطاق قناة 30 ك هـ يحتاج الى نسبة أقل من الحامل/التداخل فإنه يمكن التسامح بسوية أعلى من التداخل وينتج بالتالي نسبة أقل من D/R (نسبة تباعد الخلية الواحدة الى نصف قطر الخلية) .

يتطلب عرض نطاق القناة 15 ك هـ الى نسبة أعلى نسبياً من الحامل/التداخل ولهذا يسمح لسوية تداخل أقل ، وبالتالي الى نسبة أعلى من D/R . وكلما زادت النسبة D/R ازداد عدد نماذج خلايا إعادة استخدام الورد . لهذا يحتاج نظام القناة 15 ك هـ الى عدد أكبر من الخلايا ذات القطر الأصغر لتغطية مساحة معينة بالمقارنة مع نظام القناة 30 ك هـ .



الشكل 5-17 أنظمة عرض نطاق القناة المتعدد

١ - نظام قناتين ، ب - نظام ثلاث أقنية ، ج - نظام مختلط بتركيب خطة قناتين مع خطة تراكب التغطية .

- متطلبات نسبة الحامل الى التداخل :

من التجارب الموضوعية لنوعية الصوت في الأنظمة الخلوية التماثلية الحالية

نجد أن متطلبات نسبة الحامل/التداخل (C/I) هي :

$$18 \leq \frac{C}{I} \text{ ديسيبل (عرض نطاق قناة 30 ك هـ)}$$

$$24 \leq \frac{C}{I} \text{ ديسيبل (عرض نطاق قناة 15 ك هـ)} \quad 1-6-5$$

$$30 \leq \frac{C}{I} \text{ ديسيبل (عرض نطاق قناة 7.5 ك هـ ضمن نصف قطر خلية 1 ميل)}$$

- مناطق تخصيص عرض نطاق الأتنية المختلفة :

لنفترض أن نصف قطر الخلية في نظام عرض نطاق قناة بمثلتين هو R_0 وأن

الحلقة الخارجية تخدم بأتنية 30 ك هـ والحلقة الداخلية تخدم بأتنية 15 ك هـ (شكل

7-5 أ). للحفاظ على متطلبات النسبة $\frac{C}{I}$ المذكورة في المعادلة 1-6-5 يمكن إيجاد حجم

الحلقة الداخلية (R_1) كما يلي :

$$-24 + 18 = 40 \log \left(\frac{R_1}{R_0} \right) \quad 2-6-5$$

في حالة ميل خسارة مسار مقداره 40 ديسيبل/العقد. من المعادلة 2-6-5

يمكن تحديد R_1 على الشكل :

$$R_1 = 0.70 R_0 \quad 3-6-5$$

يتم الحصول على مساحة الحلقة الداخلية A_1 كجزء من المساحة الكلية

للخلية A_0 كالآتي :

$$A_1 = \pi R_1^2 = 0.49 A_0 \quad 4-6-5$$

في أنظمة عرض نطاق ثلاث أتنية تشكل ثلاث حلقات في الخلية (الشكل

17-5 ب). تخدم الحلقة الخارجية بأتنية 30 ك هـ والوسطى بأتنية 15 ك هـ والداخلية

بأتنية 7.5 ك هـ .

يُعبّر عن العلاقة بين نصف قطر الخلية R_0 ونصف قطر الحلقة الداخلية R_2

على أساس متطلبات النسبة $\frac{C}{I}$ المبينة في المعادلة 1-6-5 على الشكل :

$$-30 + 18 = 40 \log \left(\frac{R_2}{R_0} \right) \quad 5-6-5$$

تُحل المعادلة 5-6-5 على الشكل :

$$R_2 = 0.5 R_0 \quad 6-6-5$$

وتكون مساحة الحلقة الداخلية :

$$A_2 = \pi R_2^2 = 0.25 A_0 \quad 7-6-5$$

توزيع الأتنية :

نفرض أنه في أنظمة عرض نطاق قناتين أن عدد الأتنية في كل حلقة مساوياً

تقريباً للآخر :

$$\frac{2}{3} \times \frac{12.5 \text{ MHz}}{30 \text{ kHz}} + \frac{1}{3} \times \frac{12.5 \text{ MHz}}{15 \text{ kHz}} = 277 + 277 \quad 8-6-5$$

عدد الأتنية الكلي = 555

بالاستناد الى نموذج إعادة الاستخدام ذي الخلايا السبع ($k=7$) فإن عدد

الأتنية في الحلقة في كل خلية هو :

39 قناة/خلية (أتنية 30 ك هـ في الحلقة الخارجية)

39 قناة/خلية (أتنية 15 ك هـ في الحلقة الداخلية)

في أنظمة عرض نطاق ثلاث أتنية تكون كثافة الاتصال في الحلقة الداخلية

أعلى منها في الحلقة الخارجية لذا يمكن استخدام هذا النظام . ويمكن التعبير عن

احدى طرق توزيع الأتنية بالشكل :

$$\frac{1}{3} \times \frac{12.5 \text{ MHz}}{30 \text{ kHz}} + \frac{1}{3} \times \frac{12.5 \text{ MHz}}{15 \text{ kHz}} + \frac{1}{3} \times \frac{12.5 \text{ MHz}}{7.5 \text{ kHz}} \quad 9-6-5$$

$$= 138 + 277 + 555$$

$$(30 \text{ kHz}) \quad (15 \text{ kHz}) \quad (7.5 \text{ kHz})$$

ويكون عدد الأقنية في الحلقة في كل خلية هو :

20 قناة/خلية (أقنية 30 ك هـ في الحلقة الخارجية)

39 قناة/خلية (أقنية 15 ك هـ في الحلقة الوسطى) 10-6-5

79 قناة/خلية (أقنية 7.5 ك هـ في الحلقة الداخلية)

النظام المختلط (تكامل خطة تراكب التغطية مع نظام عرض نطاق القناة

المتعدد) :

نحتاج في خطة تراكب التغطية ($k=3/k=7$) الى تخفيض القدرة في منطقة التراكب (الحلقة الداخلية) للحفاظ على النسبة $D1/R1$ مساوية لـ 4.6 (حيث $D1$ المسافة بين حلقتي القناة الواحدة في خليتين مختلفتين ، R_1 نصف قطر الحلقة الداخلية). ومع هذا تخفض النسبة $D1/R0$ الى الثلث ($R0$ نصف قطر الخلية). في نظام تراكب التغطية هذا يجب تخفيض قدرة الحلقة الداخلية بمقدار 6 ديسيبل (أو الى الربع) بالنسبة لقدرة الحلقة الخارجية. لهذا يصبح نموذج إعادة استخدام القناة ثلاثة ($k=3$) في الحلقة الداخلية وتبقى $k=7$ في الحلقة الخارجية.

يمكن إيجاد نصف قطر الحلقة الداخلية R_1 من الشرطين التاليين :

$$\frac{D_1}{R_1} = 4.6$$

$$\frac{D_1}{R_0} = 3$$

أو

$$K = \frac{(D_1/R_0)^2}{3} = 3 \quad \text{للحلقة الداخلية.}$$

ومنه

$$R_1 = 0.65 R_0$$

11-6-5

بمقارنة المعادلة 11-6-5 مع المعادلة 3-6-5 نرى أنّ المساحة التي يخدمها نظام

عرض نطاق قناتين أو نظام تراكب التغطية متماثلة تقريبا. تشجع هذه النتيجة

استخدام خطة تراكب التغطية على نظام عرض نطاق القناتين (انظر الشكل

17-5 ج).

من المعادلة 5-6-8 نرى أن عدد الأقفية في الخلية بالنسبة للحلقة الخارجية

يبقى نفسه :

$$5-6-12 \quad 277 \text{ قناة} / 7 \text{ خلايا} = 39 \text{ قناة/خلية}$$

تشير الأرقام 1-7 الى سبع مجموعات أقنية مختلفة مستخدمة في الحلقة

الخارجية كما هو مبين في الشكل 5-17 ج .

من المعادلة 5-6-8 نرى أن عدد الأقفية في الخلية للحلقة الداخلية هي :

$$5-6-13 \quad 277 \text{ قناة} / 3 \text{ خلايا} = 92 \text{ قناة/خلية}$$

تشير الأرقام 1-3 الى ثلاث مجموعات أقنية مختلفة مستخدمة في الحلقة

الداخلية كما هو مبين في الشكل 5-17 ج .

تقويم : في النظام الخلوي الحالي ($k=7$) يبلغ عدد الأقفية في الخلية 57 قناة. يستخدم

هذا الرقم لمقارنة هذا النظام مع الأنظمة الأخرى. بنيت حسابات السعة التوصيلية

على الافتراضات التالية :

1 - النطاق الكلي للتردد للأقفية باتجاهين = 25 م هـ

2 - احتمال عدم النفاذ = 1% - 10%

3 - زمن الربط (المخاطرة) = 100 ثانية

يقارن الشكل 5-18 السعة التوصيلية (مبنية على نموذج أرلنغ B) للخطط

الأربع التالية :

1 - الخطط الحاضرة $K=7$

2 - خطة عرض نطاق قناتين

3 - خطة عرض نطاق ثلاث أقنية

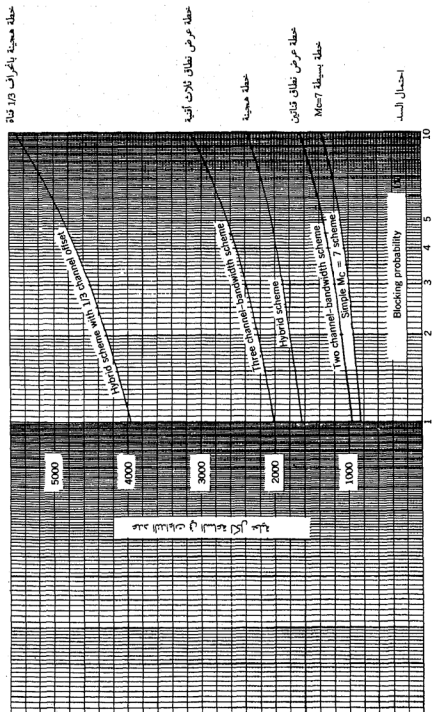
4 - نظام مختلط (عرض نطاق قناتين مع نظام تراكب التغطية).

يُرى النظام المختلط تحسناً ملحوظاً في الطيف بين جميع الأنظمة ماعدا خطة

عرض نطاق الثلاث أقنية. تحتاج خطة عرض نطاق الثلاث أقنية الى استخدام صيغتي

ومعدلي تشوير مختلفين وهذا مايعقد النظام. وبعد كل ذلك فإن خطة عرض نطاق

الثلاث أقنية هي خطة مثالية من بعيد أو قريب.



الشكل 18-5 مقارنة مردودات الطيف مع الخطط المختلفة

Set 1- No offset

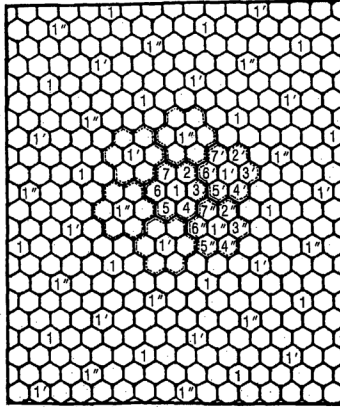
1	2	3	4
30 kHz	30 kHz	30 kHz	30 kHz

Set 2-10 kHz offset

1'	2'	3'	4'
----	----	----	----

Set 3-20 kHz offset

1''	2''	3''	4''
-----	-----	-----	-----



الشكل 19-5 نظام الانحراف بثلاث القناة ($k=7$)

2-6.5 خطة الانحراف بثلاث القناة :

عند حرف كل قناة بمقدار ثلث عرض نطاقها يمكن تخصيص الأقنية المحروفة الى الخلايا ذات القناة الواحدة المتجاورة كما هو مبين في الشكل 19-5. نتيجة لذلك، تكون الخلايا ذات القناة الواحدة المحيطة بالخلية المركزية ذات أقنية محروفة مختلفة. يقل تداعل القناة الواحدة في هذه الخطة لسببين :

- 1 - تقل طاقة تداعل القناة الواحدة في كل قناة.
- 2 - تقل مفهومية اللغظ من الخلايا ذات القناة الواحدة بشكل كبير.

يمكن استخدام خطة الانحراف بثلاث القناة في النظام الحالي ($k=7$) ويمكنها أكثر من ذلك تخفيض العدد k الى أقل من سبعة. تعرض الطريقة التالية كيفية تخفيض العدد k من 7 الى 4 باستخدام هذه الخطوة.

تقدير الفاصل بين الخلايا ذات القناة الواحدة :

العلاقة العامة لاستنتاج $k=7$ في النظام هي :

$$\frac{C}{I} = \frac{C}{\sum_{i=1}^3 (I'_i + I''_i)} \geq 18 \text{ dB} \quad 14-6-5$$

حيث I'_i و I''_i هما حدا التداخل من القناتين المنحرفتين الآخرين على التوالي. أما العلاقة بين تداخل القناة المنحرفة I'_i و I''_i وتداخل القناة الواحدة I_i فهي :

$$I'_i = \alpha'_i I_i \quad 15-6-5$$

$$I''_i = \alpha''_i I_i$$

حيث α'_i , α''_i هما معاملا تحسين قناة الانحراف في تخفيض التداخل.

بتعويض المعادلة 15-6-5 في المعادلة 14-6-5 نحصل على :

$$\frac{C}{I} = \frac{C}{\sum_{i=1}^3 (\alpha'_i + \alpha''_i) I_i} \geq 18 \text{ dB} \quad 16-6-5$$

من الشكل 19-5 نجد أن التداخل يأتي من مجموعتي أقتية منحرفة :

(تداخل من أقتية منحرفة بمقدار 20 ك هـ عن الأقتية المرغوبة) $I'_i = 0.333 I_i$

(تداخل من أقتية منحرفة بمقدار 10 ك هـ عن الأقتية المرغوبة) $I''_i = 0.666 I_i$

ومنه يمكن الاستنتاج من المعادلة 16-6-5 :

$$\frac{C}{3(0.333 + 0.666)I_i} \geq 18 \text{ dB} \quad 17-6-5$$

أو

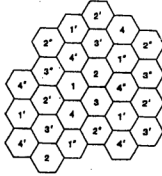
$$\frac{C}{3I_i} \geq 63$$

ومنه

$$\left(\frac{D}{R}\right)^4 = 189$$

أو

$$D = 3.71R \quad 18-6-5$$



الشكل 20-5 نظام الانحراف بثلاث القناة (k=4)

التشكيل المبني على خطة الانحراف بثلاث القناة :

$$\frac{D}{R} = \sqrt{3K} \quad \text{بما أن}$$

فإن

$$K = 4.58 \quad 19-6-5$$

وهكذا فإن نموذج إعادة استخدام القناة قد خفض من $K = 7$ الى $K = 4$.
تُنفذ ثلاثة قطاعات في كل خلية بحيث يمكن استخدام $K = 4$ يدون احداثات
تداخل ملحوظ. يبين الشكل 20-5 تخفيض الاقنية.

3-6-5 تطبيق على نظام مختلط :

يمكن تكامل الخططين الرئيسيتين اللتين قدمتا في هذا الفصل في نظام مختلط
مولف من ثلاث خطط : عرض نطاق قناتين ، تراكب التغطية والانحراف بثلاث القناة
. يظهر الأداء كالتالي :

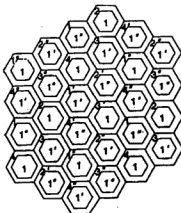
يستخدم في الحلقة الخارجية نفس عدد الاقنية 30 ك هـ مثلما بين في الفصل
3-6-5. وبما أن $k = 4$ التي الحصول عليها باستخدام خطة الانحراف بثلاث القناة
فإن عدد الاقنية في الخلية هو :

$$68 = \frac{277 \text{ قناة (30 ك هـ)}}{4 \text{ خلايا}} \text{ قناة/خلية}$$

تستخدم في الحلقة الداخلية خطي تراكب التغطية والانحراف بثلاث القناة ويكون عدد

الأقنية في الخلية هو :

$$137 \text{ قناة/خلية} = \frac{277 \text{ قناة (15 ك هـ)}}{2 \text{ خلايا}}$$



الشكل 21-5 نظام مختلط يضم عخطط عرض نطاق قناتين مع

تراكب تغطية وانحراف بثلاث القناة.

يظهر في الشكل 21-5 زيادة المردود الطيفي باستخدام النظام المختلط ،

وعرضت هذه الزيادة في الشكل 18-5 . عند تنفيذ الاستقبال بتنوع الفروع المتعددة

عند موقع الخلية يمكن تحسين المردود الطيفي أكثر.

REFERENCES

1. Ehrlich, N., R. E. Fisher, and T. K. Wingard, "Cell Hardware," *Bell Sys. Tech. J.* 58 (Jan. 1979): 153-200.
2. Lee, W. C. Y., "Elements of Mobile Cellular System," *IEEE Trans. Veh. Tech.* (May 1986):
3. Spilker, J. J., Jr., *Digital Communicating by Satellite* (Prentice Hall, 1977): 214.
4. Ibid., 226.
5. Ibid., 230, 240.
6. Cooper, G. R., and R. W. Nettleton, "A Spread Spectrum Technique for High Capacity Mobile Communications," *IEEE Trans. Veh. Tech.* VT-27 (Nov. 1978): 264-275.
7. Goodman, D. J., P. S. Henry, and V. K. Prabhu, "Frequency Hopped Multilevel FSK for Mobile Ratio," *Bell Sys. Tech. J.* (Sept. 1980): 1257-1275.
8. Lee, W. C. Y., "Mobile Cellular System."
9. MacDonald, V. H., "The Cellular Concept," *Bell Sys. Tech. J.* 58 (Jan. 1979): 15-42.
10. Lee, W. C. Y., "New Cellular Schemes for Spectral Efficiency," *IEEE Trans. Veh. Tech.* VT-36 (Nov. 1987): 188-192.
11. Lee, W. C. Y., "Spectrum Efficiency: A Comparison between FM and SSB in Cellular Mobile Systems," presented to the FCC (Washington, DC, Aug. 2, 1985; a condensed version appeared in *Telephony*, pp. 82-92, Nov. 11, 1985).
12. Swerup, J., and J. Uddenfeldt, "Digital cellular," *Personal Commun. Tech.* (May 1986): 6-12.
13. Lee, W. C. Y., "Narrowbanding in Cellular Mobile Systems," *Telephony*, pp. 44-46, (Dec. 1986).
14. J. F. Whitehead, "Cellular Spectrum Efficiency via Reuse Planning," *35th IEEE Vehicular Technology Conference Record* (Boulder, CO, 1985): 16-20.
15. Yeh, Y. S., and D. O. Reudink, "Efficiency Spectrum Utilization for Mobile Radio System Using Space Diversity," *IEEE Trans. Commun.* COM-30 (Mar. 1982): 447-455.

6- معلومات التصميم في محطة القاعدة

- 1-6 مواقع الهوائيات .
- 2-6 المبانة بين الهوائيات وارتفاعها .
- 3-6 تشكيلات الهوائيات .
- 4-6 بيئة الضجيج .
- 5-6 تحويلات القدرة وشدة الحقل .

1-6 مواقع الهوائيات

من الصعب انتقاء موقع أمثل لهوائي محطة القاعدة . أولاً لا تبدي تغطية شدة الإشارة على مسافة 13 كم (8 أميال) مثلاً من محطة القاعدة نمطاً منتظماً . ينتج هذا النمط غير المنتظم عن عدم انتظام هيئة التضاريس . والأمر الآخر المهم هو تجنب التداخل . لهذا يجب أن يأخذ موقع هوائي محطة القاعدة بعين الاعتبار تغطيته وتداخله مع المحطات الأخرى . في النظام الواسع يجب أن لا يؤخذ بعين الاعتبار موقع محطة قاعدة واحدة فقط بل جميع مواقع محطات القاعدة الفعالة في نفس الوقت . وذلك لأن جميع مواقع محطات القاعدة المنتقاة لتفي بهذين المطلبين متعلقة مع بعضها بشدة . إذا حركت إحدى محطات القاعدة إلى موقع آخر فإن مواقع محطات القاعدة الأخرى تتأثر .

توجد عدة خطوات لانتقاء موقع محطة قاعدة :

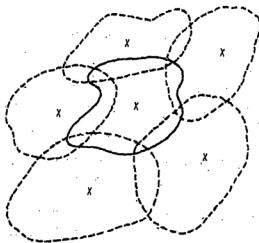
1- أولاً القرار عن سوية الاستقبال عند حد الخلية . ويبنى هذا على أساس خصائص المرسل / المستقبل المتنقل والأداء المطلوب . لنفترض أن سوية (-100 dBm) هي المطلوبة عند حد تغطية الخلية . عندئذ يمكن تحديد حجم الخلية وفق القدرة المعطاة وارتفاع الهوائي وريش الهوائي وشكل تضاريس المنطقة . مثال ذلك باستخدام الشروط المعطاة في القسم 2-3-6 لمنطقة ضواحي يكون نصف قطر الخلية 16 كم (10 ميل) لسوية استقبال (-100dBm) .

2- انتق موقعاً حيث تتوفر الأرض عادة كانتقاء أولي لمحطة القاعدة .

3- اتبع نموذج التنبؤ عن خسارة المسار الجديد للتنبؤ من نقطة إلى نقطة . ترسم اكفة تساوي الشدة على المخطط بالاستناد إلى التعليقات المبينة في الفصل 4-2 .

4- اختر مواقع أخرى وارسم اكفة تساوي الشدة لها لسوية (-100 dBm) يجب أن يكون لأكفة تساوي الشدة لجميع المواقع نفس الأجزاء المترابطة تقريباً كما هو مبين في الشكل 1-6 أ .

5- تجنب حالة اكفة تساوي الشدة المبينة في الشكل 1-6 ب .



تصميم مثالي (A)



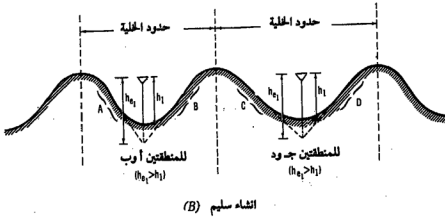
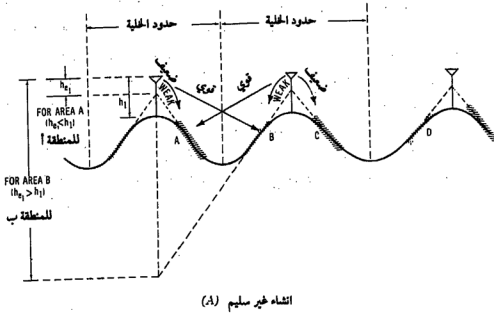
تصميم غير مرغوب (B)

الشكل 1-6 تصميم موقع الخلية .

- بعض الارشادات لانتقاء موقع هي :
- 1- لا تنتقي بقعة مرتفعة (انظر الشكل 2-6 أ)، وذلك :
 (أ) لتجنب التداخل مع الخلايا الأخرى
 (ب) لتجنب اضعاف شدة الإشارة في خليتها .
 - 2- الحل : حاول انتقاء بقعة منخفضة ولكن زد ارتفاع هوائي محطة القاعدة (انظر الشكل 2-6 ب) .

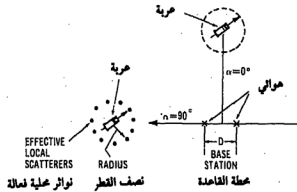
2-6 مبادئ الهوائيات وارتفاعها

في بيئة الراديو المتنقل الحقيقية يكون خفوت المسارات المتعددة وخسارة المسار المتزايدة هما المؤثران الرئيسيان اللذان يجعلان اتصالات الراديو المتنقل صعبة جداً. في محطة القاعدة تستخدم أنظمة التنوع لتقليل الخفوت وترفع الهوائيات لزيادة سوية



الشكل 2-6 قاعدة إنشاء هوائيات محطة القاعدة في منطقة تلال

استقبال الاشارة . في الفصل 2-4-3 توجد أنظمة تنوع كثيرة بإمكانها تقليل الخفوت . ومن بينها التنوع الفراغي وله ميزة عظمى على الأنظمة الأخرى . لا يستخدم التنوع الفراغي طيفاً ترددياً أكبر من مجرد عرض نطاق القناة . إضافة لذلك إذا تضمن التنوع فرعتين فإن كلاً من شدتي الاشارتين المستقبلتين أعلى بمقدار 3 ديسيبل من اشارة التنوع الاستقطابي أو الترددي . إلا أن سيئة استخدام نظام التنوع الفراغي هي حاجته إلى فاصل فراغي كاف . يتحدد الفاصل الفراغي من معامل الارتباط لشاريتين خافتتين استقبلتا بهوائي استقبال محطة القاعدة . يجب أن تأتي معاملات الارتباط من غلافي خفوت مختلفين . كلما كان الفاصل أوسع انخفض معامل الارتباط ، أي قل تشابه تغيرات الاشارتين الخافتتين . عند ضم اشارتين خافتتين بمعامل ارتباط منخفض تقل التأثيرات الضارة للخفوت . يبين الشكل 3-6 آلية انتقال فاصل محطة القاعدة . يبلغ نصف قطر النثر الفعال حول الوحدة المتنقلة المبيتة في الشكل 3-6 حوالي (100λ) مثلما ذكر في الفصل 7-4 . تصل الأمواج المنتشرة إلى هوائي محطة القاعدة من منطقة النثر الفعال . تتشكل منطقة النثر الفعال حيثما تكون الوحدة المتنقلة .



الشكل 3-6 توجيه الهوائي في محطة القاعدة

1-2-6 الاعتماد على توجيه الهوائي

تستقبل الأمواج المرسلة من وحدة متنقلة على بعد عدة أميال وبزاوية α (كما هو مبين في الشكل 3-6) هوائي محطة القاعدة بعد انتشارها خلال نواثر مختلفة في الوسط. يعتمد الفرق بين معاملات الارتباط لشارتين خافتين على الفاصل بين الهوائين واتجاه الزاوية α . يمكن ان نستنتج بالحدس المنطقي انه بالامكان الحصول، في حالة الجانب المعترض، على معامل ارتباط اخفض منه في الحالة المباشرة بفواصل هوائي معين ذلك لأن الاشارتين الخافتتين المستقبليتين تميلان للتداخل في الحالة المباشرة. تصل الاشارات الخافتة المستقبلية بهوائي محطة القاعدة في الحالة المباشرة إلى الهوائي الأول من نفس مسار الانتشار، والسبب الوحيد في خفض عملي ارتباط هاتين الاشارتين اللتين تم الحصول عليهما من هوائي محطة القاعدة هو أن الاشارة تنتشر مسافة اضافية لتصل إلى الهوائي الثاني نتيجة للفواصل.

2-2-6 الاعتماد على ارتفاع/ فاصل الهوائي

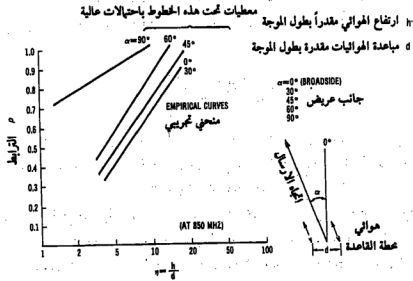
يتحدد فاصل الهوائي المطلوب من بيانات معامل الارتباط. يمكن الحصول على معاملات الارتباط لشارتين خافتتين بتجريب ارتفاعات مختلفة للهوائي وفواصل هوائي مختلفة. تقترح معلمة جديدة η وهي على الشكل التالي:

$$\eta = \frac{\text{antenna height}}{\text{antenna separation}} = \frac{h}{d} \quad 1-2-6$$

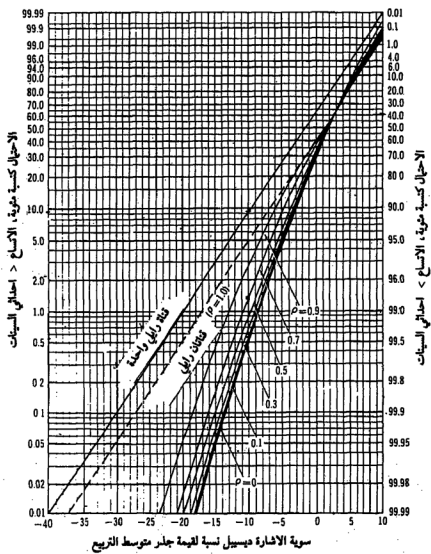
يبين الشكل 4-6 رسم معاملات الارتباط التجريبية في منطقة ضواحي مع المعلمة الجديدة η عند التردد 850 م هـ ولزوايا توجيه مختلفة تقع جميع البيانات المقيسة تحت منحنى تجريبي مع احتمال عال لكل حالة من زوايا التوجيه. لكل قيمة من قيم η تكون قيم معامل الارتباط دائماً أصغر في حالة الجانب المعترض ($\alpha = 0^\circ$) منها في باقي الحالات. وتكون أعلى قيم معامل الارتباط في الحالة المباشرة ($\alpha = 90^\circ$). بتخفيض معامل الارتباط ρ تنخفض قيمة η كما هو مبين في (الشكل 4-6). تكون معاملات الارتباط التجريبية في منطقة المدن بالنسبة للمعلمة η أقل بكثير من تلك

في منطقة الضواحي ، وذلك لكثرة تواجد النواثر على طول المسار بين الوحدة المتنقلة ومحطة القاعدة في منطقة المدن . تميل معاملات الارتباط لشاريتين مستقيمتين بهوائي محطة قاعدة في منطقة المدن إلى الانخفاض . يمكن الوصول إلى تخفيض خسوف الإشارة في بيئة خسوف رايلي باستخدام أنظمة التنوع . إن معامل ارتباط حتى قيمة 0,7 بين فرعتي تنوع النسبة العظمى يؤدي إلى ربح كبير في تخفيض خسوف الإشارة . يبين الشكل 5-6 أداء $\rho = 0.7$ بالمقارنة مع قيم أخرى لـ ρ : النسبة المثوية المبينة في الشكل 5-6 تعني النسبة المثوية من الإشارة تحت سويتها المقابلة بالديسبيل . سوف تظهر بعض أرقام النسب المثوية في هذا الفصل . عند السوية - 10 ديسبيل بالنسبة لقيمة جذر متوسط التربيع يقل الخسوف من 9.5% عند $\rho = 1.0$ أي في حالة عدم وجود تنوع إلى 1.3% عند $\rho = 0.7$ ثم إلى 0.5% عند $\rho = 0$. تشجع هذه الملاحظة على استخدام $\rho = 0.7$. بما أن التحسن الكبير في الأداء يظهر من $\rho = 1.0$ إلى $\rho = 0.7$ فإن تحسناً طفيفاً نسبياً يظهر من $\rho = 0.7$ إلى $\rho = 0$ لهذا تم انتقاء $\rho = 0.7$ لجدوى كليتها في تحقيق مبادعة فيزيائية للهوائي وهذا مبين في المثال التالي .

تعطى $\rho = 0.7$ عند $\eta = 11$ ، وتعطى $\rho = 0.125$ عند $\eta = 2$ لحالة الجانب المعترض . إذا كان ارتفاع الهوائي 30 م (100 قدم) فوجود قيم مختلفة من η يمكن تحديد مبادعة الهوائي كما يلي :



الشكل 4-6 الارتباط مقابل η هوائيين باتجاهين مختلفين



$$d = \frac{h}{\eta} = \frac{100 \text{ ft}}{11} = 9 \text{ ft} \quad (\rho = 0.7)$$

$$= \frac{100 \text{ ft}}{2} = 50 \text{ ft} \quad (\rho = 0.125)$$

يشير المثال السابق إلى مباعدة هوائي مقدارها (9 قدم) من أجل $\rho = 0.7$ و 15 متر (50 قدم) من أجل $\rho = 0.125$. لهذا فإن تخفيض η يجعل مباعدة الهوائي d أكبر. من الشكل 5-6 نجد أن نسبة الإشارة تحت 10 ديسيبل هي 1,3% عند $\rho = 0.7$ وحوالي 0,52% عند $\rho = 0.2$. يجمع المعلومات المشاهدة من الشكل 4-6 والشكل 5-6 نجد أنه عند ارتفاع الهوائي 30 م (100 قدم) تكون 1,3% من الإشارة تحت سوية 10 ديسيبل إذا كانت مباعدة الهوائي 9 أقدام و0,52% من الإشارة الكلية تحت سوية 10 ديسيبل إذا كانت مباعدة الهوائي 50 قدماً. جلي انه عند زيادة مباعدة الهوائي من 9 قدم إلى 50 قدم يبدل جهد كبير والتحسن غير مميز. لهذا يقترح الأخذ بمباعدة قدرها 9 قدم عند ارتفاع هوائي 100 قدم. يمكن تحديد مباعدة الهوائي أيضاً لارتفاعات هوائي مختلفة مع بقاء نفس القيمة لـ η

$$d = \frac{h}{\eta} = \frac{150 \text{ ft}}{11} = 13.6 \text{ ft} \quad (\text{for } h_1 = 150 \text{ ft})$$

$$= \frac{100 \text{ ft}}{11} = 9 \text{ ft} \quad (\text{for } h_1 = 100 \text{ ft})$$

يشير المثال السابق إلى أنه كلما ازداد ارتفاع الهوائي توسع الفاصل. يكون ارتفاع الهوائي h المستخدم في المعادلة 1-2-6 عادة هو الارتفاع الفعال للهوائي، وهذا يعني بالرغم من أن ارتفاع الهوائي الحقيقي هو 30 م (100 قدم) فإن الارتفاع الفعال الآتي للهوائي يمكن أن يكون أطول أو أقصر من الطول الحقيقي وفقاً لأكفة تساوي التضاريس بين محطة القاعدة والوحدة المتنقلة في الزمن الحقيقي. وضع الارتفاع الفعال الآتي للهوائي في الفصل 4-2.

من أجل ارتفاع حقيقي للهوائي مقداره 30 م (100 قدم) كان الفاصل المطلوب بين هوائي استقبال لحالة الجانب المعترض هو 3 م (9 قدم) على أساس $\eta = 11$. بما أن درجة تقليل الخسوف باستخدام التنوع تعتمد على الارتفاع الفعال للهوائيين

والفاصل بينهما وليس على الارتفاع الحقيقي لهما فقد وجد أنه عندما يكون الارتفاع الفعال للهوائي منخفضاً وليكن 15 م (50 قدم) والفاصل يبقى نفسه 3 م (9 قدم) فإن $\eta = 5.5$ تكافئ معامل الارتباط ρ ويتبين من منحنى الشكل 4-6 أن $\rho = 0.4$ ، وكلما صغر معامل الارتباط كلما تحسن أداء التنوع. في الحقيقة عندما ينخفض الارتفاع الفعال للهوائي تنخفض سوية إشارة الاستقبال، مثال ذلك يمكن إيجاد انخفاض سوية الاستقبال لارتفاع فعال للهوائي 15 م (50 قدم) بالمقارنة مع الارتفاع الحقيقي للهوائي 30 م (100 قدم) من المعادلة 2-21 على الشكل:

$$\text{رياح ارتفاع الهوائي} = 20 \text{ لغ } 10 = 50/100 - 6 \text{ ديسيبل (خسارة).}$$

في هذه الحالة تنخفض الإشارة بمقدار 6 ديسيبل ولكن فائدة التنوع تتحسن عندما تتناقص p من 7، إلى 4. (انظر الشكل 5-6). من ناحية أخرى إذا ازداد الارتفاع الفعال للهوائي إلى 60 م (200 قدم) عندئذ يتبع رياح ارتفاع هوائي مقداره:

$$\text{رياح ارتفاع الهوائي} = 20 \text{ لغ } 10 = 100/200 - 6 \text{ ديسيبل (رياح).}$$

في هذه الحالة تصبح قيمة η

$$\eta = \frac{200}{9} = 22$$

يمكن الحصول على معامل الارتباط p لقيمة $\eta = 22$ من الشكل (4-6) وهي $\rho = 0.9$ والتي تقلل تحسن التنوع.

لهذا عندما يزداد الارتفاع الفعال للهوائي يزداد رياح ارتفاع الهوائي ويزداد معه معامل الارتباط، أي تقل فائدة التنوع، وبهذا فإن الارتفاع الفعال للهوائي وفائدة التنوع الفراغي يساعدان أحدهما الآخر في الحقيقة.

في الحالة المباشرة ($\alpha = 90^\circ$) تكون قيمة $\eta = 1$ لمعامل ارتباط 0.7 (انظر الشكل 4-6) وهذا يعني أن الفاصل المطلوب بين هوائي الاستقبال هونفس ارتفاع الهوائي فإذا كان ارتفاع الهوائي 30 م (100 قدم) فإن الفاصل هو 100 قدم أيضاً. في الحقيقة يستحيل تحقيق فاصل 100 قدم بين هوائي استقبال بارتفاع 100 قدم. سيشرح الفصل 3-6 تشكيلات الهوائيات عملياً.

2-6-3 الاعتماد على التردد

عند تصميم وحساب مباعدة الهوائيات من أجل التنوع الفراغي في بيئة الراديو تستخدم نفس المنحنيات التجريبية المستخدمة للتردد 850 م هـ والمبينة في الشكل (4-6) لإيجاد فاصل الهوائي لترددات أخرى.

$$d' = d \left(\frac{850}{f'} \right) \quad 2-2-6$$

حيث f' التردد بالمegahertz. هذه العلاقة صحيحة من أجل $f \geq 30$ م هـ. إذا كانت f' هي 85 م هـ فإن مباعدة الهوائي المطلوبة d' تبلغ 10 مرات أكبر من مباعدة الهوائي المطلوبة d عند تردد 850 م هـ. فإذا كانت d هي 3 م (9 قدم) فإن d' تبلغ 30 م (90 قدم) وهي غير عملية كما هو واضح. لهذا فإن التنوع الفراغي لا ينصح به عند الترددات المنخفضة وخاصة عند محطة القاعدة لأن الفاصل الفيزيائي بين الهوائيين يصبح كبيراً بصورة غير عملية. عند المستقبل المتنقل يكون فاصل الهوائي المطلوب حوالي نصف طول الموجة وسيشرح ذلك في الفصل 7.

2-6-3 تشكيلات الهوائيات

تفصل هوائيات الإرسال والاستقبال فيزيائياً عن بعضها لتأمين عزل اضافي، بالرغم من أن نطاق الإرسال ونطاق الاستقبال بعيدان جداً عن بعضهما. وسوف يركز هذا الفصل على الهوائي الموجه وتشكيلة الهوائي المائل وتشكيلة التنوع.

2-6-1 الهوائيات الموجهة

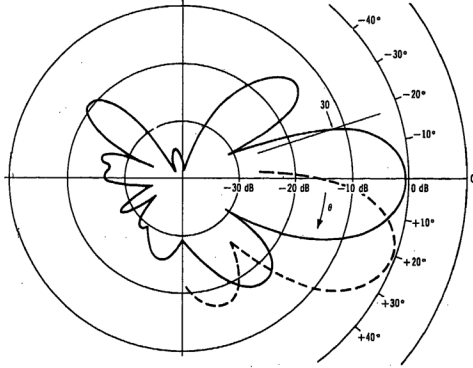
بالاضافة إلى استخدام نطاق العزل الترددي والفاصل الفراغي الفيزيائي لتخفيض تداخل الإشارة يمكن استخدام الهوائي الموجه لحذف التلوث الاشعاعي غير الضروري من مناطق معينة. في النظام الخلوي تستخدم الخلايا المجزأة المبينة في الشكل 16-5 لتخفيض تداخل القناة الواحدة. يمكن أن تتشكل كل خلية مجزأة

باستخدام ثلاثة هوائيات موجهة في موقع كل خلية، يمكن أن يخفض تداخل القناة الواحدة بأكثر من النصف لأن هذا التداخل يأتي من الخلايا الخلفية فقط وليس من الخلايا الأمامية. في معظم الحالات تستخدم الهوائيات غير الموجهة. يجب أن تكون تغطية شدة الإشارة من هوائي غير موجه دائرية الشكل منتظمة إذا كانت الأرض منبسطة تماماً. إلا أنه في الحقيقة يصبح شكل التغطية دائماً دائرة مشوهة لأن الأرض ليست مستوية. في منطقة التلال يمكن أن تكون تغطية هوائي غير موجه على شكل يشبه شكل نجمة بحر غير منتظم. يمكن أن تكون القدرة المرسلة في بعض الاتجاهات مكثفة بحيث تسبب تداخلاً شديداً. عندئذ يمكن استخدام الهوائي الموجه لحذف القدرة المرسلة في بعض الاتجاهات وزيادتها في اتجاهات أخرى. في أنظمة الخلايا ذات الهوائيات غير الموجهة وبالرغم من استخدام هوائيات غير موجهة في معظم الأحيان (هوائي واحد لكل موقع خلية) فإنه يمكن استخدام هوائيات موجهة في خلايا معينة لضبط شكل التغطية لهذه الخلايا.

2-3-6 تشكيلة الهوائي المائل

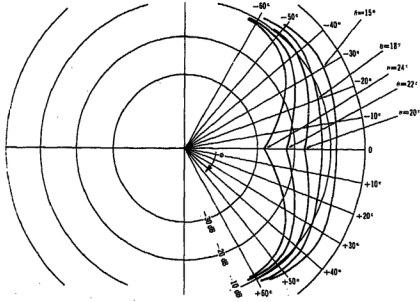
لكي تقع الإشارة في منطقة تغطية الخلية الخاصة بها ويقل تداخلها في الخلايا الأخرى ذات القناة الواحدة من المفيد إمالة نمط حزمة اشعاع الهوائي الموجه إلى أسفل بزاوية معينة. يبين الشكل 6-6 هوائياً نموذجياً ذا نمط اشعاع شاقولي. عندما يميل نمط الاشعاع إلى أسفل تضحل شدة الحقل المستقبل بوحدة متنقلة بعيدة. عندما يميل نمط الاشعاع الشاقولي للهوائي بزاوية معينة تتشكل سنة (ثلمة) (Notch) في مركز نمط الاشعاع الأفقي، يبين الشكل 7-6 نمط الاشعاع الأفقي للهوائي. تصبح الثلمة أكبر كلما ازدادت زاوية الميل. يمكن استخدام هذه الثلمة لتخفيض التداخل بفعالية في خلايا القناة الواحدة كما هو مبين في الشكل 8-6

تحسن نسبة متوسط الإشارة إلى التداخل في منطقة خلية تداخل تم التداخل عليها بهوائي خلية خدمة تم تحسينه بإمالة نمط ريش الهوائي إلى أسفل بمقدار معلوم تقلل خسارة محدودة في ريش الهوائي في بعض اجزاء خلية الخدمة مقابل تحقيق زيادة نسبة متوسط الإشارة إلى التداخل في منطقة التداخل للخلية. واكثر من هذا يميل

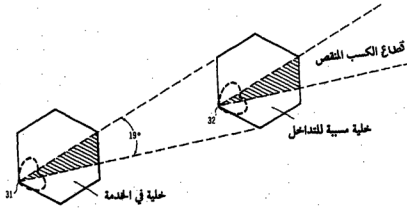


الشكل 6-6 نمط شاقولي نموذجي لهوائي موجة

نمط ربح الهوائي الموجه إلى الأسفل بمقدار كاف لتشكل ثلثة في النمط الأفقي . يتميز مثل هذه الثلثة بقطاع ذي شدة حقل مخفضة كما هو مبين في الشكل 6-8 . يمتاز هذا القطاع خلية تداخل القناة الواحدة القريبة مخفضاً الاستقبال من تلك الخلية ومخفضاً أيضاً إرسال التداخل من خلية الخدمة لتلك الخلية ذات القناة الواحدة . سوف تزداد إذا أمالة الأنماط الاشعاعية للهوائيات في مواقع الخلايا الأخرى إلى الأسفل وهذا يعني أن درجة امالة النمط الاشعاعي للهوائي في كل خلية يجب أن ينتقى بشكل خاص لزيادة تخفيض تداخل القناة الواحدة في النظام بغض النظر عن استخدامه كهوائي موجة لوحده . يجب توخي الحذر فيما إذا كان الشعاع الشاقولي للشكل 6-6 ضيقاً جداً فإن نظام الامالة يمكن أن لا يعمل .



الشكل 7-6 اثر التلثة على النمط الأفقي المبين بزوايا ميل كبيرة



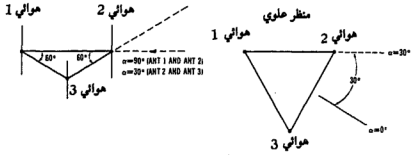
الشكل 8-6 تخفيض تداخل القناة الواحدة بخلق ثلثة في النمط

3-3-6 تشكيلة هوائيات التنوع

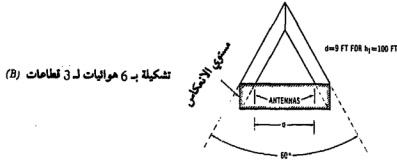
تعد تشكيلة هوائيات التنوع مهمة جداً في تصميم النظام . وكما ذكر في الفصل 2-6 لتصل إلى نفس الدرجة من فائدة التنوع تكون متطلبات الفاصل من أجل $\alpha = 0^\circ$ أقل بكثير مما هي من أجل $\alpha = 90^\circ$ إلا أن الوحدة المتنقلة تسير حول محطة القاعدة بدون تحديد لأي اتجاه (α) ، أي $0^\circ \leq \alpha \leq 90^\circ$ عند $\alpha = 90^\circ$ يكون الفاصل المطلوب مساوياً لارتفاع الهوائي من أجل معامل ارتباط 0.7 لذلك يقترح تشكيلة مثلث من ثلاثة هوائيات غير موجهة كما في الشكل 9-6 أ للتغلب على صعوبة $\alpha = 90^\circ$. عندئذ يستطيع المضام أن يتتقي دوماً اشارتين من ثلاث اشارات مستقبلية للتنوع أو أن يشكل تنوعاً بثلاث فرعات . وبهذا الترتيب لا تحدث الحالة $\alpha = 90^\circ$ مطلقاً . والحالة الأسوأ عندما تكون $\alpha = 60^\circ$. يبين الشكل 4-6 أن منحني $\alpha = 60^\circ$ أقرب كثيراً لحالة $\alpha = 0^\circ$ منه لحالة $\alpha = 90^\circ$. يمكن استخدام حالة $\alpha = 0^\circ$ لأغراض التصميم . إذا استخدمت خلية بثلاثة قطاعات تكون تشكيلة الهوائي كما هو مبين في الشكل 9-6 ب . تكون الحالة الأسوأ في هذه التشكيلة أيضاً عند $\alpha = 60^\circ$ ولهذا تبين الأشكال 9-6 أ ، 9-6 ب تشكيلات لتجنب الحالة $\alpha = 90^\circ$

تشكيلات هوائيتين غير موجهتين

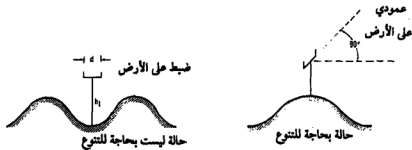
تم استعراض شروط الارتفاع الفعال للهوائي في الفصل 4-2 . إذا وجد اتجاه معين في محطة القاعدة بحيث يكون ارتفاع الهوائي فيه يظهر ربحاً أعلى للارتفاع الفعال للهوائي عندئذ لا حاجة لريش التنوع لاستقبال إشارة قوية من المرسل المتنقل في ذلك الاتجاه . يمكن وضع هوائي استقبال محطة القاعدة على استقامة في ذلك الاتجاه بفاصل مطابق لحالة $\alpha = 0^\circ$. يظهر هذا التوضيح في الشكل 9-6 ج . مثال ذلك إذا كان التردد العامل 850 م هـ وارتفاع الهوائي 30 م (100 قدم) يكون الفاصل 9 قدم في حالة $\alpha = 0^\circ$. يعتمد توجيه الهوائيتين على شكل التضاريس كما هو مبين في الشكل 9-6 ج . لا يحتاج أحد الأنواع من شكل التضاريس إلى تنوع الهوائيات بينما يحتاج النوع الثاني من شكل التضاريس إلى التنوع . إذا كان شكل التضاريس المحيطة بمحطة القاعدة بحيث لا يمكن تجنب الحالة $\alpha = 90^\circ$ عندئذ يجب استخدام تشكيلة الهوائيات الثلاثة المبينة في الشكل 9-6 ب .



تشكيلة تستعمل 3 هوائيات (A)



تشكيلة بـ 6 هوائيات لـ 3 قطاعات (B)



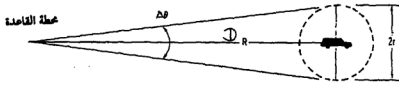
تشكيلة تستعمل هوائين (C)

الشكل 9-6 ترتيب هوائيات محطة القاعدة من أجل انظمة التنوع الفراغي

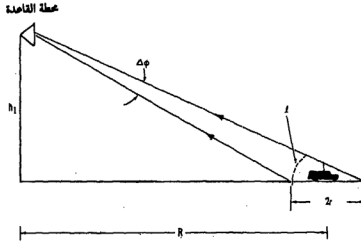
4-3-6 تعليقات على الفصل الشاقولي

يعتبر الفصل الشاقولي هوائي تنوع مفهوماً مشجعاً، أولاً من الأسهل فصل الهوائين شاقولياً من فصلهما أفقياً على سارية الهوائي. ثانياً بالفصل الشاقولي يمكن تجنب تعقيدات الفصل الافقي المذكورة سابقاً لزوايا مختلفة α تجاه موقع الوحدة

المتنقلة. ولكن لسوء الحظ إن أداء تنوع الفصل الشاقولي ضعيف جداً بحيث لا يشجع على استخدامه. وذلك لأن الارتباط بين الاشارتين المستقبليتين من هوائي محطة القاعدة المفصولين بمسافة ثابتة يزداد مع ازدياد المسافة بصورة أسرع بكثير في المباعدة الشاقولية عنه في المباعدة الأفقية. وسبب ذلك أن الإشارة في المستوى الأفقي تصل إلى محطة القاعدة ضمن زاوية $\Delta\theta$ تعطى بالعلاقة (انظر الشكل 10-6 أ).



(A) مستوى أفقي



(B) مستوى رأسي

الشكل 10-6 الزوايا الشاقولية والأفقية لمنطقة التناثر المشاهدة من محطة القاعدة

$$\Delta\theta = \frac{2r}{D}$$

1-3-6

حيث D هي المسافة بين محطة القاعدة والوحدة المتنقلة و r هي نصف قطر النواثر الفعالة المحيطة بالوحدة المتنقلة. وردت المعادلة 1-3-6 في الفصل 7-4. إلا أن

الاشارة التي تصل إلى هوائي محطة القاعدة (h_1) من المرسل المتنقل ضمن زاوية ϕ (انظر الشكل 10-6 ب) محددة بالعلاقة:

$$\Delta\phi = \frac{2r\left(\frac{h_1}{D}\right)}{\sqrt{D^2 + h_1^2}} \approx \frac{2rh_1}{D^2} \quad 2-3-6$$

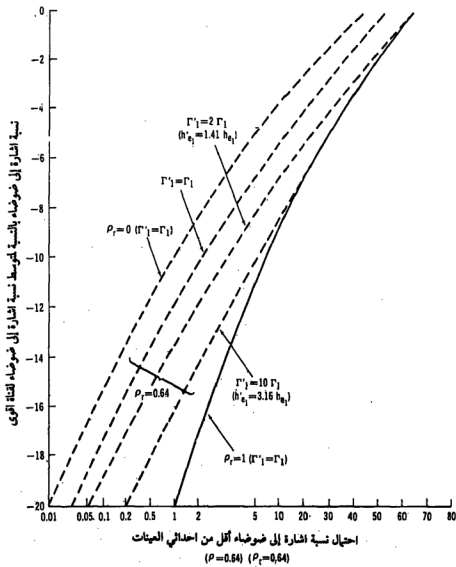
بما أن r أقل بكثير من D ومقارنة المعادلة 1-3-6 مع أن: المعادلة 2-3-6 نحصل على:

$$\Delta\theta \gg \Delta\phi \quad 3-3-6$$

يجب أن يكون الفاصل الشاقولي بين هوائي محطة القاعدة أكبر بكثير من الفاصل الأفقي لكي نحصل على نفس معامل الارتباط لفرعي الاستقبال. وكذلك عندما يصبح الارتفاع الفعال للهوائي في محطة القاعدة أقصر بكثير من ارتفاعه الحقيقي فإن الإشارة المستقبلية في القاعدة تكون أضعف. عندما تحدث هذه الحالة يجب استخدام أنظمة التنوع. ومع ذلك يكون الفرق في ربح الاستقبال ΔG بين هوائين مفصولين شاقولياً نصباً في محطة القاعدة هو:

$$\begin{aligned} \Delta G &= 20 \log_{10} \frac{h_{e1}'}{h_{e1}} = 20 \log_{10} \frac{(h_1 + s) - \Delta h}{h_1 - \Delta h} \quad 4-3-6 \\ &= 20 \log_{10} \left[1 + \frac{s}{h - \Delta h} \right] \end{aligned}$$

حيث h_{e1}' ، h_{e1} هما الارتفاعان الفعالان للهوائيين الشاقولين. الفاصل الشاقولي هو Δh هو الفرق في الارتفاع بين الارتفاع الحقيقي للهوائي والارتفاع الفعال له. يمكن أن يكون فرق الارتفاع Δh ذا قيمة موجبة أو سالبة. عندما تكون قيمة Δh موجبة يكون الارتفاع الفعال للهوائي أقصر من ارتفاعه الحقيقي. إذا كان الفاصل والارتفاع الفعال للهوائي السفلي $\Delta h = h - h_e$ متساويين فإن الفرق في الربح بين الهوائي العلوي والسفلي هو 6 ديسيبل. تتلاشى فائدة التنوع عادة في تقليل



الشكل 11-6 تأثير الأداء على فروع غير متساوية لمعامل ارتباط 64% .

الحفوت إذا زاد الفرق بين سويتي الإشارة عن 4 ديسيبيل. يبين الشكل 6-11 فائدة استخدام التنوع مع سويات مختلفة من الإشارة المستقبلية. تأتي أكبر فائدة لاستخدام التنوع عندما تكون سويتا الإشارتين المستقبلتين متساويتين. تقل فائدة التنوع (الريح) مع ازدياد الفرق بين سويتي الإشارتين المستقبلتين. توجد فائدة قليلة في حالة $10\Gamma = \Gamma^m$ حيث Γ هما نسبتا الإشارة إلى الضجيج للفرعتين على التوالي، عندما يزداد الفرق في الارتفاع Δh يصبح الارتفاع الفعال للهوائي أقصر بكثير من ارتفاعه الحقيقي. ويكون الاستقبال في محطة القاعدة ضعيفاً ويحتاج إلى ربح أكبر في التنوع لمساعدته. ومع هذا تبين المعادلة 6-3-4 أنه بازداد Δh تصبح AG أكبر ويقل ربح التنوع، لهذا في ترتيب الهوائيات المتباعدة شاقولياً عندما تملي إشارة الاستقبال ربحاً كبيراً في التنوع فإنه لا يمكن دائماً زيادة ربح التنوع هذا كما خطط له. تشير الملاحظات السابقة إلى سيئات الهوائيات المتباعدة عمودياً بفواصل كبيرة. عندما تكون فائدة التنوع قليلة (غير ملحوظة) فمن الأفضل أن نترك هوائياً واحداً ببرج عالٍ للاستقبال إذا لم يكن التداخل مهماً.

5-3-6 الاعتبارات الفيزيائية في الفصل الأفقي

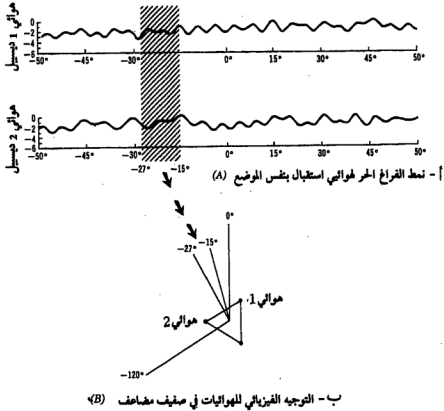
يمكن أن يتحدد فاصل الهوائي بالاستناد إلى المعلمة $\eta = 11$ المذكورة في الفصل 2-2-6

$$\eta = \frac{h}{d} = 11 \quad 5-3-6$$

حيث h هو ارتفاع الهوائي، d هو الفاصل الأفقي. إذا كانت h تساوي 100 قدم فإن d تساوي 9 قدم، وإذا كانت h تساوي 50 قدم فإن d تساوي 4,5 قدم. ومع ذلك فإن الفاصل الفيزيائي بمقدار 4,5 قدم يمكن أن يسبب أثراً تموجياً شديداً على النمطين الإشعاعيين هوائيين محطة القاعدة وفقاً لطول الهوائي. يكون الطول الحقيقي للهوائي بربح 9 ديسيبيل (بالنسبة للهوائي ثنائي الاقطاب) أربعة أمثال طول الموجة. عند تردد 850 م هـ يكون أربعة أمثال طول الموجة مساوياً إلى 4 أقدام. عندئذ تكون مسافة الحقل البعيد لهذا الهوائي هي:

$$D \approx \frac{2L^2}{\lambda} = \frac{2 \times (4 \text{ ft})^2}{1 \text{ ft}} = 32 \text{ ft}$$

6-3-6



الشكل 12-6 انماط اشعاعية في الفراغ هوائي استقبال في تشكيل صيف مضاعف للهوائيات.

إذا فصلنا هوائين طول كل منها 4 أقدام بمسافة 9 أقدام فقط فإن أحد الهوائين يقع ضمن الحقل القريب للهوائي الآخر ويسبب أثراً تموجياً. يتغير النمطان الاشعاعيان للهوائين بالآثر التموجي المبين في الشكل 12-6. يظهر الآثر التموجي أيضاً عند استخدام ثلاثة هوائيات في تشكيلة المثلث بفاصل 9 قدم عند التردد العامل 850 م هـ. ويبلغ اختلاف التموج بمقدار $1 \pm$ ديسيل. يمكن

أن يبلغ الفرق بين نمطي اشعاع متموجين عند أي زاوية بالأفق ± 2 ديسيل عند مقارنتها بنمطي اشعاع الهوائيين. بها أن اشارتي التنوع تستقبلان بفارق يقل عن 2 ديسيل (معظم الوقت) فإن ربح التنوع يبقى محققاً كما هو مبين في الشكل 11-6. إذا كان فاصل الهوائي 4,5 قدم يكون حدوث الأثر التمازجي أشد على نمطي اشعاع الهوائيين ونقل بذلك فائدة استخدام التنوع.

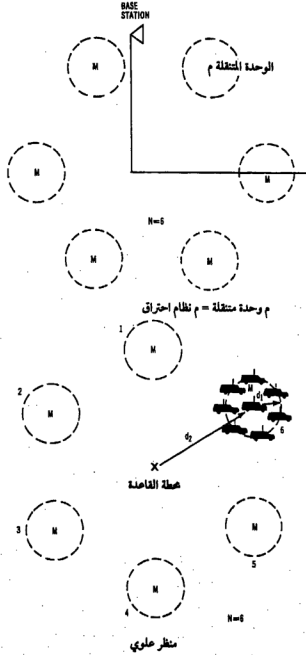
4-6 بيئة الضجيج

يشكل الضجيج الصناعي في محطة القاعدة سوية الضجيج في نسبة الاشارة إلى الضجيج في الاستقبال في محطة القاعدة. سيدرس نوعان من الضجيج الصناعي : ضجيج محرك الآلية وضجيج المعامل الصناعية، في بيئة الراديو المتنقل يكون ضجيج محرك الآلية هو الغالب وتعتبر فعاليات توليد الطاقة مصدر ضجيج من الدرجة الثانية. أما الأجهزة الصناعية فهي مصدر ضجيج من الدرجة الثالثة. أما مصادر الضجيج الأخرى، كالمنتجات الاستهلاكية وأنظمة الانارة والأجهزة الطبية والقطارات والعربات الكهربائية فهي ذات ضجيج منخفض ويمكن إهماله.

4-6-1 ضجيج محرك الآلية

يعتبر نظام اشتعال محركات البنزين مصدراً للجهود والتيارات الكهربائية العالية التي تعمل باستمرار خلال تشغيل العربة. يعتبر الإشعاع الناتج عن الجهود والتيارات النبضية العالية في الكوابل وعند نقاط دارات الاشتعال المتقطعة المصدر الرئيسي لضجيج محرك الآلية الراديوي.

عند محطة القاعدة يكون الهوائي عادة على بعد 36 م (120 قدم) أو أكثر من مصدر ضجيج اشتعال المحرك (انظر الشكل 13-6) مما يجعل سوية الضجيج المستقبلية للاقط محطة القاعدة أقل من سويتها عند مستوي الشارع والمستقبلية بلاقط الرحلة المتنقلة. تتساوى تقريباً سويات ضجيج الاشتعال من أنظمة الاشتعال للوحدة المتنقلة نفسها ومن الوحدات المتنقلة الأخرى (سيظهر تفسير ذلك في الفصل 6-7). لنفترض أن سوية ضجيج الاشتعال عند الوحدة المتنقلة ينتج عن عدد M من أنظمة



الشكل 13-6 نموذج لتقدير ضجيج محطة القاعدة

الاشتعال (تتضمن ما يخصها والوحدات المتنقلة المحيطة بها) وعلى مسافة وسطية d_1 منها إلى الوحدات المتنقلة المحيطة بها ولنفترض أن سوية ضجيج الاشتعال عند هوائي محطة القاعدة ينتج عن عدد N من أنظمة اشتعال العربات المحيطة بها وعلى مسافة وسطية d_2 منها إلى الوحدات المتنقلة المحيطة بها. بما أن ارتفاع هوائي محطة القاعدة 33 م (100 قدم) أو أكثر فهو يستقبل سوية ضجيج اشتعال من عدد كبير من أنظمة اشتعال العربات بسبب ارتفاعه وليكن العدد N أكبر من العدد M بحيث

$$N = 10M$$

وكذلك أيضاً تكون المسافة d_2 أكبر من المسافة d_1 (انظر الشكل 13-6).
ويكون سوية الضجيج متناسبة عكسياً مع مربع المسافات، ويكون الفرق في سوية الضجيج ΔN بين استقبال محطة القاعدة واستقبال الوحدة المتنقلة هو:

$$\Delta N = 10 \log_{10} \left[\frac{N}{M} \left(\frac{d_1}{d_2} \right)^2 \right] = 10 \log_{10} \left[10 \left(\frac{30 \text{ ft}}{120 \text{ ft}} \right)^2 \right] = -2 \text{ dB} \quad 1-4-6$$

عندما يعرف متوسط سوية ضجيج الاشتعال عند لاقط الوحدة المتنقلة في منطقة معينة (انظر الفصل 4-7) فإن سوية الضجيج عند لاقط محطة القاعدة يكون أقل بحوالي 2-1 ديسيبل لأن هوائيه يتوضع بعيداً عن مصادر ضجيج الاشتعال.

2-4-6 ضجيج خطوط الطاقة والضجيج الصناعي

ينشأ الضجيج الراديوي ضمن المدى الطيفي من تردد التوليد الاساسي 50 هـ أو 60 هـ إلى مدى الترددات فوق العالية. يتغلب ضجيج خطوط القدرة عند الترددات المنخفضة كما هو مبين في الشكل 14-6. بينت شدة الحقل الكهربائية بالديسيبل منسوبة إلى 1 ميكروفولط / م / هـ على المحور y . تحسب شدة الضجيج الصناعي كالتالي. مثال ذلك عند تردد / 100 م هـ / تكون السوية العالية لضجيج خط الطاقة (345 ك ف) على بعد 65 م (200 قدم) هو 90 ديسيبل ميكروفولط / م / هـ أو 110 ديسيبل ميكروفولط / م عند 100 م هـ. بتغيير ذلك إلى مقياس قدره مع مقاومه 50 أوم تصبح شدة الحقل

$$\rho = \frac{E^2}{R} \text{ watts/m}^2$$

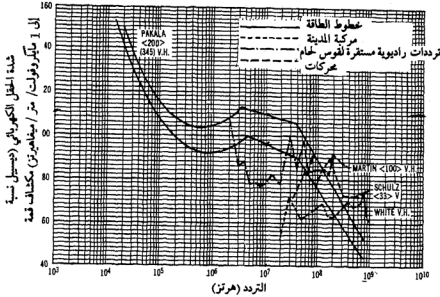
2-4-6

حيث يعبر عن E بالفولط / م. وتصبح شدة الحقل 0 ديسيبل ميكروفولط كما يلي:

$$0 \text{ dB}\mu\text{v} = 20 \log \frac{1 \mu\text{v/m}}{1 \mu\text{v/m}}$$

3-4-6

$$\Rightarrow 10 \log \frac{10^{-10.7} \text{mw/m}^2}{1 \text{mw/m}^2} = -107 \text{ dBm}$$



الشكل 14-6 شدة الحقل الكهربائي (كشف ذروة) ومنايع الضجيج الراديوي الصناعي (من المرجع 6).

عندئذ تكون شدة الحقل 110 ديسيبل ميكروفولط مكافئة إلى 3 ديسيبل م (3 dBm) يمكن إيجاد القدرة المستقبلية من العلاقة:

$$P = \rho \times A_{er}$$

4-4-6

حيث A_e الفتحة (النافذة) الفعالة للهوائي. من أجل هوائي استقبال ثنائي الأقطاب تكون فتحته $0.13 \lambda^2$ ، وعند 1 جـ هـ يكون طول الموجة 0.3 م (1 قدم) وتصبح سوية الضجيج الصناعي عندئذ:

$$P = 3 \text{ dBm} + 10 \log_{10} [0.13 \times (0.3)^2]$$

$$= 3 \text{ dBm} - 19 \text{ dB} = -16 \text{ dBm}$$

وهذه سوية ضجيج مرتفعة جداً، أعلى من ضجيج الاشتعال. عند انتقال منطقة محطة القاعدة يجب الأخذ بعين الاعتبار ما يحيط بها. وكما في الشكل 14-6 يتغلب ضجيج اللحام القوسي عند نطاق التردد من 100 م هـ إلى 16 جـ هـ أو حتى أعلى من ذلك مقيساً على بعد 30 م (100 قدم). وهو يسبب أيضاً سوية ضجيج 90 ديسيبل ميكرو فولط/م/م هـ أي نفس ضجيج خط القدرة عند 100 م هـ.

يمكن تجميع البيانات عن ضجيج اشتعال المحركات احصائياً بحساب عدد العربات التي تمر في المنطقة (انظر الفصل 6-7). ومع ذلك يمكن أن يكون ضجيج خطوط القدرة والضجيج الصناعي مشكلة فقط إذا توضع محطة القاعدة في منطقة فيها مصانع وخطوط قدرة. إحدى طرق تجنب كل الضجيج هي زيادة ارتفاع الهوائي وهذا بالطبع يخلق اعتبارات أخرى مثل التكلفة والمصادقة على المناطق. إن التقصي عن سوية الضجيج في أي منطقة قبل اقرار تركيب محطة القاعدة أمر حاسم جداً.

5-6 تحويلات القدرة وشدة الحقل.

تدعى شدة الإشارة عند الاستقبال بشدة الإشارة وتقاس بـ (dBm) أو (dBμ). يطلب أن تكون شدة الحامل أعلى ما يمكن بقدرة إشعاع مكافئة مرسله محدودة. القدرة الإشعاعية المكافئة هي القدرة المرسله من هوائي غير موجه. يمكن للتصميم الجيد لهوائي الأرسال في منطقة الخلية أن يؤمن استقبالا جيداً. مثال ذلك يمكن أن يوفر التنوع الفراغي لهوائيات في منطقة الخلية تقليل الخفوت متعدد المسارات ويحسن الاستقبال مثلها ذكر في الفصل 2-6.

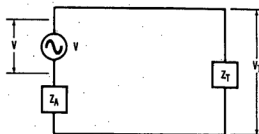
تعتمد سوية الضجيج فقط على البيئة واللاقط في طرف الاستقبال، في بيئة الراديو المتنقل تتغلب عادة سوية ضجيج البيئة الصناعية. يمكن حساب سوية الضجيج (مقاسة بـ dBm أو dBμ) من معادلات الفصل 4-6. يمكن الحصول على نسبة الحامل إلى الضجيج (C/N) من:

$$1-5-6 \quad C/N \text{ (بالديسيبل)} = \text{سوية شدة الحامل (dBm)} - \text{سوية الضجيج (dBm)}$$

$$= \text{سوية شدة الحامل (dBμ)} - \text{سوية الضجيج (dBμ)}$$

1-5-6 التحويل بين dBμ و dBm في تقديم القدرة .

تقاس شدة الحامل (أو شدة الإشارة) أو سوية الضجيج في بعض الأحيان بالديسيبل بالنسبة إلى 1 ميلي واط/م² وتعطى الوحدة dBm (ديسيبل م) وفي بعض الأحيان تقاس بالديسيبل بالنسبة إلى 1 ميكروولت/م وتعطى الوحدة dBμ (ديسيبل μ). إذا قيس شدة الحامل بالديسيبل م وسوية الضجيج بالديسيبل μ يجب تحويل الوحدات المقاسة قبل تطبيق المعادلة 1-5-6. يمكن استخدام مخطط الدارة المبين في الشكل 15-6. لحسابات التحويل:



$$Z_A = R_A + jX_A$$

$$Z_T = R_T + jX_T$$

الشكل 15-6 دائرة مستخدمة لحساب القدرة المقدمة.

في الشكل: أن Z_T هي عمانة الحمل بالأوم $Z_T = R_T + jX_T$ أن Z_A هي عمانة الهوائي بالأوم $Z_A = R_A + jX_A$. هناك حالتان للدراسة:

1- يمكن التعبير عن كثافة القدرة العظمى المستقبلية من قوة محرقة كهربية
محرقة بواسطة موجة مارة بالعلاقة :

$$\rho_m = \frac{V^2}{4R_A} \quad 2-5-6$$

بشرط ان تكون :

$$R_A = R_T$$

$$Z_T = -Z_A$$

يمكن إيجاد المعادلة 2-5-6 من كتب الدارات. لنفترض أن $V = 1 \mu v$ أي
0 ديسيبيل μ و $R_A = 50$. بتعويض هذه الأرقام في المعادلة 2-5-6 تكون
القدرة المستقبلية العظمى هي :

$$\rho_m = \frac{V^2}{4R_A} = \frac{(10^{-6})^2}{4 \times 50} = 5 \times 10^{-15} \text{ watts/m}^2$$

أو

$$\rho_m (\text{in dBm}) = 10 \log (5 \times 10^{-15}) = -143 \text{ dBw} = -113 \text{ dBm}$$

وتكون العلاقة

$$1 \mu v/m \leftrightarrow 5 \times 10^{-12} \text{ milliwatts/m}^2$$

أو

$$0 \text{ dB}\mu \leftrightarrow -113 \text{ dBm}$$

2- تكون كثافة القدرة المقدمة للحمل هي :

$$\rho_r = \frac{V_T^2}{R_T} \quad 3-5-6$$

إذا كانت $V_T = 1 \mu v/m$ و $R_T = 50$ تكون كثافة القدرة المقدمة

للحمل هي

$$\rho_r = \frac{V_T^2}{R_T} = \frac{(10^{-6})^2}{50} = 2 \times 10^{-14} \text{ watt}$$

$$\begin{aligned} \rho_e (\text{in dBm}) &= 10 \log (2 \times 10^{-14}) = -137 \text{ dBW} \\ &= 10 \log (2 \times 10^{-11}) = -107 \text{ dBm} \end{aligned}$$

وتكون العلاقة :

$$1 \mu\text{W/m} \leftrightarrow 2 \times 10^{-11} \text{ milliwatts/m}^2$$

أو

$$0 \text{ dB}\mu \leftrightarrow -107 \text{ dBm}$$

هذه العلاقة شائعة الاستخدام عند التحويل.
مثال 1-6 : ما هي القيمة بالديسيبل م لسوية إستقبال (65) ديسيبل μ ؟

$$65 \text{ dB}\mu - 107 \text{ dBm} = -42 \text{ dBm}$$

$$65 \text{ dB}\mu \leftrightarrow -42 \text{ dBm}$$

2-5-6 العلاقة بين شدة الحقل والقدرة المستقبلية :

تقاس شدة الحقل ρ بالميكرو فولط / م أو بالميلي واط / م². يمكن التعبير عن القدرة المستقبلية في هوائي الاستقبال بالعلاقة :

$$P = \rho \cdot A \quad 4-5-6$$

حيث A هي فتحة (نافذة) هوائي الاستقبال وتعطى بالعلاقة :

$$A = \frac{G\lambda^2}{4\pi} \quad 5-5-6$$

حيث G هوريج هوائي الاستقبال، λ طول الموجة. عندئذ تكون العلاقة بين شدة الحقل والقدرة المستقبلية إما تلك التي اعطيت في المعادلة 4-5-6 ، أو كالآتي :

$$P = \rho \cdot \frac{G \cdot \lambda^2}{4\pi} \quad 6-5-6$$

إذا فالقدرة المستقبلية هي تابع لشدة الحقل وفتحة الهوائي كما هو مبين في المعادلة 6-5-6 ، أو تابع لشدة الحقل وطول الموجة كما هو مبين في المعادلة 6-5-6 .

3-5-6. علاقة تحويل بسيطة :

لتحويل شدة الحقل الى قدرة مستقبلية نفترض الردد ونوع المحس الذي يلتقط شدة الحقل والممانعة الطرفية المثلى. نستخدم في العادة نصف هوائى ثنائى الأقطاب طولہ الفعال λ/π وممانعته الطرفية المثلى 50 أوم وقد بينت دارته المكافئة في الشكل 15-6 .

إن استخدم الرمز $\text{dB}\mu$ الشائع في الصناعة محير إذ يجب أن يكتب على الشكل $\text{dB}\mu\text{v/m}$ أو dB للإعلام أنه بالميكروفولط/م ، وفي الوقت الحاضر يعنى $\text{dB}\mu$ إما جهداً أو شدة حقل .

يمكن التعبير عن العلاقة بين شدة الحقل بالديسيبل $\mu(\text{dB}\mu)$ والقدرة بالديسيبل (dBm) كالتالى :

$$0 \text{ dB}\mu (=) 10 \log \left[\frac{(10^{-6})^2 (\lambda/\pi)^2}{4 \times R_A} \times 1000 \right] \text{dBm}$$

$$(=) 10 \log \left[22.8 \times 10^{-7} \frac{1}{R_A \cdot f^2} \right] \text{dBm}$$

عند الردد 850 م هـ ، $R_A = 50 \Omega$ يكون :

$$0 \text{ dB}\mu = -132 \text{ dBm}$$

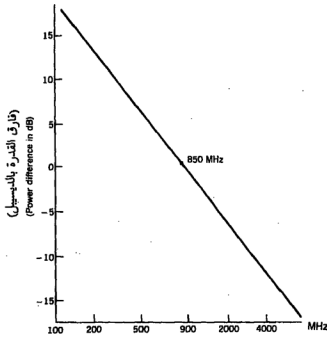
$$39 \text{ dB}\mu = -93 \text{ dBm}$$

$$32 \text{ dB}\mu = -100 \text{ dBm}$$

عند اختلاف الردد أو استخدام نوع آخر من المحس ($R_A = 50 \Omega$) :

$$0 \text{ dB}\mu = -132 \text{ dBm} - 20 \log \left(\frac{f}{850} \right) + G$$

حيث f الردد الجديد بالمegahertz و G ربح المحس بالنسبة لثنائى الأقطاب بالدسيبل . رُسمت هذه المعادلة في الشكل 16-6 مع ترددات مختلفة حيث $G = 0$.



الشكل 6-16 تحويل القدرة لترددات غير 850 م هـ

بعض التحذيرات في حساب الديسيبل (dB_m) :

لا يمكن اضافة واحداث الديسيبل (dB_m) . ديسيبل + ديسيبل تعني
تربيع القدرة وهذا ليس له أي معنى فيزيائي .

$$10 \text{ dBm} + 10 \text{ dBm} \neq 20 \text{ dBm}$$

فهى لا تتبع القاعدة الحسابية وليس لها أي معنى فيزيائي.
انتبه لما يلى :

$$10 \text{ dBm} + 10 \text{ dB} = 20 \text{ dBm}$$

$$30 \text{ dBm} - 10 \text{ dB} = 20 \text{ dBm}$$

$$30 \text{ dB} + 10 \text{ dB} = 40 \text{ dB}$$

$$30 \text{ dB} - 10 \text{ dB} = 20 \text{ dB}$$

$$30 \text{ dBm} - 10 \text{ dBm} = 20 \text{ dB}$$

REFERENCES

1. Lee, W. C. Y., "Mobile Radio Signal Correlation versus Antenna Height and Spacing," *IEEE Trans. Veh. Tech.* 25 (Aug. 1977): 290-292.
2. Lee, W. C. Y., "Studies of Base-Station Antenna Height Effects on Mobile Radio," *IEEE Trans. Veh. Tech.* 29 (May 1980): 252-260.
3. Lee, W. C. Y., "Cellular Mobile Radiotelephone System Using Tilted Antenna Radiation Patterns" (U.S. Patent 4,249,181, Feb. 3, 1981).
4. Schwartz, M., W. R. Bennet, and Seymour Stein, *Communication Systems and Techniques* (McGraw-Hill 1966): 473.
5. Lee, W. C. Y., *Mobile Communications Engineering* (McGraw-Hill, 1982): 154.
6. Skomal, E. N., "Man-made Radio Noise" (Van Nostrand Reinhold, 1978): 9.
7. Lee, W. C. Y., "The Decibel: A Confusing Issue" *Cellular Business*, March 1992, p. 52.

7 - معلمات التصميم في الوحدة المتنقلة

- 1-7 ارتفاعات الهوائيات والمباعدة بينها.
- 2-7 الوحدة المتنقلة في حالة الاستقرار والحركة.
- 3-7 العينات المستقلة ومعدل الاعتيان.
- 4-7 الهوائيات الموجهة مقابل مخططات التنوع.
- 5-7 اعتمادية التردد واستقلاليته.
- 6-7 بيئة الضجيج.
- 7-7 توصيلات الهوائي وتوضعه على الوحدة المتنقلة.

1-7 ارتفاعات الهوائيات والمباعدة بينها

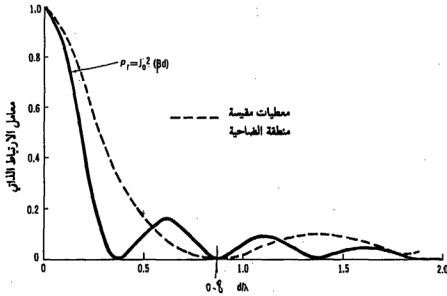
يفترض أن يكون ارتفاع الهوائي في الوحدة المتنقلة دائماً أخفض مما يحيط به وهذا هو الافتراض في نموذج الشكل 1-1. إذا كان هوائي الوحدة المتنقلة أعلى مما يحيط به فلا يمكن تسميته بهوائي متنقل، وقد درست هذه الحالة في الفصل السادس.

من أجل أغراض اعتبارات التصميم تدرس الحالة الأسوأ لخلفية الاستقبال في موقع الوحدة المتنقلة. والحالة الأسوأ هي عندما تسد الموجة المباشرة بين مرسل محطة القاعدة ومستقبل الوحدة المتنقلة بالأبنية والمنازل فيما بينها. وبهذا تصل الأمواج المتناثرة من 360° حول الوحدة المتنقلة ويمكن لشارتين خافتتين أن يكونا أقل ارتباطاً بمباعدة صغيرة بين هوائي الوحدة المتنقلة. بهذا يتوضع هوائي التنوع الفراغي في الوحدة المتنقلة متقاربين بحدود 0,5 طول الموجة «انظر الفصل 3-4-1». تعتمد هذه المباعدة الصغيرة على ظاهرة أن معامل الارتباط ρ بين اشارتين خافتتين يكون أقل من 0,2 لتلك المباعدة عندما يكون ارتفاع الهوائي بحدود 3 م (10 قدم) فوق الأرض. مباعدة قدرها نصف طول الموجة لتردد 900 م هـ تكون حوالي 16 سم (6 أنش) وهو عملي جداً ليركب على سطح الوحدة المتنقلة. ومن جهة أخرى عند تردد 90 م هـ تكون مباعدة نصف طول الموجة 1,5 م (5 قدم) طولاً غير عملي إذا اتبعت نفس المناقشة التي تستخدم المعلمة $\eta = h/d$ المبينة في المعادلة (1-2-6) فإن انخفاض ارتفاع الهوائي h يستدعي تصغير المباعدة d ، وهي صحيحة أيضاً في موقع هوائي الوحدة المتنقلة.

لا يمكن تطبيق الحسابات المستخدمة للحصول على متطلبات مباعدة هوائي محطة القاعدة المبينة في الشكل 4-6 في هذه الحالة. ان الفاصل المطلوب لهوائي مركب على سقف الوحدة المتنقلة ويؤثر ربح تنوع هوائياً بحدود $\lambda 0.5$ إلى $\lambda 0.8$ وذلك إذا كان ارتفاع الهوائي 3 م (10 قدم) أو أقل. يكون معامل الارتباط في هذه الحالة أقل من 0,2 (انظر الشكل 1-7). وهي قيمة مقبولة جداً لتطبيقات التنوع. عند تردد 850 م هـ يكون نصف طول الموجة 0,5 قدم. ولهذا تكون قيمة η لتطبيق التنوع في الوحدة المتنقلة هي:

$$\eta = \frac{h}{d} = \frac{10 \text{ ft}}{0.5 \text{ ft}} = 20 \quad \text{at } 850 \text{ MHz}$$

وهي التي اسست على معامل الارتباط 0,2 ، ولهذا لا يمكن تطبيق الشكل 4-6 هنا .



الشكل 1-7 معامل الارتباط الذاتي مقابل المبعادة لتوزيع زاوي منتظم

بما أن الارتفاع الحقيقي لهوائي الوحدة المتنقلة هو دائماً في مدى 1,5 إلى 3 م (5 إلى 10 قدم) ومبعادة الهوائي هي دائماً 0,5λ ، وتقاس بأطوال الموجة فإن تخفيض التردد يقلل قيمة η .

ان معامل الارتباط مستقل عن الريح الافراي للاشارة . إذا وجدت اشارتان s_1 و s_2 فإن معامل الارتباط $\rho(\tau)$ لهاتين الاشارتين $s_1(t)$ و $s_2(t + \tau)$ هو:

$$\rho = \frac{\overline{s_1 s_2} - \overline{s_1} \overline{s_2}}{\sqrt{\overline{s_1^2} - \overline{s_1}^2} \sqrt{\overline{s_2^2} - \overline{s_2}^2}} \quad 1-1-7$$

بافتراض أن

$$s_1(t) = Ae_1(t) \quad 2-1-7$$

و

$$s_2(t + \tau) = Be_2(t + \tau) \quad 3-1-7$$

حيث $\overline{e_1^2(t)} = \overline{e_2^2(t)} = 1$ و $A^2 B^2$ هما قيمتا ربح الاشارتين على التوالي بتعويض المعادلة 2-1-7 والمعادلة 3-1-7 في المعادلة 1-1-7 يصبح معامل الارتباط:

$$\rho(t) = \frac{\overline{e_1 e_2} - \overline{e_1} \overline{e_2}}{\sqrt{\overline{e_1^2} - \overline{e_1}^2} \sqrt{\overline{e_2^2} - \overline{e_2}^2}} \quad 4-1-7$$

أي أن معامل الارتباط مستقل عن الريح . تدل المعادلة 4-1-7 إلى أن أي قيم للريح ستؤدي إلى نفس معامل الارتباط . لهذا عند الاهتمام بأداء تنوع مقبول يجب الأخذ بالحسبان ليس فقط معامل الارتباط بل الفرق بين ربحي الاشارتين أيضاً . إذا كان معامل الارتباط مقبولا إلا أن سويتي الاشارتين متساويتان ولكنها ضعيفتان أو أن سويتيهاا مختلفان بأكثر من 4 ديسيبل (انظر الشكل 11-6) فإنه لا فائدة من التنوع . تبين المعطيات التجريبية أنه إذا كان كل من h_2 من h_2' أقل من 3 م (10 قدم) تطبق عندئذ قاعدة ربح ارتفاع الهوائي 3 ديسيبل / الضعف (انظر الفصل 2-3-6) .

$$\text{الربح (أو الخسارة)} = 10 \log_{10} \frac{h_2'}{h_2} \quad \text{gain (or loss)} \quad 5-1-7$$

في موقع الوحدة المتنقلة يؤخذ في الحسبان الارتفاع الحقيقي للهوائي فقط . لا يوجد ارتفاع فعال لهوائي الوحدة المتنقلة . للتنبؤ عن خسارة المسار لا يحتاج ارتفاع هوائي الوحدة المتنقلة للضغط وفقاً لأشكال التضاريس . عندما يكون 10 قدم $h_2 > 30$ قدم تستخدم المعادلة (29-3-2)

$$\text{الربح (أو الخسارة)} = 2 h_2' \log_{10} \left(\frac{h_2'}{3 \text{ m}} \right) \quad \text{gain (or loss)} \quad 6-1-7$$

إن العلاقة بين ارتفاعي هوائين متنفلين مختلفين h_2' ، h_2'' هي أن كلاهما ضمن مدى 10-3 م (10-30 قدم) ومنه:
(الريح أو الخسارة)

$$\text{gain (or loss)} \approx 2 h_2' \log_{10} h_2' - 2 h_2'' \log_{10} h_2'' - 0.954 (h_2' - h_2'') \quad (7-1-7)$$

عندما تكون $h_2' < 10$ م (30 قدم) يؤخذ h_2 مثل h_1 وتطبق علاقة ربح الارتفاع هوائي محطة القاعدة المبينة في المعادلة 21-3-2. لنفترض أن ارتفاعي هوائي الوحدة المتقلة هما $h_2 = 8\text{m} (26\text{ft})$ ، $h_2' = 4\text{m} (12\text{ft})$ ويكون الفرق في الريح هو 5.82 ديسيبل وهوليس بالضبط 6 ديسيبل المبين في المعادلة 21-3-2 وفي حالة $h_2' = 6\text{m}$ ، $h_2 = 3\text{m}$ (10ft) يكون الفرق في الريح 3.62 ديسيبل. المعادلة 6-1-7 هي علاقة تجريبيه.

2-7 الوحدة المتقلة في حالة الاستقرار والحركة.

عندما تكون الوحدة المتقلة في حالة الاستقرار يمكن ان تتوضع في منطقة خفوت للإشارة. يمكن حساب احتمال تلك الحالة كما هو مبين في الفصل 7-3. في هذه الحالة لا يمكن استقبال الإشارة. إذا كانت الوحدة المتقلة في حالة الاسال يلاحظ مستثمها تلك الحالة لأنه لا يوجد تجاوب من محطة القاعدة. والحل هو تحريك العربة بمقدار يزيد عن طول نصف الموجه ومحاولة النداء ثانية. إذا كان النداء لا يزال غير ممكن فإن العربة ربما تقع في نفق شدة الحقل، حيث متوسط شدة الحقل أقل من العتبة. في هذه الحالة لا يمكن للمستثمر أن يعمل أي شيء. ولكن في الأنظمة جيدة التصميم يكون احتمال الوقوع في نفق شدة الحقل طفيفاً جداً.

عندما تكون الوحدة المتقلة في حالة الاستقرار في منطقة خفوت ربما لا يلاحظ المنادى أن النداء الوارد إليه قد فقد. لتجنب هذه الحالة يمكن تركيب هوائين مفصولين بالفاصل المطلوب (0.5 λ) على سطح العربة. وهذا هو ترتيب التنوع الفراغي. إن الفاصل الملائم لاستقبال اشارتين من هوائين مفصولين لمقاومة خفوت الإشارة يمكن أن يتحدد من ارتباط الأشارتين الخافتتين

$$\rho_r(d) = J_0^2(Bd) \quad 1-2-7$$

حيث $\rho_r(d)$ هو معامل الارتباط لغلالي الأشارتين الخافتتين وتابع لفاصل الهوائي d. إن مدى $\rho_r(d)$ هو:

$$0 \leq p_r(d) \leq 1$$

2-2-7

ولهذا يجب أن تكون قيمة $p_r(d)$ أصغر ما يمكن ضمن الفاصل الفيزيائي العملي بين الهوائيين. رسمت المعادلة 1-2-7 بمنحني سميكت متصل في الشكل 1-7. يقع أول صفر لمعامل الارتباط عند $(d = 0.5\lambda)$ تقريباً. لفاصل d أكبر من 0.5λ تكون p_r أقل من 0,2. أي قيمة p_r أقل من 0,2 يعتبر عدم وجود ترابط بين غلافي الاشارتين الخافتتين ولهذا:

$$d = 0.5\lambda$$

3-2-7

هو فاصل الهوائي المطلوب ضد خفوت الإشارة. كذلك بينت المعطيات المقيسة في منطقة الضواحي على الشكل 1-7. وكان أول صفر مقيس لقيمة $p_r(d)$ عند $d = 0.8\lambda$ يمكن استخدام فاصل 0.8λ في بعض الأحيان إذا كان هناك متسع لذلك. عند تردد 900 م هـ يكون الفاصل 0.8λ مكافئاً لطول 24 سم (9,6 أنش) ويمكن التركيب على سقف العربة بدون اشكال.

3-3 العينات المستقلة ومعدل الاعتيان.

في كثير من الأحيان يجب أخذ عينات الغلاف الخام للإشارة الخافتة ويعترض عدم وجود ترابط بين العينات المتجاورة. عندئذ يجب أن تكون فترات الاعتيان d في المدى

$$0.5\lambda \leq d \leq 0.8\lambda$$

إذا كانت d أقل من 0.5λ فإن العينات المتجاورة تكون مترابطة وإذا كانت d أكبر من 0.8λ يحصل الهدر.

يجب أن لا يبنى معدل الاعتيان على أساس الطول T للإشارة المستقبلة المقيسة في المجال الزمني، ولكن على سرعة المعلومات والمباعدة المطلوبة بين البتات المتجاورة ويكون على الشكل:

$$\text{Number of samples } (n_s) = \frac{VT}{0.5\lambda} \quad \text{عدد العينات} \quad 1-3-7$$

$$\text{Sampling rate } (R_s) = \frac{n}{T} = \frac{V}{0.5\lambda} \quad \text{معدل الاعتيان} \quad 2-3-7$$

مثال 1-7 : قطعة معطيات بطول دقيقة واحدة استقبلت بينما كانت العربة تتحرك بسرعة 20 م / ثا. طول الموجه 0.3 م (1 قدم).
إذن العدد الكلي للعينات المستقلة هو:

$$n = \frac{(60 \text{ s})(20 \text{ m/s})}{(0.5\lambda)(0.3 \text{ m}/\lambda)} = 8000 \quad \text{عينة}$$

ومعدل الاعتيان هو:

$$R_s = \frac{n}{T} = \frac{8000 \text{ samples}}{60 \text{ s}} = 133.33 \text{ عينة / ثانية}$$

يبين المثال 1-7 أنه إذا كان معدل إرسال التشوير 133 عينة/ ثا أو أقل ضمن الشروط المعطاة فإن كل بته تخفت مستقلة عن البته التي تليها.
بالطبع لا يقبل مثل هذا المعدل البطيء من الإرسال. أما إذا ازداد معدل الإرسال بمقدار 10 مرات إلى 1330 بته/ ثا في نفس البيئة الموصوفة في المثال 1-7 فإن كل بته تكون غير مترابطة مع بته أخرى تقع على بعد 10 بتات، وضمن البتات العشرة تكون البتات مترابطة مع بعضها. ويحصل الارتباط الأقوى بين البتات المتجاورة. وهذا يعني أنه إذا تعرضت إحدى البتات للخفوت فإن احتمال البته المجاورة للخفوت أيضاً كبير جداً.

4-7 الهوائيات الموجهة مقابل مخططات التنوع .

1-4-7 الهوائيات الموجهة:

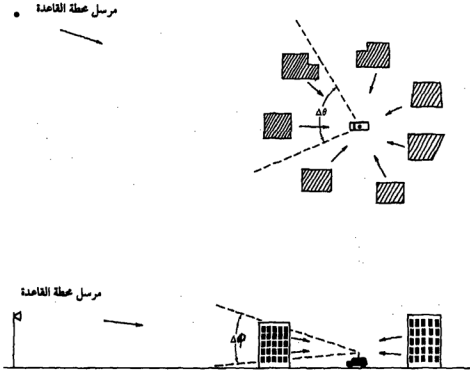
يمكن للهوائيات الموجهة المؤلفة من صفيح يضم N عنصر والمركبة على سقف الوحدة المتقلة أن تقلل تردد الخفوت فقط وذلك بالمقارنة مع هوائي واحد، ولكنها لا تستطيع زيادة الريح المستقبل نتيجة للعدد N من العناصر بالمقارنة مع الهوائي الواحد. يمكن إيجاد التفسير الفيزيائي لذلك بمراجعة الشكل 2-7. بها أن الاشارات

متعددة المسارات تأتي من جميع الاتجاهات حول الوحدة المتنقلة فإن الهوائي الموجه يستقبل فقط الاشارات متعددة المسارات الآتية من قطاع $\Delta \theta$. إذا كان القطاع $\Delta \theta$ أصغر فإن الخفوت أقل . يمكن أن يرى ذلك من معادلة تردد الخفوت (14-3-1) كالآتي:

$$f_d = \frac{V}{2\lambda} (1 - \cos \theta) \quad 1-4-7$$

وأن تردد الخفوت الأعظمي هو:

$$f_{\max} = V/\lambda \quad 2-4-7$$



الشكل 2-7 استقبال الهوائي الموجه عند الوحدة المتنقلة

إذا كانت الإشارة تأتي من جميع الاتجاهات عندئذ نحصل على تردد الخفوت الأعظمي من المعادلة 1-4-7 لأنه إذا كانت $\theta = 180^\circ$ فإن $f_d = f_{max}$. وعندما يصبح القطاع $\Delta\theta$ مساوياً إلى 45° فإن تردد الخفوت يقل إلى $0.15 f_{max}$ طبقاً لـ $\theta = 45^\circ$ وعندما يصبح القطاع $\Delta\theta$ مساوياً إلى 30° فإن تردد الخفوت يقل إلى $0.067 f_{max}$ طبقاً لـ $\theta = 30^\circ$. ومع ذلك فإن القطاع $\Delta\theta$ يتعلق بريح الهوائي الموجه وبالحسارة المترافقة مع بيئة الراديو المتنقل . تستخدم هنا علاقة الفراغ الحر لثري العلاقة بين ربح توجيه الهوائي وخسارة الإشارة المستقبلية نتيجة لتحديد القطاع $\Delta\theta$. في وصلة اتصالات خط النظر العادية يكون اتجاه الإشارة الآتية معلوماً عادة ولهذا يمكن التنبؤ عن قدرة الإشارة المستقبلية P_r بالشكل

$$P_r = \frac{P_t g_t g_r}{\left(\frac{4\pi r_1}{\lambda}\right)^2} \quad 3-4-7$$

حيث P_t القدرة المرسلة، g_t ربح هوائي الإرسال، r_1 المسافة بين الهوائيين، λ طول الموجة، g_r ربح هوائي الاستقبال . في بيئة الراديو المتنقل يمكن أن تأتي الإشارة من أي اتجاه باحتمالات متساوية، ولهذا لا يوجد تفضيل لاتجاه معين . وتكون الخسارة عادة نتيجة لتحديد قطاع الهوائي الموجه $\Delta\theta$ الذي يستقبل جزءاً من كامل الأمواج الآتية . يجب أن تعدل المعادلة 3-4-7 - لبيئة الراديو المتنقل على الشكل :

$$P_r = \frac{P_t g_t}{\left(\frac{4\pi r_1}{\lambda}\right)^2} (\alpha g_r) \quad 4-4-7$$

حيث α عامل التخامد المرافق لعرض الشعاع المحدود للهوائي الموجه في بيئة الراديو المتنقل . يمكن التعبير عن المعلمتين α و g_r على الشكل :

$$\alpha = \frac{(\Delta\theta)(\Delta\phi)}{2\pi^2} \quad 5-4-7$$

$$g_r = \frac{k}{(\Delta\theta)(\Delta\phi)} \quad 6-4-7$$

حيث k ثابت، $d\theta$ و $d\phi$ هما عرضا شعاع الهوائي الموجه في المستويين. عندئذ يصبح جداء αg_r

$$\alpha g_r = \frac{k}{2\pi^2} = k_2$$

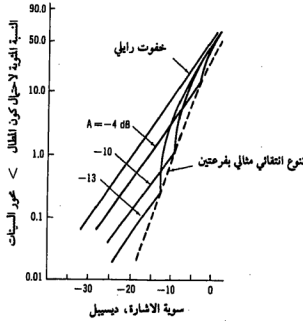
وهذا يري أن قدرة الإشارة المستقبلية في بيئة الراديو المتنقل ثابتة ولا تعتمد على درجة توجيه الهوائي الموجه.

$$P_r = k_2 \left[\frac{P_t g_t}{\left(\frac{4\pi r_1}{\lambda} \right)^2} \right] \quad 7-4-7$$

2-4-7 مخطط التنوع للوحدات المتنقلة

تعاني الإشارة المستقبلية في الوحدة المتنقلة من خفوت شديد يؤثر على ارسال الصوت والمعطيات. وكذلك فإن سوية ضجيج حركة السير على الطرقات السريعة وفي مناطق ازدحام العمل عالية جداً بالمقارنة مع سويات الضجيج الأخرى. ولهذا السبب يمكن تحسين نسبة الإشارة إلى الضجيج في مستقبل الوحدة المتنقلة بتخفيض خفوت الإشارة وليس بزيادة حساسية المستقبل بسبب علو ارتفاع سوية ضجيج البيئة. يمكن ان ينصح بلاقط قليل الكلفة ذي تنوع فراغي بضم تبديلي لأن له جبهة راديوية واحدة فقط، تبنى الإشارة المستقبلية على سوية عتبة تتحكم بالمفاتيح. عندما تقع اشارة احد الهوائيين تحت سوية العتبة تستطيع الوحدة التبديل إلى الهوائي الآخر. يبين الشكل 3-7 سوية الأداء. إن أفضل سوية أداء لنظام الضم التبديلي هو عند سوية العتبة حيث يقترب الأداء من أداء نظام الضم الانتقائي (انظر الفصل 5-3). ويشير هذا إلى أنه إذا أمكن تنفيذ مخطط بسوية عتبة متغيرة آخذاً بالاعتبار البيانات المستقبلية في الماضي والحاضر فإن نظام الضم التبديلي سيكون تقنية ضم فعالة.

غير أنه في الحقيقة يصعب الوصول إلى أداء متوقع بنظام الضم المتبادل، ولهذا فإن الاختيار المبنى على الكلفة في بعض الأحيان لا يكون سياسة حكيمة. يمكن لهوائيين عموديين تفصل بينهما مسافة 1.5λ مركبين على سطح عربة أن يؤمنا ترابطاً منخفضاً بين اشارتي الاستقبال. ويكون الفرق بين شدتي الاشارتين هو 0.5 ديسيبل فقط المقدرة في الفصل 4-3. لهذا يمكن تطبيق التنوع الفراغي العمودي في الوحدة المتنقلة.

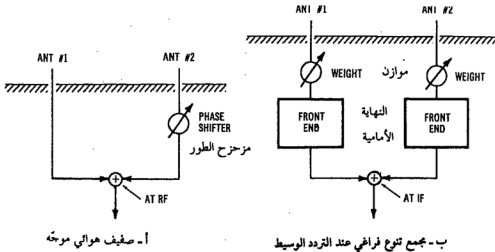


الشكل 3-7 أداء فرعتي إشارة يضم متبادل لسويات عتبة مختلفة .

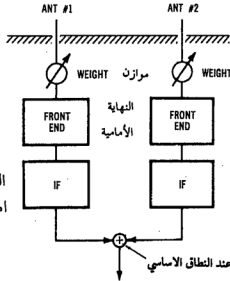
3-4-7 - الفرق بين صفييف الهوائي الموجه ومخططات التنوع الفراغي

تُضم عناصر صفييف الهوائي الموجه عند التردد الراديوي عن طريق وضع علاقات طورية مناسبة بين العناصر في الفراغ وأطوال أسلاك التوصيل أو وضع مزخزحات طور تردد راديوي بين العناصر يمكن أن يوجه النمط الإشعاعي للهوائي ليكون معترضاً أو أمامياً كما هو مبين في الشكل 4-7 أ . يضم مخطط التنوع الفراغي عادة عند التردد المتوسط أو عند النطاق الأساسي كما هو مبين في الشكلين 4-7 ب - وجـ . يمكن أن تكون تقنيات الضم إما للنسبة العظمى أو للريح المتساوي . تعمل تقنية النسبة العظمى للوصول إلى أعلى نسبة إشارة إلى ضجيج عند مخرج التردد المتوسط عن طريق موازنة الداخل لكل فرعة افرادية عند التردد الراديوي . تعمل تقنية ضم الريح المتساوي على توحيد طور الفرعات الافرادية ذات الاطوار العشوائية

عند التردد المتوسط . إن جمع قدرات الخرج عند النطاق الاساسي مكافئ لتقنية ضم النسبة العظمى . وكذلك تستخدم تقنيتا الضم الانتقائي والمتبادل تردداً راديوياً واحداً فقط في نفس الوقت من أجل إشارة الخرج المرغوبة . لا تؤثر جميع مخططات التنوع هذه على الانساط الاشعاعية لاستقبال الهوائيات الافرادية بعد ضم جميع الفرعات . وهذا هو الفرق الاساسي بين صفيف الهوائي الموجه ومخططات التنوع الفراغي . في موقع الوحدة المتنقلة يقلل صفيف الهوائي الموجه الخفوت بدون زيادة سوية استقبال الإشارة . ومن جانب آخر تقلل مخططات التنوع الخفوت وتزيد سوية الاستقبال .



ب - مجمع تنوع فراغي عند التردد الوسيط



ج - مجمع تنوع فراغي عند النطاق الأساسي
(C) Space diversity combiner at baseband

الشكل 4-7 الفرق بين صفيف الهوائي الموجه ومجمع التنوع الفراغي .

5-7 اعتمادية التردد واستقلالته .

1-5-7 اعتمادية التردد العامل على التنوع الفراغي

يبنى استخدام أو عدم استخدام مخطط التنوع الفراغي على الترددات العاملة ومقدار الفراغ الفيزيائي المتوفر. يعتبر مخطط التنوع الفراغي بسيطاً نسبياً. فهو لا يحتاج طيفاً إضافياً للتباين كمخطط التنوع الترددي. وهو لا يعاني من خسارة 3 ديسيبل في القدرة المرسلة مثل مخطط التنوع الاستقطابي، يجب ان يكون التنوع الفراغي الاختيار الأول عند دراسة مخططات التنوع. في موقع الوحدة المتنقلة يكون فاصل الهوائي المطلوب لمخطط التنوع الفراغي نصف طول الموجة، ولتردد عامل أ ج هـ، يكون نصف طول الموجة حوالي 15 سم (6 أنش) فقط، يمكن تركيب هوائين مفصولين عن بعضهما بمسافة 6 إنش بسهولة، على سقف أو مؤخره أي نوع من العربات. عندما ينخفض التردد العامل إلى 100 م هـ مثلاً فإن نصف طول الموجة يصبح 2 م (6 قدم) وهو طول غير عملي للفصل بين هوائين على سقف الوحدة المتنقلة لهذا عند الترددات المنخفضة يؤخذ مخطط آخر يدعى تنوع مكونة الحقل (انظر الفصل 3-3). لهذا المخطط فوائد التنوع الفراغي بدون فاصل فراغي مطلوب.

2-5-7 استقلالية التردد العامل عن التنوع الترددي

يمكن استخدام التنوع الترددي في بعض الاحيان بفعالية ضد خفوت المسارات المتعددة. تحمل نفس معلومات الاشارة على ترددين بفاصل كافٍ من الطيف الترددي، وعند طرف الاستقبال تكون خصائص خفوتها غير مترابطة، بضم الاشارتين الخافتتين المستقبليتين يقل الخفوت ويقل احتمال تأثر معلومات الاشارة بالخفوت، ينصح بمخطط آخر مثل ارسال نفس المعلومات في فترتين متعاقبتين. كلا المخططين يستطيع التغلب على الخفوت الشديد للاشارة المرسلة. يضحى المخطط الأول بالطيف بينما يقلل الانتاجية، اذا كانت الاعادة للكلمة بـ 40 بته مقدار خمس مرات على نفس التردد أو على ترددات مختلفة للتأكد من الاستقبال الصحيح فإن الانتاجية هي 1/5. اذا كان ارسال نفس الكلمة على خمسة ترددات مختلفة في نفس الوقت فإن عرض نطاق الطيف يزداد بمقدار خمس مرات. يعتمد الفاصل الترددي لتطبيق التنوع الترددي على عرض نطاق التماسك المذكور في الفصل 3-3.

$$B_c = \frac{1}{2\pi\Delta}$$

1-5-7

حيث Δ هو تأخير الانتشار. في مناطق الضواحي $\Delta = 0.5 \mu s$ إذن

$$B_c = 300 \text{ kHz}$$

في مناطق المدن $\Delta = 3 \mu s$ إذن

$$B_c = 50 \text{ kHz}$$

في المناطق المكشوفة $\Delta \leq 0.2 \mu s$ إذن $B_c \approx 800 \text{ kHz}$

من البيانات السابقة يمكن اختيار الفاصل الترددي ΔF ليكون:

$$\Delta F > 300 \text{ kHz}$$

يصمم التنوع الترددي عادة لمقاومة الخفوت الشديد في مناطق الضواحي والمدن، لهذا يجب ان يكون استقبال الإشارة في المناطق المكشوفة قوياً بشكل كاف بحيث لا يحتاج إلى التنوع الترددي. وفي مناطق المدن يحتاج فقط إلى فاصل ترددي أكبر من 50 ك هـ. ولكن قاعدة التصميم تحتم دائماً تغطية تقليل الخفوت في مناطق الضواحي أي $\Delta F > 300 \text{ kHz}$. يحقق فاصل التردد هذا أيضاً متطلبات التنوع الترددي في مناطق المدن.

حقيقتان هامتان على التنوع الترددي:

١ - إن تأخير الانتشار Δ ليس تابعاً للترددات العاملة ما دامت أبعاد النواثر المحيطة بالوحدة المتنقلة أكبر بكثير من طول موجة التردد العامل، في هذه الحالة يجب ان يكون مدى تردد بيئة الراديو المتنقل أكبر من 30 م هـ لبقاء Δ ثابتاً. لذلك عند ترددات أعلى من 30 م هـ لا تعتمد Δ على التردد العامل بل تعتمد فقط على المنشآت الصناعية وذلك في المناطق المكشوفة أو الضواحي أو المدن.

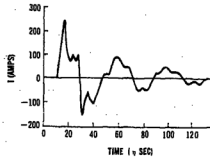
٢ - يمكن استخدام التنوع الترددي في كلا موقعي محطة القاعدة والوحدة المتنقلة بنفس الفاصل الترددي، بالرغم من أن الفاصل الفراغي المستخدم للتنوع الفراغي في كلا الموقعين مختلف، في غطاء التنوع الفراغي يكون فاصل الهوائي في موقع الوحدة المتنقلة 0,5λ، وفي محطة القاعدة يكون فاصل الهوائي كبيراً جداً بحدود عدة أطوال موجه حسب ارتفاع هوائي المحطة. وهذا هو الاختلاف الرئيسي بين نوعي التنوع.

6-7 بيئة الضجيج .

يتضاءل الضجيج الصناعي أمام ضجيج اشتعال محركات العربات، لأن جميع العربات تسير على الطريق الواحدة، قريبة جداً من الأخرى. لذلك فإن استقبال الإشارة في كل عربة يتأثر بضجيج اشتعال نفس العربة والعربات المحيطة بها. إن أفضل معلومات عن بيئة ضجيج الحركة هو قياس تدفق حركة السير. سوياً الضجيج الصناعي من بيانات تدفق حركة السير. لتقدير عرض شارة الاشتعال وعدد الشرارات في الثانية يجري الحساب البسيط التالي:

يدوم ضجيج شارة اشتعال حادة واحدة تزيد عن 200 أمبير نموذجياً من 1/ إلى 5/ نانوثانية. يصل الجزء العلوي من الشارة إلى مدى تردد من 200 م هـ إلى 1 ج هـ. يبلغ عرض الشارة الأقل من 100 أمبير (انظر الشكل 5-7) 20 نانوثانية. لنفترض أن للمحرك 8 أسطوانات لكل منها سرعة 3000 دورة / دقيقة. بها أنه في أية لحظة نصفها فقط في حالة اشتعال يكون إذن:

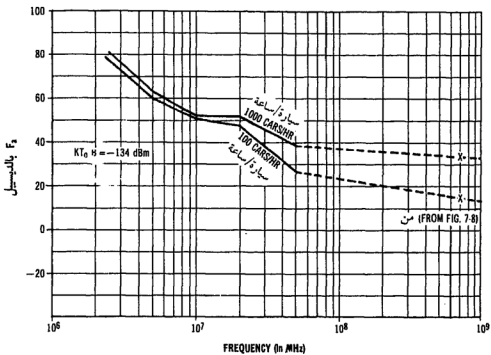
$$\text{شارة/ثا} = \frac{12000 \text{ rpm}}{60 \text{ s/m}} = 200 \text{ rpm} = 4 \times 3000 \text{ rpm}$$



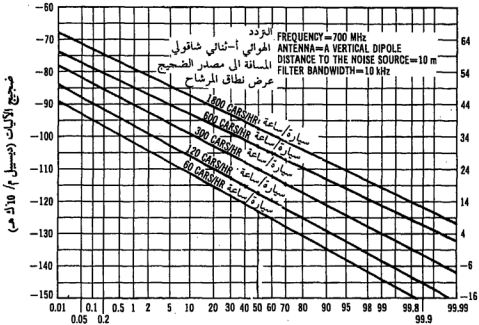
الشكل 5-7 اشكال موجة تيار دائرة الاشتعال

إذا وجدت عربات كثيرة على الطريق فإن عدد الشرارات يتضاعف حسب عدد العربات، ولهذا يعتمد الضجيج الصناعي على حركة السير. يؤثر الجزء المنخفض من الشرارة (أقل من 100 أمبير) على التردد المنخفض. إذا دامت الشرارة أكثر من 20 نانو ثانية فإن التأثير على التردد يكون حتى 50 م هـ أو أقل. يعبر عن قدرة ضجيج حركة الآليات بعامل الضجيج F_w ويبين في الشكل 6-7 كتابع للتردد ويبلغ عرض نطاق الضجيج عند الكاشف 10 ك هـ. يبلغ الضجيج الحراري عند درجة حرارة الغرفة (290 كلفن) وعرض نطاق مرشح 10 ك هـ حوالي - 134 ديسيبل م. يبين الشكل 6-7 كثافتي حركة سير فكلما قل التردد ارتفع ضجيج الاشتعال. تؤثر كثافة حركة السير أيضاً على سوية الضجيج أكثر عند التردد العالي، وهذا ما يبينه الفرق في سويتي ضجيج على طول تدرج التردد بكثافتي حركة سير مختلفين. هناك عامل ضجيج 10 ديسيبل استقبل من كثافة حركة سير قليلة (100 عربة / الساعة) وعامل ضجيج 34 ديسيبل استقبل من كثافة حركة سير عالية نسبياً (1000 عربة / ساعة) في المدى 700 إلى 1000 م هـ. يتبع توزيع ضجيج الآليات التوزيع الطبيعي اللوغاريتمي كما هو مبين في الشكل 7-7. قيست المعطيات بهوائي متناظر (ثلاثي الاقطاب) عند تردد 700 م هـ. وكان عرض نطاق المرشح المستقبل 10 ك هـ والمسافة لأقرب عربة 10 م (30 قدم).

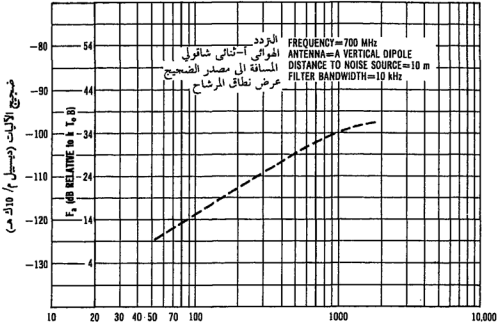
تزيد سوية الضجيج دائماً مع زيادة كثافة حركة السير. يكون متوسط سوية ضجيج الآليات عند 50%. رسم متوسط ضجيج الآليات مقابل عدد السيارات / الساعة في الشكل 8-7. لاحظ أن سوية الضجيج تزداد خطياً مع كثافة حركة السير في التدرج اللوغاريتمي حتى 1000 سيارة / ساعة ثم تستقر إذا زادت الكثافة (عن هذا الحد). باستخدام بيانات الشكل 8-7 فقد استخدم الاستقراء الحسابي على منحنيات كثافتي حركة سير تمتد حتى 1 ج هـ كما هو مبين في الشكل 6-7 بخططين منقطين بعد إضافة الخططين المنقطين في الشكل 7-7 يمكن أن نرى أنه عندما تزداد كثافة حركة السير يظهر أن ضجيج الآليات يهبط ببطء مع ازدياد التردد من 100 م هـ إلى 1 ج هـ وكذلك فإن تأثير حركة السير أكثر فعالية عند الترددات العالية منه عند الترددات المنخفضة. يبين الشكل 9-7 هذه الظاهرة حيث يصبح الميل على طول تدرج كثافة حركة السير أشد مع زيادة التردد. يكون الفرق بين سويتي الضجيج عند الوحدة المتنقلة ومطحة القاعدة 1 أو 2 ديسيبل. ورد التفسير عن ذلك باستخدام النموذج المبين في الفصل 4-6.



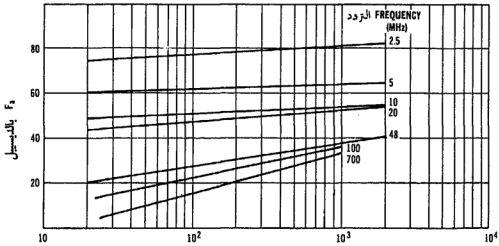
الشكل 6-7 ضجيج الآليات مقابل التردد



الشكل 7-7 توزيع ضجيج الآليات (من المرجع 8).



الشكل 8-7 متوسط ضجيج الآليات مقابل عدد السيارات / ساعة .



الشكل 9-7 متوسط قدرة الضجيج لحركة الآليات معبراً عنه بالرمز F_n لترددات وكثافات سير مختلفة وعرض نطاق مكشاف الضجيج 10 ك هـ .

7-7 توصيلات الهوائي وتوضعه على الوحدة المتنقلة.

للحصول على استقبال جيد في الوحدة المتنقلة يجب أن يوضع الهوائي في أعلى ما يمكن. ولكن كلما ارتفع الهوائي كانت حركة كسره أسهل نظراً للحدودية الفيزيائية. وكذلك لا يريد معظم المستثمرين أن ينقب سقف العربة ويرغبون بمعاونة خسارة استقبال 3 ديسيبل لاستخدام التركيب الزجاجي، بينما يجب البعض أن يركب الهوائي على أعلى الصندوق الخلفي بحيث يسهل نزعه عندما لا يستخدم. كما أن تركيب الهوائي على المصدّم هو إختيار آخر أيضاً.

1-7-7 : مواءمة الممانعة عند وصلة الهوائي:

يجب أن تتواءم ممانعة حمل الهوائي وممانعة السلك الواصل إلى مرسل/ مستقبل الوحدة المتنقلة لحذف الأمواج المنعكسة عن حمل الهوائي ولكن، إذا لم يصمم الصانعون منتجاتهم بعناية فائقة ومواءمة ممانعة جيدة فإن الموجة المنعكسة تقلل أما القدرة المرسلة أو القدرة المستقبلية. لا يكلف تركيب الهاتف المتنقل أنفسهم عادة عناء تقليل هذه الخسارة.

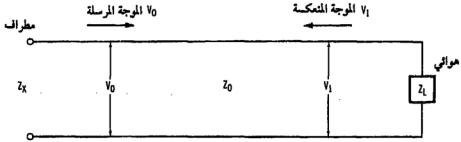
تقاس الخسارة باستخدام نسبة الموجة المستقرة SWR (انظر الشكل 10-7 أ).

$$SWR = \frac{V_0 + V_1}{V_0 - V_1} = \frac{1 + (V_1/V_0)}{1 - (V_1/V_0)} = \frac{1 + |\rho_0|}{1 - |\rho_0|} \quad 1-7-7$$

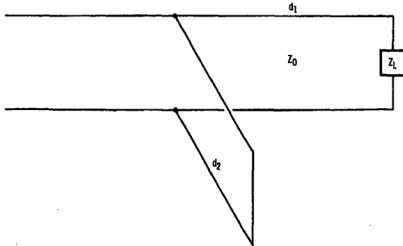
يبين الشكل 10-7 أ الجهدين V_0 و V_1 مكوني الموجة المستقرة حيث ρ_0 هو عامل إنعكاس الجهد ويمكن التعبير عنه بالعلاقة:

$$\rho_0 = \frac{Z_L - Z_0}{Z_L + Z_0} = \frac{(R_L - R_0) + j(X_L - X_0)}{(R_L + R_0) + j(X_L + X_0)} \quad 2-7-7$$

حيث Z_L هي ممانعة الحمل $Z_L = R_L + jX_L$ ، Z_x هي الممانعة على مسافة x باتجاه الحمل ، $Z_0 = R_0 + jX_0$ الممانعة المميزة للنقط $Z_0 = R_0 + jX_0$ ، $X_0 = R_x + jX_x$ ،
 من أجل مواعمة جيدة $V_1 = 0$ ، ونجد من المعادلة 1-7-7 ان $SWR = 1$.

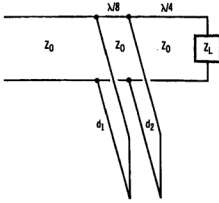


(أ) دائرة توضيح الموجات المستقرة

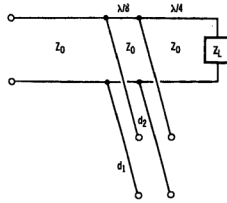


(ب) مولف جهوائي إيتروعيد

الشكل 10-7 أجهزة مواعمة الممانعة



(ج) مولف هيوالين ايترين (مقصودي الدارة)



(د) مولف هيوالين ايترين (مفتوح الدارة)

تابع الشكل 10-7

مثال 1-7 : ما هي الخسارات للحالتين $Z_0 = 0.5Z_L$ و $Z_0 = 0.7Z_L$

الحالة 1 : $X_0 = 0.7X_L$, $R_0 = 0.7R_L$ بتعويض هذه القيم في المعادلة 2-7-7 ينتج :

$$|\rho_v| = \frac{0.3(R_L + jX_L)}{1.7(R_L + jX_L)} = 0.18$$

$$\text{loss} = 20 \log(1 - 0.18) = 1.7 \text{ dB}$$

$$\text{SWR} = \frac{1.18}{0.823} = 1.43$$

الحالة (2) : $X_0 = 0.5X_L$, $R_0 = 0.5R_L$ بتعويض هذه القيم في المعادلة 2-7-7 ينتج :

$$|\rho_v| = \frac{0.5}{2} = 0.25$$

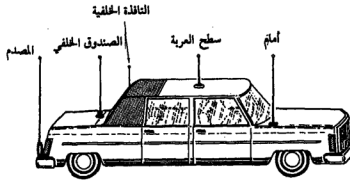
$$\text{loss} = 20 \log(1 - 0.25) = 2.5 \text{ dB}$$

$$\text{SWR} = \frac{1.25}{0.75} = 1.67$$

يكون الفرق في بعض الأحيان بين Z_{L_1} و Z_0 كبيراً وعندئذ تكون الخسارة كبيرة جداً، لتقليل الخسارة يمكن استخدام موالف فرعي مفرد كما في الشكل 10-7 ب. نوع آخر من الموالف هو الموالف الفرعي المزدوج مع قصر دائرة الفرعة كما في الشكل 10-7 جـ أو فتح دائرة الفرعة كما في الشكل 10-7 د باستخدام هذه الموالفات نحتاج إلى ضبط طولين متغيرين هما d_1 و d_2 كما هو مبين في الشكل 10-7 جـ أو الشكل 10-7 د.

2-7-7 موضع الهوائي على جسم العربة

يمكن استخدام خمسة أماكن على جسم العربة، المقدمة، سقف العربة، النافذة الخلفية، سقف الصندوق الخلفي، المصدّم كما هو مبين في الشكل 11-7 بغض النظر أينما توضع الهوائي يجب أن يكون أعلى من سقف العربة لكي يكون استقباله جيداً للأمواج التي تصله من جميع الجهات. لا يتطلب هوائي التركيب الزجاجي عمل أي ثقب إلا أن خسارة اقتران الإشارة خلال الزجاج تختلف باختلاف سماكة الزجاج والتردد وتكون عادة حوالي 3 ديسيبل.



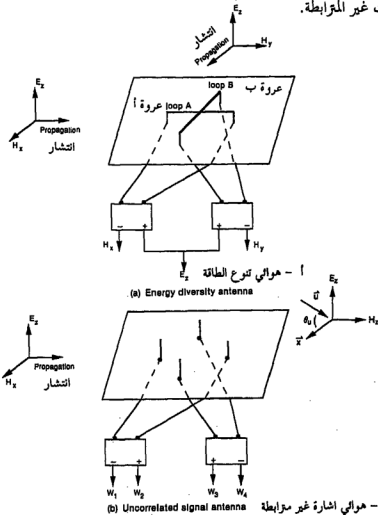
الشكل 11-7 تركيب هوائي الوحدة المتنقلة.

3-7-7 التركيب العمودي :

يحدث في بيئة الرادير المتنقل اقتران متقاطع نتيجة للوسط ولهذا فإن قدرة الموجة المستقطبة عمودياً يمكن أن تقترن مع الموجة المستقطبة أفقياً. وليس لهذا تأثير قوي، ومع هذا فإن الهوائى الملائم المركب على الوحدة المتنقلة يجب أن يكون عمودياً ليكون إستقباله جيداً.

8-7 هوائيات تنوع مكونات الحقل :

نوقشت ميزات استخدام هوائيات تنوع مكونات الحقل في الفصل 3-4-2. وقد بين الشكل 12-7 دراسة جدوى لهوائى تنوع مكونات الحقل. توجد تشكيلتان في هذا النظام ، تدعى احدهما بهوائى كثافة الطاقة وتدعى الأخرى بهوائى الاشارات غير المترابطة.



الشكل 12-7 هوائى تنوع مكونات الحقل

7-1-8 هوائى كثافة الطاقة :

يبين الجزء المركزي للشكل 7-12 أن نهايات العروتين المتصاليتين لهوائيات كثافة الطاقة تتصل مع دائرة قارن هجينة 180° . أحد مخارج الدارة هو مخرج جامع والأخر مخرج طارح. تنتشر الموجة E_z بالاتجاه y حيث تستقبل كمجموع دخلين من الحلقة A وهى متناسبة مع الجهد. تستقبل الموجة H_x كفرق بين الدخلين من الحلقة A وهى متناسبة مع التيار. وتحصل العلاقة نفسها مع المركبتين E_y ، H_z من الحلقة B . وكما هو ظاهر من الشكل 1-5 ج فإن الحقل E المنعكس عن نائر سوف يشكل موجة مستقرة ، وكذلك الحقل H . يوجد بين الموجتين المستقرتين فرق في الطور مقداره 90° . مثال ذلك : لتكن احدى الموجات المستقرة تمثل موجتين E على المخرج الجامع والأخرى تمثل موجتين H على المخرج الطارح :

$$1-8-7 \quad \text{الحقل } E \text{ متناسب مع } E \text{ field} \sim e^{+j\beta x} + e^{-j\beta x} \sim \cos \beta x$$

$$2-8-7 \quad \text{الحقل } H \text{ متناسب مع } H \text{ field} \sim e^{+j\beta x} - e^{-j\beta x} \sim \sin \beta x$$

حيث β الرقم الموجى $\beta = 2\pi/\lambda$ و x مسافة الانتشار. بتزيع المعادلتين 7-1-8 و 7-2-8 وجمعهما نحصل على :

$$7-3-8 \quad \cos^2 \beta x + \sin^2 \beta x = 1$$

والتي تبين أن اشارة الخفوت قد حُذفت كلياً وأن الغلاف أصبح ثابتاً. يمكن تطبيق المعادلة 7-3-8 في بيئة موجة مستقرة فقط . أما في بيئة خفوت عامة حيث يمكن حدوث عدة أمواج مستقرة فإن النتيجة لا تكون ثابتاً أي

$$4-8-7 \quad s(x) = \left(\sum_1^N A_i \cos \beta x \right)^2 + \left(\sum_1^N B_i \sin \beta x \right)^2 \neq 1$$

حيث A_i و B_i مطالات الأمواج المستقرة ، وهى عشوائية في طبيعتها والأمواج E_z ، H_x ، H_y غير مترابطة دوماً . يمكن تمثيل هوائى تنوع مكونات الحقل (انظر الفصل الثالث المرجعين 1 و 9) على الشكل التالي :

$$5-8-7 \quad s(x) = \sum_1^N A_i \cos \beta x + \sum_1^N B_i \sin \beta x$$

كلا نوعي التنوع كثافة الطاقة في المعادلة 4-9-7 ومكونات الحقل في المعادلة 5-8-7 يعاملان بوضوح ، وأي منهما لا يحتاج الى مبادعة الهوائي بينما يحتاج التنوع الفراغى الى مبادعة الهوائى حسب طول موجة التردد الحامل. من الصعب الوصول الى التنوع الفراغى عند الترددات المنخفضة نظراً لمتطلبات الفاصل الفيزيائى للهوائى :

2-8-7 هوائى تنوع الاشارات غير المترابطة :

يتبع هوائى تنوع الاشارات غير المترابطة نفس مبدأ هوائى تنوع مكونات الحقل. لنفترض وجود حقلين كهربائيين E_{21} و E_{22} يعبر عنهما كما يلى :

$$E_{z1} = \sum_{n=1}^N A_n \exp(-j\beta u \cdot x_1) = X_1 + jY_1 \quad 6-8-7$$

$$E_{z2} = \sum_{n=1}^N A_n \exp(-j\beta u \cdot x_2) = X_2 + jY_2 \quad 7-8-7$$

حيث A_n مطال عقدي لموجة كهربائية تنتشر باتجاه u و u هى وحدة متجه (شعاع) تتعلق بزاوية θ_n بين u و x كما هو مبين في الشكل 12-7 ب ، β هو رقم الموجة و N عدد وصول الأمواج . يمكن التعبير عن E_{21} و E_{22} بأجزاء حقيقية و تخيلية كما هو مبين في المعادلتين 6-8-7 و 7-8-7 على التالي .

يمكن التعبير عن خرجى هوائى تنوع مكونات الحقل W_1 و W_2 كما هو مبين على الشكل :

$$W_1 = E_{z1} + E_{z2} = (X_1 + X_2) + j(Y_1 + Y_2) \quad 8-8-7$$

$$W_2 = E_{z1} - E_{z2} = (X_1 - X_2) + j(Y_1 - Y_2) \quad 9-8-7$$

ويكون الترابط بين الاشارتين W_1 ، W_2 هو :

$$\overline{W_1 W_2^*} = \overline{(X_1^2 - X_2^2)} + \overline{(Y_1^2 - Y_2^2)} + 2j\overline{(X_1 Y_2 - Y_1 X_2)} \quad 10-8-7$$

$$= 2j\overline{(X_1 Y_2 - Y_1 X_2)} = 0$$

$$\overline{X_1 Y_2} = \overline{Y_1 X_2} = 0 \quad \text{لأن :}$$

بأخذ المعادلتين 6-8-7 و 7-8-7 وأخذ متوسط حدود الجداء المشار اليها في المعادلة 10-8-7 يمكن البرهنة أن المخرجين W_1 ، W_2 غير مترابطين .

ثانياً ، نفحص المعادلتين 8-8-7 و 9-8-7 . فإذا كانت E_{21} و E_{22} مترابطين بشدة فإن القيمة المتوسطة لـ W_2 تكون أصغر بكثير من W_1 ولافائدة من ضمهما حتى في حالة عدم ترابط W_1 و W_2 . لكى تبقى قيم W_1 و W_2 نفسها من الضروري أن نجعل ترابط غلاف E_{21} و E_{22} 0.5 كما يلى :

$$\rho_{E_{x_1}-E_{x_2}} = J_0[\beta(x_1 - x_2)] = 0.5 \quad 11-8-7$$

حيث $J_0(\cdot)$ تابع بيسل من النوع الأول والدرجة صفر. من المعادلة 11-8-7 :

$$J_0[\beta(x_1 - x_2)] = 0.707 \quad 12-8-7$$

$$\beta(x_1 - x_2) = 1.1$$

$$x_1 - x_2 = \frac{1.1}{2\pi} \lambda = 0.175\lambda$$

إذن من التحليل النظري نجد أن المباعدة بين عنصري الهوائي هو 0.175λ ولكن من النتائج التجريبية يمكن أن تكون المباعدة بين عناصر الهوائي محدود 0.125λ أي أقل من القيمة النظرية .

REFERENCES

1. Lee, W. C. Y., "A Study of the Antenna Array Configuration of an M-Branch Diversity Combining Mobile Radio Receiver," *IEEE Trans. Veh. Tech.* VT-20 (Nov. 1971): 93-104.
2. Lee, W. C. Y., "An Extended Correlation Function of Two Random Variables Applied to Mobile Radio Transmission," *Bell Sys. Tech. J.* 48 (Dec. 1969): 3423-3440.
3. Lee, W. C. Y., "Introduction to Mobile Cellular Concepts," *Microwave Sys. News Commun. Tech.* (June 1985).
4. Lee, W. C. Y., "Antenna Spacing Requirement for a Mobile Radio Base-Station Diversity," *Bell Sys. Tech. J.* 50 (July-Aug. 1971): 1859-1874.
5. Lee, W. C. Y., "Preliminary Investigation of Mobile Signal Fading Using Directional Antennas on the Mobile Unit," *IEEE Trans. Veh. Tech.* 15 (Oct. 1966): 8-15.
6. Rustako, A. J., Y. S. Yeh, and R. R. Murray, "Performance of Feedback and Switch Space Diversity 900 MHz, FM Mobile Radio System with Rayleigh Fading," *IEEE Trans. Commun.* 21 (Nov. 1973): 1257-1268.
7. Lee, W. C. Y., "Close-Spaced Diversity Antenna at HF," *IEEE Milcom 85 Boston, MA* (Oct. 1985): 21-23.
8. Skomal, E. N., "Automotive Noise," *Man-made Radio Noise* (Van Nostrand Reinhold, 1978): ch. 2.
9. Lee, W. C. Y., and Y. S. Yeh, "Polarization Diversity System for Mobile Radio," *IEEE Trans. Commun. Com-20* (Oct. 1972): 912-923.
10. Lee, W. C. Y., "Statistical Analysis of the Level Crossings and Duration of Fades of the Signal from an Energy Density Mobile Radio Antenna," *Bell Sys. Tech. J.*, Vol. 46, No. 2, Feb. 1967, pp. 417-448.
11. Lee, W. C. Y., "An Energy Density Antenna for Independent Measurement of the Electric and Magnetic Field," *Bell Sys. Tech. J.*, Vol. 46, No. 7, September 1967, pp. 1587-1599.

8 - التشوير وبلوغ القناة

- 1-8 معايير تصميم التشوير .
- 2-8 معدل التنبيه الخطأىء .
- 3-8 معدل خطأ الكلمات .
- 4-8 تخصيص القنوات .
- 5-8 اعتبارات سعة التبديل .

1-8 معايير تصميم التشوير

ينقل التشوير المعلومات المستخدمة لإنشاء وضبط وانهاء المكالمات، يمثل التشوير عادة على شكل رقمي يتألف من عدد من البتات تدعى كلمة. تحتاج الإشارة الواحدة عادة الى كلمة واحدة وستبنى معايير تصميم التشوير على أساس نوعين من الأداء: معدل التنبيه الخاطئ ϵ ومعدل خطأ الكلمات.

2-8 معدل التنبيه الخاطئ ϵ

يبنى معدل التنبيه الخاطئ ϵ على أساس احتمال التعرف الخاطئ ϵ على جميع الرموز المخصصة لمختلف الوظائف أو العناوين وعدم التمييز بينها. إن أكثر ما يزعج المستثمر هو أن يجيب على الرقم المطلوب خطأً جهة أخرى، أو أن تتحول وظيفة عملياتية معينة مثل «طلب تسليم القناة» بعد استقبالها بوحدة الاستقبال لترجم إلى عملية غير متوقعة مثل «أقال».

تحدث هذه الحالة عادة نتيجة لتلوث الوسط بالضجيج. إذا كان الوسط هادئاً جداً فإن انسياب البتات سيستقبل بمعدل عالٍ من الصحة ويكون معدل التنبيه الخاطئ ϵ منخفضاً جداً. إذا كان الوسط صاخباً فإن كثيراً من البتات المناسبة ستكون خاطئة عند طرف الاستقبال نتيجة للوسط ويكون معدل التنبيه الخاطئ ϵ عالٍ جداً، يجري حساب معدل التنبيه الخاطئ ϵ على أساس مسافة هامنغ. تعني مسافة هامنغ لعدد d من البتات أن الفرق بين كلمتين مشفرتين مخصصتين بنفس طول الكلمة L هو الاختلاف في بتات هاتين الكلمتين في عدد d من الأماكن على طول L بتة. يستخدم معدل التنبيه الخاطئ ϵ كمعيار لتصميم مجموعة الكلمات المشورة على أساس صخب الوسط وأهمية الوظيفة. وقد تم اختيار مسافة هامنغ لعدد d من البتات من أصل كلمة بطول L بتة على أساس معدل خطأ البتات الافرادي الناتج عن الوسط.

بينت معدلات خطأ البتات في الفصل 6-3

يؤكد التصميم الملائم أنه من غير المحتمل أن تكون جميع البتات d أو أكثر منها في الطول L بتة خاطئة نتيجة لوسط الارسال. لهذا يبني التصميم الملائم على أساس الانتقاء الملائم للعدد d . إذا كان الوسط صاخباً فإن قيمة d سوف تزداد. يمكن لمعدل التنبيه الخاطئ ϵ أن يضبط عند سوية معينة. يعطى معدل الانذار الخاطئ ϵ_{PF} بالعلاقة:

$$P_f = \text{false-alarm rate} = P_e^d (1 - P_e)^{L-d} \quad 1-2-8$$

حيث P_e هو معدل خطأ البتات لكل بته ، مثال ذلك لاحظ كلمتين مشفرتين بطول 9 بته أي: $L = 9$

1 0 1 0 1 1 0 1 0
1 1 0 1 0 1 0 0 0

توجد خمسة أماكن حيث البتات مختلفة، إذن $d = 5$ لنفترض أن معدل خطأ البتات لكل بته هو 10^{-2} ، عندئذ تكون $P_e = 10^{-2}$ ، بتعويض $P_e = 10^{-2}$ ، $d = 5$ ، $L = 9$ في المعادلة 1-2-8 يصبح معدل التنبيه الخاطئ P_f

$$P_f = (0.01)^5 (1 - 0.01)^{9-5} = 10^{-7}$$

إذن فرصة حدوث الانذار الخاطئ هي واحد من عشرة ملايين إذا كان عشرة آلاف مستمر يطلبون نفس المنطقة في نفس الوقت فإن احتمال التنبيه الخاطئ هو 10^{-3} ، وهذا يعني أن مستمراً واحداً من كل ألف مستمر سيستقبل تنبيهاً خاطئاً. وهذا بالطبع غير مرغوب فيه وحالة نادرة جداً. بعد توليد الكلمات المشفرة يجب أن تستقبل خالية من الأخطاء، إذا وجد أكثر من خمس بتات خاطئة في كلمة مشفرة بطول 9 بته فإن مكشاف التشفير بدلاً من التعرف على الأخطاء فيها يفسرها ككلمة صحيحة تعرف مستمراً آخر أو تأمر بوظيفة أو عملية أخرى مختلفة كلياً. هذا الحدث غير مرغوب فيه مطلقاً ويجب إزالته حيثما أمكن. يصف الفصل التالي ضبط معدل خطأ الكلمات.

3-8 معدل خطأ الكلمات.

معدل خطأ الكلمات هو احتمال ارسال كلمة مشفرة خاطئة أو كلمة خاطئة وهو يختلف عن معدل التنبيه الخاطئ. يحدث الخطأ في الكلمة بدرجة أكبر نسبياً بالمقارنة مع معدل الكلمات المفصرة خطأ. يكون معدل خطأ الكلمات دائماً أعلى من معدل التنبيه الخاطئ. يكون في أنظمة الاتصالات النموذجية معدل خطأ الكلمات من 10^{-2} إلى 10^{-3} ولكن معدل التنبيه الخاطئ يكون من 10^{-6} إلى 10^{-7} . يتفحص الفصل التالي معدل خطأ الكلمات في بيئات مختلفة.

1-3-8 في بيئة غوص.

عندما يعرف معدل خطأ البتات P_e في بيئة غوص (انظر الفصل 6-3). فإن معدل خطأ الكلمات P_{ew} لكلمة رسالة بطول L بته يمكن الحصول عليه بالشكل :

$$P_{ew} = \text{word-error} = 1 - (1 - P_e)^L \quad 1-3-8$$

حالة دون تصحيح أخطاء. أما معدل خطأ الكلمات المشفرة P_{ew} لكلمة شفرة مؤلفة من N بته مع امكانية تصحيح t خطأ أو أقل يمكن ان يعطى بالعلاقة :

$$P_{ew} = 1 - \sum_{k=0}^t G_k^N P_e^k (1 - P_e)^{N-k} \quad 2-3-8$$

حيث

$$G_k^N = \frac{N!}{(N-k)!k!} \quad 3-3-8$$

إن ثمن تصحيح t خطأ مشفراً في رسالة رقمية بطول L هو اضافة $N-L$ بته اختبار التماثل في التشفير الدوري الثنائي أو اضافة $N-L$ بته زائدة عن الحاجة في التشفير الكتلي الخطي. يكون العدد $N-L$ بته عادة أكبر بكثير من t بته، عندئذ تكون الانتاجية η هي :

$$\eta = L/N \quad 4-3-8$$

يكون في العادة شفرة بمسافة هامنج d امكانية تصحيح الخطأ بمقدار :

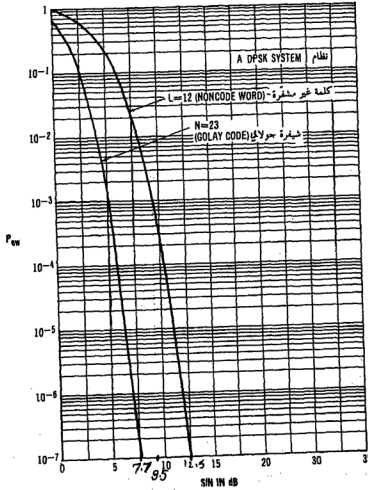
$$t = (d - 1)/2 \quad 5-3-8$$

مثال 1-8 : لتشفير جولاي (12' 23) بته رسالة و 11 بته زائدة عن الحاجة ومسافة هامنج هي 7 وهو قادر على تصحيح أي تشكيلة بثلاثة أخطاء عشوائية أو أقل في كتلة من 23 بته.

$$\eta = \frac{12}{23} = 0.52 \quad \text{والانتاجية}$$

ما هو التوفيق بين الانتاجية وتقليل الخطأ؟ استخدم كلمة غير مشفرة فيها $L = 12$ ، وتشفير جولاي $N = 23$ للكلمة لتوضيح الفرق في الانتاجية وتقليل الخطأ بتطبيق المعادلة 1-3-8 والمعادلة 2-3-8 كما هو مبين في الشكل 1-8. عند معدل خطأ الكلمات 10^{-3} (وهو المستخدم عادة للاتصالات) تكون سوية نسبة الإشارة إلى

الضجيج المطلوبة هي 9,5 ديسيبل للكلمة غير المشفرة و 5 ديسيبل لكلمة تشفير جولاي وعند معدل خطأ كلمات 10^{-7} وهو الذي يمكن قبوله للحاسوب فإن سوية نسبة الإشارة إلى الضجيج المطلوبة هي 7,7 ديسيبل لكلمة تشفير جولاي و 12,5 ديسيبل للكلمة غير المشفرة. عند تحديد معدل خطأ الكلمات تكون سوية نسبة الإشارة إلى الضجيج في ارسال كلمة غير مشفرة دائماً أعلى بمقدار 4,5 ديسيبل عن سوية كلمة بتشفير جولاي، من الممكن حقاً أن ترغب بدفع ثمن زيادة سوية نسبة الإشارة إلى الضجيج بمقدار 4,5 ديسيبل للكلمة غير المشفرة للحصول على نفس معدل خطأ الكلمات في تشفير جولاي ومضاعفة الانتاجية في نفس الوقت.



مقارنة بين معدل التنبيه الخاطئ ومعدل خطأ الكلمات .

يمكن مقارنة معدل التنبيه الخاطئ (المعادلة 2-2-8) مع معدل خطأ الكلمات (المعادلة 1-3-8) بضم العلاقتين على الشكل التالي :

$$\frac{P_{ew}}{P_f} = \frac{1 - (1 - P_e)^L}{P_e^d (1 - P_e)^{L-d}} \approx \left(\frac{1}{P_e}\right)^d \left[\left(\frac{1}{1 - P_e}\right)^L - 1 \right] \quad 6-3-8$$

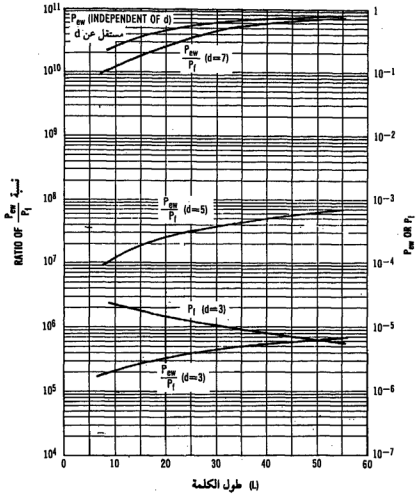
بما أن $Pe \ll 1$ يمكن إيجاد التقريب من تمديد سلسلة تايلور على الشكل :

$$(1 - P_e)^{-L} \approx 1 + LP_e$$

لذلك تصبح المعادلة 6-3-8 على الشكل :

$$\frac{P_{ew}}{P_f} = \left(\frac{1}{P_e}\right)^d LP_e = LP_e^{1-d} \gg 1 \quad 7-3-8$$

شرطية أن تكون $L \gg Pe^{-1}$. رسمت المعادلة 7-3-8 بحالة $Pe = 0.03$ في الشكل 2-8 وتشير إلى أن معدل خطأ الكلمات أعلى بكثير من معدل التنبيه الخاطئ في الظروف الطبيعية . وكذلك تزداد قيمة P_{ew} عندما يزداد الطول L ولكن P_f تتناقص مع زيادة الطول L .



الشكل 2-8

نسبة معدل خطأ الكلمات إلى معدل التنبيه الخاطئ

مقابل مسافة هامنج ($Pe = 0.03$)

2-3-8 في بيئة رايلي

تواجه الاشارات المرسله في بيئة خفوت رايلي تفجر الاخطاء بسبب فترة الخفوت. تتعلق فترة الخفوت بسرعة الوحدة المتنقلة عندما تكون السرعة عالية تكون فترة الخفوت قصيرة، وعندما تكون السرعة منخفضة تكون فترة الخفوت طويلة. ولهذا فإن معدل خطأ الكلمات أو معدل خطأ الكلمات المشفرة يعتمد على سرعة العربة ومع ذلك فمن الصعب جداً إيجاد علاقة تحليلية لمعدل خطأ الكلمات بدلالة سرعة العربة، ولهذا نوقشت حالتان متطرفتان: حالة الخفوت السريع وحالة الخفوت البطيء.

3-3-8 حالة خفوت سريع في بيئة خفوت رايلي

تعرف حالة الخفوت السريع وكان سرعة الوحدة المتنقلة تقترب من اللانهاية وبالتأكيد فإن هذه الحالة غير واقعية. ومع ذلك فهي تخدم كقيمة حدية علوية لمعدل خطأ الكلمات. عندما تتزايد سرعة العربة إلى اللانهاية فإن توزيع خفوت الاتساع يبقى ثابتاً دون تبديل ولكن فترة الخفوت تقترب من الصفر. عند ارسال انسياب البتات بمعدل ثابت وبافتراض أن $V = \infty$ ، عندئذ لا يوجد ارتباط بين البتات المتجاورة طالما ان خصائص الخفوت لكل بته هي موضع الاهتمام. في هذه الحالة يمكن معاملة كل بته مستقلة بمفردها. يمكن إيجاد متوسط معدل خطأ البتات $\langle P_e \rangle$ لكل نظام رقمي خلال بيئة خفوت رايلي من الفصل 6-3 (من المعادلة 8-6-3 إلى معادلة 11-6-3). عندئذ يكون معدل خطأ الكلمات المشفرة لكلمة مشفرة (N,K) مع امكانية تصحيح t خطأ بنفس شكل المعادلة 2-3-8

$$\langle P_{ew} \rangle = 1 - \sum_{k=0}^t C_K^N \langle P_e \rangle^k (1 - \langle P_e \rangle)^{N-k} \quad 8-3-8$$

بين الرمز C_K^N في المعادلة 3-3-8.

استخدام نظام الابراق بزحزة الطور التفاضلي لتوضيح الاختلاف في $\langle P_{ew} \rangle$ بين هذه الحالة وحالة الخفوت البطيء المبين في الفصل التالي، وذلك لبساطة علاقته (انظر المعادلة 8-6-3) في بيئة رايلي.

تبين التحاليل التالية استراتيجيات ارسال التشوير المختلفة .

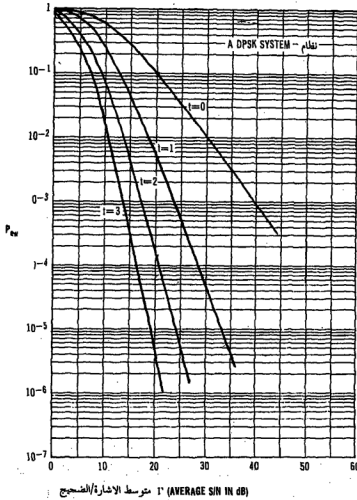
الارسال العادي ($t=0$):

يمكن إيجاد معدل خطأ الكلمات في حالة عدم وجود امكانية تصحيح الاخطاء

من المعادلة 8-3-8 بوضع $t=0$

$$\langle P_{ew} \rangle = 1 - (1 - \langle P_e \rangle)^N \quad 9-3-8$$

رسمت المعادلة 9-3-8 في الشكل 3-8 لحالة N تساوي 22 بته .



الشكل 3-8 معدل خطأ كلمة مشفرة من 22 بته في بيئة خفوت رايلي

أرسال مشفر بشفرة تصحيح الأخطاء ($t \neq 0$):

يمكن الحصول على معدل خطأ الكلمات بوجود امكانية تصحيح الأخطاء خطأ واحد ($t=1$) من المعادلة 8-3-8 على الشكل:

$$\langle P_{\text{ew}} \rangle = 1 - (1 - \langle P_e \rangle)^N - N(1 - \langle P_e \rangle)^{N-1} \langle P_e \rangle \quad 10-3-8$$

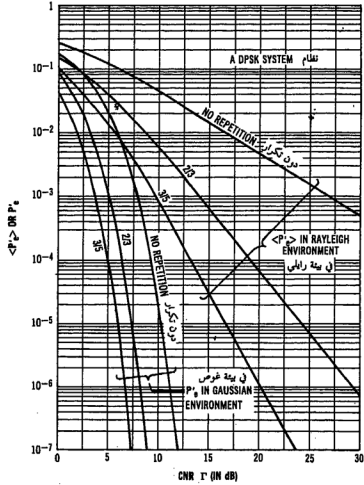
رسمت المعادلة 10-3-8 أيضاً في الشكل 3-8 لحالة N تساوي 22 بتة

الارسال المتكرر وعملية تصويت الغالبية:

في حالة ارسال كلمات متكررة تتطلب صيغة اعادة الكلمة إلى عملية تصويت الغالبية لكشف الكلمات المتكررة عند زمن الاستقبال. بافتراض ان كل كلمة قد أعيدت J مرة خلال الارسال فإن انسياب بتات الرسالة المقبلة J مرة يجب أن ترصف بتة فتية كما هو مبين في الشكل 4-8. تكون J عادة رقماً فردياً ولكل بتة من الرسالة تعاد J مرة. وإذا كان من بينها $(\frac{J+1}{2})$ مرة معادة أو أكثر من الواحدات (1) فإن البتة المستقبلية هي (1). تستخدم عملية تصويت الغالبية هذه لتحديد كل بتة صحيحة من الرسالة عندئذ تؤلف كلمات الرسالة الناتجة عند تصويت الغالبية لانسياب بتات الرسالة المحسن. لتوضيح هذه الاستراتيجية في تقليل خطأ الكلمات نفترض أن طرف الارسال يستخدم تشفيراً لتصحيح بتة خاطئة واحدة وعند طرف الاستقبال بعد أن يتشكل انسياب بتات الرسالة المحسن بتطبيق عملية تصويت الغالبية تقوم امكانية تصحيح البتة الخاطئة الواحدة بتحسين فرص الحصول على انسياب بتات رسالة خال من الأخطاء. في ظروف الحفوت السريع وبافتراض عدم وجود ارتباط بين أية اثنتين من البتات المكررة J مرة فإن معدل خطأ البتات المحسن $\langle P_e' \rangle$ للمرات المكررة J مرة مع عملية تصويت الغالبية يمكن ان يعطى بالعلاقة:

$$\langle P_e' \rangle = \sum_{k=\frac{J+1}{2}}^J C_k^J \langle P_e \rangle^k (1 - \langle P_e \rangle)^{J-k} \quad 11-3-8$$

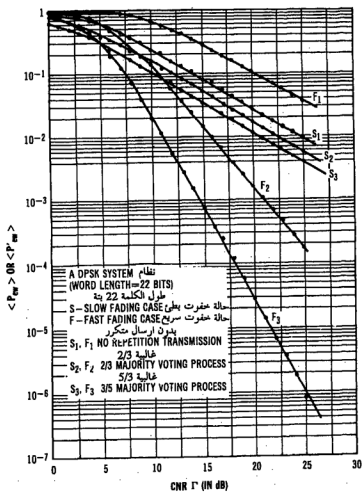
رسمت المعادلة 11-3-8 في الشكل 4-8 في حالتين من حالات عملية تصويت الغالبية: حالة اثنان من ثلاثة وحالة ثلاثة من خمسة باستخدام نظام الأبراق بيزحزة الطور التفاضلي. إن معدلات خطأ البتات المحسنة للارسال المتكرر أخفض من تلك للارسال غير المتكرر لأن في حالة الحفوت السريع تكون جميع بتات الرسالة غير



الشكل 5-8

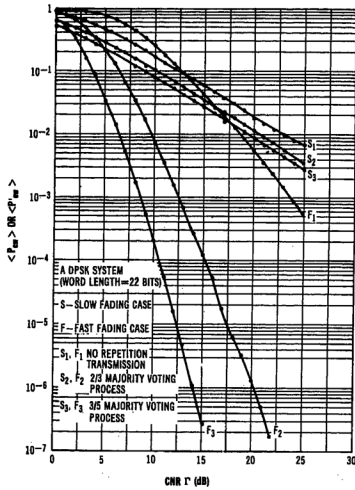
مقارنة لمعدلات خطأ البتات المحسنة في بيئة رايلي وبيئة غوس
(حالة خفوت سريع)

رسمت المعادلة 12-3-8 والمعادلة 13-3-8 في الشكلين 6-8 و 7-8 على التوالي لمقارنة أداء الارسال المتكرر مع أداء الارسال غير المتكرر، بالمقارنة مع حالة ارسال غير مشفر وغير متكرر فإن الارسال المشفر والمتكرر يؤدي إلى تحسين الأداء بشكل كبير كما في الشكل 6-8 . والشكل 7-8 .



الشكل 6-8

معدلات خطأ البتات مع وبدون ارسال متكرر وبدون تشفير لتصحيح الأخطاء .



الشكل 7-8

معدلات خطأ البتات مع وبدون ارسال متكرر

تشفير لتصحيح خطأ واحد

4-3-8 حالة خفوت بطيء في بيئة خفوت رايلي:

حالة الخفوت البطيء هي عندما تتحرك الوحدة المتنقلة ببطء شديد ولكنها غير متوقفة. في هذه الحالة تكون جميع البتات مترابطة فيما بينها ولهذا إذا كانت إحدى البتات في حالة خفوت فإن احتمال كون البتات المجاورة لها في حالة خفوت أيضاً هو احتمال عال جداً. نفترض أن جميع البتات في الكلمة تقع تحت نفس شروط الخفوت أي أن جميعها تقع إما فوق الخفوت أو في نفس الخفوت. تعامل الكلمة في حالة الخفوت البطيء هذه وكأنها بته واحدة في حالة الخفوت السريع. والنتيجة تكون متوسط معدل خطأ الكلمات لحالة خفوت بطيء في بيئة خفوت رايلي.

الارسال العادي ($t = 0$):

تبين المعادلة 1-3-8 معدل خطأ الكلمات P_{ew} لاشارة مرسلة في بيئة خفوت غوص. بما أن الكلمة بكاملها تعامل كأنها بته مفردة أرسلت في بيئة خفوت رايلي فإن متوسط معدل خطأ الكلمات بهذا الشرط يصبح:

$$\langle P_{ew} \rangle = \int_0^\infty P_{ew} p(\gamma) d\gamma \quad 14-3-8$$

حيث $p(\gamma)$ هو تابع الكثافة الاحتمالي لخفوت رايلي المبين في المعادلة 7-6-3. رسمت المعادلة 14-3-8 في الشكل 6-8.

الارسال المشفر بتصحيح الاخطاء ($t \neq 0$):

يمكن الحصول على معدل خطأ الكلمات مع القدرة على تصحيح خطأ واحد ($t = 1$) في حالة الخفوت البطيء ($V \rightarrow 0$) بأخذ متوسط الكلمة المشفرة كاملة كبته مفردة في بيئة خفوت رايلي. وهذا يعني أنه بتعويض المعادلة 2-3-8 في المعادلة 14-3-8 نجد معدل خطأ الكلمات للكلمة المشفرة كما هو مبين في الشكل 7-8.

الارسال المتكرر وعملية تصويت الغالبية:

يعطى معدل خطأ البتات المحسن P_e بعد عملية تصويت الغالبية لعدد M مرة من الارسال المتكرر بالعلاقة:

$$P_e' = \sum_{k=\frac{j+1}{2}}^j G_k^j P_e^k (1 - P_e)^{j-k} \quad 15-3-8$$

حيث P_e هو معدل خطأ البتات في بيئة غوص كما أدرجت في المعادلات من 1-6-3 إلى 4-6-3 . سيستخدم نظام الأبراق بزحزحة الطور التفاضلي لتوضيح الأداء .
بتعويض المعادلة 1-6-3 في المعادلة 14-3-8 نحصل على معدل خطأ البتات المحسن P_e' في الشكل 5-8 كما في بيئة غوص . معدل خطأ البتات المحسن P_e' في حالة الخفوت السريع أعلى منه في حالة الخفوت البطيء في كلا عمليتي تصويت الغالبية : اثنان من ثلاثة وثلاثة من خمسة . يكون متوسط معدل خطأ الكلمات الناتج عن الارسال المتكرر هذا هو:

$$\langle P_{ew}' \rangle = \int P_{ew}' p(\gamma) d\gamma \quad 16-3-8$$

حيث

$$P_{ew}' = 1 - \sum_{k=0}^t G_k^N (1 - P_e')^{N-k} P_e'^k \quad \text{الشكل العام} \quad 17-3-8$$

$$= 1 - (1 - P_e')^N \quad (t=0 \text{ حالة بدون تصحيح أخطاء})$$

$$= 1 - (1 - P_e')^N - N(1 - P_e')^{N-1} P_e' \quad (t=1 \text{ حالة تصحيح خطأ واحد})$$

رسمت المعادلة 16-3-8 بحالة عدم تصحيح اخطاء وبحالة تصحيح خطأ واحد في الشكل 6-8 والشكل 7-8 على التوالي . إن عملية تصويت الغالبية بعدد أكبر من التكرار وعدد أعلى من تصحيح الاخطاء يحسن دائماً الأداء ، ولكن ذلك على حساب ضعف الكفاءة والانتاجية .

5-3-8 مقارنة بين حالة خفوت بطيء وحالة خفوت سريع .

في الارسال العادي أي بدون تصحيح أخطاء وبدون ارسال متكرر يكون اداء معدل

خطأ الكلمات في حالة الخفوت السريع أسوأ دائماً منه في حالة الخفوت البطيء. عندما يطبق الارسال المتكرر يتفوق أداء معدل خطأ الكلمات في حالة الخفوت السريع عنه في حالة الخفوت البطيء كما هو مبين في الشكلين 6-8 و 7-8. إضافة لذلك يصبح الأداء أكثر فعالية باستخدام التشفير والارسال المتكرر في حالة الخفوت السريع عنه في حالة الخفوت البطيء. بما أن معدل خطأ الكلمات الحقيقي يقع بين هاتين الحالتين فإنه نتيجة لما وجد أعلاه فإن فائدة استخدام الارسال المتكرر قد شرحت جيداً.

4-8 تخصيص القنوات.

عند تصميم نظام اتصالات متنقل بمصادر محدودة من الترددات المخصصة يجب الأخذ بعين الاعتبار مخطط تخصيص القناة. هناك خطط كثيرة في تعيين القناة قد وصفت في هذا الفصل مثل تخصيص القناة الواحدة، تخصيص القناة ضمن خلية، المشاركة بالقناة واستعارة القناة.

1-4-8 تخصيص القناة الواحدة

ذكر من قبل أن مصادر الاقنية محدودة وتتطلب محاولات لاعادة استخدامها في مواقع جغرافية مختلفة. إذا لم يحسن تصميم مخطط اعادة استخدام القناة فإن ذلك سيسبب تداخل القناة الواحدة في النظام ويؤثر على اداء النظام بكامله. يجب ازالة تداخل القناة الواحدة. تتحدد المسافة الصغرى أي التي يمكن عندها اغفال تداخل القناة الواحدة أولاً بتعيين النسبة المطلوبة للحامل إلى التداخل (C/I) عند استقبال الإشارة ثم تعليق هذه النسبة بخسارة الانتشار والتي هي تابع لمسافة الانتشار مثلها وصفت في الفصل 2-4.

هناك معلمة تدعى بعامل تخفيض القناة الواحدة تستخدم لفصل القناة الواحدة في منطقتين مختلفتين وقد ذكرت في الفصل 2-4 في ارض منبسطة مثالية

ولنسبة مطلوبة من الحامل إلى التداخل تعادل 18 ديسيبل أمكن الحصول على العامل α بالشكل

$$\alpha = D/R = 4.6 \quad (\text{for } C/I \geq 18 \text{ dB}) \quad 1-4-8$$

حيث R نصف قطر الخلية، D المسافة بين خليتي القناة الواحدة لهذا أي إعادة، للقناة يجب ان تعين على مسافة D تعادل 4-6 مرة من نصف قطر الخلية.

$$D = 4.6 R \quad 2-4-8$$

ولكن في البيئة الحقيقية $D = 6R$ هي المستخدمة في انظمة الخلايا ذات الهوائيات غير الموجهة. في مناطق التلال تكبر قيمة α عادة. هناك استراتيجيتان يمكن استخدامها لتعيين القناة الواحدة وهي موصوفة في الفصل التالي.

نسبة صغرى ثابتة من الحامل إلى التداخل لجميع الأقنية.

تحت هذه الاستراتيجية تبقى سوية العتبة للمستقبلات المتنقلة نفسها وتبنى على أساس نسبة صغرى من الحامل إلى التداخل (C/I). بعد ذلك تتبع جميع الأقنية نسبة مطلوبة من D/R لتحديد فاصل القناة الواحدة. إذا كان حجم الخلية أصغر يكون الفاصل أقل. إن فائدة استخدام هذه الاستراتيجية هي بساطة عمل النظام حيث لا توجد ضرورة لأن تتحكم محطة القاعدة (أو ما يدعى موقع الخلية) في ضبط سويات عتبة اللواقط المتنقلة.

نسبة صغرى مختلفة من الحامل إلى التداخل بين جميع الاقنية.

تعين مجموعة من الاقنية لكل خلية، تبنى بعض الاقنية على أساس سوية استقبال $C/I = 18 \text{ dB}$ عند الوحدة المتنقلة ويبني بعضها الآخر على أساس سوية أعلى من 18 ديسيبل ربما 24 ديسيبل. لم يعد عامل تخفيض القناة الواحدة في هذه الحالة مساوياً إلى 4.6. يمكن حسابه بتبديل $C/I = 24 \text{ dB}$ في المعادلة 3-2-4 على أساس وجود 6 أقنية تداخل بالشكل:

$$\frac{C}{I} = \frac{\alpha^4}{6} \geq 251 \quad 3-4-8$$

$$\alpha \geq 6.23 \quad (\text{for } C/I \geq 24 \text{ dB})$$

ومنه (4-4-8)

يمكن وضع خطة النظام بالاستناد إلى هذه الاستراتيجية مثلما هو مبين في الشكل 8-8 . إذا بنيت خلية بنصف قطر 10 ميل على أساس $C/I = 18 \text{ dB}$ فإن حجم الخلية سيكون أصغر إذا بنيت على أساس $C/I = 24 \text{ dB}$.
لا يمكن إيجاد حجم الخلية المصغرة من المعادلة 3-2-4 أو المعادلة 3-4-8 لأن هاتين المعادلتين صحيحتان لأي حجم من الخلايا . لهذا تستخدم قاعدة خسارة مسار انتشار الراديو المنقل 40 ديسيبل / العقد لحساب حجم الخلية المصغر .
يتعلق الاختلاف في انصاف أقطار الخلية بالاختلاف في قدرة الحامل المستقبلية وهي 6 ديسيبل من المعادلة 20-3-2 .

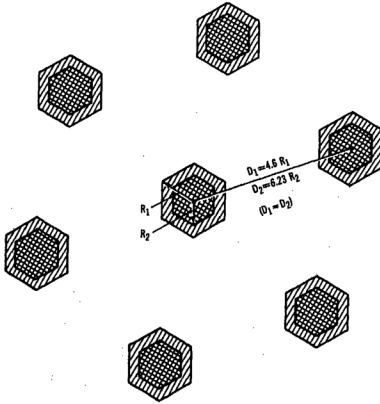
$$6 \text{ dB} = 40 \log \frac{10}{\alpha}$$

5-4-8

يكون نصف القطر الجديد α هو 7 أميال كما هو مبين في الشكل 8-8 . يمكن إيجاد مسافات فواصل القناة الواحدة للحالتين المختلفتين على الشكل :
(خلية 10 ميل) $D_1 = 10 \times 4.6 = 46 \text{ miles}$ (for a 10-mile cell, and $C/I \geq 18 \text{ dB}$)
(خلية 7 ميل) $D_2 = 7 \times 6.23 = 43.6 \text{ miles}$ (for a 7-mile cell and $C/I \geq 24 \text{ dB}$)

إن مسافتي الفصل نفسها تقريباً لذا لا تضاف مواقع خلايا جديدة . عند تطبيق هذه الاستراتيجية على تصميم النظام تقسم مصادر الترددات كلها إلى مجموعتين من الأتية . تستخدم إحدى المجموعتين لخدمة ظروف الحركة العامة في خلية الـ 16 كم (10 ميل) وتوجه المجموعة الأخرى للمناطق التي تحتاج إلى أتية أكثر لتستوعب الحركة المحلية .

لا تزيد هذه الاستراتيجية السعة الكلية للحركة ولكنها تحسن أداء النظام في مواقع محددة من الحركة شديدة الازدحام في الخلية .



مخصصة
ASSIGNED $\{F_1\}_i$, $C/I > 18$ dB



مخصصة
ASSIGNED $\{F_1\}_i$, $C/I > 24$ dB

TOTAL NUMBER OF CHANNELS IN A CELL = $\{F_1\} = \{F_1\}_i + \{F_1\}_j$

عدد القنوات الكلي في خلية

الشكل 8-8 مستويات مختلفة من C/I بين جميع الأقنية المستقبلية.

2-4-8 تخصيص القناة ضمن خلية

تتحكم نسبة تداخل الطرف القريب إلى الطرف البعيد المذكورة في الفصل 4-4 بتخصيص القناة ضمن الخلية. لذلك يبنى تخصيص القناة على أساس الضغط المطلوب لنسبة تداخل الطرف القريب إلى الطرف البعيد وخصائص مرشاح أجهزة الاستقبال المتنقلة. من الشكل 2-4 إذا كانت نسبة مسافة الطرف القريب إلى الطرف البعيد هي 10 وكانت خصائص المرشاح هي 10 ديسيبل / الضعف عندئذ يجب فصل قناتي التردد المخصصتين في الخلية بمقدار 16 قناة طبيعية. ادخل في الفصل 5-5 مفهوم نظام الخلية وبين الشكل 16-5 مقدار 21 مجموعة فرعية ومن بينها كانت أقرب قناتين في المجموعة بعدان 7 أقنية عن بعضها. عين بحذر مجموعة أو أكثر من المجموعات الـ 21 في الخلية لكي تقلل نسبة تداخل الطرف القريب إلى الطرف البعيد، بين في الشكل 12-5 احتمال وجود وحدتين متنقلتين في نصفي قطرين محددين $r_2:r_1$ في الخلية. كما بين في الشكل 13-5 معدلات خطأ البتات الناتجة عن نسبة تداخل الطرف القريب إلى الطرف البعيد عند نسب محددة ومختلفة من d_1/d_2 . يساعد هذان الشكلان في عرض استراتيجية تعيين التردد المناسب.

3-4-8 المشاركة بالقناة

عند تخصيص التردد ووفقاً لظروف حركة الاتصالات المحلية يمكن لمجموعة من الأقنية الترددية أن تشترك بين موقعي خليتين إذا استخدمت هوائيات غير موجهة أو أن تشترك بين وجهين في موقع خلية إذا استخدمت هوائيات موجهة في الخلية. تزداد سعة الحمل المقدمة (المعرفة كسعة خدمة بعدد محدد من الأقنية) دائماً في أنظمة المشاركة بالقناة.

المشاركة بالقناة في خلية بهوائي غير موجه :

لنفترض أنه تم تعيين 45 قناة لكل موقع خلية. إذا عينت 15 قناة من بين الأقنية الـ 45 في كل موقع لتشترك مع خلية أخرى فإن أعلى رقم من الأقنية المتوفرة هو 60

وأقل رقم هو 30 قناة مثلها هو ميين في الشكل 8-9 أ. يمكن مقارنة كثافة حركة الاتصالات لمخطط المشاركة بالقناة هذا مع مخطط عدم المشاركة بالقناة. يستخدم نموذج ارلنغ B لتوضيح الفرق. يبنى نموذج ارلنغ B على أساس الخدمة بدون أفضلية الدور، أي ان المكالمات التي ليس لها منفذ تلغى. يدعى هذا بنظام الضياع لأن موقع الخلية يُضيع المشترك الذي يصل إليه عندما تكون جميع الأقنية مشغولة.

يُبنى نموذج ارلنغ C بطرُوف انتظار المكالمات غير النافذة. يظهر نموذج ارلنغ B ، و ارلنغ C في الجدولين 1-8 و 2-8 على التوالي.

إذا كان عدد قنوات الخدمة N هو نفسه وكانت قيمة احتمال عدم النفاذ $P(B)$ نفسها فإن نموذج ارلنغ B يقدم وحدات ارلنغ أكثر من نموذج ارلنغ C. من حدود المعطيات يمكن تشكيل نموذج سير الاتصالات الخلوية بين نموذجى ارلنغ. في هذا الفصل نستخدم جدول ارلنغ B فقط لحساب السعة التوصيلية.

تعطى الفرضيات التالية:

N عدد الأقنية / الخلية.

\bar{t} متوسط مدة المخاطبة = 1,76 دقيقة.

B احتمال عدم النفاذ = 2%

$A(N, B)$ الحمل المقدم (وهو تابع لكل من B, N).

الحالة 1 : حالة عدم مشاركة بالقناة.

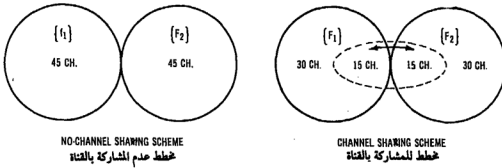
N هي 45 قناة / الخلية (عدم مشاركة).

$A(45, 0.02)$ هي 35,6 ارلنغ (من الجدول 1-8).

M عدد الوحدات المتنقلة التي يمكن خدمتها أو عدد المستثمرين.

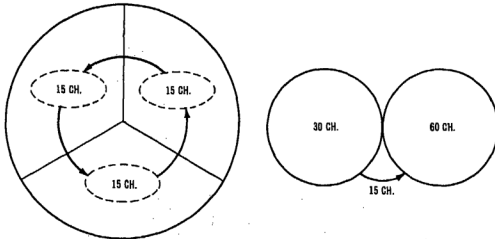
$$M = \frac{A \times 60 \text{ mins/hr}}{\bar{t}} \\ = \frac{35.6 \times 60}{1.76} = 1214 \text{ مستمر}$$

6-4-8

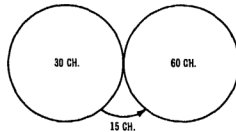


(A) Illustration of the difference between two schemes in an omnidirectional antenna system.

(أ) شرح للفرق بين خططين في نظام هوائي غير موجه



(ب) خطط استمارة لقنوات في نظام هوائي موجه



(ج) خطط استمارة للقنوات في نظام هوائي غير موجه

الشكل 9-8

خططات مختلفة لتخصيص القناة.

جدولي ارلنغ

C و B

Blocked-Calls-Cleared (Erlang B)

تابع جدول 1-8

A in Erl													
B													
1.0%	1.2%	1.5%	2%	3%	5%	7%	10%	15%	20%	30%	40%	50%	
.0101	.0121	.0152	.0204	.0309	.0526	.0753	.111	.176	.250	.429	.667	1.00	
.153	.168	.190	.223	.282	.381	.470	.595	.796	1.00	1.45	2.00	2.73	
.455	.489	.535	.602	.715	.899	1.06	1.27	1.60	1.93	2.63	3.48	4.59	
.869	.922	.992	1.09	1.26	1.52	1.75	2.05	2.50	2.95	3.89	5.02	6.50	
1.36	1.43	1.52	1.66	1.88	2.22	2.50	2.88	3.45	4.01	5.19	6.60	8.44	
1.91	2.00	2.11	2.28	2.54	2.96	3.30	3.76	4.44	5.11	6.51	8.19	10.4	
2.50	2.60	2.74	2.94	3.25	3.74	4.14	4.67	5.46	6.23	7.86	9.80	12.4	
3.13	3.25	3.40	3.63	3.99	4.54	5.00	5.60	6.50	7.37	9.21	11.4	14.3	
3.78	3.92	4.09	4.34	4.75	5.37	5.88	6.55	7.55	8.52	10.6	13.0	16.3	
4.46	4.61	4.81	5.08	5.53	6.22	6.78	7.51	8.62	9.68	12.0	14.7	18.3	
5.16	5.32	5.54	5.84	6.33	7.08	7.69	8.49	9.69	10.9	13.3	16.3	20.3	
5.88	6.05	6.29	6.61	7.14	7.95	8.61	9.47	10.8	12.0	14.7	18.0	22.2	
6.61	6.80	7.05	7.40	7.97	8.83	9.54	10.5	11.9	13.2	16.1	19.6	24.2	
7.35	7.56	7.82	8.20	8.80	9.73	10.5	11.5	13.0	14.4	17.5	21.2	26.2	
8.11	8.33	8.61	9.01	9.65	10.6	11.4	12.5	14.1	15.6	18.9	22.9	28.2	
8.88	9.11	9.41	9.83	10.5	11.5	12.4	13.5	15.2	16.8	20.3	24.5	30.2	
9.65	9.89	10.2	10.7	11.4	12.5	13.4	14.5	16.3	18.0	21.7	26.2	32.2	
10.4	10.7	11.0	11.5	12.2	13.4	14.3	15.5	17.4	19.2	23.1	27.8	34.2	
11.2	11.5	11.8	12.3	13.1	14.3	15.3	16.6	18.5	20.4	24.5	29.5	36.2	
12.0	12.3	12.7	13.2	14.0	15.2	16.3	17.6	19.6	21.6	25.9	31.2	38.2	
12.8	13.1	13.5	14.0	14.9	16.2	17.3	18.7	20.8	22.8	27.3	32.8	40.2	
13.7	14.0	14.3	14.9	15.8	17.1	18.2	19.7	21.9	24.1	28.7	34.5	42.1	
14.5	14.8	15.2	15.8	16.7	18.1	19.2	20.7	23.0	25.3	30.1	36.1	44.1	
15.3	15.6	16.0	16.6	17.6	19.0	20.2	21.8	24.2	26.5	31.6	37.8	46.1	
16.1	16.5	16.9	17.5	18.5	20.0	21.2	22.8	25.3	27.7	33.0	39.4	48.1	
17.0	17.3	17.8	18.4	19.4	20.9	22.2	23.9	26.4	28.9	34.4	41.1	50.1	
17.8	18.2	18.6	19.3	20.3	21.9	23.2	24.9	27.6	30.2	35.8	42.8	52.1	
18.6	19.0	19.5	20.2	21.2	22.9	24.2	26.0	28.7	31.4	37.2	44.4	54.1	
19.5	19.9	20.4	21.0	22.1	23.8	25.2	27.1	29.9	32.6	38.6	46.1	56.1	
20.3	20.7	21.2	21.9	23.1	24.8	26.2	28.1	31.0	33.8	40.0	47.1	58.1	
21.2	21.6	22.1	22.8	24.0	25.8	27.2	29.2	32.1	35.1	41.5	49.4	60.1	
22.0	22.5	23.0	23.7	24.9	26.7	28.2	30.2	33.3	36.3	42.9	51.1	62.1	
22.9	23.3	23.9	24.6	25.8	27.7	29.3	31.3	34.4	37.5	44.3	52.7	64.1	
23.8	24.2	24.8	25.5	26.8	28.7	30.3	32.4	35.6	38.8	45.7	54.4	66.1	
24.6	25.1	25.6	26.4	27.7	29.7	31.3	33.4	36.7	40.0	47.1	56.0	68.1	
25.5	26.0	26.5	27.3	28.6	30.7	32.3	34.5	37.9	41.2	48.6	57.7	70.1	
26.4	26.8	27.4	28.3	29.6	31.6	33.3	35.6	39.0	42.4	50.0	59.4	72.1	
27.3	27.7	28.3	29.2	30.5	32.6	34.4	36.6	40.2	43.7	51.4	61.0	74.1	
28.1	28.6	29.2	30.1	31.5	33.6	35.4	37.7	41.3	44.9	52.8	62.7	76.1	
29.0	29.5	30.1	31.0	32.4	34.6	36.4	38.8	42.5	46.1	54.2	64.4	78.1	
29.9	30.4	31.0	31.9	33.4	35.6	37.4	39.9	43.6	47.4	55.7	66.0	80.1	
30.8	31.3	31.9	32.8	34.3	36.6	38.4	40.9	44.8	48.6	57.1	67.7	82.1	
31.7	32.2	32.8	33.8	35.3	37.6	39.5	42.0	45.9	49.9	58.5	69.3	84.1	
32.5	33.1	33.7	34.7	36.2	38.6	40.5	43.1	47.1	51.1	59.9	71.0	86.1	
33.4	34.0	34.6	35.6	37.2	39.6	41.5	44.2	48.2	52.3	61.3	72.7	88.1	
34.3	34.9	35.6	36.5	38.1	40.5	42.6	45.2	49.4	53.6	62.8	74.3	90.1	
35.2	35.8	36.5	37.5	39.1	41.5	43.6	46.3	50.6	54.8	64.2	76.0	92.1	
36.1	36.7	37.4	38.4	40.0	42.5	44.6	47.4	51.7	56.0	65.6	77.7	94.1	
37.0	37.6	38.3	39.3	41.0	43.5	45.7	48.5	52.9	57.3	67.0	79.3	96.1	
37.9	38.5	39.2	40.3	41.9	44.5	46.7	49.6	54.0	58.5	68.5	81.0	98.1	
1.0%	1.2%	1.5%	2%	3%	5%	7%	10%	15%	20%	30%	40%	50%	
B													

الجدول 1-8 جداول ارباع نموذج B- ضياع المكالمات غير النافذة

N	(Offered Load)										A in Erl									
	B (Blocking Probability)																			
	0.01%	0.02%	0.03%	0.05%	0.1%	0.2%	0.3%	0.4%	0.5%	0.6%	0.7%	0.8%	0.9%							
1	.0001	.0002	.0003	.0005	.0010	.0020	.0030	.0040	.0050	.0060	.0070	.0081	.0091							
2	.0142	.0202	.0248	.0321	.0458	.0653	.0806	.0937	.105	.116	.126	.135	.144							
3	.0868	.110	.127	.152	.194	.249	.289	.321	.349	.374	.397	.418	.437							
4	.235	.282	.315	.362	.439	.535	.602	.656	.701	.741	.777	.810	.841							
5	.452	.527	.577	.649	.762	.900	.994	1.07	1.13	1.19	1.24	1.28	1.32							
6	.728	.832	.900	.996	1.15	1.33	1.45	1.54	1.62	1.69	1.75	1.81	1.86							
7	1.05	1.19	1.27	1.39	1.58	1.80	1.95	2.06	2.16	2.24	2.31	2.38	2.44							
8	1.42	1.58	1.69	1.83	2.05	2.31	2.48	2.62	2.73	2.83	2.91	2.99	3.06							
9	1.83	2.01	2.13	2.30	2.56	2.85	3.05	3.21	3.33	3.44	3.54	3.63	3.71							
10	2.26	2.47	2.61	2.80	3.09	3.43	3.65	3.82	3.96	4.08	4.19	4.29	4.38							
11	2.72	2.96	3.12	3.33	3.65	4.02	4.27	4.45	4.61	4.74	4.86	4.97	5.07							
12	3.21	3.47	3.65	3.88	4.23	4.64	4.90	5.11	5.28	5.43	5.55	5.67	5.78							
13	3.71	4.01	4.19	4.45	4.83	5.27	5.56	5.78	5.96	6.12	6.26	6.39	6.50							
14	4.24	4.56	4.76	5.03	5.45	5.92	6.23	6.47	6.66	6.83	6.98	7.12	7.24							
15	4.78	5.12	5.34	5.63	6.08	6.58	6.91	7.17	7.38	7.56	7.71	7.86	7.99							
16	5.34	5.70	5.94	6.25	6.72	7.26	7.61	7.88	8.10	8.29	8.46	8.61	8.75							
17	5.91	6.30	6.55	6.88	7.38	7.95	8.32	8.60	8.83	9.03	9.21	9.37	9.52							
18	6.50	6.91	7.17	7.52	8.05	8.64	9.03	9.33	9.58	9.79	9.98	10.1	10.3							
19	7.09	7.53	7.80	8.17	8.72	9.35	9.76	10.1	10.3	10.6	10.7	10.9	11.1							
20	7.70	8.16	8.44	8.83	9.41	10.1	10.5	10.8	11.1	11.3	11.5	11.7	11.9							
21	8.32	8.79	9.10	9.50	10.1	10.8	11.2	11.6	11.9	12.1	12.3	12.5	12.7							
22	8.95	9.44	9.76	10.2	10.8	11.5	12.0	12.3	12.6	12.9	13.1	13.3	13.5							
23	9.58	10.1	10.4	10.9	11.5	12.3	12.7	13.1	13.4	13.7	13.9	14.1	14.3							
24	10.2	10.8	11.1	11.6	12.2	13.0	13.5	13.9	14.2	14.5	14.7	14.9	15.1							
25	10.9	11.4	11.8	12.3	13.0	13.8	14.3	14.7	15.0	15.3	15.5	15.7	15.9							
26	11.5	12.1	12.5	13.0	13.7	14.5	15.1	15.5	15.8	16.1	16.3	16.6	16.8							
27	12.2	12.8	13.2	13.7	14.4	15.3	15.8	16.3	16.6	16.9	17.2	17.4	17.6							
28	12.9	13.5	13.9	14.4	15.2	16.1	16.6	17.1	17.4	17.7	18.0	18.2	18.4							
29	13.6	14.2	14.6	15.1	15.9	16.8	17.4	17.9	18.2	18.5	18.8	19.1	19.3							
30	14.2	14.9	15.3	15.9	16.7	17.6	18.2	18.7	19.0	19.4	19.6	19.9	20.1							
31	14.9	15.6	16.0	16.6	17.4	18.4	19.0	19.5	19.9	20.2	20.5	20.7	21.0							
32	15.6	16.3	16.8	17.3	18.2	19.2	19.8	20.3	20.7	21.0	21.3	21.6	21.8							
33	16.3	17.0	17.5	18.1	19.0	20.0	20.6	21.1	21.5	21.9	22.2	22.4	22.7							
34	17.0	17.8	18.2	18.8	19.7	20.8	21.4	21.9	22.3	22.7	23.0	23.3	23.5							
35	17.8	18.5	19.0	19.6	20.5	21.6	22.2	22.7	23.2	23.5	23.8	24.1	24.4							
36	18.5	19.2	19.7	20.3	21.3	22.4	23.1	23.6	24.0	24.4	24.7	25.0	25.3							
37	19.2	20.0	20.5	21.1	22.1	23.2	23.9	24.4	24.8	25.2	25.6	25.9	26.2							
38	19.9	20.7	21.2	21.9	22.9	24.0	24.7	25.2	25.7	26.1	26.4	26.7	27.0							
39	20.6	21.5	22.0	22.6	23.7	24.8	25.5	26.1	26.5	26.9	27.3	27.6	27.9							
40	21.4	22.2	22.7	23.4	24.4	25.6	26.3	26.9	27.4	27.8	28.1	28.5	28.7							
41	22.1	23.0	23.5	24.2	25.2	26.4	27.2	27.8	28.2	28.6	29.0	29.3	29.6							
42	22.8	23.7	24.2	25.0	26.0	27.2	28.0	28.6	29.1	29.5	29.9	30.2	30.5							
43	23.6	24.5	25.0	25.7	26.8	28.1	28.8	29.4	29.9	30.4	30.7	31.1	31.4							
44	24.3	25.2	25.8	26.5	27.6	28.9	29.7	30.3	30.8	31.2	31.6	31.9	32.3							
45	25.1	26.0	26.6	27.3	28.4	29.7	30.5	31.1	31.7	32.1	32.5	32.8	33.1							
46	25.8	26.8	27.3	28.1	29.3	30.5	31.4	32.0	32.5	33.0	33.4	33.7	34.0							
47	26.6	27.5	28.1	28.9	30.1	31.4	32.2	32.9	33.4	33.8	34.2	34.6	34.9							
48	27.3	28.3	28.9	29.7	30.9	32.2	33.1	33.7	34.2	34.7	35.1	35.5	35.8							
49	28.1	29.1	29.7	30.5	31.7	33.0	33.9	34.6	35.1	35.6	36.0	36.4	36.7							
50	28.9	29.9	30.5	31.3	32.5	33.9	34.8	35.4	36.0	36.5	36.9	37.2	37.6							
N	B																			
	0.01%	0.02%	0.03%	0.05%	0.1%	0.2%	0.3%	0.4%	0.5%	0.6%	0.7%	0.8%	0.9%							

Table 8-1 (cont.)

تابع جدول 1-8

A in Erl													
B													
1.0%	1.2%	1.5%	2%	3%	5%	7%	10%	15%	20%	30%	40%	50%	
37.9	38.5	39.2	40.3	41.9	44.5	46.7	49.6	54.0	58.5	68.5	81.0	98.1	
38.8	39.4	40.1	41.2	42.9	45.5	47.7	50.6	55.2	59.7	69.9	82.7	100.1	
39.7	40.3	41.0	42.1	43.9	46.5	48.8	51.7	56.3	61.0	71.3	84.3	102.1	
40.6	41.2	42.0	43.1	44.8	47.5	49.8	52.8	57.5	62.2	72.7	86.0	104.1	
41.5	42.1	42.9	44.0	45.8	48.5	50.8	53.9	58.7	63.5	74.2	87.6	106.1	
42.4	43.0	43.8	44.9	46.7	49.5	51.9	55.0	59.8	64.7	75.6	89.3	108.1	
43.3	43.9	44.7	45.9	47.7	50.5	52.9	56.1	61.0	65.9	77.0	91.0	110.1	
44.2	44.8	45.7	46.8	48.7	51.5	53.9	57.1	62.1	67.2	78.4	92.6	112.1	
45.1	45.8	46.6	47.8	49.6	52.6	55.0	58.2	63.3	68.4	79.8	94.3	114.1	
46.0	46.7	47.5	48.7	50.6	53.6	56.0	59.3	64.5	69.7	81.3	96.0	116.1	
46.9	47.6	48.4	49.6	51.6	54.6	57.1	60.4	65.6	70.9	82.7	97.6	118.1	
47.9	48.5	49.4	50.6	52.3	55.6	58.1	61.5	66.8	72.1	84.1	99.3	120.1	
48.8	49.4	50.3	51.5	53.5	56.6	59.1	62.6	68.0	73.4	85.5	101.0	122.1	
49.7	50.4	51.2	52.5	54.5	57.6	60.2	63.7	69.1	74.6	86.7	102.6	124.1	
50.6	51.3	52.2	53.4	55.4	58.6	61.2	64.8	70.3	75.9	88.4	104.3	126.1	
51.5	52.2	53.1	54.4	56.4	59.6	62.3	65.8	71.4	77.1	89.8	106.0	128.1	
52.4	53.1	54.0	55.3	57.4	60.6	63.3	66.9	72.6	78.3	91.2	107.6	130.1	
53.4	54.1	55.0	56.3	58.4	61.6	64.4	68.0	73.8	79.6	92.7	109.3	132.1	
54.3	55.0	55.9	57.2	59.3	62.6	65.4	69.1	74.9	80.8	94.1	111.0	134.1	
55.2	55.9	56.9	58.2	60.3	63.7	66.4	70.2	76.1	82.1	95.5	112.6	136.1	
56.1	56.8	57.8	59.1	61.3	64.7	67.5	71.3	77.3	83.3	96.9	114.3	138.1	
57.0	57.8	58.7	60.1	62.3	65.7	68.5	72.4	78.4	84.6	98.4	115.9	140.1	
58.0	58.7	59.7	61.0	63.2	66.7	69.6	73.5	79.6	85.8	99.8	117.6	142.1	
58.9	59.6	60.6	62.0	64.2	67.7	70.6	74.6	80.8	87.0	101.2	119.3	144.1	
59.8	60.6	61.6	62.9	65.2	68.7	71.7	75.6	81.9	88.3	102.7	120.9	146.1	
60.7	61.5	62.5	63.9	66.2	69.7	72.7	76.7	83.1	89.5	104.1	122.6	148.0	
61.7	62.4	63.4	64.9	67.2	70.8	73.8	77.8	84.2	90.8	105.5	124.3	150.0	
62.6	63.4	64.4	65.8	68.1	71.8	74.8	78.9	85.4	92.0	106.9	125.9	152.0	
63.5	64.3	65.3	66.8	69.1	72.8	75.9	80.0	86.6	93.3	108.4	127.6	154.0	
64.4	65.2	66.3	67.7	70.1	73.8	76.9	81.1	87.7	94.5	109.8	129.3	155.0	
65.4	66.2	67.2	68.7	71.1	74.8	78.0	82.2	88.9	95.7	111.2	130.9	158.0	
66.3	67.1	68.2	69.6	72.1	75.8	79.0	83.3	90.1	97.0	112.6	132.6	160.0	
67.2	68.0	69.1	70.6	73.0	76.9	80.1	84.4	91.2	98.2	114.1	134.3	162.0	
68.2	69.0	70.1	71.6	74.0	77.9	81.1	85.5	92.4	99.5	115.5	135.9	164.0	
69.1	69.9	71.0	72.5	75.0	78.9	82.2	86.6	93.6	100.7	116.9	137.6	166.0	
70.0	70.9	71.9	73.5	76.0	79.9	83.2	87.7	94.7	102.0	118.3	139.3	168.0	
70.9	71.8	72.9	74.5	77.0	80.9	84.3	88.8	95.9	103.2	119.8	140.9	170.0	
71.9	72.7	73.8	75.4	78.0	82.0	85.3	89.9	97.1	104.5	121.2	142.6	172.0	
72.8	73.7	74.8	76.4	78.9	83.0	86.4	91.0	98.2	105.7	122.6	144.3	174.0	
73.7	74.6	75.7	77.3	79.9	84.0	87.4	92.1	99.4	106.9	124.0	145.9	176.0	
74.7	75.6	76.7	78.3	80.9	85.0	88.5	93.1	100.6	108.2	125.5	147.6	178.0	
75.6	76.5	77.6	79.3	81.9	86.0	89.5	94.2	101.7	109.4	126.9	149.3	180.0	
76.6	77.4	78.6	80.2	82.9	87.1	90.6	95.3	102.9	110.7	128.3	150.9	182.0	
77.5	78.4	79.6	81.2	83.9	88.1	91.6	96.4	104.1	111.9	129.7	152.6	184.0	
78.4	79.3	80.5	82.2	84.9	89.1	92.7	97.5	105.3	113.2	131.2	154.3	186.0	
79.4	80.3	81.5	83.1	85.8	90.1	93.7	98.6	106.4	114.4	132.6	155.9	188.0	
80.3	81.2	82.4	84.1	86.8	91.1	94.8	99.7	107.6	115.7	134.0	157.6	190.0	
81.2	82.2	83.4	85.1	87.8	92.2	95.8	100.8	108.8	116.9	135.5	159.3	192.0	
82.2	83.1	84.3	86.0	88.8	93.2	96.9	101.9	109.9	118.2	136.9	160.9	194.0	
83.1	84.1	85.3	87.0	89.8	94.2	97.9	103.0	111.1	119.4	138.3	162.6	196.0	
84.1	85.0	86.2	88.0	90.8	95.2	99.0	104.1	112.3	120.6	139.7	164.3	198.0	
1.0%	1.2%	1.5%	2%	3%	5%	7%	10%	15%	20%	30%	40%	50%	
B													

تابع جدول 1-8 ont.)

A in Erl												
N	B											
	0.01%	0.02%	0.03%	0.05%	0.1%	0.2%	0.3%	0.4%	0.5%	0.6%	0.7%	0.9%
50	28.9	29.9	30.5	31.3	32.5	33.9	34.8	35.4	36.0	36.5	36.9	37.2
51	29.6	30.6	31.3	32.1	33.3	34.7	35.6	36.3	36.9	37.3	37.8	38.1
52	30.4	31.4	32.0	32.9	34.2	35.6	36.5	37.2	37.7	38.2	38.6	39.0
53	31.2	32.2	32.8	33.7	35.0	36.4	37.3	38.0	38.6	39.1	39.5	40.3
54	31.9	33.0	33.6	34.5	35.8	37.2	38.2	38.9	39.5	40.0	40.4	40.8
55	32.7	33.8	34.4	35.3	36.6	38.1	39.0	39.8	40.4	40.9	41.3	41.7
56	33.5	34.6	35.2	36.1	37.5	38.9	39.9	40.6	41.2	41.7	42.2	42.6
57	34.3	35.4	36.0	36.9	38.3	39.8	40.8	41.5	42.1	42.6	43.1	43.5
58	35.1	36.2	36.8	37.8	39.1	40.6	41.6	42.4	43.0	43.5	44.0	44.4
59	35.8	37.0	37.6	38.6	40.0	41.5	42.5	43.3	43.9	44.4	44.9	45.3
60	36.6	37.8	38.5	39.4	40.8	42.4	43.4	44.1	44.8	45.3	45.8	46.2
61	37.4	38.6	39.3	40.2	41.6	43.2	44.2	45.0	45.6	46.2	46.7	47.1
62	38.2	39.4	40.1	41.0	42.5	44.1	45.1	45.9	46.5	47.1	47.6	48.0
63	39.0	40.2	40.9	41.9	43.3	44.9	46.0	46.8	47.4	48.0	48.5	48.9
64	39.8	41.0	41.7	42.7	44.2	45.8	46.8	47.6	48.3	48.9	49.4	49.8
65	40.6	41.8	42.5	43.5	45.0	46.6	47.7	48.5	49.2	49.8	50.3	50.7
66	41.4	42.6	43.3	44.4	45.8	47.5	48.6	49.4	50.1	50.7	51.2	51.6
67	42.2	43.4	44.2	45.2	46.7	48.4	49.5	50.3	51.0	51.6	52.1	52.5
68	43.0	44.2	45.0	46.0	47.5	49.2	50.3	51.2	51.9	52.5	53.0	53.4
69	43.8	45.0	45.8	46.8	48.4	50.1	51.2	52.1	52.8	53.4	53.9	54.4
70	44.6	45.8	46.6	47.7	49.2	51.0	52.1	53.0	53.7	54.3	54.8	55.3
71	45.4	46.7	47.5	48.5	50.1	51.8	53.0	53.8	54.6	55.2	55.7	56.2
72	46.2	47.5	48.3	49.4	50.9	52.7	53.9	54.7	55.5	56.1	56.6	57.1
73	47.0	48.3	49.1	50.2	51.8	53.6	54.7	55.6	56.4	57.0	57.5	58.0
74	47.8	49.1	49.9	51.0	52.7	54.5	55.6	56.5	57.3	57.9	58.4	58.9
75	48.6	49.9	50.8	51.9	53.5	55.3	56.5	57.4	58.2	58.8	59.3	59.8
76	49.4	50.8	51.6	52.7	54.4	56.2	57.4	58.3	59.1	59.7	60.3	60.8
77	50.2	51.6	52.4	53.6	55.2	57.1	58.3	59.2	60.0	60.6	61.2	61.7
78	51.1	52.4	53.3	54.4	56.1	58.0	59.2	60.1	60.9	61.5	62.1	62.6
79	51.9	53.2	54.1	55.3	56.9	58.8	60.1	61.0	61.8	62.4	63.0	63.5
80	52.7	54.1	54.9	56.1	57.8	59.7	61.0	61.9	62.7	63.3	63.9	64.4
81	53.5	54.9	55.8	56.9	58.7	60.6	61.8	62.8	63.6	64.2	64.8	65.4
82	54.3	55.7	56.6	57.8	59.5	61.5	62.7	63.7	64.5	65.2	65.7	66.3
83	55.1	56.6	57.5	58.6	60.4	62.4	63.6	64.6	65.4	66.1	66.7	67.2
84	56.0	57.4	58.3	59.5	61.3	63.2	64.5	65.5	66.3	67.0	67.6	68.1
85	56.8	58.2	59.1	60.4	62.1	64.1	65.4	66.4	67.2	67.9	68.5	69.1
86	57.6	59.1	60.0	61.2	63.0	65.0	66.3	67.3	68.1	68.8	69.4	70.0
87	58.4	59.9	60.8	62.1	63.9	65.9	67.2	68.2	69.0	69.7	70.3	70.9
88	59.3	60.8	61.7	62.9	64.7	66.8	68.1	69.1	69.9	70.6	71.3	71.8
89	60.1	61.6	62.5	63.8	65.6	67.7	69.0	70.0	70.8	71.6	72.2	72.8
90	60.9	62.4	63.4	64.6	66.5	68.6	69.9	70.9	71.8	72.5	73.1	73.7
91	61.8	63.3	64.2	65.5	67.4	69.4	70.8	71.8	72.7	73.4	74.0	74.6
92	62.6	64.1	65.1	66.3	68.2	70.3	71.7	72.7	73.6	74.3	75.0	75.5
93	63.4	65.0	65.9	67.2	69.1	71.2	72.6	73.6	74.5	75.2	75.9	76.5
94	64.2	65.8	66.8	68.1	70.0	72.1	73.5	74.5	75.4	76.2	76.8	77.4
95	65.1	66.6	67.6	68.9	70.9	73.0	74.4	75.5	76.3	77.1	77.7	78.3
96	65.9	67.5	68.5	69.8	71.7	73.9	75.3	76.4	77.2	78.0	78.7	79.3
97	66.8	68.3	69.3	70.7	72.6	74.8	76.2	77.3	78.2	78.9	79.6	80.2
98	67.6	69.2	70.2	71.5	73.5	75.7	77.1	78.2	79.1	79.8	80.5	81.1
99	68.4	70.0	71.0	72.4	74.4	76.6	78.0	79.1	80.0	80.8	81.4	82.0
100	69.3	70.9	71.9	73.2	75.2	77.5	78.9	80.0	80.9	81.7	82.4	83.0
N	B											
	0.01%	0.02%	0.03%	0.05%	0.1%	0.2%	0.3%	0.4%	0.5%	0.6%	0.7%	0.9%

Table 8-1 (cont.)

تابع جدول 1-8

A in Erl														
B														
1.0%	1.2%	1.5%	2%	3%	5%	7%	10%	15%	20%	30%	40%	50%		
84.1	85.0	86.2	88.0	90.8	95.2	99.0	104.1	112.3	120.6	139.7	164.3	198.0		
85.9	86.9	88.1	89.9	92.8	97.3	101.1	106.3	114.6	123.1	142.6	167.6	202.0		
87.8	88.8	90.1	91.9	94.8	99.3	103.2	108.5	116.9	125.6	145.4	170.9	206.0		
89.7	90.7	92.0	93.8	96.7	101.4	105.3	110.7	119.3	128.1	148.3	174.2	210.0		
91.6	92.6	93.9	95.7	98.7	103.4	107.4	112.9	121.6	130.6	151.1	177.6	214.0		
93.5	94.5	95.8	97.7	100.7	105.5	109.5	115.1	124.0	133.1	154.0	180.9	218.0		
95.4	96.4	97.7	99.6	102.7	107.5	111.7	117.3	126.3	135.6	156.9	184.2	222.0		
97.3	98.3	99.7	101.6	104.7	109.6	113.8	119.5	128.6	138.1	159.7	187.6	226.0		
99.2	100.2	101.6	103.5	106.7	111.7	115.9	121.7	131.0	140.6	162.6	190.9	230.0		
101.1	102.1	103.5	105.5	108.7	113.7	118.0	123.9	133.3	143.1	165.4	194.2	234.0		
103.0	104.0	105.4	107.4	110.7	115.8	120.1	126.1	135.7	145.6	168.3	197.6	238.0		
104.9	105.9	107.4	109.4	112.6	117.8	122.2	128.3	138.0	148.1	171.1	200.9	242.0		
106.8	107.9	109.3	111.3	114.6	119.9	124.4	130.5	140.3	150.6	174.0	204.2	246.0		
108.7	109.8	111.2	113.3	116.6	121.9	126.5	132.7	142.7	153.0	176.8	207.6	250.0		
110.6	111.7	113.2	115.2	118.6	124.0	128.6	134.9	145.0	155.5	179.7	210.9	254.0		
112.5	113.6	115.1	117.2	120.6	126.1	130.7	137.1	147.4	158.0	182.5	214.2	258.0		
114.4	115.5	117.0	119.1	122.6	128.1	132.8	139.3	149.7	160.5	185.4	217.6	262.0		
116.3	117.4	119.0	121.1	124.6	130.2	134.9	141.5	152.0	163.0	188.3	220.9	266.0		
118.2	119.4	120.9	123.1	126.6	132.3	137.1	143.7	154.4	165.5	191.1	224.2	270.0		
120.1	121.3	122.8	125.0	128.6	134.3	139.2	145.9	156.7	168.0	194.0	227.6	274.0		
122.0	123.2	124.8	127.0	130.6	136.4	141.3	148.1	159.1	170.5	196.8	230.9	278.0		
123.9	125.1	126.7	128.9	132.6	138.4	143.4	150.3	161.4	173.0	199.7	234.2	282.0		
125.8	127.0	128.6	130.9	134.6	140.5	145.6	152.5	163.8	175.5	202.5	237.6	286.0		
127.7	129.0	130.6	132.9	136.6	142.6	147.7	154.7	166.1	178.0	205.4	240.9	290.0		
129.7	130.9	132.5	134.8	138.6	144.6	149.8	156.9	168.5	180.5	208.2	244.2	294.0		
131.6	132.8	134.5	136.8	140.6	146.7	151.9	159.1	170.8	183.0	211.1	247.6	298.0		
133.5	134.8	136.4	138.8	142.6	148.8	154.0	161.3	173.1	185.5	214.0	250.9	302.0		
135.4	136.7	138.4	140.7	144.6	150.8	156.2	163.5	175.5	188.0	216.8	254.2	306.0		
137.3	138.6	140.3	142.7	146.6	152.9	158.3	165.7	177.8	190.5	219.7	257.6	310.0		
139.2	140.5	142.3	144.7	148.6	155.0	160.4	167.9	180.2	193.0	222.5	260.9	314.0		
141.2	142.5	144.2	146.6	150.6	157.0	162.5	170.2	182.5	195.5	225.4	264.2	318.0		
143.1	144.4	146.1	148.6	152.7	159.1	164.7	172.4	184.9	198.0	228.2	267.6	322.0		
145.0	146.3	148.1	150.6	154.7	161.2	166.8	174.6	187.2	200.4	231.1	270.9	326.0		
146.9	148.3	150.0	152.6	156.7	163.3	168.9	176.8	189.6	202.9	233.9	274.2	330.0		
148.9	150.2	152.0	154.5	158.7	165.3	171.0	179.0	191.9	205.4	236.8	277.6	334.0		
150.8	152.1	153.9	156.5	160.7	167.4	173.2	181.2	194.2	207.9	239.7	280.9	338.0		
152.7	154.1	155.9	158.5	162.7	169.5	175.3	183.4	196.6	210.4	242.5	284.2	342.0		
154.6	156.0	157.8	160.4	164.7	171.5	177.4	185.6	198.9	212.9	245.4	287.6	346.0		
156.6	158.0	159.8	162.4	166.7	173.6	179.6	187.8	201.3	215.4	248.2	290.9	350.0		
158.5	159.9	161.8	164.4	168.7	175.7	181.7	190.0	203.6	217.9	251.1	294.2	354.0		
160.4	161.8	163.7	166.4	170.7	177.8	183.8	192.2	206.0	220.4	253.9	297.5	358.0		
162.3	163.8	165.7	168.3	172.8	179.8	185.9	194.4	208.3	222.9	256.8	300.9	362.0		
164.3	165.7	167.6	170.3	174.8	181.9	188.1	196.6	210.7	225.4	259.6	304.2	366.0		
166.2	167.7	169.6	172.3	176.8	184.0	190.2	198.9	213.0	227.9	262.5	307.5	370.0		
168.1	169.6	171.5	174.3	178.8	186.1	192.3	201.1	215.4	230.4	265.4	310.9	374.0		
170.1	171.5	173.5	176.3	180.8	188.1	194.5	203.3	217.7	232.9	268.2	314.2	378.0		
172.0	173.5	175.4	178.2	182.8	190.2	196.6	205.5	220.1	235.4	271.1	317.5	382.0		
173.9	175.4	177.4	180.2	184.8	192.3	198.7	207.7	222.4	237.9	273.9	320.9	386.0		
175.9	177.4	179.4	182.2	186.9	194.4	200.8	209.9	224.8	240.4	276.8	324.2	390.0		
177.8	179.3	181.3	184.2	188.9	196.4	203.0	212.1	227.1	242.9	279.6	327.5	394.0		
179.7	181.3	183.3	186.2	190.9	198.5	205.1	214.3	229.4	245.4	282.5	330.9	398.0		
1.0%	1.2%	1.5%	2%	3%	5%	7%	10%	15%	20%	30%	40%	50%		
B														

تابع جدول 1-8

(١٤)

A in Erl													
N	B												
	0.01%	0.02%	0.03%	0.05%	0.1%	0.2%	0.3%	0.4%	0.5%	0.6%	0.7%	0.8%	0.9%
100	69.3	70.9	71.9	73.2	75.2	77.5	78.9	80.0	80.9	81.7	82.4	83.0	83.5
102	70.9	72.6	73.6	75.0	77.0	79.3	80.7	81.8	82.7	83.5	84.2	84.8	85.4
104	72.6	74.3	75.3	76.7	78.8	81.1	82.5	83.7	84.6	85.4	86.1	86.7	87.3
106	74.3	76.0	77.1	78.5	80.5	82.8	84.3	85.5	86.4	87.2	87.9	88.6	89.2
108	76.0	77.7	78.8	80.2	82.3	84.6	86.2	87.3	88.3	89.1	89.8	90.5	91.1
110	77.7	79.4	80.5	81.9	84.1	86.4	88.0	89.2	90.1	90.9	91.7	92.3	92.9
112	79.4	81.1	82.2	83.7	85.8	88.3	89.8	91.0	92.0	92.8	93.5	94.2	94.8
114	81.1	82.9	84.0	85.4	87.6	90.1	91.6	92.8	93.8	94.7	95.4	96.1	96.7
116	82.8	84.6	85.7	87.2	89.4	91.9	93.5	94.7	95.7	96.5	97.3	98.0	98.6
118	84.5	86.3	87.4	89.0	91.2	93.7	95.3	96.5	97.5	98.4	99.2	99.9	100.5
120	86.2	88.0	89.2	90.7	93.0	95.5	97.1	98.4	99.4	100.3	101.0	101.7	102.4
122	87.9	89.8	90.9	92.5	94.7	97.3	98.9	100.2	101.2	102.1	102.9	103.6	104.3
124	89.6	91.5	92.7	94.2	96.5	99.1	100.8	102.1	103.1	104.0	104.8	105.5	106.2
126	91.3	93.2	94.4	96.0	98.3	100.9	102.6	103.9	105.0	105.9	106.7	107.4	108.1
128	93.1	95.0	96.2	97.8	100.1	102.7	104.5	105.8	106.8	107.7	108.5	109.3	109.9
130	94.8	96.7	97.9	99.5	101.9	104.6	106.3	107.6	108.7	109.6	110.4	111.2	111.8
132	96.5	98.5	99.7	101.3	103.7	106.4	108.1	109.5	110.5	111.5	112.3	113.1	113.7
134	98.2	100.2	101.4	103.1	105.5	108.2	110.0	111.3	112.4	113.4	114.2	115.0	115.6
136	100.0	101.9	103.2	104.9	107.3	110.0	111.8	113.2	114.3	115.2	116.1	116.8	117.5
138	101.7	103.7	105.0	106.6	109.1	111.9	113.7	115.0	116.2	117.1	118.0	118.7	119.4
140	103.4	105.4	106.7	108.4	110.9	113.7	115.5	116.9	118.0	119.0	119.9	120.6	121.4
142	105.1	107.2	108.5	110.2	112.7	115.5	117.4	118.7	119.9	120.9	121.8	122.5	123.3
144	106.9	109.0	110.2	112.0	114.5	117.4	119.2	120.6	121.8	122.8	123.6	124.4	125.2
146	108.6	110.7	112.0	113.8	116.3	119.2	121.1	122.5	123.6	124.6	125.5	126.3	127.1
148	110.4	112.5	113.8	115.5	118.1	121.0	122.9	124.3	125.5	126.5	127.4	128.2	129.0
150	112.1	114.2	115.6	117.3	119.9	122.9	124.8	126.2	127.4	128.4	129.3	130.1	130.9
152	113.8	116.0	117.3	119.1	121.8	124.7	126.6	128.1	129.3	130.3	131.2	132.0	132.8
154	115.6	117.8	119.1	120.9	123.6	126.5	128.5	129.9	131.2	132.2	133.1	133.9	134.7
156	117.3	119.5	120.9	122.7	125.4	128.4	130.3	131.8	133.0	134.1	135.0	135.9	136.6
158	119.1	121.3	122.7	124.5	127.2	130.2	132.2	133.7	134.9	136.0	136.9	137.8	138.5
160	120.8	123.1	124.4	126.3	129.0	132.1	134.0	135.6	136.8	137.9	138.8	139.7	140.4
162	122.6	124.8	126.2	128.1	130.8	133.9	135.9	137.4	138.7	139.8	140.7	141.6	142.4
164	124.3	126.6	128.0	129.9	132.7	135.8	137.8	139.3	140.6	141.7	142.6	143.5	144.3
166	126.1	128.4	129.8	131.7	134.5	137.6	139.6	141.2	142.5	143.5	144.5	145.4	146.2
168	127.9	130.2	131.6	133.5	136.3	139.4	141.5	143.1	144.3	145.4	146.4	147.3	148.1
170	129.6	131.9	133.4	135.3	138.1	141.3	143.4	144.9	146.2	147.3	148.3	149.2	150.0
172	131.4	133.7	135.2	137.1	139.9	143.1	145.2	146.8	148.1	149.2	150.2	151.1	151.9
174	133.1	135.5	136.9	138.9	141.8	145.0	147.1	148.7	150.0	151.1	152.1	153.0	153.9
176	134.9	137.3	138.7	140.7	143.6	146.9	149.0	150.6	151.9	153.0	154.0	155.0	155.8
178	136.7	139.0	140.5	142.5	145.4	148.7	150.8	152.4	153.8	154.9	156.0	156.9	157.7
180	138.4	140.8	142.3	144.3	147.3	150.6	152.7	154.3	155.7	156.8	157.9	158.8	159.6
182	140.2	142.6	144.1	146.1	149.1	152.4	154.6	156.2	157.6	158.7	159.8	160.7	161.6
184	142.0	144.4	145.9	147.9	150.9	154.3	156.4	158.1	159.5	160.6	161.7	162.6	163.5
186	143.7	146.2	147.7	149.8	152.8	156.1	158.3	160.0	161.4	162.5	163.6	164.5	165.4
188	145.5	148.0	149.5	151.6	154.6	158.0	160.2	161.9	163.3	164.4	165.5	166.5	167.3
190	147.3	149.8	151.3	153.4	156.4	159.8	162.1	163.8	165.2	166.4	167.4	168.4	169.3
192	149.1	151.6	153.1	155.2	158.3	161.7	163.9	165.6	167.0	168.3	169.3	170.3	171.2
194	150.8	153.4	154.9	157.0	160.1	163.6	165.8	167.5	168.9	170.2	171.2	172.2	173.1
196	152.6	155.2	156.7	158.8	161.9	165.4	167.7	169.4	170.8	172.1	173.2	174.1	175.0
198	154.4	156.9	158.5	160.7	163.8	167.3	169.6	171.3	172.7	174.0	175.1	176.1	177.0
200	156.2	158.7	160.3	162.5	165.6	169.2	171.4	173.2	174.6	175.9	177.0	178.0	178.9
N	B												
	0.01%	0.02%	0.03%	0.05%	0.1%	0.2%	0.3%	0.4%	0.5%	0.6%	0.7%	0.8%	0.9%

Table 8-1 (cont.)

تابع جدول 8-1

A In Brl													
B													
1.0%	1.2%	1.5%	2%	3%	5%	7%	10%	15%	20%	30%	40%	50%	
179.7	181.3	183.3	186.2	190.9	198.5	205.1	214.3	229.4	245.4	282.5	330.9	398.0	
181.7	183.2	185.2	188.1	192.9	200.6	207.2	216.5	231.8	247.9	285.4	334.2	402.0	
183.6	185.2	187.2	190.1	194.9	202.7	209.4	218.7	234.1	250.4	288.2	337.5	406.0	
185.5	187.1	189.2	192.1	196.9	204.7	211.5	221.0	236.5	252.9	291.1	340.9	410.0	
187.5	189.1	191.1	194.1	199.0	206.8	213.6	223.2	238.8	255.4	293.9	344.2	414.0	
189.4	191.0	193.1	196.1	201.0	208.9	215.8	225.4	241.2	257.9	296.8	347.5	418.0	
191.4	193.0	195.1	198.1	203.0	211.0	217.9	227.6	243.5	260.4	299.6	350.9	422.0	
193.3	194.9	197.0	200.0	205.0	213.0	220.0	229.8	245.9	262.9	302.5	354.2	426.0	
195.2	196.9	199.0	202.0	207.0	215.1	222.2	232.0	248.2	265.4	305.3	357.5	430.0	
197.2	198.8	201.0	204.0	209.1	217.2	224.3	234.2	250.6	267.9	308.2	360.9	434.0	
199.1	200.8	202.9	206.0	211.1	219.3	226.4	236.4	252.9	270.4	311.1	364.2	438.0	
201.1	202.7	204.9	208.0	213.1	221.4	228.6	238.6	255.3	272.9	313.9	367.5	442.0	
203.0	204.7	206.8	210.0	215.1	223.4	230.7	240.9	257.6	275.4	316.8	370.9	446.0	
204.9	206.6	208.8	212.0	217.1	225.5	232.8	243.1	260.0	277.8	319.6	374.2	450.0	
206.9	208.6	210.8	213.9	219.2	227.6	235.0	245.3	262.3	280.3	322.5	377.5	454.0	
208.8	210.5	212.8	215.9	221.2	229.7	237.1	247.5	264.7	282.8	325.3	380.9	458.0	
210.8	212.5	214.7	217.9	223.2	231.8	239.2	249.7	267.0	285.3	328.2	384.2	462.0	
212.7	214.4	216.7	219.9	225.2	233.8	241.4	251.9	269.4	287.8	331.1	387.5	466.0	
214.7	216.4	218.7	221.9	227.2	235.9	243.3	254.1	271.7	290.3	333.9	390.9	470.0	
216.6	218.3	220.6	223.9	229.3	238.0	245.6	256.3	274.1	292.8	336.8	394.2	474.0	
218.6	220.3	222.6	225.9	231.3	240.1	247.8	258.6	276.4	295.3	339.6	397.5	478.0	
220.5	222.3	224.6	227.9	233.3	242.2	249.9	260.8	278.8	297.8	342.5	400.9	482.0	
222.5	224.2	226.5	229.9	235.3	244.3	252.0	263.0	281.1	300.3	345.3	404.2	486.0	
224.4	226.2	228.5	231.8	237.4	246.3	254.2	265.2	283.4	302.8	348.2	407.5	490.0	
226.3	228.1	230.5	233.8	239.4	248.4	256.3	267.4	285.8	305.3	351.0	410.9	494.0	
228.3	230.1	232.5	235.8	241.4	250.5	258.4	269.6	288.1	307.8	353.9	414.2	498.0	
.976	.982	.988	.998	1.014	1.042	1.070	1.108	1.176	1.250	1.428	1.666	2.000	
277.1	279.2	281.9	285.7	292.1	302.6	311.9	325.0	346.9	370.3	425.3	497.5	598.0	
.982	.984	.990	1.000	1.016	1.044	1.070	1.108	1.174	1.248	1.428	1.668	2.000	
326.2	328.4	331.4	335.7	342.9	354.8	365.4	380.4	405.6	432.7	496.7	580.9	698.0	
.982	.988	.994	1.004	1.020	1.046	1.070	1.108	1.176	1.250	1.430	1.666	2.000	
375.3	377.8	381.1	385.9	393.9	407.1	418.9	435.8	464.4	495.2	568.2	664.2	798.0	
.986	.990	.996	1.004	1.018	1.046	1.072	1.110	1.176	1.250	1.428	1.666	2.000	
424.6	427.3	430.9	436.1	444.8	459.4	472.5	491.3	523.2	557.7	639.6	747.5	898.0	
.988	.994	.998	1.006	1.022	1.048	1.070	1.108	1.176	1.250	1.428	1.668	2.000	
474.0	477.0	480.8	486.4	495.9	511.8	526.0	546.7	582.0	620.2	711.0	830.9	998.0	
.991	.994	1.000	1.008	1.022	1.047	1.073	1.110	1.176	1.249	1.429	1.666	2.000	
573.1	576.4	580.8	587.2	598.1	616.5	633.3	657.7	699.6	745.1	853.9	997.5	1198.	
.993	.997	1.002	1.010	1.024	1.049	1.073	1.110	1.176	1.250	1.428	1.665	2.00	
672.4	676.1	681.0	688.2	700.5	721.4	740.6	768.7	817.2	870.1	996.7	1164.	1398.	
.994	.998	1.004	1.011	1.025	1.050	1.073	1.110	1.176	1.250	1.433	1.67	2.00	
771.8	775.9	781.4	789.3	803.0	826.4	847.9	879.7	934.8	995.1	1140.	1331.	1598.	
.997	1.000	1.004	1.013	1.025	1.050	1.074	1.111	1.172	1.249	1.42	1.67	2.00	
871.5	875.9	881.8	890.6	905.5	931.4	955.3	990.8	1052.	1120.	1282.	1498.	1798.	
.997	1.001	1.006	1.013	1.025	1.046	1.077	1.112	1.18	1.25	1.43	1.66	2.00	
971.2	976.0	982.4	991.9	1008.	1036.	1063.	1102.	1170.	1245.	1425.	1664.	1998	
.998	1.000	1.006	1.011	1.03	1.05	1.07	1.11	1.18	1.25	1.43	1.67	2.00	
1071.	1076.	1083.	1093.	1111.	1141.	1170.	1213.	1288.	1370.	1568.	1831.	2198.	
1.0%	1.2%	1.5%	2%	3%	5%	7%	10%	15%	20%	30%	40%	50%	
B													

تابع جدول 1-8

١٤)

A in Eri													
N	B												
	0.01%	0.02%	0.03%	0.05%	0.1%	0.2%	0.3%	0.4%	0.5%	0.6%	0.7%	0.8%	0.9%
200	156.2	158.7	160.3	162.5	165.6	169.2	171.4	173.2	174.6	175.9	177.0	178.0	178.9
202	158.0	160.5	162.1	164.3	167.5	171.0	173.3	175.1	176.5	177.8	178.9	179.9	180.8
204	159.7	162.3	164.0	166.1	169.3	172.9	175.2	177.0	178.4	179.7	180.8	181.8	182.8
206	161.5	164.1	165.8	167.9	171.2	174.8	177.1	178.9	180.4	181.6	182.7	183.8	184.7
208	163.3	165.9	167.6	169.8	173.0	176.6	179.0	180.8	182.3	183.5	184.7	185.7	186.6
210	165.1	167.7	169.4	171.6	174.8	178.5	180.9	182.7	184.2	185.4	186.6	187.6	188.6
212	166.9	169.5	171.2	173.4	176.7	180.4	182.7	184.6	186.1	187.4	188.5	189.5	190.5
214	168.7	171.3	173.0	175.2	178.5	182.2	184.6	186.5	188.0	189.3	190.4	191.5	192.4
216	170.5	173.2	174.8	177.1	180.4	184.1	186.5	188.4	189.9	191.2	192.3	193.4	194.4
218	172.3	175.0	176.6	178.9	182.2	186.0	188.4	190.2	191.8	193.1	194.3	195.3	196.3
220	174.0	176.8	178.5	180.7	184.1	187.8	190.3	192.1	193.7	195.0	196.2	197.2	198.2
222	175.8	178.6	180.3	182.6	185.9	189.7	192.2	194.0	195.6	196.9	198.1	199.2	200.2
224	177.6	180.4	182.1	184.4	187.8	191.6	194.1	195.9	197.5	198.8	200.0	201.1	202.1
226	179.4	182.2	183.9	186.2	189.6	193.5	195.9	197.8	199.4	200.8	202.0	203.0	204.0
228	181.2	184.0	185.7	188.1	191.5	195.3	197.8	199.7	201.3	202.7	203.9	205.0	206.0
230	183.0	185.8	187.6	189.9	193.3	197.2	199.7	201.6	203.2	204.6	205.8	206.9	207.9
232	184.8	187.6	189.4	191.7	195.2	199.1	201.6	203.5	205.1	206.5	207.7	208.8	209.8
234	186.6	189.4	191.2	193.6	197.1	201.0	203.5	205.4	207.1	208.4	209.7	210.8	211.8
236	188.4	191.3	193.0	195.4	198.9	202.8	205.4	207.4	209.0	210.4	211.6	212.7	213.7
238	190.2	193.1	194.9	197.2	200.8	204.7	207.3	209.3	210.9	212.3	213.5	214.6	215.7
240	192.0	194.9	196.7	199.1	202.6	206.6	209.2	211.2	212.8	214.2	215.4	216.6	217.6
242	193.8	196.7	198.5	200.9	204.5	208.5	211.1	213.1	214.7	216.1	217.4	218.5	219.5
244	195.6	198.5	200.3	202.8	206.3	210.4	213.0	215.0	216.6	218.0	219.3	220.4	221.5
246	197.4	200.3	202.2	204.6	208.2	212.2	214.9	216.9	218.5	220.0	221.2	222.4	223.4
248	199.2	202.2	204.0	206.4	210.1	214.1	216.8	218.8	220.4	221.9	223.2	224.3	225.4
250	201.0	204.0	205.8	208.3	211.9	216.0	218.7	220.7	222.4	223.8	225.1	226.2	227.3
	.908	.914	.920	.926	.934	.944	.950	.956	.960	.964	.968	.972	.974
300	246.4	249.7	251.8	254.6	258.6	263.2	266.2	268.5	270.4	272.0	273.5	274.8	276.0
	.918	.924	.928	.932	.942	.952	.958	.962	.966	.970	.972	.976	.978
350	292.3	295.9	298.2	301.2	305.7	310.8	314.1	316.6	318.7	320.5	322.1	323.6	324.9
	.922	.928	.932	.938	.946	.954	.960	.966	.970	.972	.976	.978	.982
400	338.4	342.3	344.8	348.1	353.0	358.5	362.1	364.9	367.2	369.1	370.9	372.5	374.0
	.928	.934	.938	.942	.950	.958	.964	.968	.972	.976	.978	.982	.984
450	384.8	389.0	391.7	395.2	400.5	406.4	410.3	413.3	415.8	417.9	419.8	421.6	423.2
	.932	.938	.942	.946	.954	.962	.968	.972	.974	.978	.982	.982	.984
500	431.4	435.9	438.8	442.5	448.2	454.5	458.7	461.9	464.5	466.8	468.9	470.7	472.4
	.938	.943	.946	.951	.957	.965	.970	.974	.978	.981	.983	.986	.989
600	525.2	530.2	533.4	537.6	543.9	551.0	555.7	559.3	562.3	564.9	567.2	569.3	571.3
	.943	.948	.951	.956	.962	.969	.974	.978	.981	.984	.986	.989	.990
700	619.5	625.0	628.5	633.2	640.1	647.9	653.1	657.1	660.4	663.3	665.8	668.2	670.3
	.948	.953	.955	.959	.965	.972	.976	.980	.983	.985	.989	.990	.993
800	714.3	720.3	724.0	729.1	736.6	745.1	750.7	755.1	758.7	761.8	764.7	767.2	769.6
	.951	.955	.959	.962	.967	.974	.979	.982	.985	.988	.990	.993	.994
900	809.4	815.8	819.9	825.3	833.3	842.5	848.6	853.3	857.2	860.6	863.7	866.5	869.0
	.954	.959	.961	.964	.970	.976	.980	.984	.987	.989	.991	.993	.996
1000	904.8	911.7	916.0	921.7	930.3	940.1	946.6	951.7	955.9	959.5	962.8	965.8	968.6
	.962	.963	.960	.963	.977	.979	.984	.983	.991	.995	.992	.992	.994
1100	1001.	1008.	1012.	1018.	1028.	1038.	1045.	1050.	1055.	1059.	1062.	1065.	1068.
N	0.01%	0.02%	0.03%	0.05%	0.1%	0.2%	0.3%	0.4%	0.5%	0.6%	0.7%	0.8%	0.9%
B													

الجدول 2-8 نموذج ارلنغ C- انتظار المكالمات غير النافذة

TABLE 8.2 Erlang C Model—Blocked Calls Held

P(B) = 0.010					
servers (N)	erlangs (A)	servers (N)	erlangs (A)	servers (N)	erlangs (A)
10	4.08	410	363.51	810	744.01
20	10.97	420	372.93	820	753.59
30	18.59	430	382.35	830	763.18
40	26.58	440	391.78	840	772.77
50	34.80	450	401.22	850	782.36
60	43.20	460	410.66	860	791.95
70	51.73	470	420.11	870	801.55
80	60.36	480	429.57	880	811.15
90	69.07	490	439.03	890	820.75
100	77.85	500	448.49	900	830.35
110	86.69	510	457.96	910	839.96
120	95.58	520	467.44	920	849.56
130	104.52	530	476.92	930	859.17
140	113.50	540	486.41	940	868.78
150	122.51	550	495.90	950	878.40
160	131.56	560	505.40	960	888.01
170	140.63	570	514.90	970	897.63
180	149.74	580	524.40	980	907.25
190	158.86	590	533.91	990	916.87
200	168.01	600	543.42	1000	926.50
210	177.18	610	552.94	1010	936.12
220	186.37	620	562.46	1020	945.75
230	195.58	630	571.99	1030	955.38
240	204.81	640	581.52	1040	965.01
250	214.05	650	591.05	1050	974.64
260	223.30	660	600.58	1060	984.28
270	232.57	670	610.12	1070	993.91
280	241.86	680	619.67	1080	1003.55
290	251.15	690	629.21	1090	1013.19
300	260.46	700	638.76	1100	1022.83
310	269.78	710	648.32	1110	1032.47
320	279.11	720	657.87	1120	1042.12
330	288.46	730	667.43	1130	1051.76
340	297.81	740	676.99	1140	1061.41
350	307.17	750	686.56	1150	1071.06
360	316.54	760	696.13	1160	1080.71
370	325.92	770	705.70	1170	1090.36
380	335.30	780	715.27	1180	1100.02
390	344.70	790	724.85	1190	1109.67
400	354.10	800	734.42	1200	1119.33

TABLE 8.2 (Continued)

P(B) = 0.020					
servers (N)	erlangs (A)	servers (N)	erlangs (A)	servers (N)	erlangs (A)
10	4.54	410	368.36	810	750.98
20	11.77	420	377.64	820	760.61
30	19.64	430	387.33	830	770.24
40	27.84	440	396.82	840	779.87
50	36.26	450	406.32	850	789.51
60	44.83	460	415.82	860	799.15
70	53.52	470	425.33	870	808.79
80	62.30	480	434.85	880	818.43
90	71.15	490	444.37	890	828.07
100	80.06	500	453.89	900	837.72
110	89.03	510	463.42	910	847.37
120	98.04	520	472.95	920	857.02
130	107.09	530	482.49	930	866.67
140	116.16	540	492.03	940	876.32
150	125.30	550	501.58	950	885.96
160	134.45	560	511.13	960	895.64
170	143.63	570	520.69	970	905.30
180	152.83	580	530.24	980	914.96
190	162.05	590	539.81	990	924.62
200	171.29	600	549.37	1000	934.28
210	180.55	610	558.94	1010	943.95
220	189.83	620	568.52	1020	953.62
230	199.12	630	578.09	1030	963.29
240	208.43	640	587.67	1040	972.96
250	217.76	650	597.26	1050	982.63
260	227.09	660	606.84	1060	992.31
270	236.44	670	616.43	1070	1001.98
280	245.80	680	626.02	1080	1011.66
290	255.18	690	635.62	1090	1021.34
300	264.56	700	645.22	1100	1031.02
310	273.96	710	654.82	1110	1040.70
320	283.36	720	664.42	1120	1050.38
330	292.77	730	674.03	1130	1060.07
340	302.19	740	683.64	1140	1069.75
350	311.62	750	693.25	1150	1079.44
360	321.06	760	702.87	1160	1089.13
370	330.51	770	712.48	1170	1098.82
380	339.96	780	722.10	1180	1108.51
390	349.42	790	731.73	1190	1118.20
400	358.89	800	741.35	1200	1127.90

TABLE 8.2 (Continued)

P(B) = 0.050					
servers (N)	erlangs (A)	servers (N)	erlangs (A)	servers (N)	erlangs (A)
10	5.29	410	375.53	810	761.24
20	13.00	420	385.10	820	770.94
30	21.25	430	394.68	830	780.63
40	29.77	440	404.27	840	790.33
50	38.47	450	413.85	850	800.03
60	47.29	460	423.45	860	809.74
70	56.21	470	433.04	870	819.44
80	65.21	480	442.64	880	829.15
90	74.26	490	452.25	890	838.85
100	83.37	500	461.86	900	848.56
110	92.52	510	471.47	910	858.27
120	101.71	520	481.09	920	867.99
130	110.93	530	490.71	930	877.70
140	120.18	540	500.33	940	887.42
150	129.46	550	509.96	950	897.13
160	138.76	560	519.59	960	906.85
170	148.08	570	529.22	970	916.57
180	157.42	580	538.86	980	926.29
190	166.78	590	548.50	990	936.02
200	176.16	600	558.14	1000	945.74
210	185.55	610	567.79	1010	955.47
220	194.96	620	577.44	1020	965.19
230	204.38	630	587.09	1030	974.92
240	213.81	640	596.74	1040	984.65
250	223.25	650	606.40	1050	994.38
260	232.71	660	616.06	1060	1004.11
270	242.17	670	625.72	1070	1013.85
280	251.65	680	635.39	1080	1023.58
290	261.13	690	645.06	1090	1033.32
300	270.63	700	654.73	1100	1043.06
310	280.13	710	664.40	1110	1052.79
320	289.64	720	674.08	1120	1062.53
330	299.16	730	683.75	1130	1072.27
340	308.68	740	693.43	1140	1082.02
350	318.21	750	703.11	1150	1091.76
360	327.75	760	712.79	1160	1101.50
370	337.29	770	722.48	1170	1111.25
380	346.85	780	732.17	1180	1120.99
390	356.40	790	741.86	1190	1130.74
400	365.96	800	751.55	1200	1140.49

TABLE 8.2 (Continued)

P(B) = 0.100					
servers (N)	erlangs (A)	servers (N)	erlangs (A)	servers (N)	erlangs (A)
10	5.99	410	381.69	810	770.03
20	14.12	420	391.34	820	779.78
30	22.68	430	401.00	830	789.53
40	31.48	440	410.66	840	799.28
50	40.42	450	420.32	850	809.04
60	49.48	460	429.99	860	818.80
70	58.57	470	439.66	870	828.56
80	67.75	480	449.33	880	838.32
90	76.98	490	459.01	890	848.08
100	86.25	500	468.69	900	857.84
110	95.56	510	478.37	910	867.60
120	104.90	520	488.06	920	877.37
130	114.26	530	497.75	930	887.13
140	123.65	540	507.44	940	896.90
150	133.06	550	517.14	950	906.67
160	142.49	560	526.84	960	916.44
170	151.83	570	536.54	970	926.21
180	161.40	580	546.24	980	935.99
190	170.87	590	555.95	990	945.76
200	180.37	600	565.66	1000	955.53
210	189.87	610	575.37	1010	965.31
220	199.38	620	585.08	1020	975.09
230	208.91	630	594.80	1030	984.87
240	218.45	640	604.52	1040	994.65
250	227.99	650	614.24	1050	1004.43
260	237.55	660	623.96	1060	1014.21
270	247.11	670	633.68	1070	1023.99
280	256.68	680	643.41	1080	1033.77
290	266.26	690	653.14	1090	1043.56
300	275.85	700	662.87	1100	1053.34
310	285.44	710	672.60	1110	1063.13
320	295.04	720	682.34	1120	1072.92
330	304.65	730	692.07	1130	1082.70
340	314.26	740	701.81	1140	1092.49
350	323.88	750	711.55	1150	1102.28
360	333.50	760	721.29	1160	1112.08
370	343.13	770	731.04	1170	1121.87
380	352.76	780	740.78	1180	1131.66
390	362.40	790	750.53	1190	1141.45
400	372.04	800	760.28	1200	1151.25

TABLE 8.2 (Continued)

P(B) = 0.200					
servers (N)	erlangs (A)	servers (N)	erlangs (A)	servers (N)	erlangs (A)
10	6.85	410	388.69	810	779.97
20	15.45	420	398.43	820	789.79
30	24.38	430	408.17	830	799.60
40	33.48	440	417.92	840	809.42
50	42.69	450	427.67	850	819.23
60	51.97	460	437.42	860	829.05
70	61.31	470	447.17	870	838.87
80	70.70	480	456.93	880	848.69
90	80.12	490	466.69	890	858.52
100	89.57	500	476.45	900	868.34
110	99.06	510	486.21	910	878.16
120	108.56	520	495.98	920	887.99
130	118.09	530	505.75	930	897.81
140	127.63	540	515.52	940	907.64
150	137.19	550	525.29	950	917.46
160	146.78	560	535.06	960	927.29
170	156.35	570	544.84	970	937.12
180	165.95	580	554.62	980	946.95
190	175.56	590	564.40	990	956.78
200	185.18	600	574.18	1000	966.61
210	194.80	610	583.97	1010	976.45
220	204.44	620	593.75	1020	986.28
230	214.09	630	603.54	1030	996.11
240	223.74	640	613.33	1040	1005.95
250	233.40	650	623.12	1050	1015.79
260	243.07	660	632.91	1060	1025.62
270	252.74	670	642.71	1070	1035.46
280	262.42	680	652.50	1080	1045.30
290	272.11	690	662.30	1090	1055.14
300	281.80	700	672.10	1100	1064.98
310	291.50	710	681.90	1110	1074.82
320	301.20	720	691.70	1120	1084.66
330	310.90	730	701.50	1130	1094.50
340	320.61	740	711.31	1140	1104.34
350	330.33	750	721.11	1150	1114.19
360	340.04	760	730.92	1160	1124.03
370	349.77	770	740.73	1170	1133.87
380	359.49	780	750.54	1180	1143.72
390	369.22	790	760.35	1190	1153.56
400	378.95	800	770.16	1200	1163.41

الحالة 2 : حالة مشاركة بالقناة

$\Delta N = N_2 - N_1$ عدد الاقنية الاسمي المعين في الخلية N_1
 A ناتج الحمل المقدم N_2 عدد الاقنية المشتركة مع الخلية الاخرى

$$A \approx \frac{1}{2} [A(N_1, B) + A(N_2, B) - A(\Delta N, B)] \quad 7-4-8$$

بتعويض $N_1 = 45$, $\Delta N = 15$, and $N_2 = 60$ في المعادلة 7-4-8 والحصول على كل قيمة من $A(N, B)$ من الجدول 1-8 ، يصبح ناتج الحمل المقدم A :

$$\begin{aligned} A &= [A(45, 0.02) + A(60, 0.02) - A(15, 0.02)]/2 \\ &= [35.6 + 49.6 - 9.01]/2 = 38.10 \end{aligned} \quad 8-4-8$$

ويكون عندئذ عدد المستثمرين المتقلبين الذين يمكن خدمتهم

$$M = 38.1 \times 60/1.76 = 1299 \text{ users} \quad 9-4-8$$

بمقارنة المعادلة 6-4-8 مع المعادلة 9-4-8 يتبين ان مخطط المشاركة بالقناة يخدم دائماً عدداً من المستثمرين اكبر مما يخدمه مخطط عدم المشاركة بالقناة. إلا أن سيئة مخطط المشاركة بالقناة هي التجهيز الاضافي للاقنية الـ 15 التي يجب تجهيزها عند موقع كل خلية وكذلك يصبح نظام التحكم اكثر تعقيداً في مخطط المشاركة بالقناة. مثال 1-8 : اذا وضعت جميع الاقنية الاسمية في الخلية الـ 45 قناة بالمشاركة مع اقنية الخلية المجاورة فكم يكون عدد المستثمرين عندئذ الذين يمكن ان تخدمهم الخلية؟

الحل : لنفترض أن احتمال عدم النفاذ $B = 0.02$ ومتوسط مدة المخاطرة $t = 1.76$ - نطبق المعادلة 7-4-8 مع $N_1 = 45$ ، $N_2 = 90$ ، $\Delta N = 45$ نحصل على :

$$\begin{aligned} A &= [A(45, 0.02) + A(90, 0.02) - A(45, 0.02)]/2 \\ &= 78.3/2 = 39.15 \end{aligned} \quad 10-4-8$$

$$M = 39.15 \times 60/1.76 = 1334.66 \text{ users}$$

يدل هذا على أن المشاركة بالاقنية الـ 90 كلها بين الخليتين يؤمن دائماً الخدمة لأكبر عدد من المستثمرين.

المشاركة بالقناة في خلية بهوائي موجه :

لنفترض ان ثلاثة هوائيات موجهة استخدمت في ثلاثة قطاعات من كل موقع خلية . عندئذ تصبح الاقنية المخصصة الـ 45 كلها لكل موقع 15 قناة لكل قطاع . ينصح دائماً باستخدام استراتيجية المشاركة بالقناة بين القطاعات عند كل خلية ، الا انه ربما لا يكون في النظام حرية كبيرة في المشاركة بالاقنية . لنفترض ان المشاركة بالاقنية يمكن ان تكون دائماً باتجاه عكس عقارب الساعة لتجنب تداخل القناة المجاورة كما في الشكل 9-8 ب . ولنفترض أيضاً ان عدد المستثمرين الذين يمكن خدمتهم قد اعطي في الحالتين : حالة عدم مشاركة بالقناة وحالة مشاركة بالقناة . الشروط المعطاة هنا هي نفس الشروط المذكورة سابقاً .

حالة 1 : حالة عدم مشاركة بالقناة ،

$$N = 15 \text{ قناة / للقطاع .}$$

AC (15,0.02) وهي 9,01 من الجدول 9-8

$$M = (9.01 \times 60)/1.76 = 307.16 \text{ users}$$

حالة 2 : حالة مشاركة بالقناة

بتعميم $\Delta N = 15$ و $N_1 = 15, N_2 = 30$ في المعادلة 7-4-8 نحصل على :

$$A = [A(15,0.02) + A(30,0.02) - A(15,0.02)]/2$$

$$= 21.9/2 = 10.95$$

$$M = (10.95 \times 60)/1.76 = 373.30 \text{ users}$$

بمقارنة أعداد مستثمري الوحدات المتنقلة في الحالتين يظهر ان مخطط المشاركة بالقناة يؤمن دائماً عدداً أكبر من المستثمرين من مخطط عدم المشاركة بالقناة . تحمل العلاقة 11-4-8 جميع النتائج :

$$A(N, B) > 2 \times A(N/2, B)$$

11-4-8

4-4-8. استعارة القناة

تتم استعارة القناة عادة من قاعدة دائمة . بما أن كثافة حركة الاتصالات لا توزع بانتظام فوق منطقة التغطية كلها فإن بعض المناطق تحتاج إلى اقنية أكثر لتأمين الخدمة الضرورية . بالاستناد إلى ذلك فإن الاستعارة هي التزام طويل الامد ولا فرق إذا كان في خلية بهوائي غير موجه أو هوائي موجه ستوضح استعارة القناة في خلية بهوائي غير موجه . لنفترض أن 45 قناة تخصص عادة لكل موقع خلية ولكن لمواجهة ظروف خاصة تحتاج إلى 15 قناة من الخلية المجاورة كما هو مبين في الشكل 9-8 ويجب أن يبنى الأداء على اساس العدد الكلي من المستثمرين في الخليتين .
نعرف أولاً الرموز على الشكل :

N_1 عدد الاقنية الاسمي .

ΔN عدد الاقنية المستعارة .

عندئذ يكون ناتج الحمل المقدم في الخليتين هو :

$$A' = A(N_1 + \Delta N, B) + A(N_1 - \Delta N, B) \quad 12-4-8$$

ليكن $N_1 = 45$ ، $\Delta N = 15$ ، $B = 0.02$ بتعويض هذه القيم في المعادلة 12-4-8 يمكن إيجاد قيم $A(N, B)$ من الجدول 1-8 ويكون :

$$\begin{aligned} A' &= A(60, 0.02) + A(30, 0.02) \\ &= 49.6 + 21.9 = 71.5 \end{aligned} \quad 13-4-8$$

وهي نفس حالة عدم الاستعارة المبينة بجعل

$$A(60, 0.02) = A(45, 0.125) \text{ and } A(30, 0.02) = A(45, <0.001)$$

المأخوذة من الجدول 1-8

$$A = A(45, 0.125) + A(45, <0.001) = 71.5 \quad 14-4-8$$

يلعب عدد المستثمرين في الخليتين (M) :

$$M = (71.50 \times 60) / 1.76 = 2437.50 / \text{two cells}$$

تبين المعادلة 14-4-8 ان مخطط استعارة القناة يخفض احتمال عدم النفاذ في خلية ويزيده في الخلية الأخرى. إذا كان العدد المتوقع للمستثمرين في الخليتين مختلفاً دائماً فإن نظام استعارة القناة يصبح فعالاً.
من التحليل السابق ينتج أن عدد المستثمرين الذين يؤمنه مخطط استعارة القناة هو نفس الذي يؤمنه مخطط عدم استعارة القناة، إلا أنه أقل من الذي يؤمنه مخطط المشاركة بالقناة، المعادلة التالية صحيحة دوماً

$$A(2N, B) \geq A(N + \Delta N, B) + A(N - \Delta N, B) \quad 15-4-8$$

5-8 اعتبارات سعة التبديل.

عند حساب سعة التبديل لمعالجة حركة الاتصالات في L موقع خلية. يمكن اتباع نفس التحليل المبين في الفصل 4-8. بما أن نظام التبديل يجب ان يعالج حمل حركة الاتصالات بمرونة فإن النظام نفسه يبنى على اساس المشاركة بالحمل. تعرف المصطلحات التالية على الشكل:

- N عدد الاقنية الاسمي / الخلية
- L عدد مواقع الخلايا/ النظام
- B احتمال عدم النفاذ
- t متوسط مدة المخاطرة

عندئذ يكون الحمل المقدم لنظام التبديل هو:

$$A_0 = A(NL, B) \quad 1-5-8$$

من أجل $N = 45$ قناة/ خلية و $L = 20$ خلية تصبح المعادلة 1-5-8 بالشكل:

$$A_0 = A(900, 0.02) \approx 890.6 \text{ erlangs} \quad (\text{من الجدول 1-8})$$

إذا كان متوسط مدة المخاطرة $t = 1.76 \text{ min}$ فإن نظام التبديل يمكنه معالجة:

$$M_s = \frac{890.6 \times 60}{1.76} = 30361 \text{ users/20 cells} \quad 2-5-8$$

وهذا العدد أعلى بـ 20 مرة من 1214 مستثمر/الخلية في مخطط عدم المشاركة بالقناة (المعادلة 6-4-8) أو 20 مرة من 1299 مستثمر/الخلية في مخطط المشاركة الجزئية بالقناة (المعادلة 9-4-8) أو بـ 20 مرة من 1335 مستثمر/الخلية في مخطط المشاركة الكاملة بالقناة (المعادلة 10-4-8) لنظام هوائي غير موجه. يمكن الاستنتاج من هذه الملاحظة ان ازدحام الاتصالات في النظام نتيجة خلل في موقع خلية معينة أكثر احتمالاً من ان يكون نتيجة خلل في نظام التبديل. عند تخطيط نظام الاتصالات المتنقل من المهم جداً وضع خطة تخصيص التردد المناسب لكل موقع خلية.

المراجع

REFERENCES

1. Langseth, R. E., and Y. S. Yeh, "Some Results on Digital Signaling over the Mobile Radio Channel" (Microwave Mobile Symposium, Boulder, CO, 1973).
2. Lee, W. C. Y., *Mobile Communications Engineers* (McGraw-Hill, 1982): 394.
3. Lee, W. C. Y., "Elements of Mobile Cellular System Design," *IEEE Trans. Veh. Tech.* (May 1986).
4. Siemens Corp., "Telephone Traffic Theory Tables and Charts" (Part I., by Siemens Telephone and Switching Division, Munich, May 1970).
5. Lee, W. C. Y., *Mobile Cellular Telecommunications Systems* (McGraw Hill, 1989), p. 256.

9 - تعدد المنافذ بالتقسيم المرمز (الشفري) في النظام الخلوي

Cellular CDMA

1-9 لماذا تعدد المنافذ بالتقسيم المرمز (الشفري) CDMA

2-9 انتشار الموجات ضيق النطاق NB

3-9 انتشار الاشارة عريض النطاق WB

4-9 العناصر الرئيسة في تصميم النظام الخلوي

5-9 تقنيات التمديد (النشر) في التعديل

Spread Techniques in Mod

6-9 وصف التعديل بالتتابع المباشر DS

7-9 ساعات خطط تعدد المنافذ

8-9 تخفيض نسبة تداخل الموقع القريب الى الموقع البعيد في نظام تعدد

المنافذ بالتقسيم المرمز (الشفري)

9-9 المزايا الطبيعية لنظام تعدد المنافذ بالتقسيم المرمز (الشفري)

9-1 لماذا نظام تعدد المنافذ بالتقسيم المرمز (الشفري) :

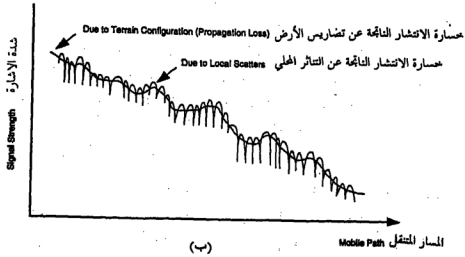
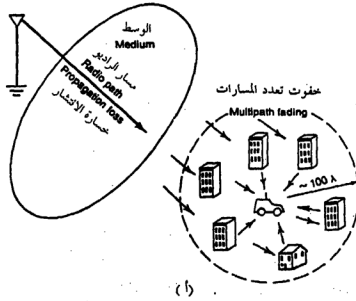
طُور نظام تعدد المنافذ بالتقسيم المرمز لزيادة السعة بشكل رئيس . ظهرت الحاجة الى تطوير النظم الخلوية لزيادة السعة مباشرة بعد أن واجهت النظم الخلوية التماثلية تحديداً في السعة في عام 1987 . يوجد في الأنظمة الرقمية ثلاث عخطط أساسية لتعدد المنافذ : تعدد المنافذ بالتقسيم الترددي (FDMA) وتعدد المنافذ بالتقسيم الزمني (TDMA) وتعدد المنافذ بالتقسيم المرمز (CDMA) .

نظرياً ، لا يهم إذا قسم الطيف الى ترددات أو شقوق زمنية أو رموز فالسعة المومنة من عخطط تعدد المنافذ الثلاث هذه هي نفسها . إلا أنه في النظام الخلوي يمكن أن نجد أن احداها أكثر ملائمة لوسط اتصالات معين من الآخر . في أمريكا الشمالية بشكل خاص يخصص طيف اضافي للنظام الخلوي الرقمي . ولهذا يتواجد النظامان الرقمي والتماثلي معاً في الطيف . إن مشكلة الانتقال من النظام التماثلي الى النظام الرقمي هو موضوع آخر . وعلى الرغم أن نظام CDMA قد استخدم في اتصالات السواتل إلا أنه لا يمكن تطبيق النظام نفسه مباشرة علي النظام الخلوي المتنقل . لتصميم نظام تعدد منافذ خلوي بالتقسيم المرمز نحتاج أولاً الى فهم بيئة الراديو المتنقل ثم نستطيع دراسة ما إذا كانت خواص تعدد المنافذ بالتقسيم المرمز تلائم تلك البيئة .

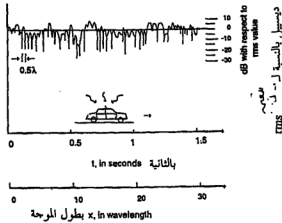
في نظام تعدد المنافذ بالتقسيم المرمز يستخدم انتشار اشارة الحامل العريض النطاق بينما انتشار اشارة الحامل الضيق النطاق هو واسطة الاتصالات التقليدية . لهذا نبدأ بدراسة انتشار الأمواج الضيقة النطاق ثم بدراسة الموجة العريضة النطاق .

9-2 انتشار الموجة الضيقة النطاق :

ترسل اشارة من موقع خلية وتستقبل إما بوحدة متنقلة أو محمولة بعد أن تنتشر فوق تضاريس ممتدة بين الطرفين . إن تأثير شكل التضاريس يخلق خصائص مخفوت طويل الأجل مختلفة تتبع تغيراً طبيعياً-لوغارتمياً يظهر على غلاف الاشارة المستقبلية كما في الشكل 9-1 . بما أن ارتفاع هوائى الوحدة المتنقلة أو المحمولة قريب من الأرض لذلك تلاحظ ثلاثة تأثيرات : 1- خسارة مسار اضافية , 2- مخفوت تعدد المسارات , 3- ظاهرة امتداد وقت الانتشار .



الشكل 1-9: (أ) بيئة راديو متنقل - محصارة الانتشار ومحفوت تعدد المسارات
(ب) بيئة راديو متنقل . (ج) محفوت غطوي استقبال من وحدة متنقلة متحركة.



الشكل 1-9 (ج)

2-9 1 خسارة المسار الاضافية لانتشار موجة مستمرة (ضيقة النطاق) في بيئة راديو متنقل.

لنفترض ان القدرة المرسلة هي P_t عندئذ يكون المتجه المسدد (أو كثافة القدرة المرسلة) U_t هو:

$$U_t = \frac{P_t}{4\pi r^2} \quad 1-2-9$$

عند طرف الاستقبال تصل الاشارة بعد مرورها خلال بيئة الراديو المتنقل. يمكن التعبير عن القدرة المستقبلة بالشكل:

$$P_r = U_t \cdot C(d, f) A_e(f) \quad 2-2-9$$

حيث $C(d, f)$ هي خاصية الوسط و $A_e(f)$ هي النافذة الفعالة لهوائي الاستقبال عند طرف الاستقبال ويمكن التعبير عنها بالشكل:

$$A_e(f) = \frac{c^2 G}{4\pi f^2} \quad 3-2-9$$

حيث c هي سرعة الضوء و G - ربح هوائي الاستقبال. بتعويض المعادلة 1-2-9 والمعادلة 3-2-9 في المعادلة 2-2-9 يصبح:

$$P_r = \frac{P_t}{4\pi r^2} C(d, f) \frac{c^2 G}{4\pi f^2} \quad 4-2-9$$

P_r في المعادلة 4-2-9 هي القدرة المستقبلية التي تم إيجادها من البيانات التجريبية المذكورة في الفصل 3-2 بالشكل :

$$P_r \propto \frac{1}{r^4} \cdot \frac{1}{f^3} \quad 5-2-9$$

بمقارنة المعادلة 5-2-9 مع المعادلة 4-2-9 نجد أن خاصية الوسط $C(d, f)$ هي من الشكل :

$$C(d, f) \propto \frac{1}{r^2 f} \quad \text{أو} \quad C(d, f) = \frac{k}{r^2 f} \quad 6-2-9$$

حيث k هو ثابت . يمكن إعادة كتابة المعادلة 4-2-9 بالشكل :

$$P_r = \frac{k c^2 G P_t}{(4\pi r^2)^2} \cdot \frac{1}{f^3} \quad 7-2-9$$

عندما نعلم خاصية الوسط $C(d, f)$ من المعادلة 6-2-9 يمكن عندئذ اشتقاق خسارة مسار الانتشار عريض النطاق .

2-2-9 خصائص خفوت تعدد المسارات :

بسبب انخفاض ارتفاع هوائيات الوحدات المتنقلة فإن المنشآت الصناعية المحيطة بهذه الهوائيات تسبب خفوت تعدد المسارات في الاشارات المستقبلية ، ويدعى هذا بخفوت رايلي كما هو مبين في الشكل 1-9 (انظر أيضا الفقرة 3-1). ينشأ عن خفوت تعدد المسارات أخطاء في الارسل الرقمي (أخطاء الدفق burst error). إن متوسط فترات الخفوت t ومعدلات تقاطع السوية n عند سوية 10 ديسيبل أقل من متوسط قدرة الاشارة هما تابعا لسرعة العربة V وطول الموجة λ .

$$\bar{t} = 0.132 \left(\frac{\lambda}{V} \right) s \quad \text{sec.} \quad 8-2-9$$

$$\bar{n} = 0.75 \left(\frac{V}{\lambda} \right) \quad \text{قاطعا في الثانية} \quad 9-2-9$$

عند تردد 850 م هـ وسرعة 15 ميل/الساعة تكون $\bar{t} = 6 \text{ ms}$ (6 ميلي ثانية) و $\bar{n} = 16$ تقاطعا في الثانية. يمكن اشتقاق المعادلتين 8-2-9 و 9-2-9 من الفقرة 1-3 .

9-2-3 امتداد وقت الانتشار :

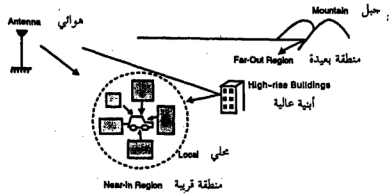
تحدد ظاهرة امتداد وقت الانتشار إذا وجد وسط مشتمل زمنياً. في بيئة الراديو المتنقل يرسل رمز مفرد من طرف ويستقبل في الطرف الآخر ليس ذلك الرمز فحسب بل واصداؤه الكثيرة أيضاً. تختلف فترات امتداد وقت الانتشار المقيسة من أول رمز حتى آخر صدى يمكن كشفه حسب البيئات المختلفة البنية. يبلغ متوسط امتداد وقت الانتشار الناتج عن النواثر المحلية في منطقة ضواحي 0.5 ميكرو ثانية وفي مناطق المدن 3 ميكرو ثانية وهي كما ذكرت سابقاً في الفقرة 1-5-6. تقع النواثر المحلية في منطقة الطرف القريب كما هي موضحة في الشكل 9-2، أما امتداد وقت الانتشار المقابل لهذه المنطقة فقد وضع في الشكل 9-3. وكما يبين الشكل 9-2 هناك أنواع أخرى من امتداد وقت الانتشار. يكون أحد أنواع الموجة المتأخرة بسبب الانعكاس على أبنية شاهقة الارتفاع (خارج المنطقة) والنوع الآخر بسبب الانعكاس على الجبال، وأزمنة التأخر الموافقة لها مبينة في الشكل 9-3. يمكن أن يصل امتداد وقت الانتشار في بعض المناطق الجبلية إلى 100 ثانية. يسبب امتداد وقت الانتشار تداخلاً بين الرموز في إرسال المعطيات. لتجنب التداخل بين الرموز يجب أن لا يزيد معدل الإرسال R_b عن مقلوب قيمة امتداد وقت الانتشار Δ إذا كانت الوحدة المتنقلة مستقرة (حالة عدم خفوت) :

$$R_b < \frac{1}{\Delta} \quad 10-2-9$$

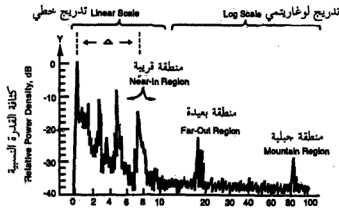
أو يجب أن لا يزيد R_b عن مقلوب القيمة $2\pi\Delta$ إذا كانت الوحدة المتنقلة في حالة الحركة (حالة خفوت) :

$$R_b < \frac{1}{(2\pi\Delta)} \quad 11-2-9$$

إذا كان معدل الإرسال R_b أعلى مما ذكر في المعادلة 10-2-9 أو المعادلة 11-2-9 فإن أنظمة تعدد المنافذ بالتقسيم الزماني وبالتقسيم الزماني تحتاج إلى مستويات قيادة على تخفيض التداخل بين الرموز لدرجة ما تعتمد على تعقيد امتداد وقت الانتشار وتوزيع وصول الموجة. يتطلب نظام تعدد المنافذ بالتقسيم الزماني معدل إرسال أبطأ دائماً من نظام تعدد المنافذ بالتقسيم الزماني عندما يقدم النظامان السعة الراديوية نفسها. يمكن الاستغناء عادة عن المسوي في نظام تعدد المنافذ بالتقسيم الزماني طالما أن معدل الإرسال لا يزيد كثيراً عن 10000 رمزا في الثانية. لا يحتاج نظام تعدد المنافذ بالتقسيم الرمزي إلى مسو ولكن يمكن استخدام جهاز أبسط منه يدعى "رابوط" سيوصف فيما بعد.



الشكل 2-9 توزع النواثر في بيئة راديو متنقل



الشكل 3-9 توضيح عن امتداد وقت الانتشار

3-9 انتشار الإشارة عريض النطاق :

يستخدم غالباً إرسال إشارة عريض النطاق في بيئة الراديو المتنقل . فوائد استخدام الإرسال عريض النطاق هي:

- 1- تقليل الخفوت (أي تطبيق التنوع الترددي) .
- 2- تجنب التشويش (أي بنشر القدرة المُرسلة على نطاق عريض لحصل التشويش غير فعال) .

ماهي قاعدة خمسارة مسار انتشار الإشارة عريض النطاق ؟

نحاول في هذا الفصل الإجابة على هذا السؤال بعد تحليل بسيط لخمسارة مسار الانتشار عريض النطاق . لعمل ذلك يجب ان نشق أولاً خصائص النطاق العريض من موجة مستمرة أو إشارة ضيقة النطاق .

1-3-9 خسارة مسار اشارة عريضة النطاق في بيئة راديو متنقل :

نفترض أن قدرة ارسال P_e واط قد استخدمت لارسال اشارة عريضة النطاق عرض نطاقها B هرتز على مسار راديو متنقل . يكون طيف القدرة لكل مكونة ترددية من الاشارة عريضة النطاق وعلى النطاق B هو $S_e(f)$ وتكون العلاقة بين P_e و $S_e(f)$ هي :

$$P_e = \int_{f_0 - \frac{B}{2}}^{f_0 + \frac{B}{2}} S_e(f) df \quad 1-3-9$$

ويكون المتجه المسدد عند طرف الارسال هو :

$$U_e = \frac{P_e}{4\pi r^2} = \frac{\int_{f_0 - \frac{B}{2}}^{f_0 + \frac{B}{2}} S_e(f) df}{4\pi r^2} \quad 2-3-9$$

عند طرف الاستقبال يمكن إيجاد القدرة المستقبلية لاشارة عريضة النطاق بعد مرورها خلال بيئة راديو متنقل كما في المعادلة 2-1-9 :

$$P_r = \frac{1}{4\pi r^2} \int_{f_0 - \frac{B}{2}}^{f_0 + \frac{B}{2}} S_e(f) \cdot C(d, f) \cdot A_e(f) \cdot df \quad 3-3-9$$

بتعويض المعادلة 3-2-9 والمعادلة 6-2-9 في المعادلة 3-3-9 نحصل على :

$$\begin{aligned} P_r &= \frac{1}{4\pi r^2} \int_{f_0 - \frac{B}{2}}^{f_0 + \frac{B}{2}} S_e(f) \frac{k}{r^2 f} \frac{c^2 G}{4\pi f^2} df \\ &= \frac{kc^2 G}{(4\pi r^2)^2} \int_{f_0 - \frac{B}{2}}^{f_0 + \frac{B}{2}} S_e(f) \frac{1}{f^3} df \end{aligned} \quad 4-3-9$$

يمكن حل المعادلة 4-3-9 إذا علمت $S_e(f)$. نفترض ، للتبسيط ، ان

$$S_e(f) = \text{constant} \quad f_0 - \frac{B}{2} \leq f \leq f_0 + \frac{B}{2} \quad 5-3-9$$

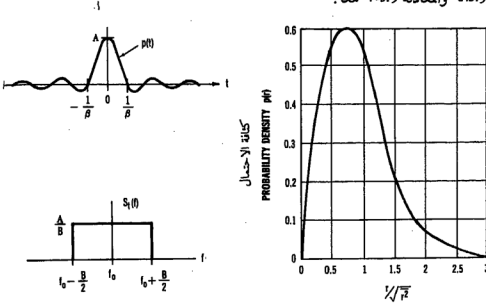
يمكن تحقيق هذا الشرط بتصميم شكل موجات النبضات المرسلة لتكون على شكل نبضات تامة ، أي :

$$p(t) = A \text{ sinc}(t \cdot B) \quad 6-3-9$$

عندئذ تكون :

$$S_i(f) = \frac{A}{B} \quad f_0 - \frac{B}{2} \leq f \leq f_0 + \frac{B}{2} \quad 7.3-9$$

حيث A هو اتساع النبضة ، B عرض النطاق الكلي . يبين الشكل 4-9 المعادلة 6.3.9 والمعادلة 7-3.9 معاً .

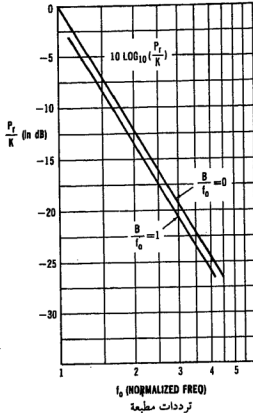


الشكل 4.9 نبضة تامة P(f) وطيفها محدد النطاق .

بتعويض المعادلة 7-3-9 في المعادلة 4-3-9 نحصل على القدرة المستقبلية لاشارة عريضة النطاق بالشكل :

$$\begin{aligned} P_r &= \frac{kc^2GA}{(4\pi r^2)^2 B} \int_{f_0 - \frac{B}{2}}^{f_0 + \frac{B}{2}} \frac{1}{f^3} df \\ &= \frac{kc^2GA}{(4\pi r^2)^2 B} \cdot \frac{1}{2} \left\{ \frac{1}{\left(f_0 - \frac{B}{2}\right)^2} - \frac{1}{\left(f_0 + \frac{B}{2}\right)^2} \right\} \\ &= K \frac{f_0}{\left[f_0^2 - \left(\frac{B}{2}\right)^2\right]^2} = K \frac{1}{f_0^3 \left[1 - \left(\frac{B}{2f_0}\right)^2\right]^2} \quad 8-3-9 \end{aligned}$$

$$K = \frac{kc^2GA}{(4\pi r^2)^2} \quad \text{حيث} \quad 9-3-9$$



الشكل 9-5 خسارة المسار نتيجة لنطاق الإشارة العريض

عندما يقترب عرض النطاق B من الصفر تصبح المعادلة 9-3-18 :

$$P_r = K \frac{1}{f_0^3} \quad \text{نطاق ضيق} \quad 10-3-9$$

حيث تتفق مع المعادلة 9-2-7. رُسمت المعادلة 9-3-8 في الشكل 9-5. إن القدرة المستقبلية هي تابع لكل من تردد الحامل و عرض النطاق، من حيث المبدأ كلما كبر عرض النطاق كبرت القدرة المستقبلية. إذا كان عرض النطاق B يساوي نصف التردد الحامل، عندئذ نعوض $B = f_0 / 2$ في المعادلة 9-3-8 لتصبح :

$$P_r = K \frac{f_0}{[f_0^2 - (f_0/4)^2]^2} = \frac{K}{(15/16)f_0^3} \quad 11-3-9$$

تُبين المعادلة 9-3-11 أن القدرة المستقبلية لإشارة عريضة النطاق عرض نطاقها $B = f_0 / 2$ ديسيبيل فقط من القدرة المستقبلية لإشارة موجة مستمرة. إذا كان النطاق عريضاً جداً $B = f_0$ فإن المعادلة 9-3-8 تعطى :

$$K = \frac{kc^2GA}{(4\pi r^2)^2} \quad 12-3-9$$

أي أن القدرة المستقبلية أعلى بمقدار 2,5 ديسيبل فقط من القدرة المستقبلية من موجة مستمرة لهذا فإن خسارة مسار الانتشار لاشارة عريضة النطاق يمكن أن تحسب بقاعدة خسارة مسار موجة مستمرة في بيئة الراديو المتنقل.

2-3-9 خفوت الاشارة عريضة النطاق :

يمكن أن يوصف انتشار الاشارة عريض النطاق عن طريق خسارة المسار وخفوت الاشارة. يمكن ملاحظة خسارات المسار للاشارتين عريضة النطاق وضيقة النطاق من المعطيات المقاسة والمبرهنة نظرياً (كما بين في الفقرة 9-3-1). ومع ذلك فإن خصائص خفوت الاشارة عريضة النطاق تختلف عن خصائص خفوت الاشارة ضيقة النطاق (التي سبق وصفها في الفصل الأول). فخفوت الاشارة عريضة النطاق ليس حاداً كخفوت الاشارة ضيقة النطاق. للاشارة عريضة النطاق خفوت أقل لأن استقبالتها يستفيد من التنوع الترددي الطبيعي للإشارة عريضة النطاق. خصائص خفوت تعدد المسارات على النطاق العريض :

يمكن التعبير عن نبضة التشوير عريضة النطاق $S_0(t)$ كما يلي :

$$S_0(t) = A \frac{\sin(\pi B t)}{\pi t} \quad 13-3-9$$

حيث A اتساع النبضة المبين في الشكل 4-9. يمكن تمثيل الاشارة المستقبلية كالتالي:

$$S(t) = \left(\frac{A}{B}\right) \sum_{m=-\infty}^{\infty} b_m(t) \frac{\sin \pi B(t - m/B)}{\pi(t - m/B)} \quad 14-3-9$$

عرض النبضة $1/B$ هو الفترة الزمنية التي تشغلها النبضة. نعد جميع b_m التي تختف خلال مجال عدد محدد من m موافق لامتداد وقت الانتشار Δ . بعد ذلك يمكن تقريب العدد الفعال لفرعات التنوع M بما يلي :

$$M = \frac{\Delta + 1/B}{1/B} = B \cdot \Delta + 1. \quad 15-3-9$$

يختلف العدد الفعال للتنوع وفقاً لنشآت البناء. M أكبر في مناطق المدن عنها في مناطق الضواحي. إذا كانت $\Delta = 0.5 \mu s$ (ميكرو ثانية) في الضواحي و $\Delta = 3 \mu s$ (ميكرو ثانية) في المدن و $B = 30 \text{ kHz}$ للنطاق الضيق و 1.25 MHz للنطاق العريض نجد أن العدد الفعال للتنوع M هو كما يلي:

M فرعة تنوع

B = 1.25 MHz	B = 30 KHz	بيئة صناعية
1.625	1.015	Δ = 0.5 μs ضواحي
4.75	1.09	Δ = 3 μs مدن

كلما زاد عرض النطاق كان الخفوت أقل. عند $B = 1.25 \text{ MHz}$ يقل خفوت الإشارة المستقبلية وكان مستقبلاً بفرعة تنوع $M = 1.625$ (بين فرعة وفرعتين) قد استخدم في منطقة الضواحي و $M = 4.75$ (بين أربع وخمس فرعات) في منطقة المدن. تؤمن الإشارة العريضة النطاق بريح تنوع أكبر في مناطق المدن منه في مناطق الضواحي. عند $B = 30 \text{ KHz}$ لا يلاحظ بريح تنوع فعال على الإشارة المستقبلية الضيقة النطاق.

4-9 العناصر الرئيسية في تصميم النظام الخلوي :

إن مفهوم إعادة استخدام التردد الموصوف في الفصل 5-5 يرشد تصميم النظام الخلوي للحصول على سعة أكبر للنظام .

1 - معامل تخفيض تداخل القناة الواحدة : يبنى الفاصل الأصغر بين خليتين لهما القناة D نفسها على معامل تخفيض تداخل القناة الواحدة q ويعبر عنه بالشكل :

$$q = \frac{D}{R} \quad 1-4-9$$

حيث R نصف قطر الخلية . تختلف قيمة q وفقاً للنظام . في النظم الخلوية التماثلية $q = 4.6$ وقد بنيت على أساس عرض نطاق القناة $B_c = 30 \text{ kHz}$ ونسبة الحامل إلى التداخل تساوي 18 ديسيبل ($C/I = 18 \text{ dB}$)

2 - تبديل القناة : تبديل القناة ميزة فريدة في النظام الخلوي. فهي تنقل المكالمات إلى قناة ترددية جديدة في موقع خلية جديدة بدون انقطاع المكالمات أو انذار المشترك. يعتبر تخفيض تبديل الأتية غير الضروري وبجاء تبديل القناة الضروري وظائف مهمة جداً لعمال النظام الخلوي في الأنظمة التماثلية والأنظمة الرقمية المستقبلية العاملة بنظم متعدد المنافذ بالتقسيم الترددي والتقسيم الزمني .

3 - ترتيب الوددات وتخصيص الودد : بناء على المسافة الصغرى D_c يمكن الحصول على عدد الخلايا K في نمط إعادة استخدام الخلية على الشكل :

$$K = \frac{(D_c/R)^2}{3} = \frac{q^2}{3} \quad 2-4-9$$

يقسم العدد الكلي للأقنية المخصصة على k . توجد k مجموعة من الترددات ، وتعمل كل خلية بمجموعتها الخاصة من الترددات التي يديرها عامل النظام. هذه هي وظيفة ترتيب الترددات . خلال معالجة المكالمات تخصص ترددات مختلفة لمكالمات مختلفة. هذه هي وظيفة تخصيص التردد. كلا الوظيفتان تتضاربان مع التداخل والسعة.

4 - الوصلة العكسية لضبط القدرة : تستخدم الوصلة العكسية لضبط القدرة من أجل تخفيض تداخل الطرف القريب الى الطرف البعيد. يحدث التداخل عندما تحجب الوحدة المتحركة القريبة من موقع الخلية الإشارة المستقبلة عند موقع الخلية بحيث لا يمكن استقبال الإشارة الآتية من وحدة متحركة بعيدة. وهذا غط فريد من التداخل في بيئة الراديو المتنقل.

5 - الوصلة الأمامية لضبط القدرة : تستخدم الوصلة الأمامية لضبط القدرة من أجل تخفيض التداخل اللازم خارج حدود الخلية:

6 - زيادة السعة : يمكن زيادة سعة الأنظمة الخلوية بمعالجة q بطريقتين :

أ - تبقى قيمة q المبنية في المعادلة 1-4-9 ثابتة ضمن التجهيزات الخلوية النمطية. عندما يقل نصف القطر R تقل D_r ، وعندما تصبح D_r أصغر يمكن تكرار التردد نفسه في المنطقة الجغرافية نفسها مراراً ، ولهذا السبب تستخدم الخلايا الصغيرة (تدعى أحياناً بالخلايا الصغيرة أو الخلايا الأصغرية) لزيادة السعة.

ب - من بين الأنظمة الخلوية المختلفة يمكن انتقاء أنواع كثيرة مختلفة من التجهيزات الراديوية. والفكرة هي البحث بين تلك الأنظمة الخلوية التي تؤمن فيما أقل q . عندما تكون q في المعادلة 1-4-9 صغيرة فإن D_r صغيرة حتى لو بقي نصف قطر الخلية دون تغيير. إن قيمة q في الأنظمة الخلوية الرقمية المصممة بعناية أقل من قيمة q في الأنظمة التماثلية. بانتقاء قيمة صغيرة لـ q في نظام جديد على أساس قيمة q في نظام قديم يمكننا زيادة سعة النظام دون تصغير حجم الخلية. ولهذا يفضل النظام الرقمي الجديد على النظام التماثلي القديم .

يترتب على تصغير حجم الخلايا في نظام ما استخدام خلايا أكثر. وهذا مكلف دوماً. ولهذا من المهم جدا استخدام الأنظمة الخلوية الرقمية بعناية لبلوغ القيمة المثلى لـ q .

5-9 تقنيات التمديد (النشر) في التعديل :

تستخدم تقنيات التمديد (النشر) في التعديل عادة في العمليات العسكرية لمعاكسة التشويش. توجد تقنيتا نشر : نشر الطيف (الطيف المنشور) ونشر الزمن (قنر زمني).

1-5-9 تقنيات الطيف المنشور :

يمكن اتمام تمديد (نشر) الطيف بأحدى طريقتين : التابع المباشر أو القفز الردي.

1 - طريقة التابع المباشر : ترمز كل قطعة معلومات بعدد كبير من البتات المشفرة وتدعى جزازات (رقاقات) . مثال ذلك إذا كان معدل بتات المعلومات المستخدمة $R = 10 \text{ Kbps}$ وتحتاج المعلومات الى نطاق عرضه $B = 10 \text{ kHz}$ وإذا شغرت كل بتة من هذه الـ 10 كيلوبتة بالثانية بـ 100 جزازة فإن معدل الجزازات هو 1 ميغا بتة بالثانية وبححتاج الى عرض نطاق $B_{\text{ن}} = 1 \text{ MHz}$. وبهذا ينتشر عرض النطاق من 10 ك هـ الى 1 م هـ. يقاس نشر الطيف في حالة التابع المباشر بربح العملية (PG) بالديسيبل .

$$PG = 10 \log \frac{B_{\text{ن}}}{B} \quad (\text{in dB}) \quad 5-1-9$$

ويكون ربح العملية في هذا المثال 20 ديسيبل ، أو يقال أن لنظام الطيف المنشور هذا ربح عملية 20 ديسيبل ، أخرجت أول تجارب على التابع المباشر في عام 1949 من قبل ل.أ. دي روزا و م. روجوف للذات أنشأ وصلة اتصال بين نيوجرسي وكاليفورنيا.

2 - طريقة القفز الردي : يجهز مستقبل القفز الردي بـ N قناة ترددية من أجل مكانة حية كي يقفز على الأتية الرديدية N هذه وفق نمط قفز محدد . إذا كان عرض قناة المعلومات 10 ك هـ . وكان هناك 100 قناة للقفز ($N=100$) فإن عرض نطاق القفز الردي $B_{\text{ن}} = 1 \text{ MHz}$. ويكون تمديد الطيف من 10 ك هـ (بدون قفز) إلى 1 م هـ (قفز ترددي) . يقاس القفز الردي بربح العملية على الشكل التالي :

$$PG = 10 \log N \quad (\text{in dB}) \quad 2-5-9$$

ويكون ربح العملية في هذا المثال هو 20 ديسيبل . تسمى جميع أفتية القفز الردي أيضاً جزازات . يمكن أن يتواجد قفز سريع حيث تجري قفزتان أو أكثر لكل رمز ، أو قفز بطيء حيث تتسع كل قفزة لرمزين أو أكثر . يكون معدل ارسال المعطيات في العادة هو معدل الرموز نفسه ، ويساوي معدل الرموز معدل البتات في الأرسال الثنائي . نظرا لقصور تقنيات الوقت الحاضر يستخدم القفز الردي نمط القفز البطيء .

2-5-9 القفز الزمني - تقنية تمديد الزمن (الزمن المشور) :

نقص الرسالة المرسله بمعدل معطيات R والتي تتطلب فترة ارسال زمينة T ، بفترة ارسال زمينة أطول T_r وترسل المعلومات برشقات يملئها نط القفز . يمكن أن تتغير الفترة الزمنية t_n بين الرشقات. يكون معدل المعلومات R_r في القفز الزمني دائما أقل من معدل بتات المعطيات R . لنفرض حدوث N رشقة في الزمن T ، عندئذ :

$$R_r = \left(\frac{T_r}{T} \right) R = \left(1 - \frac{\sum_{n=1}^N t_n}{T} \right) R \quad 3-5-9$$

6-9 وصف التعديل بالتتابع المباشر :

استُخدم الطيف المشور (التتابع المباشر والقفز الترددي) لتخفيض التداخل المقصود (تشويش العدو) . نحن مهتمون باستخدامه لزيادة السعة بدلا من تخفيض التداخل المقصود. نميز مباشرة أن القفز الترددي البطيء لا يزيد السعة. القفز البطيء يدع الاقنية الجيدة تسوء والاقنية السيئة تتحسن . للنظام المصمم من أجل السعة يجب أن تستمر جميع الاقنية بنوعية حسنة تقريبا. إذا وجدت اقنية سيئة في نظام الطيف المشور ذي سعة عالية فإن النظام لا يؤمن اقنية طبيعية حيث يمكن أن تتوسط سويات الاشارة الزائدة مع سويات الاشارة الضعيفة من الاقنية السيئة الى حدود سوية نوعية مقبولة. إن طريقة تحسين هذه الحالة هي إما أن تسقط الاقنية الخلفية أو تصحح الاقنية السيئة بوسائل أخرى. يساعد القفز السريع على زيادة السعة لأنه يؤمن التنوع إلا أن تقنيات القفز السريع عند التردد 800 م هـ غير متوفرة الآن.

1-6-9 التقنية الأساسية للتتابع المباشر (DS) :

يوضح الشكل 6-9 التقنية الأساسية للتتابع المباشر. تعدل المعطيات $x(t)$ المرسله بمعدل R بتدد حامل f_c أولا ثم بشيفرة نشر $G(t)$ لتشكل اشارة تتابع مباشر $S_x(t)$ بمعدل جزازات R_p وتشغل عرض نطاق تتابع مباشر B_p . تستقبل اشارة التتابع المباشر $S_x(t - T)$ بعد زمن تأخير انتشار T وتدخل الى رابط (correlator) يستخدم شيفرة النشر $G(t)$ نفسها المخزنة فيه مسبقا لفك نشر اشارة التتابع المباشر ، ثم يتم الحصول على الاشارة التي فك نشرها $S_x(t - T)$ وبعد فك تعديلها بالتردد f_c تسرجع الاشارة $x(t)$. لتأخذ اشارة غلاف ثابت معدلة بتدد f_c عند طرف الارسال المبينة في الشكل 6-9 ، ولتكن $x(t)$ سيل المعطيات المعدلة بابراق زحزحة طور ثنائي (BPSK) ، عندئذ :

$$x(t) = \pm 1 \quad 1-6-9$$

معادلة باهراق زحزحة ثنائية :

$$S(t) = x(t)\cos(2\pi f_0 t). \quad 2-6-9$$

في طرف الارسال يستخدم تعديل نشر التتابع $G(t)$ أيضا الابهراق بزحزحة طور ثنائي :

$$G(t) = \pm 1 \quad 3-6-9$$

عندئذ :

$$S_e(t) = x(t)G(t)\cos(2\pi f_0 t). \quad 4-6-9$$

في طرف الاستقبال تستقبل الإشارة $S_e(t - T)$ بعد T ثانية زمن تأخير الانتشار ثم تجري بعد ذلك عملية فك النشر. تخرج الإشارة $S(t - T)$ من الرابط :

$$S(t - T) = x(t - T) \cdot G(t - T)G(t - T)\cos[2\pi f_0(t - T)] \quad 5-6-9$$

حيث T زمن تأخير الانتشار المقدّر والمولد في المستقبل ، وبما أن $G(t) = \pm 1$:

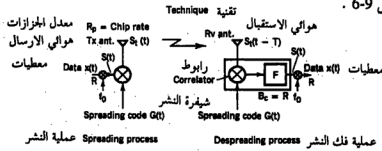
$$G(t - T)G(t - T) = 1 \quad 6-6-9$$

في رابط جيد تكون $T = T$ ، عندئذ :

$$S(t - T) = x(t - T)\cos[2\pi f_0(t - T)] \quad 7-6-9$$

تسترجع المعطيات $x(t - T)$ بعد تعديلها بتردد حامل f_0 كما هو مبين في

الشكل 6-9 .



الشكل 6-9 التقنية الأساسية للتتابع المباشر

Tx.Ant. - هوائي الارسال ، Rv.Ant. - هوائي الاستقبال

9-6-2 مولد الشيفرة شبه الضخيجية :

إن الشيفرة شبه الضخيج الآتية من تتابع شبه ضخيج هي إشارة مقررّة . مثال ذلك التتابع 00010011010111 هو تتابع شبه ضخيج يشمل ثلاث خصائص :

1 - خاصية التوازن - 7 أصفار و 8 واحدات . يختلف عدد الأصفار عن عدد الواحدات في شيفرة شبه ضخيجية بواحد فقط.

2 - خاصية التدفق - 4 دقات "صفر" (أو دقات "1")
الدقات = 4 .

1/2 الدقات (أي 2) من الطول 1 [أي صفر أو واحد افراديان]

1/4 الدقات (أي 1) من الطول 2 [أي صفران أو واحدان متتابعان]

1/8 الدقات (أي 0.5) من الطول 3 [أي 3 أصفار أو 3 واحدات متتابعة]

في المثال السابق لا يمكن عد 1/8 الدقات لأن الشيفرة قصيرة جداً.

3 - خاصية الزايط. لتكن D تمثل الفرق و S تمثل الحالة نفسها. نقارن الشيفرتين شبه الضخيجيتين كالتالي :

0	0	0	1	0	0	1	1	0	1	0	1	1	1	1
1	0	0	0	1	0	0	1	1	0	1	1	1	1	1
D	S	S	D	D	S	D	S	D	D	D	D	S	S	S

يمكن الحصول على قيمة ترابط تتابعين بـ N بنة بتعداد العدد N_s لـ D 's والعدد

N_s أو S 's وضعهما في المعادلة التالية :

$$P = \frac{1}{N} (N_s - N_d) = \frac{1}{15} (7 - 8) = -\frac{1}{15} \quad 9-6-8$$

عندئذ يكون ارتباط شيفرة شبه ضخيج بـ 15 بنة هو 1/15 . يبين الشكل 9-7

مولد شيفرة شبه ضخيج بمسجل ازاحة رباعي . يجمع الجامع النمطي 2 خرج مسجل

الازاحة X_3 ومسجل الازاحة X_4 . تغذى إشارة الجمع خلفيا لمسجل الازاحة X_1 .

لنفرض أن تتابع من 4 بتات 1000 طبق على مسجل الازاحة X_1 فإن مخرج تتابع شبه

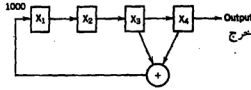
الضخيج من مولد الشيفرة هذا هو : 00010011010111 . يعتمد طول الشيفرة L

لأي مولد شيفرة شبه ضخيج على عدد مسجلات الازاحة N :

$$L = 2^N - 1 \quad 9.6.9$$

يدعى تتابع شبه الضخيج المولد في الشكل 9-7 أيضاً بتتابع الطول الخطي الأعظمي .

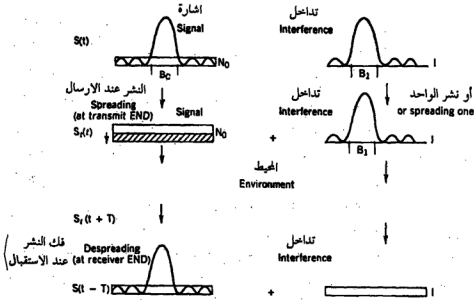
من أجل $N = 4$ تكون $L = 15$.



000100110101111 $P = 2^N - 1$
 عدد مسجلات الإزاحة N - Number of shift registers
 طول التتابع P - Length of sequence

الشكل 7-9 مولد شيفرة شبه الضميج (تتابع الطول الخطي الأعظمي)

N - عدد مسجلات الإزاحة ، P طول التتابع $P = 2^N - 1$



الشكل 8-9 الطيف المنشور ، لمنع التداخل مولد $G_z(t)$ مختلف لأجراء

النشر وينتهي للنتيجة نفسها

3-6-9 تخفيض التداخل بإشارة تتابع مباشر (DS) :

تعرض إشارة الشكل 6-9 $S(t)$ قبل النشر في كلا المجالين الراديوي والزمني كما هو مبين في الشكل 8-9 . بعد نشر $S(t)$ بمولد $G(t)$ يرسل الخارج $S(t - T)$ بينما يبقى التداخل في الجو إشارة ضيقة النطاق أو إشارة تتابع مباشر بمولد $G_I(t)$ مختلف . عندما تستقبل الإشارة $S(t - T)$ بعد زمن تأخير T بفك نشرها بالمولد $G(t)$ نفسه منتجة $S(t - T)$. تنشر إشارة التداخل إلى إشارة طيف منشور بالمولد $G(t)$ إذا كانت ضيقة النطاق أو تبقى إشارة طيف منشور لأن المولد $G(t)$ و $G_I(t)$ لا يتفقان وبالتالي يمكن الوصول إلى سوية منخفضة من التداخل ضمن عرض نطاق الإشارة المرغوبة B_0 .

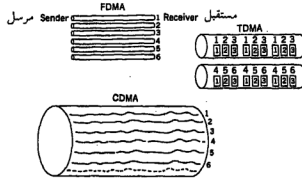
7-9 ساعات خطط تعدد المنافذ :

تستخدم خطط تعدد المنافذ لتأمين منافذ لإقامة الاتصالات. توجد خمس خطط تعدد المنافذ هي:

- FDMA تعدد المنافذ بالتقسيم الراديوي ويخدم المكالمات بقنوات ذات ترددات مختلفة.
- TDMA تعدد المنافذ بالتقسيم الزمني ويخدم المكالمات بشقوق زمنية مختلفة.
- CDMA تعدد المنافذ بالتقسيم المرمز ويخدم المكالمات بتتابع شفري مختلف .
- PDMA تعدد المنافذ بالتقسيم الاستقطابي ويخدم المكالمات باستقطابات مختلفة وهذا النوع من تعدد المنافذ غير قابل للتطبيق في الاتصالات الراديوية المتنقلة .
- SDMA تعدد المنافذ بالتقسيم الفراغي ويخدم المكالمات بواسطة هوائيات بجمعية الأشعاع.

يمكن تخديم المكالمات في المناطق المختلفة المغطاة بالأشعة البعيدة بواسطة الردد نفسه - مفهوم إعادة استخدام الردد. يمكن تطبيق خطط تعدد المنافذ الثلاث الأولى في الأنظمة الخلوية. يبين الشكل 9-9 توضيحاً للاختلافات بين خطط تعدد المنافذ الثلاث. لنفرض أن مجموعة من ست أغطية قد خصصت لخلية . في خطة تعدد المنافذ بالتقسيم الراديوي تخدم الأغطية الرددية الست ست مكالمات . في خطة تعدد المنافذ بالتقسيم الزمني يكون عرض نطاق القناة أوسع بثلاث مرات من عرض نطاق القناة في خطة تعدد المنافذ بالتقسيم الراديوي ولهذا فإن عرض نطاق قناتين بالتقسيم الزمني يساوي عرض نطاق ست أغطية بالتقسيم الراديوي وكل قناة تعمل بالتقسيم الزمني تؤمن

ثلاثة شقوق زمنية ومجموع الشقوق الزمنية الستة تستخدم ست مكالمات . في خطة تعدد المنافذ بالتقسيم المرمز تشغل قناة كبيرة واحدة عرض نطاق مساو ست أفنية تعمل بالتقسيم الترددي ، ويمكن للقناة الراديوية العاملة بالتقسيم المرمز تأمين ست تناهات شيفرة لتستخدم ست مكالمات . يمكن لخطة تعدد المنافذ بالتقسيم المرمز أن تضغط تناهات شيفرة اضافية في القناة الراديوية نفسها بينما لا تستطيع الخطتان الأخريان عمل ذلك . بالطبع تؤدي اضافة تناهات شيفرة اضافية الى تخفيض نوعية الصوت .



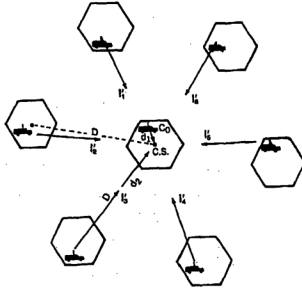
الشكل 9-9 توضيح أنظمة تعدد المنافذ المختلفة

في الأنظمة التماثلية يمكن تطبيق المنافذ بالتقسيم الترددي فقط وتكون نسبة الحامل الى التداخل C/I المستقبلة في مرحلة التردد الراديوي RF متعلقة تقريبا بنسبة الإشارة الى الضجيج S/N عند النطاق الأساسي وهي متعلقة بدورها بنوعية الصوت. في الأنظمة الرقمية يمكن تطبيق خطط تعدد المنافذ الثلاث بالتقسيم الترددي والزمني والمرمز وتكون نسبة الحامل الى التداخل C/I في مرحلة التردد الراديوي RF متعلقة تقريبا بالنسبة E_b/I_0 عند النطاق الأساسي .

$$\begin{aligned} \frac{C}{I} &= \left(\frac{E_b}{I_0} \right) \left(\frac{R_b}{B_c} \right) \\ &= \left(\frac{E_b}{I_0} \right) / \left(\frac{B_c}{R_b} \right) \end{aligned} \quad 1-7-9$$

14

حيث E_b الطاقة/بته و I_0 قدرة التداخل/هرتز و R_b معدل البتات/ثانية و B_e عرض نطاق القناة الراديوية بالهرتز . في خطط تعدد المنافذ بالتقسيم الترددي أو الزمني توجد أقنية أو شقوق زمنية مخصصة للمكالمات . فإذا كانت $R_b \geq B_e$ و E_b/I_0 عند النطاق الأساسي أكبر دائماً من الواحد فإن C/I أكبر من الواحد أيضاً (أي لها قيمة موجبة بالديسيبل). في خطة تعدد المنافذ بالتقسيم المرمز تشترك جميع تنابعات الشيفرة، لنقل N ، بقناة راديوية واحدة ولهذا تكون B_e أكبر بكثير من R_b . غالباً ما يحمل الرمز B_e الذي يمثل قناة الطيف المنشور محل الرمز B_e . أي تنابع شيفرة ضمن القناة الراديوية يتداخل مع $N-1$ تنابع شيفرة أخر ، ونتيجة لذلك تكون سوية التداخل دائماً أعلى من سوية الإشارة والنسبة C/I أقل من الواحد (أي لها قيمة سالبة بالديسيبل) .



الشكل 9-10 تداخل القناة الواحدة

9-7-1 سعة النظام الخلوي بالتقسيم الترددي والتقسيم الزمني :

في نظم التقسيم الترددي أو الزمني تقصص كل قناة ترددية أو شق زمني لمكالمة واحدة - وخلال فترة المكالمة لا يمكن اشراك مكالمات أخرى على القناة نفسها أو الشق نفسه . يأتي تداخل القناة الواحدة من مسافة $D_s = qR$. لنفرض الحالة الأسوأ أي

وجود ستة أجهزة تداخل قناة واحدة (انظر الشكل 9-10) وأن قانون حسارة المسار من الدرجة الرابعة سيطبق ، عندئذ يمكن إيجاد سعة النظام الخلوي بالتقسيم الترددي والزمن بواسطة السعة الراديوية m التي يعبر عنها بما يلي :

$$m = \frac{B_c/B_e}{K} = \frac{M}{\sqrt{2/3}(C/N)_e} \quad 2-7-9$$

حيث B_e عرض النطاق الكلي (المرسل أو المستقبل)

B_e عرض نطاق القناة (المرسل أو المستقبل) أو مكافئ عرض نطاق القناة .

$$M = B_c/B_e = \text{العدد الكلي للأقنية أو الأقنية المكافئة} .$$

$(C/N)_e$ نسبة الحامل الى التداخل الصغري المطلوبة للقناة أو الشق الزمني . يمكن تطبيق المعادلة 2-7-9 مباشرة على أنظمة تعدد المنافذ بالتقسيم الترددي التماثلية والرقمية. في أنظمة تعدد المنافذ بالتقسيم الزمني B_e هي عرض نطاق القناة المكافئ .

مثال ذلك اذا كان عرض نطاق القناة الراديوية لنظام تعدد المنافذ بالتقسيم الزمني 30 ك هـ ولها ثلاثة شقوق زمنية فإن عرض نطاق القناة المكافئ هو 10 ك هـ ($B_e = 10 \text{ kHz}$). ويظهر أن النسبة الصغرى المطلوبة $(C/N)_e$ لكل شق زمني هي النسبة $(C/N)_e$ نفسها للقناة المكافئة بالتقسيم الزمني. تبنى السعة الراديوية على معلمتين: B_e و $(C/N)_e$ كما يشار في المعادلة 2-7-9 ، فهي لها نفس المعلمتين اللتين تظهران في علاقة شانون لسعة الأقنية. الفرق بين المعادلة 2-7-9 وعلاقة شانون هو أن المعلمتين في المعادلة متعلقتان ببعضهما وفي علاقة شانون مستقلتان عن بعضهما . يمكن إيجاد النسبة $(C/N)_e$ لسعة راديوية باستخدام نوعية صوت قياسية (مرجعية) بعد أن يعرف عرض نطاق القناة B_e .

2-7-9 السعة الراديوية للنظام الخلوي بالتقسيم المرمز (الشفيري) :

صمم نظام تعدد المنافذ بالتقسيم المرمز الخلوي ليعمل خصيصا في الأنظمة الخلوية وسبب استخدامه الرئيس هو سعته العالية. يوجد في نظام تعدد المنافذ بالتقسيم المرمز قيمتان لمعامل تخفيض القناة الواحدة ، احدهما تسمى الجسارة q_e ، $q_e = D_e/R = 2$. وتعني إمكانية إعادة استخدام القناة الراديوية نفسها في جميع الخلايا الجاورة ، وتسمى الأخرى الذاتية q_e ، ($q_e = 1$). وتعني أن تتابعات شيفرة مختلفة تستخدم القناة الراديوية نفسها لحمل أقنية الاتصال المختلفة. يبين الشكل 9-11 نوعي معامل تخفيض القناة الواحدة ، وباستخدام أصغر قيمة لهذا المعامل يكون نظام

تعدد المنافذ بالتقسيم المرمز هو نظام إعادة استخدام التردد الأكثر فعالية الذي يمكن إنجاده .

1- نسبة الحامل الى التداخل $(C/I)_s$ المطلوبة في نظام تعدد المنافذ بالتقسيم المرمز الخلوي:

ويمكن إيجادها من المعادلة 1-7-9 بالاعتماد على قيمة E_b/I_0 المقاسة عند النطاق الأساسي والمحددة بنوعية الصوت . مثال ذلك ، اذا كان معدل بتات المرمز $R_b = 8 \text{ Kb/s}$ وعرض نطاق القناة عريضة النطاق الكلي $B_t = 1.25 \text{ MHz}$ فإن E_b/I_0 تتحدد كما يلي :

$$\frac{E_b}{I_0} = 7 \text{ dB}$$

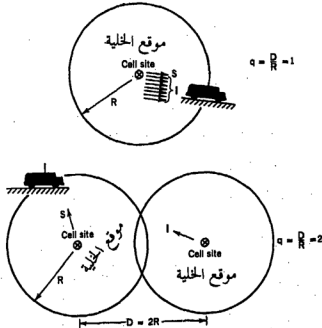
ومنه

$$(C/I)_s = 0.032 (=) -15 \text{ dB}$$

$$\frac{E_b}{I_0} = 4.5 \text{ dB}$$

ومنه

$$(C/I)_s = 0.01792 (=) -17.5 \text{ dB}$$



الشكل 11-9 تفسير نوعي معامل تخفيض القناة الواحدة

بعدها يمكن اشتقاق السعة الراديوية لهذا النظام بالحسابات المبينة على الوصلة الأمامية ويمكن تحسينها بخطة ضبط القدرة.
 2- بدون خطة ضبط القدرة : تحسب السعة الراديوية من النسبة C/I للوصلة الأمامية. يمكن الحصول على النسبة $(C/I)_s$ المستقبلية في الوحدة المتنقلة عند حدود خلية تعدد المنافذ بالتقسيم المرمز المبينة في الشكل 9-12 من خلايا التداخل التسع، كما يلي :

$$\begin{aligned} \left(\frac{C}{I}\right)_s &= \frac{\alpha \cdot R^{-4}}{\underbrace{\alpha(M-1) \cdot R^{-4}}_{\text{Within the cell} \quad \text{داخل الخلية}}} + \frac{\alpha \cdot 2M \cdot R^{-4}}{\underbrace{\alpha \cdot 3M \cdot (2R)^{-4}}_{\text{Three intermediate-range channels} \quad \text{ثلاث قنوات متوسطة}}} \\ &\quad + \frac{\alpha \cdot 6M(2.633)^{-4}}{\underbrace{\alpha \cdot 6M(2.633)^{-4}}_{\text{Six distant calls} \quad \text{ست خلايا بعيدة}}} \\ &= \frac{1}{3.3123M - 1} \end{aligned} \quad 3-7-9$$

حيث α معامل ثابت ، M عدد أفقية الاتصال . يمكن تحديد $(C/I)_s$ من E_b/I_0 و R_b/B_s

في المعادلة 9-7-1

تحسب M من المعادلة 9-7-3 .

$$\left(\frac{C}{I}\right)_s = 0.032 \quad M = 9.736$$

$$\left(\frac{C}{I}\right)_s = 0.01792 \quad M = 17.15$$

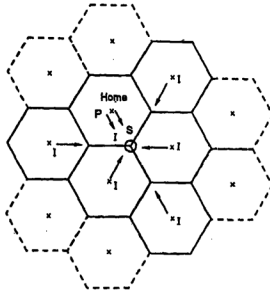
السعة الراديوية لنظام تعدد المنافذ بالتقسيم المرمز المعرفة بالمعادلة 9-7-2 هي :

$$m = \frac{M}{K} \quad \text{عدد أفقية الاتصال / الخلية} \quad 4-7-9$$

في هذه الحالة $K = q^{2/3} = 4/3 = 1.33$. ومنه :

$$E_b/I_0 = 7 \text{ dB} \quad \text{قناة اتصال/الخلية من أجل} \quad m = \frac{M}{1.33} = 7.32$$

$$E_b/I_0 = 4.5 \text{ dB} \quad \text{قناة اتصال / الخلية من أجل} \quad m = 12.9$$



الشكل 12-9 نظام متعدد المنافذ بالتقسيم المرمز والتداخل عليه

3-7-9 خطة ضبط القدرة في نظام متعدد المنافذ بالتقسيم المرمز (الشفيري) :

يمكن زيادة السعة الراديوية باستخدام خطة ضبط قدرة. ملائمة. يمكن لخطة ضبط القدرة المستخدمة على الوصلة الأمامية لكل خلية أن تقلل التداخل على خلاياها مجاورة أخرى.

كلما قل التداخل المولد في خلية كلما زادت قيمة M . تشير المعادلة 5-7-9 أنه إذا أهملت جميع التداخلات (انظر الشكل 12-9) عندئذ :

$$٣٧٤ \quad \left(\frac{C}{I}\right)_s = \frac{R^{-4}}{(M-1)R^{-4}} = \frac{1}{M-1} \quad 5-7-9$$

من أجل

$$\left(\frac{C}{I}\right)_s = 0.032 \quad M = 30.25$$

ومن أجل

$$\left(\frac{C}{I}\right)_s = 0.01792 \quad M = 54.8$$

بمقارنة المعادلة 3-2-9 مع المعادلة 5-7-9 نجد أن عدد أفتية الاتصال الكلي M

قد انخفض بشدة نتيجة وجود التداخل. وبما أن التداخل موجود دائما في الخلايا المجاورة فإنه يمكن تقليله باستخدام خطة ضبط قدرة. يجب الأخذ بالحسبان خطة ضبط القدرة لكامل القدرة بعد ضم أفتية الاتصال كلها وتحديد القدرة المسلمة اللازمة للوحدة المتنقلة القريبة والقدرة المحفظة الكلية عند الحدود كما يلي :

الحالة 1 : إيجاد القدرة المسلمة اللازمة للوحدة المتنقلة القريبة :

لنفترض أن القدرة المرسل من موقع الخلية إلى الوحدة المتنقلة هي P_i وهي متناسبة مع r_i^7 :

$$P_i \propto r_i^7 \quad 6-7-9$$

حيث r_i المسافة بين موقع الخلية والوحدة المتنقلة z و n هو عدد. بفحص العدد n نجد أن خطوة ضبط القدرة عندما تستخدم $n = 2$ في المعادلة 6-7-9 فإنها تؤمن السعة المثالية ومتطلبات اشارة الوصلة الأمامية كي تصل الى الوحدة المتنقلة القريبة على مسافة r_z من موقع الخلية قدرة مخفضة :

$$P_i = P_R \left(\frac{r_i}{R} \right)^2 \quad 7-7-9$$

حيث P_R القدرة المطلوب ايصالها الى الوحدات المتنقلة عند حدود الخلية R . يفترض أن عدد الوحدات المتنقلة M المخدومة بـ M قناة اتصال موزعة بانتظام في الخلية فيكون :

$$p(M_i) = kr_i \quad 0 \leq r_i \leq R \quad 8-7-9$$

حيث :

$M = \sum_{i=1}^L M_i$. توجد L مجموعة من الوحدات المتنقلة لكل منها البعد نفسه حول موقع الخلية. و M_i عدد الوحدات المتنقلة في المجموعة رقم i وفقا لمكانها و k ثابت. تشير المعادلة 8-7-9 أنه اذا كان عدد الوحدات المتنقلة القريبة من موقع الخلية أقل فإن عددها يكون أكبر عند الحلقة الخارجية. لنفترض أن المسافة بين موقع الخلية والوحدة المتنقلة المرغوبة هي r_0 ولنفترض أيضاً أن r_0 هي مسافة قرية بين وحدة متنقلة محاذية وموقع الخلية. بمساعدة المعادلتين 6-7-9 و 7-7-9 تكون القدرة المرسل من موقع الخلية مساوية الى :

$$\begin{aligned} P_t &= \sum_{i=1}^{M_1} P_1 + \sum_{i=1}^{M_2} P_2 + \sum_{i=1}^{M_3} P_3 + \dots + \sum_{i=1}^{M_L} P_L \\ &= P_r \left[\sum_{i=1}^{M_1} \left(\frac{r_1}{R} \right)^2 + \sum_{i=1}^{M_2} \left(\frac{r_2}{R} \right)^2 + \dots + \sum_{i=1}^{M_L} \left(\frac{r_L}{R} \right)^2 \right] \\ &= P_r \left[kr_1 \left(\frac{r_1}{R} \right)^2 + kr_2 \left(\frac{r_2}{R} \right)^2 + \dots + kr_L \left(\frac{r_L}{R} \right)^2 \right] \quad 9-7-9 \end{aligned}$$

بما أن r_z هي المسافة بين موقع الخلية وحدودها اذن $r_z = R$ وتصبح المعادلة

9-7-9 كالآتي :

$$P_t = P_R k \int_0^R \frac{r^3}{R^2} dr = P_R k \frac{R^2}{4} \quad 10-7-9$$

ويمكن الحصول على عدد الوحدات المتنقلة كما يلي :

$$M = \sum_{i=1}^L M_i = k(r_1 + r_2 + \dots + R) \quad 11-7-9$$

$$= k \int r dr = k \frac{R^2}{2}$$

بتعويض المعادلة 10-7-9 في المعادلة 11-7-9 نجد :

$$P_t = P_R k \left[\frac{M}{2k} \right] = P_R \frac{M}{2} \quad 12-7-9$$

إذا طبقت القدرة الكاملة P_R على كل قناة ، عندئذ :

$$P_t = MP_R \quad 13-7-9$$

بمقارنة المعادلتين 12-7-9 و 13-7-9 نجد أن القدرة الكلية له

النصف من أجل خطة ضبط القدرة للمعادلة 7-7-9 . وتكون نسبة الحامل

$(C/I)_s$ لوحدة متنقلة على بعد r_0 قريبة من موقع الخلية هي :

$$\left(\frac{C}{I} \right)_s = \frac{P_R (r_0/R)^2 \cdot r_0^{-4}}{P_R (M/2) \cdot r_0^{-4}} = \frac{(r_0/R)^2}{(M/2)} \quad 14-7-9$$

يمكن افعال التداخل من الخلايا المجاورة في المعادلة 14-7-9 في هذه الحالة.

الحالة 2 : تخفيض القدرة الكلية عند حدود الخلية :

- يمكن الحصول على النسبة $(C/I)_s$ لوحدة متنقلة على بعد R أي عند حدود الخلية

بشكل مشابه للمعادلة 3-7-9 :

$$\left(\frac{C}{I} \right)_s = \frac{P_R}{P_R [(M-1)/2 + 2(M/2) + 3(M/2) \cdot (2)^{-4} + 6(M/2)(2.633^{-4})]} \\ = \frac{1}{1.656M} \quad 15-7-9$$

يمكن إيجاد قيم M و m من المعادلة 15-7-9 بتطبيق خطة ضبط القدرة :

$$C/I = 0.032 \text{ (-15 dB)} \quad \text{من أجل } m = 14.19 \text{ و } M = 18.87 \quad 16-7-9$$

$$C/I = 0.01792 \text{ (-17 dB)} \quad \text{من أجل } m = 28.33 \text{ و } M = 23.7$$

يجب فحص قيمة $(C/I)_s$ المستقبلية بالوحدة المتنقلة على مسافة r_0 والمحسوبة

بالمعادلة 14-7-9 وفقا للمعادلة 15-7-9 للتأكد فيما اذا كانت صحيحة :

$$\left(\frac{C}{I}\right)_s = \frac{(r_0/R)^2}{M/2} = \frac{3.3(r_0/R)^2}{3.3(M/2)} \geq \frac{1}{1.656M} \quad 17-7-9$$

لا يمكن أن تكون نسبة تخفيض القدرة $(r_0/R)^2$ في المعادلة 17-7-9 أقل من

0.302 للوحدات المتنقلة المتوسطة على مسافات أقل من $r_0 = 0.55R$. اذا وضعنا

الحد الأدنى للقدرة مساوياً $0.302P_R$ فإن القدرة الكلية يجب أن تغير الى :

$$\begin{aligned} P_t &= P_R k \left[\frac{r_0^3}{R^3} r_1 + \frac{r_0^3}{R^3} + \frac{r_0^3}{R^3} + \dots \right] \quad 18-7-9 \\ &= P_R k \left[\left(\frac{r_0}{R} \right)^2 \int_0^m r \, dr + \int_0^R \frac{r^3}{R^2} \, dr \right] \\ &= P_R k \frac{R^2}{4} \left[1 + \left(\frac{r_0}{R} \right)^4 \right] \end{aligned}$$

من أجل $r_0/R = 0.55$ فإن $(r_0/R)^4 = 0.0913$.

يجب ضبط القدرة المرسلة P_t في المعادلة 18-7-9 الى :

$$P_t = P_R k \left(\frac{R^2}{4} \right) \cdot 1.0913 = P_R (M/2) \cdot 1.0913 \quad 19-7-9$$

تدل المعادلة 19-7-9 الى أنه عند تطبيق أصغر قدرة على قناة الاتصال وهي

$0.302P_R$ في موقع الخلية الذي يخدم وحدات متنقلة ضمن مسافة $r_0 = 0.55R$ فإن

القدرة الكلية عند موقع الخلية تزداد قليلاً الى 1.0913 مرة بالمقارنة مع المعادلة 7-9-10

تحت شروط ضبط القدرة P_t في المعادلة 7-901-7 تقل القيم الحقيقية لـ M و m :

$$M = \frac{18.87}{1.0913} = 17.3 \quad m = 13 \quad \text{for } (C/I)_s = 0.032$$

$$M = \frac{33.7}{1.0913} = 30.0 \quad m = 25.96 \quad \text{for } (C/I)_s = 0.1792 \quad (9.7.20) \quad 20 \quad 7-9$$

بمقارنة المعادلة 20-7-9 مع المعادلة 16-7-9 لا نجد تغيراً مميّزاً في قيم M و m

عند تطبيق قدرة ارسال مضبوطة .

4-7-9 مقارنة بين الحالات المختلفة لتعدد المنافذ بالتقسيم الرمزي (الشفوي) :

يُبين الجدول 1-9 أداء الحالات الخمس المختلفة .

الحالة 1 : حالة عدم وجود تداخل خلوية مجاورة (هذه ليست حالة حقيقية)

الحالة 2 : حالة عدم وجود ضبط قدرة مع وجود تداخل خلوية مجاورة .

الحالة 3 : حالة وجود ضبط قدرة $n = 1$ مع وجود تداخل خلوية مجاورة .

الحالة 4 : حالة وجود ضبط قدرة $n = 2$ مع وجود تداخل خلوية مجاورة .

الحالة 5 : حالة وجود ضبط قدرة $n = 3$ مع وجود تداخل خلوية مجاورة .

الحالة 1 في الجدول ليست حالة حقيقية. في الحالة الثانية بدون ضبط قدرة يكون الأداء ضعيفا. استخدمت خطط القدرة في الحالات 3 الى 5 . في هذه الحالات ولكي تؤمن القدرة المرسله الصغرى في موقع الخلية من أجل خدمة الوحدات المتنقلة ضمن مسافة حتى $\frac{\pi}{2}$ فإن القدرة المرسله الكلية تزداد (كما يدل العنوان "بعد ضبط القدرة المرسله").

عند مقارنة عدد الأقنية بالخلية m بين الحالات 3 الى 5 نجد أن عددها في الحالة 4 يزيد بمقدار قناتين على ما في الحالة 3 ويقل مقدار قناة واحدة عما في الحالة 5 . ومع هذا فتطبيق الحالة 5 أصعب من الحالة 4 . يمكن التفاوض عن ربح قناة واحدة في الحالة 5 عن الحالة 4 في الظروف العملية. عندما تستخدم خطط ضبط قدرة $n > 3$ نجد تحسنا اضافيا في السعة الراديوية. يمكننا الاستنتاج أن $n = 2$ في الحالة 4 هي الانتقاء الأفضل .

٧٧٨

8-9 تخفيض نسبة التداخل القريب الى البعيد في نظام تعدد المنافذ بالتقسيم الرمزي (الشفوي) :

تشترك في نظام تعدد المنافذ بالتقسيم الرمزي جميع أقنية الاتصال بقناة راديوية واحدة. لذلك تحجب الإشارة القوية المستقبلية من وحدة متنقلة قريبة الإشارة الضعيفة الآتية من وحدة متنقلة بعيدة عند موقع الخلية. اذا طبقت خطة ضبط قدرة على الوصلة العكسية فإنها ستقلل تداخل الطرف القريب الى الطرف البعيد. وعندها تبقى الاشارات المستقبلية في موقع الخلية من الوحدات المتنقلة ضمن الخلية بالسوية نفسها.

توصف الخطة كما يلي : يجب ضبط القدرة المرسلة من كل وحدة متنقلة على أساس بعدها عن موقع الخلية بالشكل :

$$P_j = P_R \left(\frac{r_j}{R} \right)^4 \quad 1-8-9$$

حيث P_R و r و R أعطيت سابقا وقد طبقت قاعدة الأس الرابع في المعادلة 1-8-9 .
 باهمال اشارات التداخل من الخلية المجاورة يمكن الحصول على النسبة C/I المستقبلية من وحدة متنقلة J عند موقع الخلية على الشكل :

$$\frac{C}{I} = \frac{P_R (r_j/R)^4 (r_j)^{-4}}{\sum_{j=1}^{M-1} P_R (r_j/R)^4 (r_j)^{-4}} = \frac{1}{M-1} \quad 2-8-9$$

يجب أن تكون النسبة C/I المستنتجة من المعادلة 2-8-9 أكبر أو مساوية إلى C/I

$$\frac{C}{I} \geq \left(\frac{C}{I} \right)_s \quad 3-8-9$$

بتطبيق $(C/I)_s$ في المعادلة 2-8-9 نحصل على :

$$(C/I)_s = 0.032 \text{ (-15 dB)} \quad \text{من أجل } m = 22.74 \text{ و } M = 30.25$$

$$(C/I)_s = 0.01792 \text{ (-17 dB)} \quad \text{من أجل } m = 4.2 \text{ و } M = 54.5$$

عدد الأقنية M الذي تم الحصول عليه من الوصلة العكسية أكبر بكثير من عددها في الأقنية الأمامية والمبين في الجدول 1-9 . وهذا يدل على انه لزيادة السعة الراديوية يجب زيادة عدد الأقنية على الوصلة الأمامية، ولكن سعة نظام تعدد المنافذ بالتقسيم الرمز تحدد من الوصلة الأمامية وليس من الوصلة العكسية .

TABLE 8.1 Performance of Different Power Control Schemes

جدول 9-1 أداء الخطة للخلط لضبط القدرة

الأداء في الحالات الخلطية Performance in Different Cases	مخطط ضبط القدرة Power Control Schemes					لا يوجد خلط على جارئة خلط الخلط المشتركة المخلط
	No Power Control Case 2 الخلط $N = 0$	Case 3 الخلط $N = 1$	Case 4 الخلط $N = 2$	Case 5 الخلط $N = 3$	Case 1 الخلط	
موازية القدرة موازية الجهد موازية المسافة من موقع الخلية الخلطية	Power control due to the distance from the cell site	P_n	P_n/R	P_n/R^2	P_n/R^3	P_n
R_0	N/A	0.308R	0.55R	0.7R	N/A	
قبل معايرة تدريج الإرسال الكلية في موقع الخلية الخلطية المستقلة عند R_0 At R (cell boundary)	Before adjusting the Tx power Total transmitted power at the cell site The (C/I) _n $M P_n$ $\frac{1}{M-1}$ $\frac{1}{3.3123M-1}$	$P_n/2$ (M/3) $\frac{1}{2.2M}$	$P_n/4$ (M/2) $\frac{1}{1.656M}$	$P_n/8$ (M/5) $\frac{1}{1.32M}$	$M P_n$ $\frac{1}{M-1}$ $\frac{1}{M-1}$	

بد تعديل قدرة الإرسال		القدرة لكل قناة		في موقع الخط		القناة المتبقية	
After adjusting the Tx power							
Total transmitted power at the cell site							
M at $(C/N)_t = 0.032$	9.735	14.2	19.97	23.67	30.25		
M at $(C/N)_t = 0.0179$	17.15	25.36	33.7	42.27	54.8		
M at $(C/N)_t = 0.032$	7.32	10.67	14.19	17.8	22.74		
$\Sigma = 0.0179$	12.9	19	26.33	31.78	41.2		
Total transmitted power at the cell site							
M at $(C/N)_t = 0.032$	9.735	14.2	19.97	23.67	30.25		
M at $(C/N)_t = 0.0179$	17.15	25.36	33.7	42.27	54.8		
M at $(C/N)_t = 0.032$	7.32	10.67	14.19	17.8	22.74		
$\Sigma = 0.0179$	12.9	19	26.33	31.78	41.2		

9.9 الميزات الطبيعية لنظام تعدد المنافذ بالتقسيم المرمز (الشفوي) :

توجد حسنات كثيرة لاستخدام نظام تعدد المنافذ بالتقسيم المرمز في الأنظمة الخلوية.

1 - دورات نشاط الصوت : يمكن لنظام تعدد المنافذ بالتقسيم المرمز أن يأخذ الشكل الطبيعي لمحادثة الانسان. دورة نشاط صوت الانسان 35٪ وباقي الوقت اما أصغاء أو توقف. في نظام تعدد المنافذ بالتقسيم الترددي يشترك جميع المشتركين بقناة راديوية واحدة. عندما لا يتحدث مشتركون مخصصون في قناة يستفيد الآخرون بقلة التداخل في تلك القناة الراديوية. وبهذا تقلل دورة نشاط الصوت التداخل المتبادل بنسبة 65٪ مضاعفة سعة القناة الحقيقية الى ثلاثة أضعاف. إن نظام تعدد المنافذ بالتقسيم المرمز هو التقنية الوحيدة التي تستفيد من هذه الظاهرة. لهذا ونتيجة لدورة نشاط الصوت فإن السعة الراديوية المبنية في المعادلة 9-7-2 يمكن أن تكون أعلى بثلاث مرات ، وهذا يعني أن السعة الراديوية حوالي 40، قناة بالخلية من أجل $C/I = -15 \text{ dB}$ أو $E_b/I_0 = 7 \text{ dB}$.

2 - لا حاجة لمسح : عندما يكون معدل الارسال أعلى بكثير من 10 ك بت/ثا فإن نظامي تعدد المنافذ بالتقسيم الترددي والزمني يحتاجان الى مسح تخفيض التداخل بين الرموز الذي يسببه امتداد وقت الانتشار ، بينما يحتاج نظام تعدد المنافذ بالتقسيم المرمز الى رابط فقط عند الاستقبال لاستعادة الإشارة المرغوبة من فك نشر إشارة الطيف المنشور. الرابط أبسط تركيباً من المسوي .

3 - جهاز راديو واحد بالموقع : تكون الحاجة الى جهاز راديو واحد في كل موقع أو قطاع فهو يوفر مكاناً وأسهل في التركيب.

4 - لا صعوبة في تبديل القناة : بما أن كل مشترك يستخدم القناة الراديوية نفسها فالاختلاف فقط في تتابع الشيفرة . لا يوجد تبديل قناة من تردد لآخر عندما يتنقل المشترك من خلية لآخرى ، وما يتغير هو تتابع الشيفرة من خلية لآخرى، وهذا يدعى تبديل القناة اللين.

5 - لا زمن حماية في نظام تعدد المنافذ بالتقسيم المرمز : يتطلب نظام تعدد المنافذ بالتقسيم الزمني الى زمن حماية بين الشقوق الزمنية. يشغل زمن الحماية فترات زمنية لعدة بتات معينة. كان من الممكن استخدام البتات المهدورة هذه في تحسين نوعية الأداء في نظام التقسيم الزمني . في نظام التقسيم المرمز زمن الحماية هذا غير موجود.

6 - قطاعات السعة: في نظامى تعدد المنافذ بالتقسيم الترددي والزمني تقسم كل خلية الى قطاعات كى تقلل التداخل ونتيجة لذلك يقل مردود التوصيل للأقنية المقسمة في كل قطاع. في نظام تعدد المنافذ بالتقسيم المرز يستخدم تقطيع القطاعات لزيادة السعة وذلك بادخال ثلاثة أجهزة راديو في ثلاثة قطاعات وبهذا يمكن الحصول على ثلاثة أضعاف السعة بالمقارنة مع السعة النظرية لجهاز راديو واحد في الخلية.

7 - خفوت أقل: يلاحظ خفوت أقل في اشارة النطاق العريض عندما تنتشر في بيئة راديو متنقل. من المفيد أكثر استخدام إشارة نطاق عريض في مناطق المدن عنه في مناطق الضواحي للأسباب المذكورة في الفقرة 2-3-9.

8 - سهولة الانتقال: في الحالة التى يجب أن يشترك فيها نظامان- تماثلى وتقسيم مرز- بالطيف المخصص نفسه فإن 10٪ من عرض النطاق (1.25 م هـ) سوف يزيد السعة حتى ضعف ($0.1 \times 20 =$) كامل عرض نطاق السعة الراديوية بالتعديل الترددي (سنناقش ذلك فيما بعد). بما أن 5٪ فقط من المستثمرين هم مستثمرون بانشغالية عالية فإنهم يشغلون أكثر من 30٪ من كامل الاتصالات وبامكان عمولي النظام تغيير وحداتهم التماثلية الى وحدات ذات نمط مزدوج (تماثلى/تقسيم مرز) وتحويل 30٪ من السعة الى نظام التقسيم المرز في اليوم الأول لعمل النظام.

9 - الفائدة السعوية: يعطى 10٪ من الطيف 12.5 م هـ أي 1.25 م هـ لمقارنة ساعات خطط تعدد المنافذ الثلاث بالتقسيم الترددي والزمني والمرز.

$$B_1 = 1.25 \text{ م هـ عرض النطاق الكلي}$$

$$B_{11} = 1.25 \text{ م هـ عرض نطاق القناة الراديوية في نظام التقسيم المرز (الشفيري)}$$

$$B_2 = 30 \text{ ك هـ للتعديل الترددي (أي نظام التقسيم الترددي)}$$

$$B_3 = 30 \text{ ك هـ وثلاثة شقوق زمنية لنظام التقسيم الزمني}$$

سعة التعديل الترددي هي :

$$\text{عدد الأقنية الكلي} = \frac{10^6 \times 1.25}{10^3 \times 30} = 41.67$$

غرض إعادة استخدام الخلية $K = 7$

$$\text{السعة الراديوية} = m = \frac{41.67}{7} = 6 \text{ أقنية بالخلية}$$

سعة تعدد المنافذ بالتقسيم الزمني هي :

$$\text{عدد الأتنية الكلي} = \frac{10^3 \times 1.25}{10^3 \times 10} = 125$$

نموذج اعادة استخدام الخلية $K = 4$ (مفترضة) :

$$\text{السعة الراديوية} = m_{\text{TDMA}} = \frac{125}{4} = 31.25 \text{ قناة بالخلية}$$

بينما سعة تعدد المنافذ بالتقسيم المرمز هي :

$$\text{عدداًأتنية الكلية في الخلية} = m = 13$$

نموذج اعادة استخدام الخلية $K = 1.33$

$$\text{السعة الراديوية من المعادلة 9-20 من أجل } E_b/I = 7 \text{ dB}$$

مع دورة نشاط الصوت وتقطيع القطاعات

$$m_{\text{CDMA}} = 3 \times 3 \times 13 = 120 \text{ قناة بالخلية}$$

لذلك :

$$m_{\text{CDMA}} = 20 \times m_{\text{FM}}$$

$$= 4 \times m_{\text{TDMA}}$$

10 - لاضرورة لترتيب أو تخصيص التردد : في نظامى التقسيم الترددي والزمني يعد أمر ترتيب الترددات مهمة دقيقة دائماً. وبما أنه توجد قناة راديوية واحدة عامة فقط في نظام التقسيم المرمز فلا حاجة لترتيب الترددات . وكذلك لتقليل التداخل في الوقت الحقيقى يجب تطبيق التخصيص الترددي المرن (الديناميكى) في نظامى التقسيم الترددي والزمني. وهذا يتطلب مضخم قدره خطياً عريض النطاق من الصعب تحقيقه. لايحتاج نظام التقسيم المرمز الى تخصيص ترددي مرن.

11 - السعة اللينة : في نظام تعدد المنافذ بالتقسيم المرمز تشترك جميع أفتية الاتصال بقناة راديوية واحدة. يمكن اضافة مشترك آخر بحيث تزدى نوعية الصوت بشكل طفيف للغاية بالمقارنة مع خلية الـ 40 قناة الطبيعية. ويكون الفرق بالديسيبل هو فقط 10 لغ (41/40) = 0.24 ديسيبل انخفاض في النسبة C/I .

12 - التواجد المشترك : يمكن أن يعمل كلا النظامين التماثل والتقسيم المرمز في طيفين مختلفين. يحتاج التقسيم المرمز الى 10% فقط من عرض النطاق ليوصل سعة 200% . وبذلك لا يوجد تداخل بين النظامين .

13 - من أجل الخلايا الصغيرة والأنظمة داخل الأبنية . نظام تعدد المنافذ بالتقسيم
الرمز هو شكل موجة طبيعي ملائم للخلايا الصغيرة ولداخل الأبنية لأنه حساس
للضجيج والتداخل .
هذا ملخص لنظام تعدد المنافذ بالتقسيم الرمز يضىء الجهود لزيادة السعة في الاتصالات
الخلوية المستقبلية. المنشورتان (11-12) حللتا نظام تعدد المنافذ بالتقسيم الرمز بعمق ،
أما المراجع الأخرى المهمة حوله فيمكن إيجادها في المراجع 13-21 .
أعدت مادة هذا الفصل بشكل رئيس من المرجعين 20-21 .

المراجع

REFERENCES

1. Lee, W. C. Y., *Mobile Cellular Telecommunications Systems* (McGraw-Hill, 1989): ch. 4.
2. Lee, W. C. Y., *Mobile Communications Engineering* (McGraw-Hill, 1982): 340-399.
3. Proakis, John G., "Adaptive Equalization for a TDMA Digital Mobile Radio," *IEEE Trans. Veh. Tech.*: 333-341.
4. Crozier, S. N., D. D. Falconer, and S. Mahmoud, "Short-Block Equalization Techniques Employing Channel Estimation for Fading Time-Dispersive Channels," *Proc. IEEE Vehicular Technology Conference* (San Francisco, CA, 1989): 142-146.
5. Monsen, P., "Theoretical and Measured Performance of a DEF Modem on a Fading Multipath Channel," *IEEE Trans. Commun. COM-25*, (Oct. 1977): 1144-1153.
6. Lee, W. C. Y., *Mobile Communications Engineering* (McGraw-Hill, 1982): 163.
7. Schwartz, M., W. R. Bennett, and S. Stein, *Communications Systems and Techniques* (McGraw-Hill, 1966): 561.
8. Sklar, B., *Digital Communications, Fundamentals and Applications* (Prentice Hall, 1988): 546.
9. Lee, W. C. Y., "Spectrum Efficiency in Cellular," *IEEE Trans. on Veh. Tech.* 38 (May 1989): 69-75.
10. PacTel Cellular & Qualcomm, *CDMA Cellular—The Next Generation* (Pamphlet distributed at CDMA demonstration, Qualcomm, San Diego, CA, Oct. 20-Nov. 7, 1989).
11. Gilhousen, K. S., I. M. Jacobs, R. Padovani, A. J. Viterbi, L. A. Weaver, and C. E. Wheatley, "On the Capacity of a Cellular CDMA System," *IEEE Trans. Veh. Tech.*: Vol. 40 May, 1991: 303-312.
12. Pickholtz, R. L., L. B. Milstein, and D. L. Schilling, "Spread Spectrum for Mobile Communications," *IEEE Trans. Veh. Tech.* Vol. 40, May 1991: 313-322.

13. Viterbi, A. J., "When Not to Spread Spectrum—A Sequel," *IEEE Commun.* 23 (Apr. 1985): 12–17.
14. Milstein, L. B., R. L. Pickholtz, and D. L. Schilling, "Optimization of the Processing Gain of an FSK-FH System," *IEEE Trans. Commun.* COM-28 (July 1980): 1062–1079.
15. Huth, G. K., "Optimization of Coded Spread Spectrum System Performance," *IEEE Trans. Commun.* COM-25 (Aug. 1977): 763–770.
16. Simon, M. K., J. K. Omira, R. A. Scholtz, and B. K. Levin, *Spread Spectrum Communications*, vol. 2 (Rockville, MD: Computer Science Press, 1985).
17. Pickholtz, R. L., D. L. Schilling, and L. B. Milstein, "Theory of Spread-Spectrum Communications—A Tutorial," *IEEE Trans. Commun.* COM-30 (May 1982): 855–884.
18. Scholtz, R. A., "The origins of Spread Spectrum Communications," *IEEE Trans. Commun.* COM-30 (May 1982): 882–884.
19. Viterbi, A. J., "Spread Spectrum Communications—Myths and Realities," *IEEE Commun.* (May 1979): 11–18.
20. Lee, W. C. Y., "Radio Access Technology—CDMA/Spread Spectrum," seminar notes used for the one-day seminar of IEEE San Francisco Section/Pacific Bell at San Ramon, Ca. on Jan 23, 1990, and the seminar of IEEE New Jersey Section/Rutgers Univ. WINLAB at Piscataway, N.J. on April 25, 1990.
21. Lee, W. C. Y., "Overview of Cellular CDMA" *IEEE Trans. on Vehicular Technology*, Vol. 40, May 1991, pp 291–302.

10 - أنظمة الخلايا الصغيرة

- 1-10 تصميم نظام خلوي تقليدي
- 2-10 وصف لتصميم نظام خلوي صغري جديد
- 3-10 تحليل السعة ونوعية الصوت
- 4-10 خفض عدد التبديلات
- 5-10 سعة النظام
- 6-10 مزايا الخلايا الصغيرة

10-1 تصميم نظام خلوي تقليدي :

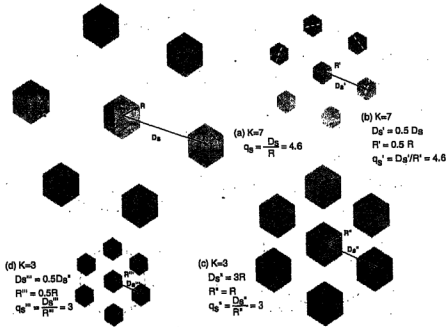
إن النظام الخلوي ذا الخدمة المتطورة للهاتف المتنقل (AMPS) والذي يعمل على 850 م هـ. كما هو مستخدم في أمريكا الشمالية هو نظام ذو سعة عالية . وقد بُنى استخدامه للظيف على مفهوم إعادة استخدام التردد حيث يمكن إعادة استخدام التردد تكراراً في أماكن جغرافية مختلفة . تدعى الأماكن المختلفة التي تستخدم الترددات نفسها بالخلايا ذات القناة الواحدة وقد سبق وصفها في الفصل 5-5 . يبنى الفاصل الأصغري (D_g) المطلوب بين أقرب خليتين ذات قناة واحدة على توصيف تداخل القناة الواحدة المسموح به الذي يقاس بنسبة الحامل الى التداخل $(C/I)_g$ المطلوبة . ونسبة الحامل الى التداخل هي أيضاً تابعة لنوعية الصوت الدنيا المقبولة في النظام.

إن نسبة الحامل الى التداخل $(C/I)_g$ في نظام الخدمة المتطورة للهاتف المتنقل (AMPS) تساوي نحو 18 ديسيبل (وهي السوية التي يقوم عندها 75٪ من المستثمرين النظام بتقدير "جيد" أو "ممتاز") ويكون الفاصل الأصغري المطلوب والمعتمد على نسبة $(C/I)_g = 18 \text{ dB}$ حوالي 4.6 R حيث R نصف قطر الخلية . يكون عدد الخلايا K في نموذج إعادة استخدام الخلية في نظام خلوي تابعاً لمسافة القناة الواحدة D_g . من أجل $D_g = 4.6 R$ تكون $K = 7$. وهذا يعني أن منطقة ذات سبع خلايا يمكنها أن تشترك بكامل الطيف المخصص . يوجد في كل من النطاقين المخصصين للنظام الخلوي 395 قناة صوتية ويمكن أن يكون لكل خلية 57 قناة كعندل عام . وصفت التفاصيل في الفصل 6-5 .

بجول عام 1991 بدأت الأنظمة الخلوية التقليدية المستخدمة في الأسواق الكبيرة منذ عام 1984 بالوصول الى سعتها . لزيادة سعة النظام يمكن أخذ الحلول الثلاثة المعتمدة على معامل تخفيض تداخل القناة الواحدة C/I_g المعروف بما يلي :

$$q_g = \frac{D_g}{R} = \sqrt{3}R \quad 10-1-1$$

حيث D_g المسافة الصغرى المطلوبة بين أي خليتين ذات أقبية واحدة في النظام الخلوي (انظر الشكل 10-1 أ) . والموافقة للنسبة المطلوبة الحامل/التداخل C/I المستقبلية عند كل من موقع الخلية والوحدة المتنقلة فيها ، R نصف قطر الخلية ، K عدد الخلايا في نموذج إعادة استخدام الخلية . وتدعى K أيضاً بمعامل إعادة استخدام الخلية . يعد الحلان الأولان لزيادة السعة حلين تقليديين أما الحل الثالث فهو حل جديد . اشتقت المعادلة 10-1 من توضع خلية سداسية مثالية وهو ما يستخدم عادة . يمكن عرض الحلول الثلاثة لزيادة السعة على الشكل التالي :



الشكل 1-10 أربعة أشكال من معامل تخفيض تداخل القناة الواحدة

1- شطر الخلايا : يمكن زيادة السعة بتقليل R وحفظ قيمة q_g بدون تغيير كما في المعادلة 1-10 (انظر الشكل 1-10 ب) أي إعادة تدرج (مقياس) النظام. عندما تكون R أقل من واحد ميل أو واحد كيلومتر تدعى الخلية عادة الخلية الصغيرة. في عملية التقريب من الدرجة الأولى كل مرة تخفض فيها R الى النصف تزداد السعة أربع مرات. إن قياس السعة في هذا الحل هو عدد الأتية بالكيلومتر المربع الواحد. يؤدي حل شطر الخلية الى زيادة السعة الراديوية. إن شطر الخلايا مستقل عن تدرج (قياس) النظام أي أن قيمة q_g تبقى دون تغيير. يمكن استخدام هذا الحل في أي نظام تماثلي أو رقمي. تعتمد الخلية الصغيرة التقليدية هذا الحل .

2- تقليل عامل إعادة استخدام الخلية (يدعى أيضاً تخفيض النسبة D/R المطلوبة) : يمكن زيادة السعة بطرائق يمكن بواسطتها تخفيض قيمة D أي صياغة تشكيل جديد مع بقاء R دون تغيير في المعادلة 1-10 (انظر الشكل 1-10 جـ). نتيجة لذلك تقل قيمة q_g وكذلك عامل إعادة استخدام الخلية K كما هو واضح من المعادلة 1-10 غير أن قيمة D_g هي تابع للنسبة $(C/I)_g$ المطلوبة. مثال ذلك إذا استطاع نظام خلوي جديد بلوغ عامل إعادة استخدام تردد $K=3$ فإن سعة النظام الجديد يمكن الحصول عليها بالمقارنة مع سعة نظام AMPS فيه $K=7$. بما أن قيمة K قد أنقصت من

سبعة الى ثلاثة فإن السعة تزداد بمقدار $7/3 = 2.33$ مرة. إن قياس السعة الراديوية في هذا الحل هو عدد الأتنية بالخلية :

$$m = \frac{\text{بمجموع القنوات الصوتية}}{K} \quad 2-1-10$$

إن حل تقليل اعادة استخدام الخلية سيزيد السعة الراديوية m كما هو واضح من المعادلة 2-1-10 .

استخدمت في الماضي عملية التجزيء لتخفيض قيمة K في النظام التماثلي عندما يزداد تداخل القناة الواحدة في خلية فيجب استخدام تشكيل الخلية إما من ثلاثة قطاعات أو من ستة قطاعات كي لا يتوسع فاصل خلية القناة الواحدة المطلوب q_2 . بكلمات أخرى ، يظهر أن التجزيء عند تداخل معين يمكن أن يخفض القيمة D_0 . مع هذا إذا تفحصنا عملية التجزيء نجد أن طريقة تخصيص مجموعة من الأتنية الوردية لكل قطاع هي طريقة التخصيص نفسها للخلية. تحدث تبديلات الأتنية عند مرور العربة بين القطاعات بالطريقة نفسها عند مرورها بين الخلايا. لهذا إذا كانت $K=7$ في نظام بثلاثة قطاعات فإن عدد الأتنية بالقطاع (بافتراض أن عدد الأتنية الكلي 395 قناة) هو :

$$19 = 395 / 3 \times 7 \quad \text{قناة بالقطاع}$$

وإذا كانت $K=4$ في خلية بستة قطاعات فإن عدد الأتنية بالقطاع هو :

$$16 = 395 / 6 \times 4 \quad \text{قناة بالقطاع}$$

نرى من هاتين القيمتين أنه لا يوجد فارق كبير بالسعة الراديوية بين التشكيلين الخليئين. يمكن الحصول على سعة اضافية باستخدام حل شطر الخلية بحيث يقل حجم كل قطاع. إن مشكلة التجزيء هي انخفاض كفاءة الاتصال للأتنية المستخدمة. إن استخدام الخلية بنفس عدد الأتنية في خلية موحدة أعلى بكثير منه في خلية مجزأة. لهذا لا يعد التجزيء طريقة فعالة لتخفيض q_2 .

3 - حل تخفيض النسبة D/R المطلوبة بخلية صغيرة جديدة : يُرى الشكل 1-10 د- مخطط نظام خلية صغيرة جديدة. في هذه الحالة لا يقل نصف قطر الخلية فقط بل يقل أيضا معامل تخفيض تداخل القناة الواحدة. اضافة لذلك لا يوجد تخفيض في كفاءة الاتصال فهو نظام $K=3$ حقيقي. تشمل ميزات هذا النظام كلا من تخفيض تداخل القناة الواحدة وقصر تداخل القناة الواحدة بالنسبة للإشارة على مسافة صغيرة، سناقش ذلك بالتفصيل في الفصل القادم.

10-2 وصف لتصميم نظام خلوي صغير جديد :

تتألف الخلية الصغيرة الجديدة عادة من ثلاث مناطق كما هو مبين في الشكلين 10-2 و 10-3 (يمكن انشاء أكثر من ثلاث مناطق عند الحاجة). لكل منطقة موقع منطقة وأحد المواقع الثلاثة ينطبق عادة على موقع القاعدة. تركيب جميع أجهزة الارسال والاستقبال الراديوية التي تستخدم الخلية الصغيرة في موقع القاعدة. عملياً يشارك موقع المنطقة بالتجهيزات الراديوية نفسها المركبة في موقع القاعدة. لخدمة عربية من موقع منطقة يمكن أن تبدل الإشارة الخلوية من 800 م هـ الى إشارة ميكروية أو ضوئية في محطة القاعدة ثم تبدل ثانية الى إشارة 800 م هـ في موقع المنطقة لتخدم العربية فيها وكان العربية قد توضع في القاعدة . وبالعكس بعد التضخيم بمضخم منخفض الضجيج في موقع المنطقة تبدل الإشارة الخلوية المستقبلية الى إشارة ميكروية أو ضوئية ثم تبدل الى 800 م هـ عند القاعدة. في هذه الحالة يتطلب موقع المنطقة فقط مبدل تردد الى الأعلى والأسفل ومضخم قدرة و مضخماً أولياً منخفض الضجيج عريض النطاق و هي سهلة التركيب بسبب صغر حجم وقلة وزن أجهزة موقع المنطقة.

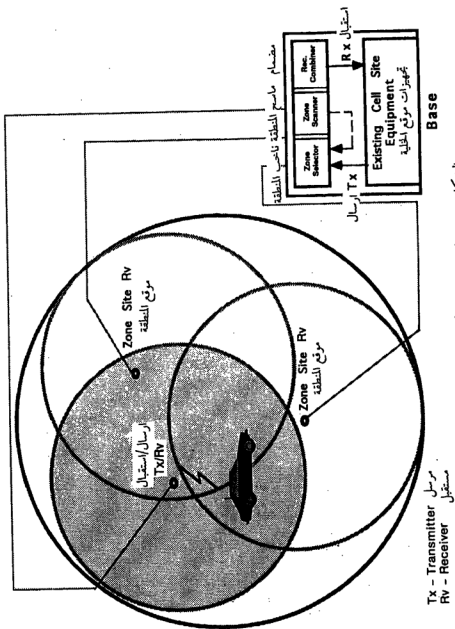
10-1-2 الإشارة الآتية من الوحدة المتحركة :

ترسل الوحدة المتحركة المتحركة في الخلية الصغيرة إشارة ، يستقبل موقع المنطقة هذه الإشارة ويمررها خلال مبدل تردد علوي/سفلي ، تبدل الإشارة الى الأعلى وترسل خلال وسط ميكروي أو ضوئي ثم تبدل الى الأسفل في موقع القاعدة. وبهذا تستقبل اشارات الوحدات المتحركة من جميع المناطق وترسل ثانية الى موقع القاعدة. يستخدم ناخب المنطقة الموجود في موقع القاعدة لانتقاء المنطقة الملائمة لخدمة الوحدة المتحركة وذلك بانتقاء المنطقة ذات شدة الإشارة الأقوى. ثم يسلم موقع القاعدة الإشارة الخلوية الى موقع المنطقة خلال عملية التبديل العلوية.

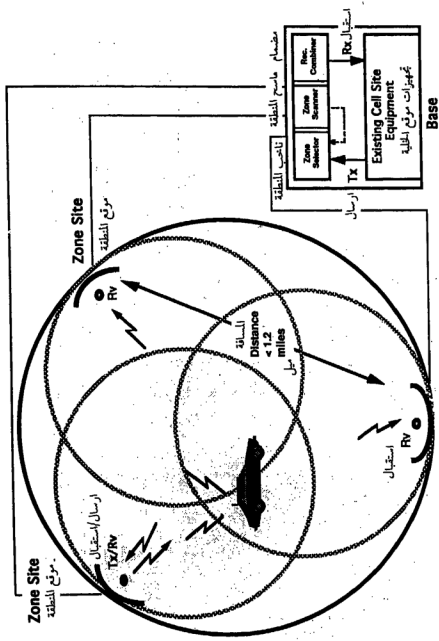
٢٩٤

10-2-2 الإشارة الآتية من موقع القاعدة :

يستقبل موقع المنطقة الملام الإشارة الخلوية من موقع القاعدة خلال عملية تبديل سفلية ويرسلها الى الوحدة المتحركة بعد التضخيم. لهذا وبالرغم من أن مستقبلات المناطق الثلاثة كلها عاملة إلا أن مرسل منطقة واحدة فقط يعمل على ذلك التردد الخاص لخدمة تلك الوحدة المتحركة الخاصة. عند تحرك الوحدة المتحركة من منطقة الى أخرى يبقى تردد القناة المخصصة بدون تغيير. يقوم ناخب المنطقة في موقع القاعدة بتحويل الإشارة المرسل (من القاعدة الى الوحدة المتحركة) من منطقة الى أخرى طبقاً لتوضع الوحدة المتحركة. تستخدم منطقة ارسال قاعدة عاملة واحدة فقط في وقت

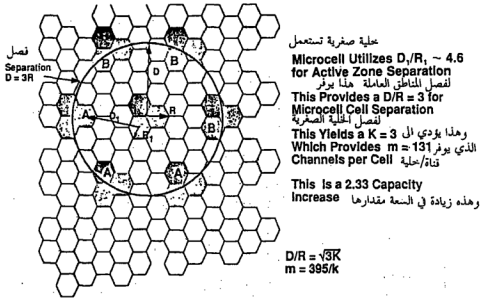


الشكل 2-10 خلية صغرى بتشكيل مناطق متساوية الاتجاهات



الشكل 3-10- خلية صغيرة بتشكيل مناطق معرضة من الطرف

واحد(تردد مخصص) لخدمة عربية في خلية. نتيجة لهذا ليست هناك حاجة لتبديل الأقفيس عند دخول الوحدة المتنقلة الى منطقة عاملة جديدة. يمكن للخلية الصغيرة أن تتحمل 60 ترددا مخصصا لـ 60 عربية. في المتوسط تعطى كل منطقة 20 مكالمات متنقلة متزامنة مع 20 ترددا في الوقت نفسه.

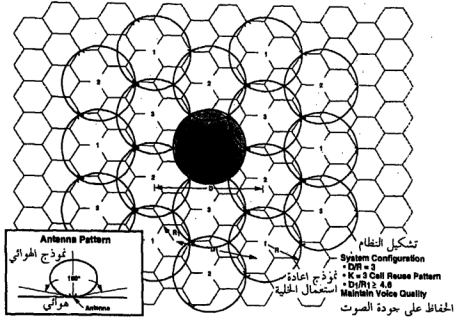


الشكل 4-10 تطبيق نظام الخلية الصغيرة

3-10 تحليل السعة ونوعية الصوت :

يمكن تنفيذ نظام الخلية الصغيرة الجديد بثلاث طرائق: نأخب منطقة متساوية الاتجاهات ، نأخب منطقة محروضة من الطرف ، منطقة محروضة من الطرف بدون انتقاء.
1-3-10 حل نأخب المنطقة متساوية الاتجاهات :
يمكن توضع موقع المنطقة عند مركز كل منطقة كما هو مبيّن في الشكل 2-10 .
تعرض القدرة المرسلة من كل موقع مركزيا. يمكن حساب النسبة C/I من النظام الجديد المبين في الشكل 4-10 .

لبرهنة أن السعة قد ازدادت ونوعية الصوت قد تحسنت في نظام الخلية الصغيرة الجديد المبين في الشكل 10-1-د نحسب معامل تخفيض تداخل القناة الواحدة q_{s1} الذي يعد العنصر الرئيس في تصميم النظام الخلوي. تستخدم q_s في أنظمة الخلية الصغيرة التقليدية لقياس كل من نوعية الصوت والسعة لتعلق الواحدة بالأخرى. في نظام الخلية الصغيرة هذا يجب الأخذ بالحسبان معاملين لتخفيض تداخل القناة الواحدة لأن كل من نوعية الصوت والسعة يقاس بشكل مختلف. يُستخدم معامل تخفيض تداخل القناة الواحدة الأول q_{s1} لقياس نوعية الصوت ويُستخدم الآخر q_{s2} لقياس السعة الراديوية. يبين الشكل 10-5 نظام الخلية الصغيرة.



الشكل 10-5 نظام خلية صغيرة ذات $K=3$

معامل تخفيض تداخل القناة الواحدة بين منطقتي ارسال قاعدة عاملتين على قناة واحدة CIRF :

لمعامل تخفيض تداخل القناة هذا قيمة جديدة q_{s1} تُعرف بأنها $q_{s1} = D_1/R_1$ حيث D_1 المسافة بين إحدى المناطق الحية في الخلية الصغيرة والمنطقة الحية المقابلة لها في الخلية الصغيرة الأخرى كما هو مبين في الشكل 10-4 ، R_1 نصف قطر كل منطقة. تستخدم التغطية الحقيقية لكل منطقة لتقدير التداخل ، ولهذا يستخدم نصف قطر مساحة التغطية الحقيقية R_1 ليلائم مساحة المنطقة.

توجد قيم كثيرة لـ q_{11} حسب منطقتي القناة الواحدة العاملين المأخوذتين بالحسبان، من بينها حالة المنطقتين الأقرب من بعضهما وهي الأسوأ لقياس q_{11} . نعلم أنه في نظام AMPS تكون النسبة CII 18 ديسبل وهذا يؤدي إلى أن q_r يجب أن تكون 4.6 لكي تبقى نوعية الصوت مقبولة عند استخدام أجهزة راديو تماثلية بتعديل ترددي 30 ك هـ. دلت المحاولات الأولية في نظام AMPS أن $q_{11} = 4.6$ كافية للخلايا ذات الاتجاهات المتساوية.

عندما يكون ارتفاع هوائي موقع الخلية محدود 100-150 قدم و الأرض غير مسطحة فإن تداخل القناة الواحدة المستقبل على الوصلة العكسية (وحدة منتقلة إلى القاعدة) أكبر مما هو متوقع، ولهذا أدخلت هيكلية التجزئة للخلايا الرئيسية. في نظام الخلية الصغيرة يكون ارتفاع الهوائي دائماً أقل من 100 قدم وعادة من 40-50 قدم وتكون الأرض عادة حول الهوائي مسطحة في مساحة صغيرة. بمثل هذه الظروف يقل تداخل القناة الواحدة على الوصلة العكسية ويصبح ترتيب التجزئة غير ضروري في تشكيلات الأنظمة $K=7$ وقد أيدت المعطيات المقيسة ذلك. بما أن أجهزة الراديو المستخدمة في نظام الخلية الصغيرة هي نفسها فإن q_{11} يجب أن تكون نفسها على الأقل وتساوي 4.6 كي تعيد التشكيل $K=7$.

يرى من التركيب أن q_{11} لأقرب منطقتين عاملتين بقناة واحدة في خليتيهما الموافقتين هي 4.6 كما هو مبين في الشكل 4-10. في نظام الخلية الصغيرة هذا تكون q_{11} عادة بين أي منطقتين عاملتين في خليتيهما الصغيرتين الموافقتين ذات القناة الواحدة دائماً تساوي أو أكبر من 4.6. كما هو مبين في الشكل 4-10. لقد برهن على أن نوعية الصوت في نظام الخلية الصغيرة المبني على أساس 4.6 هي مساوية أو أفضل من نوعية الصوت في نظام AMPS. تستخدم q_{11} لقياس نوعية الصوت في نظام الخلية الصغيرة الجديد فقط.

معامل تخفيض تداخل القناة الواحدة بين خليتين متجاورتين بقناة واحدة

في نظام الخلية الصغيرة يعرف معامل تخفيض تداخل القناة الواحدة $q_{12} = D/R$ حيث D المسافة بين الخليتين الصغيرتين المتجاورتين بقناة واحدة و R نصف قطر الخلية الصغيرة (أنظر الشكل 4-10). في هذه الحالة $q_{12} = D/R = 3$ مكافئة إلى $K=3$ المبينة في المعادلة 10-10. وضحت المناطق الثلاث بالخلية الصغيرة ونظام $K=3$ في الشكل 5-10 وبهذا تغطي كامل الخلية الصغيرة. بما أن k خفضت من 7 في نظام AMPS إلى 3 فإن سعة نظام الخلية الصغيرة قد ازدادت بمقدار $2.33 = 7/3$ مرة كما هو مبين في المعادلة 10-1-2 ولهذا تستخدم q_{12} لقياس السعة. يوضح الشكل 5-10 تخصيص التردد في نظام فيه $K=3$. يمكن تقسيم كامل الأتنية المخصصة الـ 395 إلى ثلاث مجموعات.

تتألف المجموعة الأولى من الأتية 10,7,4,1 الخ . وتتألف المجموعة الثانية من الأتية 11,8,5,2 الخ والمجموعة الثالثة من الأتية 12,9,6,3 الخ . وكما يبين الشكل تخصص كل مجموعة لخلية وفقاً لرقم الخلية .

تحسين نسبة الحامل إلى التداخل : في نظام AMPS على $q_s = D_1/R = 4.6$ أن تحقق مطلبين: أن تبعد خلايا القناة الواحدة مسافة تساوي $4.6R$ عن خلية الخدمة ، وأن تكون قيمة $q_s = 4.6$ مبنية على أساس $C/I = 18dB$ حيث يستقبل التداخل من ست خلايا ذات قناة واحدة عند الصنف الأول (أنظر الشكل 1-10) . تؤمن النسبة $\frac{C}{I} = 18dB$ عند مرحلة التردد العالي المرسلة على مدى خفوت رايلي إشارة جيدة بل ممتازة للمستمر في نظام مماثل.

في نظام خلية صغيرة يكون الفاصل D_1 بين أقرب منطقتين بقناة واحدة في منطقتين عاملتين في خليتين صغيرتين موافقتين مساوياً R_1 4.6 . كما هو مبين في الشكل 4-10 ، وتقتصر جميع مناطق القناة الواحدة الأخرى في خلاياها الصغيرة بأكثر من $4.6R$. في ظروف الحالة الأسوأ يمكن انتقاء منطقة عاملة في مركز الخلية ومناطق فردية ذات القناة الواحدة في ست خلايا صغيرة موافقة ثم تحسب النسبة C/I المستقبلية عند منطقة مركز الخلية في نظام الخلية الصغيرة على الشكل التالي (انظر الشكل 4-10):

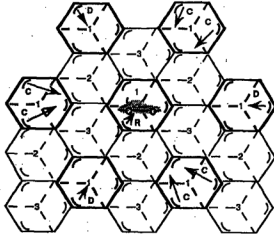
$$\frac{C}{I} = \frac{R_1^{-4}}{\sum_{i=1}^6 D_i^{-4}} = \frac{R_1^{-4}}{3(4.6R_1)^{-4} + 3(5.75R_1)^{-4}}$$

$$= 105 \quad (= 20 \text{ dB}) \quad 1-3-10$$

تدل المعادلة 1-3-10 أن النسبة C/I وفقاً للحالة الأسوأ في نظام الخلية الصغيرة هي أفضل بمقدار 2 ديسيبل من نظام AMPS . في الحالة الأسوأ للمعادلة 1-3-10 حيث تقع جميع مناطق القناة الواحدة في المنطقة A أو B يمكن أن تكون النسبة C/I أفضل إذا وقعت مناطق القناة الواحدة في مناطق أخرى غير A أو B . لذلك تكون النسبة C/I عادة أكبر من 20 ديسيبل ، فالنسبة $C/I \geq 20 \text{ dB}$ على الأقل أفضل بمقدار 2 ديسيبل من النسبة (C/I) المطلوبة في نظام AMPS . وهذا يبرهن على أن نوعية الصوت في نظام الخلية الصغيرة دائماً أفضل منه في نظام AMPS . ملاحظة واحدة فقط هي أن الحسابات هذه قد بنيت على أساس تغطية الإشارة لكل منطقة بغض النظر عن نوع الهوائى وذلك لأن شكل التغطية يأخذ في الحسبان نمط اشعاع الهوائى.

2-3-10 حل ناخب المنطقة محرضة الطرف :

تتحرك جميع مواقع المناطق في حل ناخب المنطقة محرضة الطرف من المركز الى أطراف المناطق على محيط حدود الخلية (انظر الشكل 3-10). يبنى حساب النسبة C/I في حل المنطقة عرضة الطرف على أساس التشكيل $K=3$ المبين في الشكل 6-10. أما الخلية المركزية فهي خلية الخدمة.



الشكل 6-10 تشكيل خلايا ناخب المنطقة عرضة الطرف

تخدّم مكالمات الوحدة المتنقلة بواسطة إحدى المناطق المتقاربة وبعد مركز الخلية البقعة الضعيفة لاستقبال الإشارة من موقع المنطقة. توجد ست خلايا تتداخل حول خلية الخدمة. من بين خلايا التداخل الست يمكن أن توجد ثلاث خلايا لها موقعي منطقة في كل منها للتداخل مع المكالمات المتنقلة في الخلية المركزية. والخلايا الثلاث الأخرى لها موقع منطقة واحد فقط في كل خلية ليتداخل مع المكالمات المتنقلة. بما أن موقع منطقة واحداً فقط يعمل في خلية في وقت ما على أي تردد فإن احتمال التداخل مع المكالمات من كل موقع منطقة تتداخل والعربة من الشكل 6-10. لكل من خلايا التداخل الثلاث منطقتان من نوع C (ج) يمكنها التداخل مع المكالمات المتنقلة. ومع هذا فإن احتمال حدوث ذلك هو الثلثان. إن لكل من خلايا التداخل الثلاث الباقية منطقة واحدة من نوع D (د) يمكنها أن تتداخل مع المكالمات المتنقلة باحتمال ثلث واحد. يمكن الحصول على النسبة C/I عند العربة من خلايا القناة الواحدة الست (مؤشر عليها برقم 1) كما يلي :

$$\frac{C}{I} = \frac{R^{-4}}{3 \left[\frac{1}{3} (3.6R)^{-4} \right]_{C \text{ zones}} + 3 \left[\frac{1}{3} (4R)^{-4} \right]_{D \text{ zones}}} = 63 \quad (= 18 \text{ dB}) \quad 3-3-10$$

في حل المنطقة معرضة الطرف تبقى النسبة C/I محافظة على القيمة 18 ديسيبيل وهي السوية المقبولة لنوعية الصوت. يؤكد التشكيل $K=3$ المبين في الشكل 10-6 زيادة السعة الراديوية. لا يزال حل المنطقة متساوية الاتجاهات يؤمن أحسن نوعية للصوت.

3-3-10 حل المنطقة المعرضة من الطرف بدون انتقاء :

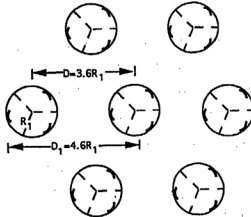
تستدعي الحالات التي يجب أن تعمل فيها جميع المناطق تشكيل منطقة معرضة الطرف بدون انتقاء ، وفي هذا التشكيل تعامل جميع الخلايا كمناطق متساوية الاتجاهات لأن جميع مواقع المناطق ترسل باستمرار. في النظام التماثلي تتطلب الخلايا النظامية متساوية الاتجاهات والمعرضة مركزياً معامل تخفيض تداخل القناة الواحدة q مكافئاً إلى $D/R=4.6$ كما ذكر سابقاً.

في خلايا المناطق معرضة الطرف يجب أن تكون النسبة $D_1/R_1=4.6$ للحفاظ على نوعية الصوت. نذكر ثانية أن المسافة D_1 هي فاصل منطقة القناة الواحدة و R_1 هي المسافة من مرسل المنطقة إلى حدود المنطقة وتساوي نصف قطر الخلية. المعامل الجديد q ($=D_1/R_1$) هو 3.6 كما هو مبين في الشكل 10-7 ويصبح معامل إعادة استخدام التردد K

$$K = \frac{(q)^2}{3} = \frac{(3.6)^2}{3} = 4.32 \approx 4$$

كما يلي : 4-3-10

تُبرهن هذه النتيجة أن حل المنطقة معرضة الطرف يمكن أن يزيد السعة الراديوية بمقدار $7/4 = 1.75$ مرة.



الشكل 10-7 تشكيل خلايا مناطق غير انتقائية

4-3-10 خلاصة :

يمكن زيادة السعة الراديوية بمقدار 2.33 مرة إذا استخدم حل ناخب المنطقة إما بتشكيل مناطق متساوية الاتجاهات أو مناطق عرضة الطرف. يمكن زيادة السعة الراديوية بمقدار 1.75 مرة إذا استخدم حل المنطقة غير الانتقائية. تصل كفاءة استخدام تشكيل الخلية الصغيرة هذا الى قيمة عظمى لأن $K=3$ هو أصغر رقم في أنظمة إعادة استخدام السرد. يمكن زيادة السعة الراديوية بمقدار 1.75 مرة للنظام التماثلي ذي تشكيل المناطق غير الانتقائية. يمكن استخدام تشكيل المناطق غير الانتقائية لانقاص التداخل أكثر في أنظمة الخلايا الصغيرة وتعدد المنافذ بالتقسيم المرمز.

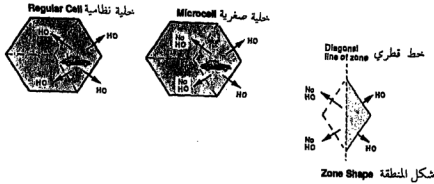
4-10 خفض عدد التبديلات :

التبديل يعني فنياً أن نغير التردد لورد آخر ونسلمه للعربة بينما تدخّل في عملية جديدة أو قطاع جديد. ليست هناك حاجة ضمن كل خلية صغيرة لاجراء التبديل من منطقة لأخرى ، تسلم وصلات منطقة لمنطقة عن طريق ناخب المنطقة. تتبع المنطقة العاملة الوحدة المتنقلة أثناء تحركها من منطقة لأخرى. يبقى تردد القناة المخصص للوحدة المتنقلة بدون تغيير.

سنقدّر في هذا الفصل كم من التبديلات يمكن أن نحذف بالنسبة لمخطط خلية صغيرة تستخدم ثلاث مناطق. في الخلية النظامية توجد ثلاثة قطاعات. يمكن للعربة أن تتحرك في أي من الاتجاهات الثلاثة المبينة في الشكل 8-10 . عندما تتحرك العربة خلال القطاعين الآخرين تحتاج الى عملية التبديل. يحدث التبديل عندما تدخّل العربة أو تتحرك خارجة من خلية. عندما تتحرك العربة الى أي من المنطقتين الأخرتين في الخلية الصغيرة لاحتاج الى عملية التبديل. تحدث عملية التبديل فقط عندما تتحرك العربة داخلية الى الخلية أو خارجة منها. بما أن شكل المنطقة قد بني على أساس خلية سداسية فإن المنطقة تأخذ شكل الماسة. يلاحظ بالتناظر بالنسبة لخط القطر أن التحرك عن يسار خط القطر لا يحتاج الى عملية التبديل وعن يمينه يحتاج الى عملية التبديل. وبالتالي يمكن أن نقدر أن نصف عدد التبديلات المطلوبة في تشكيلة خلية نظامية سوف تحدث في تشكيلة خلية صغيرة. إن تخفيض عدد التبديلات هذا في نظام الخلية الصغيرة له تأثير كبير على سعة النظام.

5-10 سعة النظام :

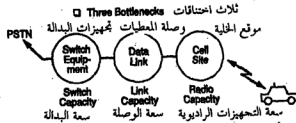
في أي تصميم خلوي تختلف السعة الكلية من نظام لآخر. يمكن أن تتحكم في



الشكل 8-10 تخفيض عدد التبديلات في نظام الخلية الصغيرة

سعة النظام ثلاثة عناصر : تحديد السعة الراديوية وسعة وصلة التحكم وسعة التوصيل (انظر الشكل 9-10).

السعة الراديوية هي العنصر الأكثر ذكراً في المراجع. غالباً ما تغفل سعة وصلة التحكم وسعة التوصيل في قياسات سعة النظام. تقيس سعة وصلة التحكم سعة ارسال المعطيات على الوصلة بين موقع الخلية وأجهزة التبديل. إذا كان عدد وصلات الأمواج الميكروية أو حوامل الخطوط الهاتفية غير كاف ينتج عندئذ حالة عنق الزجاجة. تقيس سعة التوصيل سعة المحادثات عند مكتب التبديل. ومرة ثانية إذا كان التوصيل ليس كبيراً كفاية لمعالجة السعة الراديوية تحدث عندئذ مشكلة عنق الزجاجة. من بين السعات الثلاث تستخدم الأضعف كمقياس لسعة النظام. لهذا فإن تحسين السعة الراديوية في النظام غير كاف. يتطلب تحسين سعة النظام رفع درجة السعة الأصغر من بين السعات الثلاث. مع أخذ هذه المعلومة في الحسبان يجب على كل عامل نظام أن يكون على دراية بأن السعة الراديوية ليست المشكلة برمتها وليس بها الحل كلياً.



□ Solving Radio Capacity is Not Enough

الشكل 9-10 الأنظمة الخلوية

بما أن تصميم خلية صغيرة يحتاج إلى عدد تبديلات أقل بالمقارنة مع الأنظمة النظامية فإن حمل كل من أجهزة التبديل ووصلة التحكم يقسم إلى النصف تقريباً "تاركاً" ضعف الحمل لمعالج البسعة الحالية. إن التخلص من نصف الحمل يعني إمكان إضافة ضعف الحمل إلى النظام. هذه المضاعفة التقريبية (الرقم الصحيح هو 2.33) للبسعة الراديوية هي في الحقيقة ماتقدمه أنظمة الخلية الصغيرة بدون تغيير تجهيزات التبديل الحالية.

6-10 مزايا الخلية الصغيرة :

- 1 - زيادة سعة النظام : استناداً إلى نموذج إعادة استخدام الخلية (وقد أنقص من $K=7$ إلى $K=3$) التي تقدم 2.33 مرة من سعة نظام AMPS .
- 2 - تحسين نوعية الصوت : نوعية الصوت في نظام الخلية الصغيرة دائماً "أفضل من نوعية الصوت في نظام AMPS .
- 3 - خفض التداخل :

أ- في تشكيل ناخب المنطقة متساوية الاتجاهات تخفض قدرة مواقع المناطق الثلاث بالمقارنة مع قدرة الموقع المركزي في الخلية. في تشكيل ناخب المنطقة محرضة الطرف تنتج جميع الهوائيات في الخلية باتجاه بعضها بحيث تعبر إشارة التداخل الخلية قبل تداخلها مع الخلية المجاورة. في كلا التشكيلين تحذف التغطية فقط منطقة عاملة واحدة ولهذا تكون إشارة التداخل ضعيفة جداً بالمقارنة مع تداخل مرسل في مركز خلية نظامية.

ب- تشكل مواقع المناطق الثلاثة التي تستقبل إشارة الوحدة المتنقلة بآن واحد خطة تنوع مساري بثلاثة فروع مما يناسب عمل الوحدات المحمولة ذات القدرة المنخفضة. تزيد خطة التنوع من احتمال استقبال الإشارة عند القاعدة.

ج- يقدم نظام الخلية الصغيرة أفضل ترتيب للتحكم بالتداخل. تتبع منطقة العمل العربات ويمكن هندسة تغطية الخلية بسهولة باستخدام ثلاث قدرات إرسال مختلفة عند مواقع المناطق.

4 - الشكيفية : يمكن إضافة تصميم الخلية الصغيرة هذا لأي نظام مستمر بدون تعديل الكيان الجامد (العتاد) والكيان اللين (البرامج) في نظام المستمر.

5 - حجم أجهزة المنطقة : حجم المبدلات أعلى/أسفل في المنطقة صغير ويمكن تركيبه على جانب مبنى أو على عمود. لهذا فإن النظام هو من نوع خدمة اتصالات شخصية

الذي يمكن من التحكم الشديد بالتداخل. من السهل إعادة التركيب من عمود الى عمود آخر عندما تتغير متطلبات تغطية الإشارة.

6 - الخلية الصغيرة خلية ذكية : تعرف الخلية الصغيرة الجديدة أين تقع الوحدة المتنقلة في منطقة معينة من الخلية وتقدم القدرة لتلك المنطقة. بما أن قدرة الإشارة قد خفضت فإن الخليتين الصغيرتين يمكن أن تكونا أقرب وبذلك تزداد السعة.

المراجع

REFERENCES

1. Lee, W. C. Y., *Mobile Cellular Telecommunications Systems* (McGraw-Hill, 1989): 57.
2. MacDonald, V. H., "The Cellular Concept," *Bell Sys. Tech. J.* 58 (Jan. 1979): 15.
3. Lee, W. C. Y., "Spectrum Efficiency in Cellular," *IEEE Trans. Veh. Tech.* (May 1989): 69-75.
4. Lee, W. C. Y., "Cellular Telephone System" (U.S. Patent 4,932,049, June 5, 1990).
5. Lee, W. C. Y., "Microcell System for Cellular Telephone System" (U.S. Patent 5,067,147, Nov. 19, 1991).
6. Ott, Gary D., "Vehicle Location in Cellular a Mobile Radio Systems," *IEEE Trans. Veh. Tech.*, VT-26 (Feb. 1977): 43-46.
7. Lee, W. C. Y., "Microcell Architecture—Smaller Cells for Greater Performance" *IEEE Communications Magazine* 29 (Nov. 1991): 19-23.
8. Lee, W. C. Y., "An Innovative Microcell System," *Cellular Business* (Dec. 1991): 42-44.

11 - الأنظمة الأخرى ذات العلاقة

- 1-11 خدمة الاتصالات الشخصية .
- 2-11 أنظمة الهاتف المحمول .
- 3-11 اتصالات جو/أرض .
- 4-11 أنظمة الاتصالات المتنقلة الأرضية/سواتل .

1-11 خدمة الاتصالات الشخصية (PCS) :

خلال العقد الماضي استطاع ممولوا الأنظمة الخلوية اقناع هيئة الاتصالات الفيدرالية أن الأنظمة الخلوية تؤمن مردوداً طيفياً عالياً . إضافة لذلك فإن عامة الناس قد بدأت اهتماماتهم في الأنظمة الخلوية ونتيجة لهذا الأمر فقد ازداد معدل الاكتتاب بصورة غير متوقعة بالرغم من تنبؤات التسويق آنذاك التي اتخذت اتجاهات متشائماً لتوسيع النظم الخلوية . ابتدأت الآن صناعة نظم الاتصالات بأكملها أن تميز بمقدرة التشغيل القوية للخلايا المتنقلة ، وكل من هؤلاء المصنعين يرغب أن يضع قدماً في ذلك الحقل . في منتصف عام 1991 أصدرت هيئة الاتصالات الفيدرالية تعليمات عن كيفية تطوير الاتصالات وتنفيذ خدمة اتصالات شخصية جديدة . ومنذ ذلك الوقت ابتدأت مؤسسة الاتصالات اللاسلكية باتخاذ اجراءات أوسع .

1-1-11 متطلبات خدمة الاتصالات الشخصية PCS :

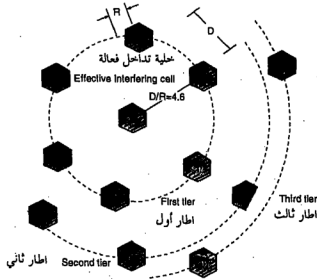
يمكن تبيان احتياجات خدمة الاتصالات الشخصية كما يلي :

- وحدة المشترك بخدمة الاتصالات الشخصية :

إن التعريف الحقيقي لخدمة الاتصالات الشخصية غير واضح . أما الواضح فهو أنه في تسعينات هذا القرن حيث تتجه موجة الحياة والناس الى الحركة فإن وحدة المشترك في خدمة الاتصالات الشخصية يجب أن تكون سهلة الحمل والاستخدام وقابلة للعمل في أي مكان في العالم .

- الحركة :

تعد تحليلات التسويق التقليدية المبنية على قطاعات السوق قابلة للتطبيق من أجل تطوير خدمة الاتصالات الشخصية . خدمة الاتصالات الشخصية هي سوق حركي ديناميكي . يمكن أن يكون المشترك في المكتب أو في الشارع وفي أي مكان وزمان . يجب أن تعمل وحدة المشترك في خدمة الاتصالات الشخصية المحمولة معه من أجله في كل الأوقات . ليس هناك أي فرق بين استخدام المكتب أو استخدام المنزل . لهذا فإن قطاعات السوق أو معطيات التبيان قد أصبحت لاعلاقة لها بدراسة الناس في الحركة .



الشكل 1-11 خلايا التداخل الفعالة الست على الخلية 1

- المردود الطيفي :

عند انتقاء نظام خدمة الاتصالات الشخصية يجب الأخذ بالحسبان المردود الطيفي . فالطيف ثروة قيمة وطبيعية محدودة . يطلب من نظام خدمة الاتصالات الشخصية أن يخدم عدداً هائلاً من المشتركين في طيف محدود ومخصص . إذا تنبأنا بحركة قدرها 10000 مكالمات في ساعة الانشغال بالكيلومتر المربع فإن نظام خدمة الاتصالات الشخصية يحتاج تقريباً الى 350 قناة راديوية في ذلك الكيلومتر المربع . فهل باستطاعة الصناعة أن تصمم نظاماً بهذه المواصفات ؟ لتقرير ذلك يجب الاجابة على سؤالين : هل الطيف المخصص لنا كاف ؟ وهل سيكون النظام المتبقى ذا مردود طيفي جيد ؟

لا يمكن استخدام الأقفية الراديوية ميدانياً بطريقة استخدام الأقفية اللاسلكية نفسها . فالأقفية المشتركة والمتجاورة يجب أن تخصص بعيدة عن بعضها بحيث تقلل من تداخلها المتبادل . لكي يعاد استخدام القناة نفسها ثانية لزيادة السعة القنوية في الأنظمة الخلوية توصف مسافة الفصل الصغرى D بين خليتين بهما القناة نفسها بعدد أنصاف أقطار الخلية R أو بالنسبة D/R في الأنظمة التماثلية الحاضرة تكون مسافة فاصل القناة الواحدة D مساوية الى 4.6 مرة R أي $D/R = 4.6$ (انظر الشكل 1-11) وقد استند هذا الرقم على أداء النظام من أجل نوعية صوت مطلوبة .

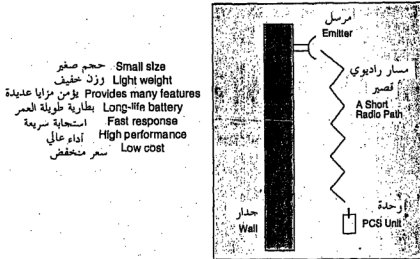
لبلوغ سعة أعلى للنظام يجب انتقاء نظام آخر بنسبة مطلوبة من D/R أقل . من النسبة المطلوبة من D/R يتم الحصول على عدد الأقفية في الخلية. ومن ثم يمكن حساب عدد الأقفية بالكيلومتر المربع. كلما زاد عدد الأقفية بالكيلومتر المربع كانت سعة النظام أعلى. زيادة سعة النظام تعني زيادة المردود الطيفي.

- مفهوم الوحدة الواحدة :

مثالياً يجب أن تصمم وحدة استخدام مشترك لخدمة الاتصالات الشخصية إما كواحد للكل (أي تعمل الوحدة في نظام واحد) أو ككل لواحد (أي تعمل في أنظمة متعددة). إن وحدة النظام الواحد هي في صالح المشتركين فالوحدة الواحدة يمكن أن تحوي أداء منخفضاً أو إضافات الأداء العالي وكلها قادرة على العمل ضمن النظام نفسه .

لماذا وحدة النظام الواحد ؟ لأنه يجب وضع صالح المشتركين فوق صالح الشركات المصنعة أو عملي الأنظمة. وفي النهاية فإن تعدد الأنظمة (واحدة للاستخدامات المنزلية وآخر للعربات وثالثاً للتنقل الخ) سيكون مرهقاً للمشارك .

بما أن تقنيات الاتصالات تتجه في منحى زيادة الحركة فإنه ليس عملياً أن تقيم الاتصالات الشخصية خطوطاً منفصلة لأنظمة مختلفة . إن أي وحدة مشترك في خدمة الاتصالات الشخصية يجب أن تكون صغيرة وخفيفة الوزن وتؤمن ميزات كثيرة ولها بطارية ذات عمر مديد .



الشكل 2-11 وحدة مشترك خدمة الاتصالات الشخصية

بإستطاعة تقنيات الوقت الحاضر أن تؤمن هذه المتطلبات إذا استطاعت هيكلة خدمة الاتصالات الشخصية أن تأخذ عبئاً أكبر وتقدم الإشارة الى الوحدة المتنقلة خلال أقصر مسار راديوي (انظر الشكل 2-11). لقد صمم النظام الخلوي من أجل هذا الغرض.

– الشبكة الذكية :

تتطلب إدارة خدمة الاتصالات الشخصية شبكة ذكية لها قاعدة بيانات مركزية وتؤمن خدمات المشترك من خلال نقطة مراقبة الخدمة. تميز الشبكة الذكية رقم هوية (تعريف) المشترك فقط وليس وحدة المشترك. مثال ذلك يمكن تسليم مكالمة الى أي مشترك في أي مكان وخلال أي وحدة مشترك. يمكن للشبكة أن تتبع أماكن المشتركين وتحديث معطياتها بأرقام هويتهم الشخصية المخصصة لهم بغض النظر عن الوحدات التي يستخدمونها. في بعض الأحيان تزود الأرقام الشخصية على بطاقات ماهرة. تتميز الشبكة الذكية البطاقة الماهرة وليس الوحدة (الشكل 3-11) .

يمكن استخدام البطاقة الماهرة لأي وحدة مشترك في خدمة الاتصالات الشخصية. عند ادخال البطاقة الماهرة في أي وحدة تصبح تلك الوحدة وحدة لذلك المشترك الافراضي. ستحدث الشبكة المعلومات في قاعدة البيانات وسيصار التتبع على المعطيات الجديدة ، وستنقل جميع المزايا والفواتير الى الوحدة الجديدة.

– تعدد المنافذ :

لتوصيل المكالمات سيخصص ممولوا النظام إما قناة راديوية لمشارك (وهذا ما يدعى بتعدد المنافذ بالتقسيم الترددي FDMA) أو شقاً زمنياً للمشارك (وهو ما يدعى بتعدد المنافذ بالتقسيم الزمني TDMA) أو تتابع الرموز للمشارك (وهو ما يدعى بتعدد المنافذ بالتقسيم الرمز CDMA). يمكن استخدام طرائق تعدد المنافذ الثلاثة في اتصالات السواتل. ولكن قبل انتقاء احدي مخطط تعدد المنافذ الثلاث لخدمة الاتصالات الشخصية يجب فهم البيئة التي تعمل فيها خدمات الاتصالات الشخصية.

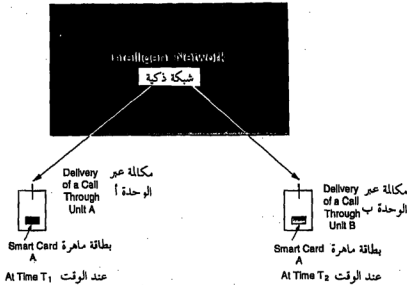
2-1-11 بيئة خدمة الاتصالات الشخصية :

لتصميم نظام من أجل وحدة مشترك خدمة الاتصالات الشخصية يجب أن يفهم ممولوا النظام بيئة خدمة الاتصالات الشخصية. إنها بيئة صناعية تشمل المدن والمباني والشوارع وطرق السور السريع وال عربات وإشارات المرور. وبسبب هذه العوامل فإن خصائص الانتشار كخسارة المسار والخفوت وامتداد وقت الانتشار

لأمواج خدمة الاتصالات الشخصية تختلف عن غيرها من الأوساط. فالضجيج الصناعي يهيمن بقوة في بيئة خدمة الاتصالات الشخصية. في البيئة الصناعية، ان خسارة المسار الزائدة وخفوت الإشارة القوي وامتداد وقت الانتشار الكبير الناتج عن ظاهرة تعدد المسارات الراديوية تجعل بناء نظام الاتصالات الشخصية أمراً صعباً.

تهتم الدراسات الحديثة بتطبيق إشارة النطاق العريض وتعدد المنافذ بالتقسيم المرمز وكيفية المشاركة بالطيف المخصص الموجود. يظهر أن لإشارة النطاق العريض بعض المزايا في التطبيق في بيئة خدمة الاتصالات الشخصية هي :

- استقبال الإشارة بخفوت أقل بالمقارنة مع الإشارات ضيقة النطاق.
 - خفوت الإشارة المستقبلية أقل في المدن عنه في الضواحي.
 - إشارة النطاق العريض ملائمة لتعدد المنافذ بالتقسيم المرمز.
 - إشارة النطاق العريض هي خرج تعديل الطيف المنشور.
- من حيث المردود الطيفي فإن دراسة المشاركة بالطيف المخصص الموجود يمكن أن يكون عمل تحدٍ أيضاً .



الشكل 3-11 الشبكة الذكية

3-1-11 بعض الاهتمامات :

- الكلفة :

لا يمكن أن تتخطى اعتبارات الكلفة من أجل وحدات المشتركين والهيكـل العام لخدمة الاتصالات الشخصية نوعية تلك الخدمة ودرجات الخطورة التي تشملها. وأكثر من هذا فإن الكلفة المقدرة لنظام مطور حديث تبنى على أساس افتراضات غير واقعية كثيرة. ولذا فعوضاً عن الاعتماد على الكلفة الابتدائية المقدرة لتقويم العمل بنظام مصمم حديثاً يجب اجراء التنبؤات المبينة على أساس كلفة وحدة نظام خدمة الاتصالات الشخصية وكان هذه الخدمة قد احدثت منذ ثلاث سنوات. سيأخذ هذا التحليل بالحسبان الراديو وتحسين تقنية التكامل واسـع النطاق (LSI) وزيادة حجم الوحدات المستخدمة والتوقعات المتزايدة أبداً من أماكن التسويق. إن تقديرات السنة الرابعة لكلفة الوحدة الجديدة سيكون مؤشراً عادلاً لتقويم نظام خدمة اتصالات شخصية جديد.

- خدمة الاتصالات الشخصية بالنظام الخلوي :

لنختتم ذلك بتوجيه الأسئلة التالية :

- هل يمكن لنظام خدمة اتصالات شخصية مقترح حديثاً أن يصمم لبيئة وحيدة من خدمة الاتصالات الشخصية الموصوفة سابقاً ؟
- هل يمكن للصناعة بأكملها أن تخطط لخدمة الاتصالات الشخصية المستقبلية كفريق؟
- هل يمكن لنظام خدمة اتصالات شخصية جديد أن يرقى بنجاح بعد التحقق الفعلي على نموذج تجريبي؟
- بالاجابة على هذه الأسئلة وتفحص قدرات الأنظمة الخلوية نجد أن النظام الخلوي يمكن أن يكون مرشحاً جيداً لنظام خدمة الاتصالات الشخصية ، فهو يستطيع الوصول الى أي مكان داخل وخارج أي مبنى.
- إن التطوير الحديث لوحدات بحجم الجيب وزنة 170 غ (6 أونصات) محمولة باليد تجعل وحدات مشترك النظام الخلوي جذابة جداً لخدمات الاتصالات الشخصية المستقبلية. لبلوغ استهلاك القدرة المنخفض وزيادة زمن المكالمات في الوحدة تحتاج الأنظمة الخلوية فقط الى تركيب هوائيات موقع الخلية أو توابعها لتكون أقرب الى المشترك. يمكن للنظام الخلوي أن يخدم الاتصالات الشخصية كواحد لكل الوحدات.
- إن فكرة تطوير النظام الخلوي الحاضر المفضية الى نظام خدمة اتصالات شخصية هي فكرة قد حان وقتها .

11-2 أنظمة الهاتف المحمول .

يجب أن يؤمن نظام الهاتف المحمول الخدمات لجميع المستثمرين دون قيود تتعلق بالمناطق الجغرافية أو الابنية أو الشروط المتغيرة . سيتوفر نظام الهاتف المحمول في المستقبل وقد ينقضي عقد أو عقدان قبل أن يصبح هذا النظام كامل التطبيق ، نظام الهاتف المحمول هو نظام ثلاثي الأبعاد ونظام تحركي حيث يمكن أن ينتقل فيه كل جهاز هاتفي محمول . في المستقبل يمكن أن تستخدم الوحدات الهاتفية المحمولة حتى في الطائرات ، هذا النظام أكثر تعقيداً من النظام الأرضي المتنقل (أو يمكن اعتباره النظام الأرضي المتنقل نظاماً فرعياً لنظام الهاتف المحمول) . يمكن البدء بتعميم نظام الهاتف المحمول من بدايته واخذ النظام الأرضي المتنقل ليكون نظاماً فرعياً صممت الانظمة الأرضية المتنقلة قبل الانظمة المحمولة لبساطتها نسبياً .

طُوِّر كثير من قواعد التصميم المقدمة في الفصول السابقة من أجل الانظمة الأرضية المتنقلة فقط . لا يمكن استخدام هذه القواعد لتصميم نظام هاتف محمول معقد أو لاضافة نظام الهاتف المحمول على النظام الأرضي المتنقل . إلى أن تتجمع بيانات كافية وينشأ النظام الأرضي المتنقل الناضج فليس من الحكمة انشاء النظامين على نفس الطيف الترددي في نفس الوقت .

بما أن أنظمة الخلية تنمو لتصبح أنظمة أرضية متنقلة ناضجة فإن التحدي الحقيقي هو حل مشكلة تداخل القناة الواحدة في النظام نفسه . طبعاً يمكن أن يعين لنظام الهاتف المحمول نطاق ترددي مختلف عن النطاق الترددي للنظام الأرضي المتنقل وبهذه الحالة يمكن البدء دون تأخير . في هذه الحالة يجب على المصممين فقط تجنب أي تداخل محتمل مع الانظمة الموجودة على نفس النطاق . إلا أنه ولاهداف اقتصادية (في تعيين الطيف وتجهيزات الراديو) يظهر أنه من الطبيعي أن يتواجد نظامان محمول ومتنقل يشتركان في نفس نظام الخلية إذا أمكن ذلك .

منذ 1992 دخلت أنظمة خلايا الهاتف الأرضي المتنقل إلى كثير من مدن الولايات المتحدة . يشترك المستثمرون في نظام ابتدائي وهو نظام تحديد الضجيج (الفصل 1-4) ويمكن أن يأخذ خمس سنوات أو أكثر لتحويل النظام الابتدائي إلى

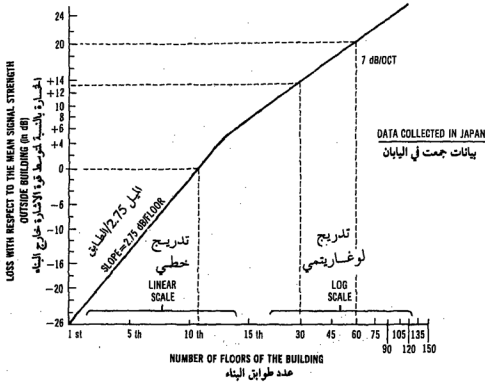
نظام ناضج وهو نظام تحديد التداخل (الفصل 4-1). وحتى ذلك الوقت سيواجه المشتركون مشاكل كثيرة من تداخل القناة الواحدة والأقنية المتجاورة ونسبة الطرف القريب الى الطرف البعيد يجب أن تحل. وحتى وجود الحلول الممكنة للنظام الناضج المستقبلي يضاف ما يلي: معدل النداءات الفاشلة سيكون عالياً واداء تسليم الاقنية سيكون ضعيفاً ونوعية الصوت ستكون غير مقبولة.

لا يزال الوقت مبكراً جداً للتنبؤ عن اطار زمني لاتمام نظام خلية متنقل ناجح حيث لا توجد بيانات تجريبية كافية على أنظمة ناضجة. طبعاً لا يمكن ان يضاف نظام الهاتف المحمول في نفس الوقت الذي يطور فيه نظام الخلية والا سيكون من الصعب جداً التحكم بأسباب التداخل. يجب ان ينتظر نظام الهاتف المحمول حتى يمكن السيطرة على مشاكل التداخل في النظام الارضي المتنقل. ثم يمكن اضافته بعد تنفيذ الحلول لازالة مشاكل التداخل الموجودة في كلا النظامين. في الفصل القادم ادخلت عدة مواضيع تهتم بنظام الهاتف المحمول مثل خسارة الانتشار وتأثير جسم الانسان واعتبارات ضبط النظام.

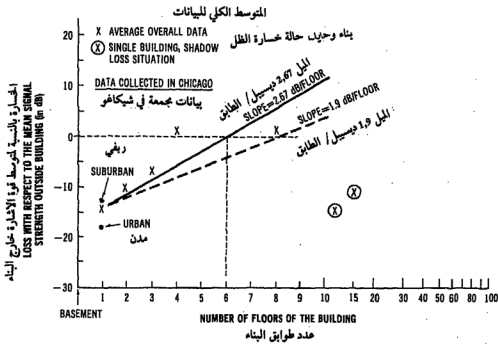
1-2-11 خسارة مسار الانتشار

نظام الهاتف المحمول هو نظام ثلاثي الأبعاد لأن المستثمرين يحملون هواتفهم المحمولة ليس عند مستوى الأرض فقط بل داخل الابنية في مختلف الطوابق. تزداد شدة اشارة الوحدة المحمولة مع الارتفاع وتتخامد بشدة بالمنشآت المعدنية للابنية. تقاس خسارات متوسط شدة الاشارة بالديسيبل خارج البناء عند مستوى الشارع لارتفاعات طوابق مختلفة كما هو مبين في الشكل 4-9 (جمعت هذه البيانات في اليابان). يتبع ربح الارتفاع الطابقي ميلاً مقداره 2,75 ديسيبل / الطابق من الطابق الاول إلى الطابق الخامس عشر على مقياس خطي، وهذا يعني زيادة 2,75 ديسيبل في شدة الاشارة لكل طابق. بعد ذلك تزداد شدة الاشارة متتبعه مقياساً لوغاريتمياً مبنياً على قاعدة ميل 6-7 ديسيبل / الضعف تنطبق على الطوابق الاعلى. وهي نفس قاعدة الارتفاع المستخدمة في النظام الارضي المتنقل المبين في الفصل 2-5-3. إن سوية

الاستقبال داخل الطابق العاشر هي نفسها خارج البناء عند المستوى الأرضي . ان خسارة شدة الإشارة المستقبلة داخل الطابق الأول اكبر بمقدار 26 ديسيبل عن التي خارجه عند المستوى الأرضي . بها أن خسارة الاختراق إلى البناء تعتمد على بيئة البناء فانه يمكن القول ان خسارة الاختراق حوالي 25 إلى 30 ديسيبل بصورة عامة . تدل البيانات المجمعة في شيكاغو ان الميل هو 2,67 ديسيبل / الطابق كما هو مبين في الشكل 5-11 . ان ميلي الشكليين متقاربان جداً . ان الخسارة المقيسة عند الطابق الأول داخل البناء (الشكل 5-11) أكبر من سوية الاستقبال خارج البناء بمقدار 15 ديسيبل . ان سوية الاستقبال عند الطابق السادس داخل البناء هي نفسها عند مستوى الشارع خارج البناء .



الشكل 5-11 خسارة الاختراق إلى البناء في منطقة طوكيو.



الشكل 11-5 خسارة الاختراق إلى البناء في الولايات المتحدة الأمريكية.

يمكن أن يفسر الفرق بين خسارتي الاختراق إلى البناء في الشكليين بسبب اختلاف بنية البناء في الولايات المتحدة وفي اليابان. تستخدم ابنية الولايات المتحدة هياكل معدنية رئيسية ضخمة وقليل من هياكل الدعم المعدنية. لذا فخسارة الاختراق إلى البناء أقل بسبب قلة الهياكل المعدنية التي تسد الإشارة الآتية. للمباني اليابانية هياكل دعم معدنية كثيرة دائماً لتسمح لها بالبقاء خلال الزلازل والهزات الأرضية.

تعرف خسارة الظل بأنها الخسارة الناتجة عن بناء يقف في طريق المسار الراديوي، وهي نفس مقدار الفرق بين الخسارة الكلية وخسارة الاختراق إلى البناء.

تبلغ خسارة الظل حوالي 27 ديسيل كما هو مبين في الشكل 4-11 بغض النظر عن الطابق الذي اخذت منه القياسات. يبين الجدول 1-11 نتيجة مختصرة لما تقدم.

الجدول 1-11 خسارة الاختراق إلى البناء

الحالة	خسارة الاختراق إلى البناء	خسارة الظل
الاختراق إلى البناء	+ 27 ديسيل (طوكيو) + 15 ديسيل (شيكاغو) - 6 ديسيل	27 ديسيل (شيكاغو)
منطقة نافذة		
الطابق الأول حتى	2,75 ديسيل / الطابق (طوكيو)	بغض النظر عن
الخامسة عشر	2,67 ديسيل / الطابق (شيكاغو)	ارتفاع الطابق
الطابق 15 حتى 30	7 ديسيل / الضعف (طوكيو)	

11-2-2 تأثير جسم الانسان

بما أن المستثمر يحمل دائماً الوحدة المحمولة فإن الطريقة التي يضع فيها المستثمر الهوائي تؤثر على سوية استقبال الوحدة، بينت دراسة تأثيرات جسم المستثمر على الوحدة الهوائية المحمولة انها ليست مقتصرة على انواع البيئة التي يرتادها المستثمر، لهذا سيشرح في هذا الفصل تأثير جسم الانسان على الوحدة المحمولة عند مستوى الشارع خارج الابنية. إذا رفع المستثمر جهازه المحمول فوق رأسه فإن سوية الإشارة المستقبلية بالمهوائي العمودي للجهاز سوف تعتبر مرجعاً للسوية، أي سوية صفر ديسيل. عندما يحفظ المستثمر الهوائي عمودياً عند مستوى الكتف هناك خسارة من (1) إلى (2) ديسيل وعند مستوى الخصر تكون الخسارة حوالي (5) ديسيل. (تم الحصول على هذه الأرقام من الجدول 1-11). إذا وضع الهوائي أفقياً فوق الرأس فانه يستقبل دائماً إشارة اضعف مما لو وضع نفس الهوائي عمودياً فوق الرأس. ومع هذا لا يوجد اختلاف بين سويتي الاستقبال لنوعي استقطاب استقبلاً عند وضعية الخصر وذلك بسبب كثرة الاشياء الصناعية القريبة من الأرض التي تؤمن فرص تحول الاستقطاب من نوع لآخر وتزيل الفرق بين سويتي الاستقبال لنوعي الاستقطاب.

3-2-11 الظاهرة الراديوية في الوحدات المحمولة :

يمكن تطوير وحدة الاتصالات المحمولة كخدمة اتصالات شخصية مستقبلية. فكل المهندسون التقليديون أن الوحدة الخلوية المحمولة التي تكون مستقرة أثناء الاستخدام يمكن تنفيذها بسهولة أكثر في شبكات الاتصالات عنها في الوحدة المتنقلة.

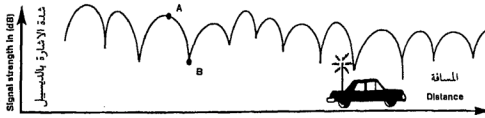
الجدول 11-2

الراديو المحمول وتأثير جسم الإنسان وخسارة الهوائي في منطقة متعددة المسارات .

عند الرأس ديسيبل		عند الخصر ديسيبل		وضعية الهوائي
القي	عمودي	القي	عموي	اتجاه الشارع
0 ديسيبل (رأس)	5,8	2	3,3	طريق مباشر في شارع عريض
2-1 ديسيبل (كتف)				
5 ديسيبل (خصر)	5,7	1,0	3,9	طريق معترض في شارع عريض
-	-	-	3,7	طريق مباشر في شارع ضيق
-	-	-	6,0	طريق معترض في شارع ضيق
5,8	1,5	4,2	4,9	المتوسط

لكن الوحدة الخلوية المتنقلة تعمل في بيئة راديوية متنقلة أكثر تعقيداً بكثير من أية بيئة اتصالات أخرى. لا يعتمد استقبال الإشارة فيها على شكل التضاريس الطبيعية فقط بل على المنشآت الصناعية أيضاً. ولأن المنشآت الصناعية تختلف من منطقة جغرافية لآخرى فإن النظام الذي يعمل جيداً في حالة ما ربما يفشل كلياً في حالة أخرى. يجب الأخذ بالحسبان الخصائص الراديوية للبيئة عند تصميم نظام الوحدة المحمولة.

لاتباع الأمواج الراديوية عادة مساراً مباشراً من نقطة لأخرى بسبب المنشآت كأيئة المكاتب والمنازل ، بل تخضع لظاهرة تعدد المسارات الراديوية (الشكل 9-1). في مثل هذا المحيط تنعكس وتنعرج الأمواج الراديوية المشتتة من مصدر مرسل واحد خلال مسارات مختلفة قبل أن تصل الى وحدة الاستقبال التي يمكن أن توجد إما داخل مبنى أو في الشارع. لاتبقي شدة الإشارة المستقبلية عند الوحدة ثابتة عندما يحمل المستمر وحدته الى أعلى المبنى وأسفله أو على طول الطريق .



الشكل 6-11 إشارة مخافتة من تردد واحد

عندما تضاف جميع الأمواج المشتتة بدون فارق طور بينها عند بقعة معينة فإن الموجة الناتجة (شدة التيار) تكون قوية (الشكل 6-11 البقعة A) وعندما تكون أطوارها مختلفة تصبح الموجة الناتجة ضعيفة (البقعة B). يمكن مقارنة ذلك مع صورة موجة بحرية على الرغم من أن الموجة الراديوية غير مرئية. يمكن أن يكون المستثمر في بعض النقاط على قمة الموجة الراديوية وفي أماكن أخرى في وادئها. تكون المسافة بين القمة والوادي حوالي نصف طول موجة الإشارة العاملة. عند التردد 850 م هـ يكون متوسط المسافة حوالي 6 انش. هذا التغير المفاجئ يدعى بخفوت الإشارة ومن الصعب معالجته في بيئة الراديو المتنقل.

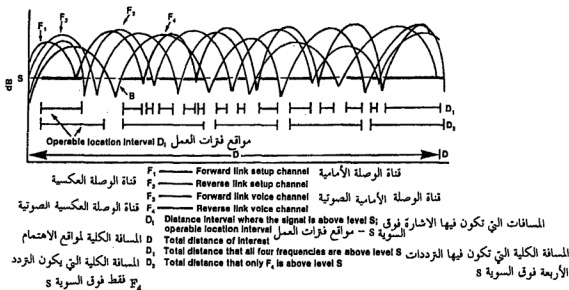
يستعمل كل عامل خلية 416 قناة مختلفة وكل قناة تتألف من ترددين : تردد الوصل الأمامي (من القاعدة إلى الوحدة المتنقلة) وتردد الوصل العكسي (من الوحدة المتنقلة إلى القاعدة) ، ويكون مجموع 832 قناة مختلفة يقابلها 832 طول موجة. تصور عندئذ وجود 832 موجة بحرية. بما أن أطوال الموجات مختلفة لكل موجة فإن موقعاً ما يمكن أن يكون قمة لموجة راديوية وبنفس الوقت وادياً لموجة أخرى. تدعى هذه الظاهرة بالخفوت الانتقائي.

لا يؤثر الخفوت الانتقائي على استقبال الإشارة في الوحدة المتنقلة لأنها تسير دائماً على طول الشارع. تختلف شدة إشارة التردد باستمرار صعوداً وهبوطاً، منشئةً خفوتاً في الإشارة. في ظروف الإشارة الخافتة يؤخذ فقط المعدل أو المتوسط المحلي لشدة الإشارة المستقبلية خلال الفترة الزمنية المدة فترة وصول الإشارة إلى الوحدة المتنقلة. تكون المتوسطات المحلية لشدة إشارة الترددات إلى 832 المقيسة على طول شارع معين هي نفسها تقريباً. لا يؤثر التردد المتقن على قيمة معدل شدة الإشارة. ليس لاشارات الوحدة المحمولة معدل شدة إشارة لأن هذه الوحدات تكون مستقرة عادة، وتعتمد شدة الإشارة المستقبلية على مكان البقعة نتيجة لخفوت تعدد المسارات. تكون الإشارة قوية إذا كانت البقعة خارج خفوت شدة الإشارة وضعيفة إذا كانت داخله.

إذا وجدت الوحدة المحمولة في مثل البقعة B في الشكل 8-11 عندئذ لا يمكن استقبال الإشارة ، لهذا لا يمكن استخدام معدل شدة الإشارة ليمثل إشارة الوحدة المحمولة. يؤثر الخفوت الانتقائي أيضاً على استقبال إشارة الوحدة المحمولة. في النظام الخلوي تستخدم مجموعة من 4 أقتية راديوية من أصل 832 لأكمال المكاملة. يمكن النظر الى صورة الأمواج البحرية الـ 832 المختلفة لاستقبال اشارات الوحدات المحمولة. بما أنه في بقعة معينة توجد قيمة آنية واحدة فقط لشدة إشارة القناة المستقبلية قوية كانت أم ضعيفة فإنه لا توجد أية فرصة للاستفادة من القيمة المتوسطة خلال فترة زمنية أو مواقع مختلفة ، ولهذا فإن شددات الاشارات الأنية مختلفة من الترددات الـ 832 المختلفة.

لا يمكن التغلب دائماً على الخفوت بانتقاء بقعة إشارة قوية من أجل الوحدات المحمولة وذلك لاستخدام أقتية الأنظمة الخلوية ذاتها في اقامة الاتصال. يتكون انشاء القناة من تردد وصل أمامي وتردد وصل عكسي لوصول عودة المعلومات. تخصص قناة صوتية جديدة بمجرد اقامة الاتصال وتتكون أيضاً من ترددتين ليتمكن كلا الجانبين من التحدث على تردداتهما الخاصة وهذا ما يدعى بالنظام المزدوج.

في الوحدة المحمولة الخلوية يشير مؤشر الوحدة الى "خارج الخدمة" أو "في الخدمة" عند بقعة ذات إشارة ضعيفة أو قوية. بالرغم من أن إشارة قوية في بقعة معينة يمكن أن تخدم انشاء قناة الوصل الأمامية فإن البقعة نفسها يمكن أن لا تخدم بإشارة قوية لانشاء قناة الوصل العكسية أو قناة الوصل الصوتية المخصصة الجديدة الأمامية والعكسية بسبب الخفوت الانتقائي. لا يمكن ضمان اقامة اتصال كامل بضغط زر الارسال بمجرد عمل ضوء "في الخدمة" المبني على إشارة قوية لانشاء القناة عند الوحدة المحمولة. تنطبق الحالة نفسها عندما يتوقع مستمر الوحدة المحمولة مكاملة قادمة ويتبقى بقعة تظهر فيها شدة إشارة انشاء القناة الأمامية قوية. يمكن أن لا يستقبل المستمر المكاملة لأن بقعة الإشارة القوية لانشاء القناة الأمامية لا تنطبق مع تلك البقعة لانشاء القناة العكسية أو القناة الصوتية. تحدث هذه الحالة غالباً عند حدود الخلية حيث شدة الإشارة عادة أضعف.

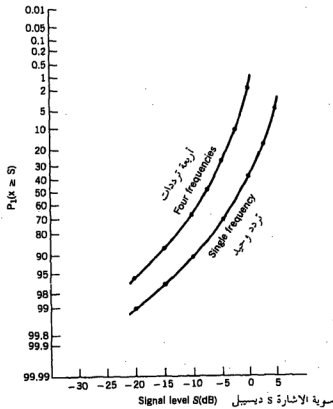


الشكل 7-11 النظام الخلوي المحمول - نظام الخفوت الانتقائي للترددات الأربعة.

يوضح الشكل 7-11 ظاهرة الخفوت الانتقائي للترددات الأربعة. لنفرض أولاً أن تردداً واحداً فقط مستخدم لوصل المكالمات عندئذ تكون المسافة الكلية المفيدة هي D . يشار إلى مسافات الفترات التي تكون فيها الإشارة فوق السوية S بالرمز D_1 . تكون النسبة المئوية لمجموع مسافات الفترات العاملة D_4 بالنسبة للمسافة الكلية D عالية في نظام التردد الواحد. ولكن عند استخدام الترددات الأربعة لاكمال المكالمات كما هو الحال في الأنظمة الخلوية التماثلية الحاضرة فإن النسبة المئوية لمجموع مسافات الفترات العاملة D_4 بالنسبة إلى D تصبح أقل بكثير (الشكل 7-11).

يمكن استخدام الحسابات الاحتمالية لإيجاد النسبة المئوية للإشارة فوق السوية S عند المقارنة بين نظام التردد الواحد ونظام الترددات الأربعة (انظر الشكل 8-11). يؤخذ على المحور x سوية الإشارة S وعلى المحور y النسبة المئوية للإشارة التي تتعدى السوية S . نجد من الشكل أن سوية إشارة S - ديسيبيل (تحت متوسط القدرة) تقابل 72٪ من مجموع الأماكن التي تكون فيها الإشارة المستقبلية أعلى من تلك السوية في نظام التردد الواحد ولكنها تقابل 27٪ فقط من مجموع الأماكن التي تكون فيها الإشارة المستقبلية أعلى من تلك السوية في نظام الترددات الأربعة. عند سوية إشارة 10 - ديسيبيل فإن 91٪ من الأماكن مقبولة في نظام التردد الواحد ولكن 69٪ منها فقط مقبول في نظام الترددات الأربعة. يمكن إصلاح هذه الظاهرة باستخدام ما يسمى بخطط التنوع.

في خطة التنوع تصبح الوحدة مستقبلاً ذات هوائي تنوع فراغى. تستخدم خطة التنوع لتخفيض مخفوت الإشارة بإضافة اشارتين خافتتين استقبلتا بهوائيين الى بعضهما. يكون فاصل الهوائى حوالي نصف طول الموجة تقريباً. عند التردد 850 م هـ يحتاج الى فاصل 6 انش فقط. يكون التحسن الذي يتم الحصول عليه عند السوية 5- ديسيبل في نظام الترددات الأربعة 72٪ من الأماكن ، وهى النسبة المثوية نفسها في نظام التردد الواحد بدون تنوع.



الشكل 8-11 النسبة المثوية للإشارة x فوق السوية S.

توجد عدة اعتبارات في ضبط النظام لنظام مختلط، أي اضافة نظام هاتف محمول إلى نظام أرضي متنقل.

1 - بما أن نظام الهاتف المحمول هو نظام ثلاثي الأبعاد فإن الوحدة المحمولة التي ترسل من الطابق العشرين يمكن أن تتداخل مع وحدة متنقلة عند مستوى الشارع. لهذا السبب يستخدم ضبط القدرة في محطة القاعدة لتقليل قدرة ارسال كل وحدة محمولة على اساس حركة اتصالات النظام والتداخل في النظام المختلط. يجب ان لا يسمح للوحدة المحمولة أو الوحدة المتنقلة بضبط قدراتها والا يمكن أن تحدث ظاهرة «حفلة خليط». كل واحد في الحفلة يجب ان يتحدث بصوت عالٍ حتى لو كان شريكه أو شريكها على بعد أقل من قدمين وذلك بسبب عدم وجود نظام تحكم مركزي لضبط ارتفاع صوت كل شخص. يمكن ان تحدث نفس الظاهرة في النظام الأرضي المنقول / المحمول اذا استخدمت الضوابط المحلية لضبط مستويات القدرة المرسلة. يتم في النظام المصمم جيداً تحكم جيد يضبط من قبل المكتب المركزي.

2 - يجب ان يعلم موقع كل وحدة محمولة بالضبط من محطة القاعدة أو من المكتب المركزي لكي يتمكن من تطبيق ضبط القدرة أو استراتيجية تعيين التردد لتجنب التداخل.

3 - من حيث المبدأ ان استخدام اجهزة ارسال استقبال منخفضة القدرة في الوحدات المحمولة يقلل امكانية التداخل ويوفر المدخرات لزمن أطول. كيف يمكن لنظام هاتف محمول منخفض القدرة ان يعمل خلال نظام أرضي متنقل؟ يمكن ان يكون الحل في استخدام المعيدات (مقويات الإعادة). يمكن ان يركب المعيد في البناء تماماً مثل المخرج الهاتفية في هذه الأيام. يستقبل المعيد الإشارة الراديوية من الوحدات المحمولة ويجد الطرق لايصالها إلى مكتب التبديل المتنقل بالخطوط السلكية. بما ان التخميد الناتج عن الاختراق إلى الأبنية يساعد في عزل التداخل من النظام الأرضي المتنقل فإن المعيدات المركبة داخل الأبنية تستقبل تداخلاً أقل.

11-3 اتصالات جو/أرض .

اتصالات جو/ أرض هي انظمة اتصالات متنقلة أيضاً إلا أن اعتبارات تصميم انظمتها تختلف كلياً عن الإتصالات الأرضية المتنقلة في كثير من الجوه مثل خسارة مسار الانتشار، وتداخل القناة الواحدة وخطط تخصيص التردد ومخططات تسليم الألفية.

نشرح فيما يلي اختلافات هذا النظام :

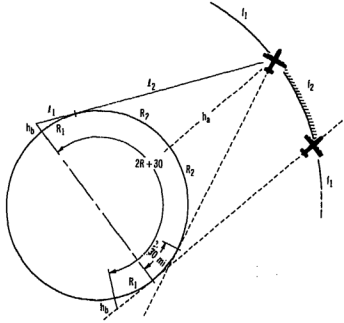
11-3-1 خسارة مسار الانتشار :

يكون المسار الراديوي بين الطائرة والأرض ضمن شروط خط نظر مباشر عادة وتتبع قاعدة خسارة المسار في الفراغ الحر وهي 6 ديسيبل / الضعف (انظر المعادلة 14-3-2) طالما كان المسار الراديوي بعيداً عن الأفق الراديوي . يمكن حساب الأفق الراديوي بالشكل :

$$R = \sqrt{2h_a} + \sqrt{2h_b} \quad 11-3-1$$

حيث R هي المسافة المقاسة على طول الأفق بالأميال ، h_a ارتفاع الطائرة فوق التضاريس المتوسطة بالأقدام h_b ارتفاع هوائي المحطة الأرضية فوق التضاريس المحلية بالأقدام كما هو مبين في الشكل 11-9. رسمت المعادلة 11-3 في الشكل 11-10، ويمكن أن تكون $R = R_1 + R_2$ كبيرة إذا كانت h_a عالية . إذا كانت الطائرة تطير مبتعدة عن محطاتها الأرضية وتدخل إلى منطقة انعراج الظل خلف الأفق الراديوي فإن الخسارة تكون حوالي 1,2 ديسيبل / الميل .

توجد منطقة عبور حوالي 20 ميلاً تحت الأفق تشير إلى خسارة 15-20 ديسيبل . يمكن إيجاد منحني خسارة الانتشار النموذجي في الشكل 11-11. تحدث في منطقة خط النظر المباشر ظاهرة حلقات فرينيل الناتجة عن جمع وإلغاء الأمواج المباشرة والمنعكسة عن الأرض. يمكن مشاهدة تغيرات في الاستقبال تصل حتى 10 ديسيبل في منطقة خط النظر المباشر بانتظام شديد . عند مقارنة التغيرات في الاستقطاب العمودي تكون عادة أقل مما هي في الاستقطاب الأفقي .



الشكل 9-11 احداثي نظام جو/ أرض

2-3-11 فاصل القناة الواحدة

بما أن ظاهرة الخفوت الناتجة عن منطقة فرينيل تحدث في اتصالات الجو إلى الأرض فان مطلب نسبة الإشارة إلى التداخل تبقى نفسها كما في النظام الأرضي المتنقل وهي 20-18 ديسيبل عند حد الخلطة 210 كم (130 ميل) . إذا فصل حد خلطة القناة الواحدة عن حد الخلطة الأخرى بمسافة 32 كم (20 ميل) خلف الأفق الراديوي يكون العزل الأصغري لنسبة الإشارة إلى التداخل 20 ديسيبل بين الخليتين الكبيرتين كما هو مبين في الشكل 11-11 ويكون فاصل القناة الواحدة عندئذ (لحالة وجود مسبب تداخل واحد) هو:

$$D = 2 \cdot R(h_a, h_b) + 20 \text{ (miles)}$$

2-3-11

بفرض وجود مسبب تداخل واحد يفهم ان المعادلة 2-3-9 تنطبق فقط على حالة وجود مسبب تداخل واحد لنفس القناة. في حالة وجود ستة مسببي تداخل لنفس القناة:

$$10 \log_{10} \frac{C}{I} = 10 \log_{10} \left(\frac{C}{\sum_{i=1}^6 I_i} \right) = 10 \log_{10} \frac{C}{6I_i} \quad 3-3-11$$

$$= 10 \log_{10} \left(\frac{C}{I_i} \right) - 7.78 \text{ dB}$$

أو

$$10 \log_{10} \frac{C}{I_i} \approx 28 \text{ dB} \quad 4-3-11$$

من الشكل 11-11 لأجل خسارة 28 ديسيبل يكون الفصل خلف الأفق الراديوي 48 كم (30 ميل)، لهذا يصبح فاصل القناة الواحدة D هو:

$$D = 2R(h_a, h_b) + 30 \quad (من أجل 6 تداخل) \quad 5-3-11$$

من كلا المعادلتين 2-3-11 و 5-3-11 وجد أن فاصل القناة الواحدة في نظام جو / أرض هو:

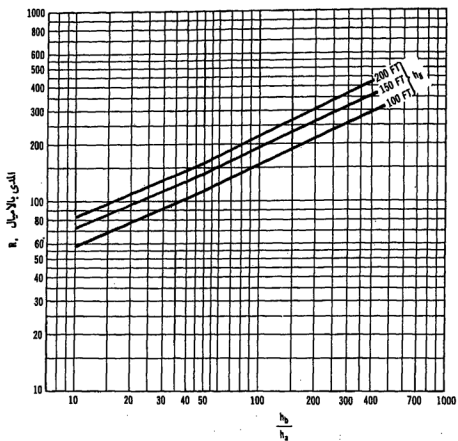
$$D/R \approx 2$$

6-3-11

تدل المعادلة 6-3-11 إلى أننا نحتاج إلى مجموعة من مخططات إعادة استخدام ترددين في نظام الاتصال جو / أرض.

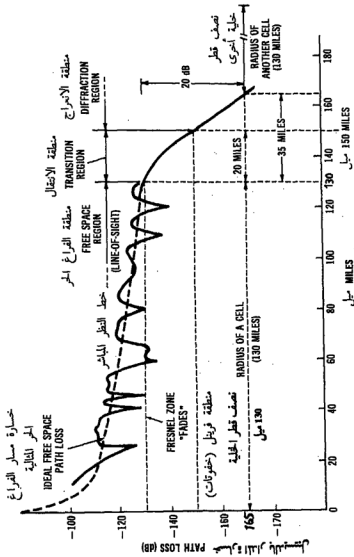
الجدول 3-11 ستة مناطق مقترحة للارتفاعات

المنطقة المدى	الارتفاع بالقدم	الارتفاع الوسطي (قدم)	نصف قطر الحلبة (ميل)	فاصل المحطة الأرضية للقناة الواحدة (ميل)	القدرة المرسلة في الطائفة (dB)
الأولى	تحت 2000	2000	R=77,4	D=184,78	0
الثانية	2000-5000	3500	97,8	222,61	4,86
الثالثة	5000-10000	7500	136,61	303,23	11,48
الرابعة	10000-20000	15000	187,35	404,69	17,50
الخامسة	20000-40000	30000	259,09	548,48	23,52
السادسة	40000 فأعلى	50000	330,37	690,74	27,96



الشكل 10-11

الأفق الراديوي رسم من الحسابات



الشكل 11-11 نموذج خسارة الخطوة في نظام جو/أرض.

3-3-11 اعتبارات تصنيف الارتفاعات في مناطق ارتفاعات

بما أن نصف القطر R لخلية في نظام اتصالات جو/ أرض تابع لكل من h_b, h_n فإنه يمكن أن يكون أكبر إذا ازداد ارتفاع h_b, h_n . وبهذه الشروط يجب أن تصنف مناطق ارتفاعات مختلفة لكي تخصص لها الترددات. اقترحت ستة مناطق في الجدول 3-11.

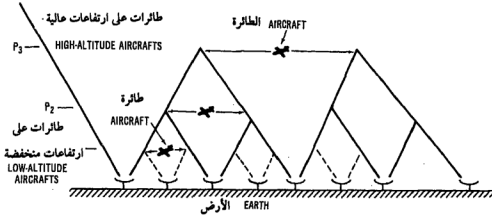
عندما يزداد ارتفاع الطائرة من منطقة إلى أخرى يصبح نصف قطر الخلية لنفس المحطة الأرضية أكبر في المنطقة الجديدة وتكبر خسارة مسار الانتشار بسبب علو الارتفاع.

لندرس فاصل المحطات الأرضية لهذا النظام. بالرغم من أن عامل تقليل القناة الواحدة $D/R = \alpha$ قريب من 2 دائماً فإن نصف قطر الخلية R المبين في المعادلة 6-3-11 يتغير نتيجة للارتفاع ويتغير بالتالي فاصل القناة الواحدة D وفقاً لذلك. في هذا النظام لا يستخدم فاصل القناة الواحدة D من أجل فاصل القناة الواحدة ولكن من أجل نظام جو/ أرض، بتعويض $h_b = 100\text{ft}$, $h_n = 2000\text{ft}$ في المعادلة 1-3-11 أو المعادلة 5-3-11 نحصل على:

$$R_1 = \sqrt{2 \times 2000} + \sqrt{2 \times 100} = 77.4 \text{ miles}$$

$$D_1 = 2 R_1 + 30 = 184.78 \text{ miles}$$

يحسب نصف قطر الخلية والمحطة الأرضية لنفس القناة على أساس الارتفاع الوسطي لكل منطقة مثلما وضعت في الجدول 3-11. من القيم الموضوعة في الجدول 3-11 يمكن تخطيط النظام الموضح في الشكل 12-11 باستخدام المواقع الأرضية المتنقلة المتوفرة. عندما تطير الطائرة بارتفاع منخفض تستخدم محطات أرضية أكثر مما تستخدم عندما تطير في مناطق عالية الارتفاع.



الشكل 11-12 تشكيلة نظام جو/ أرض

11-3-4 خطة تخصيص التردد وضبط القدرة

بما أن عامل تخفيض القناة الواحدة قريب دائماً من 2 فإنه يمكن تخصيص مجموعة واحدة فقط من الأقنية الترددية لكل منطقة. يجب استخدام محطات أرضية ملائمة لتسليم النداءات. يعتمد عدد الأقنية N في كل مجموعة أقنية ترددية على حركة اتصالات الجو. يمكن تخصيص قناة ترددية f_{ij} من المجموعة الترددية $\{f_i\}$ للطائرة في المنطقة I . I هو رقم القناة المخصصة في تلك المنطقة حيث $1 \leq I \leq N$. تتألف كل مجموعة قنوات ترددية من N زوجاً من الترددات. لكل زوج تردد مرسل وتردد مستقبل موافق له مخصصان للطائرة.

يكون التردد المرسل والتردد المستقبل في المحطة الأرضية بعكس ترددي الطائرة. يجب أن تفصل النطاقات الترددية المخصصة لإرسال المحطات الأرضية وإرسال الطائرات ببعد كافٍ لتجنب أي تداخل بين الإرسال والاستقبال.

يبلغ فرق القدرة المرسل بين طائرة في المنطقة الأولى وطائرة في المنطقة السادسة 28 ديسيبل . إذا ضبطت هذه القدرة في الطائرة فإن مستقبل المحطة الأرضية لا توجد عنده مشكلة تداخل الطرف القريب إلى الطرف البعيد . ومع إرسال المحطة الأرضية فإن مستقبلات الطائرات لا توجد لديها مشكلة تداخل الطرف القريب إلى الطرف البعيد ولا حاجة إلى ضبط القدرة في المحطة الأرضية .

يستخدم فاصل المحطة الأرضية في عملية تسليم الأقنية . وبما أنه بعد تركيب المحطات الأرضية لا يمكن أن تتحرك وأن فواصل المحطات المبنية على أساس ارتفاعات مختلفة للطائرات لا يمكن أن تضبط فإن المحطات الأرضية يجب أن تفصل نظامياً وفقاً لفواصل محطة القناة الواحدة D في المنطقة الأولى (تحت 304) م أو 2000 قدم) . لنفرض أن ارتفاع هوائيات المحطات الأرضية هو 30 م (100 قدم) وهو ارتفاع الهوائيات في النظام الأرضي المتنقل والذي يكون فيه فاصل الهوائي الأصغري حوالي 32 كم (20 ميلاً) ، غير أن معظم فواصل الهوائيات أقل من 20 ميلاً ، فهل يمكن استخدام هذه المصادر لنظام الاتصال جو / أرض ؟

تخصيص الترددات لكل منطقة :

لنفترض أن حركة الاتصالات معلومة مثلاً عدد المستثمرين $M=300$ في منطقة ما ولتكن المنطقة رقم I ومتوسط زمن المخاطرة للمستثمر هو $t = 1.76$ دقيقة ، نفس زمن المخاطرة في النظام الأرضي المتنقل . يكون حمل حركة الاتصالات A هو :

$$A = M \times \bar{t} = 300 \times \frac{1.76 \text{ min/call}}{60 \text{ min/hr}} = 8.8 \quad 7-3-11$$

مع احتمال عدم نفاذ 2% ($B = 0.02$) وإذا كانت $A = 8.8$ فيمكن إيجاد عدد الأقنية الترددية N_f للمنطقة I من الجدول 1-8 وهي $N_f = 15$.

إذن مجموعة من 15 قناة ترددية في واحدة من المحطات الأرضية الخاصة بالمنطقة I تلزم لحمل حركة الاتصال. يمكن إعادة استخدام الـ 15 قناة ترددية هذه في الخلية التالية بالاستناد إلى نصف قطر الخلية الذي يعتمد على ارتفاع الطائفة. مجموع عدد الأقنية الكلي في النظام هو:

$$N = \sum_{i=1}^6 N_i \quad 8-3-11$$

حيث يدل العدد 6 إلى 6 مناطق. عندئذ يجب تحريك محطتين أرضيتين لمسافة أقرب من $2R$ للحفاظ على استمرار المخاطرة عن طريق تسليم نفس القناة الترددية من محطة أرضية إلى المحطة التالية.

يحدث في بعض الأحيان تداخل القناة الواحدة إذا خصصت نفس القناة الترددية لطائرتين في خليتين قريبتين والطائرتان كانتا تقتربان من بعضهما، في هذه الحالة يجب على المحطة الأرضية أن تتصل باستعلامات الأقنية الترددية من الخلية القريبة وتخصيص قناة ترددية جديدة لإحدى الطائرتين قبل أن يصل ضمن مسافة القناة الواحدة.

ضبط القدرة

في نظام جو-أرض يجب أن نحل مشكلة تداخل الطرف القريب إلى الطرف البعيد في المحطة الأرضية بسبب الارتفاعات المختلفة للطائرات، إن مشكلة تداخل الطرف القريب إلى الطرف البعيد يسهل تناولها جداً في هذا النظام منه في النظام الأرضي المتنقل. بما أن ارتفاع الطائفة دائماً معلوم فإن القدرة المرسله يمكن ضبطها وفقاً لارتفاعات المناطق. أدرجت في الجدول 3-11 القدرة المرسله من الطائفة في المناطق المختلفة. جميع القدرات المرسله في المناطق الست مقيسة بالنسبة إلى القدرة المرسله في المنطقة الأولى وقد بينت فوارق القدرة على أساس قاعدة خسارة الفراغ الحر.

11-4 أنظمة الاتصالات المتنقلة الأرضية/ سواتل .

ابتدأت أنظمة الاتصالات الأرضية المتنقلة إلى السواتل تري أهميتها. يمكن أن تتوضع خدمات النظام في نطاق الترددات فوق العالية النطاق L و / أو النطاق Ku. عند تنفيذ هذا النظام يجب أن لا تتأثر احتياجات أو متطلبات النظام الأرضي المتنقل . سوف نناقش هنا خسارة المسار والضجيج والخفوت طويل الأجل وقصير الأجل بنظام الاتصال الأرضي المتنقل / السواتل . أما الاعتبارات الأخرى مثل حمل حركة الاتصالات والتداخل فيمكن أن توجد في كثير من كتب السواتل (مرجع رقم 8).

11-4-1 خسارة مسار الانتشار :

في اتصالات السواتل إلى الأرضية المتنقلة تعتمد خسارة المسار على الوضع النسبي للسائل في الفراغ مثال ذلك زاوية الارتفاع وزاوية الأفق - يرى الجدول 11-4 زاوية ارتفاع وزاوية أفق السائل 6-ATC (السائل للتطبيقات التكنولوجية - 6) مقاسة ، من مدن مختلفة مبينة في الجدول 11-4

الجدول 11-4

زاوية ارتفاع وزاوية أفق السائل 6-ATC في كل مدينة (° 140 غرب 0° شمال)

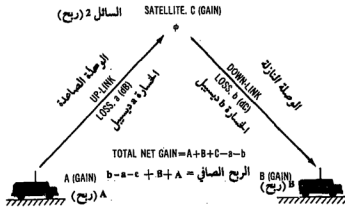
الموقع	زاوية ارتفاع السائل (بالدرجة)	زاوية افق السائل (بالدرجة)
شيكاغو	19	242
ديس مونس	23	238
شيبي	30	227
دنفر	32	228
بولدر	32	228
استن بارك	32	228
سولت ليك سيتي	35	219
رينو	40	210
سان فرانسيسكو	43	207

يبين الشكل 11-13 وصلة الاتصال من الوحدة المتنقلة إلى الساتل إلى الوحدة المتنقلة، يمكن الحصول على كامل الإشارة المستقبلية بأخذ القدرة المرسلة P_t وإضافة ربح الوحدتين المتنقلتين الأرضيتين والساتل لها وطرح خسارتي المسار الصاعد والمسار النازل:

$$P_r = P_t + (A + B + C - \alpha - b)$$

أما خسارة المسار المحسوبة من مسار الساتل - الوحدة المتنقلة (للمسار الصاعد أو المسار النازل) فهي:

خسارة المسار = خسارة خط النظر المباشر + خسارة المسار الإضافية (الناجمة عن بيئة الراديو المتنقل).



الشكل 11-13 نظام ساتل - وحدة متنقلة

خسارة خط النظر المباشر (LOS):

خسارة خط النظر المباشر = خسارة الفراغ الحر + الخسارة الناجمة عن الظروف المناخية. تؤخذ خسارة الفراغ الحر (FSL) من المعادلة 1-2-1 وتحول إلى شكل ديسيبل.

$$\begin{aligned}
 \text{FLS} &= 36.6 + 20 \log_{10} d_1 + 20 \log_{10} f_1 & \text{للمسار الصاعد} \\
 &= 36.6 + 20 \log_{10} d_2 + 20 \log_{10} f_2 & \text{للمسار النازل}
 \end{aligned}
 \quad 1-4-11$$

حيث d_i بالميل و f_i بالميجاهرتز، عندما تكون $d = 22\ 200\ \text{mi}$ و $f = 850\ \text{MHz}$ تكون FSL مساوية إلى 182 ديسيبل. إن التنبؤ النظري لخسارة مسار الفراغ الحر لأطراف أرضية ثابتة ومعزولة يمكن أن يكون ضمن أجزاء من الديسيبل. تحدد دقة التنبؤ بريح الهوائي والقدرة المرسلة واتجاه التوجيه. إلخ.

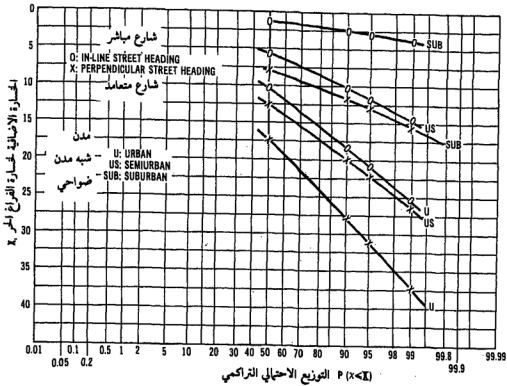
تبدأ الاشارات التي ترددها أعلى من النطاق c (5 جـ هـ) بالتخامد عند سقوط المطر ووجود الضباب والسحب والثلج. إلخ. ويتزايد مع تزايد التردد، تعمل عادة خسارة المسار نتيجة للظروف المناخية عندما يكون التردد العامل أقل من 5 جـ هـ.

الخسارة الإضافية للمسار.

تحدث الخسارة الاضافية للمسار عندما يكون هوائي الوحدة المتنقلة اخفض مما يحيط به وتحجب اشارة الارسال أو الاستقبال في معظم الوقت بالمنشآت الصناعية. يمكن أن يرى ذلك في الشكل 11-14.

يتشكل الشكل 11-14 بأخذ قطع كثيرة من بيانات التغطية على نطاق صغير، كل منها بطول يساوي مئات المرات من أطوال الموجة وينفس التأثير، مثال ذلك نفس وصلة المسار والتردد والبيئة، ثم تشكيل توزيع احتمال تراكمي باستخدام القيم الـ 90% الأعلى فقط من بيانات النطاق الصغير لهذا يمثل الشكل 11-14 تغطية احصائية على نطاق واسع. يبين الشكل 11-14 ان المنشآت الصناعية (في المدن والضواحي. إلخ) واتجاه الشارع بالنسبة لزاوية أفق الساتل هما العاملان الرئيسيان.

ان الفرق في خسارة المسار للاشارة المستقبلية في الوحدة المتنقلة بين منطقة مدن ومنطقة ضواحي عند سوية 90% (أي ان 90% من البيانات المستقبلية تقع فوق تلك



الشكل 14-11 الحسارة الإضافية للمسار في نظام اتصال ساتل / وحدة متنقلة .

السوية) هو 8 ديسيبل . ان الفرق في خسارة المسار عند السوية 90% في منطقة ضواحي (أو مدن) مقارنة بالاتجاهات المختلفة للشوارع (باتجاه مباشر مع الساتل أو عمودية عليه) هو 9 ديسيبل ، يصغر الفرق في خسارة المسار الناتج عن الاتجاهات المختلفة للشوارع عند السوية 30% ويزداد عند السوية 99% كما هو مبين في الشكل 14-11 .

إن اختلافات التردد وزوايا الارتفاع ومواقع الشوارع والفص الرئيسي لحزم الاشعة هوائيات الوحدات المتنقلة لها تأثير مهم على خسارة المسار كما هو مبين في الجدول 5-11 .

الجدول 11-5 معلمات ذات تأثير مهم

خسارة 1 ديسيبل	هوائي عمودي حزمته الاساسية باتجاه الساتل
خسارة 1,3 ديسيبل	الترددات بين 1,5 جـ هـ و 850 م هـ
خسارة 1,5 ديسيبل	موقع الشارع (مباشر ويتعد)
خسارة 1 ديسيبل	زاوية الارتفاع (19° - 43°)

يبين الجدول 11-6 الخسارات الاضافية المختلفة في بيئات واتجاهات شوارع مختلفة عند التردد 850 م هـ وزاوية ارتفاع الساتل 32°.

الجدول 11-6 لخسارة الاضافية (ديسيبل) (90% من بيانات التغطية على نطاق واسع)

البيئة	ضواحي	أرياف	مدن
اتجاه مباشر	2,5	10,5	19
الشارع متعامد	12	20	28

11-4-2 الضجيج

يتألف الضجيج من الضجيج الحراري والضجيج الخارجي، يتأثر الضجيج الحراري متناسباً مع درجة الحرارة المطلقة ($T^{\circ}K$ كلفن) وعرض نطاق الترددات (B).

$$P_n = kTB$$

مصادر الضجيج الداخلية والخارجية هي:

على الأرض: الضجيج الشمسي، ضجيج المجرة، ضجيج الجو، الضجيج الصناعي وضجيج التجهيزات.

في الساتل: ضجيج الشمس (إذا كان موجهاً نحو الشمس $T = 10^5 K$)، وضجيج المجرة، ضجيج الأرض وضجيج التجهيزات.

رقم الجدارة (G/T): بما انه مهم جداً لتجنب الخسارات وتقليل الضجيج عند طرف الاستقبال في الساتل وفي المحطة الأرضية، فمن المهم ان يدخل هوائي

الاستقبال والتجهيزات الالكترونية أقل ما يمكن من الضجيج . إن كفاءة الاثنين يعبر عنها عادة بنسبة الريح إلى درجة حرارة الضجيج وتدعى رقم الجدارة .

$$\text{Figure of merit} = G/T \text{ (db/K)} - \text{رقم الجدارة}$$

حيث G هو ربح الهوائي ومضخم التردد الراديوي (الناتج عن قطر الهوائي والتردد)، T هي درجة حرارة ضجيج نظام الاستقبال وتكون عادة في جهاز استقبال غير مبرد 316° كلفن (34° مئوية أو 109° فارنهايت) . في المحطة الأرضية يكون حجم الهوائي كبيراً $G/T > 0$ وفي محطة متنقلة $G/T < 0$ لأن حجم الهوائي المنقلص صغير.

11-3-4 الخفوت

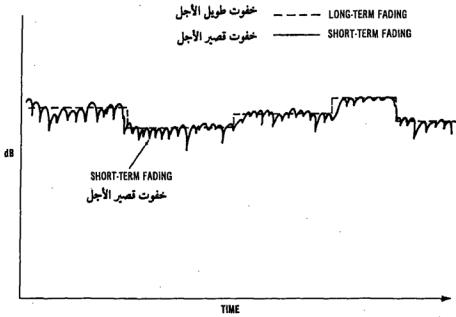
في اتصالات السواتل يمكن تصنيف ظاهرة الخفوت بأخذ نوعين: خفوت طويل الأجل وخفوت قصير الأجل . ان خصائص هذين النوعين من الخفوت تختلف عن تلك في الاتصالات الأرضية المتقلة (انظر الفصل 2) . يمكن وصف هذين النوعين من الخفوت كما يلي:

أ - الخفوت طويل الأجل:

ينتج الخفوت طويل الأجل عن اتجاه الشارع بالنسبة لزاوية أفق الساتل . في حالة الطريق المباشر يكون متوسط سوية الإشارة أعلى، وفي حالة التعامد يكون متوسط سوية الإشارة أقل، وتشبه سوية الإشارة تابعاً ذا قطع متدرجة بينت كغلاف للإشارة في الشكل 11-15. عندما يكون اتجاه الشارع مباشراً مع زاوية أفق الساتل تكون سوية الإشارة عالية وعندما يكون متعامداً مع زاوية أفق الساتل تكون سوية الإشارة منخفضة.

ب - الخفوت قصير الأجل: للخفوت قصير الأجل خاصيتان مختلفتان

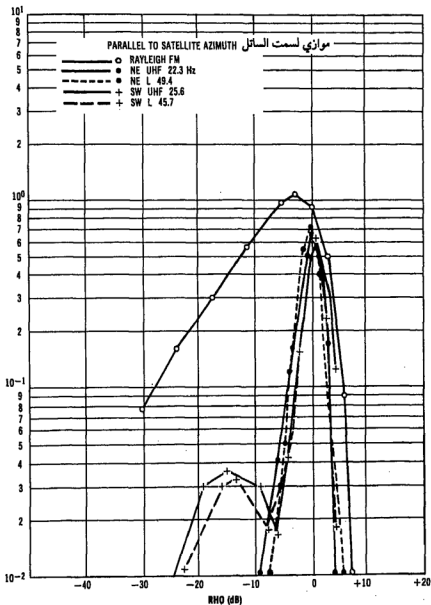
تعتمدان على اتجاه الشارع . عندما يكون اتجاه الشارع مباشراً مع زاوية أفق الساتل عندئذ توجد موجة مباشرة قوية وأمواج متعددة المسارات كثيرة وخفيفة تشكل توزيع رايسيان كما هو ظاهر في منحنى معدل تقاطع السوية في الشكل 11-16 أ. عندما يكون اتجاه الشارع متعامداً مع زاوية أفق الساتل عندئذ توجد موجتان غالبتان أحدهما مباشرة وسويتها أعلى بمقدار 5 ديسيبل عن سوية الاستقبال الكلية والأخرى باتجاه 180° وهي موجة منعكسة سويتها - 10 ديسيبل بالنسبة لسوية الاستقبال



الشكل : 11-15

الخفوت طويل الأجل في اتصالات السواتل - الوحدات المتنقلة .

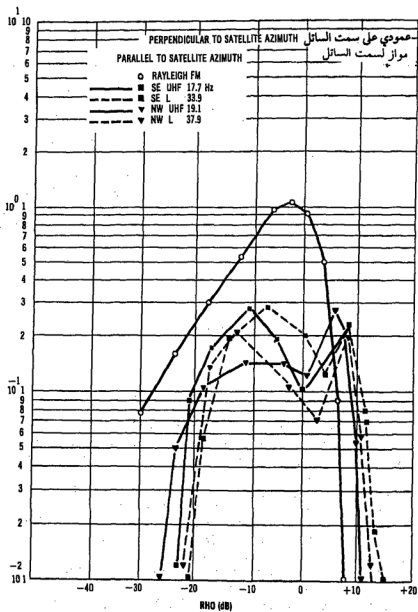
الكلية، وذلك بالإضافة إلى أمواج أخرى متعددة المسارات كما هو مبين في الشكل 11-16 ب .
انطلاقاً من هذه المفاهيم يمكن تصميم صيغة التشوير لتقاوم أنواع الخفوت هذه .



(A) Short-term fading with an in-line street heading condition.

(أ) حالة شارع مباشر

الشكل 11-16 الحفوت قصير الأجل في حالة شارع مباشر وحالة شارع عمودي



(B) Short-term fading with a perpendicular street heading condition.

(ب) حالة شارع عمودي

في اتصالات الساتل - الأرضي المتنقل وبالإضافة لتغيرات الاستقطاب الناتجة عن تأثير دوران فاراداي في الطبقة المتأينة هناك تبادلية في الاستقطاب من نوع لآخر نتيجة لبنية بيئة الراديو المتنقل . وهذا يستبعد استخدام نوعي الاستقطاب في الأمواج لزيادة سعة الأتنية . هناك حاجة لاستخدام مخطط تنوع لمقاومة الخفوت . يمكن استخدام التنوع الفراغي لمقاومة الخفوت قصير الأجل . وتوضع سواتل بأماكن مختلفة لتقليل الخفوت طويل الأجل . إن الفوارق الأساسية بين اتصالات الساتل - الأرضي المتنقل والاتصالات الأرضية المتنقلة هي خسارة المسار، بيئة الضجيج ، وخصائص الخفوت . عندما نفهم الفوارق تصبح معايير التصميم مباشرة وتعتمد على كتب تصميم السواتل .

المراجع

REFERENCES

1. Sass, P. F., "Propagation Measurements for UHF Spread Spectrum Mobile Communications," *IEEE Trans. Veh. Tech.* 32 (May 1983): 168-176.
2. Kozono, S., and K. Watanabe, "Influence of Environmental Buildings on UHF Land Mobile Radio Propagation," *IEEE Trans. Commun. Com-25* (Oct. 1977): 1113-1143.
3. Walker, E. H., "Penetration of Radio Signals into Building in the Cellular Radio Environment," *Bell Sys. Tech. J.* 62: 9, Pt. I (Nov. 1983): 2719-2734.
4. Sakamoto, M., S. Kozono, and T. Hattori, "Basic Study on Portable Radio Telephone System Design" (Paper presented at the IEEE Vehicular Technology Conference, San Diego, CA, 1982): 279-284.
5. Lee, W. C. Y., "In Cellular Telephone, Complexity Works," *IEEE Circuits & Devices*, Vol. 7, No. 1., Jan. 1991, pp. 26-32.
6. Hess, G. C., "Land-Mobile Satellite Excess Path Loss Measurements," *IEEE Trans. Veh. Tech.* VT-29 (1980): 290-297.
7. Reudink, D. O., "Estimates of Path Loss and Radiated Power for UHF Mobile-Satellite Systems," *Bell Sys. Tech. J.* 62: 8, Pt. 1 (1983): 2493-2512.
8. Spilker, J. J., Jr., *Digital Communicating by Satellite* (Prentice Hall, 1977).

ملحق مسائل على الفصول

الفصل الأول :

- 1-1 تظهر خصائص الخفوت المبيّنة في الشكل 2-1 أنه عندما تزداد سرعة العربة يتغير الخفوت بسرعة أكبر ، ماهي العلاقة بين تردد الخفوت وسرعة العربة ؟
- 2-1 عندما تكون العربة مستقرة في بيئة متعددة المسارات فهل يلاحظ مستقبل الوحدة المتنقلة خفوت الاشارة؟
- 3-1 عندما تكون سرعة العربة 96 كم/سا (60 ميل/ساعة) وتردد العمل 850 م هـ فما هو تردد الخفوت إذا كانت العربة تسير في بيئة متعددة المسارات ؟
- 4-1 ماهو الفرق بين المسار الراديوي ومسار الوحدة المتنقلة ؟
- 5-1 لماذا لا يمكن انشاء منحني خسارة المسار مباشرة من المعطيات المقیسة على المسارات الراديوية ؟
- 6-1 إذا كانت موجة قادمة واحدة وعمودية على منحى سير العربة فما هو تردد الخفوت ؟
- 7-1 ماهي ترددات الخفوت عندما تأتي موجتان بزاويتين θ_1 و θ_2 المبيّنة في الشكل م2-1 في الحالات التالية :
- الحالة 1 $\theta_2 = \theta_1$
- الحالة 2 $\theta_2 = -\theta_1$
- الحالة 3 $\theta_1 = 0^\circ$ و $\theta_2 = 90^\circ$
- 8-1 لماذا ينطبق مبدأ التعاكسية على شدة الاشارة وليس على نسبة الحامل/الضحيح (C/N) ؟
- 9-1 يمكن الحصول على الانحراف المعياري σ_p لتوزيع احتمال تراكمي طبيعي-لوغاريتمي من المعادلة 5-18 بمساعدة جدول التوزيع الطبيعي $P(z \leq z) = 90\%$ تأكد أن $\sigma_p = 3.87$ من الشكل 11-1 ؟
- 10-1 الترددان المفصولان عن بعضهما بأكثر من عرض نطاق التماسك B_0 يخضعان لخفوت اشارة غير مترابط ويختلف في مناطق الضواحي عنه في المدن . أي بيئة لها عرض نطاق تماسك B_0 أكبر ؟

الفصل الثاني :

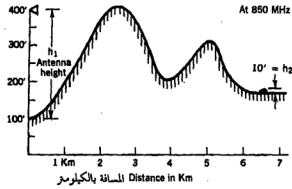
1-2 كيف يمكن الوصول الى الطول $2L$ المكافئ الى 20-40 طول موجة لحساب المتوسط المحلي؟ وضح لماذا يجب الحصول على معطيات شدة اشارة بنافذة $2L$ ؟
 2-2 كم عدد العينات المطلوبة من أجل 90٪ فترة ثقة = 2 ديسيبل ($CI=2dB$ 90%)؟
 3-2 يلاحظ تغيير في ارتفاع تضاريس محلية قدره 50 قدم . هل تعدّ هذه التضاريس وعرة إذا كان تردد العمل 850 م هـ وزاوية التماس 0.5 درجة (0.0087 راديان) .
 مع بقاء زاوية التماس نفسها وتغيير تردد العمل الى 85 م هـ هل ستعدّ هذه التضاريس وعرة .

4-2 تحقق من معاملات الانعكاس a_h و a_v في المعادلتين 2-3-7 و 2-3-8 على التوالي أن معامل الانعكاس يقرب دوماً من (-1) بغض النظر عن نوع التضاريس.
 5-2 إذا تغير ارتفاع الهوائي من 135 قدم الى 532 قدم فما هو ربح ارتفاع الهوائي؟ (لاحظ أنه يجب الحصول على ربح ارتفاع الهوائي باستخدام الارتفاع الفعال للهوائي)
 6-2 بمقارنة المنحنين المبينين في الشكل 2-19 وضح لماذا يكون الانحراف المعياري في التنبؤ من منطقة الى منطقة 8 ديسيبل بينما يكون في التنبؤ من نقطة الى نقطة 3-2 ديسيبل .

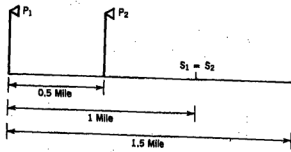
7-2 احسب خسارة الانعراج في الشكل س-2-1 . افترض ظرف منطقة ضواحي .
 8-2 هوائيا ارسال مبيّنات في الشكل س-2-2 قدرتهما P_1 و P_2 على التوالي . على مسافة ميل واحد الاشارتان $S_1 = S_2$ ، احسب الاشارتين S_1 و S_2 المستقبلتين على مسافة 1.5 ميل (طبق قاعدة 40 ديسيبل/العقد لخسارة المسار) .
 9-2 حدد الارتفاع الفعال للهوائي في الشكل س-2-3 . إذا كان النظام مصمماً استناداً الى الطول الحقيقي للهوائي فما هو ربح (خسارة) ارتفاع الهوائي عند موقع الوحدة المتنقلة نتيجة الارتفاع الفعال للهوائي ؟
 كم يجب أن يصبح ارتفاع الهوائي الجديد لتحقيق ربح اضافي للوحدة المتنقلة قدره 6 ديسيبل ؟

10-2 ارتفاع هوائي محطة القاعدة وموضع الوحدة المتنقلة المبينة في الشكلين س-2 و س-4 هي نفسها ، أما التضاريس بين محطة القاعدة والوحدة المتنقلة فهي مختلفة. أوجد الارتفاعات الفعالة للهوائيات في الشكلين س-2 و س-4، معاهو ربح (خسارة) ارتفاع الهوائي عند الموقع المتنقل نتيجة للاختلاف بين الارتفاع الفعال للهوائي وارتفاعه الحقيقي ؟

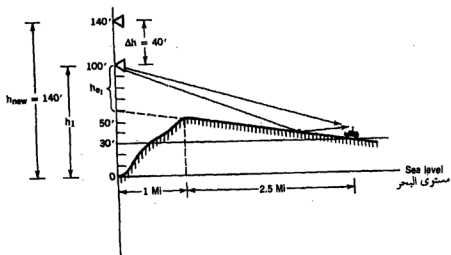
إذا كانت الوحدة المتنقلة سترى 6 ديسيبل إضافة لربح الارتفاع الحقيقي للهوائي فكيف يجب أن يصبح ارتفاع الهوائي الجديد ؟



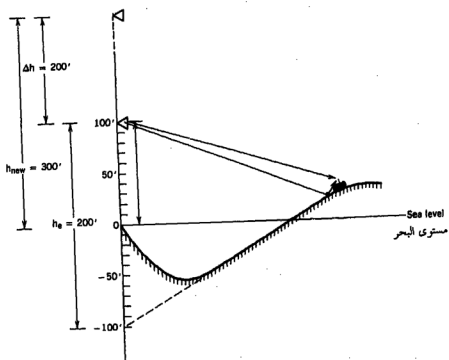
الشكل س 1-2



الشكل س 2-2



الشكل 3-2



الشكل 4-2

الفصل الثالث :

1-3 عندما تسير عربة بسرعة 35 ميل/سا وتستقبل الإشارة عند تردد 850 م هـ ، برهن أنّ معدّل عبور السوية عند السوية 10 ديسيل تحت متوسط سوية القدرة هو 35 تقريباً.

2-3 ماهو معدّل عبور السوية عندما تسير العربة بسرعة 50 ميل/ساعة ؟

ماهو معدّل عبور السوية عندما تسير العربة بسرعة 80 ميل/ساعة ؟

3-3 عندما تكون سوية العتبة 3 ديسيل تحت متوسط القدرة ، ماهو احتمال أن تكون فترة الخفوت أطول بـ 1.5 مرة من متوسط فترة الخفوتات \bar{t} ؟

4-3 لتكن $P_z = 0$ و $\tau = 0$. باستخدام المعادلة 11-3-1 أوحد الفاصل الزددي المطلوب للتتبع الترددي في منطقة ضواحي وفي المدن .

5-3 عند اضافة مدخل هوالبين على الوحدة المتنقلة ببساطة لايمكن تقليل خفوت الإشارة . لماذا ؟

6-3 وضح لماذا يمكن أن يكون معامل الارتباط المطلوب بين الإشارة المرغوبة وإشارة الدليل 0.5 في التعديل الترددي بينما في النطاق الجانبي الوحيد يجب أن يكون معامل الارتباط بين إشارة الدليل والإشارة المرغوبة 0.9998 كى تزال حالة الخفوت الضروري باستخدام الدليل .

7-3 تستقر طاقة التعديل الترددي العشوائى عند الترددات المنخفضة وبالذات تحت $f_{em} = 2\sqrt{\lambda}$. إذا كانت العربة تسير بسرعة 65 ميل/ساعة ، كم يجب أن يكون تردد التعديل الترددي العشوائى الذي يمكن اهمال الطاقة فوقه ؟ افترض أن تردد الحامل هو 850 م هـ .

8-3 عندما تسير الوحدة المتنقلة فإن كلاً من خفوت رايلى والتعديل الترددي العشوائى يؤثران في الإشارة المستقبلية عند الوحدة المتنقلة . عندما تستقر الوحدة المتنقلة ، فهل لايزال خفوت رايلى والتعديل الترددي العشوائى يؤثران في الإشارة المستقبلية ؟

9-3 إذا صمم ارسال المعطيات من أجل وحدة متنقلة فكم يجب أن يكون معدّل ارسال المعطيات الأدنى كى تتجنب التعديل الترددي العشوائى ؟ افترض أن سرعة سير العربة 65 ميل/ساعة ؟

10-3 كم يجب أن يكون حجم المنشأة الصناعية لتعد نائراً ، مقدراً بأطوال الأمواج ؟

الفصل الرابع :

1-4 في أكفة تساوي الشدة للخلية المبينة في الشكل س 1-4 ، أوجد المركز الافراضى ومتوسط نصف القطر . كيف تقاس النسبة D/R ؟
 2-4 بُني كبت تداخل القناة الواحدة على أساس C/I تساوي 18 ديسيبل أو أكبر. إذا كانت سوية الضجيج 20 ديسيبل تحت الاشارة ($C/N=20$ dB) فكم تكون النسبة

$$\frac{C}{N+I}$$

3-4 للمرشاح A ميل قدره 24 ديسيبل/الضعف والمرشاح B ميل قدره 15 ديسيبل/الضعف . يبعد f_2 عن f_1 مقدار 3 أمثال مسافة القناة . ماهو فاصل المسافة بين وحدة متنقلة بتردد f_2 ووحدة متنقلة بتردد f_1 ضمن الخلية إذا كانت الوحدة المتنقلة بتردد f_2 عند حدود الخلية التي نصف قطرها R ؟
 افرض أن المرشاح A قد استخدم في الودنتين المتنقلتين أولاً ثم المرشاح B.
 4-4 أوجد قدرة التعديل البيئي خلال محدد صارم لمدرجات الدرجتين الثالثة والخامسة .

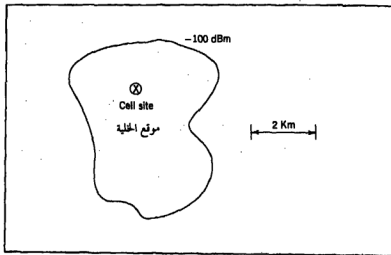
ماهى نسبة الاشارة الى ضجيج التعديل البيئي (الثالث والخامس) ؟
 5-4 إذا كان في الشكل 1-4 $C_b = -100$ dBm و $N_b = -119$ dBm ولكل من مسببي التداخل الستة $I_i = -121$ dBm أوجد قيمة :

$$\frac{C_b}{\left(N_b + \sum_{i=1}^6 I_i\right)}$$

6-4 إذا كانت $C_b = -100$ dBm و $I_i = -121$ dBm والنسبة :
 $C_b/(N_b + \sum_{i=1}^6 I_i) = 18$ فماهى سوية N_b ؟
 7-4 إذا كانت النسبة $C/N = 18$ dB بدون تداخل والنسبة $\frac{C}{N+I} = 15$ dB مع تداخل فكم تكون النسبة C/I ؟

8-4 إذا كانت $C/N = 18$ dB و $C/I = 16$ dB فماهى النسبة $\frac{C}{N+I}$ ؟
 9-4 أعطيت النسبة $\frac{C}{N+I} = 20$ dB والنسبة $I/N = 4$ dB . أوجد سوية C إذا كانت سوية N تساوي -120 dBm .

10-4 في بيئة تداعيل $\frac{C}{N+I} = 20 \text{ dB}$ فإذا كانت $N = -115 \text{ dB}_m$ و $I = -113 \text{ dB}_m$ فما هي قيمة C ؟



الشكل س 4-1

الفصل الخامس :

1-5 أوجد احتمال أن تقع وحدة متنقلة ضمن منطقة حلقة دائرية بين 9.6 و 11 كم (6 و 7 أميال) في خلية 11 كم وتداخل ضمن 4 كم من موقع الخلية. ماهي فرص حدوث هذه الحالة ؟

2-5 اذا كانت الوحدة المتنقلة تبعد 10 كم عن محطة القاعدة و 15 كم عن محطة تداخل القناة الواحدة أوجد نسبة الإشارة الى التداخل عند الوحدة المتنقلة ؟

3-5 اذا كانت الوحدة المتنقلة تبعد 10 كم عن موقع الخلية فكم يجب أن يبعد موقع تداخل القناة الواحدة لتكون نسبة الإشارة الى التداخل 20 ديسيبل ؟

4-5 بعد شطر الخلية N مرة يمكن انقاص القدرة المطلوبة بمقدار :

$$P_n = P_0 - N (12) \quad (\text{in dB})$$

استنتج هذه المعادلة .

$$5-5 \text{ استنتج علاقة القدرة } (P) \text{ بالحركة } (T) \text{ } \frac{P_0}{P_n} = \left(\frac{T_n}{T_0} \right)^2$$

6-5 لتكن النسبة $\frac{C}{I} = 18 \text{ dB}$ مطلوبة فما هي النسبة D/R المطلوبة في تصميم النظام

الخلوي ؟

7-5 لنأخذ حالة قناتين متجاورتين تقعان على جانبي القناة المرغوبة. تبعد القناة المرغوبة 8 كم والقناتان المجاورتان على بعد 16 كم. يفترض أن عزل القناة هو 15 ديسيبل بين القناتين المجاورتين فكم تكون نسبة الحامل الى التداخل المستقبلية على تردد القناة المرغوبة ؟

8-5 تستقبل اشارة بتردد 850 م هـ عند وحدة متنقلة بسرعة 90 كم/سا . ماهو تردد الحفوت ؟

9-5 لنفترض أن نظام قفز ترددي يقفز 10 ترددات وأن تسعة ترددات لها نسبة $C/I = 17 \text{ dB}$ بينما تردد واحد له نسبة $C/I = 9 \text{ dB}$. ماهي النسبة C/I الناتجة بعد القفز الترددي ؟

10-5 اذا كانت النسبة $\frac{E_b}{N_0} = 10 \text{ dB}$ والنسبة $\frac{C}{N} = 10^{-5} (-50 \text{ dB})$ استخدم المعادلة

$$\frac{C}{N} = \frac{E_b}{N_0} \times \frac{R_b}{B}$$

الفصل السادس :

- 1-6 صمّم تباعد هوائى التنوع باستخدام المعادلة $\eta = h/d$ في محطة القاعدة . لماذا يجب إيجاد تباعد الهوائى من معامل الارتباط 0.7 ؟ ماذا عن $p = 0.2$ ؟
- 2-6 لماذا يكون تباعد الهوائى في محطة القاعدة أكبر عندما يكون ارتفاع الهوائى أعلى ؟ اذكر السبب الفيزيائى .
- 3-6 لماذا يكون تباعد الهوائى في محطة القاعدة أكبر عندما يكون توجيه الهوائيين في اتجاه الوحدة المتنقلة ؟
- 4-6 عندما تتحرك الوحدة المتنقلة في الحقل يقاس الارتفاع الفعال لهوائى محطة القاعدة اعتماداً على موقع الوحدة المتنقلة . في أي نوع من التضاريس يكون الارتفاع الفعال للهوائى أكبر أو أقل من ارتفاعه الحقيقى ؟
- 5-6 بافتراض أن ارتفاع الهوائى 100 قدم وبعد الخلية ذات القناة الواحدة 4.6R حيث R نصف قطر الخلية ويساوى 4 أميال فما هو فرق القدرة بين الإشارة المستقبلية عند حدود الخلية وتلك المستقبلية من خلية القناة الواحدة إذا كان ميل الهوائى الى الأسفل في الشكل 6-6 هو 20° ؟
- 6-6 إن التباعد العمودي لهوائى تنوع غير مرغوب به . فسر لماذا ؟
- 7-6 فسر طبيعة التحديد المبينة في الشكل 10-6 . لماذا يحتاج التباعد العمودي الى مسافة أكبر من التباعد الأفقى للحصول على نفس معامل الارتباط ؟
- 8-6 استقبلت اشارتان من مستقبل بفرع تنوع . معامل ارتباط الاشارتين 0.64 إذا كانت الاشارتان متساويتين في الشدة ($I_1 = I_2$) او غير متساويتين في الشدة ($I_1 = 10 I_2$) فما هو احتمال أن تكون نسبة الحامل الى الضجيج أقل من 10 dB- (التي هى سوية القناة الأقوى تحت متوسط قدرتها) ؟
- 9-6 تسلم الإشارة بسوية 30 dB μ إلى مرابط حمل ذي ممانعة 75 أوم . ما هى السوية المكافئة بـ dBm ؟
- 10-6 يعطى هوائى بارتفاع 100 قدم وتباعد تنوع فراغى 9 قدم في القاعدة . قيس ارتفاع الهوائى الفعال في محطة القاعدة بالاستناد إلى موقع الوحدة المتنقلة الحالى فكان 40 قدم.
- هل يزداد ربح التنوع ؟ وكم ؟ إذا كان ارتفاع الهوائى الفعال 200 قدم فهل يزداد ربح التنوع ؟ ولماذا ؟

الفصل السابع :

- 1-7 فسر لماذا تتطلب خطة التنوع الفراشي ،فيزيائياً، تباعد هوائى أكبر في محطة القاعدة وتباعد هوائى أصغر عند الوحدة المتنقلة ؟
- 2-7 تصل موجتان إلى الوحدة المتنقلة . احدهما عمودية دائماً على منحى سير العربة . أوجد المعادلة البسيطة التى تشرح هذه الحالة .
- 3-7 هل يعتمد الفاصل الترددي المطلوب لخطة تنوع ترددي على التردد الحامل ؟
- 4-7 وجد أن الإشارة المستقبلية بهوائى مركب على السقف أقوى بمقدار 3 ديسيبل عن الإشارة المستقبلية بهوائى مركب على زجاج العربة . ماذا سيكون تأثير الهوائى المركب على السقف في نظام صمم طبقاً للنسبة $\frac{D}{R}$ حيث R نصف قطر الخلية استناداً إلى تغطية الهوائى المركب على الزجاج ؟

- 5-7 جسم العربة ناقل يمكنه تغيير أنماط موجات هوائى الوحدة المتنقلة . وكذلك يمكن للهوائى المركب على الزجاج أن يستقبل إشارة ضعيفة من أمام العربة وقوية من خلفها . فهل يمكن لأنماط موجات الهوائى غير المنتظمة أن تسبب مشاكل على استقبال الوحدة المتنقلة أو مشاكل في أداء النظام ؟
- 6-7 برهن أن متوسط شدة الإشارة المستقبلية من هوائى موجة عند الوحدة المتنقلة ثابت بغض النظر عن عرض شعاع الهوائى الموجه .
- 7-7 أوجد تردد الخفوت لأربع اشارات آتية من الاتجاهات الأربعة 0° و 90° و 180° و 270°
- 8-7 لماذا على القدرة المستلمة من خلال عطف سلكى أن يشارك فيها كامل عدد أقتية ذلك الحظ السلكى بينما لا تحتاج القدرة المستلمة من الفراغ إلى هذه المشاركة ؟
- تستقبل كل قناة كمية القدرة نفسها بغض النظر عما تستقبله بقية الأقتية من القدرة .
- 9-7 لماذا تقاس خسارة السلك بالديسيبل/قدم أو بالديسيبل/كم وتقاس الخسارة الراديوية بالديسيبل/الضعف أو بالديسيبل/العقد ؟
- 10-7 إذا كان عرض شعاع هوائى موجه صغيراً جداً ، لنقل 0.3° ، فهل يمكن استخدام الديسيبل/قدم أو بالديسيبل/كم للتعبير عن خسارة القدرة ؟

الفصل الثامن:

- 1-8 إذا كان طول كلمة 20 بتة ومعدل خطأ البتات P_b هو 10^{-2} ومسافة هامتنغ d هي 4 ، فما هو معدل الانذار الكاذب P_e ؟
 ماذا سيكون الفرق إذا استخدمنا $P_b = P_e$.
- 2-8 فسر لماذا يكون أداء الارسال بدون خطط الاعادة أسوأ في حالة الخفوت السريع عنه في حالة الخفوت البطيء . وبعد استخدام خطط الاعادة ينمكس أداء الارسال .
- 3-8 في نظام السبع خلايا لاعادة استخدام التردد في النظام الخليوي توجد 395 قناة صوتية تخصص لجميع الخلايا بالتساوي . إذا كان احتمال عدم النفاذ 2% فما هي الحمولة المقدمة بالارلنغ ؟ إذا كان متوسط زمن المحادثة (زمن الانشغال) 100 ثانية فكم عدد المكالمات التي يمكن خدمتها في ساعة الانشغال ؟
- 4-8 في خلية بثلاثة قطاعات تبلغ الأتنية الترددية الصوتية المخصصة للخلية 57 قناة . يخصص ثلث الأتنية لكل قطاع . ماهو الحمل المقدم بالارلنغ إذا كان احتمال عدم النفاذ 2% ؟
- 5-8 في خلية 5 كم نرغب أن نعالج 2000 محادثة في الساعة . لنفرض أن احتمال عدم النفاذ هو 1% ومتوسط زمن الانشغال 1.7 دقيقة فكم عدد الأتنية الراديوية المطلوبة ؟
- 6-8 لنفرض أن 60 قناة قد خصصت لخلية وأن نصف قطر الخلية 4 كم واحتمال عدم النفاذ 2% ومتوسط زمن الانشغال 100 ثانية فكم يكون عدد المستثمرين الذين يمكن خدمتهم بكل 100 قدم مربع ؟
- 7-8 ادرس النظام الموصوف في الشكل 8-8 . تستخدم الخلية الداخلية أتنية بـ 15 ك هـ وتستخدم الخلية الخارجية أتنية بـ 30 ك هـ . ماهي زيادة السعة بالمقارنة مع خلايا تستخدم فقط أتنية بـ 30 ك هـ ؟
- 8-8 في خطة المشاركة بالأتنية يبلغ عدد الأتنية الاسمية المخصصة في كل خلية 40 قناة ، وعدد أتنية المشاركة مع الخلايا الأخرى 20 قناة ، واحتمال عدم النفاذ 2% . أوجد محصلة الحمل المقدم وقارن بين الأحمال المقدمة في خطط المشاركة وخطط عدم المشاركة .
- 9-8 استنتج المعادلة 7-4-8 . إذا كانت $A = 40$ ارلنغ ، $B = 0.02$ فما هي القيم المقدرة لـ N_1 ، N_2 ؟
- 10-8 استنتج المعادلة 12-4-8 وبرهن أن المعادلة 15-4-8 صحيحة دائماً .

الفصل التاسع :

1-9 إذا تضاعف الازدحام فكم تبلغ خسارة الانتشار الإضافية من زيادة الازدحام؟
 2-9 إذا كان عرض نطاق إشارة عريضة النطاق ثلث الازدحام فماذا تكون خسارة الانتشار الإضافية ؟

3-9 إذا كان عرض النطاق 1.23 م هـ وامتداد وقت الانتشار في منطقة ضواحي 0.5 ميكرو ثانية فما هو العدد الفعال M لفرعات التنوع التي تتأثر بالإشارة المستقبلية مقارنة مع إشارة بعرض نطاق 30 م هـ

4-9 ينتشر عرض نطاق إشارة بتتابع مباشر من 10 ك هـ إلى 10 م هـ ، ماهو ربح العملية ؟ هل ربح العملية هو ربح حقيقي أم أنه يتحقق فقط عند ظهور التداخل ؟
 5-9 في نظام تعدد المنافذ بالتقسيم الزمني مصمم حديثاً بالاعتماد على نوعية الصوت المقبولة، تكون النسبة C/I المطلوبة 14 ديسيبل وعرض نطاق القناة 30 ك هـ بشقي زمن . ماهي السعة الراديوية لهذا النظام ؟

6-9 في نظام تعدد المنافذ بالتقسيم المرمز تبلغ النسبة المطلوبة dB $\frac{E_b}{N_0} = 7$ و ربح العملية 22 ديسيبل . إذا لم يتواجد ضبط قدرة أمامي فكم تكون أفضية المحادثات المتوفرة ؟

7-9 قارن بين السعات الراديوية لنظامين يشغل كل منهما النطاق نفسه يطلب من أحدهما نسبة dB $\frac{C}{I} \geq 22$ وعرض نطاق قناة 16 ك هـ ومن الآخر نسبة dB $\frac{C}{I} \geq 15$ وعرض نطاق قناة 35 ك هـ .

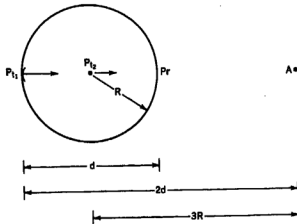
8-9 يستخدم نطاق 1.23 م هـ لنظام تماثلي بأفضية 30 ك هـ و dB $(C/I)_r \geq 18$ ويستخدم النطاق نفسه لنظام تعدد المنافذ بالتقسيم المرمز مع dB $\frac{E_b}{N_0} \geq 8$ و ربح عملية 22 ديسيبل . ضبط القدرة الأمامي في نظام تعدد المنافذ بالتقسيم المرمز غير مطبق، إذا استخدم كل من النظامين الخلايا ذات القطاعات الثلاثة فما هي نسبة السعات الراديوية لهذين النظامين ؟

9-9 إذا كان امتداد وقت الانتشار في بيئة ما كبيراً جداً، لنقل Δ تساوي 30 ميكرو ثانية ، عرض نطاق الإشارة ضيقة النطاق $B = 30 \text{ KHz}$ فهل لاتزال فروع تنوع النطاق العريض الفعالة المقربة في المعادلة 15-3-9 قابلة للتطبيق ؟ ما هو شرط تحقق المعادلة 15-3-9 ؟

10-9 هل تزداد فروع التنوع الفعالة في نظام تعدد المنافذ بالتقسيم المرمز في مناطق المدن أكثر منها في مناطق الضواحي ؟

الفصل العاشر :

- 1-10 ماهو الفرق بين نظام الخلية الصغيرة التقليدي ونظام الخلية الصغيرة الجديد ؟
- 2-10 يتألف نظام الخلية الصغيرة الجديد من ثلاث مناطق. بالاستناد الى حل ناخب المنطقة متساوية الاتجاهات المبين في الشكل 2-10 أوجد النسبة C/I في النظام .
- 3-10 لماذا يمكن تحسين كل من نوعية الصوت ومعامل اعادة استخدام التردد في الوقت نفسه في نظام الخلية الصغيرة الجديد ؟
- 4-10 لماذا يكون نظام الخلية الصغيرة ملائماً للوحدات المتنقلة ؟
- 5-10 ماهو نظام تسليم اشارة الخلية الصغيرة ؟
- 6-10 في حل ناخب المنطقة محرضة الطرف المبين في الشكل 3-10 أوجد النسبة C/I في النظام .
- 7-10 هل تُقيد السعة الراديوية إذا كانت سعة التوصيل الاجمالية محدودة؟ هل يتحدد نظام الخلية الصغيرة الجديد؟
- 8-10 تستقبل شدة الاشارة P_r من موقع منطقة محرضة الطرف P_t عند حد المنطقة على مسافة d . إذا حل مكان هذا الموقع موقع منطقة متساوية الاتجاهات ، نصف قطر المنطقة $R = d/2$ ، واستقبلت شدة الاشارة P_r نفسها عند الحد R فما العلاقة بين P_t و P_r ؟ عند النقطة التي تبعد $2d$ عن P_t و $3R$ عن P_t . أي من الموقعين P_t أو P_r سيتدخل أكثر من الآخر ؟ (انظر الشكل س10-1) .



الشكل س10-1

9-10 لماذا يمكن القول أن نظام الخلية الصغرية الجديد شفاف بالنسبة لأية تجهيزات موقع خلية ؟
10-10 أعطيت 60 قناة خصصت إما لنظام خلية صغرية أو لنظام خلية عامة ، احسب الساعات الراديوية لكلا النظامين بما فيها مردود التوصيل .

الفصل الحادي عشر :

- 1-11 لتمام معادلة هاتفية خلوية يطلب أربعة ترددات . إذا كانت الترددات الأربعة تعمل في بيئة خفوت انتقائي لماذا لا يتأثر أداء المحادثة في الوحدات المتنقلة ولكن يتأثر أداء المحادثة في الوحدات المحمولة ؟
- 2-11 لنفرض أن جميع أقتية الترددات الأربعة لها متوسط القدرة نفسه عند استقبالها في الوحدة المحمولة. تبلغ النسبة المئوية لأحد الأقتية فوق سوية العتبة وهي 10- ديسيل (10 ديسيل تحت سوية متوسط القدرة) حوالي 90٪ . ماهى النسبة المئوية إذا كانت جميع الأقتية الأربعة المستقلة فوق العتبة ؟
- 3-11 هل يمكن استخدام التغطية الأرضية للوحدة المحمولة لتصميم نظام وحدة محمولة ؟ كيف ترسم التغطية بالأبعاد الثلاثة لنظام وحدة محمولة ؟
- 4-11 يختلف نفاذ الإشارة في الأبنية باختلاف المدن ، لماذا ؟
- 5-11 يمكن لاتصالات جو-أرض أن تستخدم الأقتية وحيدة النطاق لكن اتصالات أرض-وحدات متنقلة لايمكنها ذلك، لماذا؟
- 6-11 إذا كان ارتفاع برج هوائى 200 م وارتفاع هوائى وحدة متنقلة 3 م فكم يبلغ الأفق الراديوي ؟
- 7-11 في نظام اتصالات سائل يستخدم سائلاً مستقراً بالنسبة للأرض عند منطقة خط عرض عالي (بعيدة عن خط الاستواء) بين أن الإشارة المستقبلية من اتجاه الساتل أقوى من الإشارة المستقبلية من اتجاه شارع متعامد .
- 8-11 في نظام سائل مستقر بالنسبة للأرض، ماهى علاقة مدار الساتل بالنسبة للأرض؟
- 9-11 ماهو زمن التأخير لاستجابة سائل مستقر بالنسبة للأرض بعد أن يرسل إشارة الى الساتل ؟
- 10-11 ماهو ارتفاع سائل يرى في السماء مرتين في اليوم وماهو زمن تأخر الاستجابة بعد ارسال إشارة الى الساتل ؟

مسرد المصطلحات

A

Abscissa	احداثي أفقي (احداثي السينات)
Adaptability	تَكْيُفِيَّة
Allowance	سماح
Amplitude	اتساع
Analogue	تمثيلي
Array	صفيف
Assignment	تخصيص
Attenuation	توهين (تخامد)

B

Band	نطاق
Baseband	نطاق أساسي
Bias	انحياز
Binary	ثنائي
Bit	بت
Block	كتلة - سد - عدم النفاذ
Block probability	احتمالية عدم النفاذ
Broadside	مستعرض - عرضي - جانبي - عريض
Buffer	حائل - وسيط
Buffer store	مخزن حائل

Burst	رشفة
Burst error	أخطاء الرشق

C

Cell	خلية
Cellular	خلوي
Cellular concept	المفهوم الخلوي
Code	رمز - شفرة
Chip	جذاذة - رقاقة - شريحة
Coded	مرمّز - مشفّر
Coder	مرمّز - مشفّر
Coding	ترميز - تشفير
Coherence	تماسك
Coherence band	نطاق التماسك
Coherence band width	عرض نطاق التماسك
Coherent	متماسك
Combiner	مضمام - مجمع
Combining	ضمّ - جمع
Components	مركّبة - مركّبات
Configuration	تشكيلة
Contour	كفاف - ج أكفة
Conversion	تحويل
Correlation	ارتباط

Correlator	رابط
Coupler	قارن
Coupling	اقتران
Criterion	معيار
Crossing	تقاطع
Cross product	جداء متجهي - ضرب تصالي
Crosstalk	لغظ

D

Data	معطيات - بيانات
Decade	عقد
Delay	تأخر
Delay spread	تمديد التأخر - وقت الانتشار
Despread	فك النشر
Detect	يكشف
Detection	كشف
Detector	مكشاف
Diffuse	ينتشر
Diffused Reflected wave	موجة منعكسة انتشاراً
Digit	رقم
Digital	رقمي
Digitize	يُرقِّم
Digitized	مُرقِّم

Digitizing, Digitization	رَقْمَنَه
Dipole	ثنائي الأقطاب
Dispersion	تشتت
Dispersive	مشتت
Distortion	تشوه
Disturbance	اضطراب
Diversity	تنوع
Duration of fade	مدة (فترة) الخفوت

E

Efficiency	كفاءة - مردودية
Energy	طاقة
Envelope	غلاف
Environment	بيئة - محيط
Environmental	بيئي - محيطي
Ergodic	ارغودي - صادق التمثيل افتراضاً
Equalizer	مُسَوِّي - مُسَوِّ

F

Fade	خفوت
Fading	خفوت
Field	حقل
Fluctuation	تأرجح - تراوح

Format	نسق
Forword link	وصلة أمامية
Frame	رتل - اطار
Frequency	تردد
Frequency Division	تعدد الارسال بالتقسيم
Multiplexing F.D.M	الترديدي
Frequency hopping	قفز ترددي
Function	تابع - دالة - وظيفة
Functional	وظيفي

G

Gain	كسب - ربح
Guard-time	وقت الحراسة - زمن الحماية

H

Hand off	تبديل القناة
Hard	قاسي - صلب - صارم
Hard limiter	محدد صارم
Hardware	عتاد
Humming	همهمة
Hybrid	هجين - قارن هجين

I

Impedance	ممانعة
-----------	--------

Inline	مباشرة
Input	دخل - مدخل
Interference	تداخل
Interferer	متدخل (مسبب التداخل)
Intermodulation	تعديل بيني - تشكيل بيني
Inter symbol	بين الرموز
Inter- symbol interference	تداخل بين الرموز
Intrinsic	ذاتي - مميز
Intrinsic impedance	ممانعة ذاتية/مميزة

L

Lead	تقدم
Level	سوية - مستوى
Link	وصله
Lobe	فص
Lag	تخلف - تأخر
Long - term	طويل الاجل
Loss	خسارة

M

Macro cell	خلية رئيسية
Majority-voting	تصويت الغالبية
Man - made	صنعي - اصطناعي
Man-made noise	ضجيج اصطناعي

Mask	حجاب - قناع
Match	يوالم
Matching	مواصة
Mean	متوسط
Merit	جدارة
Merit figuer	رقم الجدارة
Micro cell	خلية صغرىة
Mode	أسلوب
Model	نموذج
Modulation	تعديل - تشكيل

N

Noise	ضجيج - ضوضاء
Normalization	تَقْيِيس - تَطْبِيع
Normalize	يُقْيِيس - يُطْبِيع
Normalized	مُقْيِيس - مُطْبِيع
Notch	ثلمة

O

Octave	ضعف
Optimum	أمثل
Output	مخرج - مخرج
Over lapping	تراكب

P

Parameter	مُعْلَمَة
Parity	تعادلية - تطابق
Path	مسار - مسير
Pattern	نمط - نموذج
Peak	ذروة - قمة
Penetration	اختراق
Performance	أداء
خدمة الاتصالات الشخصية	
Personal communication service	
Power	قدرة
Pointing	تسديد
Procedure	اجراء
Propagation	انتشار
Propagation delay	تأخر الانتشار
Propagation loss	خسارة الانتشار

R

Range	مدى
Reciprcal	مقلوب - عكسي - تبادلي
Reciprocity	تبادلية
Regular	نظامي
Relay	مرحل
Relaying	ترحيل

Site	موقع
Slot	شق
Soft	لين - مرن
Software	برامج
Spacing	مباعدة
Spatial - domain	المجال الحيزي/الفراغي
Specular reflected wave	موجة منعكسة مرآوياً
Split	شطر - انشطار
Spot beam antenna	هوائي بقعي الاشعاع
Spread	نشر - امتداد
Spread spectrum	طيف ممتد/منتشر
Spurious	هامشي - زائف
Spurious emission	بث هامشي/زائف
Standard	قياسي - مرجعي
Standing wave	موجه مستقرة
Stream	انسياب - دفق
Suppression	كبت
Switch	مبدل
Switching	تبديل

T

Terrain	تضاريس الأرض
Throughput	انتاجية - تدفق

Response	استجابة
Reverse link	وصلة عكسية
Root-Mean-Square	جذر متوسط التربيع R.M.S.
Run	تدفق - دفقة

S

Sample	عينه
Sampled	مُعتان
Sampling	اعتيان
Satellite	ساتل - تابع صناعي
Scale	تدرج - مقياس
Scatter, Scattering	انتشار
Scattered	متناثر
Scatterer	ناثر
Sequence	سلسلة - تتابع
Sectorization	تجزئ
Seperation	فصل
Short-term	قصير الاجل
Selector	ناخب
Signal	اشارة
Signalling	تشوير
Simulcast	البث/الارسال بآن واحد
Single-side-band-modulation	تعديل/تشكيل نطاق جانبي وحيد
S.S.B.M.	

	تعدد الإرسال بالتقسيم الزمني
Time division multiplexing T.D.M	
Time delay spread	امتداد وقت الانتشار (نشر التأخير)
Time domain	المجال الزمني
Transient	عابر
Transponder	مرسل مستجيب
Typical	نموذجي - نوعي

V

Variance	تغير - تفاوت - تباين
Vector	متجه

W

Weighting	موازنة - ترجيح
White noise	ضجيج أبيض - ضوضاء بيضاء
Wide band	نطاق عريض

الفهرس

الصفحة	الفصل الأول
11	1 - محيط الإشارات الراديوية المتنقلة
13	1-1- تمثيل الإشارة الراديوية المتنقلة
13	1-1-1- وصف محيط الإشارة الراديوية المتنقلة
15	1-2- تمثيل شدة الحقل
17	1-3- تمثيل الإشارة الراديوية المتنقلة
17	1-2- أسباب الخسارة في الانتشار
18	1-3- أسباب الخفوت
19	1-3-1- الخفوت طويل الأجل $m(t)$ أو $m(x)^2$
22	1-2-3- الخفوت قصير الأجل $ro(t)$ أو $ro(x)^2$
28	1-3-3- تصنيف الألفية
30	1-4-3- تأثير المناخ
32	1-4- مبدأ التعاكسية
33	1-5- تعريف المصطلحات الضرورية وتطبيقاتها
33	1-5- المتوسطات
37	1-2-5- دالة الكثافة الإحتمالية (pdf)
24	1-3-5- التوزيع الإحتمالي التراكمي (CPD)
46	1-4-5- معدل تقاطعات المستوي (Lcr) ومتوسط دوام الخفوت (adf)
48	1-5-5- الارتباط وطيف القدرة
55	1-6-5- نشر التأخير، عرض نطاق التماسك، التداخل بين الرموز
59	1-7-5- فترة الثقة
60	1-8-5- معدل الإنذار الكاذب ومعدل خطأ الكلمات
62	المراجع

الفصل الثاني

- 63 2- التنبؤ بخسارة الانتشار
- 65 2-1- فلسفة التنبؤ بخسارة الانتشار
- 65 2-2- الحصول على معطيات مفيدة لخسارة الانتشار من القياسات
- 56 1-2-2- تحديد الطول L
- 67 2-2-2- تحديد عدد العينات المطلوبة للطول 40λ
- 69 2-2-3- مسار الوحدة المتنقلة والمسار الراديوي
- 72 2-3- التنبؤ فوق أرض منبسطة
- 72 2-3-1- إيجاد نقطة الإنعكاس على الأرض
- 73 2-3-2- تصنيف وعورة الأرض
- 77 2-3-3- معامل انعكاس الموجة الأرضية
- 78 2-3-4- نماذج التنبؤ عن خسارة مسار الانتشار
- 78 2-3-5- النموذج النظري لخسارة المسار
- 78 2-3-6- نموذج التنبؤ بخسارة من منطقة إلى منطقة
- 89 2-3-7- نموذج أو كومورا وغيره
- 91 2-3-8- العلاقة العامة لخسارة المسار في بيئات مختلفة
- 93 2-4- التنبؤ من نقطة إلى نقطة (تنبؤ خسارة المسار فوق منطقة هضبية)
- 93 2-4-1- التنبؤ من نقطة إلى نقطة في شروط غير معيقة
- 103 2-4-2- التنبؤ من نقطة إلى نقطة في بيئة معيقة - خسارة الظل
- 105 2-5- العوامل الأخرى
- 107 2-5-1- أثر النباتات
- 810 2-5-2- اتجاه الشارع والأثر القنوي
- 109 2-5-3- تأثير النفق والممر الأرضي
- 110 2-6- فائدة التنبؤ من نقطة إلى نقطة

- 112 7-2- نموذج تنبؤ الخلية الصغيرة
118 المراجع

الفصل الثالث

- 123 3- حساب الخفوتات وطرق تقليلها
125 3-1- خفوت الاتساع
125 3-1-1- معدلات تقاطع المستوى
130 3-1-2- متوسط فترة الخفوت
132 3-1-3- توزيع فترات الخفوت
134 3-1-4- ارتباط الغلاف بين هوائيين قريبين من بعضهما على وحدة متنقلة
135 3-1-5- طيف القدرة
138 3-2- التعديل الترددي العشوائي والتعديل الترددي
138 3-2-1- الطور العشوائي $\psi_r(t)$
139 3-2-2- التعديل الترددي العشوائي $\psi_r(t)$
141 3-3- الخفوت الانتقائي والتعديل الترددي العشوائي الانتقائي
141 3-3-1- الخفوت الانتقائي
142 3-3-2- التعديل الترددي العشوائي الانتقائي
142 3-4- أنظمة التنوع
143 3-4-1- التنوع الموسع (ينطبق على هوائيات منفصلة)
144 3-4-2- التنوع الدقيق (ينطبق على هوائيات متقاربة في نفس الموقع)
146 3-5- تقنيات الضم
146 3-5-1- تقنيات الضم في أنظمة التنوع
151 3-5-2- تقنيات الضم لتقليل الطور العشوائي
153 3-6- معدل خطأ البتات ومعدل خطأ الكلمات في بيئة الخفوت
153 3-6-1- في بيئة ضجيج غوص

- 154 3-6-2- في بيئة خفوت رايلي
157 3-6-3- تنوع الارسال لتقليل الخطأ
160 3-6-4- معدل خطأ البتات الأصغر (غير القابل للتقليل)
160 3-6-5- معدل خطأ البتات الاجمالي
163 3-7- حساب شدة الإشارة فوق سوية محددة في (خلية وحدة متنقلة مستقرة)
166 3-8- تعديل نطاق جانبي وحيد
170 المراجع

الفصل الرابع

- 171 4- تداخل الراديو المتقل
173 4-1- بيئة محدودة الضجيج ومحدودة التداخل
173 4-1-1- بيئة محدودة الضجيج
173 4-1-2- بيئة محدودة التداخل
173 4-2- تداخل القناة الواحدة والقناة المجاورة
173 4-2-1- تداخل القناة الواحدة
175 4-2-2- تداخل القناة المجاورة
179 4-3- التعديل البيئي
179 4-3-1- من خلال مضخم قدرة
183 4-3-2- من خلال محدد صلب (صارم)
186 4-4- نسبة اشارة الطرف القريب الى الطرف البعيد
189 4-5- التداخل بين الرموز
190 4-6- تداخل البث بآن واحد
192 4-7- انصاف اقطار النواثر المحلية
195 المراجع

الفصل الخامس

- 197 5- خطط الترددات ومخططاتها المرافقة
- 199 5-1- مخططات الاقنية المخصصة واعادة استخدام الترددات
- 199 5-1-1- مخططات الاقنية المخصصة
- 201 5-1-2- اعادة استخدام الترددات
- 202 5-2- تعدد الارسل بالتقسيم الترددي (F D M)
- 203 5-2-1- كبت اشارة تعدد الارسل بالتقسيم الترددي
- 205 5-2-2- تشوه اشارة تعدد الارسل بالتقسيم الترددي
- 210 5-3- تعدد الارسل بالتقسيم الزمني (T D M)
- 211 5-3-1- مخازن تعدد الارسل بالتقسيم الزمني
- 211 5-3-2- زمن الحيطه في تعدد الارسل بالتقسيم الزمني
- 213 5-3-3- معدل البتات ومعدل الأرتال
- 213 5-3-4- كفاءة نظام تعدد الارسل بالتقسيم الزمني
- 215 5-4- الطيف المنشور والقفز الترددي
- 215 5-4-1- الطيف المنشور
- 218 5-4-2- انظمة القفز الترددي
- 224 5-5- المفهوم الخلوي
- 224 5-5-1- إعادة استخدام التردد والفاصل الخلوي
- 226 5-5-2- تبديل القناة
- 227 5-5-3- انقسام الخلية وتخفيض القدرة
- 228 5-5-4- تخفيض نسبة تداخل الطرف القريب الى الطرف البعيد
- 231 5-6- المردود الطيفي والمخطط الخلوية
- 231 5-6-1- أنظمة عرض نطاق القناة المتعدد
- 238 5-6-2- خطة الانحراف بثلاث القناة

240 5-6-3- تطبيق على نظام مختلط

242 المراجع

الفصل السادس

243 6- معلومات التصميم في محطة القاعدة

245 6-1- مواقع الهوائيات

247 6-2- مباعدة الهوائيات وارتفاعها

249 6-2-1- الاعتماد على توجيه الهوائي

249 6-2-2- الاعتماد على ارتفاع / فاصل الهوائي

254 6-2-3- الاعتماد على التردد

254 6-3- تشكيلات الهوائيات

254 6-3-1- الهوائيات الموجهة

255 6-3-2- تشكيلة الهوائي المائل

258 6-3-3- تشكيلة هوائيات التنوع

259 6-3-4- تعليقات على الفصل الشاقولي

263 6-3-5- الاعتبارات الفيزيائية في الفصل الأفقي

265 6-4- بيئة الضجيج

265 6-4-1- ضجيج محرك الآلية

267 6-4-2- ضجيج خطوط الطاقة والضجيج الصناعي

269 6-5- تحويلات القدرة وشدة الحقل

270 6-5-1- التحويل بين μdB و dBm في تقديم القدرة

272 6-5-2- العلاقة بين شدة الحقل والقدرة المستقبلية

273 6-5-3- علاقة تحويل بسيطة

275 المراجع

الفصل السابع

- 277 7- معلمات التصميم في الوحدة المتنقلة
- 279 1-7- ارتفاعات الهوائيات والمباعدة بينها
- 285 2-7- الوحدة المتنقلة في حالة الاستقرار والحركة
- 283 3-7- العينات المستقلة ومعدل الاعتيان
- 284 4-7- الهوائيات الموجهة مقابل مخططات التنوع
- 284 1-4-7 الهوائيات الموجهة
- 287 2-4-7 مخططات التنوع للوحدات المتنقلة
- 288 3-4-7 الفرق بين صفيح الهوائي الموجه ومخططات التنوع الفراغي
- 290 5-7- اعتمادية التردد واستقلاليته
- 290 1-5-7 اعتمادية التردد العامل على التنوع الفراغي
- 290 2-5-7 استقلالية التردد العامل عن التنوع الوددي
- 292 6-7- بيئة الضجيج
- 296 7-7- توصيلات الهوائي وتوضعة على الوحدة المتنقلة
- 296 1-7-7 موازنة الممانعة عند وصلة الهوائي
- 299 2-7-7 موضع الهوائي على جسم العربة
- 300 3-7-7 التركيب العمودي
- 300 8-7- هوائيات تنوع مكونات الحقل
- 301 1-8-7 هوائيات كثافة الطاقة
- 302 2-8-7 هوائي تنوع الإشارات غير المترابطة
- 304 المراجع

الفصل الثامن

- 305 8- التشوير وبلوغ القناة
- 307 1-8- معايير تصميم التشوير

307	8-2- معدل التنبيه الخاطئ
308	8-3- معدل خطأ الكلمات
309	8-3-1- في بيئة غوص
313	8-3-2- في بيئة رايلي
313	8-3-3- حالة خفوت سريع في بيئة خفوت رايلي
320	8-3-4- حالة خفوت بطيء في بيئة خفوت رايلي
321	8-3-5- مقارنة بين حالة خفوت بطيء وحالة خفوت سريع
322	8-4- تخصيص القنوات
322	8-4-1- تخصيص القناة الواحدة
326	8-4-2- تخصيص القناة ضمن خلية
326	8-4-3- المشاركة بالقناة
329	جدولي إيرلنغ C , B
345	8-4-4- استعارة القناة
346	8-5- اعتبارات سعة التبديل
347	المراجع

الفصل التاسع

349	9- تعدد المنافذ بالتقسيم المرمز (الشفري) في النظام الخلوي Cellular CDMA
351	9-1- لماذا تعدد المنافذ بالتقسيم المرمز(الشفري)
351	9-2- انتشار الموجه الضيقة النطاق
	9-2-1 - خسارة المسار الإضافية لانتشار موجة مستمرة (ضيقة النطاق)
353	في بيئة راديو متنقل
354	9-2-2- خصائص خفوت تعدد المسارات
355	9-2-3- امتداد وقت الإنتشار
356	9-3- انتشار إشارة عريضة النطاق

- 357 1-3-9 حسارة مسار اشارة عريضة النطاق في بيئة راديو متنقل
- 360 2-3-9 خفوت الإشارة عريضة النطاق
- 361 4-9 العناصر الرئيسة في تصميم النظام الخلوي
- 363 5-9 تقنيات التمديد (النشر) في التعديل
- 363 1-5-9 تقنيات الطيف المنشور
- 364 2-5-9 القفز الزمني - تقنية تمديد الزمن (الزمن المنشور)
- 364 6-9 وصف التعديل بالتتابع المباشر
- 364 1-6-9 التقنية الأساسية للتتابع المباشر (DS)
- 366 2-6-9 مولد الشيفرة شبه الضخجية
- 368 3-6-9 تخفيض التداخل بإشارة تتابع مباشر (DS)
- 368 7-9 ساعات خطط تعدد المنافذ
- 370 1-7-9 سعة النظام الخلوي بالتقسيم الوددي والتقسيم الزمني
- 371 2-7-9 السعة الراديوية للنظام الخلوي بالتقسيم المرمز (الشفري)
- 374 3-7-9 خطة ضبط القدرة في نظام متعدد المنافذ بالتقسيم المرمز (الشفري)
- 378 4-7-9 مقارنة بين الحالات المختلفة لتعدد المنافذ بالتقسيم المرمز (الشفري)
- 378 8-9 تخفيض نسبة التداخل القريب إلى البعيد في نظام تعدد المنافذ بالتقسيم المرمز (الشفري)
- 382 9-9 الميزات الطبيعية لنظام تعدد المنافذ بالتقسيم المرمز (الشفري)
- 385 المراجع

الفصل العاشر

- 387 10- أنظمة الخلايا الصغيرة
- 389 1-10 تصميم نظام خلوي تقليدي
- 392 2-10 وصف لتصميم نظام خلوي صغري جديد
- 392 1-2-10 الإشارة الآتية من الوحدة المتنقلة

392	10-2-2- الإشارة الآتية من موقع القاعدة
395	10-3- تحليل السعة ونوعية الصوت
395	10-3-1- حل ناخب المنطقة متساوية الإتجاهات
399	10-3-2- حل ناخب المنطقة محرضة الطرف
400	10-3-3- حل المنطقة محرضة من الطرف بدون انتقاء
401	10-3-4- خلاصة
401	10-4- خفض عدد التهديدات
401	10-5- سعة النظام
403	10-6- مزايا الخلية الصغيرة
404	المراجع

الفصل الحادي عشر

405	11- الأنظمة الأخرى ذات العلاقة
407	11-1- خدمة الاتصالات الشخصية (PCS)
407	11-1-1- متطلبات خدمة الاتصالات الشخصية (PCS)
410	11-1-2- بيئة خدمة الاتصالات الشخصية
412	11-1-3- بعض الاهتمامات
413	11-2- أنظمة الهاتف المحمول
414	11-2-1- خسارة مسار الانتشار
417	11-2-2- تأثير جسم الانسان
418	11-3- الظاهرة الراديوية في الوحدات المحمولة
423	11-4- اعتبارات ضبط النظام
424	11-3- اتصالات جو/أرض
424	11-3-1- خسارة مسار الانتشار
425	11-3-2- فاصل القناة الواحدة

429	11-3-3- اعتبارات تصنيف الارتفاعات في مناطق ارتفاعات
430	11-3-4- خطة تخصيص التردد وضبط القدرة
433	11-4- أنظمة الاتصالات المتنقلة الأرضية - سواتل
433	11-4-1- خسارة مسار الانتشار
437	11-4-2- الضجيج
438	11-4-3- الخفوت
442	11-4-4- تطبيقات
442	المراجع
443	مسائل
458	مسرود المصطلحات
469	الفهرس



السعر (U.S \$ 2) أو ما يعادلها